

**COMUNE DI  
SAN BARTOLOMEO IN GALDO**  
(PROVINCIA DI BENEVENTO)



**PROGETTO ESECUTIVO**

*Piano Triennale Edilizia Scolastica PTES 2018-2020  
Aggiornamento Annualità 2019*

**LAVORI DI COMPLETAMENTO ED AMPLIAMENTO DELL' EDIFICIO  
SCOLASTICO IANZITI - I stralcio**

*Committente: AMMINISTRAZIONE COMUNALE*

*Progettisti U.T.C.:*

*(Ing. Giovanni DIURNO)*

**VISTO: IL SINDACO**

**(DOTT. Carmine AGOSTINELLI)**

*Oggetto dell' elaborato:*

**TABULATI DI CALCOLO EDIFICIO SCOLASTICO  
POST-OPERAM**

**TC-SP-ED**

CORPO A

## RELAZIONE DI CALCOLO

Sono illustrati con la presente i risultati dei calcoli che riguardano il progetto delle armature, la verifica delle tensioni di lavoro dei materiali e del terreno.

### • **NORMATIVA DI RIFERIMENTO**

I calcoli sono condotti nel pieno rispetto della normativa vigente e, in particolare, la normativa cui viene fatto riferimento nelle fasi di calcolo, verifica e progettazione è costituita dalle *Norme Tecniche per le Costruzioni*, emanate con il D.M. 17/01/2018 pubblicato nel suppl. 8 G.U. 42 del 20/02/2018, nonché la Circolare del Ministero Infrastrutture e Trasporti del 2 Febbraio 2009, n. 617 “*Istruzioni per l'applicazione delle nuove norme tecniche per le costruzioni*”.

### • **METODI DI CALCOLO**

I metodi di calcolo adottati per il calcolo sono i seguenti:

- 1) Per i carichi statici: *METODO DELLE DEFORMAZIONI*;
- 2) Per i carichi sismici: metodo dell'*ANALISI MODALE* o dell'*ANALISI SISMICA STATICA EQUIVALENTE*.

Per lo svolgimento del calcolo si è accettata l'ipotesi che, in corrispondenza dei piani sismici, i solai siano infinitamente rigidi nel loro piano e che le masse ai fini del calcolo delle forze di piano siano concentrate alle loro quote.

### • **CALCOLO SPOSTAMENTI E CARATTERISTICHE**

Il calcolo degli spostamenti e delle caratteristiche viene effettuato con il metodo degli elementi finiti (**F.E.M.**).

Possono essere inseriti due tipi di elementi:

- 1) Elemento monodimensionale asta (*beam*) che unisce due nodi aventi ciascuno 6 gradi di libertà. Per maggiore precisione di calcolo, viene tenuta in conto anche la deformabilità a taglio e quella assiale di questi elementi. Queste aste, inoltre, non sono considerate flessibili da nodo a nodo ma hanno sulla parte iniziale e finale due tratti infinitamente rigidi formati dalla parte di trave inglobata nello spessore del pilastro; questi tratti rigidi forniscono al nodo una dimensione reale.
- 2) L'elemento bidimensionale shell (*quad*) che unisce quattro nodi nello spazio. Il suo comportamento è duplice, funziona da lastra per i carichi agenti sul suo piano, da piastra per i carichi ortogonali.

Assemblate tutte le matrici di rigidezza degli elementi in quella della struttura spaziale, la risoluzione del sistema viene perseguita tramite il *metodo di Cholesky*.

Ai fini della risoluzione della struttura, gli spostamenti X e Y e le rotazioni attorno l'asse verticale Z di tutti i nodi che giacciono su di un impalcato dichiarato rigido sono mutuamente vincolati.

### • **RELAZIONE SUI MATERIALI**

Le caratteristiche meccaniche dei materiali sono descritti nei tabulati riportati nel seguito per ciascuna tipologia di materiale utilizzato.

### • **ANALISI SISMICA DINAMICA**

L'analisi sismica dinamica è stata svolta con il metodo dell'analisi modale; la ricerca dei modi e delle relative frequenze è stata perseguita con il *metodo di Jacobi*.

I modi di vibrazione considerati sono in numero tale da assicurare l'eccitazione di più dell'85% della massa totale della struttura.

Per ciascuna direzione di ingresso del sisma si sono valutate le forze applicate spazialmente agli impalcati di ogni piano (forza in X, forza in Y e momento).

Le forze orizzontali così calcolate vengono ripartite fra gli elementi irrigidenti (pilastri e pareti di taglio), ipotizzando i solai dei piani sismici infinitamente rigidi assialmente.

Per la verifica della struttura si è fatto riferimento all'analisi modale, pertanto sono prima calcolate le sollecitazioni e gli spostamenti modali e poi viene calcolato il loro valore efficace.

I valori stampati nei tabulati finali allegati sono proprio i suddetti valori efficaci e pertanto l'equilibrio ai nodi perde di significato. I valori delle sollecitazioni sismiche sono combinate linearmente (in somma e in differenza) con quelle per carichi statici per ottenere le sollecitazioni per sisma nelle due direzioni di calcolo.

Gli angoli delle direzioni di ingresso dei sismi sono valutati rispetto all'asse X del sistema di riferimento globale.

## • VERIFICHE

Le verifiche, svolte secondo il metodo degli stati limite ultimi e di esercizio, si ottengono involupando tutte le condizioni di carico prese in considerazione.

In fase di verifica è stato differenziato l'elemento trave dall'elemento pilastro. Nell'elemento trave le armature sono disposte in modo asimmetrico, mentre nei pilastri sono sempre disposte simmetricamente.

Per l'elemento trave, l'armatura si determina suddividendola in cinque conci in cui l'armatura si mantiene costante, valutando per tali conci le massime aree di armatura superiore ed inferiore richieste in base ai momenti massimi riscontrati nelle varie combinazioni di carico esaminate. Lo stesso criterio è stato adottato per il calcolo delle staffe.

Anche l'elemento pilastro viene scomposto in cinque conci in cui l'armatura si mantiene costante. Vengono però riportate le armature massime richieste nella metà superiore (testa) e inferiore (piede).

La fondazione su travi rovesce è risolta contemporaneamente alla sovrastruttura tenendo in conto sia la rigidezza flettente che quella torcente, utilizzando per l'analisi agli elementi finiti l'elemento asta su suolo elastico alla *Winkler*.

Le travate possono incrociarsi con angoli qualsiasi e avere dei disassamenti rispetto ai pilastri su cui si appoggiano.

La ripartizione dei carichi, data la natura matriciale del calcolo, tiene automaticamente conto della rigidezza relativa delle varie travate convergenti su ogni nodo.

Le verifiche per gli elementi bidimensionali (setti) vengono effettuate sovrapponendo lo stato tensionale del comportamento a lastra e di quello a piastra. Vengono calcolate le armature delle due facce dell'elemento bidimensionale disponendo i ferri in due direzioni ortogonali.

## • DIMENSIONAMENTO MINIMO DELLE ARMATURE.

Per il calcolo delle armature sono stati rispettati i minimi di legge di seguito riportati:

### TRAVI:

Area minima delle staffe pari a  $1.5 \cdot b$  mmq/ml, essendo b lo spessore minimo dell'anima misurato in mm, con passo non maggiore di 0,8 dell'altezza utile e con un minimo di 3 staffe al metro. In prossimità degli appoggi o di carichi concentrati per una lunghezza pari all'altezza utile della sezione, il passo minimo sarà 12 volte il diametro minimo dell'armatura longitudinale.

Armatura longitudinale in zona tesa  $\geq 0,15\%$  della sezione di calcestruzzo. Alle estremità è disposta una armatura inferiore minima che possa assorbire, allo stato limite ultimo, uno sforzo di trazione uguale al taglio.

In zona sismica, nelle zone critiche il passo staffe è non superiore al minimo di:

- un quarto dell'altezza utile della sezione trasversale;
- 175 mm e 225 mm, rispettivamente per CDA e CDB;
- 6 volte e 8 volte il diametro minimo delle barre longitudinali considerate ai fini delle verifiche, rispettivamente per CDA e CDB;
- 24 volte il diametro delle armature trasversali.

Le zone critiche si estendono, per CDB e CDA, per una lunghezza pari rispettivamente a 1 e 1,5 volte l'altezza della sezione della trave, misurata a partire dalla faccia del nodo trave-pilastro. Nelle zone critiche della trave il rapporto fra l'armatura compressa e quella tesa è maggiore o uguale a 0,5.

#### PILASTRI:

Armatura longitudinale compresa fra 0,3% e 4% della sezione effettiva e non minore di  $0,10 \cdot N_{ed}/f_{yd}$ ;

Barre longitudinali con diametro  $\geq 12$  mm;

Diametro staffe  $\geq 6$  mm e comunque  $\geq 1/4$  del diametro max delle barre longitudinali, con interasse non maggiore di 30 cm.

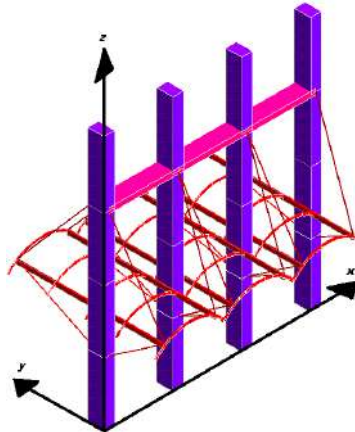
In zona sismica l'armatura longitudinale è almeno pari all'1% della sezione effettiva; il passo delle staffe di contenimento è non superiore alla più piccola delle quantità seguenti:

- $1/3$  e  $1/2$  del lato minore della sezione trasversale, rispettivamente per CDA e CDB;
- 125 mm e 175 mm, rispettivamente per CDA e CDB;
- 6 e 8 volte il diametro delle barre longitudinali che collegano, rispettivamente per CDA e CDB.

### • SISTEMI DI RIFERIMENTO

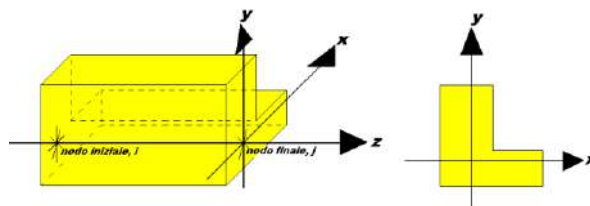
#### 1) SISTEMA GLOBALE DELLA STRUTTURA SPAZIALE

Il sistema di riferimento globale è costituito da una terna destra di assi cartesiani ortogonali (O-XYZ) dove l'asse Z rappresenta l'asse verticale rivolto verso l'alto. Le rotazioni sono considerate positive se concordi con gli assi vettori:



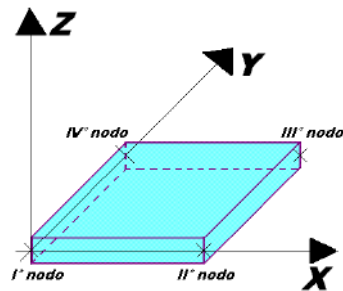
#### 2) SISTEMA LOCALE DELLE ASTE

Il sistema di riferimento locale delle aste, inclinate o meno, è costituito da una terna destra di assi cartesiani ortogonali che ha l'asse Z coincidente con l'asse longitudinale dell'asta ed orientamento dal nodo iniziale al nodo finale, gli assi X ed Y sono orientati come nell'archivio delle sezioni:



#### 3) SISTEMA LOCALE DELL'ELEMENTO SHELL

Il sistema di riferimento locale dell'elemento shell è costituito da una terna destra di assi cartesiani ortogonali che ha l'asse X coincidente con la direzione fra il primo ed il secondo nodo di input, l'asse Y giacente nel piano dello shell e l'asse Z in direzione dello spessore:



- **UNITÀ DI MISURA**

Si adottano le seguenti unità di misura:

[lunghezze]	= m
[forze]	= kgf / daN
[tempo]	= sec
[temperatura]	= °C

- **CONVENZIONI SUI SEGNI**

I carichi agenti sono:

- 1) Carichi e momenti distribuiti lungo gli assi coordinati;
- 2) Forze e coppie nodali concentrate sui nodi.

Le forze distribuite sono da ritenersi positive se concordi con il sistema di riferimento locale dell'asta, quelle concentrate sono positive se concordi con il sistema di riferimento globale.

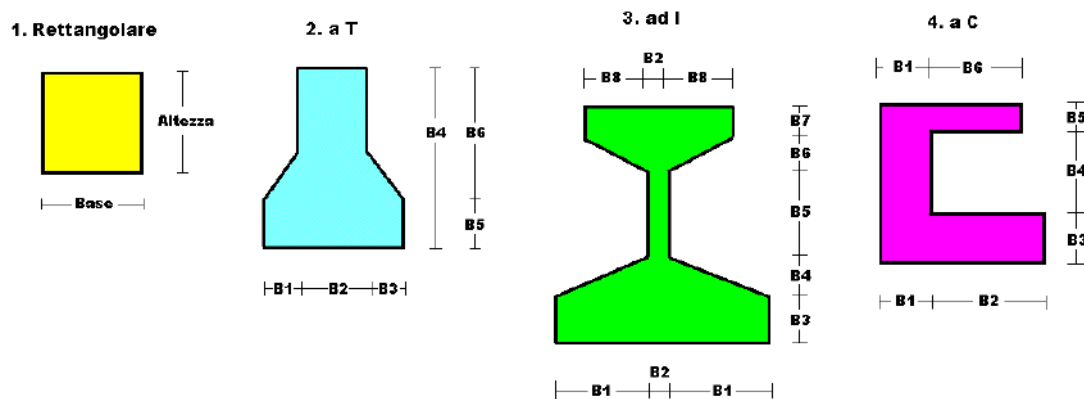
I gradi di libertà nodali sono gli omologhi agli enti forza, e quindi sono definiti positivi se concordi a questi ultimi.

- SPECIFICHE CAMPI TABELLA DI STAMPA**

Le sezioni delle aste in c.a.o. riportate nel seguito sono state raggruppate per tipologia. Le tipologie disponibili sono le seguenti:

- 1) *RETTANGOLARE*
- 2) *a T*
- 3) *ad I*
- 4) *a C*
- 5) *CIRCOLARE*
- 6) *POLIGONALE*

Nelle tabelle sono usate alcune sigle il cui significato è spiegato dagli schemi riportati in appresso:



Per quanto attiene alla tipologia poligonale le diciture V1, V2, ..., V10 individuano i vertici della sezione descritta per coordinate.

In coda alle presenti stampe viene riportata la tabellina riassuntiva delle caratteristiche statiche delle sezioni in parola in termini di area, momenti di inerzia baricentrici rispetto all'asse X ed Y ( $I_{xg}$  ed  $I_{yg}$ ) e momento d'inerzia polare ( $I_p$ ).



- **SPECIFICHE CAMPI TABELLA DI STAMPA**

Si riporta di seguito il significato delle simbologie usate nelle tabelle di stampa dei dati di input dei fili fissi:

- **Filo** : Numero del filo fisso in pianta.
- **Ascissa** : Ascissa.
- **Ordinata** : Ordinata.

Si riporta di seguito il significato delle simbologie usate nelle tabelle di stampa dei dati di input delle quote di piano:

- **Quota** : Numero identificativo della quota del piano.
- **Altezza** : Altezza dallo spiccatto di fondazione.
- **Tipologia** : Le tipologie previste sono due:

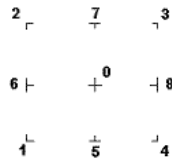
**0 = Piano sismico**, ovvero piano che è sede di massa, sia strutturale che portata, che deve essere considerata ai fini del calcolo sismico. Tutti i nodi a questa quota hanno gli spostamenti orizzontali legati dalla relazione di impalcato rigido.

**1 = Interpiano**, ovvero quota intermedia che ha rilevanza ai fini della geometria strutturale ma la cui massa non viene considerata a questa quota ai fini sismici. I nodi a questa quota hanno spostamenti orizzontali indipendenti.

## SPECIFICHE CAMPI TABELLA DI STAMPA

Si riporta appresso la spiegazione delle sigle usate nel tabulato di stampa dei dati di input dei pilastri.

<b>Filo</b>	: Numero del filo fisso in pianta su cui insiste il pilastro
<b>Sez.</b>	: Numero di archivio della sezione del pilastro
<b>Tipologia</b>	: Descrive le seguenti grandezze: <ul style="list-style-type: none"> <li>a) La forma attraverso le sigle 'Rett.'=rettangolare; 'a T'; 'ad I'; 'a C'; 'Circ.=circolare; 'Polig.'=poligonale</li> <li>b) Gli ingombri in X ed Y nel sistema di riferimento locale della sezione. Nel caso di sezioni rettangolari questi ingombri coincidono con base ed altezza</li> </ul>
<b>Magrone</b>	: Larghezza del magrone di fondazione. Se presente individua ai fini del calcolo un'asta su suolo alla Winkler
<b>Ang.</b>	: Angolo di rotazione della sezione. L'angolo e' positivo se antiorario
<b>Codice</b>	: Individua il posizionamento del filo fisso nella sezione. Per la sezione rettangolare valgono i seguenti codici di spigolo:



Il codice zero, che è inizialmente associato al centro pilastro, permette anche degli scostamenti imposti esplicitamente del filo fisso dal centro del pilastro

<b>dx</b>	: Scostamento filo fisso - centro pilastro lungo l'asse X in pianta
<b>dy</b>	: Scostamento filo fisso - centro pilastro lungo l'asse Y in pianta
<b>Crit.N.ro</b>	: Numero identificativo del criterio di progetto associato al pilastro
<b>Tipo</b>	Tipo elemento ai fini sismici:
<b>Elemento</b>	Le sigle sotto riportate hanno il significato appresso specificato: <ul style="list-style-type: none"> <li>- "Secondario NTC18": si intende un elemento pilastro secondario ai sensi della NTC2018, che non viene inserito nel modello sismico ed a cui vengono applicate le verifiche di duttilità.</li> <li>- "NoGerarchia": si intende un elemento pilastro non appartenente ad un meccanismo dissipativo e in cui non è applicabile la gerarchia delle resistenze (esempio pilastro meshato interno a pareti)</li> </ul>

Nel caso di vincoli particolari (situazione diversa dal doppio incastro), segue un'ulteriore tabulato relativo ai vincoli, le cui sigle hanno il seguente significato:

**Codice:** Codice sintetico identificativo del tipo di vincolo secondo la codifica appresso riportata:  
**I** = incastro; **K** = appoggio scorrevole; **C** = cerniera sferica; **E** = esplicito; **CF** = cerniera flessionale.

Il reale funzionamento dei vincoli (da intendersi come vincoli interni tra asta e nodo) è esplicitato dai successivi dati:

<b>Tx, Ty, Tz</b>	: Valori delle rigidzze alla traslazione imposte al nodo in esame. Il valore -1 indica per convenzione che quella particolare traslazione mutua tra pilastro e nodo è impedita (ovvero la traslazione assoluta del nodo e dell'estremo del pilastro è la medesima), mentre lo 0 indica che non vi è continuità tra tali elementi ai fini di tale traslazione reciproca (ovvero la traslazione assoluta del nodo e dell'estremo del pilastro sono diverse ed indipendenti). Invece un valore maggiore di zero equivale ad una sconnessione fra il nodo e l'estremo del pilastro (traslazioni assolute diverse), ma sul nodo agirà una forza, nella direzione della sconnessione inserita, di valore pari alla rigidzza per la variazione di spostamento. Se infine viene inserito un valore compreso fra -1 (incastato) e 0 (libero) (fattore di connessione) il programma trasforma in automatico tale numero in una rigidzza esplicita. Gli assi X e Y sono quelli del riferimento locale della sezione, mentre Z è parallelo all'asse del pilastro.
<b>Rx, Ry, Rz</b>	: Valori delle rigidzze alla rotazione imposte al nodo in esame. Il valore -1 indica per convenzione che quella particolare rotazione mutua tra pilastro e nodo è impedita (ovvero la rotazione assoluta del nodo e dell'estremo del pilastro è la medesima), mentre lo 0 indica che non vi è continuità tra tali elementi ai fini di tale rotazione reciproca (ovvero la rotazione assoluta del nodo e dell'estremo del pilastro sono diverse ed indipendenti). Invece un valore

*maggiore di zero equivale ad una sconnessione fra il nodo e l'estremo dell'asta (rotazioni assolute diverse), ma sul nodo agirà un momento nella direzione della sconnessione inserita di valore pari alla rigidezza per la variazione di rotazione. Se viene inserito un valore compreso fra  $-1$  (incastrato) e  $0$  (libero) (fattore di connessione) il programma trasforma in automatico tale numero in una rigidezza esplicita. Gli assi X e Y sono quelli del riferimento locale della sezione, mentre Z è parallelo all'asse del pilastro.*

## SPECIFICHE CAMPI TABELLA DI STAMPA

Si riporta appresso la spiegazione delle sigle usate nel tabulato di stampa dei dati di input delle travi:

<b>Trave</b>	: Numero identificativo della trave alla quota in esame
<b>Sez.</b>	: Numero di archivio della sezione della trave. Se il numero sezione è superiore a 600, si tratta di setto di altezza pari all'interpiano e di cui nei successivi dati viene specificato il solo spessore
<b>Base x Alt.</b>	: Ingombri in X ed Y nel sistema di riferimento locale della sezione. Nel caso di sezioni rettangolari questi ingombri coincidono con base ed altezza
<b>Magrone</b>	: Larghezza del magrone di fondazione. Se presente individua ai fini del calcolo un'asta su suolo alla Winkler
<b>Ang.</b>	: Angolo di rotazione della sezione attorno all'asse
<b>Filo in.</b>	: Numero del filo fisso iniziale della trave
<b>Filo fin.</b>	: Numero del filo fisso finale della trave
<b>Quota in.</b>	: Quota dell'estremo iniziale della trave
<b>Quota fin.</b>	: Quota dell'estremo finale della trave
<b>dx in</b>	: Scostamento in direzione X del punto iniziale dell'asse della trave dal filo fisso iniziale di riferimento
<b>dx f</b>	: Scostamento in direzione X del punto finale dell'asse della trave dal filo fisso finale di riferimento
<b>dy in</b>	: Scostamento in direzione Y del punto iniziale dell'asse della trave dal filo fisso iniziale di riferimento
<b>dy f</b>	: Scostamento in direzione Y del punto finale dell'asse della trave dal filo fisso finale di riferimento
<b>Pann.</b>	: Carico sulla trave dovuto a pannelli di solai.
<b>Tamp.</b>	: Carico sulla trave dovuto a tamponature
<b>Ball.</b>	: Carico sulla trave dovuto a ballatoi
<b>Espl.</b>	: Carico sulla trave imposto dal progettista
<b>Tot.</b>	: Totale dei carichi verticali precedenti
<b>Torc.</b>	: Momento torcente distribuito agente sulla trave imposto dal progettista
<b>Orizz.</b>	: Carico orizzontale distribuito agente sulla trave imposto dal progettista
<b>Assia.</b>	: Carico assiale distribuito agente sulla trave imposto dal progettista
<b>Ali.</b>	: Aliquota media pesata dei carichi accidentali per la determinazione della massa sismica
<b>Crit.N.ro</b>	: Numero identificativo del criterio di progetto associato alla trave
<b>Tipo</b>	Tipo elemento ai fini sismici:
<b>Elemento</b>	Le sigle sotto riportate hanno il significato appresso specificato: - "Secondario NTC18": si intende un elemento asta secondario ai sensi della NTC2018, che non viene inserito nel modello sismico ed a cui vengono applicate le verifiche di duttilità. - "NoGerarchia": si intende un elemento asta non appartenente ad un meccanismo dissipativo e in cui non è applicabile la gerarchia delle resistenze (esempio aste meshate interne a pareti o piastre o travi inclinate)

Nel caso di vincoli particolari (situazione diversa dal doppio incastro), segue un'ulteriore tabulato relativo ai vincoli, le cui sigle hanno il seguente significato:

**Codice:** Codice sintetico identificativo del tipo di vincolo secondo la codifica appresso riportata:

**I** = incastro; **K** = appoggio scorrevole; **C** = cerniera sferica; **E** = esplicito; **CF** = cerniera flessionale.

Il reale funzionamento dei vincoli (da intendersi come vincoli interni tra asta e nodo) è esplicitato dai successivi dati:

**T<sub>x</sub>, T<sub>y</sub>, T<sub>z</sub>** : Valori delle rigidezze alla traslazione imposte al nodo in esame. Il valore -1 indica per convenzione che quella particolare traslazione mutua tra trave e nodo è impedita (ovvero la traslazione assoluta del nodo e dell'estremo dell'asta è la medesima), mentre lo 0 indica che non vi è continuità tra tali elementi ai fini di tale traslazione reciproca (ovvero la traslazione assoluta del nodo e dell'estremo dell'asta sono diverse ed indipendenti). Invece un valore maggiore di zero equivale ad una sconnessione fra il nodo e l'estremo dell'asta (traslazioni assolute diverse), ma sul nodo agirà una forza, nella direzione della sconnessione inserita, di valore pari alla rigidezza per la variazione di spostamento. Se infine viene inserito un valore compreso fra -1 (incastrato) e 0 (libero), fattore di connessione, il programma trasforma in automatico tale numero in una rigidezza esplicita. Gli assi X e Y sono quelli del riferimento locale della sezione, mentre Z è parallelo all'asse della trave.

**R<sub>x</sub>, R<sub>y</sub>, R<sub>z</sub>** : Valori delle rigidezze alla rotazione imposte al nodo in esame. Il valore -1 indica per convenzione che quella particolare rotazione mutua tra trave e nodo è impedita (ovvero la rotazione assoluta del nodo e dell'estremo dell'asta è la medesima), mentre lo 0 indica che non vi è continuità tra tali elementi ai fini di tale rotazione reciproca (ovvero la rotazione assoluta del nodo e dell'estremo dell'asta sono diverse ed indipendenti). Invece un valore maggiore di zero equivale ad una sconnessione fra il nodo e l'estremo dell'asta (rotazioni assolute diverse), ma sul nodo agirà un momento, nella direzione della sconnessione inserita, di valore pari alla rigidezza per la variazione di rotazione. Se viene inserito un valore compreso fra -1 (incastrato) e 0 (libero), fattore di connessione, il programma trasforma in automatico tale numero in una rigidezza esplicita. Gli assi X e Y sono quelli del riferimento locale della sezione, mentre Z è parallelo all'asse della trave.

## ARCHIVIO SEZIONI ASTE IN C.A.O.

Tipologia Rettangolare					Tipologia Rettangolare			
Sez. N.ro	Base (cm)	Altezza (cm)	Magrone (cm)		Sez. N.ro	Base (cm)	Altezza (cm)	Magrone (cm)
5	40,0	40,0	0,0		7	40,0	60,0	0,0

## ARCHIVIO SEZIONI ASTE IN C.A.O.

Tipologia a 'T'							
Sez. N.ro	Ala sx. B1 (cm)	B Anima B2 (cm)	Ala dx. B3 (cm)	Altezza B4 (cm)	Sp. Ali B5 (cm)	H Anima B6 (cm)	Largh. Magrone (cm)
25	30,0	40,0	30,0	100,0	40,0	60,0	110,0

## ARCHIVIO SEZIONI ASTE IN C.A.O.

CARATTERISTICHE STATICHE DELLE SEZIONI IN C.A.O.				
Sez. N.ro	Area (cm <sup>2</sup> )	I <sub>xg</sub> (cm <sup>4</sup> )	I <sub>yg</sub> (cm <sup>4</sup> )	I <sub>p</sub> (cm <sup>4</sup> )
5	1600	213333	213333	426667
7	2400	720000	320000	1040000
25	6400	5003331	3653332	8656663

## ARCHIVIO MATERIALE FRP

ARCHIVIO MATERIALI FRP												
Mater N.ro	Descrizione Materiale	Tipo Fibra	Orientam. Fibre	Gramm g/mq	Dens. kg/mc	SpessEq. (mm)	AreaRes mmq/m	Traz. N/mm <sup>2</sup>	CarMax kN/m	ModElast N/mm <sup>2</sup>	Eps fk (%)	Tipo Appl
1		Carbonio	BiAssiale	300	1820	0,1650	165	3000	495	300000	1,300	A

## ARCHIVIO TIPOLOGIE DI CARICO

Car. N.ro	Peso Strut kg/mq	Perman. NONstru kg/mq	Varia bile kg/mq	Neve kg/mq	Destinaz. d'Uso	Psi 0	Psi 1	Psi 2	Anal Car. N.ro	DESCRIZIONE SINTETICA DEL TIPO DI CARICO		
1	496	220	300	0	Scuole2005	0,7	0,7	0,6		solaio in latero cemento s=	Spessore S=35+5	
2	496	150	50	104	Categ. H	0,0	0,0	0,0		Terrazzo	Spessore S=35+5	
3	266	42	0	104	Categ. H	0,0	0,0	0,0		doppia fodera		
4	431	150	50	104	Categ. H	0,0	0,0	0,0		solaio di copertura	Spessore S=35+5	
5	375	20	50	104	Categ. H	0,0	0,0	0,0		cornicione		
6	28	218	50	104	Categ. H	0,0	0,0	0,0		solaio in lamiera grecata		
7	180	64	0	104	Categ. H	0,0	0,0	0,0		doppia fodera con isolante esterno		

## DATI GENERALI DI STRUTTURA

DATI GENERALI DI STRUTTURA			
Massima dimens. dir. X (m)	20,80	Altezza edificio (m)	7,20
Massima dimens. dir. Y (m)	28,41	Differenza temperatura(°C)	15
PARAMETRI SISMICI			
Vita Nominale (Anni)	50	Classe d' Uso	TERZA
Longitudine Est (Grd)	15,02047	Latitudine Nord (Grd)	41,42569
Categoria Suolo	C	Coeff. Condiz. Topogr.	1,00000
Sistema Costruttivo Dir.1	C.A.	Sistema Costruttivo Dir.2	C.A.
Regolarita' in Altezza	NO(KR=.8)	Regolarita' in Pianta	NO
Direzione Sisma (Grd)	0	Sisma Verticale	ASSENTE
Effetti P/Delta	NO	Quota di Zero Sismico (m)	0,00000
PARAMETRI SPETTRO ELASTICO - SISMA S.L.D.			
Probabilita' Pvr	0,63	Periodo di Ritorno Anni	75,00
Accelerazione Ag/g	0,08	Periodo T'c (sec.)	0,35
Fo	2,46	Fv	0,92
Fattore Stratigrafia'Ss'	1,50	Periodo TB (sec.)	0,17
Periodo TC (sec.)	0,52	Periodo TD (sec.)	1,91
PARAMETRI SPETTRO ELASTICO - SISMA S.L.V.			
Probabilita' Pvr	0,10	Periodo di Ritorno Anni	712,00

**C.D.S.**

Accelerazione Ag/g	0,18	Periodo Tc (sec.)	0,44
Fo	2,61	Fv	1,49
Fattore Stratigrafia'Ss'	1,42	Periodo TB (sec.)	0,20
Periodo TC (sec.)	0,61	Periodo TD (sec.)	2,31

**PARAMETRI SISTEMA COSTRUTTIVO C. A. - DIR. 1**

Classe Duttilita'	MEDIA	Sotto-Sistema Strutturale	Telaio
AlfaU/Alfa1	1,15	Fattore riduttivo KW	1,00
Fattore di comportam 'q'	2,76		

**PARAMETRI SISTEMA COSTRUTTIVO C. A. - DIR. 2**

Classe Duttilita'	MEDIA	Sotto-Sistema Strutturale	Telaio
AlfaU/Alfa1	1,15	Fattore riduttivo KW	1,00
Fattore di comportam 'q'	2,76		

**COEFFICIENTI DI SICUREZZA PARZIALI DEI MATERIALI**

Acciaio per carpenteria	1,05	Verif.Instabilita' acciaio:	1,05
Acciaio per CLS armato	1,15	Calcestruzzo CLS armato	1,50
Legno per comb. eccez.	1,00	Legno per comb. fondament.:	1,30
Livello conoscenza	LC2		
FRP Collasso Tipo 'A'	1,10	FRP Delaminazione Tipo 'A'	1,20
FRP Collasso Tipo 'B'	1,25	FRP Delaminazione Tipo 'B'	1,50
FRP Resist. Press/Fless	1,00	FRP Resist. Taglio/Torsione	1,20
FRP Resist. Confinamento	1,10		

**DATI GENERALI DI STRUTTURA**

**DATI DI CALCOLO PER AZIONE NEVE**

Zona Geografica	III	Coefficiente Termico	1,00
Altitudine sito s.l.m. (m)	600	Coefficiente di forma	0,80
Tipo di Esposizione	Normale	Coefficiente di esposizione	1,00
Carico di riferimento kg/mq	130	Carico neve di calcolo kg/mq	104,00

Il calcolo della neve e' effettuato in base al punto 3.4 del D.M. 2018 e relative modifiche e integrazioni riportate nella Circolare del 26/12/2009

**COORDINATE E TIPOLOGIA FILI FISSI**

Filo N.ro	Ascissa m	Ordinata m		Filo N.ro	Ascissa m	Ordinata m
1	0,00	0,00		2	4,70	0,00
3	11,80	0,00		4	18,40	0,00
5	0,00	7,10		6	4,70	7,10
7	11,80	7,10		8	18,40	7,10
9	0,00	11,91		10	4,70	11,91
11	11,80	11,91		12	18,40	11,91
13	-2,40	14,31		14	0,00	14,31
15	4,70	14,31		16	18,40	14,31
17	-2,40	18,91		18	4,70	18,91
19	11,80	18,91		20	18,40	18,91
21	-2,40	21,31		22	4,70	21,31
23	11,80	21,31		24	18,40	21,31
25	-2,40	28,41		26	4,70	28,41
27	11,80	28,41		28	18,40	28,41
29	11,80	14,31				

**QUOTE PIANI SISMICI ED INTERPIANI**

Quota N.ro	Altezza m	Tipologia	IrregTamp XY	Alt.	Quota N.ro	Altezza m	Tipologia	IrregTamp XY	Alt.
0	0,00	Piano Terra			1	3,60	Piano sismico	NO	NO

## QUOTE PIANI SISMICI ED INTERPIANI

Quota N.ro	Altezza m	Tipologia	IrregTamp XY	Alt.		Quota N.ro	Altezza m	Tipologia	IrregTamp XY	Alt.
2	7,20	Piano sismico	NO	NO						

## PILASTRI IN C.A. QUOTA 3.6 m

Filo N.ro	Sez. N.ro	Tipologia (cm)	Magrone (cm)	Ang. (Grd)	Cod.	dx (cm)	dy (cm)	Crit. N.ro	Tipo Elemento ai fini sismici
1	5	Rett. 40,00 x 40,00	0,0	0,00	0	0,00	0,00	3	SismoResist.
2	5	Rett. 40,00 x 40,00	0,0	0,00	0	0,00	0,00	3	SismoResist.
3	5	Rett. 40,00 x 40,00	0,0	0,00	0	0,00	0,00	3	SismoResist.
4	5	Rett. 40,00 x 40,00	0,0	0,00	0	0,00	0,00	3	SismoResist.
5	5	Rett. 40,00 x 40,00	0,0	0,00	0	0,00	0,00	3	SismoResist.
6	5	Rett. 40,00 x 40,00	0,0	0,00	0	0,00	0,00	3	SismoResist.
7	5	Rett. 40,00 x 40,00	0,0	0,00	0	0,00	0,00	3	SismoResist.
8	5	Rett. 40,00 x 40,00	0,0	0,00	0	0,00	0,00	3	SismoResist.
9	5	Rett. 40,00 x 40,00	0,0	0,00	0	0,00	0,00	3	SismoResist.
10	5	Rett. 40,00 x 40,00	0,0	0,00	0	0,00	0,00	3	SismoResist.
11	5	Rett. 40,00 x 40,00	0,0	0,00	0	0,00	0,00	3	SismoResist.
12	5	Rett. 40,00 x 40,00	0,0	0,00	0	0,00	0,00	3	SismoResist.
13	5	Rett. 40,00 x 40,00	0,0	0,00	0	0,00	0,00	3	SismoResist.
14	5	Rett. 40,00 x 40,00	0,0	0,00	0	0,00	0,00	3	SismoResist.
15	5	Rett. 40,00 x 40,00	0,0	0,00	0	0,00	0,00	3	SismoResist.
16	5	Rett. 40,00 x 40,00	0,0	0,00	0	0,00	0,00	3	SismoResist.
17	5	Rett. 40,00 x 40,00	0,0	0,00	0	0,00	0,00	3	SismoResist.
18	5	Rett. 40,00 x 40,00	0,0	0,00	0	0,00	0,00	3	SismoResist.
19	5	Rett. 40,00 x 40,00	0,0	0,00	0	0,00	0,00	3	SismoResist.
20	5	Rett. 40,00 x 40,00	0,0	0,00	0	0,00	0,00	3	SismoResist.
21	5	Rett. 40,00 x 40,00	0,0	0,00	0	0,00	0,00	3	SismoResist.
22	5	Rett. 40,00 x 40,00	0,0	0,00	0	0,00	0,00	3	SismoResist.
23	5	Rett. 40,00 x 40,00	0,0	0,00	0	0,00	0,00	3	SismoResist.
24	5	Rett. 40,00 x 40,00	0,0	0,00	0	0,00	0,00	3	SismoResist.
25	5	Rett. 40,00 x 40,00	0,0	0,00	0	0,00	0,00	3	SismoResist.
26	5	Rett. 40,00 x 40,00	0,0	0,00	0	0,00	0,00	3	SismoResist.
27	5	Rett. 40,00 x 40,00	0,0	0,00	0	0,00	0,00	3	SismoResist.
28	5	Rett. 40,00 x 40,00	0,0	0,00	0	0,00	0,00	3	SismoResist.
29	5	Rett. 40,00 x 40,00	0,0	0,00	0	0,00	0,00	3	SismoResist.

## PILASTRI IN C.A. QUOTA 7.2 m

Filo N.ro	Sez. N.ro	Tipologia (cm)	Magrone (cm)	Ang. (Grd)	Cod.	dx (cm)	dy (cm)	Crit. N.ro	Tipo Elemento ai fini sismici
13	5	Rett. 40,00 x 40,00	0,0	0,00	0	0,00	0,00	3	SismoResist.
14	5	Rett. 40,00 x 40,00	0,0	0,00	0	0,00	0,00	3	SismoResist.
15	5	Rett. 40,00 x 40,00	0,0	0,00	0	0,00	0,00	3	SismoResist.
16	5	Rett. 40,00 x 40,00	0,0	0,00	0	0,00	0,00	3	SismoResist.
17	5	Rett. 40,00 x 40,00	0,0	0,00	0	0,00	0,00	3	SismoResist.
18	5	Rett. 40,00 x 40,00	0,0	0,00	0	0,00	0,00	3	SismoResist.
19	5	Rett. 40,00 x 40,00	0,0	0,00	0	0,00	0,00	3	SismoResist.
20	5	Rett. 40,00 x 40,00	0,0	0,00	0	0,00	0,00	3	SismoResist.
21	5	Rett. 40,00 x 40,00	0,0	0,00	0	0,00	0,00	3	SismoResist.
22	5	Rett. 40,00 x 40,00	0,0	0,00	0	0,00	0,00	3	SismoResist.
23	5	Rett. 40,00 x 40,00	0,0	0,00	0	0,00	0,00	3	SismoResist.
24	5	Rett. 40,00 x 40,00	0,0	0,00	0	0,00	0,00	3	SismoResist.
25	5	Rett. 40,00 x 40,00	0,0	0,00	0	0,00	0,00	3	SismoResist.
26	5	Rett. 40,00 x 40,00	0,0	0,00	0	0,00	0,00	3	SismoResist.
27	5	Rett. 40,00 x 40,00	0,0	0,00	0	0,00	0,00	3	SismoResist.
28	5	Rett. 40,00 x 40,00	0,0	0,00	0	0,00	0,00	3	SismoResist.
29	5	Rett. 40,00 x 40,00	0,0	0,00	0	0,00	0,00	3	SismoResist.

## PILASTRI IN ACCIAIO QUOTA 7.2 m

Filo N.ro	Sez. N.ro	Tipologia	Ang. (Grd)	dx (cm)	dy (cm)	Crit. N.ro	Tipo Elemento ai fini sismici
1	71	HEA200	0,00	0,00	0,00	101	SismoResist.
2	71	HEA200	0,00	0,00	0,00	101	SismoResist.
3	71	HEA200	0,00	0,00	0,00	101	SismoResist.
4	71	HEA200	0,00	0,00	0,00	101	SismoResist.



## PILASTRI IN ACCIAIO QUOTA 7.2 m

Filo N.ro	Sez. N.ro	Tipologia	Ang. (Grd)	dx (cm)	dy (cm)	Crit. N.ro	Tipo Elemento ai fini sismici
5	71	HEA200	0,00	0,00	0,00	101	SismoResist.
6	71	HEA200	0,00	0,00	0,00	101	SismoResist.
7	71	HEA200	0,00	0,00	0,00	101	SismoResist.
8	71	HEA200	0,00	0,00	0,00	101	SismoResist.
9	71	HEA200	0,00	0,00	0,00	101	SismoResist.
10	71	HEA200	0,00	0,00	0,00	101	SismoResist.
11	71	HEA200	0,00	0,00	0,00	101	SismoResist.
12	71	HEA200	0,00	0,00	0,00	101	SismoResist.

## TRAVI IN C.A. ALLA QUOTA 0 m

		DATI GENERALI					QUOTE		SCOSTAMENTI						CARICHI											
Trav N.ro	Sez. N.ro	Tipo Elem. x il sisma	Ang Grd	Fil in.	Fil fin	Q in. (m)	Q.fin (m)	Dxi cm	Dyi cm	Dzi cm	Dxf cm	Dyf cm	Dzf cm	Pann. kg/m	Tamp. kg/m	Ball. kg/m	Espl. kg/m	Tot. kg/m	Torc. kg	Orizz. kg/m	Assial kg/m	Ali %	Cr Nr	Cit Geo		
1	25	Tel.SismoRes.	0	1	2	0,00	0,00	0	0	0	0	0	0	0	826	0	0	826	0	0	0	0	0	2	2	
2	25	Tel.SismoRes.	0	2	3	0,00	0,00	0	0	0	0	0	0	0	859	0	0	859	0	0	0	0	0	2	2	
3	25	Tel.SismoRes.	0	3	4	0,00	0,00	0	0	0	0	0	0	0	854	0	0	854	0	0	0	0	0	2	2	
4	25	Tel.SismoRes.	0	5	6	0,00	0,00	0	0	0	0	0	0	0	0	0	0	0	0	0	0	0	0	2	2	
5	25	Tel.SismoRes.	0	6	7	0,00	0,00	0	0	0	0	0	0	0	0	0	0	0	0	0	0	0	0	2	2	
6	25	Tel.SismoRes.	0	7	8	0,00	0,00	0	0	0	0	0	0	0	0	0	0	0	0	0	0	0	0	2	2	
7	25	Tel.SismoRes.	0	9	10	0,00	0,00	0	0	0	0	0	0	0	0	0	0	0	0	0	0	0	0	2	2	
8	25	Tel.SismoRes.	0	10	11	0,00	0,00	0	0	0	0	0	0	0	0	0	0	0	0	0	0	0	0	2	2	
9	25	Tel.SismoRes.	0	11	12	0,00	0,00	0	0	0	0	0	0	0	0	0	0	0	0	0	0	0	0	2	2	
10	25	Tel.SismoRes.	0	13	14	0,00	0,00	0	0	0	0	0	0	0	732	0	0	732	0	0	0	0	0	2	2	
11	25	Tel.SismoRes.	0	14	15	0,00	0,00	0	0	0	0	0	0	0	0	0	0	0	0	0	0	0	0	2	2	
12	25	Tel.SismoRes.	0	15	29	0,00	0,00	0	0	0	0	0	0	0	0	0	0	0	0	0	0	0	0	2	2	
13	25	Tel.SismoRes.	0	29	16	0,00	0,00	0	0	0	0	0	0	0	0	0	0	0	0	0	0	0	0	2	2	
14	25	Tel.SismoRes.	0	17	18	0,00	0,00	0	0	0	0	0	0	0	0	0	0	0	0	0	0	0	0	2	2	
15	25	Tel.SismoRes.	0	18	19	0,00	0,00	0	0	0	0	0	0	0	0	0	0	0	0	0	0	0	0	2	2	
16	25	Tel.SismoRes.	0	19	20	0,00	0,00	0	0	0	0	0	0	0	0	0	0	0	0	0	0	0	0	2	2	
17	25	Tel.SismoRes.	0	21	22	0,00	0,00	0	0	0	0	0	0	0	0	0	0	0	0	0	0	0	0	2	2	
18	25	Tel.SismoRes.	0	22	23	0,00	0,00	0	0	0	0	0	0	0	0	0	0	0	0	0	0	0	0	2	2	
19	25	Tel.SismoRes.	0	23	24	0,00	0,00	0	0	0	0	0	0	0	0	0	0	0	0	0	0	0	0	2	2	
20	25	Tel.SismoRes.	0	25	26	0,00	0,00	0	0	0	0	0	0	0	859	0	0	859	0	0	0	0	0	2	2	
21	25	Tel.SismoRes.	0	26	27	0,00	0,00	0	0	0	0	0	0	0	859	0	0	859	0	0	0	0	0	2	2	
22	25	Tel.SismoRes.	0	27	28	0,00	0,00	0	0	0	0	0	0	0	854	0	0	854	0	0	0	0	0	2	2	
23	25	Tel.SismoRes.	0	1	5	0,00	0,00	0	0	0	0	0	0	0	859	0	0	859	0	0	0	0	0	2	2	
24	25	Tel.SismoRes.	0	5	9	0,00	0,00	0	0	0	0	0	0	0	828	0	0	828	0	0	0	0	0	2	2	
25	25	Tel.SismoRes.	0	9	14	0,00	0,00	0	0	0	0	0	0	0	732	0	0	732	0	0	0	0	0	2	2	
26	25	Tel.SismoRes.	0	2	6	0,00	0,00	0	0	0	0	0	0	0	0	0	0	0	0	0	0	0	0	2	2	
27	25	Tel.SismoRes.	0	3	7	0,00	0,00	0	0	0	0	0	0	0	0	0	0	0	0	0	0	0	0	2	2	
28	25	Tel.SismoRes.	0	4	8	0,00	0,00	0	0	0	0	0	0	0	0	0	0	0	0	0	0	0	0	2	2	
29	25	Tel.SismoRes.	0	6	10	0,00	0,00	0	0	0	0	0	0	0	0	0	0	0	0	0	0	0	0	2	2	
30	25	Tel.SismoRes.	0	7	11	0,00	0,00	0	0	0	0	0	0	0	0	0	0	0	0	0	0	0	0	2	2	
31	25	Tel.SismoRes.	0	8	12	0,00	0,00	0	0	0	0	0	0	0	0	0	0	0	0	0	0	0	0	2	2	
32	25	Tel.SismoRes.	0	10	15	0,00	0,00	0	0	0	0	0	0	0	0	0	0	0	0	0	0	0	0	2	2	
33	25	Tel.SismoRes.	0	11	29	0,00	0,00	0	0	0	0	0	0	0	0	0	0	0	0	0	0	0	0	2	2	
34	25	Tel.SismoRes.	0	12	16	0,00	0,00	0	0	0	0	0	0	0	0	0	0	0	0	0	0	0	0	2	2	
35	25	Tel.SismoRes.	0	13	17	0,00	0,00	0	0	0	0	0	0	0	824	0	0	824	0	0	0	0	0	2	2	
36	25	Tel.SismoRes.	0	15	18	0,00	0,00	0	0	0	0	0	0	0	0	0	0	0	0	0	0	0	0	2	2	
37	25	Tel.SismoRes.	0	16	20	0,00	0,00	0	0	0	0	0	0	0	0	0	0	0	0	0	0	0	0	2	2	
38	25	Tel.SismoRes.	0	17	21	0,00	0,00	0	0	0	0	0	0	0	732	0	0	732	0	0	0	0	0	2	2	
39	25	Tel.SismoRes.	0	18	22	0,00	0,00	0	0	0	0	0	0	0	0	0	0	0	0	0	0	0	0	2	2	
40	25	Tel.SismoRes.	0	19	23	0,00	0,00	0	0	0	0	0	0	0	0	0	0	0	0	0	0	0	0	2	2	
41	25	Tel.SismoRes.	0	20	24	0,00	0,00	0	0	0	0	0	0	0	0	0	0	0	0	0	0	0	0	2	2	
42	25	Tel.SismoRes.	0	29	19	0,00	0,00	0	0	0	0	0	0	0	0	0	0	0	0	0	0	0	0	2	2	
43	25	Tel.SismoRes.	0	21	25	0,00	0,00	0	0	0	0	0	0	0	859	0	0	859	0	0	0	0	0	2	2	
44	25	Tel.SismoRes.	0	22	26	0,00	0,00	0	0	0	0	0	0	0	0	0	0	0	0	0	0	0	0	2	2	
45	25	Tel.SismoRes.	0	23	27	0,00	0,00	0	0	0	0	0	0	0	0	0	0	0	0	0	0	0	0	2	2	
46	25	Tel.SismoRes.	0	24	28	0,00	0,00	0	0	0	0	0	0	0	0	0	0	0	0	0	0	0	0	2	2	

## TRAVI IN C.A. ALLA QUOTA 3.6 m

		DATI GENERALI					QUOTE		SCOSTAMENTI						CARICHI											
Trav N.ro	Sez. N.ro	Tipo Elem. x il sisma	Ang Grd	Fil in.	Fil fin	Q in. (m)	Q.fin (m)	Dxi cm	Dyi cm	Dzi cm	Dxf cm	Dyf cm	Dzf cm	Pann. kg/m	Tamp. kg/m	Ball. kg/m	Espl. kg/m	Tot. kg/m	Torc. kg	Orizz. kg/m	Assial kg/m	Ali %	Cr Nr	Cit Geo		
1	7	Tel.SismoRes.	0	1	2	3,60	3,60	0	0	0	0	0	0	0	654	733	0	1387	0	0	0	0	1			
2	7	Tel.SismoRes.	0	2	3	3,60	3,60	0	0	0	0	0	0	3508	680	584	0	4772	0	0	0	0	51	1		
3	7	Tel.SismoRes.	0	3	4	3,60	3,60	0	0	0	0	0	0	0	677	584	0	1260	0	0	0	0	0	1		
4	7	Tel.SismoRes.	0	5	6	3,60	3,60	0	0	0	0	0	0	2344	0	0	0	2344	0	0	0	0	60	1		
5	7	Tel.SismoRes.	0	6	7	3,60	3,60	0	0	0	0	0	0	5852	0	0	0	5852	0	0	0	0	60	1		
6	7	Tel.SismoRes.	0	7	8	3,60	3,60	0	0	0	0	0	0	2344	0	0	0	2344	0	0	0	0	60	1		
7	7	Tel.SismoRes.	0	9	10	3,60	3,60	0	0	0	0	0	0	3464	0	0	0	3464	0	0	0	0	60	1		
8	7	Tel.SismoRes.	0	10	11	3,60	3,60	0	0	0	0	0	0	3465	0	0	0	3465	0	0	0	0	60	1		
9	7	Tel.SismoRes.	0	11	12	3,60	3,60	0	0	0	0	0	0	3465	0	0	0	3465	0	0	0	0	60	1		
10	7	Tel.SismoRes.	0	13	14	3,60	3,60	0	0	0	0	0	0	2341	732	0	0	3073	0	0	0	0	60	1		
11	7	Tel.SismoRes.	0	14	15	3,60	3,60	0	0	0	0	0	0	3357	826	0	0	4183	0	0	0	0	60	1		
12	7	Tel.SismoRes.	0	15	29	3,60	3,60	0	0	0	0	0	0	3357	859	0	0	4216	0	0	0	0	60	1		
13	7	Tel.SismoRes.	0	17	18	3,60	3,60	0	0	0	0	0	0	3358	0	0	0	3358	0	0	0	0	60	1		
14	7	Tel.SismoRes.	0	18	19	3,60	3,60	0	0	0	0	0	0	3357	0	0	0	3357	0	0	0	0	60	1		
15	7	Tel.SismoRes.	0	19	20	3,60	3,60	0	0	0	0	0	0	1224	0	0	0	1224	0	0	0	0	60	1		

TRAVI IN C.A. ALLA QUOTA 3.6 m																										
		DATI GENERALI					QUOTE		SCOSTAMENTI						CARICHI											
Trav N.ro	Sez. N.ro	Tipo Elem. x il sisma	Ang Grd	Fil in.	Fil fin	Q in. (m)	Q fin (m)	Dxi cm	Dyi cm	Dzi cm	Dxf cm	Dyf cm	Dzf cm	Pann. kg/m	Tamp. kg/m	Ball. kg/m	Espl. kg/m	Tot. kg/m	Torc. kg	Orizz. kg/m	Assial kg/m	Ali %	Cr Nr	Cit Geo		
16	7	Tel.SismoRes.	0	21	22	3,60	3,60	0	0	0	0	0	0	4628	0	0	0	4628	0	0	0	60	1			
17	7	Tel.SismoRes.	0	22	23	3,60	3,60	0	0	0	0	0	0	1121	0	0	0	1121	0	0	0	60	1			
18	7	Tel.SismoRes.	0	23	24	3,60	3,60	0	0	0	0	0	0	4628	0	0	0	4628	0	0	0	60	1			
19	7	Tel.SismoRes.	0	25	26	3,60	3,60	0	0	0	0	0	0	3612	859	0	0	4471	0	0	0	60	1			
20	7	Tel.SismoRes.	0	26	27	3,60	3,60	0	0	0	0	0	0	0	859	0	0	859	0	0	0	0	1			
21	7	Tel.SismoRes.	0	27	28	3,60	3,60	0	0	0	0	0	0	3612	854	0	0	4466	0	0	0	60	1			
22	7	Tel.SismoRes.	0	1	5	3,60	3,60	0	0	0	0	0	0	2288	732	584	0	3604	0	0	0	48	1			
23	7	Tel.SismoRes.	0	2	6	3,60	3,60	0	0	0	0	0	0	2288	0	0	0	2288	0	0	0	60	1			
24	7	Tel.SismoRes.	0	3	7	3,60	3,60	0	0	0	0	0	0	3254	0	0	0	3254	0	0	0	60	1			
25	7	Tel.SismoRes.	0	4	8	3,60	3,60	0	0	0	0	0	0	3358	0	0	0	3358	0	0	0	60	1			
26	7	Tel.SismoRes.	0	5	9	3,60	3,60	0	0	0	0	0	0	0	732	584	0	1316	0	0	0	0	1			
27	7	Tel.SismoRes.	0	6	10	3,60	3,60	0	0	0	0	0	0	0	0	0	0	0	0	0	0	0	1			
28	7	Tel.SismoRes.	0	7	11	3,60	3,60	0	0	0	0	0	0	0	0	0	0	0	0	0	0	0	1			
29	7	Tel.SismoRes.	0	8	12	3,60	3,60	0	0	0	0	0	0	0	0	0	0	0	0	0	0	0	1			
30	7	Tel.SismoRes.	0	9	14	3,60	3,60	0	0	0	0	0	0	0	580	584	0	1163	0	0	0	0	1			
31	7	Tel.SismoRes.	0	10	15	3,60	3,60	0	0	0	0	0	0	0	0	0	0	0	0	0	0	0	1			
32	7	Tel.SismoRes.	0	12	16	3,60	3,60	0	0	0	0	0	0	0	0	0	0	0	0	0	0	0	1			
33	7	Tel.SismoRes.	0	29	16	3,60	3,60	0	0	0	0	0	0	1224	854	0	0	2078	0	0	0	60	1			
34	7	Tel.SismoRes.	0	11	29	3,60	3,60	0	0	0	0	0	0	0	0	0	0	0	0	0	0	0	1			
35	7	Tel.SismoRes.	0	13	17	3,60	3,60	0	0	0	0	0	0	0	824	0	0	824	0	0	0	0	1			
36	7	Tel.SismoRes.	0	15	18	3,60	3,60	0	0	0	0	0	0	0	0	0	0	0	0	0	0	0	1			
37	7	Tel.SismoRes.	0	16	20	3,60	3,60	0	0	0	0	0	0	0	0	0	0	0	0	0	0	0	1			
38	7	Tel.SismoRes.	0	17	21	3,60	3,60	0	0	0	0	0	0	0	732	0	0	732	0	0	0	0	1			
39	7	Tel.SismoRes.	0	18	22	3,60	3,60	0	0	0	0	0	0	0	0	0	0	0	0	0	0	0	1			
40	7	Tel.SismoRes.	0	19	23	3,60	3,60	0	0	0	0	0	0	0	0	0	0	0	0	0	0	0	1			
41	7	Tel.SismoRes.	0	20	24	3,60	3,60	0	0	0	0	0	0	0	0	0	0	0	0	0	0	0	1			
42	7	Tel.SismoRes.	0	21	25	3,60	3,60	0	0	0	0	0	0	0	859	0	0	859	0	0	0	0	1			
43	7	Tel.SismoRes.	0	22	26	3,60	3,60	0	0	0	0	0	0	3508	0	0	0	3508	0	0	0	60	1			
44	7	Tel.SismoRes.	0	23	27	3,60	3,60	0	0	0	0	0	0	3508	0	0	0	3508	0	0	0	60	1			
45	7	Tel.SismoRes.	0	24	28	3,60	3,60	0	0	0	0	0	0	0	0	0	0	0	0	0	0	0	1			
46	7	Tel.SismoRes.	0	29	19	3,60	3,60	0	0	0	0	0	0	0	0	0	0	0	0	0	0	0	1			

TRAVI IN C.A. ALLA QUOTA 7.2 m																									
		DATI GENERALI					QUOTE		SCOSTAMENTI					CARICHI											
Trav N.ro	Sez. N.ro	Tipo Elem. x il sisma	Ang Grd	Fil in.	Fil fin	Q in. (m)	Q fin (m)	Dxi cm	Dyi cm	Dzi cm	Dxf cm	Dyf cm	Dzf cm	Pann. kg/m	Tamp. kg/m	Ball. kg/m	Espl. kg/m	Tot. kg/m	Torc. kg	Orizz. kg/m	Assial kg/m	Ali %	Cr Nr	Cit Geo	
1	7	Tel.SismoRes.	0	14	15	7,20	7,20	0	0	0	0	0	0	1604	0	0	0	1604	0	0	0	0	1		
10	7	Tel.SismoRes.	0	13	14	7,20	7,20	0	0	0	0	0	0	1665	0	0	0	1665	0	0	0	0	1		
12	7	Tel.SismoRes.	0	15	29	7,20	7,20	0	0	0	0	0	0	1604	0	0	0	1604	0	0	0	0	1		
13	7	Tel.SismoRes.	0	17	18	7,20	7,20	0	0	0	0	0	0	2400	0	0	0	2400	0	0	0	0	1		
14	7	Tel.SismoRes.	0	18	19	7,20	7,20	0	0	0	0	0	0	2400	0	0	0	2400	0	0	0	0	1		
15	7	Tel.SismoRes.	0	19	20	7,20	7,20	0	0	0	0	0	0	2400	0	0	0	2400	0	0	0	0	1		
16	7	Tel.SismoRes.	0	21	22	7,20	7,20	0	0	0	0	0	0	796	0	0	0	796	0	0	0	0	1		
17	7	Tel.SismoRes.	0	22	23	7,20	7,20	0	0	0	0	0	0	3537	0	0	0	3537	0	0	0	0	1		
18	7	Tel.SismoRes.	0	23	24	7,20	7,20	0	0	0	0	0	0	3319	0	0	0	3319	0	0	0	0	1		
19	7	Tel.SismoRes.	0	25	26	7,20	7,20	0	0	0	0	0	0	0	0	584	0	584	0	0	0	0	1		
20	7	Tel.SismoRes.	0	26	27	7,20	7,20	0	0	0	0	0	0	2741	0	584	0	3325	0	0	0	0	1		
21	7	Tel.SismoRes.	0	27	28	7,20	7,20	0	0	0	0	0	0	2523	0	584	0	3107	0	0	0	0	1		
33	7	Tel.SismoRes.	0	29	16	7,20	7,20	0	0	0	0	0	0	1604	0	0	0	1604	0	0	0	0	1		
35	7	Tel.SismoRes.	0	13	17	7,20	7,20	0	0	0	0	0	0	0	0	736	0	736	0	0	0	0	1		
36	7	Tel.SismoRes.	0	15	18	7,20	7,20	0	0	0	0	0	0	0	0	0	0	0	0	0	0	0	1		
37	7	Tel.SismoRes.	0	16	20	7,20	7,20	0	0	0	0	0	0	0	0	0	0	0	0	0	0	0	1		
38	7	Tel.SismoRes.	0	17	21	7,20	7,20	0	0	0	0	0	0	0	0	584	0	584	0	0	0	0	1		
39	7	Tel.SismoRes.	0	18	22	7,20	7,20	0	0	0	0	0	0	0	0	0	0	0	0	0	0	0	1		
40	7	Tel.SismoRes.	0	19	23	7,20	7,20	0	0	0	0	0	0	0	0	0	0	0	0	0	0	0	1		
41	7	Tel.SismoRes.	0	20	24	7,20	7,20	0	0	0	0	0	0	0	0	0	0	0	0	0	0	0	1		
42	7	Tel.SismoRes.	0	21	25	7,20	7,20	0	0	0	0	0	0	2523	0	682	0	3205	0	0	0	0	1		
43	7	Tel.SismoRes.	0	22	26	7,20	7,20	0	0	0	0	0	0	2523	0	0	0	2523	0	0	0	0	1		
44	7	Tel.SismoRes.	0	23	27	7,20	7,20	0	0	0	0	0	0	0	0	0	0	0	0	0	0	0	1		
45	7	Tel.SismoRes.	0	24	28	7,20	7,20	0	0	0	0	0	0	0	0	0	0	0	0	0	0	0	1		
46	7	Tel.SismoRes.	0	29	19	7,20	7,20	0	0	0	0	0	0	0	0	0	0	0	0	0	0	0	1		

TRAVI IN ACCIAIO/LEGNO ALLA QUOTA 7.2 m																							
		DATI GENERALI				QUOTE		SCOSTAMENTI						CARICHI									
Trav N.ro	Sez. N.ro	Tipo Elemento fini sismici	Ang Grd	Fil in.	Fil fin	Q in. (m)	Q fin (m)	Dxi cm	Dyi cm	Dzi cm	Dxf cm	Dyf cm	Dzf cm	Pann	Tamp	Ball kg / m	Espl	Tot.	Torc kg	Orizz kg / m	Assia	Ali %	Crit N.ro
2	195	Tel.SismoRes.	0	1	2	7,20	7,20	0	0	0	0	0	0	0	0	0	0	0	0	0	0	0	101
3	195	Tel.SismoRes.	0	2	3	7,20	7,20	0	0	0	0	0	0	1420	0	0	0	1420	0	0	0	0	101
4	195	Tel.SismoRes.	0	3	4	7,20	7,20	0	0	0	0	0	0	0	0	0	0	0	0	0	0	0	101
5	195	Tel.SismoRes.	0	5	6	7,20	7,20	0	0	0	0	0	0	962	0	0	0	962	0	0	0	0	101
6	195	Tel.SismoRes.	0	6	7	7,20	7,20	0	0	0	0	0	0	1420	0	0	0	1420	0	0	0	0	101
7	195	Tel.SismoRes.	0	7	8	7,20	7,20	0	0	0	0	0	0	0	0	0	0	0	0	0	0	0	101
8	195	Tel.SismoRes.	0	9	10	7,20	7,20	0	0	0	0	0	0	962	0	0	0	962	0	0	0	0	101
9	195	Tel.SismoRes.	0	10	11	7,20	7,20	0	0	0	0	0	0	0	0	0	0	0	0	0	0	0	101
11	195	Tel.SismoRes.	0	11	12	7,20	7,20	0	0	0	0	0	0	0	0	0	0	0	0	0	0	0	101
22	195	Tel.SismoRes.	0	1	5	7,20	7,20	0	0	0	0	0	0	940	0	0	0	940	0	0	0	0	101
23	195	Tel.SismoRes.	0	2	6	7,20	7,20	0	0	0	0	0	0	940	0	0	0	940	0	0	0	0	101
24	195	Tel.SismoRes.	0	3	7	7,20	7,20	0	0	0	0	0	0	1320	0	0	0	1320	0	0	0	0	101
25	195	Tel.SismoRes.	0	4	8	7,20	7,20	0	0	0	0	0	0	1320	0	0	0	1320	0	0	0	0	101
26	195	Tel.SismoRes.	0	5	9	7,20	7,20	0	0	0	0	0	0	0	0	0	0	0	0	0	0	0	101
27	195	Tel.SismoRes.	0	6	10	7,20	7,20	0	0	0	0	0	0	1420	0	0	0	1420	0	0	0	0	101
28	195	Tel.SismoRes.	0	7	11	7,20	7,20	0	0	0	0	0	0	1420	0	0	0	1420	0	0	0	0	101
29	195	Tel.SismoRes.	0	8	12	7,20	7,20	0	0	0	0	0	0	0	0	0	0	0	0	0	0	0	101

TRAVI IN ACCIAIO/LEGNO ALLA QUOTA 7.2 m																							
		DATI GENERALI					QUOTE		SCOSTAMENTI					CARICHI									
Trav N.ro	Sez. N.ro	Tipo Elemento fini sismici	Ang Grd	Fil in.	Fil fin	Q in. (m)	Q fin (m)	Dxi cm	Dyi cm	Dzi cm	Dxf cm	Dyf cm	Dzf cm	Pann	Tamp	Ball kg / m	Espl	Tot.	Torc kg	Orizz kg / m	Assia	Ali %	Crit N.ro
30	195	Tel.SismoRes.	0	9	14	7,20	7,20	0	0	0	0	0	0	940	0	0	0	940	0	0	0	0	101
31	195	Tel.SismoRes.	0	10	15	7,20	7,20	0	0	0	0	0	0	2360	0	0	0	2360	0	0	0	0	101
32	195	Tel.SismoRes.	0	11	29	7,20	7,20	0	0	0	0	0	0	2739	0	0	0	2739	0	0	0	0	101
34	195	Tel.SismoRes.	0	12	16	7,20	7,20	0	0	0	0	0	0	1320	0	0	0	1320	0	0	0	0	101

DATI ARMATURE TRAVI - SEZIONE A 'T' - QUOTA: 0 m																						
ASTE IN C.A. CON SEZIONE A 'T'																						
IDENTIFICATI		ARMATURE DI INPUT												AGGIUNTIVE		RINFORZO IN FRP						
Asta Num.	Con cio	FiSp mm	NFer Sup.	FiSu mm	NFerr InfSx	NFerr InfCe	NFerr InfDx	FiInf mm	NFerr Paret	FiPar mm	FiSta mm	PsSta cm	Brac Y	AfSup cmq	AfInf cmq	Mat. N.ro	Lung cm	Rag. mm	Num Avv	Nod Con	Condiz. Ambient	SpSol cm
1	Iniz.	16	1	16	0	3	0	16	3	12	8	15	2	0,0	0,0							
	Mezz.	16	2	18	0	2	0	16	0	12	8	15	2	0,0	0,0							
	Final	16	1	16	0	6	0	16	3	12	8	15	2	0,0	0,0							
2	Iniz.	16	1	16	0	2	0	16	3	12	8	15	2	0,0	0,0							
	Mezz.	16	2	16	0	2	0	16	0	12	8	15	2	0,0	0,0							
	Final	16	1	16	0	6	0	16	3	12	8	15	2	0,0	0,0							
3	Iniz.	16	0	16	0	6	0	16	3	12	8	15	2	0,0	0,0							
	Mezz.	16	2	18	0	2	0	16	0	12	8	15	2	0,0	0,0							
	Final	16	1	16	0	5	0	16	2	12	8	15	2	0,0	0,0							
4	Iniz.	16	1	16	0	3	0	16	3	12	8	15	2	0,0	0,0							
	Mezz.	16	2	18	0	2	0	16	0	12	8	15	2	0,0	0,0							
	Final	16	1	16	0	6	0	16	3	12	8	15	2	0,0	0,0							
5	Iniz.	16	1	16	0	2	0	16	3	12	8	15	2	0,0	0,0							
	Mezz.	16	2	16	0	2	0	16	0	12	8	15	2	0,0	0,0							
	Final	16	1	16	0	6	0	16	3	12	8	15	2	0,0	0,0							
6	Iniz.	16	0	16	0	6	0	16	3	12	8	15	2	0,0	0,0							
	Mezz.	16	2	18	0	2	0	16	0	12	8	15	2	0,0	0,0							
	Final	16	1	16	0	5	0	16	2	12	8	15	2	0,0	0,0							
7	Iniz.	16	1	16	0	3	0	16	3	12	8	15	2	0,0	0,0							
	Mezz.	16	2	18	0	2	0	16	0	12	8	15	2	0,0	4,0							
	Final	16	1	16	0	6	0	16	3	12	8	15	2	0,0	0,0							
8	Iniz.	16	1	16	0	2	0	16	3	12	8	15	2	0,0	0,0							
	Mezz.	16	2	16	0	2	0	16	0	12	8	15	2	0,0	0,0							
	Final	16	1	16	0	6	0	16	3	12	8	15	2	0,0	0,0							
9	Iniz.	16	0	16	0	6	0	16	3	12	8	15	2	0,0	0,0							
	Mezz.	16	2	18	0	2	0	16	0	12	8	15	2	0,0	0,0							
	Final	16	1	16	0	5	0	16	2	12	8	15	2	0,0	0,0							
10	Iniz.	16	1	18	0	5	0	16	1	12	8	15	2	0,0	0,0							
	Mezz.	16	2	18	0	5	0	16	0	12	8	15	2	0,0	0,0							
	Final	16	1	18	0	4	0	16	1	12	8	15	2	0,0	0,0							
11	Iniz.	16	1	18	0	6	0	16	3	12	8	15	2	0,0	0,0							
	Mezz.	16	2	18	0	2	0	16	0	12	8	15	2	0,0	0,0							
	Final	16	1	18	0	7	0	16	3	12	8	15	2	0,0	0,0							
12	Iniz.	16	1	18	0	8	0	16	4	12	8	15	2	0,0	0,0							
	Mezz.	16	3	18	0	2	0	16	0	12	8	15	2	0,0	0,0							
	Final	16	0	18	0	8	0	16	4	12	8	15	2	0,0	0,0							
13	Iniz.	16	0	18	0	8	0	16	4	12	8	15	2	0,0	0,0							
	Mezz.	16	3	18	0	2	0	16	0	12	8	15	2	0,0	0,0							
	Final	16	1	18	0	7	0	16	3	12	8	15	2	0,0	0,0							
14	Iniz.	16	1	18	0	3	0	16	3	12	8	15	2	0,0	0,0							
	Mezz.	16	3	18	0	2	0	16	0	18	8	15	2	0,0	0,0							
	Final	16	1	18	0	8	0	16	4	12	8	15	2	0,0	0,0							
15	Iniz.	16	0	18	0	8	0	16	4	12	8	15	2	0,0	0,0							
	Mezz.	16	3	18	0	2	0	16	0	18	8	15	2	0,0	0,0							
	Final	16	0	18	0	8	0	16	4	12	8	15	2	0,0	0,0							
16	Iniz.	16	1	18	0	8	0	16	4	12	8	15	2	0,0	0,0							
	Mezz.	16	3	18	0	2	0	16	0	18	8	15	2	0,0	0,0							
	Final	16	1	18	0	7	0	16	4	12	8	15	2	0,0	0,0							
17	Iniz.	16	1	18	0	3	4	16	3	12	8	15	2	0,0	0,0							
	Mezz.	16	3	18	0	2	4	16	0	18	8	15	2	0,0	0,0							
	Final	16	1	18	0	8	0	16	4	12	8	15	2	0,0	0,0							
18	Iniz.	16	0	18	0	8	0	16	4	12	8	15	2	0,0	0,0							
	Mezz.	16	3	18	0	2	0	16	0	18	8	15	2	0,0	0,0							

DATI ARMATURE TRAVI - SEZIONE A 'T' - QUOTA: 0 m																						
ASTE IN C.A. CON SEZIONE A 'T'																						
IDENTIFICATI		ARMATURE DI INPUT												AGGIUNTIVE		RINFORZO IN FRP						
Asta Num.	Con cio	FiSp mm	NFer Sup.	FiSu mm	NFerr InfSx	NFerr InfCe	NFerr InfDx	FiInf mm	NFerr Paret	FiPar mm	FiSta mm	PsSta cm	Brac Y	AfSup cmq	AfInf cmq	Mat. N.ro	Lung cm	Rag. mm	Num Avv	Nod Con	Condiz. Ambient	SpSol cm
	Final	16	0	18	0	8	0	16	4	12	8	15	2	0,0	0,0							
19	Iniz.	16	1	18	0	8	0	16	4	12	8	15	2	0,0	0,0							
	Mezz.	16	3	18	0	2	0	16	0	18	8	15	2	0,0	0,0							
	Final	16	1	18	0	7	0	16	4	12	8	15	2	0,0	0,0							
20	Iniz.	16	1	18	0	3	0	16	3	12	8	15	2	0,0	0,0							
	Mezz.	16	3	18	0	2	0	16	0	18	8	15	2	0,0	0,0							
	Final	16	1	18	0	8	0	16	4	12	8	15	2	0,0	0,0							
21	Iniz.	16	0	18	0	8	0	16	4	12	8	15	2	0,0	0,0							
	Mezz.	16	3	18	0	2	0	16	0	18	8	15	2	0,0	0,0							
	Final	16	0	18	0	8	0	16	4	12	8	15	2	0,0	0,0							
22	Iniz.	16	1	18	0	8	0	16	4	12	8	15	2	0,0	0,0							
	Mezz.	16	3	18	0	2	0	16	0	18	8	15	2	0,0	0,0							
	Final	16	1	18	0	7	0	16	4	12	8	15	2	0,0	0,0							
23	Iniz.	16	0	16	0	5	0	16	3	12	8	15	2	0,0	0,0							
	Mezz.	16	3	16	0	2	0	16	0	12	8	15	2	0,0	0,0							
	Final	16	0	16	0	7	0	16	4	12	8	15	2	0,0	0,0							
24	Iniz.	16	0	16	0	7	0	16	3	12	8	15	2	0,0	0,0							
	Mezz.	16	2	16	0	2	0	16	0	12	8	15	2	0,0	0,0							
	Final	16	0	16	0	7	0	16	3	12	8	15	2	0,0	0,0							
25	Iniz.	16	1	16	0	2	0	16	1	12	8	15	2	0,0	0,0							
	Mezz.	16	1	16	0	4	0	16	0	12	8	15	2	0,0	0,0							
	Final	16	1	16	0	4	0	16	1	12	8	15	2	0,0	0,0							
26	Iniz.	16	0	16	0	2	0	16	3	12	8	15	2	0,0	0,0							
	Mezz.	16	3	16	0	2	0	16	0	12	8	15	2	0,0	0,0							
	Final	16	0	16	0	7	0	16	3	12	8	15	2	0,0	0,0							
27	Iniz.	16	0	16	0	2	0	16	3	12	8	15	2	0,0	0,0							
	Mezz.	16	3	16	0	2	0	16	0	12	8	15	2	0,0	0,0							
	Final	16	0	16	0	7	0	16	3	12	8	15	2	0,0	0,0							
28	Iniz.	16	0	16	0	2	0	16	3	12	8	15	2	0,0	0,0							
	Mezz.	16	3	16	0	2	0	16	0	12	8	15	2	0,0	0,0							
	Final	16	0	16	0	7	0	16	3	12	8	15	2	0,0	0,0							
29	Iniz.	16	0	16	0	7	0	16	3	12	8	15	2	0,0	0,0							
	Mezz.	16	2	16	0	2	0	16	0	12	8	15	2	0,0	0,0							
	Final	16	0	16	0	6	0	16	3	12	8	15	2	0,0	0,0							
30	Iniz.	16	0	16	0	7	0	16	3	12	8	15	2	0,0	0,0							
	Mezz.	16	2	16	0	2	0	16	0	12	8	15	2	0,0	0,0							
	Final	16	0	16	0	6	0	16	3	12	8	15	2	0,0	0,0							
31	Iniz.	16	0	16	0	7	0	16	3	12	8	15	2	0,0	0,0							
	Mezz.	16	2	16	0	2	0	16	0	12	8	15	2	0,0	0,0							
	Final	16	0	16	0	6	0	16	3	12	8	15	2	0,0	0,0							
32	Iniz.	16	0	16	0	6	0	16	1	12	8	15	2	0,0	0,0							
	Mezz.	16	0	16	0	6	0	16	0	12	8	15	2	0,0	0,0							
	Final	16	0	16	0	6	0	16	1	12	8	15	2	0,0	0,0							
33	Iniz.	16	0	16	0	6	0	16	1	12	8	15	2	0,0	0,0							
	Mezz.	16	0	16	0	6	0	16	0	12	8	15	2	0,0	0,0							
	Final	16	0	16	0	6	0	16	1	12	8	15	2	0,0	0,0							
34	Iniz.	16	0	16	0	6	0	16	1	12	8	15	2	0,0	0,0							
	Mezz.	16	0	16	0	6	0	16	0	12	8	15	2	0,0	0,0							
	Final	16	0	16	0	6	0	16	1	12	8	15	2	0,0	0,0							
35	Iniz.	16	0	16	0	2	0	16	3	12	8	15	2	0,0	0,0							
	Mezz.	16	2	16	0	2	0	16	0	12	8	15	2	0,0	0,0							
	Final	16	0	16	0	7	0	16	3	12	8	15	2	0,0	0,0							
36	Iniz.	16	0	16	0	4	0	16	3	12	8	15	2	0,0	0,0							
	Mezz.	16	2	16	0	2	0	16	0	12	8	15	2	0,0	0,0							
	Final	16	0	16	0	7	0	16	3	12	8	15	2	0,0	0,0							
37	Iniz.	16	0	16	0	4	0	16	3	12	8	15	2	0,0	0,0							
	Mezz.	16	2	16	0	2	0	16	0	12	8	15	2	0,0	0,0							
	Final	16	0	16	0	7	0	16	3	12	8	15	2	0,0	0,0							
38	Iniz.	16	0	16	0	7	0	16	1	12	8	15	2	0,0	0,0							

DATI ARMATURE TRAVI - SEZIONE A 'T' - QUOTA: 0 m																						
ASTE IN C.A. CON SEZIONE A 'T'																						
IDENTIFICATI		ARMATURE DI INPUT												AGGIUNTIVE		RINFORZO IN FRP						
Asta Num.	Con cio	FiSp mm	NFer Sup.	FiSu mm	NFerr InfSx	NFerr InfCe	NFerr InfDx	Filnf mm	NFerr Paret	FiPar mm	FiSta mm	PsSta cm	Brac Y	AfSup cmq	AfInf cmq	Mat. N.ro	Lung cm	Rag. mm	Num Avv	Nod Con	Condiz. Ambient	SpSol cm
	Mezz. Final	16 16	2 0	16 16	0 0	7 7	0 0	16 16	0 1	12 12	8 8	15 15	2 2	0,0 0,0	0,0 0,0							
39	Iniz. Mezz. Final	16 16 16	0 0 0	16 16 16	0 0 0	7 7 7	0 0 0	16 16 16	1 0 1	12 12 12	8 8 8	15 15 15	2 2 2	0,0 0,0 0,0	0,0 0,0 0,0							
40	Iniz. Mezz. Final	16 16 16	0 0 0	16 16 16	0 0 0	7 7 7	0 0 0	16 16 16	1 0 1	12 12 12	8 8 8	15 15 15	2 2 2	0,0 0,0 0,0	0,0 0,0 0,0							
41	Iniz. Mezz. Final	16 16 16	0 0 0	16 16 16	0 0 0	7 7 7	0 0 0	16 16 16	1 0 1	12 12 12	8 8 8	15 15 15	2 2 2	0,0 0,0 0,0	0,0 0,0 0,0							
42	Iniz. Mezz. Final	16 16 16	0 2 0	16 16 16	0 0 0	4 2 7	0 0 0	16 16 16	3 0 3	12 12 12	8 8 8	15 15 15	2 2 2	0,0 0,0 0,0	0,0 0,0 0,0							
43	Iniz. Mezz. Final	16 16 16	0 3 0	16 16 16	0 0 0	7 2 5	0 0 0	16 16 16	4 0 3	12 12 12	8 8 8	15 15 15	2 2 2	0,0 0,0 0,0	0,0 0,0 0,0							
44	Iniz. Mezz. Final	16 16 16	0 3 0	16 16 16	0 0 0	7 2 5	0 0 0	16 16 16	4 0 3	12 12 12	8 8 8	15 15 15	2 2 2	0,0 0,0 0,0	0,0 0,0 0,0							
45	Iniz. Mezz. Final	16 16 16	0 3 0	16 16 16	0 0 0	7 2 5	0 0 0	16 16 16	4 0 3	12 12 12	8 8 8	15 15 15	2 2 2	0,0 0,0 0,0	0,0 0,0 0,0							
46	Iniz. Mezz. Final	16 16 16	0 3 0	16 16 16	0 0 0	7 2 5	0 0 0	16 16 16	4 0 3	12 12 12	8 8 8	15 15 15	2 2 2	0,0 0,0 0,0	0,0 0,0 0,0							

DATI ARMATURE PILASTRI - SEZIONE RETTANGOLARE - QUOTA: 3.6 m																					
ASTE IN C.A. CON SEZIONE RETTANGOLARE																					
IDENTIFICATIVO		ARMATURE DI INPUT												AGGIUNTIVE		RINFORZO IN FRP					
Asta Num.	Concio	FiSp mm	NFer Sup.	FiSu mm	NFer Inf.	FiIn mm	NFer Par.	FiPa mm	FiSt mm	PsSt cm	Brac DirX	Brac DirY	AfSup cmq	AfInf cmq	Mat. N.ro	Lung cm	Rag. mm	Num Avv	Nod Con	Condiz. Ambient	SpSol cm
1	Iniz. Mezz. Finale	18 18 18	2 2 2	18 18 18	2 2 2	18 18 18	2 2 2	18 18 18	8 8 8	15 15 15	2 2 2	2 2 2	0,0 0,0 0,0	0,0 0,0 0,0							
2	Iniz. Mezz. Finale	18 18 18	2 2 2	18 18 18	2 2 2	18 18 18	2 2 2	18 18 18	8 8 8	15 15 15	2 2 2	2 2 2	0,0 0,0 0,0	0,0 0,0 0,0							
3	Iniz. Mezz. Finale	18 18 18	2 2 2	18 18 18	2 2 2	18 18 18	2 2 2	18 18 18	8 8 8	15 15 15	2 2 2	2 2 2	0,0 0,0 0,0	0,0 0,0 0,0							
4	Iniz. Mezz. Finale	18 18 18	2 2 2	18 18 18	2 2 2	18 18 18	2 2 2	18 18 18	8 8 8	15 15 15	2 2 2	2 2 2	0,0 0,0 0,0	0,0 0,0 0,0							
5	Iniz. Mezz. Finale	18 18 18	2 2 2	18 18 18	2 2 2	18 18 18	2 2 2	18 18 18	8 8 8	15 15 15	2 2 2	2 2 2	0,0 0,0 0,0	0,0 0,0 0,0							
6	Iniz. Mezz. Finale	18 18 18	2 2 2	18 18 18	2 2 2	18 18 18	2 2 2	18 18 18	8 8 8	15 15 15	2 2 2	2 2 2	0,0 0,0 0,0	0,0 0,0 0,0							
7	Iniz. Mezz. Finale	18 18 18	2 2 2	18 18 18	2 2 2	18 18 18	2 2 2	18 18 18	8 8 8	15 15 15	2 2 2	2 2 2	0,0 0,0 0,0	0,0 0,0 0,0							
8	Iniz. Mezz. Finale	18 18 18	2 2 2	18 18 18	2 2 2	18 18 18	2 2 2	18 18 18	8 8 8	15 15 15	2 2 2	2 2 2	0,0 0,0 0,0	0,0 0,0 0,0							
9	Iniz. Mezz. Finale	18 18 18	2 2 2	18 18 18	2 2 2	18 18 18	2 2 2	18 18 18	8 8 8	15 15 15	2 2 2	2 2 2	0,0 0,0 0,0	0,0 0,0 0,0							

## DATI ARMATURE PILASTRI - SEZIONE RETTANGOLARE - QUOTA: 3.6 m

## ASTE IN C.A. CON SEZIONE RETTANGOLARE

IDENTIFICATIVO		ARMATURE DI INPUT											AGGIUNTIVE		RINFORZO IN FRP						
Asta Num.	Concio	FiSp mm	NFer Sup.	FiSu mm	NFer Inf.	FiIn mm	NFer Par.	FiPa mm	FiSt mm	PsSt cm	Brac DirX	Brac DirY	AfSup cmq	AfInf cmq	Mat. N.ro	Lung cm	Rag. mm	Num Avv	Nod Con	Condiz. Ambient	SpSol cm
10	Iniz.	18	2	18	2	18	2	18	8	15	2	2	0,0	0,0							
	Mezz. Finale	18	2	18	2	18	2	18	8	15	2	2	0,0	0,0							
11	Iniz.	18	2	18	2	18	2	18	8	15	2	2	0,0	0,0							
	Mezz. Finale	18	2	18	2	18	2	18	8	15	2	2	0,0	0,0							
12	Iniz.	18	2	18	2	18	2	18	8	15	2	2	0,0	0,0							
	Mezz. Finale	18	2	18	2	18	2	18	8	15	2	2	0,0	0,0							
13	Iniz.	18	2	18	2	18	2	18	8	15	2	2	0,0	0,0							
	Mezz. Finale	18	2	18	2	18	2	18	8	15	2	2	0,0	0,0							
14	Iniz.	18	2	18	2	18	2	18	8	15	2	2	0,0	0,0							
	Mezz. Finale	18	2	18	2	18	2	18	8	15	2	2	0,0	0,0							
15	Iniz.	18	2	18	2	18	2	18	8	15	2	2	0,0	0,0							
	Mezz. Finale	18	2	18	2	18	2	18	8	15	2	2	0,0	0,0							
16	Iniz.	18	2	18	2	18	2	18	8	15	2	2	0,0	0,0							
	Mezz. Finale	18	2	18	2	18	2	18	8	15	2	2	0,0	0,0							
17	Iniz.	18	2	18	2	18	2	18	8	15	2	2	0,0	0,0							
	Mezz. Finale	18	2	18	2	18	2	18	8	15	2	2	0,0	0,0							
18	Iniz.	18	2	18	2	18	2	18	8	15	2	2	0,0	0,0							
	Mezz. Finale	18	2	18	2	18	2	18	8	15	2	2	0,0	0,0							
19	Iniz.	18	2	18	2	18	2	18	8	15	2	2	0,0	0,0							
	Mezz. Finale	18	2	18	2	18	2	18	8	15	2	2	0,0	0,0							
20	Iniz.	18	2	18	2	18	2	18	8	15	2	2	0,0	0,0							
	Mezz. Finale	18	2	18	2	18	2	18	8	15	2	2	0,0	0,0							
21	Iniz.	18	2	18	2	18	2	18	8	15	2	2	0,0	0,0							
	Mezz. Finale	18	2	18	2	18	2	18	8	15	2	2	0,0	0,0							
22	Iniz.	18	2	18	2	18	2	18	8	15	2	2	0,0	0,0							
	Mezz. Finale	18	2	18	2	18	2	18	8	15	2	2	0,0	0,0							
23	Iniz.	18	2	18	2	18	2	18	8	15	2	2	0,0	0,0							
	Mezz. Finale	18	2	18	2	18	2	18	8	15	2	2	0,0	0,0							
24	Iniz.	18	2	18	2	18	2	18	8	15	2	2	0,0	0,0							
	Mezz. Finale	18	2	18	2	18	2	18	8	15	2	2	0,0	0,0							
25	Iniz.	18	2	18	2	18	2	18	8	15	2	2	0,0	0,0							
	Mezz. Finale	18	2	18	2	18	2	18	8	15	2	2	0,0	0,0							
26	Iniz.	18	2	18	2	18	2	18	8	15	2	2	0,0	0,0							
	Mezz. Finale	18	2	18	2	18	2	18	8	15	2	2	0,0	0,0							
27	Iniz.	18	2	18	2	18	2	18	8	15	2	2	0,0	0,0							
	Mezz. Finale	18	2	18	2	18	2	18	8	15	2	2	0,0	0,0							
28	Iniz.	18	2	18	2	18	2	18	8	15	2	2	0,0	0,0							

## DATI ARMATURE PILASTRI - SEZIONE RETTANGOLARE - QUOTA: 3.6 m

ASTE IN C.A. CON SEZIONE RETTANGOLARE																					
IDENTIFICATIVO		ARMATURE DI INPUT											AGGIUNTIVE		RINFORZO IN FRP						
Asta Num.	Concio	FiSp mm	NFer Sup.	FiSu mm	NFer Inf.	Filn mm	NFer Par.	FiPa mm	FiSt mm	PsSt cm	Brac DirX	Brac DirY	AfSup cmq	AfInf cmq	Mat. N.ro	Lung cm	Rag. mm	Num Avv	Nod Con	Condiz. Ambient	SpSol cm
	Mezz. Finale	18	2	18	2	18	2	18	8	15	2	2	0,0	0,0							
29	Iniz. Mezz. Finale	18	2	18	2	18	2	18	8	15	2	2	0,0	0,0							
		18	2	18	2	18	2	18	8	15	2	2	0,0	0,0							

## DATI ARMATURE TRAVI - SEZIONE RETTANGOLARE - QUOTA: 3.6 m

ASTE IN C.A. CON SEZIONE RETTANGOLARE																					
IDENTIFICATIVO		ARMATURE DI INPUT											AGGIUNTIVE		RINFORZO IN FRP						
Asta Num.	Concio	FiSp mm	NFer Sup.	FiSu mm	NFer Inf.	Filn mm	NFer Par.	FiPa mm	FiSt mm	PsSt cm	Brac DirX	Brac DirY	AfSup cmq	AfInf cmq	Mat. N.ro	Lung cm	Rag. mm	Num Avv	Nod Con	Condiz. Ambient	SpSol cm
1	Iniz. Mezz. Finale	16	3	16	0	16	2	12	8	15	2	2	0,0	0,0							
		16	0	16	2	16	0	12	8	15	2	2	0,0	0,0							
		16	9	18	1	16	3	12	8	15	2	2	0,0	0,0							
2	Iniz. Mezz. Finale	16	9	16	0	16	4	12	8	15	2	2	0,0	0,0							
		16	0	18	4	16	0	12	8	15	2	2	0,0	0,0							
		16	10	16	1	16	5	12	8	15	2	2	0,0	0,0							
3	Iniz. Mezz. Finale	16	10	16	0	16	4	12	8	15	2	2	0,0	0,0							
		16	0	16	3	16	0	12	8	15	2	2	0,0	0,0							
		16	4	18	0	16	3	12	8	15	2	2	0,0	0,0							
4	Iniz. Mezz. Finale	16	3	16	0	16	2	12	8	15	2	2	0,0	0,0							
		16	0	16	2	16	0	12	8	15	2	2	0,0	0,0							
		16	9	18	1	16	3	12	8	15	2	2	0,0	0,0							
5	Iniz. Mezz. Finale	16	9	16	0	16	4	12	8	15	2	2	0,0	0,0							
		16	0	18	4	16	0	12	8	15	2	2	0,0	0,0							
		16	10	16	1	16	5	12	8	15	2	2	0,0	0,0							
6	Iniz. Mezz. Finale	16	10	16	0	16	4	12	8	15	2	2	0,0	0,0							
		16	0	16	3	16	0	12	8	15	2	2	0,0	0,0							
		16	4	18	0	16	3	12	8	15	2	2	0,0	0,0							
7	Iniz. Mezz. Finale	16	3	16	0	16	2	12	8	15	2	2	0,0	0,0							
		16	0	16	2	16	0	12	8	15	2	2	0,0	0,0							
		16	9	18	1	16	3	12	8	15	2	2	0,0	0,0							
8	Iniz. Mezz. Finale	16	9	16	0	16	4	12	8	15	2	2	0,0	0,0							
		16	0	18	4	16	0	12	8	15	2	2	0,0	0,0							
		16	10	16	1	16	5	12	8	15	2	2	0,0	0,0							
9	Iniz. Mezz. Finale	16	10	16	0	16	4	12	8	15	2	2	0,0	0,0							
		16	0	16	3	16	0	12	8	15	2	2	0,0	0,0							
		16	4	18	0	16	3	12	8	15	2	2	0,0	0,0							
10	Iniz. Mezz. Finale	16	3	18	1	16	1	12	8	15	2	2	0,0	0,0							
		16	3	18	2	16	0	12	8	15	2	2	0,0	0,0							
		16	3	18	1	16	1	12	8	15	2	2	0,0	0,0							
11	Iniz. Mezz. Finale	16	3	18	1	16	3	12	8	15	2	2	0,0	0,0							
		16	1	18	4	16	0	12	8	15	2	2	0,0	0,0							
		16	6	18	1	16	3	12	8	15	2	2	0,0	0,0							
12	Iniz. Mezz. Finale	16	6	18	1	16	3	12	8	15	2	2	0,0	0,0							
		16	3	18	3	16	0	12	8	15	2	2	0,0	0,0							
		16	7	18	0	16	3	12	8	15	2	2	0,0	0,0							
13	Iniz. Mezz. Finale	16	6	18	0	16	4	12	8	15	2	2	0,0	0,0							
		16	0	18	4	18	0	12	8	15	2	2	0,0	0,0							
		16	9	18	1	16	4	12	8	15	2	2	0,0	0,0							
14	Iniz. Mezz. Finale	16	9	18	1	16	4	12	8	15	2	2	0,0	0,0							
		16	0	18	3	18	0	12	8	25	2	2	0,0	0,0							
		16	7	18	2	16	3	12	8	25	2	2	0,0	0,0							
15	Iniz. Mezz. Finale	16	7	18	0	16	4	12	8	15	2	2	0,0	0,0							
		16	0	18	4	18	0	12	8	25	2	2	0,0	0,0							
		16	6	18	2	16	4	12	8	25	2	2	0,0	0,0							

## DATI ARMATURE TRAVI - SEZIONE RETTANGOLARE - QUOTA: 3.6 m

## ASTE IN C.A. CON SEZIONE RETTANGOLARE

IDENTIFICATIVO		ARMATURE DI INPUT											AGGIUNTIVE		RINFORZO IN FRP						
Asta Num.	Concilio	FiSp mm	NFer Sup.	FiSu mm	NFer Inf.	FiIn mm	NFer Par.	FiPa mm	FiSt mm	PsSt cm	Brac DirX	Brac DirY	AfSup cmq	AfInf cmq	Mat. N.ro	Lung cm	Rag. mm	Num Avv	Nod Con	Condiz. Ambient	SpSol cm
16	Iniz.	16	6	18	0	16	4	12	8	15	2	2	0,0	0,0							
	Mezz.	16	0	18	4	18	0	12	8	15	2	2	0,0	0,0							
	Finale	16	9	18	1	16	4	12	8	15	2	2	0,0	0,0							
17	Iniz.	16	9	18	1	16	4	12	8	15	2	2	0,0	0,0							
	Mezz.	16	0	18	3	18	0	12	8	15	2	2	0,0	0,0							
	Finale	16	7	18	2	16	3	12	8	15	2	2	0,0	0,0							
18	Iniz.	16	7	18	0	16	4	12	8	15	2	2	0,0	0,0							
	Mezz.	16	0	18	4	18	0	12	8	15	2	2	0,0	0,0							
	Finale	16	6	18	2	16	4	12	8	15	2	2	0,0	0,0							
19	Iniz.	16	6	18	0	16	4	12	8	15	2	2	0,0	0,0							
	Mezz.	16	0	18	4	18	0	12	8	15	2	2	0,0	0,0							
	Finale	16	9	18	1	16	4	12	8	15	2	2	0,0	0,0							
20	Iniz.	16	9	18	1	16	4	12	8	15	2	2	0,0	0,0							
	Mezz.	16	0	18	3	18	0	12	8	15	2	2	0,0	0,0							
	Finale	16	7	18	2	16	3	12	8	15	2	2	0,0	0,0							
21	Iniz.	16	7	18	0	16	4	12	8	25	2	2	0,0	0,0							
	Mezz.	16	0	18	4	18	0	12	8	25	2	2	0,0	0,0							
	Finale	16	6	18	2	16	4	12	8	25	2	2	0,0	0,0							
22	Iniz.	16	4	16	0	16	4	12	8	15	2	2	0,0	0,0							
	Mezz.	16	0	16	4	16	0	12	8	15	2	2	0,0	0,0							
	Finale	16	9	16	1	16	4	12	8	15	2	2	0,0	0,0							
23	Iniz.	16	4	16	0	16	4	12	8	15	2	2	0,0	0,0							
	Mezz.	16	0	16	4	16	0	12	8	15	2	2	0,0	0,0							
	Finale	16	9	16	1	16	4	12	8	15	2	2	0,0	0,0							
24	Iniz.	16	4	16	0	16	4	12	8	15	2	2	0,0	0,0							
	Mezz.	16	0	16	4	16	0	12	8	15	2	2	0,0	0,0							
	Finale	16	9	16	1	16	4	12	8	15	2	2	0,0	0,0							
25	Iniz.	16	4	16	0	16	4	12	8	15	2	2	0,0	0,0							
	Mezz.	16	0	16	4	16	0	12	8	15	2	2	0,0	0,0							
	Finale	16	9	16	1	16	4	12	8	15	2	2	0,0	0,0							
26	Iniz.	16	9	16	0	16	3	12	8	15	2	2	0,0	0,0							
	Mezz.	16	0	16	3	16	0	12	8	15	2	2	0,0	0,0							
	Finale	16	3	16	1	16	3	12	8	15	2	2	0,0	0,0							
27	Iniz.	16	9	16	0	16	3	12	8	15	2	2	0,0	0,0							
	Mezz.	16	0	16	4	16	0	12	8	15	2	2	0,0	0,0							
	Finale	16	5	16	1	16	4	12	8	15	2	2	0,0	0,0							
28	Iniz.	16	9	16	0	16	3	12	8	15	2	2	0,0	0,0							
	Mezz.	16	0	16	4	16	0	12	8	15	2	2	0,0	0,0							
	Finale	16	5	16	1	16	4	12	8	15	2	2	0,0	0,0							
29	Iniz.	16	9	16	0	16	3	12	8	15	2	2	0,0	0,0							
	Mezz.	16	0	16	4	16	0	12	8	15	2	2	0,0	0,0							
	Finale	16	5	16	1	16	4	12	8	15	2	2	0,0	0,0							
30	Iniz.	16	3	16	0	16	1	12	8	15	2	2	0,0	0,0							
	Mezz.	16	0	16	1	16	0	12	8	15	2	2	0,0	0,0							
	Finale	16	3	16	0	16	1	12	8	15	2	2	0,0	0,0							
31	Iniz.	16	5	16	0	16	1	12	8	15	2	2	0,0	0,0							
	Mezz.	16	4	16	1	16	0	12	8	15	2	2	0,0	0,0							
	Finale	16	5	16	1	16	1	12	8	15	2	2	0,0	0,0							
32	Iniz.	16	5	16	0	16	1	12	8	15	2	2	0,0	0,0							
	Mezz.	16	4	16	1	16	0	12	8	15	2	2	0,0	0,0							
	Finale	16	5	16	1	16	1	12	8	15	2	2	0,0	0,0							
33	Iniz.	16	7	18	1	16	4	12	8	15	2	2	0,0	0,0							
	Mezz.	16	0	18	4	16	0	12	8	15	2	2	0,0	0,0							
	Finale	16	4	18	0	16	4	12	8	15	2	2	0,0	0,0							
34	Iniz.	16	5	16	0	16	1	12	8	15	2	2	0,0	0,0							
	Mezz.	16	4	16	1	16	0	12	8	15	2	2	0,0	0,0							



## DATI ARMATURE TRAVI - SEZIONE RETTANGOLARE - QUOTA: 3.6 m

ASTE IN C.A. CON SEZIONE RETTANGOLARE																					
IDENTIFICATIVO		ARMATURE DI INPUT											AGGIUNTIVE		RINFORZO IN FRP						
Asta Num.	Concio	FiSp mm	NFer Sup.	FiSu mm	NFer Inf.	FiIn mm	NFer Par.	FiPa mm	FiSt mm	PsSt cm	Brac DirX	Brac DirY	AfSup cmq	AfInf cmq	Mat. N.ro	Lung cm	Rag. mm	Num Avv	Nod Con	Condiz. Ambient	SpSol cm
	Finale	16	5	16	1	16	1	12	8	15	2	2	0,0	0,0							
35	Iniz.	16	3	16	0	16	2	12	8	15	2	2	0,0	0,0							
	Mezz.	16	0	16	2	16	0	12	8	15	2	2	0,0	0,0							
	Finale	16	6	16	0	16	2	12	8	15	2	2	0,0	0,0							
36	Iniz.	16	5	16	0	16	2	12	8	15	2	2	0,0	0,0							
	Mezz.	16	0	16	2	16	0	12	8	15	2	2	0,0	0,0							
	Finale	16	6	16	1	16	2	12	8	15	2	2	0,0	0,0							
37	Iniz.	16	5	16	0	16	2	12	8	15	2	2	0,0	0,0							
	Mezz.	16	0	16	2	16	0	12	8	15	2	2	0,0	0,0							
	Finale	16	6	16	1	16	2	12	8	15	2	2	0,0	0,0							
38	Iniz.	16	6	16	0	16	1	12	8	15	2	2	0,0	0,0							
	Mezz.	16	0	16	1	16	0	12	8	15	2	2	0,0	0,0							
	Finale	16	8	16	0	16	1	12	8	15	2	2	0,0	0,0							
39	Iniz.	16	6	16	0	16	1	12	8	15	2	2	0,0	0,0							
	Mezz.	16	0	16	1	16	0	12	8	15	2	2	0,0	0,0							
	Finale	16	8	16	1	16	1	12	8	15	2	2	0,0	0,0							
40	Iniz.	16	6	16	0	16	1	12	8	15	2	2	0,0	0,0							
	Mezz.	16	0	16	1	16	0	12	8	15	2	2	0,0	0,0							
	Finale	16	8	16	1	16	1	12	8	15	2	2	0,0	0,0							
41	Iniz.	16	6	16	0	16	1	12	8	15	2	2	0,0	0,0							
	Mezz.	16	0	16	1	16	0	12	8	15	2	2	0,0	0,0							
	Finale	16	8	16	1	16	1	12	8	15	2	2	0,0	0,0							
42	Iniz.	16	8	16	0	16	4	12	8	15	2	2	0,0	0,0							
	Mezz.	16	0	16	4	16	0	12	8	15	2	2	0,0	0,0							
	Finale	16	5	16	0	16	4	12	8	15	2	2	0,0	0,0							
43	Iniz.	16	8	16	0	16	4	12	8	15	2	2	0,0	0,0							
	Mezz.	16	0	16	4	16	0	12	8	15	2	2	0,0	0,0							
	Finale	16	5	16	0	16	4	12	8	15	2	2	0,0	0,0							
44	Iniz.	16	8	16	0	16	4	12	8	15	2	2	0,0	0,0							
	Mezz.	16	0	16	4	16	0	12	8	15	2	2	0,0	0,0							
	Finale	16	5	16	0	16	4	12	8	15	2	2	0,0	0,0							
45	Iniz.	16	8	16	0	16	4	12	8	15	2	2	0,0	0,0							
	Mezz.	16	0	16	4	16	0	12	8	15	2	2	0,0	0,0							
	Finale	16	5	16	0	16	4	12	8	15	2	2	0,0	0,0							
46	Iniz.	16	5	16	0	16	2	12	8	15	2	2	0,0	0,0							
	Mezz.	16	0	16	2	16	0	12	8	15	2	2	0,0	0,0							
	Finale	16	6	16	1	16	2	12	8	15	2	2	0,0	0,0							

## DATI ARMATURE PILASTRI - SEZIONE RETTANGOLARE - QUOTA: 7.2 m

ASTE IN C.A. CON SEZIONE RETTANGOLARE																					
IDENTIFICATIVO		ARMATURE DI INPUT											AGGIUNTIVE		RINFORZO IN FRP						
Asta Num.	Concio	FiSp mm	NFer Sup.	FiSu mm	NFer Inf.	FiIn mm	NFer Par.	FiPa mm	FiSt mm	PsSt cm	Brac DirX	Brac DirY	AfSup cmq	AfInf cmq	Mat. N.ro	Lung cm	Rag. mm	Num Avv	Nod Con	Condiz. Ambient	SpSol cm
13	Iniz. Mezz. Finale	18	2	18	2	18	2	18	8	15	2	2	0,0	0,0							
		18	2	18	2	18	2	18	8	15	2	2	0,0	0,0							
14	Iniz. Mezz. Finale	18	2	18	2	18	2	18	8	15	2	2	0,0	0,0							
		18	2	18	2	18	2	18	8	15	2	2	0,0	0,0							
15	Iniz. Mezz. Finale	18	2	18	2	18	2	18	8	15	2	2	0,0	0,0							
		18	2	18	2	18	2	18	8	15	2	2	0,0	0,0							
16	Iniz. Mezz. Finale	18	2	18	2	18	2	18	8	15	2	2	0,0	0,0							
		18	2	18	2	18	2	18	8	15	2	2	0,0	0,0							
17	Iniz.	18	2	18	2	18	2	18	8	15	2	2	0,0	0,0							

## DATI ARMATURE PILASTRI - SEZIONE RETTANGOLARE - QUOTA: 7.2 m

## ASTE IN C.A. CON SEZIONE RETTANGOLARE

IDENTIFICATIVO		ARMATURE DI INPUT											AGGIUNTIVE		RINFORZO IN FRP						
Asta Num.	Concio	FiSp mm	NFer Sup.	FiSu mm	NFer Inf.	FiIn mm	NFer Par.	FiPa mm	FiSt mm	PsSt cm	Brac DirX	Brac DirY	AfSup cmq	AfInf cmq	Mat. N.ro	Lung cm	Rag. mm	Num Avv	Nod Con	Condiz. Ambient	SpSol cm
	Mezz. Finale	18	2	18	2	18	2	18	8	15	2	2	0,0	0,0							
18	Iniz. Mezz. Finale	18	2	18	2	18	2	18	8	15	2	2	0,0	0,0							
		18	2	18	2	18	2	18	8	15	2	2	0,0	0,0							
19	Iniz. Mezz. Finale	18	2	18	2	18	2	18	8	15	2	2	0,0	0,0							
		18	2	18	2	18	2	18	8	15	2	2	0,0	0,0							
20	Iniz. Mezz. Finale	18	2	18	2	18	2	18	8	15	2	2	0,0	0,0							
		18	2	18	2	18	2	18	8	15	2	2	0,0	0,0							
21	Iniz. Mezz. Finale	18	2	18	2	18	2	18	8	15	2	2	0,0	0,0							
		18	2	18	2	18	2	18	8	15	2	2	0,0	0,0							
22	Iniz. Mezz. Finale	18	2	18	2	18	2	18	8	15	2	2	0,0	0,0							
		18	2	18	2	18	2	18	8	15	2	2	0,0	0,0							
23	Iniz. Mezz. Finale	18	2	18	2	18	2	18	8	15	2	2	0,0	0,0							
		18	2	18	2	18	2	18	8	15	2	2	0,0	0,0							
24	Iniz. Mezz. Finale	18	2	18	2	18	2	18	8	15	2	2	0,0	0,0							
		18	2	18	2	18	2	18	8	15	2	2	0,0	0,0							
25	Iniz. Mezz. Finale	18	2	18	2	18	2	18	8	15	2	2	0,0	0,0							
		18	2	18	2	18	2	18	8	15	2	2	0,0	0,0							
26	Iniz. Mezz. Finale	18	2	18	2	18	2	18	8	15	2	2	0,0	0,0							
		18	2	18	2	18	2	18	8	15	2	2	0,0	0,0							
27	Iniz. Mezz. Finale	18	2	18	2	18	2	18	8	15	2	2	0,0	0,0							
		18	2	18	2	18	2	18	8	15	2	2	0,0	0,0							
28	Iniz. Mezz. Finale	18	2	18	2	18	2	18	8	15	2	2	0,0	0,0							
		18	2	18	2	18	2	18	8	15	2	2	0,0	0,0							
29	Iniz. Mezz. Finale	18	2	18	2	18	2	18	8	15	2	2	0,0	0,0							
		18	2	18	2	18	2	18	8	15	2	2	0,0	0,0							

## DATI ARMATURE TRAVI - SEZIONE RETTANGOLARE - QUOTA: 7.2 m

## ASTE IN C.A. CON SEZIONE RETTANGOLARE

IDENTIFICATIVO		ARMATURE DI INPUT											AGGIUNTIVE		RINFORZO IN FRP						
Asta Num.	Concio	FiSp mm	NFer Sup.	FiSu mm	NFer Inf.	FiIn mm	NFer Par.	FiPa mm	FiSt mm	PsSt cm	Brac DirX	Brac DirY	AfSup cmq	AfInf cmq	Mat. N.ro	Lung cm	Rag. mm	Num Avv	Nod Con	Condiz. Ambient	SpSol cm
1	Iniz. Mezz. Finale	16	3	16	0	16	3	12	8	15	2	2	0,0	0,0							
		16	0	16	3	16	0	12	8	15	2	2	0,0	0,0							
		16	6	16	0	16	3	12	8	15	2	2	0,0	0,0							
10	Iniz. Mezz. Finale	16	3	16	0	16	1	12	8	15	2	2	0,0	0,0							
		16	0	16	1	16	0	12	8	15	2	2	0,0	0,0							
		16	3	16	0	16	1	12	8	15	2	2	0,0	0,0							
12	Iniz. Mezz. Finale	16	6	16	0	16	3	12	8	15	2	2	0,0	0,0							
		16	0	16	3	16	0	12	8	15	2	2	0,0	0,0							
		16	6	16	0	16	3	12	8	15	2	2	0,0	0,0							
13	Iniz. Mezz. Finale	16	4	16	0	16	4	12	8	15	2	2	0,0	0,0							
		16	0	16	4	16	0	12	8	15	2	2	0,0	0,0							
		16	7	16	0	16	4	12	8	15	2	2	0,0	0,0							

## DATI ARMATURE TRAVI - SEZIONE RETTANGOLARE - QUOTA: 7.2 m

## ASTE IN C.A. CON SEZIONE RETTANGOLARE

IDENTIFICATIVO		ARMATURE DI INPUT											AGGIUNTIVE		RINFORZO IN FRP						
Asta Num.	Concilio	FiSp mm	NFer Sup.	FiSu mm	NFer Inf.	FiIn mm	NFer Par.	FiPa mm	FiSt mm	PsSt cm	Brac DirX	Brac DirY	AfSup cmq	AfInf cmq	Mat. N.ro	Lung cm	Rag. mm	Num Avv	Nod Con	Condiz. Ambient	SpSol cm
14	Iniz.	16	7	16	0	16	3	12	8	15	2	2	0,0	0,0							
	Mezz.	16	0	16	3	16	0	12	8	15	2	2	0,0	0,0							
	Finale	16	6	16	0	16	3	12	8	15	2	2	0,0	0,0							
15	Iniz.	16	6	16	0	16	3	12	8	15	2	2	0,0	0,0							
	Mezz.	16	0	16	3	16	0	12	8	15	2	2	0,0	0,0							
	Finale	16	3	16	0	16	3	12	8	15	2	2	0,0	0,0							
16	Iniz.	16	4	16	0	16	4	12	8	15	2	2	0,0	0,0							
	Mezz.	16	0	16	4	16	0	12	8	15	2	2	0,0	0,0							
	Finale	16	7	16	0	16	4	12	8	15	2	2	0,0	0,0							
17	Iniz.	16	7	16	0	16	3	12	8	15	2	2	0,0	0,0							
	Mezz.	16	0	16	3	16	0	12	8	15	2	2	0,0	0,0							
	Finale	16	6	16	0	16	3	12	8	15	2	2	0,0	0,0							
18	Iniz.	16	6	16	0	16	3	12	8	15	2	2	0,0	0,0							
	Mezz.	16	0	16	3	16	0	12	8	15	2	2	0,0	0,0							
	Finale	16	3	16	0	16	3	12	8	15	2	2	0,0	0,0							
19	Iniz.	16	4	16	0	16	4	12	8	15	2	2	0,0	0,0							
	Mezz.	16	0	16	4	16	0	12	8	15	2	2	0,0	0,0							
	Finale	16	7	16	0	16	4	12	8	15	2	2	0,0	0,0							
20	Iniz.	16	7	16	0	16	3	12	8	15	2	2	0,0	0,0							
	Mezz.	16	0	16	3	16	0	12	8	15	2	2	0,0	0,0							
	Finale	16	6	16	0	16	3	12	8	15	2	2	0,0	0,0							
21	Iniz.	16	6	16	0	16	3	12	8	15	2	2	0,0	0,0							
	Mezz.	16	0	16	3	16	0	12	8	15	2	2	0,0	0,0							
	Finale	16	3	16	0	16	3	12	8	15	2	2	0,0	0,0							
33	Iniz.	16	6	16	0	16	3	12	8	15	2	2	0,0	0,0							
	Mezz.	16	0	16	3	16	0	12	8	15	2	2	0,0	0,0							
	Finale	16	3	16	0	16	3	12	8	15	2	2	0,0	0,0							
35	Iniz.	16	2	16	0	16	2	12	8	15	2	2	0,0	0,0							
	Mezz.	16	0	16	3	16	0	12	8	15	2	2	0,0	0,0							
	Finale	16	4	16	2	16	2	12	8	15	2	2	0,0	0,0							
36	Iniz.	16	2	16	0	16	2	12	8	15	2	2	0,0	0,0							
	Mezz.	16	0	16	3	16	0	12	8	15	2	2	0,0	0,0							
	Finale	16	4	16	2	16	2	12	8	15	2	2	0,0	0,0							
37	Iniz.	16	2	16	0	16	2	12	8	15	2	2	0,0	0,0							
	Mezz.	16	0	16	3	16	0	12	8	15	2	2	0,0	0,0							
	Finale	16	4	16	2	16	2	12	8	15	2	2	0,0	0,0							
38	Iniz.	16	4	16	2	16	1	12	8	15	2	2	0,0	0,0							
	Mezz.	16	0	16	3	16	0	12	8	15	2	2	0,0	0,0							
	Finale	16	7	16	2	16	2	12	8	15	2	2	0,0	0,0							
39	Iniz.	16	4	16	2	16	1	12	8	15	2	2	0,0	0,0							
	Mezz.	16	0	16	3	16	0	12	8	15	2	2	0,0	0,0							
	Finale	16	7	16	2	16	2	12	8	15	2	2	0,0	0,0							
40	Iniz.	16	4	16	2	16	1	12	8	15	2	2	0,0	0,0							
	Mezz.	16	0	16	3	16	0	12	8	15	2	2	0,0	0,0							
	Finale	16	7	16	2	16	2	12	8	15	2	2	0,0	0,0							
41	Iniz.	16	4	16	2	16	1	12	8	15	2	2	0,0	0,0							
	Mezz.	16	0	16	3	16	0	12	8	15	2	2	0,0	0,0							
	Finale	16	7	16	2	16	2	12	8	15	2	2	0,0	0,0							
42	Iniz.	16	7	16	2	16	4	12	8	15	2	2	0,0	0,0							
	Mezz.	16	0	16	4	16	0	12	8	15	2	2	0,0	0,0							
	Finale	16	4	16	0	16	4	12	8	15	2	2	0,0	0,0							
43	Iniz.	16	7	16	2	16	4	12	8	15	2	2	0,0	0,0							
	Mezz.	16	0	16	4	16	0	12	8	15	2	2	0,0	0,0							
	Finale	16	4	16	0	16	4	12	8	15	2	2	0,0	0,0							
44	Iniz.	16	7	16	2	16	4	12	8	15	2	2	0,0	0,0							
	Mezz.	16	0	16	4	16	0	12	8	15	2	2	0,0	0,0							

## DATI ARMATURE TRAVI - SEZIONE RETTANGOLARE - QUOTA: 7.2 m

ASTE IN C.A. CON SEZIONE RETTANGOLARE																					
IDENTIFICATIVO		ARMATURE DI INPUT											AGGIUNTIVE		RINFORZO IN FRP						
Asta Num.	Concio	FiSp mm	NFer Sup.	FiSu mm	NFer Inf.	FiIn mm	NFer Par.	FiPa mm	FiSt mm	PsSt cm	Brac DirX	Brac DirY	AfSup cmq	AfInf cmq	Mat. N.ro	Lung cm	Rag. mm	Num Avv	Nod Con	Condiz. Ambient	SpSol cm
	Finale	16	4	16	0	16	4	12	8	15	2	2	0,0	0,0							
45	Iniz.	16	7	16	2	16	4	12	8	15	2	2	0,0	0,0							
	Mezz.	16	0	16	4	16	0	12	8	15	2	2	0,0	0,0							
	Finale	16	4	16	0	16	4	12	8	15	2	2	0,0	0,0							
46	Iniz.	16	2	16	0	16	2	12	8	15	2	2	0,0	0,0							
	Mezz.	16	0	16	3	16	0	12	8	15	2	2	0,0	0,0							
	Finale	16	4	16	2	16	2	12	8	15	2	2	0,0	0,0							

● SPECIFICHE CAMPI TABELLA DI STAMPA PUSH-OVER

<b>Numero d'ordine della PushOver</b>	: Tipo di distribuzione delle forze orizzontali utilizzate nell'analisi.
<b>Angolo Ingr. Sisma (Grd)</b>	: Angolo di ingresso del sisma della PushOver.
<b>Numero collassi totali</b>	: Numero di elementi che hanno raggiunto la condizione di collasso al termine dell'analisi.
<b>Numero passo Resist.Max.</b>	: Numero del passo a cui corrisponde il picco massimo del taglio alla base nella curva di capacità.
<b>Numero passi significativi</b>	: Numero dei passi significativi alla fine dell'analisi.
<b>Massa SDOF, (t)</b>	: Massa totale del sistema equivalente.
<b>Taglio alla base max., (t)</b>	: Tagliante massimo alla base della struttura reale.
<b>Coeff. Partecipazione</b>	: Coefficiente di partecipazione relativo alla distribuzione di forze orizzontali utilizzate nell'analisi della PushOver.
<b>Resistenza SDOF, (t)</b>	: Resistenza allo snervamento del sistema ad un grado di libertà equivalente.
<b>Rigidità SDOF, (t/m)</b>	: Rigidità all'origine del sistema ad un grado di libertà equivalente.
<b>Spostam. Snervam. SDOF, (mm)</b>	: Spostamento a cui corrisponde lo snervamento del sistema ad un grado di libertà equivalente.
<b>Periodo SDOF, (sec)</b>	: Periodo proprio del sistema ad un grado di libertà equivalente.
<b>Rapporto di incrudimento</b>	: Rapporto tra la rigidità incrudente e la rigidità all'origine del sistema ad un grado di libertà equivalente. Per un sistema elastico perfettamente plastico tale rapporto vale sempre 0.
<b>Rapporto Alfau/alfa1</b>	: Rapporto tra il tagliante ultimo e il tagliante a cui corrisponde la formazione della prima cerniera plastica. Per le strutture esistenti tale valore può assumere valori molto alti in quanto per bassi valori di forze orizzontali spesso viene raggiunto il limite elastico in qualche sezione.
<b>Fattore struttura</b>	: Fattore di struttura (q) calcolato a posteriori in funzione delle effettive risorse anelastiche della struttura.
<b>Coeff Smorzam.Equival.</b>	: Coefficiente di smorzamento di un oscillatore elasto-viscoso che dissipa per viscosità la stessa energia della struttura.
<b>Duttilità</b>	: Duttilità misurata sul legame bilatero del sistema elasto-plastico equivalente come rapporto tra lo spostamento ultimo (fine del tratto orizzontale) e lo spostamento al limite elastico (inizio tratto orizzontale).

Per ogni stato limite richiesto, la frase “MECCANISMI CONSIDERATI NELL'ANALISI” significa:

**Con Flag di post-verifica = NO** : *Considera nell'analisi al passo non lineare sia i meccanismi fragili attivati che quelli duttili.*

**Con Flag di post-verifica = SI** : *Verifica a posteriori dei meccanismi fragili in corrispondenza dei passi della curva di capacità precedentemente valutata per il solo comportamento duttile. I risultati relativi ai soli meccanismi fragili sono riportati in una apposita tabella.*

<b>Spostamento</b>	: Domanda/Capacità dello spostamento relativo allo stato limite.
<b>S.L.x</b>	: Flag riassuntivo della verifica effettuata per i meccanismi considerati nell'analisi.
<b>PgaLx/g</b>	: Valore della PGA limite corrispondente alla prestazione definita per lo stato limite considerato e per i meccanismi considerati nell'analisi.
<b>q*</b>	: Rapporto tra la domanda elastica di tagliante alla base e la resistenza del sistema SDOF equivalente. Viene utilizzato solo per le strutture in muratura in qual caso non può superare il valore 3.
<b>Numero passo precedente</b>	: Numero passo precedente al punto della curva per cui si raggiunge la capacità rispetto alla prestazione definita per lo stato limite e per i soli meccanismi considerati nell'analisi.
<b>PgaLx/Pga y%</b>	: Rapporto tra la PGA limite e la PGA al bedrock del sisma atteso nel sito con la probabilità prevista per lo stato limite corrispondente.
<b>Asta3D Nro</b>	: Numerazione 3D dell'asta in cui si raggiunge la prestazione definita per lo stato limite e per i soli meccanismi considerati nell'analisi.
<b>TrCLx</b>	: Valore del periodo di ritorno corrispondente all'evento sismico che provoca il raggiungimento della capacità per lo stato limite considerato e per i soli meccanismi considerati nell'analisi.
<b>(TrCLx/TDLx)^a</b>	: Rapporto tra il periodo di ritorno del sisma a cui corrisponde il raggiungimento della capacità ed il periodo di ritorno del sisma atteso nel sito con la probabilità prevista per lo stato limite corrispondente. L'esponente <b>a</b> vale 0,41 come previsto dalle linee guida nazionali.

**DATI STAMPATI PER LE TABELLE AUSILIARIE**

<b>Push. nro</b>	: Numero della PushOver.
<b>PRIMO COLLASSO</b>	: Dati relativi ai meccanismi fragili per gli elementi in calcestruzzo armato del Nodo e del Taglio.
<b>TrCLC</b>	: Valore del periodo di ritorno corrispondente all'evento sismico che provoca il raggiungimento della capacità per lo stato limite di collasso del Nodo/Taglio.
<b>PgaLC/g</b>	: Valore della PGA corrispondente all'evento sismico che provoca il raggiungimento della capacità per lo stato limite di collasso Nodo/Taglio.
<b>Resistenza nel Piano di un pannello in muratura</b>	: Indicatori di capacità relativi alla prestazione di raggiungimento della resistenza nel piano del primo pannello in muratura.
<b>TrCLV</b>	: Valore del periodo di ritorno corrispondente all'evento sismico che provoca il raggiungimento della capacità per lo stato limite di Salvaguardia della Vita. Prestazione definita dal raggiungimento della resistenza nel piano del primo pannello in muratura.
<b>PgaLV/g</b>	: Valore della PGA corrispondente all'evento sismico che provoca il raggiungimento della capacità per lo stato limite di Salvaguardia della Vita. Prestazione definita dal raggiungimento della resistenza nel piano del primo pannello in muratura.
<b>VERIFICA MECCANISMI FRAGILI STRUTTURE IN C.A.</b>	: Viene stampata la condizione di VERIFICATA/NON VERIFICATA. Nel caso non venga stampato nulla significa che la verifica effettuata a posteriori sulla curva di capacità determinata con l'analisi non lineare tenendo conto del solo comportamento duttile non è stata in grado di individuare alcun meccanismo fragile per cui è necessario ripetere l'analisi tenendo in conto i meccanismi fragili e settando il dato <b>Push+PostVer. = No</b> .

• **SPECIFICHE CAMPI TABELLA DI STAMPA**

Si riporta di seguito la spiegazione delle sigle usate nella tabella di stampa della verifica dei nodi non confinati per le strutture in calcestruzzo armato esistenti effettuate con il modello previsto al punto della circolare 2/2/2009 n. 617 **C8.7.2.5 formule** (8.7.2.2) e (8.7.2.3)

<b>Filo N.ro</b>	: <i>Numero del filo del nodo</i>
<b>Quota</b>	: <i>Quota a cui si trova il nodo</i>
<b>Nod3d N.ro</b>	: <i>Numerazione del nodo nel modello tridimensionale</i>
<b>Nsup (t)</b>	: <i>Valore dello sforzo normale del pilastro superiore in tonnellate</i>
<b>Coll Nodo</b>	: <i>Flag che segnala l'eventuale collasso</i>
<b>TaglSup (t)</b>	: <i>Valore dello sforzo di taglio trasmesso dal pilastro superiore in tonnellate</i>
<b>TrazAf (t)</b>	: <i>Sforzo di trazione delle barre superiori delle travi ancorate nel nodo dovuto all'eventuale momento negativo agente</i>

I successivi valori si riferiscono alla verifiche effettuata nelle direzioni rispettivamente X e Y del sistema locale del pilastro a cui il nodo appartiene:

<b>SgmCo kg/cmq</b>	: <i>Tensione di compressione agente sul calcestruzzo del nodo</i>
<b>SgmTr kg/cmq</b>	: <i>Tensione di trazione agente sul calcestruzzo del nodo, depurata dell'eventuale contributo del rinforzo</i>
<b>RcLim kg/cmq</b>	: <i>Resistenza limite a compressione del calcestruzzo del nodo</i>
<b>RtLim kg/cmq</b>	: <i>Resistenza limite di trazione del calcestruzzo del nodo</i>
<b>DeltaRt kg/cmq</b>	: <i>Contributo del rinforzo alla Resistenza a trazione del nodo</i>

La verifica consiste nel verificare contemporaneamente:

- $SgmComp < RcLim$  (in valore assoluto)
- $SgmTraz < RtLim$  (in valore assoluto)

- SPECIFICHE CAMPI TABELLA DI STAMPA**

Si riporta di seguito la spiegazione delle sigle usate nella tabella di stampa della Capacita'/Domanda di Spostamento dei baricentri di piano.

<b>Piano N.ro</b>	: Numero identificato del piano sismico
<b>Quota</b>	: Quota altimetrica del piano espressa in metri
<b>SLO/SLD/SLV/SLC X(mm)</b>	: Componente in direzione X dello spostamento di piano allo SLO/SLD/SLV/SLC espresso in mm. In particolare nel primo rigo i valori sono riferiti alla capacità mentre nel secondo si riferiscono alla domanda
<b>SLO/SLD/SLV/SLC Y(mm)</b>	: Componente in direzione Y dello spostamento di piano allo SLO/SLD/SLV/SLC espresso in mm. In particolare nel primo rigo i valori sono riferiti alla capacità mentre nel secondo si riferiscono alla domanda
<b>SLO/SLD/SLV/SLC Z(mRad)</b>	: Rotazione rigida di piano allo SLO/SLD/SLV/SLC espressa in milliradiani. In particolare nel primo rigo i valori sono riferiti alla capacità mentre nel secondo si riferiscono alla domanda



**RISULTATI GENERALI PUSH-OVER****MECCANISMI DI COLLASSO CONSIDERATI NELLA ANALISI PUSH-OVER**

- Analisi con meccanismi DUTTILI E FRAGILI
- Modalita' di collasso del nodo CLS CON confinamento
- Collasso a taglio considerato su TUTTE le aste in CLS
  - Collasso per ripresa di getto IGNORATA
  - Effetti P-Delta IGNORATI
- DISTRIBUZIONI FORZE SECONDO DEFORMATA MODALE: Proporzionale al Primo Modo

**RISULTATI GENERALI PUSH-OVER**

PUSH-OVER N.ro	1 -	Distrib.Forze Prop.Modolo:+Fx+0.3*Fy+Ecc5%	
Angolo Ingr. Sisma (Grd)	0	Numero collassi totali	1
Numero passo Resist.Max.	61	Numero passi significativi	61
Massa SDOF (t)	646,31	Taglio alla base max. (t)	446,10
Coeff. Partecipazione	1,36	Resistenza SDOF (t)	321,10
Rigidezza SDOF (t/m)	20408,85	Spostam. Snervam. SDOF mm	16
Periodo SDOF (sec)	0,36	Rapporto di incrudimento	0,000
Rapporto Alfau/alfa1	2,161	Fattore di comportamento	2,569
Coeff Smorzam.Equival.(%)	28	Duttilita	3,666
STATO LIMITE DI DANNO			
DOMANDA		CAPACITA'	
Spostamento mm	8,877	Spostamento mm	17,490
S.L. Danno	VERIFICATO	Numero passo precedente	35
PgaLD/g	0,137	ZetaE=PgaLD/Pga 63%	1,798
Rapporto q*=Fe/Fy	0,56	Asta3D Nro	79
Tempo Intervento (anni)	223	TrCLD (anni)	337
-----		(TrCLD/TDLT)^a	1,856
STATO LIMITE DI SALVAGUARDIA DELLA VITA			
DOMANDA		CAPACITA'	
Spostamento mm	24,551	Spostamento mm	46,565
S.L. Salvaguardia Vita	VERIFICATO	Numero passo precedente	59
PgaLV/g	0,269	ZetaE=PgaLV/Pga 10%	1,513
Rapporto q*=Fe/Fy	1,33	Asta3D Nro	150
Tempo Intervento (anni)	174	TrCLV (anni)	2475
-----		(TrCLV/TDLV)^a	1,670

**RISULTATI GENERALI PUSH-OVER**

PUSH-OVER N.ro	2 -	Distrib.Forze Prop.Modolo:-Fx+0.3*Fy+Ecc5%	
Angolo Ingr. Sisma (Grd)	180	Numero collassi totali	1
Numero passo Resist.Max.	60	Numero passi significativi	60
Massa SDOF (t)	646,31	Taglio alla base max. (t)	439,54
Coeff. Partecipazione	1,36	Resistenza SDOF (t)	314,40
Rigidezza SDOF (t/m)	20073,00	Spostam. Snervam. SDOF mm	16
Periodo SDOF (sec)	0,36	Rapporto di incrudimento	0,000
Rapporto Alfau/alfa1	1,822	Fattore di comportamento	2,347
Coeff Smorzam.Equival.(%)	27	Duttilita	3,269
STATO LIMITE DI DANNO			
DOMANDA		CAPACITA'	
Spostamento mm	9,025	Spostamento mm	18,756
S.L. Danno	VERIFICATO	Numero passo precedente	40
PgaLD/g	0,142	ZetaE=PgaLD/Pga 63%	1,864
Rapporto q*=Fe/Fy	0,58	Asta3D Nro	
Tempo Intervento (anni)	247	TrCLD (anni)	372
-----		(TrCLD/TDLT)^a	1,933

STATO LIMITE DI SALVAGUARDIA DELLA VITA			
DOMANDA		CAPACITA'	
Spostamento mm	25,116	Spostamento mm	38,218
S.L. Salvaguardia Vita	VERIFICATO	Numero passo precedente	57
PgaLV/g	0,263	ZetaE=PgaLV/Pga 10%	1,478
Rapporto $q^*=Fe/Fy$	1,36	Asta3D Nro	94
Tempo Intervento (anni)	162	TrCLV (anni)	2304
-----		(TrCLV/TDLV)^a	1,621

RISULTATI GENERALI PUSH-OVER			
PUSH-OVER N.ro	3 -	Distrib.Forze Prop.Modolo: +Fy+0.3*Fx+Ecc5%	
Angolo Ingr. Sisma (Grd)	90	Numero collassi totali	1
Numero passo Resist.Max.	63	Numero passi significativi	63
Massa SDOF (t)	691,40	Taglio alla base max. (t)	465,07
Coeff. Partecipazione	1,34	Resistenza SDOF (t)	334,25
Rigidezza SDOF (t/m)	25094,67	Spostam. Snervam. SDOF mm	13
Periodo SDOF (sec)	0,33	Rapporto di incrudimento	0,000
Rapporto Alfau/alfa1	2,750	Fattore di comportamento	2,149
Coeff Smorzam.Equival.(%)	26	Duttilita	3,092
STATO LIMITE DI DANNO			
DOMANDA		CAPACITA'	
Spostamento mm	7,723	Spostamento mm	15,708
S.L. Danno	VERIFICATO	Numero passo precedente	43
PgaLD/g	0,138	ZetaE=PgaLD/Pga 63%	1,813
Rapporto $q^*=Fe/Fy$	0,58	Asta3D Nro	110
Tempo Intervento (anni)	229	TrCLD (anni)	345
-----		(TrCLD/TDLT)^a	1,874
STATO LIMITE DI SALVAGUARDIA DELLA VITA			
DOMANDA		CAPACITA'	
Spostamento mm	22,216	Spostamento mm	40,849
S.L. Salvaguardia Vita	VERIFICATO	Numero passo precedente	62
PgaLV/g	0,269	ZetaE=PgaLV/Pga 10%	1,513
Rapporto $q^*=Fe/Fy$	1,37	Asta3D Nro	29
Tempo Intervento (anni)	174	TrCLV (anni)	2475
-----		(TrCLV/TDLV)^a	1,670

RISULTATI GENERALI PUSH-OVER			
PUSH-OVER N.ro	4 -	Distrib.Forze Prop.Modolo: -Fy+0.3*Fx+Ecc5%	
Angolo Ingr. Sisma (Grd)	270	Numero collassi totali	1
Numero passo Resist.Max.	63	Numero passi significativi	63
Massa SDOF (t)	691,40	Taglio alla base max. (t)	461,67
Coeff. Partecipazione	1,34	Resistenza SDOF (t)	332,53
Rigidezza SDOF (t/m)	25395,95	Spostam. Snervam. SDOF mm	13
Periodo SDOF (sec)	0,33	Rapporto di incrudimento	0,000
Rapporto Alfau/alfa1	4,061	Fattore di comportamento	1,999
Coeff Smorzam.Equival.(%)	25	Duttilita	2,829
STATO LIMITE DI DANNO			
DOMANDA		CAPACITA'	
Spostamento mm	7,631	Spostamento mm	10,932
S.L. Danno	VERIFICATO	Numero passo precedente	18
PgaLD/g	0,105	ZetaE=PgaLD/Pga 63%	1,384
Rapporto $q^*=Fe/Fy$	0,58	Asta3D Nro	105
Tempo Intervento (anni)	111	TrCLD (anni)	167
-----		(TrCLD/TDLT)^a	1,390
STATO LIMITE DI SALVAGUARDIA DELLA VITA			

D O M A N D A		C A P A C I T A'	
Spostamento mm	22,061	Spostamento mm	30,201
S.L. Salvaguardia Vita	VERIFICATO	Numero passo precedente	59
PgaLV/g	0,235	ZetaE=PgaLV/Pga 10%	1,319
Rapporto $q^*=F_e/F_y$	1,37	Asta3D Nro	113
Tempo Intervento (anni)	114	TrCLV (anni)	1623
-----		(TrCLV/TDLV)^a	1,404

## RISULTATI GENERALI PUSH-OVER

PUSH-OVER N.ro	5 -	Distrib.Forze Prop.Massa:+Fx+0.3*Fy+Ecc5%	
Angolo Ingr. Sisma (Grd)	0	Numero collassi totali	1
Numero passo Resist.Max.	49	Numero passi significativi	49
Massa SDOF (t)	1035,86	Taglio alla base max. (t)	470,58
Coeff. Partecipazione	1,00	Resistenza SDOF (t)	457,63
Rigidezza SDOF (t/m)	25079,52	Spostam. Snervam. SDOF mm	18
Periodo SDOF (sec)	0,41	Rapporto di incrudimento	0,000
Rapporto Alfau/alfa1	2,266	Fattore di comportamento	2,080
Coeff Smorzam.Equival.(%)	24	Duttilita	2,607

## STATO LIMITE DI DANNO

D O M A N D A		C A P A C I T A'	
Spostamento mm	11,577	Spostamento mm	18,504
S.L. Danno	VERIFICATO	Numero passo precedente	27
PgaLD/g	0,116	ZetaE=PgaLD/Pga 63%	1,530
Rapporto $q^*=F_e/F_y$	0,63	Asta3D Nro	79
Tempo Intervento (anni)	144	TrCLD (anni)	217
-----		(TrCLD/TDLT)^a	1,548

## STATO LIMITE DI SALVAGUARDIA DELLA VITA

D O M A N D A		C A P A C I T A'	
Spostamento mm	31,699	Spostamento mm	39,624
S.L. Salvaguardia Vita	VERIFICATO	Numero passo precedente	46
PgaLV/g	0,222	ZetaE=PgaLV/Pga 10%	1,246
Rapporto $q^*=F_e/F_y$	1,50	Asta3D Nro	76
Tempo Intervento (anni)	96	TrCLV (anni)	1363
-----		(TrCLV/TDLV)^a	1,306

## RISULTATI GENERALI PUSH-OVER

PUSH-OVER N.ro	6 -	Distrib.Forze Prop.Massa:-Fx+0.3*Fy+Ecc5%	
Angolo Ingr. Sisma (Grd)	180	Numero collassi totali	1
Numero passo Resist.Max.	45	Numero passi significativi	45
Massa SDOF (t)	1035,86	Taglio alla base max. (t)	468,59
Coeff. Partecipazione	1,00	Resistenza SDOF (t)	461,52
Rigidezza SDOF (t/m)	24413,28	Spostam. Snervam. SDOF mm	19
Periodo SDOF (sec)	0,41	Rapporto di incrudimento	0,000
Rapporto Alfau/alfa1	1,854	Fattore di comportamento	3,265
Coeff Smorzam.Equival.(%)	29	Duttilita	4,325

## STATO LIMITE DI DANNO

D O M A N D A		C A P A C I T A'	
Spostamento mm	11,893	Spostamento mm	21,799
S.L. Danno	VERIFICATO	Numero passo precedente	30
PgaLD/g	0,129	ZetaE=PgaLD/Pga 63%	1,699
Rapporto $q^*=F_e/F_y$	0,63	Asta3D Nro	
Tempo Intervento (anni)	191	TrCLD (anni)	289
-----		(TrCLD/TDLT)^a	1,742

## STATO LIMITE DI SALVAGUARDIA DELLA VITA

D O M A N D A		C A P A C I T A'	
---------------	--	------------------	--

**C.D.S.**

Spostamento mm	32,304	Spostamento mm	63,555
S.L. Salvaguardia Vita	VERIFICATO	Numero passo precedente	43
PgaLV/g	0,269	ZetaE=PgaLV/Pga 10%	1,513
Rapporto $q^*=F_e/F_y$	1,48	Asta3D Nro	79
Tempo Intervento (anni)	174	TrCLV (anni)	2475
-----		(TrCLV/TDLV)^a	1,670

**RISULTATI GENERALI PUSH-OVER**

PUSH-OVER N.ro	7 -	Distrib.Forze Prop.Massa: +Fy+0.3*Fx+Ecc5%	
Angolo Ingr. Sisma (Grd)	90	Numero collassi totali	1
Numero passo Resist.Max.	56	Numero passi significativi	56
Massa SDOF (t)	1035,86	Taglio alla base max. (t)	476,15
Coeff. Partecipazione	1,00	Resistenza SDOF (t)	466,32
Rigidezza SDOF (t/m)	29764,72	Spostam. Snervam. SDOF mm	16
Periodo SDOF (sec)	0,37	Rapporto di incrudimento	0,000
Rapporto Alfau/alfa1	2,483	Fattore di comportamento	3,397
Coeff Smorzam.Equival.(%)	30	Duttilita	4,884

**STATO LIMITE DI DANNO**

DOMANDA		CAPACITA'	
Spostamento mm	9,755	Spostamento mm	20,630
S.L. Danno	VERIFICATO	Numero passo precedente	42
PgaLD/g	0,142	ZetaE=PgaLD/Pga 63%	1,866
Rapporto $q^*=F_e/F_y$	0,62	Asta3D Nro	110
Tempo Intervento (anni)	247	TrCLD (anni)	373
-----		(TrCLD/TDLT)^a	1,935

**STATO LIMITE DI SALVAGUARDIA DELLA VITA**

DOMANDA		CAPACITA'	
Spostamento mm	27,541	Spostamento mm	60,059
S.L. Salvaguardia Vita	VERIFICATO	Numero passo precedente	54
PgaLV/g	0,269	ZetaE=PgaLV/Pga 10%	1,513
Rapporto $q^*=F_e/F_y$	1,47	Asta3D Nro	68
Tempo Intervento (anni)	174	TrCLV (anni)	2475
-----		(TrCLV/TDLV)^a	1,670

**RISULTATI GENERALI PUSH-OVER**

PUSH-OVER N.ro	8 -	Distrib.Forze Prop.Massa: -Fy+0.3*Fx+Ecc5%	
Angolo Ingr. Sisma (Grd)	270	Numero collassi totali	1
Numero passo Resist.Max.	57	Numero passi significativi	57
Massa SDOF (t)	1035,86	Taglio alla base max. (t)	484,60
Coeff. Partecipazione	1,00	Resistenza SDOF (t)	477,11
Rigidezza SDOF (t/m)	29939,67	Spostam. Snervam. SDOF mm	16
Periodo SDOF (sec)	0,37	Rapporto di incrudimento	0,000
Rapporto Alfau/alfa1	3,877	Fattore di comportamento	3,889
Coeff Smorzam.Equival.(%)	31	Duttilita	5,696

**STATO LIMITE DI DANNO**

DOMANDA		CAPACITA'	
Spostamento mm	9,698	Spostamento mm	13,567
S.L. Danno	VERIFICATO	Numero passo precedente	18
PgaLD/g	0,102	ZetaE=PgaLD/Pga 63%	1,348
Rapporto $q^*=F_e/F_y$	0,61	Asta3D Nro	105
Tempo Intervento (anni)	103	TrCLD (anni)	156
-----		(TrCLD/TDLT)^a	1,352

**STATO LIMITE DI SALVAGUARDIA DELLA VITA**

DOMANDA		CAPACITA'	
Spostamento mm	27,190	Spostamento mm	70,445

**C.D.S.**

S.L. Salvaguardia Vita	VERIFICATO	Numero passo precedente	56
PgaLV/g	0,269	ZetaE=PgaLV/Pga 10%	1,513
Rapporto $q^*=F_e/F_y$	1,43	Asta3D Nro	75
Tempo Intervento (anni)	174	TrCLV (anni)	2475
-----		(TrCLV/TDLV)^a	1,670

**RISULTATI GENERALI PUSH-OVER**

PUSH-OVER N.ro	9 -	Distrib.Forze Prop.Modo:+Fx-0.3*Fy+Ecc5%	
Angolo Ingr. Sisma (Grd)	0	Numero collassi totali	1
Numero passo Resist.Max.	56	Numero passi significativi	56
Massa SDOF (t)	646,31	Taglio alla base max. (t)	445,76
Coeff. Partecipazione	1,36	Resistenza SDOF (t)	318,63
Rigidezza SDOF (t/m)	20549,12	Spostam. Snervam. SDOF mm	16
Periodo SDOF (sec)	0,36	Rapporto di incrudimento	0,000
Rapporto Alfau/alfa1	2,474	Fattore di comportamento	1,951
Coeff Smorzam.Equival.(%)	24	Duttilita	2,620

**STATO LIMITE DI DANNO**

DOMANDA		CAPACITA'	
Spostamento mm	8,816	Spostamento mm	15,682
S.L. Danno	VERIFICATO	Numero passo precedente	30
PgaLD/g	0,126	ZetaE=PgaLD/Pga 63%	1,659
Rapporto $q^*=F_e/F_y$	0,57	Asta3D Nro	85
Tempo Intervento (anni)	179	TrCLD (anni)	271
-----		(TrCLD/TDLD)^a	1,697

**STATO LIMITE DI SALVAGUARDIA DELLA VITA**

DOMANDA		CAPACITA'	
Spostamento mm	24,499	Spostamento mm	38,558
S.L. Salvaguardia Vita	VERIFICATO	Numero passo precedente	55
PgaLV/g	0,269	ZetaE=PgaLV/Pga 10%	1,513
Rapporto $q^*=F_e/F_y$	1,34	Asta3D Nro	58
Tempo Intervento (anni)	174	TrCLV (anni)	2475
-----		(TrCLV/TDLV)^a	1,670

**RISULTATI GENERALI PUSH-OVER**

PUSH-OVER N.ro	10 -	Distrib.Forze Prop.Modo:-Fx-0.3*Fy+Ecc5%	
Angolo Ingr. Sisma (Grd)	180	Numero collassi totali	1
Numero passo Resist.Max.	51	Numero passi significativi	51
Massa SDOF (t)	646,31	Taglio alla base max. (t)	435,78
Coeff. Partecipazione	1,36	Resistenza SDOF (t)	306,04
Rigidezza SDOF (t/m)	19876,04	Spostam. Snervam. SDOF mm	15
Periodo SDOF (sec)	0,36	Rapporto di incrudimento	0,000
Rapporto Alfau/alfa1	1,828	Fattore di comportamento	1,671
Coeff Smorzam.Equival.(%)	21	Duttilita	2,126

**STATO LIMITE DI DANNO**

DOMANDA		CAPACITA'	
Spostamento mm	9,114	Spostamento mm	18,343
S.L. Danno	VERIFICATO	Numero passo precedente	34
PgaLD/g	0,138	ZetaE=PgaLD/Pga 63%	1,809
Rapporto $q^*=F_e/F_y$	0,59	Asta3D Nro	
Tempo Intervento (anni)	227	TrCLD (anni)	343
-----		(TrCLD/TDLD)^a	1,869

**STATO LIMITE DI SALVAGUARDIA DELLA VITA**

DOMANDA		CAPACITA'	
Spostamento mm	25,603	Spostamento mm	32,580
S.L. Salvaguardia Vita	VERIFICATO	Numero passo precedente	50

**C.D.S.**

PgaLV/g	0,222	ZetaE=PgaLV/Pga 10%	1,246
Rapporto $q^*=F_e/F_y$	1,40	Asta3D Nro	11
Tempo Intervento (anni)	96	TrCLV (anni)	1363
-----		(TrCLV/TDLV)^a	1,306

**RISULTATI GENERALI PUSH-OVER**

PUSH-OVER N.ro	11 -	Distrib.Forze Prop.Modo:+Fy-0.3*Fx+Ecc5%	
Angolo Ingr. Sisma (Grd)	90	Numero collassi totali	1
Numero passo Resist.Max.	69	Numero passi significativi	69
Massa SDOF (t)	691,40	Taglio alla base max. (t)	473,77
Coeff. Partecipazione	1,34	Resistenza SDOF (t)	342,60
Rigidezza SDOF (t/m)	25356,45	Spostam. Snervam. SDOF mm	14
Periodo SDOF (sec)	0,33	Rapporto di incrudimento	0,000
Rapporto Alfau/alfa1	2,815	Fattore di comportamento	3,276
Coeff Smorzam.Equival.(%)	30	Duttilita	5,167
<b>STATO LIMITE DI DANNO</b>			
<b>DOMANDA</b>		<b>CAPACITA'</b>	
Spostamento mm	7,643	Spostamento mm	14,801
S.L. Danno	VERIFICATO	Numero passo precedente	41
PgaLD/g	0,134	ZetaE=PgaLD/Pga 63%	1,760
Rapporto $q^*=F_e/F_y$	0,57	Asta3D Nro	110
Tempo Intervento (anni)	211	TrCLD (anni)	318
-----		(TrCLD/TDLD)^a	1,812
<b>STATO LIMITE DI SALVAGUARDIA DELLA VITA</b>			
<b>DOMANDA</b>		<b>CAPACITA'</b>	
Spostamento mm	21,759	Spostamento mm	44,716
S.L. Salvaguardia Vita	VERIFICATO	Numero passo precedente	64
PgaLV/g	0,269	ZetaE=PgaLV/Pga 10%	1,513
Rapporto $q^*=F_e/F_y$	1,33	Asta3D Nro	119
Tempo Intervento (anni)	174	TrCLV (anni)	2475
-----		(TrCLV/TDLV)^a	1,670

**RISULTATI GENERALI PUSH-OVER**

PUSH-OVER N.ro	12 -	Distrib.Forze Prop.Modo:-Fy-0.3*Fx+Ecc5%	
Angolo Ingr. Sisma (Grd)	270	Numero collassi totali	1
Numero passo Resist.Max.	60	Numero passi significativi	60
Massa SDOF (t)	691,40	Taglio alla base max. (t)	464,39
Coeff. Partecipazione	1,34	Resistenza SDOF (t)	335,08
Rigidezza SDOF (t/m)	25072,44	Spostam. Snervam. SDOF mm	13
Periodo SDOF (sec)	0,33	Rapporto di incrudimento	0,000
Rapporto Alfau/alfa1	4,270	Fattore di comportamento	2,234
Coeff Smorzam.Equival.(%)	27	Duttilita	3,246
<b>STATO LIMITE DI DANNO</b>			
<b>DOMANDA</b>		<b>CAPACITA'</b>	
Spostamento mm	7,730	Spostamento mm	10,519
S.L. Danno	VERIFICATO	Numero passo precedente	13
PgaLD/g	0,100	ZetaE=PgaLD/Pga 63%	1,311
Rapporto $q^*=F_e/F_y$	0,58	Asta3D Nro	105
Tempo Intervento (anni)	96	TrCLD (anni)	145
-----		(TrCLD/TDLD)^a	1,312
<b>STATO LIMITE DI SALVAGUARDIA DELLA VITA</b>			
<b>DOMANDA</b>		<b>CAPACITA'</b>	
Spostamento mm	22,205	Spostamento mm	33,074

**C.D.S.**

S.L. Salvaguardia Vita	VERIFICATO	Numero passo precedente	57
PgaLV/g	0,254	ZetaE=PgaLV/Pga 10%	1,427
Rapporto $q^*=F_e/F_y$	1,36	Asta3D Nro	113
Tempo Intervento (anni)	145	TrCLV (anni)	2070
-----		(TrCLV/TDLV)^a	1,551

**RISULTATI GENERALI PUSH-OVER**

PUSH-OVER N.ro	13 -	Distrib.Forze Prop.Massa:+Fx-0.3*Fy+Ecc5%	
Angolo Ingr. Sisma (Grd)	0	Numero collassi totali	1
Numero passo Resist.Max.	56	Numero passi significativi	56
Massa SDOF (t)	1035,86	Taglio alla base max. (t)	474,23
Coeff. Partecipazione	1,00	Resistenza SDOF (t)	466,07
Rigidezza SDOF (t/m)	25294,78	Spostam. Snervam. SDOF mm	18
Periodo SDOF (sec)	0,41	Rapporto di incrudimento	0,000
Rapporto Alfau/alfa1	2,326	Fattore di comportamento	3,093
Coeff Smorzam.Equival.(%)	29	Duttilita	4,127

**STATO LIMITE DI DANNO**

DOMANDA		CAPACITA'	
Spostamento mm	11,479	Spostamento mm	18,085
S.L. Danno	VERIFICATO	Numero passo precedente	24
PgaLD/g	0,115	ZetaE=PgaLD/Pga 63%	1,514
Rapporto $q^*=F_e/F_y$	0,62	Asta3D Nro	79
Tempo Intervento (anni)	140	TrCLD (anni)	211
-----		(TrCLD/TDLD)^a	1,531

**STATO LIMITE DI SALVAGUARDIA DELLA VITA**

DOMANDA		CAPACITA'	
Spostamento mm	31,321	Spostamento mm	50,580
S.L. Salvaguardia Vita	VERIFICATO	Numero passo precedente	54
PgaLV/g	0,269	ZetaE=PgaLV/Pga 10%	1,513
Rapporto $q^*=F_e/F_y$	1,47	Asta3D Nro	82
Tempo Intervento (anni)	174	TrCLV (anni)	2475
-----		(TrCLV/TDLV)^a	1,670

**RISULTATI GENERALI PUSH-OVER**

PUSH-OVER N.ro	14 -	Distrib.Forze Prop.Massa:-Fx-0.3*Fy+Ecc5%	
Angolo Ingr. Sisma (Grd)	180	Numero collassi totali	1
Numero passo Resist.Max.	50	Numero passi significativi	50
Massa SDOF (t)	1035,86	Taglio alla base max. (t)	471,11
Coeff. Partecipazione	1,00	Resistenza SDOF (t)	462,56
Rigidezza SDOF (t/m)	24115,88	Spostam. Snervam. SDOF mm	19
Periodo SDOF (sec)	0,42	Rapporto di incrudimento	0,000
Rapporto Alfau/alfa1	1,872	Fattore di comportamento	3,353
Coeff Smorzam.Equival.(%)	29	Duttilita	4,433

**STATO LIMITE DI DANNO**

DOMANDA		CAPACITA'	
Spostamento mm	12,040	Spostamento mm	21,343
S.L. Danno	VERIFICATO	Numero passo precedente	30
PgaLD/g	0,126	ZetaE=PgaLD/Pga 63%	1,657
Rapporto $q^*=F_e/F_y$	0,63	Asta3D Nro	
Tempo Intervento (anni)	179	TrCLD (anni)	270
-----		(TrCLD/TDLD)^a	1,694

**STATO LIMITE DI SALVAGUARDIA DELLA VITA**

DOMANDA		CAPACITA'	
Spostamento mm	32,600	Spostamento mm	66,043
S.L. Salvaguardia Vita	VERIFICATO	Numero passo precedente	48

**C.D.S.**

PgaLV/g	0,269	ZetaE=PgaLV/Pga 10%	1,513
Rapporto $q^*=F_e/F_y$	1,48	Asta3D Nro	69
Tempo Intervento (anni)	174	TrCLV (anni)	2475
-----		(TrCLV/TDLV)^a	1,670

**RISULTATI GENERALI PUSH-OVER**

PUSH-OVER N.ro	15 -	Distrib.Forze Prop.Massa: +Fy-0.3*Fx+Ecc5%	
Angolo Ingr. Sisma (Grd)	90	Numero collassi totali	1
Numero passo Resist.Max.	62	Numero passi significativi	62
Massa SDOF (t)	1035,86	Taglio alla base max. (t)	476,38
Coeff. Partecipazione	1,00	Resistenza SDOF (t)	465,89
Rigidezza SDOF (t/m)	30112,36	Spostam. Snervam. SDOF mm	15
Periodo SDOF (sec)	0,37	Rapporto di incrudimento	0,000
Rapporto Alfau/alfa1	2,490	Fattore di comportamento	3,372
Coeff Smorzam.Equival.(%)	30	Duttilita	4,867

**STATO LIMITE DI DANNO**

D O M A N D A		C A P A C I T A'	
Spostamento mm	9,642	Spostamento mm	18,654
S.L. Danno	VERIFICATO	Numero passo precedente	44
PgaLD/g	0,133	ZetaE=PgaLD/Pga 63%	1,750
Rapporto $q^*=F_e/F_y$	0,62	Asta3D Nro	110
Tempo Intervento (anni)	207	TrCLD (anni)	313
-----		(TrCLD/TDLV)^a	1,800

**STATO LIMITE DI SALVAGUARDIA DELLA VITA**

D O M A N D A		C A P A C I T A'	
Spostamento mm	27,301	Spostamento mm	58,781
S.L. Salvaguardia Vita	VERIFICATO	Numero passo precedente	60
PgaLV/g	0,269	ZetaE=PgaLV/Pga 10%	1,513
Rapporto $q^*=F_e/F_y$	1,47	Asta3D Nro	69
Tempo Intervento (anni)	174	TrCLV (anni)	2475
-----		(TrCLV/TDLV)^a	1,670

**RISULTATI GENERALI PUSH-OVER**

PUSH-OVER N.ro	16 -	Distrib.Forze Prop.Massa: -Fy-0.3*Fx+Ecc5%	
Angolo Ingr. Sisma (Grd)	270	Numero collassi totali	1
Numero passo Resist.Max.	58	Numero passi significativi	58
Massa SDOF (t)	1035,86	Taglio alla base max. (t)	484,65
Coeff. Partecipazione	1,00	Resistenza SDOF (t)	477,18
Rigidezza SDOF (t/m)	29572,07	Spostam. Snervam. SDOF mm	16
Periodo SDOF (sec)	0,38	Rapporto di incrudimento	0,000
Rapporto Alfau/alfa1	3,978	Fattore di comportamento	3,841
Coeff Smorzam.Equival.(%)	31	Duttilita	5,588

**STATO LIMITE DI DANNO**

D O M A N D A		C A P A C I T A'	
Spostamento mm	9,818	Spostamento mm	13,299
S.L. Danno	VERIFICATO	Numero passo precedente	16
PgaLD/g	0,099	ZetaE=PgaLD/Pga 63%	1,307
Rapporto $q^*=F_e/F_y$	0,61	Asta3D Nro	105
Tempo Intervento (anni)	95	TrCLD (anni)	144
-----		(TrCLD/TDLV)^a	1,308

**STATO LIMITE DI SALVAGUARDIA DELLA VITA**

D O M A N D A		C A P A C I T A'	
Spostamento mm	27,456	Spostamento mm	70,137
S.L. Salvaguardia Vita	VERIFICATO	Numero passo precedente	57
PgaLV/g	0,269	ZetaE=PgaLV/Pga 10%	1,513



**C.D.S.**

Rapporto $q^*=F_e/F_y$	1,43	Asta3D Nro	75
Tempo Intervento (anni)	174	TrCLV (anni)	2475
-----		(TrCLV/TDLV)^a	1,670

**RISULTATI GENERALI PUSH-OVER**

PUSH-OVER N.ro	17 -	Distrib.Forze Prop.Modolo: +Fx+0.3*Fy-Ecc5%	
Angolo Ingr. Sisma (Grd)	0	Numero collassi totali	1
Numero passo Resist.Max.	56	Numero passi significativi	56
Massa SDOF (t)	646,31	Taglio alla base max. (t)	437,83
Coeff. Partecipazione	1,36	Resistenza SDOF (t)	307,93
Rigidezza SDOF (t/m)	19836,80	Spostam. Snervam. SDOF mm	16
Periodo SDOF (sec)	0,36	Rapporto di incrudimento	0,000
Rapporto Alfau/alfa1	1,854	Fattore di comportamento	1,783
Coeff Smorzam.Equival.(%)	23	Duttilita	2,311
<b>STATO LIMITE DI DANNO</b>			
<b>DOMANDA</b>		<b>CAPACITA'</b>	
Spostamento mm	9,133	Spostamento mm	18,548
S.L. Danno	VERIFICATO	Numero passo precedente	37
PgaLD/g	0,139	ZetaE=PgaLD/Pga 63%	1,825
Rapporto $q^*=F_e/F_y$	0,59	Asta3D Nro	
Tempo Intervento (anni)	233	TrCLD (anni)	351
-----		(TrCLD/TDLD)^a	1,887
<b>STATO LIMITE DI SALVAGUARDIA DELLA VITA</b>			
<b>DOMANDA</b>		<b>CAPACITA'</b>	
Spostamento mm	25,579	Spostamento mm	35,456
S.L. Salvaguardia Vita	VERIFICATO	Numero passo precedente	55
PgaLV/g	0,241	ZetaE=PgaLV/Pga 10%	1,354
Rapporto $q^*=F_e/F_y$	1,39	Asta3D Nro	10
Tempo Intervento (anni)	124	TrCLV (anni)	1761
-----		(TrCLV/TDLV)^a	1,452

**RISULTATI GENERALI PUSH-OVER**

PUSH-OVER N.ro	18 -	Distrib.Forze Prop.Modolo: -Fx+0.3*Fy-Ecc5%	
Angolo Ingr. Sisma (Grd)	180	Numero collassi totali	1
Numero passo Resist.Max.	54	Numero passi significativi	54
Massa SDOF (t)	646,31	Taglio alla base max. (t)	441,72
Coeff. Partecipazione	1,36	Resistenza SDOF (t)	317,66
Rigidezza SDOF (t/m)	20682,78	Spostam. Snervam. SDOF mm	15
Periodo SDOF (sec)	0,35	Rapporto di incrudimento	0,000
Rapporto Alfau/alfa1	1,888	Fattore di comportamento	2,445
Coeff Smorzam.Equival.(%)	27	Duttilita	3,471
<b>STATO LIMITE DI DANNO</b>			
<b>DOMANDA</b>		<b>CAPACITA'</b>	
Spostamento mm	8,759	Spostamento mm	17,349
S.L. Danno	VERIFICATO	Numero passo precedente	31
PgaLD/g	0,137	ZetaE=PgaLD/Pga 63%	1,800
Rapporto $q^*=F_e/F_y$	0,57	Asta3D Nro	
Tempo Intervento (anni)	224	TrCLD (anni)	338
-----		(TrCLD/TDLD)^a	1,858
<b>STATO LIMITE DI SALVAGUARDIA DELLA VITA</b>			
<b>DOMANDA</b>		<b>CAPACITA'</b>	
Spostamento mm	24,402	Spostamento mm	41,817
S.L. Salvaguardia Vita	VERIFICATO	Numero passo precedente	52
PgaLV/g	0,269	ZetaE=PgaLV/Pga 10%	1,513
Rapporto $q^*=F_e/F_y$	1,34	Asta3D Nro	94

**C.D.S.**

Tempo Intervento (anni)	174	TrCLV (anni)	2475
-----		(TrCLV/TDLV)^a	1,670

**RISULTATI GENERALI PUSH-OVER**

PUSH-OVER N.ro	19 -	Distrib.Forze Prop.Modo:+Fy+0.3*Fx-Ecc5%	
Angolo Ingr. Sisma (Grd)	90	Numero collassi totali	1
Numero passo Resist.Max.	58	Numero passi significativi	58
Massa SDOF (t)	691,40	Taglio alla base max. (t)	462,45
Coeff. Partecipazione	1,34	Resistenza SDOF (t)	332,01
Rigidezza SDOF (t/m)	24859,32	Spostam. Snervam. SDOF mm	13
Periodo SDOF (sec)	0,33	Rapporto di incrudimento	0,000
Rapporto Alfau/alfa1	2,909	Fattore di comportamento	2,073
Coeff Smorzam.Equival.(%)	26	Duttilita	2,945

**STATO LIMITE DI DANNO**

DOMANDA		CAPACITA'	
Spostamento mm	7,796	Spostamento mm	12,017
S.L. Danno	VERIFICATO	Numero passo precedente	24
PgaLD/g	0,113	ZetaE=PgaLD/Pga 63%	1,490
Rapporto q*=Fe/Fy	0,58	Asta3D Nro	110
Tempo Intervento (anni)	134	TrCLD (anni)	202
-----		(TrCLD/TDLV)^a	1,503

**STATO LIMITE DI SALVAGUARDIA DELLA VITA**

DOMANDA		CAPACITA'	
Spostamento mm	22,457	Spostamento mm	36,927
S.L. Salvaguardia Vita	VERIFICATO	Numero passo precedente	57
PgaLV/g	0,269	ZetaE=PgaLV/Pga 10%	1,513
Rapporto q*=Fe/Fy	1,38	Asta3D Nro	105
Tempo Intervento (anni)	174	TrCLV (anni)	2475
-----		(TrCLV/TDLV)^a	1,670

**RISULTATI GENERALI PUSH-OVER**

PUSH-OVER N.ro	20 -	Distrib.Forze Prop.Modo:-Fy+0.3*Fx-Ecc5%	
Angolo Ingr. Sisma (Grd)	270	Numero collassi totali	1
Numero passo Resist.Max.	58	Numero passi significativi	58
Massa SDOF (t)	691,40	Taglio alla base max. (t)	464,49
Coeff. Partecipazione	1,34	Resistenza SDOF (t)	335,49
Rigidezza SDOF (t/m)	25589,86	Spostam. Snervam. SDOF mm	13
Periodo SDOF (sec)	0,33	Rapporto di incrudimento	0,000
Rapporto Alfau/alfa1	3,483	Fattore di comportamento	2,236
Coeff Smorzam.Equival.(%)	27	Duttilita	3,272

**STATO LIMITE DI DANNO**

DOMANDA		CAPACITA'	
Spostamento mm	7,573	Spostamento mm	13,030
S.L. Danno	VERIFICATO	Numero passo precedente	29
PgaLD/g	0,122	ZetaE=PgaLD/Pga 63%	1,611
Rapporto q*=Fe/Fy	0,58	Asta3D Nro	105
Tempo Intervento (anni)	166	TrCLD (anni)	250
-----		(TrCLD/TDLV)^a	1,641

**STATO LIMITE DI SALVAGUARDIA DELLA VITA**

DOMANDA		CAPACITA'	
Spostamento mm	21,831	Spostamento mm	35,597
S.L. Salvaguardia Vita	VERIFICATO	Numero passo precedente	55
PgaLV/g	0,269	ZetaE=PgaLV/Pga 10%	1,513
Rapporto q*=Fe/Fy	1,36	Asta3D Nro	113
Tempo Intervento (anni)	174	TrCLV (anni)	2475

-----	(TrCLV/TDLV) <sup>a</sup>	1,670
-------	---------------------------	-------

**RISULTATI GENERALI PUSH-OVER**

PUSH-OVER N.ro	21 -	Distrib.Forze Prop.Massa:+Fx+0.3*Fy-Ecc5%	
Angolo Ingr. Sisma (Grd)	0	Numero collassi totali	1
Numero passo Resist.Max.	47	Numero passi significativi	47
Massa SDOF (t)	1035,86	Taglio alla base max. (t)	469,62
Coeff. Partecipazione	1,00	Resistenza SDOF (t)	461,50
Rigidezza SDOF (t/m)	24134,21	Spostam. Snervam. SDOF mm	19
Periodo SDOF (sec)	0,42	Rapporto di incrudimento	0,000
Rapporto Alfau/alfa1	1,930	Fattore di comportamento	3,187
Coeff Smorzam.Equival.(%)	29	Duttilita	4,191
<b>STATO LIMITE DI DANNO</b>			
<b>DOMANDA</b>		<b>CAPACITA'</b>	
Spostamento mm	12,031	Spostamento mm	21,980
S.L. Danno	VERIFICATO	Numero passo precedente	30
PgaLD/g	0,129	ZetaE=PgaLD/Pga 63%	1,697
Rapporto q*=Fe/Fy	0,63	Asta3D Nro	
Tempo Intervento (anni)	191	TrCLD (anni)	288
-----		(TrCLD/TDLV) <sup>a</sup>	1,740
<b>STATO LIMITE DI SALVAGUARDIA DELLA VITA</b>			
<b>DOMANDA</b>		<b>CAPACITA'</b>	
Spostamento mm	32,601	Spostamento mm	62,537
S.L. Salvaguardia Vita	VERIFICATO	Numero passo precedente	46
PgaLV/g	0,269	ZetaE=PgaLV/Pga 10%	1,513
Rapporto q*=Fe/Fy	1,48	Asta3D Nro	75
Tempo Intervento (anni)	174	TrCLV (anni)	2475
-----		(TrCLV/TDLV) <sup>a</sup>	1,670

**RISULTATI GENERALI PUSH-OVER**

PUSH-OVER N.ro	22 -	Distrib.Forze Prop.Massa:-Fx+0.3*Fy-Ecc5%	
Angolo Ingr. Sisma (Grd)	180	Numero collassi totali	1
Numero passo Resist.Max.	49	Numero passi significativi	49
Massa SDOF (t)	1035,86	Taglio alla base max. (t)	472,17
Coeff. Partecipazione	1,00	Resistenza SDOF (t)	462,54
Rigidezza SDOF (t/m)	25485,75	Spostam. Snervam. SDOF mm	18
Periodo SDOF (sec)	0,40	Rapporto di incrudimento	0,000
Rapporto Alfau/alfa1	2,034	Fattore di comportamento	2,813
Coeff Smorzam.Equival.(%)	28	Duttilita	3,718
<b>STATO LIMITE DI DANNO</b>			
<b>DOMANDA</b>		<b>CAPACITA'</b>	
Spostamento mm	11,393	Spostamento mm	20,868
S.L. Danno	VERIFICATO	Numero passo precedente	35
PgaLD/g	0,129	ZetaE=PgaLD/Pga 63%	1,695
Rapporto q*=Fe/Fy	0,63	Asta3D Nro	78
Tempo Intervento (anni)	190	TrCLD (anni)	287
-----		(TrCLD/TDLV) <sup>a</sup>	1,737
<b>STATO LIMITE DI SALVAGUARDIA DELLA VITA</b>			
<b>DOMANDA</b>		<b>CAPACITA'</b>	
Spostamento mm	31,204	Spostamento mm	51,996
S.L. Salvaguardia Vita	VERIFICATO	Numero passo precedente	47
PgaLV/g	0,269	ZetaE=PgaLV/Pga 10%	1,513
Rapporto q*=Fe/Fy	1,48	Asta3D Nro	79
Tempo Intervento (anni)	174	TrCLV (anni)	2475
-----		(TrCLV/TDLV) <sup>a</sup>	1,670

**RISULTATI GENERALI PUSH-OVER**

PUSH-OVER N.ro	23 -	Distrib.Forze Prop.Massa: +Fy+0.3*Fx-Ecc5%	
Angolo Ingr. Sisma (Grd)	90	Numero collassi totali	1
Numero passo Resist.Max.	58	Numero passi significativi	58
Massa SDOF (t)	1035,86	Taglio alla base max. (t)	476,16
Coeff. Partecipazione	1,00	Resistenza SDOF (t)	465,78
Rigidezza SDOF (t/m)	29436,48	Spostam. Snervam. SDOF mm	16
Periodo SDOF (sec)	0,38	Rapporto di incrudimento	0,000
Rapporto Alfau/alfa1	2,652	Fattore di comportamento	3,287
Coeff Smorzam.Equival.(%)	30	Duttilita	4,685
<b>STATO LIMITE DI DANNO</b>			
<b>DOMANDA</b>		<b>CAPACITA'</b>	
Spostamento mm	9,864	Spostamento mm	15,433
S.L. Danno	VERIFICATO	Numero passo precedente	28
PgaLD/g	0,114	ZetaE=PgaLD/Pga 63%	1,506
Rapporto q*=Fe/Fy	0,62	Asta3D Nro	110
Tempo Intervento (anni)	138	TrCLD (anni)	208
-----		(TrCLD/TDLT)^a	1,522
<b>STATO LIMITE DI SALVAGUARDIA DELLA VITA</b>			
<b>DOMANDA</b>		<b>CAPACITA'</b>	
Spostamento mm	27,793	Spostamento mm	58,054
S.L. Salvaguardia Vita	VERIFICATO	Numero passo precedente	55
PgaLV/g	0,269	ZetaE=PgaLV/Pga 10%	1,513
Rapporto q*=Fe/Fy	1,47	Asta3D Nro	68
Tempo Intervento (anni)	174	TrCLV (anni)	2475
-----		(TrCLV/TDLV)^a	1,670

**RISULTATI GENERALI PUSH-OVER**

PUSH-OVER N.ro	24 -	Distrib.Forze Prop.Massa: -Fy+0.3*Fx-Ecc5%	
Angolo Ingr. Sisma (Grd)	270	Numero collassi totali	1
Numero passo Resist.Max.	57	Numero passi significativi	57
Massa SDOF (t)	1035,86	Taglio alla base max. (t)	484,10
Coeff. Partecipazione	1,00	Resistenza SDOF (t)	476,69
Rigidezza SDOF (t/m)	30192,74	Spostam. Snervam. SDOF mm	16
Periodo SDOF (sec)	0,37	Rapporto di incrudimento	0,000
Rapporto Alfau/alfa1	3,315	Fattore di comportamento	3,804
Coeff Smorzam.Equival.(%)	31	Duttilita	5,577
<b>STATO LIMITE DI DANNO</b>			
<b>DOMANDA</b>		<b>CAPACITA'</b>	
Spostamento mm	9,617	Spostamento mm	16,051
S.L. Danno	VERIFICATO	Numero passo precedente	32
PgaLD/g	0,120	ZetaE=PgaLD/Pga 63%	1,577
Rapporto q*=Fe/Fy	0,61	Asta3D Nro	105
Tempo Intervento (anni)	157	TrCLD (anni)	236
-----		(TrCLD/TDLT)^a	1,603
<b>STATO LIMITE DI SALVAGUARDIA DELLA VITA</b>			
<b>DOMANDA</b>		<b>CAPACITA'</b>	
Spostamento mm	27,018	Spostamento mm	68,124
S.L. Salvaguardia Vita	VERIFICATO	Numero passo precedente	56
PgaLV/g	0,269	ZetaE=PgaLV/Pga 10%	1,513
Rapporto q*=Fe/Fy	1,44	Asta3D Nro	75
Tempo Intervento (anni)	174	TrCLV (anni)	2475
-----		(TrCLV/TDLV)^a	1,670

**RISULTATI GENERALI PUSH-OVER**

PUSH-OVER N.ro	25 -	Distrib.Forze Prop.Modo:+Fx-0.3*Fy-Ecc5%	
Angolo Ingr. Sisma (Grd)	0	Numero collassi totali	1
Numero passo Resist.Max.	52	Numero passi significativi	52
Massa SDOF (t)	646,31	Taglio alla base max. (t)	439,95
Coeff. Partecipazione	1,36	Resistenza SDOF (t)	309,78
Rigidezza SDOF (t/m)	20037,79	Spostam. Snervam. SDOF mm	15
Periodo SDOF (sec)	0,36	Rapporto di incrudimento	0,000
Rapporto Alfau/alfa1	2,189	Fattore di comportamento	1,812
Coeff Smorzam.Equival.(%)	23	Duttilita	2,366
<b>STATO LIMITE DI DANNO</b>			
<b>DOMANDA</b>		<b>CAPACITA'</b>	
Spostamento mm	9,041	Spostamento mm	18,084
S.L. Danno	VERIFICATO	Numero passo precedente	35
PgaLD/g	0,137	ZetaE=PgaLD/Pga 63%	1,805
Rapporto q*=Fe/Fy	0,58	Asta3D Nro	85
Tempo Intervento (anni)	226	TrCLD (anni)	341
-----		(TrCLD/TDLT)^a	1,865
<b>STATO LIMITE DI SALVAGUARDIA DELLA VITA</b>			
<b>DOMANDA</b>		<b>CAPACITA'</b>	
Spostamento mm	25,310	Spostamento mm	36,040
S.L. Salvaguardia Vita	VERIFICATO	Numero passo precedente	51
PgaLV/g	0,247	ZetaE=PgaLV/Pga 10%	1,388
Rapporto q*=Fe/Fy	1,38	Asta3D Nro	58
Tempo Intervento (anni)	133	TrCLV (anni)	1901
-----		(TrCLV/TDLV)^a	1,498

**RISULTATI GENERALI PUSH-OVER**

PUSH-OVER N.ro	26 -	Distrib.Forze Prop.Modo:-Fx-0.3*Fy-Ecc5%	
Angolo Ingr. Sisma (Grd)	180	Numero collassi totali	1
Numero passo Resist.Max.	49	Numero passi significativi	49
Massa SDOF (t)	646,31	Taglio alla base max. (t)	442,05
Coeff. Partecipazione	1,36	Resistenza SDOF (t)	318,32
Rigidezza SDOF (t/m)	20450,79	Spostam. Snervam. SDOF mm	16
Periodo SDOF (sec)	0,36	Rapporto di incrudimento	0,000
Rapporto Alfau/alfa1	1,842	Fattore di comportamento	2,642
Coeff Smorzam.Equival.(%)	28	Duttilita	3,793
<b>STATO LIMITE DI DANNO</b>			
<b>DOMANDA</b>		<b>CAPACITA'</b>	
Spostamento mm	8,858	Spostamento mm	17,840
S.L. Danno	VERIFICATO	Numero passo precedente	30
PgaLD/g	0,139	ZetaE=PgaLD/Pga 63%	1,825
Rapporto q*=Fe/Fy	0,57	Asta3D Nro	
Tempo Intervento (anni)	233	TrCLD (anni)	351
-----		(TrCLD/TDLT)^a	1,887
<b>STATO LIMITE DI SALVAGUARDIA DELLA VITA</b>			
<b>DOMANDA</b>		<b>CAPACITA'</b>	
Spostamento mm	24,605	Spostamento mm	45,681
S.L. Salvaguardia Vita	VERIFICATO	Numero passo precedente	48
PgaLV/g	0,269	ZetaE=PgaLV/Pga 10%	1,513
Rapporto q*=Fe/Fy	1,34	Asta3D Nro	150
Tempo Intervento (anni)	174	TrCLV (anni)	2475
-----		(TrCLV/TDLV)^a	1,670

**RISULTATI GENERALI PUSH-OVER**

SOFTWARE: C.D.S. - Full - Rel.2018

PUSH-OVER N.ro		27 -	Distrib.Forze Prop.Modolo:+Fy-0.3*Fx-Ecc5%	
Angolo Ingr. Sisma (Grd)	90		Numero collassi totali	1
Numero passo Resist.Max.	74		Numero passi significativi	74
Massa SDOF (t)	691,40		Taglio alla base max. (t)	467,56
Coeff. Partecipazione	1,34		Resistenza SDOF (t)	336,85
Rigidezza SDOF (t/m)	25188,97		Spostam. Snervam. SDOF mm	13
Periodo SDOF (sec)	0,33		Rapporto di incrudimento	0,000
Rapporto Alfau/alfa1	3,092		Fattore di comportamento	2,562
Coeff Smorzam.Equival.(%)	28		Duttilita	3,850
STATO LIMITE DI DANNO				
DOMANDA			CAPACITA'	
Spostamento mm	7,694		Spostamento mm	11,497
S.L. Danno	VERIFICATO		Numero passo precedente	29
PgaLD/g	0,110		ZetaE=PgaLD/Pga 63%	1,443
Rapporto q*=Fe/Fy	0,58		Asta3D Nro	110
Tempo Intervento (anni)	123		TrCLD (anni)	186
-----			(TrCLD/TDLT)^a	1,453
STATO LIMITE DI SALVAGUARDIA DELLA VITA				
DOMANDA			CAPACITA'	
Spostamento mm	22,064		Spostamento mm	38,998
S.L. Salvaguardia Vita	VERIFICATO		Numero passo precedente	68
PgaLV/g	0,269		ZetaE=PgaLV/Pga 10%	1,513
Rapporto q*=Fe/Fy	1,36		Asta3D Nro	105
Tempo Intervento (anni)	174		TrCLV (anni)	2475
-----			(TrCLV/TDLV)^a	1,670

## RISULTATI GENERALI PUSH-OVER

PUSH-OVER N.ro		28 -	Distrib.Forze Prop.Modolo:-Fy-0.3*Fx-Ecc5%	
Angolo Ingr. Sisma (Grd)	270		Numero collassi totali	1
Numero passo Resist.Max.	59		Numero passi significativi	59
Massa SDOF (t)	691,40		Taglio alla base max. (t)	467,82
Coeff. Partecipazione	1,34		Resistenza SDOF (t)	338,54
Rigidezza SDOF (t/m)	25257,41		Spostam. Snervam. SDOF mm	13
Periodo SDOF (sec)	0,33		Rapporto di incrudimento	0,000
Rapporto Alfau/alfa1	3,695		Fattore di comportamento	2,633
Coeff Smorzam.Equival.(%)	28		Duttilita	3,983
STATO LIMITE DI DANNO				
DOMANDA			CAPACITA'	
Spostamento mm	7,673		Spostamento mm	12,397
S.L. Danno	VERIFICATO		Numero passo precedente	22
PgaLD/g	0,117		ZetaE=PgaLD/Pga 63%	1,540
Rapporto q*=Fe/Fy	0,57		Asta3D Nro	105
Tempo Intervento (anni)	147		TrCLD (anni)	221
-----			(TrCLD/TDLT)^a	1,560
STATO LIMITE DI SALVAGUARDIA DELLA VITA				
DOMANDA			CAPACITA'	
Spostamento mm	21,961		Spostamento mm	44,073
S.L. Salvaguardia Vita	VERIFICATO		Numero passo precedente	55
PgaLV/g	0,269		ZetaE=PgaLV/Pga 10%	1,513
Rapporto q*=Fe/Fy	1,35		Asta3D Nro	113
Tempo Intervento (anni)	174		TrCLV (anni)	2475
-----			(TrCLV/TDLV)^a	1,670

## RISULTATI GENERALI PUSH-OVER

PUSH-OVER N.ro		29 -	Distrib.Forze Prop.Massa:+Fx-0.3*Fy-Ecc5%	
----------------	--	------	---	--

**C.D.S.**

Angolo Ingr. Sisma (Grd)	0	Numero collassi totali	1
Numero passo Resist.Max.	49	Numero passi significativi	49
Massa SDOF (t)	1035,86	Taglio alla base max. (t)	470,69
Coeff. Partecipazione	1,00	Resistenza SDOF (t)	461,41
Rigidezza SDOF (t/m)	24383,27	Spostam. Snervam. SDOF mm	19
Periodo SDOF (sec)	0,41	Rapporto di incrudimento	0,000
Rapporto Alfau/alfa1	2,068	Fattore di comportamento	3,218
Coeff Smorzam.Equival.(%)	29	Duttilita	4,254
<b>STATO LIMITE DI DANNO</b>			
<b>DOMANDA</b>		<b>CAPACITA'</b>	
Spostamento mm	11,908	Spostamento mm	21,617
S.L. Danno	VERIFICATO	Numero passo precedente	34
PgaLD/g	0,128	ZetaE=PgaLD/Pga 63%	1,686
Rapporto q*=Fe/Fy	0,63	Asta3D Nro	
Tempo Intervento (anni)	187	TrCLD (anni)	283
-----		(TrCLD/TDLT)^a	1,727
<b>STATO LIMITE DI SALVAGUARDIA DELLA VITA</b>			
<b>DOMANDA</b>		<b>CAPACITA'</b>	
Spostamento mm	32,338	Spostamento mm	62,973
S.L. Salvaguardia Vita	VERIFICATO	Numero passo precedente	47
PgaLV/g	0,269	ZetaE=PgaLV/Pga 10%	1,513
Rapporto q*=Fe/Fy	1,48	Asta3D Nro	73
Tempo Intervento (anni)	174	TrCLV (anni)	2475
-----		(TrCLV/TDLV)^a	1,670

**RISULTATI GENERALI PUSH-OVER**

PUSH-OVER N.ro	30 -	Distrib.Forze Prop.Massa:-Fx-0.3*Fy-Ecc5%	
Angolo Ingr. Sisma (Grd)	180	Numero collassi totali	1
Numero passo Resist.Max.	46	Numero passi significativi	46
Massa SDOF (t)	1035,86	Taglio alla base max. (t)	471,47
Coeff. Partecipazione	1,00	Resistenza SDOF (t)	462,32
Rigidezza SDOF (t/m)	25175,30	Spostam. Snervam. SDOF mm	18
Periodo SDOF (sec)	0,41	Rapporto di incrudimento	0,000
Rapporto Alfau/alfa1	1,953	Fattore di comportamento	2,832
Coeff Smorzam.Equival.(%)	28	Duttilita	3,730
<b>STATO LIMITE DI DANNO</b>			
<b>DOMANDA</b>		<b>CAPACITA'</b>	
Spostamento mm	11,533	Spostamento mm	21,201
S.L. Danno	VERIFICATO	Numero passo precedente	32
PgaLD/g	0,129	ZetaE=PgaLD/Pga 63%	1,701
Rapporto q*=Fe/Fy	0,63	Asta3D Nro	81
Tempo Intervento (anni)	192	TrCLD (anni)	290
-----		(TrCLD/TDLT)^a	1,745
<b>STATO LIMITE DI SALVAGUARDIA DELLA VITA</b>			
<b>DOMANDA</b>		<b>CAPACITA'</b>	
Spostamento mm	31,512	Spostamento mm	56,571
S.L. Salvaguardia Vita	VERIFICATO	Numero passo precedente	44
PgaLV/g	0,269	ZetaE=PgaLV/Pga 10%	1,513
Rapporto q*=Fe/Fy	1,48	Asta3D Nro	79
Tempo Intervento (anni)	174	TrCLV (anni)	2475
-----		(TrCLV/TDLV)^a	1,670

**RISULTATI GENERALI PUSH-OVER**

PUSH-OVER N.ro	31 -	Distrib.Forze Prop.Massa:+Fy-0.3*Fx-Ecc5%	
Angolo Ingr. Sisma (Grd)	90	Numero collassi totali	1

**C.D.S.**

Numero passo Resist.Max.	57	Numero passi significativi	57
Massa SDOF (t)	1035,86	Taglio alla base max. (t)	475,05
Coeff. Partecipazione	1,00	Resistenza SDOF (t)	465,76
Rigidezza SDOF (t/m)	29823,44	Spostam. Snervam. SDOF mm	16
Periodo SDOF (sec)	0,37	Rapporto di incrudimento	0,000
Rapporto Alfau/alfa1	2,813	Fattore di comportamento	3,480
Coeff Smorzam.Equival.(%)	30	Duttilita	5,023
<b>STATO LIMITE DI DANNO</b>			
<b>DOMANDA</b>		<b>CAPACITA'</b>	
Spostamento mm	9,736	Spostamento mm	14,441
S.L. Danno	VERIFICATO	Numero passo precedente	27
PgaLD/g	0,109	ZetaE=PgaLD/Pga 63%	1,434
Rapporto q*=Fe/Fy	0,62	Asta3D Nro	110
Tempo Intervento (anni)	121	TrCLD (anni)	183
-----		(TrCLD/TDLT)^a	1,444
<b>STATO LIMITE DI SALVAGUARDIA DELLA VITA</b>			
<b>DOMANDA</b>		<b>CAPACITA'</b>	
Spostamento mm	27,511	Spostamento mm	61,469
S.L. Salvaguardia Vita	VERIFICATO	Numero passo precedente	55
PgaLV/g	0,269	ZetaE=PgaLV/Pga 10%	1,513
Rapporto q*=Fe/Fy	1,47	Asta3D Nro	75
Tempo Intervento (anni)	174	TrCLV (anni)	2475
-----		(TrCLV/TDLV)^a	1,670

**RISULTATI GENERALI PUSH-OVER**

PUSH-OVER N.ro	32 -	Distrib.Forze Prop.Massa:-Fy-0.3*Fx-Ecc5%	
Angolo Ingr. Sisma (Grd)	270	Numero collassi totali	1
Numero passo Resist.Max.	54	Numero passi significativi	54
Massa SDOF (t)	1035,86	Taglio alla base max. (t)	484,64
Coeff. Partecipazione	1,00	Resistenza SDOF (t)	477,17
Rigidezza SDOF (t/m)	29806,12	Spostam. Snervam. SDOF mm	16
Periodo SDOF (sec)	0,37	Rapporto di incrudimento	0,000
Rapporto Alfau/alfa1	3,420	Fattore di comportamento	3,711
Coeff Smorzam.Equival.(%)	30	Duttilita	5,396
<b>STATO LIMITE DI DANNO</b>			
<b>DOMANDA</b>		<b>CAPACITA'</b>	
Spostamento mm	9,741	Spostamento mm	15,546
S.L. Danno	VERIFICATO	Numero passo precedente	23
PgaLD/g	0,116	ZetaE=PgaLD/Pga 63%	1,527
Rapporto q*=Fe/Fy	0,61	Asta3D Nro	105
Tempo Intervento (anni)	143	TrCLD (anni)	216
-----		(TrCLD/TDLT)^a	1,545
<b>STATO LIMITE DI SALVAGUARDIA DELLA VITA</b>			
<b>DOMANDA</b>		<b>CAPACITA'</b>	
Spostamento mm	27,285	Spostamento mm	66,484
S.L. Salvaguardia Vita	VERIFICATO	Numero passo precedente	53
PgaLV/g	0,269	ZetaE=PgaLV/Pga 10%	1,513
Rapporto q*=Fe/Fy	1,43	Asta3D Nro	75
Tempo Intervento (anni)	174	TrCLV (anni)	2475
-----		(TrCLV/TDLV)^a	1,670

**RISULTATI VERIFICHE NODI CLS - PUSH N.ro: 1 - Prop.Modolo: +Fx+0.3\*Fy+Ecc5%**

IDENTIFICATIVO					DIREZIONE 'X'							DIREZIONE 'Y'						
Filo N.ro	Quota (m)	Nod3d Nro	Nsup (t)	Coll Nodo	TaglSup (t)	TrazAf (t)	SgmCo	SgmTr	RcLim	RtLim	DeltRt	TaglSup (t)	TrazAf (t)	SgmCo	SgmTr	RcLim	RtLim	DeltRt
					----- kg/cm2 -----							----- kg/cm2 -----						
1	0,00	1	-4,1	NO	10,2	0,0	-7,8	0,0	69,0	11,1	9,9	1,6	0,0	-2,9	0,0	69,0	11,1	9,9
2	0,00	2	-41,3	NO								3,0	0,0	-25,9	0,0	69,0	11,1	9,9

SOFTWARE: C.D.S. - Full - Rel.2018



## RISULTATI VERIFICHE NODI CLS - PUSH N.ro: 1 - Prop.Modolo: +Fx+0.3\*Fy+Ecc5%

IDENTIFICATIVO					DIREZIONE 'X'							DIREZIONE 'Y'						
Filo N.ro	Quota (m)	Nod3d Nro	Nsup (t)	Coll Nodo	TaglSup (t)	TrazAf (t)	SgmCo ----- kg/cmq -----	SgmTr	RcLim	RtLim	DeltRt	TaglSup (t)	TrazAf (t)	SgmCo ----- kg/cmq -----	SgmTr	RcLim	RtLim	DeltRt
3	0,00	3	-36,5	NO								0,8	0,0	-22,8	0,0	69,0	11,1	9,9
4	0,00	4	-25,7	NO	16,6	17,1	-16,0	0,0	69,0	11,1	9,9	2,3	0,0	-16,2	0,0	69,0	11,1	9,9
5	0,00	5	-16,5	NO	10,4	0,0	-13,4	0,0	69,0	11,1	9,9							
8	0,00	8	-40,0	NO	17,9	17,8	-25,0	0,0	69,0	11,1	9,9							
9	0,00	9	-2,2	NO	10,2	0,0	-7,1	0,0	69,0	11,1	9,9							
12	0,00	12	-13,8	NO	15,6	15,8	-8,7	0,0	69,0	11,1	9,9							
13	0,00	13	19,0	NO	9,7	0,0	-2,6	4,6	69,0	11,1	9,9	3,7	0,0	-0,4	2,4	69,0	11,1	9,9
14	0,00	14	-41,9	NO								5,0	6,1	-26,2	0,0	69,0	11,1	9,9
16	0,00	17	-36,0	NO	14,9	16,2	-22,5	0,0	69,0	11,1	9,9							
17	0,00	18	-6,8	NO	10,9	0,0	-9,3	0,0	69,0	11,1	9,9							
20	0,00	21	-22,6	NO	15,9	14,0	-14,2	0,0	69,0	11,1	9,9							
21	0,00	22	-32,6	NO	12,0	0,0	-22,8	0,0	69,0	11,1	9,9							
24	0,00	25	-70,2	NO	19,0	17,3	-43,9	0,0	69,0	11,1	9,9							
25	0,00	26	-23,4	NO	12,1	0,0	-17,8	0,0	69,0	11,1	9,9	5,4	6,3	-14,6	0,0	69,0	11,1	9,9
26	0,00	27	-62,3	NO								4,7	5,6	-38,9	0,0	69,0	11,1	9,9
27	0,00	28	-60,4	NO								4,4	5,6	-37,8	0,0	69,0	11,1	9,9
28	0,00	29	-52,7	NO	19,1	17,3	-33,0	0,0	69,0	11,1	9,9	0,1	2,8	-33,0	0,0	69,0	11,1	9,9
1	3,60	30	0,0	NO	0,0	0,0	0,0	0,0	69,0	11,1	19,8	0,0	0,0	0,0	0,0	69,0	11,1	19,8
2	3,60	31	0,0	NO								0,0	0,0	0,0	0,0	69,0	11,1	19,8
3	3,60	32	0,0	NO								0,0	0,0	0,0	0,0	69,0	11,1	19,8
4	3,60	33	0,0	NO	0,0	48,9	-30,5	10,7	69,0	11,1	19,8	0,0	0,0	0,0	0,0	69,0	11,1	19,8
5	3,60	34	0,0	NO	0,0	0,0	0,0	0,0	69,0	11,1	19,8							
8	3,60	37	0,0	NO	0,0	50,2	-31,4	6,6	69,0	11,1	24,7							
9	3,60	38	0,0	NO	0,0	0,0	0,0	0,0	69,0	11,1	19,8							
12	3,60	41	0,0	NO	0,0	48,9	-30,5	10,7	69,0	11,1	19,8							
13	3,60	42	3,7	NO	4,7	0,0	-2,0	0,0	69,0	11,1	19,8	3,1	0,0	-1,1	0,0	69,0	11,1	19,8
14	3,60	43	-12,3	NO								0,2	11,7	-12,0	0,0	69,0	11,1	19,8
16	3,60	45	-11,9	NO	14,4	51,4	-27,2	0,0	69,0	11,1	19,8							
17	3,60	46	-2,0	NO	5,7	0,0	-4,2	0,0	69,0	11,1	19,8							
20	3,60	49	-12,1	NO	14,6	69,2	-38,2	10,8	69,0	11,1	19,8							
21	3,60	50	-13,6	NO	5,5	0,0	-9,7	0,0	69,0	11,1	19,8							
24	3,60	53	-27,6	NO	14,3	69,2	-44,0	6,9	69,0	11,1	19,8							
25	3,60	54	-8,0	NO	5,0	0,0	-6,5	0,0	69,0	11,1	24,7	2,8	15,5	-10,9	0,0	69,0	11,1	24,7
26	3,60	55	-26,3	NO								5,6	22,0	-21,4	0,0	69,0	11,1	19,8
27	3,60	56	-26,3	NO								6,3	23,3	-21,6	0,0	69,0	11,1	19,8
28	3,60	57	-20,8	NO	13,0	69,2	-42,2	4,5	69,0	11,1	24,7	6,5	14,2	-14,6	0,0	69,0	11,1	24,7
13	7,20	71	0,0	NO	0,0	0,0	0,0	0,0	69,0	11,1	14,9	0,0	6,3	-4,0	0,0	69,0	11,1	14,9
14	7,20	72	0,0	NO														
15	7,20	73	0,0	NO								0,0	0,0	0,0	0,0	69,0	11,1	14,9
16	7,20	74	0,0	NO	0,0	36,4	-22,8	7,9	69,0	11,1	14,9	0,0	0,0	0,0	0,0	69,0	11,1	14,9
17	7,20	75	0,0	NO	0,0	0,0	0,0	0,0	69,0	11,1	14,9							
20	7,20	78	0,0	NO	0,0	36,4	-22,8	7,9	69,0	11,1	14,9							
21	7,20	79	0,0	NO	0,0	0,0	0,0	0,0	69,0	11,1	14,9							
24	7,20	82	0,0	NO	0,0	36,4	-22,8	7,9	69,0	11,1	14,9							
25	7,20	83	0,0	NO	0,0	0,0	0,0	0,0	69,0	11,1	14,9	0,0	7,4	-4,6	0,0	69,0	11,1	14,9
26	7,20	84	0,0	NO								0,0	12,3	-7,7	0,0	69,0	11,1	14,9
27	7,20	85	0,0	NO								0,0	13,5	-8,5	0,0	69,0	11,1	14,9
28	7,20	86	0,0	NO	0,0	34,2	-21,4	6,5	69,0	11,1	14,9	0,0	14,8	-9,2	0,0	69,0	11,1	14,9
29	7,20	87	0,0	NO								0,0	0,0	0,0	0,0	69,0	11,1	14,9

## RISULTATI VERIFICHE NODI CLS - PUSH N.ro: 2 - Prop.Modolo: -Fx+0.3\*Fy+Ecc5%

IDENTIFICATIVO					DIREZIONE 'X'							DIREZIONE 'Y'						
Filo N.ro	Quota (m)	Nod3d Nro	Nsup (t)	Coll Nodo	TaglSup (t)	TrazAf (t)	SgmCo ----- kg/cmq -----	SgmTr	RcLim	RtLim	DeltRt	TaglSup (t)	TrazAf (t)	SgmCo ----- kg/cmq -----	SgmTr	RcLim	RtLim	DeltRt
1	0,00	1	-26,9	NO	14,2	14,6	-16,8	0,0	69,0	11,1	9,9	3,4	2,9	-16,8	0,0	69,0	11,1	9,9
2	0,00	2	-32,7	NO								0,7	0,0	-20,4	0,0	69,0	11,1	9,9
3	0,00	3	-39,8	NO								5,8	0,0	-25,4	0,0	69,0	11,1	9,9
4	0,00	4	-6,6	NO	10,0	0,0	-8,6	0,0	69,0	11,1	9,9	11,3	0,0	-9,4	0,0	69,0	11,1	9,9
5	0,00	5	-40,5	NO	15,2	15,7	-25,3	0,0	69,0	11,1	9,9							
8	0,00	8	-21,6	NO	9,9	0,0	-15,9	0,0	69,0	11,1	9,9							
9	0,00	9	-21,6	NO	15,5	22,5	-14,8	0,0	69,0	11,1	9,9							
12	0,00	12	5,1	NO	9,9	0,0	-4,8	0,0	69,0	11,1	9,9							
13	0,00	13	-47,1	NO	13,9	26,2	-31,3	0,0	69,0	11,1	9,9	2,5	2,9	-29,4	0,0	69,0	11,1	9,9
14	0,00	14	-5,6	NO								0,6	0,0	-3,5	0,0	69,0	11,1	9,9
16	0,00	17	-11,1	NO	10,0	0,0	-10,6	0,0	69,0	11,1	9,9							
17	0,00	18	-43,5	NO	16,6	18,0	-27,2	0,0	69,0	11,1	9,9							
20	0,00	21	6,1	NO	11,7	0,0	-5,7	0,0	69,0	11,1	9,9							
21	0,00	22	-67,2	NO	18,3	19,8	-42,0	0,0	69,0	11,1	9,9							
24	0,00	25	-30,1	NO	13,9	0,0	-22,2	0,0	69,0	11,1	9,9							
25	0,00	26	-51,4	NO	18,6	18,6	-32,2	0,0	69,0	11,1	9,9	4,6	0,0	-32,4	0,0	69,0	11,1	9,9
26	0,00	27	-57,6	NO								2,6	3,5	-36,0	0,0	69,0	11,1	9,9
27	0,00	28	-65,8	NO								4,7	5,6	-41,1	0,0	69,0	11,1	9,9
28	0,00	29	-20,1	NO	14,3	0,0	-17,2	0,0	69,0	11,1	9,9	8,7	7,7	-12,6	0,0	69,0	11,1	9,9
1	3,60	30	0,0	NO	0,0	34,6	-21,6	1,8	69,0	11,1	19,8	0,0	9,8	-6,2	0,0	69,0	11,1	19,8
2	3,60	31	0,0	NO								0,0	0,0	0,0	0,0	69,0	11,1	19,8
3	3,60	32	0,0	NO								0,0	0,0	0,0	0,0	69,0	11,1	19,8
4	3,60	33	0,0	NO	0,0	0,0	0,0	0,0	69,0	11,1	19,8	0,0	0,0	0,0	0,0	69,0	11,1	19,8
5	3,60	34	0,0	NO	0,0	35,9	-22,5	2,7	69,0	11,1	19,8							
8	3,60	37	0,0	NO	0,0	0,0	0,0	0,0	69,0	11,1	24,7							
9	3,60	38	0,0	NO	0,0	35,9	-22,5	2,7	69,0	11,1	19,8							
12	3,60	41	0,0	NO	0,0	0,0	0,0	0,0	69,0	11,1	19,8							
13	3,60	42	-17,9	NO	11,0	41,6	-25,5	0,0	69,0	11,1	19,8	3,5	0,0	-11,6	0,0	69,0	11,1	19,8
14	3,60	43	-1,3	NO								1,5	1,5	-0,8	0,0	69,0	11,1	19,8

## RISULTATI VERIFICHE NODI CLS - PUSH N.ro: 2 - Prop.Modolo:-Fx+0.3\*Fy+Ecc5%

IDENTIFICATIVO					DIREZIONE 'X'							DIREZIONE 'Y'						
Filo N.ro	Quota (m)	Nod3d Nro	Nsup (t)	Coll Nodo	TaglSup (t)	TrazAf (t)	SgmCo	SgmTr	RcLim	RtLim	DeltRt	TaglSup (t)	TrazAf (t)	SgmCo	SgmTr	RcLim	RtLim	DeltRt
								kg/cmq										
16	3,60	45	0,2	NO	6,2	0,0	-3,8	0,0	69,0	11,1	19,8							
17	3,60	46	-14,6	NO	14,6	69,4	-39,1	10,2	69,0	11,1	19,8							
20	3,60	49	-4,7	NO	6,7	0,0	-5,9	0,0	69,0	11,1	19,8							
21	3,60	50	-31,0	NO	15,0	69,4	-45,0	5,9	69,0	11,1	19,8							
24	3,60	53	-10,0	NO	5,2	0,0	-7,6	0,0	69,0	11,1	19,8							
25	3,60	54	-20,6	NO	13,6	69,4	-41,9	4,3	69,0	11,1	24,7							
26	3,60	55	-23,2	NO								4,9	0,0	-13,6	0,0	69,0	11,1	24,7
27	3,60	56	-28,7	NO								6,0	18,1	-17,7	0,0	69,0	11,1	19,8
28	3,60	57	-7,2	NO	4,6	0,0	-5,9	0,0	69,0	11,1	24,7	3,9	19,4	-22,2	0,0	69,0	11,1	19,8
13	7,20	71	0,0	NO	0,0	35,1	-21,9	7,1	69,0	11,1	14,9	3,5	29,8	-18,9	0,0	69,0	11,1	24,7
14	7,20	72	0,0	NO								0,0	0,0	0,0	0,0	69,0	11,1	14,9
15	7,20	73	0,0	NO														
16	7,20	74	0,0	NO	0,0	0,0	0,0	0,0	69,0	11,1	14,9	0,0	0,0	0,0	0,0	69,0	11,1	14,9
17	7,20	75	0,0	NO	0,0	38,1	-23,8	9,0	69,0	11,1	14,9							
20	7,20	78	0,0	NO	0,0	0,0	0,0	0,0	69,0	11,1	14,9							
21	7,20	79	0,0	NO	0,0	39,4	-24,6	9,8	69,0	11,1	14,9							
24	7,20	82	0,0	NO	0,0	0,0	0,0	0,0	69,0	11,1	14,9							
25	7,20	83	0,0	NO	0,0	38,1	-23,8	9,0	69,0	11,1	14,9	0,0	11,1	-6,9	0,0	69,0	11,1	14,9
26	7,20	84	0,0	NO								0,0	12,3	-7,7	0,0	69,0	11,1	14,9
27	7,20	85	0,0	NO								0,0	8,6	-5,4	0,0	69,0	11,1	14,9
28	7,20	86	0,0	NO	0,0	0,0	0,0	0,0	69,0	11,1	14,9	0,0	11,1	-6,9	0,0	69,0	11,1	14,9
29	7,20	87	0,0	NO								0,0	0,0	0,0	0,0	69,0	11,1	14,9

## RISULTATI VERIFICHE NODI CLS - PUSH N.ro: 3 - Prop.Modolo:-Fy+0.3\*Fx+Ecc5%

IDENTIFICATIVO					DIREZIONE 'X'							DIREZIONE 'Y'						
Filo N.ro	Quota (m)	Nod3d Nro	Nsup (t)	Coll Nodo	TaglSup (t)	TrazAf (t)	SgmCo	SgmTr	RcLim	RtLim	DeltRt	TaglSup (t)	TrazAf (t)	SgmCo	SgmTr	RcLim	RtLim	DeltRt
								kg/cmq										
1	0,00	1	-4,2	NO	5,8	0,0	-5,2	0,0	69,0	11,1	9,9	11,8	0,0	-8,8	0,0	69,0	11,1	9,9
2	0,00	2	-34,5	NO								13,2	0,0	-24,3	0,0	69,0	11,1	9,9
3	0,00	3	-34,0	NO								13,1	0,0	-24,1	0,0	69,0	11,1	9,9
4	0,00	4	-16,6	NO	7,5	6,6	-10,4	0,0	69,0	11,1	9,9	12,3	0,0	-14,4	0,0	69,0	11,1	9,9
5	0,00	5	-23,7	NO	2,9	0,0	-15,1	0,0	69,0	11,1	9,9							
8	0,00	8	-30,3	NO	4,7	5,3	-18,9	0,0	69,0	11,1	9,9							
9	0,00	9	5,1	NO	2,1	0,0	-0,5	0,0	69,0	11,1	9,9							
12	0,00	12	5,8	NO	5,8	5,3	0,0	0,0	69,0	11,1	9,9							
13	0,00	13	8,3	NO	1,6	0,0	-0,2	0,0	69,0	11,1	9,9	12,9	0,0	-5,9	1,2	69,0	11,1	9,9
14	0,00	14	-41,9	NO								17,7	19,8	-26,3	0,0	69,0	11,1	9,9
16	0,00	17	-38,6	NO	4,4	4,2	-24,1	0,0	69,0	11,1	9,9							
17	0,00	18	1,5	NO	1,8	0,0	-0,8	0,0	69,0	11,1	9,9							
20	0,00	21	-2,3	NO	3,5	3,8	-1,5	0,0	69,0	11,1	9,9							
21	0,00	22	-66,6	NO	1,3	0,0	-41,6	0,0	69,0	11,1	9,9							
24	0,00	25	-60,3	NO	6,1	5,4	-37,7	0,0	69,0	11,1	9,9							
25	0,00	26	-44,9	NO	3,4	0,0	-28,2	0,0	69,0	11,1	9,9	18,6	21,1	-28,1	0,0	69,0	11,1	9,9
26	0,00	27	-75,7	NO								19,9	22,4	-47,4	0,0	69,0	11,1	9,9
27	0,00	28	-75,3	NO								19,7	22,4	-47,1	0,0	69,0	11,1	9,9
28	0,00	29	-46,2	NO	5,0	5,4	-28,9	0,0	69,0	11,1	9,9	18,3	21,8	-29,1	0,0	69,0	11,1	9,9
1	3,60	30	0,0	NO	0,0	0,0	0,0	0,0	69,0	11,1	19,8	0,0	0,0	0,0	0,0	69,0	11,1	19,8
2	3,60	31	0,0	NO								0,0	0,0	0,0	0,0	69,0	11,1	19,8
3	3,60	32	0,0	NO								0,0	0,0	0,0	0,0	69,0	11,1	19,8
4	3,60	33	0,0	NO	0,0	21,7	-13,6	0,0	69,0	11,1	19,8	0,0	0,0	0,0	0,0	69,0	11,1	19,8
5	3,60	34	0,0	NO	0,0	0,0	0,0	0,0	69,0	11,1	19,8							
8	3,60	37	0,0	NO	0,0	12,2	-7,6	0,0	69,0	11,1	24,7							
9	3,60	38	0,0	NO	0,0	0,0	0,0	0,0	69,0	11,1	19,8							
12	3,60	41	0,0	NO	0,0	16,3	-10,2	0,0	69,0	11,1	19,8							
13	3,60	42	1,1	NO	1,4	0,0	-0,6	0,0	69,0	11,1	19,8	1,4	0,0	-0,6	0,0	69,0	11,1	19,8
14	3,60	43	-10,4	NO								0,9	36,4	-25,7	0,0	69,0	11,1	19,8
16	3,60	45	-13,2	NO	7,0	22,1	-14,4	0,0	69,0	11,1	19,8							
17	3,60	46	0,5	NO	0,6	0,0	-0,3	0,0	69,0	11,1	19,8							
20	3,60	49	-6,4	NO	4,9	18,0	-10,4	0,0	69,0	11,1	19,8							
21	3,60	50	-28,2	NO	0,0	0,0	-17,6	0,0	69,0	11,1	19,8							
24	3,60	53	-21,3	NO	6,3	27,7	-21,6	0,0	69,0	11,1	19,8							
25	3,60	54	-17,9	NO	0,7	0,0	-11,2	0,0	69,0	11,1	24,7	8,8	50,5	-32,3	0,0	69,0	11,1	24,7
26	3,60	55	-30,5	NO								9,3	50,5	-37,0	0,0	69,0	11,1	19,8
27	3,60	56	-32,9	NO								9,6	50,5	-37,9	0,0	69,0	11,1	19,8
28	3,60	57	-18,0	NO	3,8	20,8	-17,6	0,0	69,0	11,1	24,7	9,0	50,5	-32,2	0,0	69,0	11,1	24,7
13	7,20	71	0,0	NO	0,0	0,0	0,0	0,0	69,0	11,1	14,9	0,0	0,0	0,0	0,0	69,0	11,1	14,9
14	7,20	72	0,0	NO														
15	7,20	73	0,0	NO								0,0	0,0	0,0	0,0	69,0	11,1	14,9
16	7,20	74	0,0	NO	0,0	15,9	-9,9	0,0	69,0	11,1	14,9	0,0	0,0	0,0	0,0	69,0	11,1	14,9
17	7,20	75	0,0	NO	0,0	0,0	0,0	0,0	69,0	11,1	14,9							
20	7,20	78	0,0	NO	0,0	11,0	-6,9	0,0	69,0	11,1	14,9							
21	7,20	79	0,0	NO	0,0	0,0	0,0	0,0	69,0	11,1	14,9							
24	7,20	82	0,0	NO	0,0	13,4	-8,4	0,0	69,0	11,1	14,9							
25	7,20	83	0,0	NO	0,0	0,0	0,0	0,0	69,0	11,1	14,9	0,0	32,0	-20,0	5,1	69,0	11,1	14,9
26	7,20	84	0,0	NO								0,0	34,5	-21,5	6,7	69,0	11,1	14,9
27	7,20	85	0,0	NO								0,0	35,7	-22,3	7,5	69,0	11,1	14,9
28	7,20	86	0,0	NO	0,0	7,3	-4,6	0,0	69,0	11,1	14,9	0,0	33,2	-20,8	5,9	69,0	11,1	14,9
29	7,20	87	0,0	NO								0,0	0,0	0,0	0,0	69,0	11,1	14,9

## RISULTATI VERIFICHE NODI CLS - PUSH N.ro: 4 - Prop.Modolo:-Fy+0.3\*Fx+Ecc5%

IDENTIFICATIVO					DIREZIONE 'X'							DIREZIONE 'Y'						
Filo N.ro	Quota (m)	Nod3d Nro	Nsup (t)	Coll Nodo	TaglSup (t)	TrazAf (t)	SgmCo	SgmTr	RcLim	RtLim	DeltRt	TaglSup (t)	TrazAf (t)	SgmCo	SgmTr	RcLim	RtLim	DeltRt
								kg/cmq										

## RISULTATI VERIFICHE NODI CLS - PUSH N.ro: 4 - Prop.Modolo:-Fy+0.3\*Fx+Ecc5%

IDENTIFICATIVO					DIREZIONE 'X'							DIREZIONE 'Y'						
Filo N.ro	Quota (m)	Nod3d Nro	Nsup (t)	Coll Nodo	TaglSup (t)	TrazAf (t)	SgmCo	SgmTr	RcLim	RtLim	DeltRt	TaglSup (t)	TrazAf (t)	SgmCo	SgmTr	RcLim	RtLim	DeltRt
					----- kg/cmq -----													
1	0,00	1	-18,8	NO	6,5	0,0	-13,0	0,0	69,0	11,1	9,9	16,1	12,2	-12,2	0,0	69,0	11,1	9,9
2	0,00	2	-50,2	NO								18,3	20,4	-31,4	0,0	69,0	11,1	9,9
3	0,00	3	-50,4	NO								18,5	20,4	-31,5	0,0	69,0	11,1	9,9
4	0,00	4	-31,0	NO	6,4	7,9	-19,4	0,0	69,0	11,1	9,9	17,2	13,7	-19,6	0,0	69,0	11,1	9,9
5	0,00	5	-24,1	NO	4,7	0,0	-15,6	0,0	69,0	11,1	9,9							
8	0,00	8	-35,0	NO	6,3	6,6	-21,9	0,0	69,0	11,1	9,9							
9	0,00	9	-27,5	NO	3,0	0,0	-17,4	0,0	69,0	11,1	9,9							
12	0,00	12	-28,4	NO	5,5	5,9	-17,7	0,0	69,0	11,1	9,9							
13	0,00	13	-3,0	NO	4,9	0,0	-4,2	0,0	69,0	11,1	9,9	13,0	12,8	-1,9	0,0	69,0	11,1	9,9
14	0,00	14	-20,6	NO								12,5	0,0	-16,5	0,0	69,0	11,1	9,9
16	0,00	17	-27,3	NO	3,6	4,2	-17,1	0,0	69,0	11,1	9,9							
17	0,00	18	-35,5	NO	1,9	0,0	-22,3	0,0	69,0	11,1	9,9							
20	0,00	21	-35,4	NO	3,0	3,2	-22,1	0,0	69,0	11,1	9,9							
21	0,00	22	-22,8	NO	0,4	0,0	-14,3	0,0	69,0	11,1	9,9							
24	0,00	25	-13,0	NO	5,4	4,3	-8,2	0,0	69,0	11,1	9,9							
25	0,00	26	-20,6	NO	0,7	0,6	-12,9	0,0	69,0	11,1	9,9	12,5	0,0	-16,6	0,0	69,0	11,1	9,9
26	0,00	27	-45,9	NO								13,8	0,0	-31,1	0,0	69,0	11,1	9,9
27	0,00	28	-45,6	NO								14,4	0,0	-31,1	0,0	69,0	11,1	9,9
28	0,00	29	-18,7	NO	6,2	4,3	-11,8	0,0	69,0	11,1	9,9	14,0	0,0	-16,4	0,0	69,0	11,1	9,9
1	3,60	30	0,0	NO	0,0	0,0	0,0	0,0	69,0	11,1	19,8	0,0	43,1	-26,9	7,1	69,0	11,1	19,8
2	3,60	31	0,0	NO								0,0	43,1	-26,9	7,1	69,0	11,1	19,8
3	3,60	32	0,0	NO								0,0	43,1	-26,9	7,1	69,0	11,1	19,8
4	3,60	33	0,0	NO	0,0	17,6	-11,0	0,0	69,0	11,1	19,8	0,0	43,1	-26,9	7,1	69,0	11,1	19,8
5	3,60	34	0,0	NO	0,0	0,0	0,0	0,0	69,0	11,1	19,8							
8	3,60	37	0,0	NO	0,0	17,6	-11,0	0,0	69,0	11,1	24,7							
9	3,60	38	0,0	NO	0,0	0,0	0,0	0,0	69,0	11,1	19,8							
12	3,60	41	0,0	NO	0,0	16,3	-10,2	0,0	69,0	11,1	19,8							
13	3,60	42	-3,4	NO	6,5	0,0	-5,3	0,0	69,0	11,1	19,8	8,5	35,9	-18,2	0,0	69,0	11,1	19,8
14	3,60	43	-9,4	NO								3,1	0,0	-6,4	0,0	69,0	11,1	19,8
16	3,60	45	-17,5	NO	8,1	22,1	-15,8	0,0	69,0	11,1	19,8							
17	3,60	46	-6,5	NO	1,3	0,0	-4,2	0,0	69,0	11,1	19,8							
20	3,60	49	-12,9	NO	5,4	16,6	-12,1	0,0	69,0	11,1	19,8							
21	3,60	50	-16,9	NO	1,0	5,7	-11,3	0,0	69,0	11,1	19,8							
24	3,60	53	-9,2	NO	6,4	26,3	-15,7	0,0	69,0	11,1	19,8							
25	3,60	54	-8,2	NO	3,8	11,3	-7,9	0,0	69,0	11,1	24,7	4,9	0,0	-6,5	0,0	69,0	11,1	24,7
26	3,60	55	-17,7	NO								4,0	0,0	-11,6	0,0	69,0	11,1	19,8
27	3,60	56	-20,1	NO								3,9	0,0	-13,0	0,0	69,0	11,1	19,8
28	3,60	57	-6,4	NO	3,0	22,2	-14,1	0,0	69,0	11,1	24,7	3,5	0,0	-4,9	0,0	69,0	11,1	24,7
13	7,20	71	0,0	NO	0,0	0,0	0,0	0,0	69,0	11,1	14,9	0,0	29,1	-18,2	3,4	69,0	11,1	14,9
14	7,20	72	0,0	NO														
15	7,20	73	0,0	NO								0,0	29,1	-18,2	3,4	69,0	11,1	14,9
16	7,20	74	0,0	NO	0,0	18,3	-11,4	0,0	69,0	11,1	14,9	0,0	29,1	-18,2	3,4	69,0	11,1	14,9
17	7,20	75	0,0	NO	0,0	1,2	-0,8	0,0	69,0	11,1	14,9							
20	7,20	78	0,0	NO	0,0	12,2	-7,6	0,0	69,0	11,1	14,9							
21	7,20	79	0,0	NO	0,0	0,0	0,0	0,0	69,0	11,1	14,9							
24	7,20	82	0,0	NO	0,0	13,4	-8,4	0,0	69,0	11,1	14,9							
25	7,20	83	0,0	NO	0,0	6,2	-3,8	0,0	69,0	11,1	14,9	0,0	0,0	0,0	0,0	69,0	11,1	14,9
26	7,20	84	0,0	NO								0,0	0,0	0,0	0,0	69,0	11,1	14,9
27	7,20	85	0,0	NO								0,0	0,0	0,0	0,0	69,0	11,1	14,9
28	7,20	86	0,0	NO	0,0	6,1	-3,8	0,0	69,0	11,1	14,9	0,0	0,0	0,0	0,0	69,0	11,1	14,9
29	7,20	87	0,0	NO								0,0	29,1	-18,2	3,4	69,0	11,1	14,9

## RISULTATI VERIFICHE NODI CLS - PUSH N.ro: 5 - Prop.Massa:-Fx+0.3\*Fy+Ecc5%

IDENTIFICATIVO					DIREZIONE 'X'							DIREZIONE 'Y'						
Filo N.ro	Quota (m)	Nod3d Nro	Nsup (t)	Coll Nodo	TaglSup (t)	TrazAf (t)	SgmCo	SgmTr	RcLim	RtLim	DeltRt	TaglSup (t)	TrazAf (t)	SgmCo	SgmTr	RcLim	RtLim	DeltRt
					----- kg/cmq -----													
1	0,00	1	-4,9	NO	11,5	0,0	-8,9	0,0	69,0	11,1	9,9	1,3	0,0	-3,3	0,0	69,0	11,1	9,9
2	0,00	2	-41,2	NO								2,5	0,0	-25,9	0,0	69,0	11,1	9,9
3	0,00	3	-36,9	NO								0,9	0,0	-23,1	0,0	69,0	11,1	9,9
4	0,00	4	-24,3	NO	16,6	17,1	-15,2	0,0	69,0	11,1	9,9	3,6	0,0	-15,5	0,0	69,0	11,1	9,9
5	0,00	5	-17,6	NO	11,8	0,0	-14,7	0,0	69,0	11,1	9,9							
8	0,00	8	-39,3	NO	17,9	17,8	-24,6	0,0	69,0	11,1	9,9							
9	0,00	9	-4,9	NO	12,1	0,0	-9,2	0,0	69,0	11,1	9,9							
12	0,00	12	-12,5	NO	15,7	15,8	-7,8	0,0	69,0	11,1	9,9							
13	0,00	13	12,5	NO	12,9	0,0	-5,0	3,0	69,0	11,1	9,9	1,6	0,0	-0,1	0,0	69,0	11,1	9,9
14	0,00	14	-36,3	NO								3,5	4,6	-22,7	0,0	69,0	11,1	9,9
16	0,00	17	-35,9	NO	17,4	16,2	-22,4	0,0	69,0	11,1	9,9							
17	0,00	18	-12,0	NO	15,2	0,0	-14,0	0,0	69,0	11,1	9,9							
20	0,00	21	-21,5	NO	16,1	14,0	-13,6	0,0	69,0	11,1	9,9							
21	0,00	22	-33,0	NO	17,4	0,0	-25,3	0,0	69,0	11,1	9,9							
24	0,00	25	-65,3	NO	20,2	16,7	-40,9	0,0	69,0	11,1	9,9							
25	0,00	26	-24,8	NO	14,2	0,0	-19,6	0,0	69,0	11,1	9,9	3,0	4,2	-15,5	0,0	69,0	11,1	9,9
26	0,00	27	-61,2	NO								4,7	5,6	-38,3	0,0	69,0	11,1	9,9
27	0,00	28	-61,8	NO								6,9	7,0	-38,7	0,0	69,0	11,1	9,9
28	0,00	29	-47,6	NO	18,6	16,2	-29,8	0,0	69,0	11,1	9,9	3,6	6,3	-29,8	0,0	69,0	11,1	9,9
1	3,60	30	0,0	NO	0,0	0,0	0,0	0,0	69,0	11,1	19,8	0,0	0,0	0,0	0,0	69,0	11,1	19,8
2	3,60	31	0,0	NO								0,0	0,0	0,0	0,0	69,0	11,1	19,8
3	3,60	32	0,0	NO								0,0	0,0	0,0	0,0	69,0	11,1	19,8
4	3,60	33	0,0	NO	0,0	44,8	-28,0	8,2	69,0	11,1	19,8	0,0	0,0	0,0	0,0	69,0	11,1	19,8
5	3,60	34	0,0	NO	0,0	0,0	0,0	0,0	69,0	11,1	19,8							
8	3,60	37	0,0	NO	0,0	48,9	-30,5	5,8	69,0	11,1	24,7							
9	3,60	38	0,0	NO	0,0	0,0	0,0	0,0	69,0	11,1	19,8							
12	3,60	41	0,0	NO	0,0	43,4	-27,1	7,3	69,0	11,1	19,8							

## RISULTATI VERIFICHE NODI CLS - PUSH N.ro: 5 - Prop.Massa:+Fx+0.3\*Fy+Ecc5%

IDENTIFICATIVO					DIREZIONE 'X							DIREZIONE 'Y						
Filo N.ro	Quota (m)	Nod3d Nro	Nsup (t)	Coll Nodo	TaglSup (t)	TrazAf (t)	SgmCo	SgmTr	RcLim	RtLim	DeltRt	TaglSup (t)	TrazAf (t)	SgmCo	SgmTr	RcLim	RtLim	DeltRt
							----- kg/cmq -----											
13	3,60	42	-1,0	NO	0,5	0,0	-0,7	0,0	69,0	11,1	19,8	3,3	2,7	-0,8	0,0	69,0	11,1	19,8
14	3,60	43	-7,7	NO								0,4	7,3	-7,3	0,0	69,0	11,1	19,8
16	3,60	45	-11,3	NO	8,4	50,6	-30,2	3,3	69,0	11,1	19,8							
17	3,60	46	-5,1	NO	2,7	0,0	-3,9	0,0	69,0	11,1	19,8							
20	3,60	49	-12,5	NO	9,5	56,8	-33,7	6,1	69,0	11,1	19,8							
21	3,60	50	-16,3	NO	3,6	0,0	-10,7	0,0	69,0	11,1	19,8							
24	3,60	53	-22,9	NO	10,2	69,2	-44,7	10,6	69,0	11,1	19,8							
25	3,60	54	-10,6	NO	0,4	0,0	-6,6	0,0	69,0	11,1	24,7	2,7	9,1	-8,5	0,0	69,0	11,1	24,7
26	3,60	55	-23,8	NO								4,8	19,4	-19,2	0,0	69,0	11,1	19,8
27	3,60	56	-27,8	NO								3,8	25,9	-25,0	0,0	69,0	11,1	19,8
28	3,60	57	-16,4	NO	8,2	62,3	-39,3	4,3	69,0	11,1	24,7	3,9	16,8	-14,7	0,0	69,0	11,1	24,7
13	7,20	71	0,0	NO	0,0	0,0	0,0	0,0	69,0	11,1	14,9	0,0	7,6	-4,8	0,0	69,0	11,1	14,9
14	7,20	72	0,0	NO														
15	7,20	73	0,0	NO								0,0	0,0	0,0	0,0	69,0	11,1	14,9
16	7,20	74	0,0	NO	0,0	25,6	-16,0	1,2	69,0	11,1	14,9	0,0	0,0	0,0	0,0	69,0	11,1	14,9
17	7,20	75	0,0	NO	0,0	0,0	0,0	0,0	69,0	11,1	14,9							
20	7,20	78	0,0	NO	0,0	25,6	-16,0	1,2	69,0	11,1	14,9							
21	7,20	79	0,0	NO	0,0	0,0	0,0	0,0	69,0	11,1	14,9							
24	7,20	82	0,0	NO	0,0	26,9	-16,8	1,9	69,0	11,1	14,9							
25	7,20	83	0,0	NO	0,0	0,0	0,0	0,0	69,0	11,1	14,9	0,0	6,2	-3,8	0,0	69,0	11,1	14,9
26	7,20	84	0,0	NO								0,0	11,1	-6,9	0,0	69,0	11,1	14,9
27	7,20	85	0,0	NO								0,0	8,6	-5,4	0,0	69,0	11,1	14,9
28	7,20	86	0,0	NO	0,0	20,8	-13,0	0,0	69,0	11,1	14,9	0,0	9,8	-6,2	0,0	69,0	11,1	14,9
29	7,20	87	0,0	NO								0,0	0,0	0,0	0,0	69,0	11,1	14,9

## RISULTATI VERIFICHE NODI CLS - PUSH N.ro: 6 - Prop.Massa:-Fx+0.3\*Fy+Ecc5%

IDENTIFICATIVO					DIREZIONE 'X							DIREZIONE 'Y						
Filo N.ro	Quota (m)	Nod3d Nro	Nsup (t)	Coll Nodo	TaglSup (t)	TrazAf (t)	SgmCo	SgmTr	RcLim	RtLim	DeltRt	TaglSup (t)	TrazAf (t)	SgmCo	SgmTr	RcLim	RtLim	DeltRt
							----- kg/cmq -----											
1	0,00	1	-26,3	NO	15,7	14,6	-16,5	0,0	69,0	11,1	9,9	2,3	1,5	-16,4	0,0	69,0	11,1	9,9
2	0,00	2	-31,9	NO								1,2	0,0	-20,0	0,0	69,0	11,1	9,9
3	0,00	3	-40,9	NO								4,2	0,0	-25,8	0,0	69,0	11,1	9,9
4	0,00	4	-7,2	NO	11,9	0,0	-10,0	0,0	69,0	11,1	9,9	10,4	0,0	-9,1	0,0	69,0	11,1	9,9
5	0,00	5	-39,6	NO	16,9	15,7	-24,8	0,0	69,0	11,1	9,9							
8	0,00	8	-22,6	NO	10,9	0,0	-16,9	0,0	69,0	11,1	9,9							
9	0,00	9	-20,2	NO	16,2	21,6	-13,5	0,0	69,0	11,1	9,9							
12	0,00	12	1,8	NO	10,7	0,0	-6,2	0,0	69,0	11,1	9,9							
13	0,00	13	-34,7	NO	17,4	23,6	-22,3	0,0	69,0	11,1	9,9	0,4	0,0	-21,7	0,0	69,0	11,1	9,9
14	0,00	14	-17,2	NO								0,7	0,0	-10,8	0,0	69,0	11,1	9,9
16	0,00	17	-15,9	NO	14,5	0,0	-15,3	0,0	69,0	11,1	9,9							
17	0,00	18	-38,1	NO	17,9	17,4	-23,8	0,0	69,0	11,1	9,9							
20	0,00	21	1,4	NO	14,3	0,0	-8,5	0,0	69,0	11,1	9,9							
21	0,00	22	-66,5	NO	20,3	19,2	-41,6	0,0	69,0	11,1	9,9							
24	0,00	25	-27,9	NO	17,0	0,0	-22,5	0,0	69,0	11,1	9,9							
25	0,00	26	-49,7	NO	18,8	18,6	-31,0	0,0	69,0	11,1	9,9	2,1	0,7	-31,1	0,0	69,0	11,1	9,9
26	0,00	27	-61,3	NO								3,3	4,2	-38,4	0,0	69,0	11,1	9,9
27	0,00	28	-62,9	NO								4,9	5,6	-39,3	0,0	69,0	11,1	9,9
28	0,00	29	-18,8	NO	16,2	0,0	-17,6	0,0	69,0	11,1	9,9	6,9	7,0	-11,7	0,0	69,0	11,1	9,9
1	3,60	30	0,0	NO	0,0	35,9	-22,5	2,7	69,0	11,1	19,8	0,0	7,4	-4,6	0,0	69,0	11,1	19,8
2	3,60	31	0,0	NO								0,0	0,0	0,0	0,0	69,0	11,1	19,8
3	3,60	32	0,0	NO								0,0	0,0	0,0	0,0	69,0	11,1	19,8
4	3,60	33	0,0	NO	0,0	0,0	0,0	0,0	69,0	11,1	19,8	0,0	0,0	0,0	0,0	69,0	11,1	19,8
5	3,60	34	0,0	NO	0,0	35,9	-22,5	2,7	69,0	11,1	19,8							
8	3,60	37	0,0	NO	0,0	0,0	0,0	0,0	69,0	11,1	24,7							
9	3,60	38	0,0	NO	0,0	35,9	-22,5	2,7	69,0	11,1	19,8							
12	3,60	41	0,0	NO	0,0	0,0	0,0	0,0	69,0	11,1	19,8							
13	3,60	42	-7,3	NO	1,8	41,6	-27,3	2,9	69,0	11,1	19,8	4,1	0,0	-5,7	0,0	69,0	11,1	19,8
14	3,60	43	-11,8	NO								1,2	4,4	-7,9	0,0	69,0	11,1	19,8
16	3,60	45	-4,0	NO	0,7	0,0	-2,6	0,0	69,0	11,1	19,8							
17	3,60	46	-12,9	NO	9,2	63,7	-38,3	10,5	69,0	11,1	19,8							
20	3,60	49	-7,7	NO	2,0	0,0	-5,1	0,0	69,0	11,1	19,8							
21	3,60	50	-27,9	NO	8,5	69,4	-47,8	10,5	69,0	11,1	19,8							
24	3,60	53	-9,4	NO	0,7	0,0	-5,9	0,0	69,0	11,1	19,8							
25	3,60	54	-18,1	NO	8,9	68,0	-43,0	7,0	69,0	11,1	24,7	5,0	3,9	-11,4	0,0	69,0	11,1	24,7
26	3,60	55	-26,2	NO								5,4	18,1	-19,6	0,0	69,0	11,1	19,8
27	3,60	56	-25,6	NO								3,3	19,4	-20,8	0,0	69,0	11,1	19,8
28	3,60	57	-8,0	NO	0,1	0,0	-5,0	0,0	69,0	11,1	24,7	1,0	19,4	-14,3	0,0	69,0	11,1	24,7
13	7,20	71	0,0	NO	0,0	10,2	-6,4	0,0	69,0	11,1	14,9	0,0	0,0	0,0	0,0	69,0	11,1	14,9
14	7,20	72	0,0	NO														
15	7,20	73	0,0	NO								0,0	0,0	0,0	0,0	69,0	11,1	14,9
16	7,20	74	0,0	NO	0,0	0,0	0,0	0,0	69,0	11,1	14,9	0,0	0,0	0,0	0,0	69,0	11,1	14,9
17	7,20	75	0,0	NO	0,0	24,6	-15,4	0,5	69,0	11,1	14,9							
20	7,20	78	0,0	NO	0,0	0,0	0,0	0,0	69,0	11,1	14,9							
21	7,20	79	0,0	NO	0,0	22,2	-13,8	0,0	69,0	11,1	14,9							
24	7,20	82	0,0	NO	0,0	0,0	0,0	0,0	69,0	11,1	14,9							
25	7,20	83	0,0	NO	0,0	22,2	-13,8	0,0	69,0	11,1	14,9	0,0	11,1	-6,9	0,0	69,0	11,1	14,9
26	7,20	84	0,0	NO								0,0	12,3	-7,7	0,0	69,0	11,1	14,9
27	7,20	85	0,0	NO								0,0	7,4	-4,6	0,0	69,0	11,1	14,9
28	7,20	86	0,0	NO	0,0	0,0	0,0	0,0	69,0	11,1	14,9	0,0	3,7	-2,3	0,0	69,0	11,1	14,9
29	7,20	87	0,0	NO								0,0	0,0	0,0	0,0	69,0	11,1	14,9

## RISULTATI VERIFICHE NODI CLS - PUSH N.ro: 7 - Prop.Massa:+Fy+0.3\*Fx+Ecc5%

IDENTIFICATIVO					DIREZIONE 'X							DIREZIONE 'Y						
----------------	--	--	--	--	--------------	--	--	--	--	--	--	--------------	--	--	--	--	--	--

---

**C.D.S.**

Filo N.ro	Quota (m)	Nod3d Nro	Nsup (t)	Coll Nodo	TaglSup (t)	TrazAf (t)	SgmCo	SgmTr	RcLim kg/cmq	RtLim	DeltRt	TaglSup (t)	TrazAf (t)	SgmCo	SgmTr	RcLim kg/cmq	RtLim	DeltRt
1	0,00	1	-4,4	NO	6,5	0,0	-5,7	0,0	69,0	11,1	9,9	13,9	0,0	-10,2	0,0	69,0	11,1	9,9
2	0,00	2	-35,1	NO								15,1	0,0	-25,5	0,0	69,0	11,1	9,9
3	0,00	3	-34,6	NO								14,7	0,0	-25,0	0,0	69,0	11,1	9,9
4	0,00	4	-17,9	NO	8,3	7,3	-11,2	0,0	69,0	11,1	9,9	14,4	0,0	-16,1	0,0	69,0	11,1	9,9
5	0,00	5	-24,9	NO	3,1	0,0	-15,8	0,0	69,0	11,1	9,9							
8	0,00	8	-31,0	NO	4,8	5,3	-19,4	0,0	69,0	11,1	9,9							
9	0,00	9	2,7	NO	2,4	0,0	-0,9	0,0	69,0	11,1	9,9							
12	0,00	12	2,6	NO	5,8	5,3	-0,1	0,0	69,0	11,1	9,9							
13	0,00	13	1,8	NO	2,6	0,0	-1,2	0,0	69,0	11,1	9,9	14,2	0,0	-8,3	0,0	69,0	11,1	9,9
14	0,00	14	-37,2	NO								17,6	19,0	-23,3	0,0	69,0	11,1	9,9
16	0,00	17	-31,7	NO	4,3	4,2	-19,8	0,0	69,0	11,1	9,9							
17	0,00	18	-1,6	NO	2,0	0,0	-1,8	0,0	69,0	11,1	9,9							
20	0,00	21	-1,8	NO	3,5	3,8	-1,2	0,0	69,0	11,1	9,9							
21	0,00	22	-64,4	NO	1,3	0,0	-40,3	0,0	69,0	11,1	9,9							
24	0,00	25	-62,1	NO	6,0	5,4	-38,8	0,0	69,0	11,1	9,9							
25	0,00	26	-42,7	NO	2,5	0,0	-26,8	0,0	69,0	11,1	9,9	18,4	21,1	-26,8	0,0	69,0	11,1	9,9
26	0,00	27	-73,0	NO								20,9	22,4	-45,6	0,0	69,0	11,1	9,9
27	0,00	28	-71,7	NO								20,7	22,4	-44,9	0,0	69,0	11,1	9,9
28	0,00	29	-43,8	NO	4,5	4,9	-27,3	0,0	69,0	11,1	9,9	18,1	21,1	-27,5	0,0	69,0	11,1	9,9
1	3,60	30	0,0	NO	0,0	0,0	0,0	0,0	69,0	11,1	19,8	0,0	0,0	0,0	0,0	69,0	11,1	19,8
2	3,60	31	0,0	NO								0,0	0,0	0,0	0,0	69,0	11,1	19,8
3	3,60	32	0,0	NO								0,0	0,0	0,0	0,0	69,0	11,1	19,8
4	3,60	33	0,0	NO	0,0	24,4	-15,3	0,0	69,0	11,1	19,8	0,0	0,0	0,0	0,0	69,0	11,1	19,8
5	3,60	34	0,0	NO	0,0	0,0	0,0	0,0	69,0	11,1	19,8							
8	3,60	37	0,0	NO	0,0	12,2	-7,6	0,0	69,0	11,1	24,7							
9	3,60	38	0,0	NO	0,0	0,0	0,0	0,0	69,0	11,1	19,8							
12	3,60	41	0,0	NO	0,0	16,3	-10,2	0,0	69,0	11,1	19,8							
13	3,60	42	-4,3	NO	0,9	0,0	-2,8	0,0	69,0	11,1	19,8	2,0	0,0	-3,2	0,0	69,0	11,1	19,8
14	3,60	43	-5,3	NO								1,1	36,4	-23,8	0,7	69,0	11,1	19,8
16	3,60	45	-7,4	NO	4,7	18,2	-11,0	0,0	69,0	11,1	19,8							
17	3,60	46	1,3	NO	1,8	0,0	-0,8	0,0	69,0	11,1	19,8							
20	3,60	49	-4,7	NO	4,5	16,6	-9,2	0,0	69,0	11,1	19,8							
21	3,60	50	-29,7	NO	0,9	2,8	-18,6	0,0	69,0	11,1	19,8							
24	3,60	53	-24,9	NO	5,8	26,3	-22,8	0,0	69,0	11,1	19,8							
25	3,60	54	-15,4	NO	0,3	0,0	-9,6	0,0	69,0	11,1	24,7	6,3	50,5	-32,8	0,0	69,0	11,1	24,7
26	3,60	55	-28,0	NO								4,9	50,5	-38,6	1,3	69,0	11,1	19,8
27	3,60	56	-29,6	NO								4,2	50,5	-39,6	1,4	69,0	11,1	19,8
28	3,60	57	-15,6	NO	4,4	20,8	-16,2	0,0	69,0	11,1	24,7	5,3	50,5	-33,6	0,0	69,0	11,1	24,7
13	7,20	71	0,0	NO	0,0	1,5	-0,9	0,0	69,0	11,1	14,9	0,0	0,0	0,0	0,0	69,0	11,1	14,9
14	7,20	72	0,0	NO														
15	7,20	73	0,0	NO								0,0	0,0	0,0	0,0	69,0	11,1	14,9
16	7,20	74	0,0	NO	0,0	11,0	-6,9	0,0	69,0	11,1	14,9	0,0	0,0	0,0	0,0	69,0	11,1	14,9
17	7,20	75	0,0	NO	0,0	2,5	-1,5	0,0	69,0	11,1	14,9							
20	7,20	78	0,0	NO	0,0	11,0	-6,9	0,0	69,0	11,1	14,9							
21	7,20	79	0,0	NO	0,0	0,0	0,0	0,0	69,0	11,1	14,9							
24	7,20	82	0,0	NO	0,0	12,2	-7,6	0,0	69,0	11,1	14,9							
25	7,20	83	0,0	NO	0,0	0,0	0,0	0,0	69,0	11,1	14,9	0,0	20,9	-13,1	0,0	69,0	11,1	14,9
26	7,20	84	0,0	NO								0,0	19,7	-12,3	0,0	69,0	11,1	14,9
27	7,20	85	0,0	NO								0,0	17,2	-10,8	0,0	69,0	11,1	14,9
28	7,20	86	0,0	NO	0,0	8,5	-5,3	0,0	69,0	11,1	14,9	0,0	18,5	-11,5	0,0	69,0	11,1	14,9
29	7,20	87	0,0	NO								0,0	0,0	0,0	0,0	69,0	11,1	14,9

RISULTATI VERIFICHE NODI CLS - PUSH N.ro: 8 - Prop.Massa:-Fy+0.3*Fx+Ecc5%																		
IDENTIFICATIVO					DIREZIONE 'X'							DIREZIONE 'Y'						
Filo N.ro	Quota (m)	Nod3d Nro	Nsup (t)	Coll Nodo	TaglSup (t)	TrazAf (t)	SgmCo	SgmTr	RcLim kg/cmq	RtLim	DeltRt	TaglSup (t)	TrazAf (t)	SgmCo	SgmTr	RcLim kg/cmq	RtLim	DeltRt
1	0,00	1	-18,1	NO	6,7	0,0	-12,7	0,0	69,0	11,1	9,9	16,0	12,2	-11,8	0,0	69,0	11,1	9,9
2	0,00	2	-49,4	NO								19,0	20,4	-30,9	0,0	69,0	11,1	9,9
3	0,00	3	-50,1	NO								19,1	20,4	-31,4	0,0	69,0	11,1	9,9
4	0,00	4	-30,4	NO	6,8	8,6	-19,1	0,0	69,0	11,1	9,9	17,1	13,7	-19,2	0,0	69,0	11,1	9,9
5	0,00	5	-23,9	NO	4,9	0,0	-15,5	0,0	69,0	11,1	9,9							
8	0,00	8	-34,8	NO	6,6	7,3	-21,8	0,0	69,0	11,1	9,9							
9	0,00	9	-22,8	NO	3,0	0,0	-14,5	0,0	69,0	11,1	9,9							
12	0,00	12	-24,9	NO	5,8	5,9	-15,6	0,0	69,0	11,1	9,9							
13	0,00	13	-6,2	NO	6,1	0,0	-6,2	0,0	69,0	11,1	9,9	15,0	12,8	-4,3	0,0	69,0	11,1	9,9
14	0,00	14	-23,9	NO								16,6	0,0	-20,3	0,0	69,0	11,1	9,9
16	0,00	17	-26,6	NO	4,0	4,2	-16,6	0,0	69,0	11,1	9,9							
17	0,00	18	-39,2	NO	1,5	0,0	-24,6	0,0	69,0	11,1	9,9							
20	0,00	21	-36,0	NO	3,3	3,2	-22,5	0,0	69,0	11,1	9,9							
21	0,00	22	-18,5	NO	0,4	0,0	-11,5	0,0	69,0	11,1	9,9							
24	0,00	25	-10,7	NO	5,6	4,3	-6,8	0,0	69,0	11,1	9,9							
25	0,00	26	-22,7	NO	0,4	0,6	-14,2	0,0	69,0	11,1	9,9	16,5	0,0	-19,6	0,0	69,0	11,1	9,9
26	0,00	27	-48,7	NO								18,9	0,0	-34,5	0,0	69,0	11,1	9,9
27	0,00	28	-48,6	NO								18,6	0,0	-34,3	0,0	69,0	11,1	9,9
28	0,00	29	-21,7	NO	5,9	4,3	-13,6	0,0	69,0	11,1	9,9	16,4	0,0	-19,1	0,0	69,0	11,1	9,9
1	3,60	30	0,0	NO	0,0	0,0	0,0	0,0	69,0	11,1	19,8	0,0	41,8	-26,1	6,3	69,0	11,1	19,8
2	3,60	31	0,0	NO								0,0	43,1	-26,9	7,1	69,0	11,1	19,8
3	3,60	32	0,0	NO								0,0	43,1	-26,9	7,1	69,0	11,1	19,8
4	3,60	33	0,0	NO	0,0	17,6	-11,0	0,0	69,0	11,1	19,8	0,0	43,1	-26,9	7,1	69,0	11,1	19,8
5	3,60	34	0,0	NO	0,0	0,0	0,0	0,0	69,0	11,1	19,8							
8	3,60	37	0,0	NO	0,0	17,6	-11,0	0,0	69,0	11,1	24,7							
9	3,60	38	0,0	NO	0,0	0,0	0,0	0,0	69,0	11,1	19,8							
12	3,60	41	0,0	NO	0,0	16,3	-10,2	0,0	69,0	11,1	19,8							
13	3,60	42	-6,2	NO	4,7	0,0	-5,5	0,0	69,0	11,1	19,8	6,1	35,9	-20,7	0,0	69,0	11,1	19,8
14	3,60	43	-12,2	NO								3,7	0,0	-8,3	0,0	69,0	11,1	19,8
16	3,60	45	-18,1	NO	5,7	19,5	-16,0	0,0	69,0	11,1	19,8							

## RISULTATI VERIFICHE NODI CLS - PUSH N.ro: 8 - Prop.Massa:-Fy+0.3\*Fx+Ecc5%

IDENTIFICATIVO					DIREZIONE 'X'							DIREZIONE 'Y'						
Filo N.ro	Quota (m)	Nod3d Nro	Nsup (t)	Coll Nodo	TaglSup (t)	TrazAf (t)	SgmCo	SgmTr	RcLim	RtLim	DeltRt	TaglSup (t)	TrazAf (t)	SgmCo	SgmTr	RcLim	RtLim	DeltRt
							----- kg/cmq -----											
17	3,60	46	-9,8	NO	1,6	0,0	-6,3	0,0	69,0	11,1	19,8							
20	3,60	49	-13,7	NO	4,5	15,2	-12,2	0,0	69,0	11,1	19,8							
21	3,60	50	-12,5	NO	1,4	7,1	-9,2	0,0	69,0	11,1	19,8							
24	3,60	53	-6,1	NO	5,4	24,9	-14,2	0,0	69,0	11,1	19,8							
25	3,60	54	-10,3	NO	4,0	9,9	-8,1	0,0	69,0	11,1	24,7	2,1	0,0	-6,7	0,0	69,0	11,1	24,7
26	3,60	55	-20,6	NO								5,0	0,0	-13,6	0,0	69,0	11,1	19,8
27	3,60	56	-22,9	NO								4,3	0,0	-14,8	0,0	69,0	11,1	19,8
28	3,60	57	-8,9	NO	2,9	22,2	-15,1	0,0	69,0	11,1	24,7	2,6	0,0	-6,0	0,0	69,0	11,1	24,7
13	7,20	71	0,0	NO	0,0	0,0	0,0	0,0	69,0	11,1	14,9	0,0	27,9	-17,4	2,6	69,0	11,1	14,9
14	7,20	72	0,0	NO														
15	7,20	73	0,0	NO								0,0	29,1	-18,2	3,4	69,0	11,1	14,9
16	7,20	74	0,0	NO	0,0	13,4	-8,4	0,0	69,0	11,1	14,9	0,0	25,4	-15,9	1,0	69,0	11,1	14,9
17	7,20	75	0,0	NO	0,0	2,5	-1,5	0,0	69,0	11,1	14,9							
20	7,20	78	0,0	NO	0,0	11,0	-6,9	0,0	69,0	11,1	14,9							
21	7,20	79	0,0	NO	0,0	0,0	0,0	0,0	69,0	11,1	14,9							
24	7,20	82	0,0	NO	0,0	11,0	-6,9	0,0	69,0	11,1	14,9							
25	7,20	83	0,0	NO	0,0	6,2	-3,8	0,0	69,0	11,1	14,9	0,0	0,0	0,0	0,0	69,0	11,1	14,9
26	7,20	84	0,0	NO								0,0	0,0	0,0	0,0	69,0	11,1	14,9
27	7,20	85	0,0	NO								0,0	0,0	0,0	0,0	69,0	11,1	14,9
28	7,20	86	0,0	NO	0,0	6,1	-3,8	0,0	69,0	11,1	14,9	0,0	0,0	0,0	0,0	69,0	11,1	14,9
29	7,20	87	0,0	NO								0,0	29,1	-18,2	3,4	69,0	11,1	14,9

## RISULTATI VERIFICHE NODI CLS - PUSH N.ro: 9 - Prop.Modolo:+Fx-0.3\*Fy+Ecc5%

IDENTIFICATIVO					DIREZIONE 'X'							DIREZIONE 'Y'						
Filo N.ro	Quota (m)	Nod3d Nro	Nsup (t)	Coll Nodo	TaglSup (t)	TrazAf (t)	SgmCo	SgmTr	RcLim	RtLim	DeltRt	TaglSup (t)	TrazAf (t)	SgmCo	SgmTr	RcLim	RtLim	DeltRt
							----- kg/cmq -----											
1	0,00	1	-8,9	NO	10,3	0,0	-9,8	0,0	69,0	11,1	9,9	6,6	4,4	-5,9	0,0	69,0	11,1	9,9
2	0,00	2	-45,0	NO								4,6	4,9	-28,1	0,0	69,0	11,1	9,9
3	0,00	3	-40,1	NO								5,2	5,6	-25,1	0,0	69,0	11,1	9,9
4	0,00	4	-29,9	NO	17,0	17,8	-18,7	0,0	69,0	11,1	9,9	5,5	4,4	-18,7	0,0	69,0	11,1	9,9
5	0,00	5	-18,5	NO	10,7	0,0	-14,7	0,0	69,0	11,1	9,9							
8	0,00	8	-41,3	NO	18,1	18,5	-25,8	0,0	69,0	11,1	9,9							
9	0,00	9	-14,4	NO	10,7	0,0	-12,6	0,0	69,0	11,1	9,9							
12	0,00	12	-25,7	NO	16,6	17,1	-16,1	0,0	69,0	11,1	9,9							
13	0,00	13	5,3	NO	10,1	0,0	-4,9	0,0	69,0	11,1	9,9	3,9	3,5	0,0	0,0	69,0	11,1	9,9
14	0,00	14	-26,2	NO								3,9	0,0	-16,7	0,0	69,0	11,1	9,9
16	0,00	17	-32,9	NO	14,7	16,2	-20,6	0,0	69,0	11,1	9,9							
17	0,00	18	-18,6	NO	11,1	0,0	-14,8	0,0	69,0	11,1	9,9							
20	0,00	21	-35,6	NO	16,6	14,6	-22,3	0,0	69,0	11,1	9,9							
21	0,00	22	-14,6	NO	10,9	0,0	-12,8	0,0	69,0	11,1	9,9							
24	0,00	25	-51,2	NO	18,1	16,2	-32,1	0,0	69,0	11,1	9,9							
25	0,00	26	-15,1	NO	11,6	0,0	-13,4	0,0	69,0	11,1	9,9	1,3	0,0	-9,5	0,0	69,0	11,1	9,9
26	0,00	27	-54,6	NO								0,8	0,0	-34,2	0,0	69,0	11,1	9,9
27	0,00	28	-52,5	NO								2,2	0,0	-32,9	0,0	69,0	11,1	9,9
28	0,00	29	-44,3	NO	18,2	15,7	-27,8	0,0	69,0	11,1	9,9	7,3	0,0	-28,4	0,0	69,0	11,1	9,9
1	3,60	30	0,0	NO	0,0	0,0	0,0	0,0	69,0	11,1	19,8	0,0	18,5	-11,5	0,0	69,0	11,1	19,8
2	3,60	31	0,0	NO								0,0	13,5	-8,5	0,0	69,0	11,1	19,8
3	3,60	32	0,0	NO								0,0	14,8	-9,2	0,0	69,0	11,1	19,8
4	3,60	33	0,0	NO	0,0	48,9	-30,5	10,7	69,0	11,1	19,8	0,0	14,8	-9,2	0,0	69,0	11,1	19,8
5	3,60	34	0,0	NO	0,0	0,0	0,0	0,0	69,0	11,1	19,8							
8	3,60	37	0,0	NO	0,0	50,2	-31,4	6,6	69,0	11,1	24,7							
9	3,60	38	0,0	NO	0,0	0,0	0,0	0,0	69,0	11,1	19,8							
12	3,60	41	0,0	SI	0,0	50,2	-31,4	11,6	69,0	11,1	19,8							
13	3,60	42	-0,4	NO	4,9	0,0	-3,2	0,0	69,0	11,1	19,8	10,1	26,6	-10,4	0,0	69,0	11,1	19,8
14	3,60	43	-13,1	NO								2,5	0,0	-8,5	0,0	69,0	11,1	19,8
16	3,60	45	-16,5	NO	14,0	51,4	-29,1	0,0	69,0	11,1	19,8							
17	3,60	46	-5,4	NO	5,9	0,0	-5,7	0,0	69,0	11,1	19,8							
20	3,60	49	-14,2	NO	14,4	69,2	-39,0	10,3	69,0	11,1	19,8							
21	3,60	50	-7,8	NO	5,9	0,0	-6,9	0,0	69,0	11,1	19,8							
24	3,60	53	-22,4	NO	14,5	69,2	-41,9	8,1	69,0	11,1	19,8							
25	3,60	54	-4,6	NO	5,2	0,0	-5,0	0,0	69,0	11,1	24,7	3,3	0,0	-4,0	0,0	69,0	11,1	24,7
26	3,60	55	-22,9	NO								0,1	0,0	-14,3	0,0	69,0	11,1	19,8
27	3,60	56	-23,3	NO								0,8	0,0	-14,6	0,0	69,0	11,1	19,8
28	3,60	57	-17,8	NO	13,5	69,2	-40,8	5,0	69,0	11,1	24,7	1,7	0,0	-11,2	0,0	69,0	11,1	24,7
13	7,20	71	0,0	NO	0,0	0,0	0,0	0,0	69,0	11,1	14,9	0,0	24,1	-15,1	0,2	69,0	11,1	14,9
14	7,20	72	0,0	NO														
15	7,20	73	0,0	NO								0,0	10,1	-6,3	0,0	69,0	11,1	14,9
16	7,20	74	0,0	NO	0,0	36,4	-22,8	7,9	69,0	11,1	14,9	0,0	0,0	0,0	0,0	69,0	11,1	14,9
17	7,20	75	0,0	NO	0,0	0,0	0,0	0,0	69,0	11,1	14,9							
20	7,20	78	0,0	NO	0,0	36,4	-22,8	7,9	69,0	11,1	14,9							
21	7,20	79	0,0	NO	0,0	0,0	0,0	0,0	69,0	11,1	14,9							
24	7,20	82	0,0	NO	0,0	36,4	-22,8	7,9	69,0	11,1	14,9							
25	7,20	83	0,0	NO	0,0	0,0	0,0	0,0	69,0	11,1	14,9	0,0	0,0	0,0	0,0	69,0	11,1	14,9
26	7,20	84	0,0	NO								0,0	0,0	0,0	0,0	69,0	11,1	14,9
27	7,20	85	0,0	NO								0,0	0,0	0,0	0,0	69,0	11,1	14,9
28	7,20	86	0,0	NO	0,0	35,4	-22,1	7,3	69,0	11,1	14,9	0,0	2,5	-1,5	0,0	69,0	11,1	14,9
29	7,20	87	0,0	NO								0,0	5,1	-3,2	0,0	69,0	11,1	14,9

## RISULTATI VERIFICHE NODI CLS - PUSH N.ro: 10 - Prop.Modolo:-Fx-0.3\*Fy+Ecc5%

IDENTIFICATIVO					DIREZIONE 'X'							DIREZIONE 'Y'						
Filo N.ro	Quota (m)	Nod3d Nro	Nsup (t)	Coll Nodo	TaglSup (t)	TrazAf (t)	SgmCo	SgmTr	RcLim	RtLim	DeltRt	TaglSup (t)	TrazAf (t)	SgmCo	SgmTr	RcLim	RtLim	DeltRt
							----- kg/cmq -----											
1	0,00	1	-29,4	NO	10,6	11,1	-18,4	0,0	69,0	11,1	9,9	11,5	9,3	-18,5	0,0	69,0	11,1	9,9

SOFTWARE: C.D.S. - Full - Rel.2018

## RISULTATI VERIFICHE NODI CLS - PUSH N.ro: 10 - Prop.Modolo:-Fx-0.3\*Fy+Ecc5%

IDENTIFICATIVO			DIREZIONE 'X'								DIREZIONE 'Y'							
Filo N.ro	Quota (m)	Nod3d Nro	Nsup (t)	Coll Nodo	TaglSup (t)	TrazAf (t)	SgmCo	SgmTr	RcLim	RtLim	DeltRt	TaglSup (t)	TrazAf (t)	SgmCo	SgmTr	RcLim	RtLim	DeltRt
			----- kg/cmq -----															
2	0,00	2	-37,8	NO								7,8	9,2	-23,6	0,0	69,0	11,1	9,9
3	0,00	3	-44,5	NO								4,2	4,2	-27,8	0,0	69,0	11,1	9,9
4	0,00	4	-12,6	NO								0,2	0,0	-7,9	0,0	69,0	11,1	9,9
5	0,00	5	-41,5	NO	9,1	0,0	-10,8	0,0	69,0	11,1	9,9							
8	0,00	8	-22,6	NO	15,3	15,7	-25,9	0,0	69,0	11,1	9,9							
9	0,00	9	-29,4	NO	10,7	0,0	-16,8	0,0	69,0	11,1	9,9							
12	0,00	12	-5,7	NO	15,4	23,4	-19,6	0,0	69,0	11,1	9,9							
13	0,00	13	-54,6	NO	10,5	0,0	-8,6	0,0	69,0	11,1	9,9							
14	0,00	14	1,3	NO	11,1	21,9	-35,4	0,0	69,0	11,1	9,9	10,0	9,9	-34,1	0,0	69,0	11,1	9,9
16	0,00	17	-10,6	NO								7,1	0,0	-4,0	0,0	69,0	11,1	9,9
17	0,00	18	-53,5	NO	10,2	0,0	-10,5	0,0	69,0	11,1	9,9							
20	0,00	21	-5,6	NO	17,3	18,6	-33,4	0,0	69,0	11,1	9,9							
21	0,00	22	-50,4	NO	12,2	0,0	-9,6	0,0	69,0	11,1	9,9							
24	0,00	25	-13,1	NO	17,8	18,6	-31,5	0,0	69,0	11,1	9,9							
25	0,00	26	-43,7	NO	12,4	0,0	-12,8	0,0	69,0	11,1	9,9							
26	0,00	27	-51,2	NO	18,1	18,0	-27,3	0,0	69,0	11,1	9,9	9,9	0,0	-28,7	0,0	69,0	11,1	9,9
27	0,00	28	-59,1	NO								2,8	0,0	-32,1	0,0	69,0	11,1	9,9
28	0,00	29	-11,5	NO	13,1	0,0	-12,6	0,0	69,0	11,1	9,9	0,3	0,0	-36,9	0,0	69,0	11,1	9,9
1	3,60	30	0,0	NO	0,0	26,6	-16,6	0,0	69,0	11,1	19,8	1,9	1,4	-7,2	0,0	69,0	11,1	9,9
2	3,60	31	0,0	NO								0,0	28,3	-17,7	0,0	69,0	11,1	19,8
3	3,60	32	0,0	NO								0,0	19,7	-12,3	0,0	69,0	11,1	19,8
4	3,60	33	0,0	NO								0,0	12,3	-7,7	0,0	69,0	11,1	19,8
5	3,60	34	0,0	NO	0,0	0,0	0,0	0,0	69,0	11,1	19,8	0,0	2,5	-1,5	0,0	69,0	11,1	19,8
8	3,60	37	0,0	NO	0,0	35,9	-22,5	2,7	69,0	11,1	19,8							
9	3,60	38	0,0	NO	0,0	0,0	0,0	0,0	69,0	11,1	24,7							
12	3,60	41	0,0	NO	0,0	35,9	-22,5	2,7	69,0	11,1	19,8							
13	3,60	42	-19,0	NO	0,0	0,0	0,0	0,0	69,0	11,1	19,8							
14	3,60	43	-4,7	NO	10,8	41,6	-26,1	0,0	69,0	11,1	19,8	1,9	26,6	-22,5	0,0	69,0	11,1	19,8
16	3,60	45	-5,2	NO								0,5	0,0	-3,0	0,0	69,0	11,1	19,8
17	3,60	46	-18,0	NO	6,2	0,0	-5,8	0,0	69,0	11,1	19,8							
20	3,60	49	-6,7	NO	14,4	69,4	-40,4	9,4	69,0	11,1	19,8							
21	3,60	50	-25,3	NO	6,6	0,0	-6,7	0,0	69,0	11,1	19,8							
24	3,60	53	-4,4	NO	14,4	69,4	-43,2	7,6	69,0	11,1	19,8							
25	3,60	54	-17,3	NO	6,0	0,0	-5,4	0,0	69,0	11,1	19,8							
26	3,60	55	-20,9	NO	13,5	69,4	-40,7	5,2	69,0	11,1	24,7	0,4	0,0	-10,8	0,0	69,0	11,1	24,7
27	3,60	56	-25,8	NO								1,3	0,0	-13,1	0,0	69,0	11,1	19,8
28	3,60	57	-4,1	NO	5,4	0,0	-4,9	0,0	69,0	11,1	24,7	0,5	2,6	-16,2	0,0	69,0	11,1	19,8
13	7,20	71	0,0	NO	0,0	32,2	-20,1	5,3	69,0	11,1	14,9	2,2	1,3	-2,7	0,0	69,0	11,1	24,7
14	7,20	72	0,0	NO								0,0	6,3	-4,0	0,0	69,0	11,1	14,9
15	7,20	73	0,0	NO														
16	7,20	74	0,0	NO	0,0	0,0	0,0	0,0	69,0	11,1	14,9	0,0	10,1	-6,3	0,0	69,0	11,1	14,9
17	7,20	75	0,0	NO	0,0	36,9	-23,1	8,2	69,0	11,1	14,9	0,0	7,6	-4,8	0,0	69,0	11,1	14,9
20	7,20	78	0,0	NO	0,0	0,0	0,0	0,0	69,0	11,1	14,9							
21	7,20	79	0,0	NO	0,0	38,1	-23,8	9,0	69,0	11,1	14,9							
24	7,20	82	0,0	NO	0,0	0,0	0,0	0,0	69,0	11,1	14,9							
25	7,20	83	0,0	NO	0,0	36,9	-23,1	8,2	69,0	11,1	14,9	0,0	0,0	0,0	0,0	69,0	11,1	14,9
26	7,20	84	0,0	NO								0,0	1,2	-0,8	0,0	69,0	11,1	14,9
27	7,20	85	0,0	NO								0,0	0,0	0,0	0,0	69,0	11,1	14,9
28	7,20	86	0,0	NO	0,0	0,0	0,0	0,0	69,0	11,1	14,9	0,0	0,0	0,0	0,0	69,0	11,1	14,9
29	7,20	87	0,0	NO								0,0	8,9	-5,5	0,0	69,0	11,1	14,9

## RISULTATI VERIFICHE NODI CLS - PUSH N.ro: 11 - Prop.Modolo:+Fy-0.3\*Fx+Ecc5%

IDENTIFICATIVO			DIREZIONE 'X'								DIREZIONE 'Y'							
Filo N.ro	Quota (m)	Nod3d Nro	Nsup (t)	Coll Nodo	TaglSup (t)	TrazAf (t)	SgmCo	SgmTr	RcLim	RtLim	DeltRt	TaglSup (t)	TrazAf (t)	SgmCo	SgmTr	RcLim	RtLim	DeltRt
			----- kg/cmq -----															
1	0,00	1	-9,7	NO	1,0	1,7	-6,1	0,0	69,0	11,1	9,9	12,8	0,0	-11,6	0,0	69,0	11,1	9,9
2	0,00	2	-31,2	NO								14,1	0,0	-22,9	0,0	69,0	11,1	9,9
3	0,00	3	-34,9	NO								14,6	0,0	-25,1	0,0	69,0	11,1	9,9
4	0,00	4	-12,4	NO	0,6	0,0	-7,7	0,0	69,0	11,1	9,9	13,9	0,0	-13,4	0,0	69,0	11,1	9,9
5	0,00	5	-28,2	NO	3,1	2,9	-17,7	0,0	69,0	11,1	9,9							
8	0,00	8	-26,1	NO	0,7	0,0	-16,3	0,0	69,0	11,1	9,9							
9	0,00	9	1,5	NO	4,5	6,1	-0,6	0,0	69,0	11,1	9,9							
12	0,00	12	9,1	NO	0,0	0,0	0,0	0,0	69,0	11,1	9,9							
13	0,00	13	-20,2	NO	8,7	7,9	-12,6	0,0	69,0	11,1	9,9	15,8	0,0	-18,0	0,0	69,0	11,1	9,9
14	0,00	14	-31,5	NO								17,1	17,5	-19,7	0,0	69,0	11,1	9,9
16	0,00	17	-27,8	NO	1,9	0,0	-17,5	0,0	69,0	11,1	9,9							
17	0,00	18	-7,3	NO	5,7	6,0	-4,6	0,0	69,0	11,1	9,9							
20	0,00	21	3,7	NO	3,4	0,0	-1,3	0,0	69,0	11,1	9,9							
21	0,00	22	-77,2	NO	8,3	7,8	-48,2	0,0	69,0	11,1	9,9							
24	0,00	25	-48,0	NO	2,2	0,0	-30,1	0,0	69,0	11,1	9,9							
25	0,00	26	-55,5	NO	11,7	11,4	-34,7	0,0	69,0	11,1	9,9	19,2	22,5	-34,8	0,0	69,0	11,1	9,9
26	0,00	27	-75,5	NO								20,8	23,1	-47,2	0,0	69,0	11,1	9,9
27	0,00	28	-75,6	NO								21,0	22,4	-47,3	0,0	69,0	11,1	9,9
28	0,00	29	-35,5	NO	7,1	0,0	-23,1	0,0	69,0	11,1	9,9	17,6	19,7	-22,3	0,0	69,0	11,1	9,9
1	3,60	30	0,0	NO	0,0	1,3	-0,8	0,0	69,0	11,1	19,8	0,0	0,0	0,0	0,0	69,0	11,1	19,8
2	3,60	31	0,0	NO								0,0	0,0	0,0	0,0	69,0	11,1	19,8
3	3,60	32	0,0	NO								0,0	0,0	0,0	0,0	69,0	11,1	19,8
4	3,60	33	0,0	NO	0,0	2,7	-1,7	0,0	69,0	11,1	19,8	0,0	0,0	0,0	0,0	69,0	11,1	19,8
5	3,60	34	0,0	NO	0,0	8,0	-5,0	0,0	69,0	11,1	19,8							
8	3,60	37	0,0	NO	0,0	0,0	0,0	0,0	69,0	11,1	24,7							
9	3,60	38	0,0	NO	0,0	10,6	-6,7	0,0	69,0	11,1	19,8							
12	3,60	41	0,0	NO	0,0	0,0	0,0	0,0	69,0	11,1	19,8							
13	3,60	42	-5,7	NO	4,6	34,2	-20,3	0,0	69,0	11,1	19,8	0,5	0,0	-3,6	0,0	69,0	11,1	19,8

## RISULTATI VERIFICHE NODI CLS - PUSH N.ro: 11 - Prop.Modolo: +Fy-0.3\*Fx+Ecc5%

IDENTIFICATIVO					DIREZIONE 'X'							DIREZIONE 'Y'						
Filo N.ro	Quota (m)	Nod3d Nro	Nsup (t)	Coll Nodo	TaglSup (t)	TrazAf (t)	SgmCo	SgmTr	RcLim	RtLim	DeltRt	TaglSup (t)	TrazAf (t)	SgmCo	SgmTr	RcLim	RtLim	DeltRt
14	3,60	43	-12,9	NO								2,6	36,4	-25,6	0,0	69,0	11,1	19,8
16	3,60	45	-9,2	NO	1,1	0,0	-5,8	0,0	69,0	11,1	19,8							
17	3,60	46	-3,5	NO	5,8	26,9	-14,3	0,0	69,0	11,1	19,8							
20	3,60	49	-4,3	NO	0,0	0,0	-2,7	0,0	69,0	11,1	19,8							
21	3,60	50	-31,3	NO	5,3	34,0	-30,2	0,0	69,0	11,1	19,8							
24	3,60	53	-17,2	NO	1,2	0,0	-10,8	0,0	69,0	11,1	19,8							
25	3,60	54	-20,0	NO	3,5	41,1	-30,5	0,0	69,0	11,1	24,7	8,6	50,5	-33,2	0,0	69,0	11,1	24,7
26	3,60	55	-31,1	NO								8,4	50,5	-37,8	0,0	69,0	11,1	19,8
27	3,60	56	-32,4	NO								8,2	50,5	-38,4	0,0	69,0	11,1	19,8
28	3,60	57	-15,5	NO	0,1	0,0	-9,7	0,0	69,0	11,1	24,7	9,3	50,5	-31,1	0,0	69,0	11,1	24,7
13	7,20	71	0,0	NO	0,0	13,2	-8,2	0,0	69,0	11,1	14,9	0,0	0,0	0,0	0,0	69,0	11,1	14,9
14	7,20	72	0,0	NO														
15	7,20	73	0,0	NO								0,0	0,0	0,0	0,0	69,0	11,1	14,9
16	7,20	74	0,0	NO	0,0	0,0	0,0	0,0	69,0	11,1	14,9	0,0	0,0	0,0	0,0	69,0	11,1	14,9
17	7,20	75	0,0	NO	0,0	13,5	-8,5	0,0	69,0	11,1	14,9							
20	7,20	78	0,0	NO	0,0	0,0	0,0	0,0	69,0	11,1	14,9							
21	7,20	79	0,0	NO	0,0	11,1	-6,9	0,0	69,0	11,1	14,9							
24	7,20	82	0,0	NO	0,0	0,0	0,0	0,0	69,0	11,1	14,9							
25	7,20	83	0,0	NO	0,0	8,6	-5,4	0,0	69,0	11,1	14,9	0,0	32,0	-20,0	5,1	69,0	11,1	14,9
26	7,20	84	0,0	NO								0,0	34,5	-21,5	6,7	69,0	11,1	14,9
27	7,20	85	0,0	NO								0,0	35,7	-22,3	7,5	69,0	11,1	14,9
28	7,20	86	0,0	NO	0,0	0,0	0,0	0,0	69,0	11,1	14,9	0,0	33,2	-20,8	5,9	69,0	11,1	14,9
29	7,20	87	0,0	NO								0,0	0,0	0,0	0,0	69,0	11,1	14,9

## RISULTATI VERIFICHE NODI CLS - PUSH N.ro: 12 - Prop.Modolo: -Fy-0.3\*Fx+Ecc5%

IDENTIFICATIVO					DIREZIONE 'X'							DIREZIONE 'Y'						
Filo N.ro	Quota (m)	Nod3d Nro	Nsup (t)	Coll Nodo	TaglSup (t)	TrazAf (t)	SgmCo	SgmTr	RcLim	RtLim	DeltRt	TaglSup (t)	TrazAf (t)	SgmCo	SgmTr	RcLim	RtLim	DeltRt
1	0,00	1	-24,6	NO	0,5	0,6	-15,4	0,0	69,0	11,1	9,9	16,6	13,2	-15,7	0,0	69,0	11,1	9,9
2	0,00	2	-48,2	NO								18,3	20,4	-30,2	0,0	69,0	11,1	9,9
3	0,00	3	-51,2	NO								18,6	20,4	-32,0	0,0	69,0	11,1	9,9
4	0,00	4	-27,2	NO	0,1	1,3	-17,1	0,0	69,0	11,1	9,9	16,8	13,2	-17,3	0,0	69,0	11,1	9,9
5	0,00	5	-30,8	NO	2,4	2,9	-19,3	0,0	69,0	11,1	9,9							
8	0,00	8	-30,5	NO	1,4	0,0	-19,1	0,0	69,0	11,1	9,9							
9	0,00	9	-32,6	NO	3,1	5,2	-20,5	0,0	69,0	11,1	9,9							
12	0,00	12	-23,6	NO	1,5	0,0	-14,8	0,0	69,0	11,1	9,9							
13	0,00	13	-27,2	NO	1,7	4,4	-17,2	0,0	69,0	11,1	9,9	15,0	14,6	-17,0	0,0	69,0	11,1	9,9
14	0,00	14	-10,7	NO								13,0	0,0	-12,1	0,0	69,0	11,1	9,9
16	0,00	17	-15,2	NO	3,6	0,0	-10,0	0,0	69,0	11,1	9,9							
17	0,00	18	-44,7	NO	6,0	6,0	-27,9	0,0	69,0	11,1	9,9							
20	0,00	21	-25,6	NO	5,3	0,0	-16,7	0,0	69,0	11,1	9,9							
21	0,00	22	-30,6	NO	8,3	7,8	-19,1	0,0	69,0	11,1	9,9							
24	0,00	25	-3,7	NO	3,3	0,0	-3,5	0,0	69,0	11,1	9,9							
25	0,00	26	-30,4	NO	11,8	10,8	-19,0	0,0	69,0	11,1	9,9	14,0	0,0	-22,4	0,0	69,0	11,1	9,9
26	0,00	27	-45,8	NO								14,6	0,0	-31,3	0,0	69,0	11,1	9,9
27	0,00	28	-46,6	NO								14,3	0,0	-31,7	0,0	69,0	11,1	9,9
28	0,00	29	-7,7	NO	6,7	0,0	-7,3	0,0	69,0	11,1	9,9	13,0	0,0	-10,9	0,0	69,0	11,1	9,9
1	3,60	30	0,0	NO	0,0	0,0	0,0	0,0	69,0	11,1	19,8	0,0	43,1	-26,9	7,1	69,0	11,1	19,8
2	3,60	31	0,0	NO								0,0	43,1	-26,9	7,1	69,0	11,1	19,8
3	3,60	32	0,0	NO								0,0	43,1	-26,9	7,1	69,0	11,1	19,8
4	3,60	33	0,0	NO	0,0	0,0	0,0	0,0	69,0	11,1	19,8	0,0	43,1	-26,9	7,1	69,0	11,1	19,8
5	3,60	34	0,0	NO	0,0	5,3	-3,3	0,0	69,0	11,1	19,8							
8	3,60	37	0,0	NO	0,0	0,0	0,0	0,0	69,0	11,1	24,7							
9	3,60	38	0,0	NO	0,0	8,0	-5,0	0,0	69,0	11,1	19,8							
12	3,60	41	0,0	NO	0,0	0,0	0,0	0,0	69,0	11,1	19,8							
13	3,60	42	-10,6	NO	1,2	3,0	-6,8	0,0	69,0	11,1	19,8	7,2	35,9	-21,6	0,0	69,0	11,1	19,8
14	3,60	43	-7,8	NO								2,7	0,0	-5,4	0,0	69,0	11,1	19,8
16	3,60	45	-12,5	NO	0,1	0,0	-7,8	0,0	69,0	11,1	19,8							
17	3,60	46	-10,0	NO	6,0	28,3	-17,5	0,0	69,0	11,1	19,8							
20	3,60	49	-9,9	NO	0,4	0,0	-6,2	0,0	69,0	11,1	19,8							
21	3,60	50	-19,2	NO	5,3	35,4	-25,7	0,0	69,0	11,1	19,8							
24	3,60	53	-5,7	NO	0,9	0,0	-3,6	0,0	69,0	11,1	19,8							
25	3,60	54	-10,7	NO	8,3	49,6	-29,3	0,0	69,0	11,1	24,7	3,8	0,0	-7,5	0,0	69,0	11,1	24,7
26	3,60	55	-18,1	NO								3,3	0,0	-11,7	0,0	69,0	11,1	19,8
27	3,60	56	-19,7	NO								3,9	0,0	-12,8	0,0	69,0	11,1	19,8
28	3,60	57	-3,5	NO	1,1	0,0	-2,4	0,0	69,0	11,1	24,7	4,2	0,0	-3,9	0,0	69,0	11,1	24,7
13	7,20	71	0,0	NO	0,0	0,0	0,0	0,0	69,0	11,1	14,9	0,0	29,1	-18,2	3,4	69,0	11,1	14,9
14	7,20	72	0,0	NO														
15	7,20	73	0,0	NO								0,0	29,1	-18,2	3,4	69,0	11,1	14,9
16	7,20	74	0,0	NO	0,0	0,0	0,0	0,0	69,0	11,1	14,9	0,0	29,1	-18,2	3,4	69,0	11,1	14,9
17	7,20	75	0,0	NO	0,0	13,5	-8,5	0,0	69,0	11,1	14,9							
20	7,20	78	0,0	NO	0,0	0,0	0,0	0,0	69,0	11,1	14,9							
21	7,20	79	0,0	NO	0,0	11,1	-6,9	0,0	69,0	11,1	14,9							
24	7,20	82	0,0	NO	0,0	0,0	0,0	0,0	69,0	11,1	14,9							
25	7,20	83	0,0	NO	0,0	19,7	-12,3	0,0	69,0	11,1	14,9	0,0	0,0	0,0	0,0	69,0	11,1	14,9
26	7,20	84	0,0	NO								0,0	0,0	0,0	0,0	69,0	11,1	14,9
27	7,20	85	0,0	NO								0,0	0,0	0,0	0,0	69,0	11,1	14,9
28	7,20	86	0,0	NO	0,0	0,0	0,0	0,0	69,0	11,1	14,9	0,0	0,0	0,0	0,0	69,0	11,1	14,9
29	7,20	87	0,0	NO								0,0	29,1	-18,2	3,4	69,0	11,1	14,9

## RISULTATI VERIFICHE NODI CLS - PUSH N.ro: 13 - Prop.Massa: +Fx-0.3\*Fy+Ecc5%

IDENTIFICATIVO					DIREZIONE 'X'							DIREZIONE 'Y'						
Filo	Quota	Nod3d	Nsup	Coll	TaglSup	TrazAf	SgmCo	SgmTr	RcLim	RtLim	DeltRt	TaglSup	TrazAf	SgmCo	SgmTr	RcLim	RtLim	DeltRt

SOFTWARE: C.D.S. - Full - Rel.2018



**C.D.S.**

N.ro	(m)	Nro	(t)	Nodo	(t)	(t)	----- kg/cmq -----				(t)	(t)	----- kg/cmq -----					
1	0,00	1	-10,2	NO	11,6	0,0	-11,1	0,0	69,0	11,1	9,9	8,5	5,4	-6,9	0,0	69,0	11,1	9,9
2	0,00	2	-45,2	NO								4,8	4,9	-28,3	0,0	69,0	11,1	9,9
3	0,00	3	-39,8	NO								4,8	4,9	-24,9	0,0	69,0	11,1	9,9
4	0,00	4	-28,5	NO	17,0	17,8	-17,8	0,0	69,0	11,1	9,9	3,9	3,4	-17,8	0,0	69,0	11,1	9,9
5	0,00	5	-19,4	NO	12,0	0,0	-15,7	0,0	69,0	11,1	9,9							
8	0,00	8	-40,7	NO	18,1	17,8	-25,4	0,0	69,0	11,1	9,9							
9	0,00	9	-14,4	NO	13,3	0,0	-14,0	0,0	69,0	11,1	9,9							
12	0,00	12	-22,8	NO	16,5	17,1	-14,3	0,0	69,0	11,1	9,9							
13	0,00	13	3,7	NO	13,7	0,0	-7,5	0,0	69,0	11,1	9,9	7,4	5,8	-0,4	0,0	69,0	11,1	9,9
14	0,00	14	-21,9	NO								4,8	0,0	-14,3	0,0	69,0	11,1	9,9
16	0,00	17	-32,4	NO	17,4	16,2	-20,3	0,0	69,0	11,1	9,9							
17	0,00	18	-20,4	NO	16,2	0,0	-18,3	0,0	69,0	11,1	9,9							
20	0,00	21	-31,4	NO	17,2	14,6	-19,8	0,0	69,0	11,1	9,9							
21	0,00	22	-19,4	NO	16,2	0,0	-17,9	0,0	69,0	11,1	9,9							
24	0,00	25	-51,0	NO	18,8	15,7	-32,0	0,0	69,0	11,1	9,9							
25	0,00	26	-18,8	NO	16,1	0,0	-17,5	0,0	69,0	11,1	9,9	5,5	0,0	-12,7	0,0	69,0	11,1	9,9
26	0,00	27	-54,3	NO								1,8	0,0	-34,0	0,0	69,0	11,1	9,9
27	0,00	28	-54,5	NO								2,0	0,0	-34,1	0,0	69,0	11,1	9,9
28	0,00	29	-41,5	NO	18,0	15,7	-26,0	0,0	69,0	11,1	9,9	5,1	0,0	-26,3	0,0	69,0	11,1	9,9
1	3,60	30	0,0	NO	0,0	0,0	0,0	0,0	69,0	11,1	19,8	0,0	23,4	-14,6	0,0	69,0	11,1	19,8
2	3,60	31	0,0	NO								0,0	13,5	-8,5	0,0	69,0	11,1	19,8
3	3,60	32	0,0	NO								0,0	13,5	-8,5	0,0	69,0	11,1	19,8
4	3,60	33	0,0	NO	0,0	46,1	-28,8	9,0	69,0	11,1	19,8	0,0	11,1	-6,9	0,0	69,0	11,1	19,8
5	3,60	34	0,0	NO	0,0	0,0	0,0	0,0	69,0	11,1	19,8							
8	3,60	37	0,0	NO	0,0	48,9	-30,5	5,8	69,0	11,1	24,7							
9	3,60	38	0,0	NO	0,0	0,0	0,0	0,0	69,0	11,1	19,8							
12	3,60	41	0,0	NO	0,0	46,1	-28,8	9,0	69,0	11,1	19,8							
13	3,60	42	-1,5	NO	0,6	0,0	-1,0	0,0	69,0	11,1	19,8	6,8	30,6	-15,4	0,0	69,0	11,1	19,8
14	3,60	43	-9,6	NO								2,1	0,0	-6,2	0,0	69,0	11,1	19,8
16	3,60	45	-14,8	NO	8,4	51,4	-31,9	2,8	69,0	11,1	19,8							
17	3,60	46	-6,8	NO	3,3	0,0	-5,1	0,0	69,0	11,1	19,8							
20	3,60	49	-12,7	NO	9,4	59,5	-35,6	7,8	69,0	11,1	19,8							
21	3,60	50	-12,9	NO	2,9	0,0	-8,5	0,0	69,0	11,1	19,8							
24	3,60	53	-20,5	NO	11,1	69,2	-43,2	10,7	69,0	11,1	19,8							
25	3,60	54	-9,4	NO	3,5	0,0	-6,6	0,0	69,0	11,1	24,7	0,0	0,0	-5,9	0,0	69,0	11,1	24,7
26	3,60	55	-20,7	NO								1,5	0,0	-13,0	0,0	69,0	11,1	19,8
27	3,60	56	-25,7	NO								1,4	1,3	-16,1	0,0	69,0	11,1	19,8
28	3,60	57	-15,1	NO	9,1	62,3	-38,3	4,1	69,0	11,1	24,7	1,5	0,0	-9,5	0,0	69,0	11,1	24,7
13	7,20	71	0,0	NO	0,0	0,0	0,0	0,0	69,0	11,1	14,9	0,0	17,8	-11,1	0,0	69,0	11,1	14,9
14	7,20	72	0,0	NO														
15	7,20	73	0,0	NO								0,0	8,9	-5,5	0,0	69,0	11,1	14,9
16	7,20	74	0,0	NO	0,0	25,6	-16,0	1,2	69,0	11,1	14,9	0,0	0,0	0,0	0,0	69,0	11,1	14,9
17	7,20	75	0,0	NO	0,0	0,0	0,0	0,0	69,0	11,1	14,9							
20	7,20	78	0,0	NO	0,0	25,6	-16,0	1,2	69,0	11,1	14,9							
21	7,20	79	0,0	NO	0,0	0,0	0,0	0,0	69,0	11,1	14,9							
24	7,20	82	0,0	NO	0,0	28,1	-17,5	2,7	69,0	11,1	14,9							
25	7,20	83	0,0	NO	0,0	0,0	0,0	0,0	69,0	11,1	14,9	0,0	0,0	0,0	0,0	69,0	11,1	14,9
26	7,20	84	0,0	NO								0,0	1,2	-0,8	0,0	69,0	11,1	14,9
27	7,20	85	0,0	NO								0,0	1,2	-0,8	0,0	69,0	11,1	14,9
28	7,20	86	0,0	NO	0,0	22,0	-13,7	0,0	69,0	11,1	14,9	0,0	2,5	-1,5	0,0	69,0	11,1	14,9
29	7,20	87	0,0	NO								0,0	5,1	-3,2	0,0	69,0	11,1	14,9

RISULTATI VERIFICHE NODI CLS - PUSH N.ro: 14 - Prop.Massa:-Fx-0.3*Fy+Ecc5%																		
IDENTIFICATIVO					DIREZIONE X							DIREZIONE Y						
Filo N.ro	Quota (m)	Nod3d Nro	Nsup (t)	Coll Nodo	TaglSup (t)	TrazAf (t)	SgmCo	SgmTr	RcLim	RtLim	DeltRt	TaglSup (t)	TrazAf (t)	SgmCo	SgmTr	RcLim	RtLim	DeltRt
1	0,00	1	-32,5	NO	15,6	15,7	-20,3	0,0	69,0	11,1	9,9	15,9	12,2	-20,6	0,0	69,0	11,1	9,9
2	0,00	2	-36,6	NO								7,1	8,5	-22,9	0,0	69,0	11,1	9,9
3	0,00	3	-45,2	NO								5,4	5,6	-28,3	0,0	69,0	11,1	9,9
4	0,00	4	-11,9	NO	11,8	0,0	-12,0	0,0	69,0	11,1	9,9	0,3	0,0	-7,4	0,0	69,0	11,1	9,9
5	0,00	5	-40,7	NO	16,5	15,7	-25,4	0,0	69,0	11,1	9,9							
8	0,00	8	-22,8	NO	12,4	0,0	-17,6	0,0	69,0	11,1	9,9							
9	0,00	9	-28,2	NO	15,9	23,4	-18,8	0,0	69,0	11,1	9,9							
12	0,00	12	-6,5	NO	13,1	0,0	-10,5	0,0	69,0	11,1	9,9							
13	0,00	13	-41,7	NO	17,9	26,2	-27,1	0,0	69,0	11,1	9,9	11,2	9,9	-26,1	0,0	69,0	11,1	9,9
14	0,00	14	-7,6	NO								7,2	0,0	-7,5	0,0	69,0	11,1	9,9
16	0,00	17	-13,3	NO	15,5	0,0	-14,7	0,0	69,0	11,1	9,9							
17	0,00	18	-45,9	NO	18,5	18,0	-28,7	0,0	69,0	11,1	9,9							
20	0,00	21	-8,3	NO	15,2	0,0	-12,4	0,0	69,0	11,1	9,9							
21	0,00	22	-53,4	NO	19,2	18,0	-33,4	0,0	69,0	11,1	9,9							
24	0,00	25	-13,7	NO	15,8	0,0	-15,1	0,0	69,0	11,1	9,9							
25	0,00	26	-44,3	NO	18,4	18,0	-27,7	0,0	69,0	11,1	9,9	8,2	0,0	-28,6	0,0	69,0	11,1	9,9
26	0,00	27	-54,6	NO								3,0	0,0	-34,2	0,0	69,0	11,1	9,9
27	0,00	28	-57,2	NO								0,2	0,0	-35,7	0,0	69,0	11,1	9,9
28	0,00	29	-12,7	NO	15,8	0,0	-14,6	0,0	69,0	11,1	9,9	0,4	0,0	-7,9	0,0	69,0	11,1	9,9
1	3,60	30	0,0	NO	0,0	35,9	-22,5	2,7	69,0	11,1	19,8	0,0	39,4	-24,6	4,8	69,0	11,1	19,8
2	3,60	31	0,0	NO								0,0	17,2	-10,8	0,0	69,0	11,1	19,8
3	3,60	32	0,0	NO								0,0	14,8	-9,2	0,0	69,0	11,1	19,8
4	3,60	33	0,0	NO	0,0	0,0	0,0	0,0	69,0	11,1	19,8	0,0	2,5	-1,5	0,0	69,0	11,1	19,8
5	3,60	34	0,0	NO	0,0	35,9	-22,5	2,7	69,0	11,1	19,8							
8	3,60	37	0,0	NO	0,0	0,0	0,0	0,0	69,0	11,1	24,7							
9	3,60	38	0,0	NO	0,0	35,9	-22,5	2,7	69,0	11,1	19,8							
12	3,60	41	0,0	NO	0,0	0,0	0,0	0,0	69,0	11,1	19,8							
13	3,60	42	-6,4	NO	0,2	41,6	-28,0	4,1	69,0	11,1	19,8	1,6	25,3	-16,9	0,0	69,0	11,1	19,8
14	3,60	43	-15,0	NO								0,2	0,0	-9,4	0,0	69,0	11,1	19,8
16	3,60	45	-8,1	NO	3,8	0,0	-6,0	0,0	69,0	11,1	19,8							
17	3,60	46	-15,4	NO	9,5	65,1	-39,9	10,5	69,0	11,1	19,8							

## RISULTATI VERIFICHE NODI CLS - PUSH N.ro: 14 - Prop.Massa:-Fx-0.3\*Fy+Ecc5%

IDENTIFICATIVO					DIREZIONE 'X							DIREZIONE 'Y						
Filo N.ro	Quota (m)	Nod3d Nro	Nsup (t)	Coll Nodo	TaglSup (t)	TrazAf (t)	SgmCo	SgmTr	RcLim	RtLim	DeltRt	TaglSup (t)	TrazAf (t)	SgmCo	SgmTr	RcLim	RtLim	DeltRt
								kg/cmq							kg/cmq			
20	3,60	49	-8,0	NO	1,5	0,0	-5,2	0,0	69,0	11,1	19,8							
21	3,60	50	-25,1	NO	9,7	69,4	-46,0	10,5	69,0	11,1	19,8							
24	3,60	53	-6,3	NO	0,2	0,0	-4,0	0,0	69,0	11,1	19,8							
25	3,60	54	-16,6	NO	9,9	68,0	-41,9	6,8	69,0	11,1	24,7	1,7	0,0	-10,5	0,0	69,0	11,1	24,7
26	3,60	55	-23,8	NO								2,2	0,0	-15,0	0,0	69,0	11,1	19,8
27	3,60	56	-23,4	NO								0,1	2,6	-14,8	0,0	69,0	11,1	19,8
28	3,60	57	-6,1	NO	0,4	0,0	-3,8	0,0	69,0	11,1	24,7	2,0	0,0	-4,1	0,0	69,0	11,1	24,7
13	7,20	71	0,0	NO	0,0	5,8	-3,7	0,0	69,0	11,1	14,9	0,0	0,0	0,0	0,0	69,0	11,1	14,9
14	7,20	72	0,0	NO														
15	7,20	73	0,0	NO								0,0	10,1	-6,3	0,0	69,0	11,1	14,9
16	7,20	74	0,0	NO	0,0	0,0	0,0	0,0	69,0	11,1	14,9	0,0	7,6	-4,8	0,0	69,0	11,1	14,9
17	7,20	75	0,0	NO	0,0	25,8	-16,2	1,3	69,0	11,1	14,9							
20	7,20	78	0,0	NO	0,0	0,0	0,0	0,0	69,0	11,1	14,9							
21	7,20	79	0,0	NO	0,0	24,6	-15,4	0,5	69,0	11,1	14,9							
24	7,20	82	0,0	NO	0,0	0,0	0,0	0,0	69,0	11,1	14,9							
25	7,20	83	0,0	NO	0,0	24,6	-15,4	0,5	69,0	11,1	14,9	0,0	1,2	-0,8	0,0	69,0	11,1	14,9
26	7,20	84	0,0	NO								0,0	2,5	-1,5	0,0	69,0	11,1	14,9
27	7,20	85	0,0	NO								0,0	0,0	0,0	0,0	69,0	11,1	14,9
28	7,20	86	0,0	NO	0,0	0,0	0,0	0,0	69,0	11,1	14,9	0,0	0,0	0,0	0,0	69,0	11,1	14,9
29	7,20	87	0,0	NO								0,0	8,9	-5,5	0,0	69,0	11,1	14,9

## RISULTATI VERIFICHE NODI CLS - PUSH N.ro: 15 - Prop.Massa:+Fy-0.3\*Fx+Ecc5%

IDENTIFICATIVO					DIREZIONE 'X							DIREZIONE 'Y						
Filo N.ro	Quota (m)	Nod3d Nro	Nsup (t)	Coll Nodo	TaglSup (t)	TrazAf (t)	SgmCo	SgmTr	RcLim	RtLim	DeltRt	TaglSup (t)	TrazAf (t)	SgmCo	SgmTr	RcLim	RtLim	DeltRt
								kg/cmq							kg/cmq			
1	0,00	1	-11,4	NO	1,7	2,3	-7,1	0,0	69,0	11,1	9,9	13,8	0,0	-12,9	0,0	69,0	11,1	9,9
2	0,00	2	-31,8	NO								14,5	0,0	-23,4	0,0	69,0	11,1	9,9
3	0,00	3	-36,1	NO								15,1	0,0	-26,0	0,0	69,0	11,1	9,9
4	0,00	4	-12,7	NO	0,0	0,0	-8,0	0,0	69,0	11,1	9,9	14,3	0,0	-13,8	0,0	69,0	11,1	9,9
5	0,00	5	-29,9	NO	3,3	3,5	-18,7	0,0	69,0	11,1	9,9							
8	0,00	8	-28,1	NO	0,8	0,0	-17,6	0,0	69,0	11,1	9,9							
9	0,00	9	-2,9	NO	4,6	6,1	-2,2	0,0	69,0	11,1	9,9							
12	0,00	12	5,6	NO	0,2	0,0	0,0	0,0	69,0	11,1	9,9							
13	0,00	13	-18,7	NO	8,9	7,9	-11,7	0,0	69,0	11,1	9,9	15,5	0,0	-17,2	0,0	69,0	11,1	9,9
14	0,00	14	-27,3	NO								17,2	17,5	-17,1	0,0	69,0	11,1	9,9
16	0,00	17	-23,1	NO	2,2	0,0	-14,6	0,0	69,0	11,1	9,9							
17	0,00	18	-8,3	NO	5,7	6,0	-5,2	0,0	69,0	11,1	9,9							
20	0,00	21	3,9	NO	3,5	0,0	-1,3	0,0	69,0	11,1	9,9							
21	0,00	22	-75,0	NO	8,4	7,8	-46,9	0,0	69,0	11,1	9,9							
24	0,00	25	-51,1	NO	2,2	0,0	-32,0	0,0	69,0	11,1	9,9							
25	0,00	26	-51,0	NO	11,5	10,8	-31,9	0,0	69,0	11,1	9,9	19,0	22,5	-32,0	0,0	69,0	11,1	9,9
26	0,00	27	-73,0	NO								20,7	22,4	-45,6	0,0	69,0	11,1	9,9
27	0,00	28	-71,7	NO								20,8	22,4	-44,9	0,0	69,0	11,1	9,9
28	0,00	29	-35,1	NO	6,4	0,0	-22,7	0,0	69,0	11,1	9,9	17,6	19,7	-22,0	0,0	69,0	11,1	9,9
1	3,60	30	0,0	NO	0,0	2,7	-1,7	0,0	69,0	11,1	19,8	0,0	0,0	0,0	0,0	69,0	11,1	19,8
2	3,60	31	0,0	NO								0,0	0,0	0,0	0,0	69,0	11,1	19,8
3	3,60	32	0,0	NO								0,0	0,0	0,0	0,0	69,0	11,1	19,8
4	3,60	33	0,0	NO	0,0	0,0	0,0	0,0	69,0	11,1	19,8	0,0	0,0	0,0	0,0	69,0	11,1	19,8
5	3,60	34	0,0	NO	0,0	8,0	-5,0	0,0	69,0	11,1	19,8							
8	3,60	37	0,0	NO	0,0	0,0	0,0	0,0	69,0	11,1	24,7							
9	3,60	38	0,0	NO	0,0	10,6	-6,7	0,0	69,0	11,1	19,8							
12	3,60	41	0,0	NO	0,0	0,0	0,0	0,0	69,0	11,1	19,8							
13	3,60	42	-5,6	NO	3,1	32,7	-20,3	0,0	69,0	11,1	19,8	2,0	0,0	-3,9	0,0	69,0	11,1	19,8
14	3,60	43	-7,8	NO								0,8	36,4	-24,9	0,2	69,0	11,1	19,8
16	3,60	45	-4,2	NO	0,2	0,0	-2,6	0,0	69,0	11,1	19,8							
17	3,60	46	-1,1	NO	5,3	25,5	-13,0	0,0	69,0	11,1	19,8							
20	3,60	49	-3,2	NO	0,3	0,0	-2,0	0,0	69,0	11,1	19,8							
21	3,60	50	-33,0	NO	4,2	32,6	-30,8	0,0	69,0	11,1	19,8							
24	3,60	53	-21,2	NO	1,9	0,0	-13,4	0,0	69,0	11,1	19,8							
25	3,60	54	-16,5	NO	1,6	36,8	-27,8	0,0	69,0	11,1	24,7	5,7	50,5	-33,7	0,0	69,0	11,1	24,7
26	3,60	55	-29,0	NO								5,1	50,5	-38,8	0,9	69,0	11,1	19,8
27	3,60	56	-28,9	NO								3,8	50,5	-39,6	1,7	69,0	11,1	19,8
28	3,60	57	-13,8	NO	2,0	0,0	-8,8	0,0	69,0	11,1	24,7	5,4	50,5	-32,8	0,0	69,0	11,1	24,7
13	7,20	71	0,0	NO	0,0	8,8	-5,5	0,0	69,0	11,1	14,9	0,0	0,0	0,0	0,0	69,0	11,1	14,9
14	7,20	72	0,0	NO														
15	7,20	73	0,0	NO								0,0	0,0	0,0	0,0	69,0	11,1	14,9
16	7,20	74	0,0	NO	0,0	0,0	0,0	0,0	69,0	11,1	14,9	0,0	0,0	0,0	0,0	69,0	11,1	14,9
17	7,20	75	0,0	NO	0,0	12,3	-7,7	0,0	69,0	11,1	14,9							
20	7,20	78	0,0	NO	0,0	0,0	0,0	0,0	69,0	11,1	14,9							
21	7,20	79	0,0	NO	0,0	8,6	-5,4	0,0	69,0	11,1	14,9							
24	7,20	82	0,0	NO	0,0	1,2	-0,8	0,0	69,0	11,1	14,9							
25	7,20	83	0,0	NO	0,0	3,7	-2,3	0,0	69,0	11,1	14,9	0,0	19,7	-12,3	0,0	69,0	11,1	14,9
26	7,20	84	0,0	NO								0,0	20,9	-13,1	0,0	69,0	11,1	14,9
27	7,20	85	0,0	NO								0,0	16,0	-10,0	0,0	69,0	11,1	14,9
28	7,20	86	0,0	NO	0,0	1,2	-0,8	0,0	69,0	11,1	14,9	0,0	17,2	-10,8	0,0	69,0	11,1	14,9
29	7,20	87	0,0	NO								0,0	0,0	0,0	0,0	69,0	11,1	14,9

## RISULTATI VERIFICHE NODI CLS - PUSH N.ro: 16 - Prop.Massa:-Fy-0.3\*Fx+Ecc5%

IDENTIFICATIVO					DIREZIONE 'X							DIREZIONE 'Y						
Filo N.ro	Quota (m)	Nod3d Nro	Nsup (t)	Coll Nodo	TaglSup (t)	TrazAf (t)	SgmCo	SgmTr	RcLim	RtLim	DeltRt	TaglSup (t)	TrazAf (t)	SgmCo	SgmTr	RcLim	RtLim	DeltRt
								kg/cmq							kg/cmq			
1	0,00	1	-24,2	NO	0,0	1,2	-15,1	0,0	69,0	11,1	9,9	16,6	13,2	-15,4	0,0	69,0	11,1	9,9
2	0,00	2	-47,6	NO								18,8	20,4	-29,8	0,0	69,0	11,1	9,9

## RISULTATI VERIFICHE NODI CLS - PUSH N.ro: 16 - Prop.Massa:-Fy-0.3\*Fx+Ecc5%

IDENTIFICATIVO					DIREZIONE 'X							DIREZIONE 'Y						
Filo N.ro	Quota (m)	Nod3d Nro	Nsup (t)	Coll Nodo	TaglSup (t)	TrazAf (t)	SgmCo ----- kg/cmq -----	SgmTr	RcLim	RtLim	DeltRt	TaglSup (t)	TrazAf (t)	SgmCo ----- kg/cmq -----	SgmTr	RcLim	RtLim	DeltRt
3	0,00	3	-50,6	NO								19,2	20,4	-31,6	0,0	69,0	11,1	9,9
4	0,00	4	-25,8	NO	1,0	0,0	-16,1	0,0	69,0	11,1	9,9	16,8	12,7	-16,5	0,0	69,0	11,1	9,9
5	0,00	5	-30,7	NO	2,7	2,9	-19,2	0,0	69,0	11,1	9,9							
8	0,00	8	-29,8	NO	1,9	0,0	-18,7	0,0	69,0	11,1	9,9							
9	0,00	9	-27,0	NO	3,2	6,1	-17,1	0,0	69,0	11,1	9,9							
12	0,00	12	-21,0	NO	1,5	0,0	-13,2	0,0	69,0	11,1	9,9							
13	0,00	13	-25,1	NO	2,3	4,4	-15,8	0,0	69,0	11,1	9,9	16,5	14,0	-15,8	0,0	69,0	11,1	9,9
14	0,00	14	-16,7	NO								16,0	0,0	-16,5	0,0	69,0	11,1	9,9
16	0,00	17	-18,2	NO	3,6	0,0	-11,8	0,0	69,0	11,1	9,9							
17	0,00	18	-48,8	NO	5,7	6,0	-30,5	0,0	69,0	11,1	9,9							
20	0,00	21	-28,7	NO	5,2	0,0	-18,5	0,0	69,0	11,1	9,9							
21	0,00	22	-25,0	NO	8,2	7,8	-15,6	0,0	69,0	11,1	9,9							
24	0,00	25	-0,9	NO	3,3	0,0	-2,3	0,0	69,0	11,1	9,9							
25	0,00	26	-31,1	NO	11,7	9,6	-19,5	0,0	69,0	11,1	9,9	17,2	0,0	-24,2	0,0	69,0	11,1	9,9
26	0,00	27	-48,8	NO								18,6	0,0	-34,4	0,0	69,0	11,1	9,9
27	0,00	28	-49,3	NO								18,9	0,0	-34,8	0,0	69,0	11,1	9,9
28	0,00	29	-12,3	NO	6,9	0,0	-9,6	0,0	69,0	11,1	9,9	15,5	0,0	-14,3	0,0	69,0	11,1	9,9
1	3,60	30	0,0	NO	0,0	0,0	0,0	0,0	69,0	11,1	19,8	0,0	43,1	-26,9	7,1	69,0	11,1	19,8
2	3,60	31	0,0	NO								0,0	43,1	-26,9	7,1	69,0	11,1	19,8
3	3,60	32	0,0	NO								0,0	43,1	-26,9	7,1	69,0	11,1	19,8
4	3,60	33	0,0	NO	0,0	0,0	0,0	0,0	69,0	11,1	19,8	0,0	41,8	-26,1	6,3	69,0	11,1	19,8
5	3,60	34	0,0	NO	0,0	6,7	-4,2	0,0	69,0	11,1	19,8							
8	3,60	37	0,0	NO	0,0	0,0	0,0	0,0	69,0	11,1	24,7							
9	3,60	38	0,0	NO	0,0	8,0	-5,0	0,0	69,0	11,1	19,8							
12	3,60	41	0,0	NO	0,0	0,0	0,0	0,0	69,0	11,1	19,8							
13	3,60	42	-7,5	NO	2,2	3,0	-4,8	0,0	69,0	11,1	19,8	4,0	35,9	-22,4	0,0	69,0	11,1	19,8
14	3,60	43	-13,9	NO								3,4	0,0	-9,2	0,0	69,0	11,1	19,8
16	3,60	45	-15,4	NO	1,0	0,0	-9,7	0,0	69,0	11,1	19,8							
17	3,60	46	-14,7	NO	5,3	25,5	-18,0	0,0	69,0	11,1	19,8							
20	3,60	49	-12,2	NO	0,5	0,0	-7,7	0,0	69,0	11,1	19,8							
21	3,60	50	-13,8	NO	5,0	34,0	-22,9	0,0	69,0	11,1	19,8							
24	3,60	53	-2,2	NO	1,6	0,0	-1,9	0,0	69,0	11,1	19,8							
25	3,60	54	-12,0	NO	6,3	46,7	-29,3	0,0	69,0	11,1	24,7	2,6	0,0	-7,8	0,0	69,0	11,1	24,7
26	3,60	55	-21,2	NO								4,7	0,0	-13,9	0,0	69,0	11,1	19,8
27	3,60	56	-22,4	NO								4,4	0,0	-14,5	0,0	69,0	11,1	19,8
28	3,60	57	-7,1	NO	0,8	0,0	-4,5	0,0	69,0	11,1	24,7	1,9	0,0	-4,8	0,0	69,0	11,1	24,7
13	7,20	71	0,0	NO	0,0	0,0	0,0	0,0	69,0	11,1	14,9	0,0	22,8	-14,3	0,0	69,0	11,1	14,9
14	7,20	72	0,0	NO														
15	7,20	73	0,0	NO								0,0	29,1	-18,2	3,4	69,0	11,1	14,9
16	7,20	74	0,0	NO	0,0	0,0	0,0	0,0	69,0	11,1	14,9	0,0	26,6	-16,6	1,8	69,0	11,1	14,9
17	7,20	75	0,0	NO	0,0	12,3	-7,7	0,0	69,0	11,1	14,9							
20	7,20	78	0,0	NO	0,0	0,0	0,0	0,0	69,0	11,1	14,9							
21	7,20	79	0,0	NO	0,0	11,1	-6,9	0,0	69,0	11,1	14,9							
24	7,20	82	0,0	NO	0,0	0,0	0,0	0,0	69,0	11,1	14,9							
25	7,20	83	0,0	NO	0,0	14,8	-9,2	0,0	69,0	11,1	14,9	0,0	0,0	0,0	0,0	69,0	11,1	14,9
26	7,20	84	0,0	NO								0,0	0,0	0,0	0,0	69,0	11,1	14,9
27	7,20	85	0,0	NO								0,0	0,0	0,0	0,0	69,0	11,1	14,9
28	7,20	86	0,0	NO								0,0	0,0	0,0	0,0	69,0	11,1	14,9
29	7,20	87	0,0	NO	0,0	0,0	0,0	0,0	69,0	11,1	14,9	0,0	29,1	-18,2	3,4	69,0	11,1	14,9

## RISULTATI VERIFICHE NODI CLS - PUSH N.ro: 17 - Prop.Modolo:+Fx+0.3\*Fy-Ecc5%

IDENTIFICATIVO					DIREZIONE 'X							DIREZIONE 'Y						
Filo N.ro	Quota (m)	Nod3d Nro	Nsup (t)	Coll Nodo	TaglSup (t)	TrazAf (t)	SgmCo ----- kg/cmq -----	SgmTr	RcLim	RtLim	DeltRt	TaglSup (t)	TrazAf (t)	SgmCo ----- kg/cmq -----	SgmTr	RcLim	RtLim	DeltRt
1	0,00	1	-2,7	NO	8,9	0,0	-6,5	0,0	69,0	11,1	9,9	9,8	0,0	-7,1	0,0	69,0	11,1	9,9
2	0,00	2	-37,3	NO								7,0	0,0	-24,1	0,0	69,0	11,1	9,9
3	0,00	3	-39,2	NO								0,2	0,0	-24,5	0,0	69,0	11,1	9,9
4	0,00	4	-28,0	NO	14,6	16,5	-17,6	0,0	69,0	11,1	9,9	6,3	4,9	-17,6	0,0	69,0	11,1	9,9
5	0,00	5	-18,1	NO	9,3	0,0	-13,7	0,0	69,0	11,1	9,9							
8	0,00	8	-39,7	NO	18,1	17,8	-24,8	0,0	69,0	11,1	9,9							
9	0,00	9	7,4	NO	9,9	0,0	-4,3	0,0	69,0	11,1	9,9							
12	0,00	12	-21,8	NO	16,2	16,5	-13,6	0,0	69,0	11,1	9,9							
13	0,00	13	29,1	NO	8,4	0,0	-1,4	9,7	69,0	11,1	9,9	9,2	0,0	-1,7	9,9	69,0	11,1	9,9
14	0,00	14	-55,6	NO								11,5	12,2	-34,7	0,0	69,0	11,1	9,9
16	0,00	17	-33,8	NO	14,7	16,2	-21,2	0,0	69,0	11,1	9,9							
17	0,00	18	1,5	NO	10,3	0,0	-6,0	0,0	69,0	11,1	9,9							
20	0,00	21	-32,7	NO	16,4	14,6	-20,5	0,0	69,0	11,1	9,9							
21	0,00	22	-44,5	NO	12,4	0,0	-29,8	0,0	69,0	11,1	9,9							
24	0,00	25	-55,6	NO	18,5	16,7	-34,8	0,0	69,0	11,1	9,9							
25	0,00	26	-30,1	NO	12,6	0,0	-21,7	0,0	69,0	11,1	9,9	9,7	9,2	-18,8	0,0	69,0	11,1	9,9
26	0,00	27	-63,1	NO								4,7	5,6	-39,4	0,0	69,0	11,1	9,9
27	0,00	28	-58,3	NO								3,0	4,2	-36,4	0,0	69,0	11,1	9,9
28	0,00	29	-46,4	NO	18,6	16,2	-29,1	0,0	69,0	11,1	9,9	5,1	0,0	-29,3	0,0	69,0	11,1	9,9
1	3,60	30	0,0	NO	0,0	0,0	0,0	0,0	69,0	11,1	19,8	0,0	0,0	0,0	0,0	69,0	11,1	19,8
2	3,60	31	0,0	NO								0,0	0,0	0,0	0,0	69,0	11,1	19,8
3	3,60	32	0,0	NO								0,0	2,5	-1,5	0,0	69,0	11,1	19,8
4	3,60	33	0,0	NO	0,0	38,0	-23,7	3,9	69,0	11,1	19,8	0,0	16,0	-10,0	0,0	69,0	11,1	19,8
5	3,60	34	0,0	NO	0,0	0,0	0,0	0,0	69,0	11,1	19,8							
8	3,60	37	0,0	NO	0,0	50,2	-31,4	6,6	69,0	11,1	24,7							
9	3,60	38	0,0	NO	0,0	0,0	0,0	0,0	69,0	11,1	19,8							
12	3,60	41	0,0	NO	0,0	47,5	-29,7	9,9	69,0	11,1	19,8							
13	3,60	42	7,4	NO	5,5	0,0	-1,8	0,0	69,0	11,1	19,8	0,1	0,0	0,0	0,0	69,0	11,1	19,8
14	3,60	43	-13,6	NO								1,4	36,4	-26,5	0,0	69,0	11,1	19,8

## RISULTATI VERIFICHE NODI CLS - PUSH N.ro: 17 - Prop.Modolo: +Fx+0.3\*Fy-Ecc5%

IDENTIFICATIVO					DIREZIONE 'X'							DIREZIONE 'Y'						
Filo N.ro	Quota (m)	Nod3d Nro	Nsup (t)	Coll Nodo	TaglSup (t)	TrazAf (t)	SgmCo	SgmTr	RcLim	RtLim	DeltRt	TaglSup (t)	TrazAf (t)	SgmCo	SgmTr	RcLim	RtLim	DeltRt
16	3,60	45	-14,9	NO	13,8	51,4	-28,6	0,0	69,0	11,1	19,8							
17	3,60	46	1,3	NO	6,1	0,0	-3,4	0,0	69,0	11,1	19,8							
20	3,60	49	-13,8	NO	14,4	69,2	-38,8	10,4	69,0	11,1	19,8							
21	3,60	50	-18,2	NO	5,6	0,0	-12,3	0,0	69,0	11,1	19,8							
24	3,60	53	-23,8	NO	14,3	69,2	-42,5	7,9	69,0	11,1	19,8							
25	3,60	54	-10,3	NO	4,8	0,0	-7,6	0,0	69,0	11,1	24,7							
26	3,60	55	-26,9	NO								6,9	36,3	-21,8	0,0	69,0	11,1	24,7
27	3,60	56	-25,2	NO								6,4	23,3	-21,9	0,0	69,0	11,1	19,8
28	3,60	57	-18,9	NO								4,7	16,8	-18,8	0,0	69,0	11,1	19,8
13	7,20	71	0,0	NO	13,5	69,2	-41,2	4,7	69,0	11,1	24,7	3,2	0,0	-12,1	0,0	69,0	11,1	24,7
14	7,20	72	0,0	NO	0,0	0,0	0,0	0,0	69,0	11,1	14,9	0,0	0,0	0,0	0,0	69,0	11,1	14,9
15	7,20	73	0,0	NO														
16	7,20	74	0,0	NO	0,0	35,4	-22,1	7,3	69,0	11,1	14,9	0,0	0,0	0,0	0,0	69,0	11,1	14,9
17	7,20	75	0,0	NO	0,0	0,0	0,0	0,0	69,0	11,1	14,9	0,0	0,0	0,0	0,0	69,0	11,1	14,9
20	7,20	78	0,0	NO	0,0	36,4	-22,8	7,9	69,0	11,1	14,9							
21	7,20	79	0,0	NO	0,0	0,0	0,0	0,0	69,0	11,1	14,9							
24	7,20	82	0,0	NO	0,0	36,4	-22,8	7,9	69,0	11,1	14,9							
25	7,20	83	0,0	NO	0,0	0,0	0,0	0,0	69,0	11,1	14,9	0,0	18,5	-11,5	0,0	69,0	11,1	14,9
26	7,20	84	0,0	NO								0,0	14,8	-9,2	0,0	69,0	11,1	14,9
27	7,20	85	0,0	NO								0,0	9,8	-6,2	0,0	69,0	11,1	14,9
28	7,20	86	0,0	NO	0,0	36,4	-22,8	7,9	69,0	11,1	14,9	0,0	6,2	-3,8	0,0	69,0	11,1	14,9
29	7,20	87	0,0	NO								0,0	0,0	0,0	0,0	69,0	11,1	14,9

## RISULTATI VERIFICHE NODI CLS - PUSH N.ro: 18 - Prop.Modolo: -Fx+0.3\*Fy-Ecc5%

IDENTIFICATIVO					DIREZIONE 'X'							DIREZIONE 'Y'						
Filo N.ro	Quota (m)	Nod3d Nro	Nsup (t)	Coll Nodo	TaglSup (t)	TrazAf (t)	SgmCo	SgmTr	RcLim	RtLim	DeltRt	TaglSup (t)	TrazAf (t)	SgmCo	SgmTr	RcLim	RtLim	DeltRt
1	0,00	1	-24,2	NO	14,6	14,6	-15,1	0,0	69,0	11,1	9,9	3,0	0,0	-15,4	0,0	69,0	11,1	9,9
2	0,00	2	-31,2	NO								1,2	0,0	-19,5	0,0	69,0	11,1	9,9
3	0,00	3	-42,5	NO								1,5	0,0	-26,6	0,0	69,0	11,1	9,9
4	0,00	4	-10,5	NO	10,8	0,0	-10,8	0,0	69,0	11,1	9,9	0,8	0,0	-6,6	0,0	69,0	11,1	9,9
5	0,00	5	-39,3	NO	15,4	15,7	-24,6	0,0	69,0	11,1	9,9							
8	0,00	8	-21,2	NO	11,2	0,0	-16,3	0,0	69,0	11,1	9,9							
9	0,00	9	-16,7	NO	15,3	21,6	-11,8	0,0	69,0	11,1	9,9							
12	0,00	12	-2,5	NO	10,4	0,0	-7,3	0,0	69,0	11,1	9,9							
13	0,00	13	-39,0	NO	13,8	24,5	-26,1	0,0	69,0	11,1	9,9	4,9	0,0	-24,7	0,0	69,0	11,1	9,9
14	0,00	14	-12,4	NO								3,1	3,0	-7,8	0,0	69,0	11,1	9,9
16	0,00	17	-10,4	NO	10,9	0,0	-10,8	0,0	69,0	11,1	9,9							
17	0,00	18	-29,7	NO	15,7	16,8	-18,6	0,0	69,0	11,1	9,9							
20	0,00	21	-2,2	NO	12,6	0,0	-8,6	0,0	69,0	11,1	9,9							
21	0,00	22	-83,2	NO	18,3	19,8	-52,0	0,0	69,0	11,1	9,9							
24	0,00	25	-17,4	NO	13,2	0,0	-15,3	0,0	69,0	11,1	9,9							
25	0,00	26	-59,1	NO	18,3	19,8	-37,0	0,0	69,0	11,1	9,9	1,2	4,9	-37,1	0,0	69,0	11,1	9,9
26	0,00	27	-60,8	NO								4,3	5,6	-38,0	0,0	69,0	11,1	9,9
27	0,00	28	-64,2	NO								4,8	5,6	-40,1	0,0	69,0	11,1	9,9
28	0,00	29	-13,5	NO	13,5	0,0	-13,6	0,0	69,0	11,1	9,9	4,2	4,9	-8,4	0,0	69,0	11,1	9,9
1	3,60	30	0,0	NO	0,0	35,9	-22,5	2,7	69,0	11,1	19,8	0,0	0,0	0,0	0,0	69,0	11,1	19,8
2	3,60	31	0,0	NO								0,0	0,0	0,0	0,0	69,0	11,1	19,8
3	3,60	32	0,0	NO								0,0	0,0	0,0	0,0	69,0	11,1	19,8
4	3,60	33	0,0	NO	0,0	0,0	0,0	0,0	69,0	11,1	19,8	0,0	1,2	-0,8	0,0	69,0	11,1	19,8
5	3,60	34	0,0	NO	0,0	35,9	-22,5	2,7	69,0	11,1	19,8							
8	3,60	37	0,0	NO	0,0	0,0	0,0	0,0	69,0	11,1	24,7							
9	3,60	38	0,0	NO	0,0	35,9	-22,5	2,7	69,0	11,1	19,8							
12	3,60	41	0,0	NO	0,0	0,0	0,0	0,0	69,0	11,1	19,8							
13	3,60	42	-16,6	NO	11,2	41,6	-24,8	0,0	69,0	11,1	19,8	6,7	0,0	-11,8	0,0	69,0	11,1	19,8
14	3,60	43	0,8	NO								2,3	14,6	-7,4	0,0	69,0	11,1	19,8
16	3,60	45	-3,7	NO	5,4	0,0	-4,7	0,0	69,0	11,1	19,8							
17	3,60	46	-11,1	NO	14,9	69,4	-37,7	11,0	69,0	11,1	19,8							
20	3,60	49	-6,3	NO	6,1	0,0	-6,2	0,0	69,0	11,1	19,8							
21	3,60	50	-35,1	NO	15,2	69,4	-46,5	4,8	69,0	11,1	19,8							
24	3,60	53	-5,6	NO	5,4	0,0	-5,6	0,0	69,0	11,1	19,8							
25	3,60	54	-23,5	NO	13,8	69,4	-42,8	3,4	69,0	11,1	24,7	10,1	20,7	-17,3	0,0	69,0	11,1	24,7
26	3,60	55	-24,4	NO								7,7	24,6	-20,6	0,0	69,0	11,1	19,8
27	3,60	56	-27,8	NO								3,2	18,1	-21,5	0,0	69,0	11,1	19,8
28	3,60	57	-5,0	NO	5,0	0,0	-5,0	0,0	69,0	11,1	24,7	0,6	7,8	-6,3	0,0	69,0	11,1	24,7
13	7,20	71	0,0	NO	0,0	36,4	-22,8	7,9	69,0	11,1	14,9	0,0	0,0	0,0	0,0	69,0	11,1	14,9
14	7,20	72	0,0	NO														
15	7,20	73	0,0	NO								0,0	0,0	0,0	0,0	69,0	11,1	14,9
16	7,20	74	0,0	NO	0,0	0,0	0,0	0,0	69,0	11,1	14,9	0,0	1,3	-0,8	0,0	69,0	11,1	14,9
17	7,20	75	0,0	NO	0,0	38,1	-23,8	9,0	69,0	11,1	14,9							
20	7,20	78	0,0	NO	0,0	0,0	0,0	0,0	69,0	11,1	14,9							
21	7,20	79	0,0	NO	0,0	40,6	-25,4	10,5	69,0	11,1	14,9							
24	7,20	82	0,0	NO	0,0	0,0	0,0	0,0	69,0	11,1	14,9							
25	7,20	83	0,0	NO	0,0	38,1	-23,8	9,0	69,0	11,1	14,9	0,0	23,4	-14,6	0,0	69,0	11,1	14,9
26	7,20	84	0,0	NO								0,0	17,2	-10,8	0,0	69,0	11,1	14,9
27	7,20	85	0,0	NO								0,0	6,2	-3,8	0,0	69,0	11,1	14,9
28	7,20	86	0,0	NO	0,0	0,0	0,0	0,0	69,0	11,1	14,9	0,0	0,0	0,0	0,0	69,0	11,1	14,9
29	7,20	87	0,0	NO								0,0	0,0	0,0	0,0	69,0	11,1	14,9

## RISULTATI VERIFICHE NODI CLS - PUSH N.ro: 19 - Prop.Modolo: +Fy+0.3\*Fx-Ecc5%

IDENTIFICATIVO					DIREZIONE 'X'							DIREZIONE 'Y'						
Filo N.ro	Quota (m)	Nod3d Nro	Nsup (t)	Coll Nodo	TaglSup (t)	TrazAf (t)	SgmCo	SgmTr	RcLim	RtLim	DeltRt	TaglSup (t)	TrazAf (t)	SgmCo	SgmTr	RcLim	RtLim	DeltRt

## RISULTATI VERIFICHE NODI CLS - PUSH N.ro: 19 - Prop.Modolo: +Fy+0.3\*Fx-Ecc5%

IDENTIFICATIVO					DIREZIONE 'X'							DIREZIONE 'Y'						
Filo N.ro	Quota (m)	Nod3d Nro	Nsup (t)	Coll Nodo	TaglSup (t)	TrazAf (t)	SgmCo	SgmTr	RcLim	RtLim	DeltRt	TaglSup (t)	TrazAf (t)	SgmCo	SgmTr	RcLim	RtLim	DeltRt
1	0,00	1	-10,0	NO	0,5	0,6	-6,3	0,0	69,0	11,1	9,9	12,0	0,0	-11,2	0,0	69,0	11,1	9,9
2	0,00	2	-31,3	NO								13,0	0,0	-22,5	0,0	69,0	11,1	9,9
3	0,00	3	-35,4	NO								13,1	0,0	-24,8	0,0	69,0	11,1	9,9
4	0,00	4	-12,7	NO	1,0	1,3	-7,9	0,0	69,0	11,1	9,9	12,2	0,0	-12,5	0,0	69,0	11,1	9,9
5	0,00	5	-25,3	NO	1,3	0,0	-15,9	0,0	69,0	11,1	9,9							
8	0,00	8	-29,4	NO	3,6	4,0	-18,4	0,0	69,0	11,1	9,9							
9	0,00	9	5,4	NO	1,3	0,0	-0,2	0,0	69,0	11,1	9,9							
12	0,00	12	4,5	NO	5,7	5,3	0,0	0,0	69,0	11,1	9,9							
13	0,00	13	2,0	NO	1,8	0,0	-0,7	0,0	69,0	11,1	9,9	12,4	0,0	-7,2	0,0	69,0	11,1	9,9
14	0,00	14	-40,7	NO								17,0	19,0	-25,5	0,0	69,0	11,1	9,9
16	0,00	17	-34,0	NO	4,8	4,8	-21,2	0,0	69,0	11,1	9,9							
17	0,00	18	0,6	NO	2,3	0,0	-1,3	0,0	69,0	11,1	9,9							
20	0,00	21	-1,2	NO	5,2	5,4	-0,7	0,0	69,0	11,1	9,9							
21	0,00	22	-64,8	NO	2,5	0,0	-40,6	0,0	69,0	11,1	9,9							
24	0,00	25	-65,7	NO	8,8	7,6	-41,1	0,0	69,0	11,1	9,9							
25	0,00	26	-39,6	NO	7,8	0,0	-25,7	0,0	69,0	11,1	9,9	17,8	20,4	-24,8	0,0	69,0	11,1	9,9
26	0,00	27	-75,5	NO								19,5	22,4	-47,2	0,0	69,0	11,1	9,9
27	0,00	28	-73,5	NO								19,6	22,4	-46,0	0,0	69,0	11,1	9,9
28	0,00	29	-51,9	NO	11,2	10,8	-32,5	0,0	69,0	11,1	9,9	18,6	21,8	-32,6	0,0	69,0	11,1	9,9
1	3,60	30	0,0	NO	0,0	1,3	-0,8	0,0	69,0	11,1	19,8	0,0	0,0	0,0	0,0	69,0	11,1	19,8
2	3,60	31	0,0	NO								0,0	0,0	0,0	0,0	69,0	11,1	19,8
3	3,60	32	0,0	NO								0,0	0,0	0,0	0,0	69,0	11,1	19,8
4	3,60	33	0,0	NO	0,0	2,7	-1,7	0,0	69,0	11,1	19,8	0,0	0,0	0,0	0,0	69,0	11,1	19,8
5	3,60	34	0,0	NO	0,0	0,0	0,0	0,0	69,0	11,1	19,8							
8	3,60	37	0,0	NO	0,0	9,5	-5,9	0,0	69,0	11,1	24,7							
9	3,60	38	0,0	NO	0,0	0,0	0,0	0,0	69,0	11,1	19,8							
12	3,60	41	0,0	NO	0,0	14,9	-9,3	0,0	69,0	11,1	19,8							
13	3,60	42	-2,7	NO	1,6	0,0	-2,1	0,0	69,0	11,1	19,8	1,8	0,0	-2,2	0,0	69,0	11,1	19,8
14	3,60	43	-10,0	NO								2,3	36,4	-24,7	0,0	69,0	11,1	19,8
16	3,60	45	-9,6	NO	4,1	16,9	-11,6	0,0	69,0	11,1	19,8							
17	3,60	46	-0,5	NO	1,3	0,0	-1,0	0,0	69,0	11,1	19,8							
20	3,60	49	-4,8	NO	5,0	22,2	-12,4	0,0	69,0	11,1	19,8							
21	3,60	50	-27,4	NO	0,3	0,0	-17,1	0,0	69,0	11,1	19,8							
24	3,60	53	-24,6	NO	7,0	36,0	-27,4	0,0	69,0	11,1	19,8							
25	3,60	54	-16,4	NO	2,4	0,0	-10,5	0,0	69,0	11,1	24,7	9,6	50,5	-31,2	0,0	69,0	11,1	24,7
26	3,60	55	-30,1	NO								10,0	50,5	-36,4	0,0	69,0	11,1	19,8
27	3,60	56	-32,1	NO								8,7	50,5	-38,0	0,0	69,0	11,1	19,8
28	3,60	57	-19,2	NO	7,8	42,9	-28,7	0,0	69,0	11,1	24,7	6,6	49,2	-33,3	0,0	69,0	11,1	24,7
13	7,20	71	0,0	NO	0,0	2,9	-1,8	0,0	69,0	11,1	14,9	0,0	0,0	0,0	0,0	69,0	11,1	14,9
14	7,20	72	0,0	NO														
15	7,20	73	0,0	NO								0,0	0,0	0,0	0,0	69,0	11,1	14,9
16	7,20	74	0,0	NO	0,0	9,8	-6,1	0,0	69,0	11,1	14,9	0,0	0,0	0,0	0,0	69,0	11,1	14,9
17	7,20	75	0,0	NO	0,0	1,2	-0,8	0,0	69,0	11,1	14,9							
20	7,20	78	0,0	NO	0,0	12,2	-7,6	0,0	69,0	11,1	14,9							
21	7,20	79	0,0	NO	0,0	0,0	0,0	0,0	69,0	11,1	14,9							
24	7,20	82	0,0	NO	0,0	15,9	-9,9	0,0	69,0	11,1	14,9							
25	7,20	83	0,0	NO	0,0	0,0	0,0	0,0	69,0	11,1	14,9	0,0	33,2	-20,8	5,9	69,0	11,1	14,9
26	7,20	84	0,0	NO								0,0	35,7	-22,3	7,5	69,0	11,1	14,9
27	7,20	85	0,0	NO								0,0	32,0	-20,0	5,1	69,0	11,1	14,9
28	7,20	86	0,0	NO	0,0	18,3	-11,4	0,0	69,0	11,1	14,9	0,0	25,8	-16,2	1,3	69,0	11,1	14,9
29	7,20	87	0,0	NO								0,0	0,0	0,0	0,0	69,0	11,1	14,9

## RISULTATI VERIFICHE NODI CLS - PUSH N.ro: 20 - Prop.Modolo: -Fy+0.3\*Fx-Ecc5%

IDENTIFICATIVO					DIREZIONE 'X'							DIREZIONE 'Y'						
Filo N.ro	Quota (m)	Nod3d Nro	Nsup (t)	Coll Nodo	TaglSup (t)	TrazAf (t)	SgmCo	SgmTr	RcLim	RtLim	DeltRt	TaglSup (t)	TrazAf (t)	SgmCo	SgmTr	RcLim	RtLim	DeltRt
1	0,00	1	-23,7	NO	1,7	0,0	-14,9	0,0	69,0	11,1	9,9	16,4	12,7	-15,2	0,0	69,0	11,1	9,9
2	0,00	2	-48,5	NO								18,3	20,4	-30,3	0,0	69,0	11,1	9,9
3	0,00	3	-51,3	NO								18,6	20,4	-32,1	0,0	69,0	11,1	9,9
4	0,00	4	-27,8	NO	0,6	2,0	-17,4	0,0	69,0	11,1	9,9	16,9	13,2	-17,7	0,0	69,0	11,1	9,9
5	0,00	5	-26,4	NO	2,8	0,0	-16,7	0,0	69,0	11,1	9,9							
8	0,00	8	-32,8	NO	3,5	4,0	-20,5	0,0	69,0	11,1	9,9							
9	0,00	9	-27,1	NO	3,0	0,0	-17,1	0,0	69,0	11,1	9,9							
12	0,00	12	-28,7	NO	4,6	4,6	-17,9	0,0	69,0	11,1	9,9							
13	0,00	13	-8,2	NO	6,3	0,0	-7,3	0,0	69,0	11,1	9,9	13,8	12,8	-5,2	0,0	69,0	11,1	9,9
14	0,00	14	-19,0	NO								13,0	0,0	-16,0	0,0	69,0	11,1	9,9
16	0,00	17	-22,8	NO	3,6	4,2	-14,3	0,0	69,0	11,1	9,9							
17	0,00	18	-36,0	NO	3,9	0,0	-22,8	0,0	69,0	11,1	9,9							
20	0,00	21	-34,7	NO	4,0	4,3	-21,7	0,0	69,0	11,1	9,9							
21	0,00	22	-19,6	NO	2,1	0,0	-12,4	0,0	69,0	11,1	9,9							
24	0,00	25	-15,0	NO	7,0	5,9	-9,4	0,0	69,0	11,1	9,9							
25	0,00	26	-14,6	NO	5,2	0,0	-10,1	0,0	69,0	11,1	9,9	13,0	0,0	-13,9	0,0	69,0	11,1	9,9
26	0,00	27	-46,2	NO								14,3	0,0	-31,4	0,0	69,0	11,1	9,9
27	0,00	28	-44,7	NO								14,5	0,0	-30,6	0,0	69,0	11,1	9,9
28	0,00	29	-25,3	NO	10,9	8,1	-16,0	0,0	69,0	11,1	9,9	14,3	0,0	-19,8	0,0	69,0	11,1	9,9
1	3,60	30	0,0	NO	0,0	0,0	0,0	0,0	69,0	11,1	19,8	0,0	43,1	-26,9	7,1	69,0	11,1	19,8
2	3,60	31	0,0	NO								0,0	43,1	-26,9	7,1	69,0	11,1	19,8
3	3,60	32	0,0	NO								0,0	43,1	-26,9	7,1	69,0	11,1	19,8
4	3,60	33	0,0	NO	0,0	1,4	-0,8	0,0	69,0	11,1	19,8	0,0	43,1	-26,9	7,1	69,0	11,1	19,8
5	3,60	34	0,0	NO	0,0	0,0	0,0	0,0	69,0	11,1	19,8							
8	3,60	37	0,0	NO	0,0	9,5	-5,9	0,0	69,0	11,1	24,7							
9	3,60	38	0,0	NO	0,0	0,0	0,0	0,0	69,0	11,1	19,8							
12	3,60	41	0,0	NO	0,0	13,6	-8,5	0,0	69,0	11,1	19,8							

## RISULTATI VERIFICHE NODI CLS - PUSH N.ro: 20 - Prop.Modolo:-Fy+0.3\*Fx-Ecc5%

IDENTIFICATIVO					DIREZIONE 'X							DIREZIONE 'Y						
Filo N.ro	Quota (m)	Nod3d Nro	Nsup (t)	Coll Nodo	TaglSup (t)	TrazAf (t)	SgmCo	SgmTr	RcLim	RtLim	DeltRt	TaglSup (t)	TrazAf (t)	SgmCo	SgmTr	RcLim	RtLim	DeltRt
							kg/cmq											
13	3,60	42	-7,0	NO	4,4	0,0	-5,7	0,0	69,0	11,1	19,8	7,6	35,9	-20,0	0,0	69,0	11,1	19,8
14	3,60	43	-8,2	NO								2,0	0,0	-5,4	0,0	69,0	11,1	19,8
16	3,60	45	-15,3	NO	4,6	16,9	-13,8	0,0	69,0	11,1	19,8							
17	3,60	46	-7,4	NO	1,2	0,0	-4,7	0,0	69,0	11,1	19,8							
20	3,60	49	-12,0	NO	4,6	18,0	-12,9	0,0	69,0	11,1	19,8							
21	3,60	50	-15,6	NO	0,5	0,0	-9,8	0,0	69,0	11,1	19,8							
24	3,60	53	-10,2	NO	6,4	30,5	-18,6	0,0	69,0	11,1	19,8							
25	3,60	54	-6,1	NO	0,2	0,0	-3,8	0,0	69,0	11,1	24,7	3,9	0,0	-5,0	0,0	69,0	11,1	24,7
26	3,60	55	-17,7	NO								3,5	0,0	-11,5	0,0	69,0	11,1	19,8
27	3,60	56	-19,8	NO								3,5	0,0	-12,7	0,0	69,0	11,1	19,8
28	3,60	57	-8,6	NO	7,4	42,9	-25,0	0,0	69,0	11,1	24,7	3,7	0,0	-6,2	0,0	69,0	11,1	24,7
13	7,20	71	0,0	NO	0,0	0,0	0,0	0,0	69,0	11,1	14,9	0,0	29,1	-18,2	3,4	69,0	11,1	14,9
14	7,20	72	0,0	NO														
15	7,20	73	0,0	NO								0,0	29,1	-18,2	3,4	69,0	11,1	14,9
16	7,20	74	0,0	NO	0,0	11,0	-6,9	0,0	69,0	11,1	14,9	0,0	29,1	-18,2	3,4	69,0	11,1	14,9
17	7,20	75	0,0	NO	0,0	1,2	-0,8	0,0	69,0	11,1	14,9							
20	7,20	78	0,0	NO	0,0	11,0	-6,9	0,0	69,0	11,1	14,9							
21	7,20	79	0,0	NO	0,0	0,0	0,0	0,0	69,0	11,1	14,9							
24	7,20	82	0,0	NO	0,0	13,4	-8,4	0,0	69,0	11,1	14,9							
25	7,20	83	0,0	NO	0,0	0,0	0,0	0,0	69,0	11,1	14,9	0,0	0,0	0,0	0,0	69,0	11,1	14,9
26	7,20	84	0,0	NO								0,0	0,0	0,0	0,0	69,0	11,1	14,9
27	7,20	85	0,0	NO								0,0	0,0	0,0	0,0	69,0	11,1	14,9
28	7,20	86	0,0	NO	0,0	17,1	-10,7	0,0	69,0	11,1	14,9	0,0	0,0	0,0	0,0	69,0	11,1	14,9
29	7,20	87	0,0	NO								0,0	29,1	-18,2	3,4	69,0	11,1	14,9

## RISULTATI VERIFICHE NODI CLS - PUSH N.ro: 21 - Prop.Massa:+Fx+0.3\*Fy-Ecc5%

IDENTIFICATIVO					DIREZIONE 'X							DIREZIONE 'Y						
Filo N.ro	Quota (m)	Nod3d Nro	Nsup (t)	Coll Nodo	TaglSup (t)	TrazAf (t)	SgmCo	SgmTr	RcLim	RtLim	DeltRt	TaglSup (t)	TrazAf (t)	SgmCo	SgmTr	RcLim	RtLim	DeltRt
							kg/cmq											
1	0,00	1	-2,8	NO	11,4	0,0	-8,1	0,0	69,0	11,1	9,9	8,8	0,0	-6,5	0,0	69,0	11,1	9,9
2	0,00	2	-38,9	NO								5,4	0,0	-24,7	0,0	69,0	11,1	9,9
3	0,00	3	-38,1	NO								0,4	0,0	-23,8	0,0	69,0	11,1	9,9
4	0,00	4	-28,1	NO	16,3	17,1	-17,6	0,0	69,0	11,1	9,9	5,3	3,9	-17,6	0,0	69,0	11,1	9,9
5	0,00	5	-18,5	NO	10,3	0,0	-14,4	0,0	69,0	11,1	9,9							
8	0,00	8	-38,3	NO	17,9	17,8	-23,9	0,0	69,0	11,1	9,9							
9	0,00	9	1,4	NO	10,3	0,0	-6,0	0,0	69,0	11,1	9,9							
12	0,00	12	-19,3	NO	16,1	16,5	-12,1	0,0	69,0	11,1	9,9							
13	0,00	13	16,6	NO	12,8	0,0	-4,3	4,8	69,0	11,1	9,9	8,6	0,0	-2,3	2,8	69,0	11,1	9,9
14	0,00	14	-42,0	NO								7,9	9,1	-26,3	0,0	69,0	11,1	9,9
16	0,00	17	-33,0	NO	17,4	16,2	-20,7	0,0	69,0	11,1	9,9							
17	0,00	18	-5,1	NO	15,0	0,0	-11,1	0,0	69,0	11,1	9,9							
20	0,00	21	-27,4	NO	16,8	14,0	-17,3	0,0	69,0	11,1	9,9							
21	0,00	22	-43,7	NO	17,8	0,0	-31,3	0,0	69,0	11,1	9,9							
24	0,00	25	-55,6	NO	19,3	16,2	-34,9	0,0	69,0	11,1	9,9							
25	0,00	26	-29,4	NO	16,9	0,0	-23,2	0,0	69,0	11,1	9,9	8,6	8,4	-18,4	0,0	69,0	11,1	9,9
26	0,00	27	-61,4	NO								4,8	5,6	-38,4	0,0	69,0	11,1	9,9
27	0,00	28	-59,1	NO								3,7	4,2	-36,9	0,0	69,0	11,1	9,9
28	0,00	29	-45,4	NO	18,3	16,2	-28,4	0,0	69,0	11,1	9,9	2,2	0,0	-28,4	0,0	69,0	11,1	9,9
1	3,60	30	0,0	NO	0,0	0,0	0,0	0,0	69,0	11,1	19,8	0,0	0,0	0,0	0,0	69,0	11,1	19,8
2	3,60	31	0,0	NO								0,0	0,0	0,0	0,0	69,0	11,1	19,8
3	3,60	32	0,0	NO								0,0	1,2	-0,8	0,0	69,0	11,1	19,8
4	3,60	33	0,0	NO	0,0	43,4	-27,1	7,3	69,0	11,1	19,8	0,0	14,8	-9,2	0,0	69,0	11,1	19,8
5	3,60	34	0,0	NO	0,0	0,0	0,0	0,0	69,0	11,1	19,8							
8	3,60	37	0,0	NO	0,0	47,5	-29,7	4,9	69,0	11,1	24,7							
9	3,60	38	0,0	NO	0,0	0,0	0,0	0,0	69,0	11,1	19,8							
12	3,60	41	0,0	NO	0,0	43,4	-27,1	7,3	69,0	11,1	19,8							
13	3,60	42	-3,2	NO	0,9	0,0	-2,2	0,0	69,0	11,1	19,8	1,5	0,0	-2,4	0,0	69,0	11,1	19,8
14	3,60	43	-4,6	NO								0,7	21,9	-14,8	0,0	69,0	11,1	19,8
16	3,60	45	-12,9	NO	7,4	50,6	-31,3	3,5	69,0	11,1	19,8							
17	3,60	46	-4,3	NO	2,8	0,0	-3,5	0,0	69,0	11,1	19,8							
20	3,60	49	-12,5	NO	8,6	56,8	-34,2	6,6	69,0	11,1	19,8							
21	3,60	50	-18,2	NO	3,7	0,0	-11,8	0,0	69,0	11,1	19,8							
24	3,60	53	-21,4	NO	10,9	69,2	-43,7	10,6	69,0	11,1	19,8							
25	3,60	54	-11,5	NO	2,9	0,0	-7,6	0,0	69,0	11,1	24,7	4,2	28,5	-19,2	0,0	69,0	11,1	24,7
26	3,60	55	-23,8	NO								6,0	22,0	-19,9	0,0	69,0	11,1	19,8
27	3,60	56	-27,0	NO								3,8	16,8	-20,2	0,0	69,0	11,1	19,8
28	3,60	57	-16,6	NO	10,9	66,5	-40,3	5,2	69,0	11,1	24,7	2,1	0,0	-10,6	0,0	69,0	11,1	24,7
13	7,20	71	0,0	NO	0,0	0,0	0,0	0,0	69,0	11,1	14,9	0,0	1,3	-0,8	0,0	69,0	11,1	14,9
14	7,20	72	0,0	NO														
15	7,20	73	0,0	NO								0,0	0,0	0,0	0,0	69,0	11,1	14,9
16	7,20	74	0,0	NO	0,0	22,0	-13,7	0,0	69,0	11,1	14,9	0,0	0,0	0,0	0,0	69,0	11,1	14,9
17	7,20	75	0,0	NO	0,0	0,0	0,0	0,0	69,0	11,1	14,9							
20	7,20	78	0,0	NO	0,0	24,4	-15,3	0,4	69,0	11,1	14,9							
21	7,20	79	0,0	NO	0,0	0,0	0,0	0,0	69,0	11,1	14,9							
24	7,20	82	0,0	NO	0,0	26,9	-16,8	1,9	69,0	11,1	14,9							
25	7,20	83	0,0	NO	0,0	0,0	0,0	0,0	69,0	11,1	14,9	0,0	12,3	-7,7	0,0	69,0	11,1	14,9
26	7,20	84	0,0	NO								0,0	13,5	-8,5	0,0	69,0	11,1	14,9
27	7,20	85	0,0	NO								0,0	7,4	-4,6	0,0	69,0	11,1	14,9
28	7,20	86	0,0	NO	0,0	26,9	-16,8	1,9	69,0	11,1	14,9	0,0	3,7	-2,3	0,0	69,0	11,1	14,9
29	7,20	87	0,0	NO								0,0	0,0	0,0	0,0	69,0	11,1	14,9

## RISULTATI VERIFICHE NODI CLS - PUSH N.ro: 22 - Prop.Massa:-Fx+0.3\*Fy-Ecc5%

IDENTIFICATIVO					DIREZIONE 'X							DIREZIONE 'Y						
----------------	--	--	--	--	--------------	--	--	--	--	--	--	--------------	--	--	--	--	--	--

---

**C.D.S.**

Filo N.ro	Quota (m)	Nod3d Nro	Nsup (t)	Coll Nodo	TaglSup (t)	TrazAf (t)	SgmCo	SgmTr	RcLim	RtLim	DeltRt	TaglSup (t)	TrazAf (t)	SgmCo	SgmTr	RcLim	RtLim	DeltRt
----- kg/cmq -----																		
1	0,00	1	-22,9	NO	16,0	14,6	-14,4	0,0	69,0	11,1	9,9	4,5	0,0	-14,8	0,0	69,0	11,1	9,9
2	0,00	2	-31,0	NO								1,4	0,0	-19,4	0,0	69,0	11,1	9,9
3	0,00	3	-42,9	NO								1,0	0,0	-26,8	0,0	69,0	11,1	9,9
4	0,00	4	-11,5	NO	12,0	0,0	-11,9	0,0	69,0	11,1	9,9	0,1	0,0	-7,2	0,0	69,0	11,1	9,9
5	0,00	5	-38,6	NO	16,8	15,7	-24,1	0,0	69,0	11,1	9,9							
8	0,00	8	-22,0	NO	12,5	0,0	-17,3	0,0	69,0	11,1	9,9							
9	0,00	9	-14,5	NO	15,8	21,6	-10,4	0,0	69,0	11,1	9,9							
12	0,00	12	-5,0	NO	12,5	0,0	-9,5	0,0	69,0	11,1	9,9							
13	0,00	13	-33,3	NO	17,2	22,7	-21,4	0,0	69,0	11,1	9,9	7,8	0,0	-21,9	0,0	69,0	11,1	9,9
14	0,00	14	-23,0	NO								4,1	3,8	-14,4	0,0	69,0	11,1	9,9
16	0,00	17	-11,5	NO	15,3	0,0	-13,8	0,0	69,0	11,1	9,9							
17	0,00	18	-29,0	NO	17,2	16,8	-18,1	0,0	69,0	11,1	9,9							
20	0,00	21	-5,7	NO	14,9	0,0	-11,2	0,0	69,0	11,1	9,9							
21	0,00	22	-77,9	NO	21,0	19,8	-48,7	0,0	69,0	11,1	9,9							
24	0,00	25	-17,1	NO	16,2	0,0	-16,8	0,0	69,0	11,1	9,9							
25	0,00	26	-53,1	NO	19,1	19,2	-33,2	0,0	69,0	11,1	9,9	5,2	8,4	-33,3	0,0	69,0	11,1	9,9
26	0,00	27	-64,4	NO								6,3	7,0	-40,2	0,0	69,0	11,1	9,9
27	0,00	28	-61,9	NO								4,8	5,6	-38,7	0,0	69,0	11,1	9,9
28	0,00	29	-15,2	NO	15,9	0,0	-15,8	0,0	69,0	11,1	9,9	1,8	2,8	-9,6	0,0	69,0	11,1	9,9
1	3,60	30	0,0	NO	0,0	35,9	-22,5	2,7	69,0	11,1	19,8	0,0	0,0	0,0	0,0	69,0	11,1	19,8
2	3,60	31	0,0	NO								0,0	0,0	0,0	0,0	69,0	11,1	19,8
3	3,60	32	0,0	NO								0,0	0,0	0,0	0,0	69,0	11,1	19,8
4	3,60	33	0,0	NO	0,0	0,0	0,0	0,0	69,0	11,1	19,8	0,0	0,0	0,0	0,0	69,0	11,1	19,8
5	3,60	34	0,0	NO	0,0	35,9	-22,5	2,7	69,0	11,1	19,8	0,0	2,5	-1,5	0,0	69,0	11,1	19,8
8	3,60	37	0,0	NO	0,0	0,0	0,0	0,0	69,0	11,1	24,7							
9	3,60	38	0,0	NO	0,0	35,9	-22,5	2,7	69,0	11,1	19,8							
12	3,60	41	0,0	NO	0,0	0,0	0,0	0,0	69,0	11,1	19,8							
13	3,60	42	-11,1	NO	3,8	41,6	-27,4	0,6	69,0	11,1	19,8	3,5	0,0	-7,6	0,0	69,0	11,1	19,8
14	3,60	43	-6,9	NO								2,8	17,5	-11,6	0,0	69,0	11,1	19,8
16	3,60	45	-6,0	NO	2,1	0,0	-4,2	0,0	69,0	11,1	19,8							
17	3,60	46	-11,0	NO	10,8	65,1	-37,6	10,9	69,0	11,1	19,8							
20	3,60	49	-7,5	NO	2,0	0,0	-5,0	0,0	69,0	11,1	19,8							
21	3,60	50	-30,6	NO	8,0	69,4	-49,1	10,2	69,0	11,1	19,8							
24	3,60	53	-7,4	NO	0,0	0,0	-4,6	0,0	69,0	11,1	19,8							
25	3,60	54	-18,4	NO	6,6	63,7	-41,9	5,6	69,0	11,1	24,7	7,0	24,6	-18,2	0,0	69,0	11,1	24,7
26	3,60	55	-27,3	NO								5,9	25,9	-23,6	0,0	69,0	11,1	19,8
27	3,60	56	-24,9	NO								2,4	16,8	-19,7	0,0	69,0	11,1	19,8
28	3,60	57	-7,7	NO	0,7	0,0	-4,8	0,0	69,0	11,1	24,7	0,7	1,3	-4,8	0,0	69,0	11,1	24,7
13	7,20	71	0,0	NO	0,0	19,0	-11,9	0,0	69,0	11,1	14,9	0,0	0,0	0,0	0,0	69,0	11,1	14,9
14	7,20	72	0,0	NO														
15	7,20	73	0,0	NO								0,0	0,0	0,0	0,0	69,0	11,1	14,9
16	7,20	74	0,0	NO	0,0	0,0	0,0	0,0	69,0	11,1	14,9	0,0	3,8	-2,4	0,0	69,0	11,1	14,9
17	7,20	75	0,0	NO	0,0	28,3	-17,7	2,8	69,0	11,1	14,9							
20	7,20	78	0,0	NO	0,0	0,0	0,0	0,0	69,0	11,1	14,9							
21	7,20	79	0,0	NO	0,0	22,2	-13,8	0,0	69,0	11,1	14,9							
24	7,20	82	0,0	NO	0,0	0,0	0,0	0,0	69,0	11,1	14,9							
25	7,20	83	0,0	NO	0,0	17,2	-10,8	0,0	69,0	11,1	14,9	0,0	17,2	-10,8	0,0	69,0	11,1	14,9
26	7,20	84	0,0	NO								0,0	13,5	-8,5	0,0	69,0	11,1	14,9
27	7,20	85	0,0	NO								0,0	4,9	-3,1	0,0	69,0	11,1	14,9
28	7,20	86	0,0	NO	0,0	0,0	0,0	0,0	69,0	11,1	14,9	0,0	0,0	0,0	0,0	69,0	11,1	14,9
29	7,20	87	0,0	NO								0,0	0,0	0,0	0,0	69,0	11,1	14,9

RISULTATI VERIFICHE NODI CLS - PUSH N.ro: 23 - Prop.Massa:+Fy+0.3*Fx-Ecc5%																		
IDENTIFICATIVO					DIREZIONE 'X						DIREZIONE 'Y							
Filo N.ro	Quota (m)	Nod3d Nro	Nsup (t)	Coll Nodo	TaglSup (t)	TrazAf (t)	SgmCo	SgmTr ----- kg/cmq	RcLim	RtLim	DeltRt	TaglSup (t)	TrazAf (t)	SgmCo	SgmTr ----- kg/cmq	RcLim	RtLim	DeltRt
1	0,00	1	-9,5	NO	0,5	0,0	-5,9	0,0	69,0	11,1	9,9	14,4	0,0	-12,4	0,0	69,0	11,1	9,9
2	0,00	2	-32,7	NO								14,8	0,0	-24,0	0,0	69,0	11,1	9,9
3	0,00	3	-35,7	NO								14,8	0,0	-25,6	0,0	69,0	11,1	9,9
4	0,00	4	-14,2	NO	2,2	2,0	-8,9	0,0	69,0	11,1	9,9	13,7	0,0	-14,1	0,0	69,0	11,1	9,9
5	0,00	5	-26,3	NO	1,5	0,0	-16,5	0,0	69,0	11,1	9,9							
8	0,00	8	-30,2	NO	3,7	4,0	-18,9	0,0	69,0	11,1	9,9							
9	0,00	9	2,5	NO	1,5	0,0	-0,4	0,0	69,0	11,1	9,9							
12	0,00	12	0,4	NO	5,7	5,3	-0,2	0,0	69,0	11,1	9,9							
13	0,00	13	0,3	NO	2,3	0,0	-1,3	0,0	69,0	11,1	9,9	14,3	0,0	-8,8	0,0	69,0	11,1	9,9
14	0,00	14	-36,5	NO								17,6	19,0	-22,8	0,0	69,0	11,1	9,9
16	0,00	17	-29,5	NO	4,9	4,8	-18,5	0,0	69,0	11,1	9,9							
17	0,00	18	1,5	NO	2,4	0,0	-1,1	0,0	69,0	11,1	9,9							
20	0,00	21	-6,0	NO	5,2	4,9	-3,8	0,0	69,0	11,1	9,9							
21	0,00	22	-66,3	NO	2,4	0,0	-41,5	0,0	69,0	11,1	9,9							
24	0,00	25	-60,5	NO	8,7	7,6	-37,8	0,0	69,0	11,1	9,9							
25	0,00	26	-40,3	NO	7,2	0,0	-26,0	0,0	69,0	11,1	9,9	18,2	20,4	-25,3	0,0	69,0	11,1	9,9
26	0,00	27	-73,4	NO								20,7	22,4	-45,9	0,0	69,0	11,1	9,9
27	0,00	28	-71,0	NO								20,8	22,4	-44,4	0,0	69,0	11,1	9,9
28	0,00	29	-46,3	NO	11,2	10,3	-29,0	0,0	69,0	11,1	9,9	18,5	21,8	-29,1	0,0	69,0	11,1	9,9
1	3,60	30	0,0	NO	0,0	0,0	0,0	0,0	69,0	11,1	19,8	0,0	0,0	0,0	0,0	69,0	11,1	19,8
2	3,60	31	0,0	NO								0,0	0,0	0,0	0,0	69,0	11,1	19,8
3	3,60	32	0,0	NO								0,0	0,0	0,0	0,0	69,0	11,1	19,8
4	3,60	33	0,0	NO	0,0	6,8	-4,2	0,0	69,0	11,1	19,8	0,0	0,0	0,0	0,0	69,0	11,1	19,8
5	3,60	34	0,0	NO	0,0	0,0	0,0	0,0	69,0	11,1	19,8							
8	3,60	37	0,0	NO	0,0	9,5	-5,9	0,0	69,0	11,1	24,7							
9	3,60	38	0,0	NO	0,0	0,0	0,0	0,0	69,0	11,1	19,8							
12	3,60	41	0,0	NO	0,0	14,9	-9,3	0,0	69,0	11,1	19,8							
13	3,60	42	-4,7	NO	1,9	0,0	-3,3	0,0	69,0	11,1	19,8	1,4	0,0	-3,2	0,0	69,0	11,1	19,8
14	3,60	43	-5,2	NO								0,7	36,4	-24,0	1,0	69,0	11,1	19,8
16	3,60	45	-6,1	NO	3,5	16,9	-10,5	0,0	69,0	11,1	19,8							

## RISULTATI VERIFICHE NODI CLS - PUSH N.ro: 23 - Prop.Massa:+Fy+0.3\*Fx-Ecc5%

IDENTIFICATIVO					DIREZIONE 'X							DIREZIONE 'Y						
Filo N.ro	Quota (m)	Nod3d Nro	Nsup (t)	Coll Nodo	TaglSup (t)	TrazAf (t)	SgmCo	SgmTr	RcLim	RtLim	DeltRt	TaglSup (t)	TrazAf (t)	SgmCo	SgmTr	RcLim	RtLim	DeltRt
								kg/cmq							kg/cmq			
17	3,60	46	2,0	NO	1,7	0,0	-0,6	0,0	69,0	11,1	19,8							
20	3,60	49	-6,6	NO	4,2	19,4	-11,8	0,0	69,0	11,1	19,8							
21	3,60	50	-29,8	NO	0,4	0,0	-18,7	0,0	69,0	11,1	19,8							
24	3,60	53	-24,1	NO	5,9	33,2	-26,2	0,0	69,0	11,1	19,8							
25	3,60	54	-15,9	NO	0,7	0,0	-10,0	0,0	69,0	11,1	24,7	7,7	50,5	-32,2	0,0	69,0	11,1	24,7
26	3,60	55	-28,3	NO								5,6	50,5	-38,2	0,8	69,0	11,1	19,8
27	3,60	56	-29,6	NO								3,6	50,5	-40,0	1,7	69,0	11,1	19,8
28	3,60	57	-14,9	NO	4,9	37,4	-25,5	0,0	69,0	11,1	24,7	3,0	47,9	-33,1	0,0	69,0	11,1	24,7
13	7,20	71	0,0	NO	0,0	4,4	-2,7	0,0	69,0	11,1	14,9	0,0	0,0	0,0	0,0	69,0	11,1	14,9
14	7,20	72	0,0	NO														
15	7,20	73	0,0	NO								0,0	0,0	0,0	0,0	69,0	11,1	14,9
16	7,20	74	0,0	NO	0,0	8,5	-5,3	0,0	69,0	11,1	14,9	0,0	0,0	0,0	0,0	69,0	11,1	14,9
17	7,20	75	0,0	NO	0,0	2,5	-1,5	0,0	69,0	11,1	14,9							
20	7,20	78	0,0	NO	0,0	9,8	-6,1	0,0	69,0	11,1	14,9							
21	7,20	79	0,0	NO	0,0	0,0	0,0	0,0	69,0	11,1	14,9							
24	7,20	82	0,0	NO	0,0	13,4	-8,4	0,0	69,0	11,1	14,9							
25	7,20	83	0,0	NO	0,0	0,0	0,0	0,0	69,0	11,1	14,9	0,0	25,8	-16,2	1,3	69,0	11,1	14,9
26	7,20	84	0,0	NO								0,0	22,2	-13,8	0,0	69,0	11,1	14,9
27	7,20	85	0,0	NO								0,0	16,0	-10,0	0,0	69,0	11,1	14,9
28	7,20	86	0,0	NO	0,0	11,0	-6,9	0,0	69,0	11,1	14,9	0,0	12,3	-7,7	0,0	69,0	11,1	14,9
29	7,20	87	0,0	NO								0,0	0,0	0,0	0,0	69,0	11,1	14,9

## RISULTATI VERIFICHE NODI CLS - PUSH N.ro: 24 - Prop.Massa:-Fy+0.3\*Fx-Ecc5%

IDENTIFICATIVO					DIREZIONE 'X							DIREZIONE 'Y						
Filo N.ro	Quota (m)	Nod3d Nro	Nsup (t)	Coll Nodo	TaglSup (t)	TrazAf (t)	SgmCo	SgmTr	RcLim	RtLim	DeltRt	TaglSup (t)	TrazAf (t)	SgmCo	SgmTr	RcLim	RtLim	DeltRt
								kg/cmq							kg/cmq			
1	0,00	1	-22,2	NO	2,1	0,0	-14,0	0,0	69,0	11,1	9,9	16,4	12,7	-14,3	0,0	69,0	11,1	9,9
2	0,00	2	-47,8	NO								18,8	20,4	-29,9	0,0	69,0	11,1	9,9
3	0,00	3	-50,6	NO								19,1	20,4	-31,6	0,0	69,0	11,1	9,9
4	0,00	4	-27,2	NO	0,9	2,0	-17,0	0,0	69,0	11,1	9,9	16,9	13,2	-17,3	0,0	69,0	11,1	9,9
5	0,00	5	-26,1	NO	3,0	0,0	-16,5	0,0	69,0	11,1	9,9							
8	0,00	8	-33,0	NO	3,8	4,6	-20,7	0,0	69,0	11,1	9,9							
9	0,00	9	-21,2	NO	3,0	0,0	-13,5	0,0	69,0	11,1	9,9							
12	0,00	12	-24,7	NO	4,8	5,3	-15,4	0,0	69,0	11,1	9,9							
13	0,00	13	-8,0	NO	6,8	0,0	-7,4	0,0	69,0	11,1	9,9	15,1	12,8	-5,4	0,0	69,0	11,1	9,9
14	0,00	14	-24,0	NO								16,3	0,0	-20,1	0,0	69,0	11,1	9,9
16	0,00	17	-26,7	NO	3,8	4,2	-16,7	0,0	69,0	11,1	9,9							
17	0,00	18	-42,0	NO	3,5	0,0	-26,4	0,0	69,0	11,1	9,9							
20	0,00	21	-36,6	NO	4,0	3,8	-22,9	0,0	69,0	11,1	9,9							
21	0,00	22	-14,0	NO	2,4	0,0	-9,0	0,0	69,0	11,1	9,9							
24	0,00	25	-10,7	NO	6,9	5,4	-6,8	0,0	69,0	11,1	9,9							
25	0,00	26	-19,6	NO	6,0	0,0	-13,3	0,0	69,0	11,1	9,9	16,1	0,0	-17,9	0,0	69,0	11,1	9,9
26	0,00	27	-49,3	NO								18,6	0,0	-34,7	0,0	69,0	11,1	9,9
27	0,00	28	-48,1	NO								18,7	0,0	-34,1	0,0	69,0	11,1	9,9
28	0,00	29	-25,2	NO	10,7	7,6	-16,0	0,0	69,0	11,1	9,9	16,7	0,0	-21,0	0,0	69,0	11,1	9,9
1	3,60	30	0,0	NO	0,0	0,0	0,0	0,0	69,0	11,1	19,8	0,0	41,8	-26,1	6,3	69,0	11,1	19,8
2	3,60	31	0,0	NO								0,0	43,1	-26,9	7,1	69,0	11,1	19,8
3	3,60	32	0,0	NO								0,0	43,1	-26,9	7,1	69,0	11,1	19,8
4	3,60	33	0,0	NO	0,0	2,7	-1,7	0,0	69,0	11,1	19,8	0,0	43,1	-26,9	7,1	69,0	11,1	19,8
5	3,60	34	0,0	NO	0,0	0,0	0,0	0,0	69,0	11,1	19,8							
8	3,60	37	0,0	NO	0,0	9,5	-5,9	0,0	69,0	11,1	24,7							
9	3,60	38	0,0	NO	0,0	0,0	0,0	0,0	69,0	11,1	19,8							
12	3,60	41	0,0	NO	0,0	13,6	-8,5	0,0	69,0	11,1	19,8							
13	3,60	42	-6,6	NO	3,4	0,0	-5,0	0,0	69,0	11,1	19,8	4,2	35,9	-22,0	0,0	69,0	11,1	19,8
14	3,60	43	-12,1	NO								4,2	0,0	-8,4	0,0	69,0	11,1	19,8
16	3,60	45	-17,6	NO	4,2	15,6	-14,5	0,0	69,0	11,1	19,8							
17	3,60	46	-13,2	NO	1,9	0,0	-8,4	0,0	69,0	11,1	19,8							
20	3,60	49	-13,6	NO	4,3	16,6	-13,0	0,0	69,0	11,1	19,8							
21	3,60	50	-9,8	NO	1,4	0,0	-6,2	0,0	69,0	11,1	19,8							
24	3,60	53	-6,2	NO	5,9	29,1	-16,5	0,0	69,0	11,1	19,8							
25	3,60	54	-10,4	NO	2,7	0,0	-6,9	0,0	69,0	11,1	24,7	3,3	0,0	-7,1	0,0	69,0	11,1	24,7
26	3,60	55	-20,7	NO								5,3	0,0	-13,8	0,0	69,0	11,1	19,8
27	3,60	56	-22,9	NO								4,3	0,0	-14,8	0,0	69,0	11,1	19,8
28	3,60	57	-9,3	NO	4,6	38,8	-24,4	0,0	69,0	11,1	24,7	1,8	0,0	-6,0	0,0	69,0	11,1	24,7
13	7,20	71	0,0	NO	0,0	0,0	0,0	0,0	69,0	11,1	14,9	0,0	20,3	-12,7	0,0	69,0	11,1	14,9
14	7,20	72	0,0	NO														
15	7,20	73	0,0	NO								0,0	29,1	-18,2	3,4	69,0	11,1	14,9
16	7,20	74	0,0	NO	0,0	9,8	-6,1	0,0	69,0	11,1	14,9	0,0	29,1	-18,2	3,4	69,0	11,1	14,9
17	7,20	75	0,0	NO	0,0	2,5	-1,5	0,0	69,0	11,1	14,9							
20	7,20	78	0,0	NO	0,0	9,8	-6,1	0,0	69,0	11,1	14,9							
21	7,20	79	0,0	NO	0,0	0,0	0,0	0,0	69,0	11,1	14,9							
24	7,20	82	0,0	NO	0,0	13,4	-8,4	0,0	69,0	11,1	14,9							
25	7,20	83	0,0	NO	0,0	2,5	-1,5	0,0	69,0	11,1	14,9	0,0	0,0	0,0	0,0	69,0	11,1	14,9
26	7,20	84	0,0	NO								0,0	0,0	0,0	0,0	69,0	11,1	14,9
27	7,20	85	0,0	NO								0,0	0,0	0,0	0,0	69,0	11,1	14,9
28	7,20	86	0,0	NO	0,0	11,0	-6,9	0,0	69,0	11,1	14,9	0,0	0,0	0,0	0,0	69,0	11,1	14,9
29	7,20	87	0,0	NO								0,0	29,1	-18,2	3,4	69,0	11,1	14,9

## RISULTATI VERIFICHE NODI CLS - PUSH N.ro: 25 - Prop.Modolo:-Fx-0.3\*Fy-Ecc5%

IDENTIFICATIVO					DIREZIONE 'X							DIREZIONE 'Y						
Filo N.ro	Quota (m)	Nod3d Nro	Nsup (t)	Coll Nodo	TaglSup (t)	TrazAf (t)	SgmCo	SgmTr	RcLim	RtLim	DeltRt	TaglSup (t)	TrazAf (t)	SgmCo	SgmTr	RcLim	RtLim	DeltRt
								kg/cmq							kg/cmq			
1	0,00	1	-7,0	NO	9,2	0,0	-8,3	0,0	69,0	11,1	9,9	0,1	0,0	-4,4	0,0	69,0	11,1	9,9

SOFTWARE: C.D.S. - Full - Rel.2018



## RISULTATI VERIFICHE NODI CLS - PUSH N.ro: 25 - Prop.Modolo: +Fx-0.3\*Fy-Ecc5%

IDENTIFICATIVO			DIREZIONE 'X'								DIREZIONE 'Y'							
Filo N.ro	Quota (m)	Nod3d Nro	Nsup (t)	Coll Nodo	TaglSup (t)	TrazAf (t)	SgmCo ----- kg/cmq	SgmTr	RcLim	RtLim	DeltRt	TaglSup (t)	TrazAf (t)	SgmCo ----- kg/cmq	SgmTr	RcLim	RtLim	DeltRt
2	0,00	2	-42,4	NO								3,1	3,5	-26,5	0,0	69,0	11,1	9,9
3	0,00	3	-43,9	NO								8,7	9,9	-27,4	0,0	69,0	11,1	9,9
4	0,00	4	-33,0	NO	14,3	17,1	-20,7	0,0	69,0	11,1	9,9	16,4	13,2	-20,8	0,0	69,0	11,1	9,9
5	0,00	5	-18,2	NO	10,6	0,0	-14,4	0,0	69,0	11,1	9,9							
8	0,00	8	-40,9	NO	18,0	17,8	-25,6	0,0	69,0	11,1	9,9							
9	0,00	9	-7,9	NO	10,3	0,0	-9,4	0,0	69,0	11,1	9,9							
12	0,00	12	-30,5	NO	17,2	17,8	-19,1	0,0	69,0	11,1	9,9							
13	0,00	13	14,7	NO	9,1	0,0	-2,7	2,0	69,0	11,1	9,9	2,4	0,0	-0,2	0,0	69,0	11,1	9,9
14	0,00	14	-34,4	NO								1,1	0,8	-21,5	0,0	69,0	11,1	9,9
16	0,00	17	-34,9	NO	14,4	16,2	-21,8	0,0	69,0	11,1	9,9							
17	0,00	18	-9,7	NO	10,7	0,0	-10,4	0,0	69,0	11,1	9,9							
20	0,00	21	-41,8	NO	16,6	15,1	-26,2	0,0	69,0	11,1	9,9							
21	0,00	22	-28,6	NO	11,5	0,0	-20,4	0,0	69,0	11,1	9,9							
24	0,00	25	-37,9	NO	17,5	15,7	-23,8	0,0	69,0	11,1	9,9							
25	0,00	26	-21,4	NO	12,2	0,0	-16,8	0,0	69,0	11,1	9,9	3,2	2,1	-13,4	0,0	69,0	11,1	9,9
26	0,00	27	-56,9	NO								0,2	0,0	-35,5	0,0	69,0	11,1	9,9
27	0,00	28	-51,1	NO								2,2	0,0	-32,0	0,0	69,0	11,1	9,9
28	0,00	29	-39,4	NO	18,1	15,7	-24,7	0,0	69,0	11,1	9,9	9,1	0,0	-25,9	0,0	69,0	11,1	9,9
1	3,60	30	0,0	NO	0,0	0,0	0,0	0,0	69,0	11,1	19,8	0,0	2,5	-1,5	0,0	69,0	11,1	19,8
2	3,60	31	0,0	NO								0,0	9,8	-6,2	0,0	69,0	11,1	19,8
3	3,60	32	0,0	NO								0,0	22,2	-13,8	0,0	69,0	11,1	19,8
4	3,60	33	0,0	NO	0,0	36,6	-22,9	3,1	69,0	11,1	19,8	0,0	39,4	-24,6	4,8	69,0	11,1	19,8
5	3,60	34	0,0	NO	0,0	0,0	0,0	0,0	69,0	11,1	19,8							
8	3,60	37	0,0	NO	0,0	50,2	-31,4	6,6	69,0	11,1	24,7							
9	3,60	38	0,0	NO	0,0	0,0	0,0	0,0	69,0	11,1	19,8							
12	3,60	41	0,0	SI	0,0	50,2	-31,4	11,6	69,0	11,1	19,8							
13	3,60	42	1,8	NO	5,2	0,0	-2,8	0,0	69,0	11,1	19,8	5,3	2,7	-1,2	0,0	69,0	11,1	19,8
14	3,60	43	-10,9	NO								1,8	0,0	-7,0	0,0	69,0	11,1	19,8
16	3,60	45	-20,0	NO	13,9	50,6	-30,1	0,0	69,0	11,1	19,8							
17	3,60	46	-2,8	NO	6,0	0,0	-4,7	0,0	69,0	11,1	19,8							
20	3,60	49	-13,5	NO	14,5	69,2	-38,6	10,4	69,0	11,1	19,8							
21	3,60	50	-12,1	NO	5,8	0,0	-9,1	0,0	69,0	11,1	19,8							
24	3,60	53	-20,2	NO	14,7	69,2	-41,0	8,6	69,0	11,1	19,8							
25	3,60	54	-7,0	NO	5,1	0,0	-6,0	0,0	69,0	11,1	24,7	1,1	10,4	-8,4	0,0	69,0	11,1	24,7
26	3,60	55	-24,1	NO								1,7	5,2	-15,4	0,0	69,0	11,1	19,8
27	3,60	56	-22,6	NO								0,2	0,0	-14,1	0,0	69,0	11,1	19,8
28	3,60	57	-15,8	NO	13,6	69,2	-40,0	5,4	69,0	11,1	24,7	2,2	0,0	-10,1	0,0	69,0	11,1	24,7
13	7,20	71	0,0	NO	0,0	0,0	0,0	0,0	69,0	11,1	14,9	0,0	12,7	-7,9	0,0	69,0	11,1	14,9
14	7,20	72	0,0	NO														
15	7,20	73	0,0	NO								0,0	7,6	-4,8	0,0	69,0	11,1	14,9
16	7,20	74	0,0	NO	0,0	35,4	-22,1	7,3	69,0	11,1	14,9	0,0	15,2	-9,5	0,0	69,0	11,1	14,9
17	7,20	75	0,0	NO	0,0	0,0	0,0	0,0	69,0	11,1	14,9							
20	7,20	78	0,0	NO	0,0	36,4	-22,8	7,9	69,0	11,1	14,9							
21	7,20	79	0,0	NO	0,0	0,0	0,0	0,0	69,0	11,1	14,9							
24	7,20	82	0,0	NO	0,0	36,4	-22,8	7,9	69,0	11,1	14,9							
25	7,20	83	0,0	NO	0,0	0,0	0,0	0,0	69,0	11,1	14,9	0,0	2,5	-1,5	0,0	69,0	11,1	14,9
26	7,20	84	0,0	NO								0,0	2,5	-1,5	0,0	69,0	11,1	14,9
27	7,20	85	0,0	NO								0,0	0,0	0,0	0,0	69,0	11,1	14,9
28	7,20	86	0,0	NO	0,0	35,4	-22,1	7,3	69,0	11,1	14,9	0,0	0,0	0,0	0,0	69,0	11,1	14,9
29	7,20	87	0,0	NO								0,0	8,9	-5,5	0,0	69,0	11,1	14,9

## RISULTATI VERIFICHE NODI CLS - PUSH N.ro: 26 - Prop.Modolo: -Fx-0.3\*Fy-Ecc5%

IDENTIFICATIVO					DIREZIONE 'X'							DIREZIONE 'Y'						
Filo N.ro	Quota (m)	Nod3d Nro	Nsup (t)	Coll Nodo	TaglSup (t)	TrazAf (t)	SgmCo	SgmTr	RcLim	RtLim	DeltRt	TaglSup (t)	TrazAf (t)	SgmCo	SgmTr	RcLim	RtLim	DeltRt
									kg/cmq							kg/cmq		
1	0,00	1	-29,1	NO	14,8	15,7	-18,2	0,0	69,0	11,1	9,9	5,7	4,4	-18,3	0,0	69,0	11,1	9,9
2	0,00	2	-34,3	NO								4,5	5,6	-21,5	0,0	69,0	11,1	9,9
3	0,00	3	-46,5	NO								5,8	6,3	-29,1	0,0	69,0	11,1	9,9
4	0,00	4	-14,5	NO	11,0	0,0	-12,8	0,0	69,0	11,1	9,9	6,5	4,4	-9,2	0,0	69,0	11,1	9,9
5	0,00	5	-41,7	NO	15,4	15,7	-26,0	0,0	69,0	11,1	9,9							
8	0,00	8	-22,6	NO	11,2	0,0	-17,0	0,0	69,0	11,1	9,9							
9	0,00	9	-28,3	NO	16,1	23,4	-18,8	0,0	69,0	11,1	9,9							
12	0,00	12	-13,4	NO	10,8	0,0	-12,1	0,0	69,0	11,1	9,9							
13	0,00	13	-50,3	NO	14,2	27,1	-33,4	0,0	69,0	11,1	9,9	3,1	4,1	-31,4	0,0	69,0	11,1	9,9
14	0,00	14	2,7	NO								5,4	0,0	-2,7	0,0	69,0	11,1	9,9
16	0,00	17	-7,0	NO	10,9	0,0	-9,3	0,0	69,0	11,1	9,9							
17	0,00	18	-46,4	NO	16,7	18,6	-29,1	0,0	69,0	11,1	9,9							
20	0,00	21	-13,8	NO	13,2	0,0	-13,6	0,0	69,0	11,1	9,9							
21	0,00	22	-62,8	NO	17,8	19,2	-39,3	0,0	69,0	11,1	9,9							
24	0,00	25	-0,3	NO	12,5	0,0	-7,9	0,0	69,0	11,1	9,9							
25	0,00	26	-49,3	NO	17,8	18,6	-30,9	0,0	69,0	11,1	9,9	7,1	0,0	-31,5	0,0	69,0	11,1	9,9
26	0,00	27	-51,9	NO								2,7	0,0	-32,5	0,0	69,0	11,1	9,9
27	0,00	28	-57,6	NO								0,7	0,0	-36,0	0,0	69,0	11,1	9,9
28	0,00	29	-6,1	NO	13,2	0,0	-10,4	0,0	69,0	11,1	9,9	1,9	0,0	-4,1	0,0	69,0	11,1	9,9
1	3,60	30	0,0	NO	0,0	35,9	-22,5	2,7	69,0	11,1	19,8	0,0	16,0	-10,0	0,0	69,0	11,1	19,8
2	3,60	31	0,0	NO								0,0	12,3	-7,7	0,0	69,0	11,1	19,8
3	3,60	32	0,0	NO								0,0	17,2	-10,8	0,0	69,0	11,1	19,8
4	3,60	33	0,0	NO	0,0	0,0	0,0	0,0	69,0	11,1	19,8	0,0	18,5	-11,5	0,0	69,0	11,1	19,8
5	3,60	34	0,0	NO	0,0	35,9	-22,5	2,7	69,0	11,1	19,8							
8	3,60	37	0,0	NO	0,0	0,0	0,0	0,0	69,0	11,1	24,7							
9	3,60	38	0,0	NO	0,0	35,9	-22,5	2,7	69,0	11,1	19,8							
12	3,60	41	0,0	NO	0,0	0,0	0,0	0,0	69,0	11,1	19,8							
13	3,60	42	-19,7	NO	11,1	41,6	-26,2	0,0	69,0	11,1	19,8	1,7	4,0	-12,5	0,0	69,0	11,1	19,8

## RISULTATI VERIFICHE NODI CLS - PUSH N.ro: 26 - Prop.Modolo:-Fx-0.3\*Fy-Ecc5%

IDENTIFICATIVO					DIREZIONE 'X							DIREZIONE 'Y						
Filo N.ro	Quota (m)	Nod3d Nro	Nsup (t)	Coll Nodo	TaglSup (t)	TrazAf (t)	SgmCo	SgmTr	RcLim	RtLim	DeltRt	TaglSup (t)	TrazAf (t)	SgmCo	SgmTr	RcLim	RtLim	DeltRt
14	3,60	43	-0,4	NO								0,0	0,0	-0,2	0,0	69,0	11,1	19,8
16	3,60	45	-8,5	NO	5,4	0,0	-7,0	0,0	69,0	11,1	19,8							
17	3,60	46	-15,2	NO	14,8	69,4	-39,2	9,9	69,0	11,1	19,8							
20	3,60	49	-7,7	NO	5,9	0,0	-6,8	0,0	69,0	11,1	19,8							
21	3,60	50	-29,5	NO	15,2	69,4	-44,3	6,1	69,0	11,1	19,8							
24	3,60	53	-0,8	NO	5,5	0,0	-3,7	0,0	69,0	11,1	19,8							
25	3,60	54	-19,8	NO	14,1	69,4	-41,3	4,2	69,0	11,1	24,7	3,6	0,0	-12,8	0,0	69,0	11,1	24,7
26	3,60	55	-21,1	NO								2,2	0,0	-13,4	0,0	69,0	11,1	19,8
27	3,60	56	-25,1	NO								2,0	0,0	-15,8	0,0	69,0	11,1	19,8
28	3,60	57	-2,0	NO	5,0	0,0	-3,8	0,0	69,0	11,1	24,7	5,8	0,0	-4,3	0,0	69,0	11,1	24,7
13	7,20	71	0,0	NO	0,0	36,4	-22,8	7,9	69,0	11,1	14,9	0,0	0,0	0,0	0,0	69,0	11,1	14,9
14	7,20	72	0,0	NO														
15	7,20	73	0,0	NO								0,0	7,6	-4,8	0,0	69,0	11,1	14,9
16	7,20	74	0,0	NO	0,0	0,0	0,0	0,0	69,0	11,1	14,9	0,0	20,3	-12,7	0,0	69,0	11,1	14,9
17	7,20	75	0,0	NO	0,0	38,1	-23,8	9,0	69,0	11,1	14,9							
20	7,20	78	0,0	NO	0,0	0,0	0,0	0,0	69,0	11,1	14,9							
21	7,20	79	0,0	NO	0,0	39,4	-24,6	9,8	69,0	11,1	14,9							
24	7,20	82	0,0	NO	0,0	0,0	0,0	0,0	69,0	11,1	14,9							
25	7,20	83	0,0	NO	0,0	38,1	-23,8	9,0	69,0	11,1	14,9	0,0	7,4	-4,6	0,0	69,0	11,1	14,9
26	7,20	84	0,0	NO								0,0	2,5	-1,5	0,0	69,0	11,1	14,9
27	7,20	85	0,0	NO								0,0	0,0	0,0	0,0	69,0	11,1	14,9
28	7,20	86	0,0	NO	0,0	0,0	0,0	0,0	69,0	11,1	14,9	0,0	0,0	0,0	0,0	69,0	11,1	14,9
29	7,20	87	0,0	NO								0,0	11,4	-7,1	0,0	69,0	11,1	14,9

## RISULTATI VERIFICHE NODI CLS - PUSH N.ro: 27 - Prop.Modolo:+Fy-0.3\*Fx-Ecc5%

IDENTIFICATIVO					DIREZIONE 'X						DIREZIONE 'Y							
Filo N.ro	Quota (m)	Nod3d Nro	Nsup (t)	Coll Nodo	TaglSup (t)	TrazAf (t)	SgmCo	SgmTr	RcLim	RtLim	DeltRt	TaglSup (t)	TrazAf (t)	SgmCo	SgmTr	RcLim	RtLim	DeltRt
					----- kg/cmq -----						----- kg/cmq -----							
1	0,00	1	-15,9	NO	7,5	6,4	-10,0	0,0	69,0	11,1	9,9	12,3	0,0	-14,1	0,0	69,0	11,1	9,9
2	0,00	2	-28,2	NO								13,2	0,0	-20,9	0,0	69,0	11,1	9,9
3	0,00	3	-36,5	NO								13,7	0,0	-25,6	0,0	69,0	11,1	9,9
4	0,00	4	-8,5	NO	5,7	0,0	-7,1	0,0	69,0	11,1	9,9	12,7	0,0	-11,0	0,0	69,0	11,1	9,9
5	0,00	5	-30,4	NO	4,3	4,1	-19,0	0,0	69,0	11,1	9,9							
8	0,00	8	-25,5	NO	2,4	0,0	-16,1	0,0	69,0	11,1	9,9							
9	0,00	9	1,9	NO	4,7	6,9	-0,9	0,0	69,0	11,1	9,9							
12	0,00	12	9,3	NO	0,9	0,0	-0,1	0,0	69,0	11,1	9,9							
13	0,00	13	-25,3	NO	6,2	7,9	-15,9	0,0	69,0	11,1	9,9	14,2	0,0	-19,8	0,0	69,0	11,1	9,9
14	0,00	14	-30,3	NO								17,1	17,5	-18,9	0,0	69,0	11,1	9,9
16	0,00	17	-23,6	NO	2,1	0,0	-14,9	0,0	69,0	11,1	9,9							
17	0,00	18	-7,3	NO	4,0	4,2	-4,6	0,0	69,0	11,1	9,9							
20	0,00	21	5,6	NO	2,8	0,0	-0,7	0,0	69,0	11,1	9,9							
21	0,00	22	-74,5	NO	5,7	5,4	-46,6	0,0	69,0	11,1	9,9							
24	0,00	25	-51,4	NO	0,9	0,0	-32,1	0,0	69,0	11,1	9,9							
25	0,00	26	-49,7	NO	5,6	4,8	-31,1	0,0	69,0	11,1	9,9	18,6	21,8	-31,2	0,0	69,0	11,1	9,9
26	0,00	27	-75,2	NO								20,7	22,4	-47,0	0,0	69,0	11,1	9,9
27	0,00	28	-73,9	NO								21,0	22,4	-46,2	0,0	69,0	11,1	9,9
28	0,00	29	-42,8	NO	2,6	0,0	-26,8	0,0	69,0	11,1	9,9	18,0	20,4	-26,8	0,0	69,0	11,1	9,9
1	3,60	30	0,0	NO	0,0	20,0	-12,5	0,0	69,0	11,1	19,8	0,0	0,0	0,0	0,0	69,0	11,1	19,8
2	3,60	31	0,0	NO								0,0	0,0	0,0	0,0	69,0	11,1	19,8
3	3,60	32	0,0	NO								0,0	0,0	0,0	0,0	69,0	11,1	19,8
4	3,60	33	0,0	NO	0,0	0,0	0,0	0,0	69,0	11,1	19,8	0,0	0,0	0,0	0,0	69,0	11,1	19,8
5	3,60	34	0,0	NO	0,0	10,6	-6,7	0,0	69,0	11,1	19,8							
8	3,60	37	0,0	NO	0,0	0,0	0,0	0,0	69,0	11,1	24,7							
9	3,60	38	0,0	NO	0,0	12,0	-7,5	0,0	69,0	11,1	19,8							
12	3,60	41	0,0	NO	0,0	0,0	0,0	0,0	69,0	11,1	19,8							
13	3,60	42	-10,6	NO	8,6	32,7	-18,7	0,0	69,0	11,1	19,8	1,1	0,0	-6,7	0,0	69,0	11,1	19,8
14	3,60	43	-10,0	NO								2,8	36,4	-24,4	0,0	69,0	11,1	19,8
16	3,60	45	-5,8	NO	4,1	0,0	-5,0	0,0	69,0	11,1	19,8							
17	3,60	46	-4,1	NO	5,7	22,7	-11,9	0,0	69,0	11,1	19,8							
20	3,60	49	-3,1	NO	0,7	0,0	-2,1	0,0	69,0	11,1	19,8							
21	3,60	50	-30,3	NO	4,9	26,9	-26,2	0,0	69,0	11,1	19,8							
24	3,60	53	-18,9	NO	1,6	2,8	-11,9	0,0	69,0	11,1	19,8							
25	3,60	54	-18,5	NO	0,3	18,4	-18,5	0,0	69,0	11,1	24,7	9,2	50,5	-32,3	0,0	69,0	11,1	24,7
26	3,60	55	-30,5	NO								8,5	50,5	-37,4	0,0	69,0	11,1	19,8
27	3,60	56	-31,5	NO								8,0	50,5	-38,2	0,0	69,0	11,1	19,8
28	3,60	57	-18,0	NO	5,5	5,5	-11,3	0,0	69,0	11,1	24,7	8,1	50,5	-32,8	0,0	69,0	11,1	24,7
13	7,20	71	0,0	NO	0,0	21,9	-13,7	0,0	69,0	11,1	14,9	0,0	0,0	0,0	0,0	69,0	11,1	14,9
14	7,20	72	0,0	NO														
15	7,20	73	0,0	NO								0,0	0,0	0,0	0,0	69,0	11,1	14,9
16	7,20	74	0,0	NO	0,0	0,0	0,0	0,0	69,0	11,1	14,9	0,0	0,0	0,0	0,0	69,0	11,1	14,9
17	7,20	75	0,0	NO	0,0	12,3	-7,7	0,0	69,0	11,1	14,9							
20	7,20	78	0,0	NO	0,0	0,0	0,0	0,0	69,0	11,1	14,9							
21	7,20	79	0,0	NO	0,0	9,8	-6,2	0,0	69,0	11,1	14,9							
24	7,20	82	0,0	NO	0,0	1,2	-0,8	0,0	69,0	11,1	14,9							
25	7,20	83	0,0	NO	0,0	1,2	-0,8	0,0	69,0	11,1	14,9	0,0	33,2	-20,8	5,9	69,0	11,1	14,9
26	7,20	84	0,0	NO								0,0	34,5	-21,5	6,7	69,0	11,1	14,9
27	7,20	85	0,0	NO								0,0	34,5	-21,5	6,7	69,0	11,1	14,9
28	7,20	86	0,0	NO	0,0	9,8	-6,1	0,0	69,0	11,1	14,9	0,0	30,8	-19,2	4,4	69,0	11,1	14,9
29	7,20	87	0,0	NO								0,0	0,0	0,0	0,0	69,0	11,1	14,9

## RISULTATI VERIFICHE NODI CLS - PUSH N.ro: 28 - Prop.Modolo:-Fy-0.3\*Fx-Ecc5%

PROGETTAZIONE VERIFICAZIONE E CONTROLLO																		
IDENTIFICATIVO			DIREZIONE 'X'										DIREZIONE 'Y'					
Filo	Quota	Nod3d	Nsup	Coll	TaglSup	TrazAf	SgmCo	SgmTr	RcLim	RtLim	DeltRt	TaglSup	TrazAf	SgmCo	SgmTr	RcLim	RtLim	DeltRt

SOFTWARE: C.D.S. - Full - Rel.2018

**C.D.S.**

N.ro	(m)	Nro	(t)	Nodo	(t)	(t)	----- kg/cmq -----				(t)	(t)	----- kg/cmq -----					
1	0,00	1	-29,9	NO	4,5	5,2	-18,7	0,0	69,0	11,1	9,9	16,9	13,7	-18,9	0,0	69,0	11,1	9,9
2	0,00	2	-46,6	NO								18,3	20,4	-29,2	0,0	69,0	11,1	9,9
3	0,00	3	-52,0	NO								18,6	20,4	-32,5	0,0	69,0	11,1	9,9
4	0,00	4	-24,1	NO	5,6	0,0	-15,8	0,0	69,0	11,1	9,9	16,6	12,7	-15,4	0,0	69,0	11,1	9,9
5	0,00	5	-33,1	NO	4,8	4,7	-20,7	0,0	69,0	11,1	9,9							
8	0,00	8	-29,4	NO	3,5	0,0	-18,7	0,0	69,0	11,1	9,9							
9	0,00	9	-33,3	NO	3,9	6,9	-21,0	0,0	69,0	11,1	9,9							
12	0,00	12	-22,8	NO	1,6	0,0	-14,3	0,0	69,0	11,1	9,9							
13	0,00	13	-35,5	NO	1,7	5,2	-22,4	0,0	69,0	11,1	9,9	15,8	14,6	-22,2	0,0	69,0	11,1	9,9
14	0,00	14	-6,5	NO								13,6	0,0	-10,7	0,0	69,0	11,1	9,9
16	0,00	17	-12,6	NO	2,9	0,0	-8,3	0,0	69,0	11,1	9,9							
17	0,00	18	-45,7	NO	4,8	5,4	-28,6	0,0	69,0	11,1	9,9							
20	0,00	21	-26,0	NO	3,2	0,0	-16,5	0,0	69,0	11,1	9,9							
21	0,00	22	-28,5	NO	6,8	6,6	-17,8	0,0	69,0	11,1	9,9							
24	0,00	25	-6,5	NO	0,7	0,0	-4,1	0,0	69,0	11,1	9,9							
25	0,00	26	-24,5	NO	7,7	7,2	-15,3	0,0	69,0	11,1	9,9	14,5	0,0	-19,5	0,0	69,0	11,1	9,9
26	0,00	27	-45,9	NO								15,1	0,0	-31,5	0,0	69,0	11,1	9,9
27	0,00	28	-45,6	NO								14,8	0,0	-31,3	0,0	69,0	11,1	9,9
28	0,00	29	-14,3	NO	0,9	0,0	-9,0	0,0	69,0	11,1	9,9	13,5	0,0	-14,0	0,0	69,0	11,1	9,9
1	3,60	30	0,0	NO	0,0	12,0	-7,5	0,0	69,0	11,1	19,8	0,0	43,1	-26,9	7,1	69,0	11,1	19,8
2	3,60	31	0,0	NO								0,0	43,1	-26,9	7,1	69,0	11,1	19,8
3	3,60	32	0,0	NO								0,0	43,1	-26,9	7,1	69,0	11,1	19,8
4	3,60	33	0,0	NO	0,0	0,0	0,0	0,0	69,0	11,1	19,8	0,0	43,7	-27,3	7,5	69,0	11,1	19,8
5	3,60	34	0,0	NO	0,0	13,3	-8,3	0,0	69,0	11,1	19,8							
8	3,60	37	0,0	NO	0,0	0,0	0,0	0,0	69,0	11,1	24,7							
9	3,60	38	0,0	NO	0,0	10,6	-6,7	0,0	69,0	11,1	19,8							
12	3,60	41	0,0	NO	0,0	0,0	0,0	0,0	69,0	11,1	19,8							
13	3,60	42	-15,3	NO	2,5	10,4	-11,7	0,0	69,0	11,1	19,8	6,4	35,9	-23,8	0,0	69,0	11,1	19,8
14	3,60	43	-5,4	NO								2,2	0,0	-3,9	0,0	69,0	11,1	19,8
16	3,60	45	-10,5	NO	2,5	0,0	-6,9	0,0	69,0	11,1	19,8							
17	3,60	46	-11,1	NO	6,8	26,9	-16,5	0,0	69,0	11,1	19,8							
20	3,60	49	-9,6	NO	0,3	0,0	-6,0	0,0	69,0	11,1	19,8							
21	3,60	50	-18,5	NO	5,5	31,2	-22,9	0,0	69,0	11,1	19,8							
24	3,60	53	-6,9	NO	1,6	2,8	-4,4	0,0	69,0	11,1	19,8							
25	3,60	54	-8,5	NO	4,0	29,7	-19,0	0,0	69,0	11,1	24,7	3,0	0,0	-5,9	0,0	69,0	11,1	24,7
26	3,60	55	-18,1	NO								2,9	0,0	-11,6	0,0	69,0	11,1	19,8
27	3,60	56	-19,5	NO								3,5	0,0	-12,6	0,0	69,0	11,1	19,8
28	3,60	57	-5,7	NO	3,0	4,2	-3,7	0,0	69,0	11,1	24,7	4,2	0,0	-4,9	0,0	69,0	11,1	24,7
13	7,20	71	0,0	NO	0,0	7,3	-4,6	0,0	69,0	11,1	14,9	0,0	29,1	-18,2	3,4	69,0	11,1	14,9
14	7,20	72	0,0	NO														
15	7,20	73	0,0	NO								0,0	29,1	-18,2	3,4	69,0	11,1	14,9
16	7,20	74	0,0	NO	0,0	0,0	0,0	0,0	69,0	11,1	14,9	0,0	29,1	-18,2	3,4	69,0	11,1	14,9
17	7,20	75	0,0	NO	0,0	14,8	-9,2	0,0	69,0	11,1	14,9							
20	7,20	78	0,0	NO	0,0	0,0	0,0	0,0	69,0	11,1	14,9							
21	7,20	79	0,0	NO	0,0	11,1	-6,9	0,0	69,0	11,1	14,9							
24	7,20	82	0,0	NO	0,0	1,2	-0,8	0,0	69,0	11,1	14,9							
25	7,20	83	0,0	NO	0,0	8,6	-5,4	0,0	69,0	11,1	14,9	0,0	0,0	0,0	0,0	69,0	11,1	14,9
26	7,20	84	0,0	NO								0,0	0,0	0,0	0,0	69,0	11,1	14,9
27	7,20	85	0,0	NO								0,0	0,0	0,0	0,0	69,0	11,1	14,9
28	7,20	86	0,0	NO	0,0	4,9	-3,1	0,0	69,0	11,1	14,9	0,0	0,0	0,0	0,0	69,0	11,1	14,9
29	7,20	87	0,0	NO								0,0	29,1	-18,2	3,4	69,0	11,1	14,9

RISULTATI VERIFICHE NODI CLS - PUSH N.ro: 29 - Prop.Massa:+Fx-0.3*Fy-Ecc5%																		
IDENTIFICATIVO					DIREZIONE X							DIREZIONE Y						
Filo N.ro	Quota (m)	Nod3d Nro	Nsup (t)	Coll Nodo	TaglSup (t)	TrazAf (t)	SgmCo	SgmTr	RcLim	RtLim	DeltRt	TaglSup (t)	TrazAf (t)	SgmCo	SgmTr	RcLim	RtLim	DeltRt
1	0,00	1	-8,2	NO	10,7	0,0	-9,7	0,0	69,0	11,1	9,9	2,5	1,5	-5,2	0,0	69,0	11,1	9,9
2	0,00	2	-44,0	NO								6,2	4,9	-27,5	0,0	69,0	11,1	9,9
3	0,00	3	-43,6	NO								7,8	8,5	-27,3	0,0	69,0	11,1	9,9
4	0,00	4	-32,2	NO	14,6	17,1	-20,3	0,0	69,0	11,1	9,9	16,7	13,2	-20,4	0,0	69,0	11,1	9,9
5	0,00	5	-18,8	NO	11,7	0,0	-15,3	0,0	69,0	11,1	9,9							
8	0,00	8	-39,2	NO	17,9	18,5	-24,5	0,0	69,0	11,1	9,9							
9	0,00	9	-10,1	NO	13,0	0,0	-11,9	0,0	69,0	11,1	9,9							
12	0,00	12	-28,2	NO	17,0	17,1	-17,7	0,0	69,0	11,1	9,9							
13	0,00	13	7,3	NO	13,6	0,0	-6,5	1,1	69,0	11,1	9,9	0,0	0,6	0,0	0,0	69,0	11,1	9,9
14	0,00	14	-26,3	NO								1,5	0,0	-16,5	0,0	69,0	11,1	9,9
16	0,00	17	-28,9	NO	16,9	15,6	-18,1	0,0	69,0	11,1	9,9							
17	0,00	18	-14,1	NO	15,7	0,0	-15,2	0,0	69,0	11,1	9,9							
20	0,00	21	-36,3	NO	17,6	14,6	-22,8	0,0	69,0	11,1	9,9							
21	0,00	22	-29,8	NO	17,1	0,0	-23,5	0,0	69,0	11,1	9,9							
24	0,00	25	-42,2	NO	18,2	15,1	-26,5	0,0	69,0	11,1	9,9							
25	0,00	26	-23,0	NO	16,6	0,0	-19,8	0,0	69,0	11,1	9,9	1,2	0,7	-14,4	0,0	69,0	11,1	9,9
26	0,00	27	-55,5	NO								0,3	0,0	-34,7	0,0	69,0	11,1	9,9
27	0,00	28	-52,9	NO								2,4	0,0	-33,1	0,0	69,0	11,1	9,9
28	0,00	29	-40,1	NO	17,9	15,1	-25,2	0,0	69,0	11,1	9,9	7,8	0,0	-26,0	0,0	69,0	11,1	9,9
1	3,60	30	0,0	NO	0,0	0,0	0,0	0,0	69,0	11,1	19,8	0,0	8,6	-5,4	0,0	69,0	11,1	19,8
2	3,60	31	0,0	NO								0,0	18,5	-11,5	0,0	69,0	11,1	19,8
3	3,60	32	0,0	NO								0,0	20,9	-13,1	0,0	69,0	11,1	19,8
4	3,60	33	0,0	NO	0,0	36,6	-22,9	3,1	69,0	11,1	19,8	0,0	39,4	-24,6	4,8	69,0	11,1	19,8
5	3,60	34	0,0	NO	0,0	0,0	0,0	0,0	69,0	11,1	19,8							
8	3,60	37	0,0	NO	0,0	47,5	-29,7	4,9	69,0	11,1	24,7							
9	3,60	38	0,0	NO	0,0	0,0	0,0	0,0	69,0	11,1	19,8							
12	3,60	41	0,0	NO	0,0	46,1	-28,8	9,0	69,0	11,1	19,8							
13	3,60	42	-4,1	NO	1,3	0,0	-2,8	0,0	69,0	11,1	19,8	4,9	6,7	-3,0	0,0	69,0	11,1	19,8
14	3,60	43	-6,0	NO								1,1	0,0	-3,9	0,0	69,0	11,1	19,8
16	3,60	45	-16,4	NO	7,9	50,6	-32,3	2,3	69,0	11,1	19,8							
17	3,60	46	-6,0	NO	3,4	0,0	-4,7	0,0	69,0	11,1	19,8							

## RISULTATI VERIFICHE NODI CLS - PUSH N.ro: 29 - Prop.Massa:+Fx-0.3\*Fy-Ecc5%

IDENTIFICATIVO					DIREZIONE 'X'							DIREZIONE 'Y'						
Filo N.ro	Quota (m)	Nod3d Nro	Nsup (t)	Coll Nodo	TaglSup (t)	TrazAf (t)	SgmCo	SgmTr	RcLim	RtLim	DeltRt	TaglSup (t)	TrazAf (t)	SgmCo	SgmTr	RcLim	RtLim	DeltRt
20	3,60	49	-12,6	NO	8,6	59,5	-36,1	8,3	69,0	11,1	19,8							
21	3,60	50	-15,0	NO	3,6	0,0	-9,9	0,0	69,0	11,1	19,8							
24	3,60	53	-19,1	NO	11,3	67,8	-41,8	10,0	69,0	11,1	19,8							
25	3,60	54	-9,7	NO	2,9	0,0	-6,6	0,0	69,0	11,1	24,7	1,3	5,2	-6,9	0,0	69,0	11,1	24,7
26	3,60	55	-21,4	NO								2,3	5,2	-13,6	0,0	69,0	11,1	19,8
27	3,60	56	-24,8	NO								0,7	0,0	-15,5	0,0	69,0	11,1	19,8
28	3,60	57	-14,9	NO	11,2	66,5	-39,5	5,4	69,0	11,1	24,7	0,8	0,0	-9,4	0,0	69,0	11,1	24,7
13	7,20	71	0,0	NO	0,0	0,0	0,0	0,0	69,0	11,1	14,9	0,0	11,4	-7,1	0,0	69,0	11,1	14,9
14	7,20	72	0,0	NO														
15	7,20	73	0,0	NO								0,0	5,1	-3,2	0,0	69,0	11,1	14,9
16	7,20	74	0,0	NO	0,0	23,2	-14,5	0,0	69,0	11,1	14,9	0,0	7,6	-4,8	0,0	69,0	11,1	14,9
17	7,20	75	0,0	NO	0,0	0,0	0,0	0,0	69,0	11,1	14,9							
20	7,20	78	0,0	NO	0,0	24,4	-15,3	0,4	69,0	11,1	14,9							
21	7,20	79	0,0	NO	0,0	0,0	0,0	0,0	69,0	11,1	14,9							
24	7,20	82	0,0	NO	0,0	28,1	-17,5	2,7	69,0	11,1	14,9							
25	7,20	83	0,0	NO	0,0	0,0	0,0	0,0	69,0	11,1	14,9	0,0	2,5	-1,5	0,0	69,0	11,1	14,9
26	7,20	84	0,0	NO								0,0	3,7	-2,3	0,0	69,0	11,1	14,9
27	7,20	85	0,0	NO								0,0	0,0	0,0	0,0	69,0	11,1	14,9
28	7,20	86	0,0	NO	0,0	28,1	-17,5	2,7	69,0	11,1	14,9	0,0	0,0	0,0	0,0	69,0	11,1	14,9
29	7,20	87	0,0	NO								0,0	6,3	-4,0	0,0	69,0	11,1	14,9

## RISULTATI VERIFICHE NODI CLS - PUSH N.ro: 30 - Prop.Massa:-Fx-0.3\*Fy-Ecc5%

IDENTIFICATIVO					DIREZIONE 'X'							DIREZIONE 'Y'						
Filo N.ro	Quota (m)	Nod3d Nro	Nsup (t)	Coll Nodo	TaglSup (t)	TrazAf (t)	SgmCo	SgmTr	RcLim	RtLim	DeltRt	TaglSup (t)	TrazAf (t)	SgmCo	SgmTr	RcLim	RtLim	DeltRt
1	0,00	1	-28,5	NO	16,0	15,1	-17,8	0,0	69,0	11,1	9,9	5,3	3,9	-17,8	0,0	69,0	11,1	9,9
2	0,00	2	-34,2	NO								4,1	4,9	-21,4	0,0	69,0	11,1	9,9
3	0,00	3	-46,6	NO								6,1	6,3	-29,1	0,0	69,0	11,1	9,9
4	0,00	4	-15,8	NO	12,0	0,0	-13,9	0,0	69,0	11,1	9,9	8,2	5,4	-10,2	0,0	69,0	11,1	9,9
5	0,00	5	-40,4	NO	16,9	15,7	-25,3	0,0	69,0	11,1	9,9							
8	0,00	8	-23,7	NO	12,5	0,0	-18,2	0,0	69,0	11,1	9,9							
9	0,00	9	-25,3	NO	16,6	22,5	-16,6	0,0	69,0	11,1	9,9							
12	0,00	12	-14,6	NO	12,8	0,0	-13,8	0,0	69,0	11,1	9,9							
13	0,00	13	-39,1	NO	17,9	25,4	-25,3	0,0	69,0	11,1	9,9	0,8	2,3	-24,5	0,0	69,0	11,1	9,9
14	0,00	14	-9,7	NO								4,4	0,0	-7,1	0,0	69,0	11,1	9,9
16	0,00	17	-6,3	NO	14,9	0,0	-11,5	0,0	69,0	11,1	9,9							
17	0,00	18	-42,2	NO	18,1	17,4	-26,4	0,0	69,0	11,1	9,9							
20	0,00	21	-15,3	NO	15,6	0,0	-15,6	0,0	69,0	11,1	9,9							
21	0,00	22	-62,2	NO	19,9	18,6	-38,9	0,0	69,0	11,1	9,9							
24	0,00	25	-3,1	NO	14,9	0,0	-10,3	0,0	69,0	11,1	9,9							
25	0,00	26	-46,3	NO	18,5	18,0	-28,9	0,0	69,0	11,1	9,9	5,1	0,0	-29,3	0,0	69,0	11,1	9,9
26	0,00	27	-56,6	NO								2,6	0,0	-35,4	0,0	69,0	11,1	9,9
27	0,00	28	-55,7	NO								1,7	0,0	-34,8	0,0	69,0	11,1	9,9
28	0,00	29	-9,6	NO	15,5	0,0	-13,1	0,0	69,0	11,1	9,9	5,4	0,0	-7,5	0,0	69,0	11,1	9,9
1	3,60	30	0,0	NO	0,0	35,9	-22,5	2,7	69,0	11,1	19,8	0,0	16,0	-10,0	0,0	69,0	11,1	19,8
2	3,60	31	0,0	NO								0,0	11,1	-6,9	0,0	69,0	11,1	19,8
3	3,60	32	0,0	NO								0,0	17,2	-10,8	0,0	69,0	11,1	19,8
4	3,60	33	0,0	NO	0,0	0,0	0,0	0,0	69,0	11,1	19,8	0,0	22,2	-13,8	0,0	69,0	11,1	19,8
5	3,60	34	0,0	NO	0,0	35,9	-22,5	2,7	69,0	11,1	19,8							
8	3,60	37	0,0	NO	0,0	0,0	0,0	0,0	69,0	11,1	24,7							
9	3,60	38	0,0	NO	0,0	35,9	-22,5	2,7	69,0	11,1	19,8							
12	3,60	41	0,0	NO	0,0	0,0	0,0	0,0	69,0	11,1	19,8							
13	3,60	42	-10,3	NO	2,0	41,6	-28,2	1,9	69,0	11,1	19,8	2,3	0,0	-6,8	0,0	69,0	11,1	19,8
14	3,60	43	-10,5	NO								0,6	0,0	-6,6	0,0	69,0	11,1	19,8
16	3,60	45	-9,5	NO	2,0	0,0	-6,2	0,0	69,0	11,1	19,8							
17	3,60	46	-13,2	SI	10,1	66,5	-39,7	11,6	69,0	11,1	19,8							
20	3,60	49	-8,0	NO	1,5	0,0	-5,2	0,0	69,0	11,1	19,8							
21	3,60	50	-27,1	NO	9,0	69,4	-47,2	10,4	69,0	11,1	19,8							
24	3,60	53	-4,5	NO	1,0	0,0	-2,9	0,0	69,0	11,1	19,8							
25	3,60	54	-16,9	NO	7,5	63,7	-40,8	5,5	69,0	11,1	24,7	4,3	0,0	-11,2	0,0	69,0	11,1	24,7
26	3,60	55	-24,8	NO								3,0	1,3	-15,6	0,0	69,0	11,1	19,8
27	3,60	56	-22,6	NO								0,9	0,0	-14,2	0,0	69,0	11,1	19,8
28	3,60	57	-6,0	NO	0,5	0,0	-3,8	0,0	69,0	11,1	24,7	3,3	0,0	-4,6	0,0	69,0	11,1	24,7
13	7,20	71	0,0	NO	0,0	13,2	-8,2	0,0	69,0	11,1	14,9	0,0	0,0	0,0	0,0	69,0	11,1	14,9
14	7,20	72	0,0	NO														
15	7,20	73	0,0	NO								0,0	7,6	-4,8	0,0	69,0	11,1	14,9
16	7,20	74	0,0	NO	0,0	0,0	0,0	0,0	69,0	11,1	14,9	0,0	15,2	-9,5	0,0	69,0	11,1	14,9
17	7,20	75	0,0	NO	0,0	27,1	-16,9	2,1	69,0	11,1	14,9							
20	7,20	78	0,0	NO	0,0	0,0	0,0	0,0	69,0	11,1	14,9							
21	7,20	79	0,0	NO	0,0	23,4	-14,6	0,0	69,0	11,1	14,9							
24	7,20	82	0,0	NO	0,0	0,0	0,0	0,0	69,0	11,1	14,9							
25	7,20	83	0,0	NO	0,0	18,5	-11,5	0,0	69,0	11,1	14,9	0,0	8,6	-5,4	0,0	69,0	11,1	14,9
26	7,20	84	0,0	NO								0,0	4,9	-3,1	0,0	69,0	11,1	14,9
27	7,20	85	0,0	NO								0,0	0,0	0,0	0,0	69,0	11,1	14,9
28	7,20	86	0,0	NO	0,0	0,0	0,0	0,0	69,0	11,1	14,9	0,0	0,0	0,0	0,0	69,0	11,1	14,9
29	7,20	87	0,0	NO								0,0	10,1	-6,3	0,0	69,0	11,1	14,9

## RISULTATI VERIFICHE NODI CLS - PUSH N.ro: 31 - Prop.Massa:+Fy-0.3\*Fx-Ecc5%

IDENTIFICATIVO					DIREZIONE 'X'							DIREZIONE 'Y'						
Filo N.ro	Quota (m)	Nod3d Nro	Nsup (t)	Coll Nodo	TaglSup (t)	TrazAf (t)	SgmCo	SgmTr	RcLim	RtLim	DeltRt	TaglSup (t)	TrazAf (t)	SgmCo	SgmTr	RcLim	RtLim	DeltRt
1	0,00	1	-16,6	NO	7,8	7,0	-10,4	0,0	69,0	11,1	9,9	14,1	0,0	-15,4	0,0	69,0	11,1	9,9
2	0,00	2	-28,9	NO								14,1	0,0	-21,7	0,0	69,0	11,1	9,9

## RISULTATI VERIFICHE NODI CLS - PUSH N.ro: 31 - Prop.Massa:+Fy-0.3\*Fx-Ecc5%

IDENTIFICATIVO					DIREZIONE 'X'							DIREZIONE 'Y'						
Filo N.ro	Quota (m)	Nod3d Nro	Nsup (t)	Coll Nodo	TaglSup (t)	TrazAf (t)	SgmCo ----- kg/cmq -----	SgmTr	RcLim	RtLim	DeltRt	TaglSup (t)	TrazAf (t)	SgmCo ----- kg/cmq -----	SgmTr	RcLim	RtLim	DeltRt
3	0,00	3	-37,1	NO								14,8	0,0	-26,4	0,0	69,0	11,1	9,9
4	0,00	4	-9,1	NO	6,3	0,0	-7,7	0,0	69,0	11,1	9,9	14,0	0,0	-12,0	0,0	69,0	11,1	9,9
5	0,00	5	-31,0	NO	4,4	4,7	-19,4	0,0	69,0	11,1	9,9							
8	0,00	8	-27,0	NO	2,6	0,0	-17,0	0,0	69,0	11,1	9,9							
9	0,00	9	-2,5	NO	4,7	6,9	-2,4	0,0	69,0	11,1	9,9							
12	0,00	12	3,7	NO	1,2	0,0	-0,2	0,0	69,0	11,1	9,9							
13	0,00	13	-20,2	NO	8,2	7,9	-12,6	0,0	69,0	11,1	9,9	15,5	0,0	-17,9	0,0	69,0	11,1	9,9
14	0,00	14	-27,0	NO								17,1	17,5	-16,9	0,0	69,0	11,1	9,9
16	0,00	17	-20,7	NO	2,6	0,0	-13,1	0,0	69,0	11,1	9,9							
17	0,00	18	-4,4	NO	4,1	4,2	-2,7	0,0	69,0	11,1	9,9							
20	0,00	21	-0,1	NO	3,0	0,0	-1,9	0,0	69,0	11,1	9,9							
21	0,00	22	-76,4	NO	5,6	5,4	-47,7	0,0	69,0	11,1	9,9							
24	0,00	25	-49,2	NO	1,0	0,0	-30,7	0,0	69,0	11,1	9,9							
25	0,00	26	-48,4	NO	4,4	4,8	-30,3	0,0	69,0	11,1	9,9							
26	0,00	27	-73,6	NO								18,7	21,8	-30,4	0,0	69,0	11,1	9,9
27	0,00	28	-71,3	NO								20,9	22,4	-46,0	0,0	69,0	11,1	9,9
28	0,00	29	-37,2	NO	2,0	0,0	-23,3	0,0	69,0	11,1	9,9	20,6	22,4	-44,6	0,0	69,0	11,1	9,9
1	3,60	30	0,0	NO	0,0	21,3	-13,3	0,0	69,0	11,1	19,8	17,7	19,7	-23,3	0,0	69,0	11,1	9,9
2	3,60	31	0,0	NO								0,0	0,0	0,0	0,0	69,0	11,1	19,8
3	3,60	32	0,0	NO								0,0	0,0	0,0	0,0	69,0	11,1	19,8
4	3,60	33	0,0	NO	0,0	0,0	0,0	0,0	69,0	11,1	19,8	0,0	0,0	0,0	0,0	69,0	11,1	19,8
5	3,60	34	0,0	NO	0,0	10,6	-6,7	0,0	69,0	11,1	19,8							
8	3,60	37	0,0	NO	0,0	0,0	0,0	0,0	69,0	11,1	24,7							
9	3,60	38	0,0	NO	0,0	12,0	-7,5	0,0	69,0	11,1	19,8							
12	3,60	41	0,0	NO	0,0	0,0	0,0	0,0	69,0	11,1	19,8							
13	3,60	42	-6,4	NO	4,5	32,7	-19,7	0,0	69,0	11,1	19,8	1,3	0,0	-4,2	0,0	69,0	11,1	19,8
14	3,60	43	-7,3	NO								0,4	36,4	-24,9	0,6	69,0	11,1	19,8
16	3,60	45	-3,1	NO	1,1	0,0	-2,1	0,0	69,0	11,1	19,8							
17	3,60	46	-0,9	NO	5,5	21,2	-10,1	0,0	69,0	11,1	19,8							
20	3,60	49	-5,5	NO	0,2	0,0	-3,4	0,0	69,0	11,1	19,8							
21	3,60	50	-32,8	NO	4,2	25,5	-27,1	0,0	69,0	11,1	19,8							
24	3,60	53	-20,0	NO	2,4	4,2	-12,6	0,0	69,0	11,1	19,8							
25	3,60	54	-17,3	NO	1,3	18,4	-17,4	0,0	69,0	11,1	24,7							
26	3,60	55	-28,9	NO								7,1	50,5	-33,1	0,0	69,0	11,1	24,7
27	3,60	56	-28,9	NO								5,3	50,5	-38,7	0,8	69,0	11,1	19,8
28	3,60	57	-13,4	NO	3,2	2,8	-8,4	0,0	69,0	11,1	24,7	3,8	50,5	-39,6	1,7	69,0	11,1	19,8
13	7,20	71	0,0	NO	0,0	11,7	-7,3	0,0	69,0	11,1	14,9	3,1	46,6	-31,7	0,0	69,0	11,1	24,7
14	7,20	72	0,0	NO								0,0	0,0	0,0	0,0	69,0	11,1	14,9
15	7,20	73	0,0	NO														
16	7,20	74	0,0	NO	0,0	0,0	0,0	0,0	69,0	11,1	14,9	0,0	0,0	0,0	0,0	69,0	11,1	14,9
17	7,20	75	0,0	NO	0,0	12,3	-7,7	0,0	69,0	11,1	14,9							
20	7,20	78	0,0	NO	0,0	0,0	0,0	0,0	69,0	11,1	14,9							
21	7,20	79	0,0	NO	0,0	8,6	-5,4	0,0	69,0	11,1	14,9							
24	7,20	82	0,0	NO	0,0	2,4	-1,5	0,0	69,0	11,1	14,9							
25	7,20	83	0,0	NO	0,0	1,2	-0,8	0,0	69,0	11,1	14,9							
26	7,20	84	0,0	NO								0,0	25,8	-16,2	1,3	69,0	11,1	14,9
27	7,20	85	0,0	NO								0,0	22,2	-13,8	0,0	69,0	11,1	14,9
28	7,20	86	0,0	NO								0,0	16,0	-10,0	0,0	69,0	11,1	14,9
29	7,20	87	0,0	NO	0,0	4,9	-3,1	0,0	69,0	11,1	14,9	0,0	12,3	-7,7	0,0	69,0	11,1	14,9
												0,0	0,0	0,0	0,0	69,0	11,1	14,9

## RISULTATI VERIFICHE NODI CLS - PUSH N.ro: 32 - Prop.Massa:-Fy-0.3\*Fx-Ecc5%

IDENTIFICATIVO					DIREZIONE 'X'							DIREZIONE 'Y'						
Filo N.ro	Quota (m)	Nod3d Nro	Nsup (t)	Coll Nodo	TaglSup (t)	TrazAf (t)	SgmCo ----- kg/cmq -----	SgmTr	RcLim	RtLim	DeltRt	TaglSup (t)	TrazAf (t)	SgmCo ----- kg/cmq -----	SgmTr	RcLim	RtLim	DeltRt
1	0,00	1	-28,8	NO	5,6	6,4	-18,0	0,0	69,0	11,1	9,9	16,9	13,7	-18,2	0,0	69,0	11,1	9,9
2	0,00	2	-45,5	NO								18,6	20,4	-28,5	0,0	69,0	11,1	9,9
3	0,00	3	-50,8	NO								19,2	20,4	-31,7	0,0	69,0	11,1	9,9
4	0,00	4	-22,9	NO	6,0	0,0	-15,2	0,0	69,0	11,1	9,9	16,5	12,7	-14,7	0,0	69,0	11,1	9,9
5	0,00	5	-33,3	NO	5,4	5,2	-20,8	0,0	69,0	11,1	9,9							
8	0,00	8	-28,3	NO	3,8	0,0	-18,0	0,0	69,0	11,1	9,9							
9	0,00	9	-26,1	NO	4,1	6,9	-16,5	0,0	69,0	11,1	9,9							
12	0,00	12	-21,6	NO	1,5	0,0	-13,6	0,0	69,0	11,1	9,9							
13	0,00	13	-27,7	NO	2,9	5,2	-17,4	0,0	69,0	11,1	9,9	16,6	14,6	-17,4	0,0	69,0	11,1	9,9
14	0,00	14	-15,9	NO								15,6	0,0	-15,9	0,0	69,0	11,1	9,9
16	0,00	17	-17,9	NO	3,0	0,0	-11,5	0,0	69,0	11,1	9,9							
17	0,00	18	-51,5	NO	5,0	5,4	-32,2	0,0	69,0	11,1	9,9							
20	0,00	21	-28,5	NO	3,2	0,0	-18,0	0,0	69,0	11,1	9,9							
21	0,00	22	-21,4	NO	6,8	6,6	-13,4	0,0	69,0	11,1	9,9							
24	0,00	25	-3,0	NO	0,6	0,0	-2,0	0,0	69,0	11,1	9,9							
25	0,00	26	-28,1	NO	6,9	6,6	-17,5	0,0	69,0	11,1	9,9	17,1	0,0	-22,6	0,0	69,0	11,1	9,9
26	0,00	27	-49,2	NO								18,9	0,0	-34,8	0,0	69,0	11,1	9,9
27	0,00	28	-48,5	NO								18,4	0,0	-34,2	0,0	69,0	11,1	9,9
28	0,00	29	-15,9	NO	0,4	0,0	-10,0	0,0	69,0	11,1	9,9	15,9	0,0	-16,1	0,0	69,0	11,1	9,9
1	3,60	30	0,0	NO	0,0	13,3	-8,3	0,0	69,0	11,1	19,8	0,0	43,1	-26,9	7,1	69,0	11,1	19,8
2	3,60	31	0,0	NO								0,0	43,1	-26,9	7,1	69,0	11,1	19,8
3	3,60	32	0,0	NO								0,0	43,1	-26,9	7,1	69,0	11,1	19,8
4	3,60	33	0,0	NO	0,0	0,0	0,0	0,0	69,0	11,1	19,8	0,0	43,1	-26,9	7,1	69,0	11,1	19,8
5	3,60	34	0,0	NO	0,0	13,3	-8,3	0,0	69,0	11,1	19,8							
8	3,60	37	0,0	NO	0,0	0,0	0,0	0,0	69,0	11,1	24,7							
9	3,60	38	0,0	NO	0,0	10,6	-6,7	0,0	69,0	11,1	19,8							
12	3,60	41	0,0	NO	0,0	0,0	0,0	0,0	69,0	11,1	19,8							
13	3,60	42	-7,5	NO	0,7	7,4	-7,1	0,0	69,0	11,1	19,8	2,3	35,9	-23,5	0,0	69,0	11,1	19,8
14	3,60	43	-14,1	NO								3,7	0,0	-9,4	0,0	69,0	11,1	19,8

## RISULTATI VERIFICHE NODI CLS - PUSH N.ro: 32 - Prop.Massa:-Fy-0.3\*Fx-Ecc5%

IDENTIFICATIVO					DIREZIONE 'X'							DIREZIONE 'Y'						
Filo N.ro	Quota (m)	Nod3d Nro	Nsup (t)	Coll Nodo	TaglSup (t)	TrazAf (t)	SgmCo	SgmTr	RcLim	RtLim	DeltRt	TaglSup (t)	TrazAf (t)	SgmCo	SgmTr	RcLim	RtLim	DeltRt
16	3,60	45	-14,0	NO	0,7	0,0	-8,8	0,0	69,0	11,1	19,8							
17	3,60	46	-17,4	NO	5,4	24,1	-18,3	0,0	69,0	11,1	19,8							
20	3,60	49	-11,6	NO	0,1	0,0	-7,2	0,0	69,0	11,1	19,8							
21	3,60	50	-11,9	NO	4,8	29,7	-19,7	0,0	69,0	11,1	19,8							
24	3,60	53	-3,3	NO	1,9	2,8	-2,2	0,0	69,0	11,1	19,8							
25	3,60	54	-11,9	NO	4,6	28,3	-19,0	0,0	69,0	11,1	24,7							
26	3,60	55	-21,5	NO								3,9	0,0	-8,2	0,0	69,0	11,1	24,7
27	3,60	56	-22,3	NO								5,6	0,0	-14,3	0,0	69,0	11,1	19,8
28	3,60	57	-7,3	NO	2,2	4,2	-4,9	0,0	69,0	11,1	24,7	3,7	0,0	-14,3	0,0	69,0	11,1	19,8
13	7,20	71	0,0	NO	0,0	0,0	0,0	0,0	69,0	11,1	14,9	0,9	0,0	-4,6	0,0	69,0	11,1	24,7
14	7,20	72	0,0	NO	0,0	0,0	0,0	0,0	69,0	11,1	14,9	0,0	15,2	-9,5	0,0	69,0	11,1	14,9
15	7,20	73	0,0	NO														
16	7,20	74	0,0	NO	0,0	0,0	0,0	0,0	69,0	11,1	14,9	0,0	29,1	-18,2	3,4	69,0	11,1	14,9
17	7,20	75	0,0	NO	0,0	12,3	-7,7	0,0	69,0	11,1	14,9	0,0	29,1	-18,2	3,4	69,0	11,1	14,9
20	7,20	78	0,0	NO	0,0	0,0	0,0	0,0	69,0	11,1	14,9							
21	7,20	79	0,0	NO	0,0	9,8	-6,2	0,0	69,0	11,1	14,9							
24	7,20	82	0,0	NO	0,0	2,4	-1,5	0,0	69,0	11,1	14,9							
25	7,20	83	0,0	NO	0,0	9,8	-6,2	0,0	69,0	11,1	14,9	0,0	0,0	0,0	0,0	69,0	11,1	14,9
26	7,20	84	0,0	NO								0,0	0,0	0,0	0,0	69,0	11,1	14,9
27	7,20	85	0,0	NO								0,0	0,0	0,0	0,0	69,0	11,1	14,9
28	7,20	86	0,0	NO	0,0	2,4	-1,5	0,0	69,0	11,1	14,9	0,0	0,0	0,0	0,0	69,0	11,1	14,9
29	7,20	87	0,0	NO								0,0	29,1	-18,2	3,4	69,0	11,1	14,9

## CAPACITA'/DOMANDA DI SPOSTAMENTO-PUSH N.ro 1-Prop.Modolo:+Fx+0.3\*Fy+Ecc5%

IDENTIFICATIVO		CAPACITA'/DOMANDA SPOSTAMENTI DEI BARICENTRI DI PIANO PER I VARI STATI LIMITE											
Piano Nro	Quota (m)	----- SLO -----			----- SLD -----			----- SLV -----			----- SLC -----		
		X (mm)	Y (mm)	θ(mRad)	X (mm)	Y (mm)	θ(mRad)	X (mm)	Y (mm)	θ(mRad)	X (mm)	Y (mm)	θ (mRad)
1	3,60				11,51	2,83	-0,04	33,66	3,82	0,01	41,66	3,89	0,02
					5,73	1,56	-0,04	17,01	3,45	-0,02	23,12	3,67	0,00
2	7,20				23,87	5,71	0,20	63,55	7,15	0,28	78,72	7,19	0,28
					12,11	3,18	0,07	33,51	6,78	0,29	44,00	7,04	0,30

## CAPACITA'/DOMANDA DI SPOSTAMENTO-PUSH N.ro 2-Prop.Modolo:-Fx+0.3\*Fy+Ecc5%

IDENTIFICATIVO		CAPACITA'/DOMANDA SPOSTAMENTI DEI BARICENTRI DI PIANO PER I VARI STATI LIMITE											
Piano Nro	Quota (m)	----- SLO -----			----- SLD -----			----- SLV -----			----- SLC -----		
		X (mm)	Y (mm)	θ(mRad)	X (mm)	Y (mm)	θ(mRad)	X (mm)	Y (mm)	θ(mRad)	X (mm)	Y (mm)	θ (mRad)
1	3,60				-11,96	2,53	0,34	-24,47	3,82	0,71	-34,21	3,93	0,72
					-5,67	1,35	0,15	-16,00	2,99	0,50	-20,77	3,58	0,66
2	7,20				-25,60	4,99	0,41	-52,16	6,43	0,89	-69,88	6,46	0,92
					-12,32	2,75	0,18	-34,28	5,63	0,60	-44,88	6,22	0,81

## CAPACITA'/DOMANDA DI SPOSTAMENTO-PUSH N.ro 3-Prop.Modolo:+Fy+0.3\*Fx+Ecc5%

IDENTIFICATIVO		CAPACITA'/DOMANDA SPOSTAMENTI DEI BARICENTRI DI PIANO PER I VARI STATI LIMITE											
Piano Nro	Quota (m)	----- SLO -----			----- SLD -----			----- SLV -----			----- SLC -----		
		X (mm)	Y (mm)	θ(mRad)	X (mm)	Y (mm)	θ(mRad)	X (mm)	Y (mm)	θ(mRad)	X (mm)	Y (mm)	θ (mRad)
1	3,60				3,50	11,17	0,03	5,20	35,01	0,11	5,21	35,32	0,11
					1,86	5,24	0,00	4,25	17,18	0,06	4,67	24,32	0,09
2	7,20				6,76	21,03	0,16	8,73	54,69	0,30	8,75	55,13	0,30
					3,82	10,34	0,07	7,74	29,74	0,26	8,17	39,36	0,30

## CAPACITA'/DOMANDA DI SPOSTAMENTO-PUSH N.ro 4-Prop.Modolo:-Fy+0.3\*Fx+Ecc5%

IDENTIFICATIVO		CAPACITA'/DOMANDA SPOSTAMENTI DEI BARICENTRI DI PIANO PER I VARI STATI LIMITE											
Piano Nro	Quota (m)	----- SLO -----			----- SLD -----			----- SLV -----			----- SLC -----		
		X (mm)	Y (mm)	θ(mRad)	X (mm)	Y (mm)	θ(mRad)	X (mm)	Y (mm)	θ(mRad)	X (mm)	Y (mm)	θ (mRad)
1	3,60				2,36	-7,42	0,05	4,40	-23,98	0,14	4,71	-30,12	0,14
					1,69	-5,19	0,03	3,91	-16,10	0,15	4,35	-23,06	0,14
2	7,20				4,58	-14,64	0,18	7,78	-40,43	0,52	8,34	-49,60	0,55
					3,31	-10,22	0,11	6,96	-29,53	0,47	7,69	-39,10	0,51

## CAPACITA'/DOMANDA DI SPOSTAMENTO-PUSH N.ro 5-Prop.Massa:+Fx+0.3\*Fy+Ecc5%

IDENTIFICATIVO		CAPACITA'/DOMANDA SPOSTAMENTI DEI BARICENTRI DI PIANO PER I VARI STATI LIMITE											
Piano Nro	Quota (m)	----- SLO -----			----- SLD -----			----- SLV -----			----- SLC -----		
		X (mm)	Y (mm)	θ(mRad)	X (mm)	Y (mm)	θ(mRad)	X (mm)	Y (mm)	θ(mRad)	X (mm)	Y (mm)	θ (mRad)
1	3,60				11,01	2,78	0,04	34,15	13,64	1,18	43,71	18,66	1,71
					6,48	1,75	-0,01	24,53	8,01	0,60	35,26	14,21	1,24
2	7,20				18,50	4,67	0,18	39,62	15,91	1,38	47,56	21,00	1,92
					11,58	3,05	0,08	31,70	10,21	0,79	40,55	16,50	1,44

## CAPACITA'/DOMANDA DI SPOSTAMENTO-PUSH N.ro 6-Prop.Massa:-Fx+0.3\*Fy+Ecc5%

IDENTIFICATIVO		CAPACITA'/DOMANDA SPOSTAMENTI DEI BARICENTRI DI PIANO PER I VARI STATI LIMITE											
Piano Nro	Quota (m)	----- SLO -----			----- SLD -----			----- SLV -----			----- SLC -----		
		X (mm)	Y (mm)	θ(mRad)	X (mm)	Y (mm)	θ(mRad)	X (mm)	Y (mm)	θ(mRad)	X (mm)	Y (mm)	θ (mRad)

**CAPACITA'/DOMANDA DI SPOSTAMENTO-PUSH N.ro 6-Prop.Massa:  $-F_x+0.3*F_y+Ecc5\%$** 

IDENTIFICATIVO		CAPACITA'/DOMANDA SPOSTAMENTI DEI BARICENTRI DI PIANO PER I VARI STATI LIMITE											
Piano Nro	Quota (m)	----- SLO -----			----- SLD -----			----- SLV -----			----- SLC -----		
		X (mm)	Y (mm)	θ(mRad)	X (mm)	Y (mm)	θ(mRad)	X (mm)	Y (mm)	θ(mRad)	X (mm)	Y (mm)	θ (mRad)
1	3,60				-12,70	2,72	0,29	-50,74	5,26	0,88	-67,43	8,15	1,23
					-6,39	1,56	0,13	-21,23	3,16	0,53	-29,65	3,77	0,64
2	7,20				-21,80	4,38	0,33	-63,55	7,09	0,89	-81,76	10,03	1,23
					-11,89	2,66	0,16	-32,30	4,94	0,56	-41,27	5,56	0,66

**CAPACITA'/DOMANDA DI SPOSTAMENTO-PUSH N.ro 7-Prop.Massa:  $+F_y+0.3*F_x+Ecc5\%$** 

IDENTIFICATIVO		CAPACITA'/DOMANDA SPOSTAMENTI DEI BARICENTRI DI PIANO PER I VARI STATI LIMITE											
Piano Nro	Quota (m)	----- SLO -----			----- SLD -----			----- SLV -----			----- SLC -----		
		X (mm)	Y (mm)	θ(mRad)	X (mm)	Y (mm)	θ(mRad)	X (mm)	Y (mm)	θ(mRad)	X (mm)	Y (mm)	θ (mRad)
1	3,60				3,92	13,25	0,07	13,83	50,95	-0,40	18,91	67,31	-0,73
					1,99	5,67	0,01	4,60	19,42	0,11	4,68	27,00	0,17
2	7,20				6,18	20,63	0,14	18,02	60,06	-0,36	24,41	76,52	-0,69
					3,55	9,75	0,06	6,75	27,54	0,17	6,63	35,66	0,20

**CAPACITA'/DOMANDA DI SPOSTAMENTO-PUSH N.ro 8-Prop.Massa:  $-F_y+0.3*F_x+Ecc5\%$** 

IDENTIFICATIVO		CAPACITA'/DOMANDA SPOSTAMENTI DEI BARICENTRI DI PIANO PER I VARI STATI LIMITE											
Piano Nro	Quota (m)	----- SLO -----			----- SLD -----			----- SLV -----			----- SLC -----		
		X (mm)	Y (mm)	θ(mRad)	X (mm)	Y (mm)	θ(mRad)	X (mm)	Y (mm)	θ(mRad)	X (mm)	Y (mm)	θ (mRad)
1	3,60				2,51	-7,93	0,07	22,30	-59,33	0,31	34,63	-79,61	0,32
					1,83	-5,65	0,04	4,24	-18,88	0,14	4,89	-25,67	0,15
2	7,20				4,12	-13,57	0,17	23,78	-70,45	0,58	36,07	-90,76	0,59
					3,06	-9,70	0,10	6,06	-27,19	0,31	6,83	-35,27	0,36

**CAPACITA'/DOMANDA DI SPOSTAMENTO-PUSH N.ro 9-Prop.Modolo:  $+F_x-0.3*F_y+Ecc5\%$** 

IDENTIFICATIVO		CAPACITA'/DOMANDA SPOSTAMENTI DEI BARICENTRI DI PIANO PER I VARI STATI LIMITE											
Piano Nro	Quota (m)	----- SLO -----			----- SLD -----			----- SLV -----			----- SLC -----		
		X (mm)	Y (mm)	θ(mRad)	X (mm)	Y (mm)	θ(mRad)	X (mm)	Y (mm)	θ(mRad)	X (mm)	Y (mm)	θ (mRad)
1	3,60				10,25	-2,37	-0,03	27,56	-3,34	-0,05	29,13	-3,36	-0,05
					5,70	-1,39	-0,04	16,74	-3,12	-0,06	22,72	-3,28	-0,05
2	7,20				21,40	-4,75	0,20	52,62	-6,42	0,23	55,45	-6,47	0,22
					12,03	-2,80	0,08	33,43	-6,00	0,26	43,90	-6,27	0,24

**CAPACITA'/DOMANDA DI SPOSTAMENTO-PUSH N.ro 10-Prop.Modolo:  $-F_x-0.3*F_y+Ecc5\%$** 

IDENTIFICATIVO		CAPACITA'/DOMANDA SPOSTAMENTI DEI BARICENTRI DI PIANO PER I VARI STATI LIMITE											
Piano Nro	Quota (m)	----- SLO -----			----- SLD -----			----- SLV -----			----- SLC -----		
		X (mm)	Y (mm)	θ(mRad)	X (mm)	Y (mm)	θ(mRad)	X (mm)	Y (mm)	θ(mRad)	X (mm)	Y (mm)	θ (mRad)
1	3,60				-11,72	-3,04	0,35	-16,09	-3,53	0,52	-16,16	-3,54	0,52
					-5,70	-1,59	0,15	-16,09	-3,53	0,52	-16,16	-3,54	0,52
2	7,20				-25,03	-6,00	0,44	-34,63	-6,86	0,65	-34,76	-6,87	0,66
					-12,44	-3,21	0,19	-34,63	-6,86	0,65	-34,76	-6,87	0,66

**CAPACITA'/DOMANDA DI SPOSTAMENTO-PUSH N.ro 11-Prop.Modolo:  $+F_y-0.3*F_x+Ecc5\%$** 

IDENTIFICATIVO		CAPACITA'/DOMANDA SPOSTAMENTI DEI BARICENTRI DI PIANO PER I VARI STATI LIMITE											
Piano Nro	Quota (m)	----- SLO -----			----- SLD -----			----- SLV -----			----- SLC -----		
		X (mm)	Y (mm)	θ(mRad)	X (mm)	Y (mm)	θ(mRad)	X (mm)	Y (mm)	θ(mRad)	X (mm)	Y (mm)	θ (mRad)
1	3,60				-2,98	10,63	0,14	-4,77	39,41	0,39	-12,89	66,50	0,96
					-1,71	5,19	0,06	-3,48	17,13	0,26	-3,89	24,10	0,30
2	7,20				-6,35	19,81	0,21	-9,74	59,86	0,44	-20,28	93,46	1,01
					-3,65	10,23	0,10	-7,65	29,13	0,37	-8,33	38,69	0,42

**CAPACITA'/DOMANDA DI SPOSTAMENTO-PUSH N.ro 12-Prop.Modolo:  $-F_y-0.3*F_x+Ecc5\%$** 

IDENTIFICATIVO		CAPACITA'/DOMANDA SPOSTAMENTI DEI BARICENTRI DI PIANO PER I VARI STATI LIMITE											
Piano Nro	Quota (m)	----- SLO -----			----- SLD -----			----- SLV -----			----- SLC -----		
		X (mm)	Y (mm)	θ(mRad)	X (mm)	Y (mm)	θ(mRad)	X (mm)	Y (mm)	θ(mRad)	X (mm)	Y (mm)	θ (mRad)
1	3,60				-2,47	-7,17	0,13	-4,45	-26,32	0,29	-4,94	-35,14	0,28
					-1,86	-5,26	0,09	-3,75	-16,26	0,31	-4,25	-23,03	0,29
2	7,20				-5,53	-14,08	0,21	-9,30	-44,28	0,56	-9,82	-58,07	0,56
					-4,14	-10,35	0,14	-8,65	-29,73	0,53	-9,10	-39,35	0,55

**CAPACITA'/DOMANDA DI SPOSTAMENTO-PUSH N.ro 13-Prop.Massa:  $+F_x-0.3*F_y+Ecc5\%$** 

IDENTIFICATIVO		CAPACITA'/DOMANDA SPOSTAMENTI DEI BARICENTRI DI PIANO PER I VARI STATI LIMITE											
Piano Nro	Quota (m)	----- SLO -----			----- SLD -----			----- SLV -----			----- SLC -----		
		X (mm)	Y (mm)	θ(mRad)	X (mm)	Y (mm)	θ(mRad)	X (mm)	Y (mm)	θ(mRad)	X (mm)	Y (mm)	θ (mRad)
1	3,60				10,76	-2,51	0,04	42,29	-0,64	0,56	65,75	-4,47	0,12
					6,46	-1,60	0,00	22,99	-2,45	0,26	32,16	-0,41	0,55
2	7,20				18,08	-4,13	0,18	50,58	-2,49	0,76	76,04	-6,38	0,33
					11,48	-2,70	0,09	31,32	-4,27	0,44	40,13	-2,25	0,75

**CAPACITA'/DOMANDA DI SPOSTAMENTO-PUSH N.ro 14-Prop.Massa:-Fx+0.3\*Fy+Ecc5%**

IDENTIFICATIVO		CAPACITA'/DOMANDA SPOSTAMENTI DEI BARICENTRI DI PIANO PER I VARI STATI LIMITE											
Piano Nro	Quota (m)	----- SLO -----			----- SLD -----			----- SLV -----			----- SLC -----		
		X (mm)	Y (mm)	θ(mRad)	X (mm)	Y (mm)	θ(mRad)	X (mm)	Y (mm)	θ(mRad)	X (mm)	Y (mm)	θ (mRad)
1	3,60				-12,27	-3,18	0,31	-51,88	-8,98	1,12	-69,13	-13,40	1,52
					-6,44	-1,80	0,14	-21,12	-4,71	0,62	-29,21	-5,66	0,77
2	7,20				-21,34	-5,17	0,35	-66,04	-11,09	1,12	-85,02	-15,48	1,52
					-12,04	-3,10	0,17	-32,60	-6,82	0,66	-41,62	-7,79	0,80

**CAPACITA'/DOMANDA DI SPOSTAMENTO-PUSH N.ro 15-Prop.Massa:+Fy-0.3\*Fx+Ecc5%**

IDENTIFICATIVO		CAPACITA'/DOMANDA SPOSTAMENTI DEI BARICENTRI DI PIANO PER I VARI STATI LIMITE											
Piano Nro	Quota (m)	----- SLO -----			----- SLD -----			----- SLV -----			----- SLC -----		
		X (mm)	Y (mm)	θ(mRad)	X (mm)	Y (mm)	θ(mRad)	X (mm)	Y (mm)	θ(mRad)	X (mm)	Y (mm)	θ (mRad)
1	3,60				-3,18	11,78	0,15	-15,71	49,62	1,09	-21,77	65,98	1,50
					-1,84	5,61	0,06	-4,00	19,38	0,27	-5,68	26,91	0,41
2	7,20				-6,01	18,65	0,19	-22,57	58,78	1,09	-30,24	75,29	1,49
					-3,45	9,64	0,09	-7,46	27,30	0,29	-9,80	35,37	0,42

**CAPACITA'/DOMANDA DI SPOSTAMENTO-PUSH N.ro 16-Prop.Massa:-Fy-0.3\*Fx+Ecc5%**

IDENTIFICATIVO		CAPACITA'/DOMANDA SPOSTAMENTI DEI BARICENTRI DI PIANO PER I VARI STATI LIMITE											
Piano Nro	Quota (m)	----- SLO -----			----- SLD -----			----- SLV -----			----- SLC -----		
		X (mm)	Y (mm)	θ(mRad)	X (mm)	Y (mm)	θ(mRad)	X (mm)	Y (mm)	θ(mRad)	X (mm)	Y (mm)	θ (mRad)
1	3,60				-2,65	-7,76	0,13	-22,75	-59,12	0,02	-33,92	-79,13	0,04
					-2,00	-5,71	0,08	-4,42	-19,07	0,25	-5,19	-25,91	0,23
2	7,20				-5,27	-13,30	0,20	-25,55	-70,14	0,24	-36,84	-90,17	0,27
					-3,95	-9,82	0,13	-8,07	-27,46	0,39	-8,81	-35,59	0,41

**CAPACITA'/DOMANDA DI SPOSTAMENTO-PUSH N.ro 17-Prop.Modolo:+Fx+0.3\*Fy-Ecc5%**

IDENTIFICATIVO		CAPACITA'/DOMANDA SPOSTAMENTI DEI BARICENTRI DI PIANO PER I VARI STATI LIMITE											
Piano Nro	Quota (m)	----- SLO -----			----- SLD -----			----- SLV -----			----- SLC -----		
		X (mm)	Y (mm)	θ(mRad)	X (mm)	Y (mm)	θ(mRad)	X (mm)	Y (mm)	θ(mRad)	X (mm)	Y (mm)	θ (mRad)
1	3,60				12,01	2,90	-0,35	22,62	4,01	-0,76	22,88	4,04	-0,76
					5,72	1,60	-0,15	16,64	3,39	-0,54	21,35	3,86	-0,71
2	7,20				25,31	5,75	-0,42	48,39	7,24	-0,96	48,95	7,27	-0,97
					12,46	3,21	-0,19	34,91	6,59	-0,66	45,59	7,10	-0,90

**CAPACITA'/DOMANDA DI SPOSTAMENTO-PUSH N.ro 18-Prop.Modolo:-Fx+0.3\*Fy-Ecc5%**

IDENTIFICATIVO		CAPACITA'/DOMANDA SPOSTAMENTI DEI BARICENTRI DI PIANO PER I VARI STATI LIMITE											
Piano Nro	Quota (m)	----- SLO -----			----- SLD -----			----- SLV -----			----- SLC -----		
		X (mm)	Y (mm)	θ(mRad)	X (mm)	Y (mm)	θ(mRad)	X (mm)	Y (mm)	θ(mRad)	X (mm)	Y (mm)	θ (mRad)
1	3,60				-11,48	2,61	0,01	-30,59	3,45	-0,10	-38,91	3,48	-0,10
					-5,67	1,39	0,04	-16,92	3,15	-0,07	-23,27	3,38	-0,10
2	7,20				-23,68	5,24	-0,26	-57,07	6,69	-0,45	-72,75	6,65	-0,44
					-11,95	2,79	-0,08	-33,30	6,29	-0,41	-43,74	6,64	-0,46

**CAPACITA'/DOMANDA DI SPOSTAMENTO-PUSH N.ro 19-Prop.Modolo:+Fy+0.3\*Fx-Ecc5%**

IDENTIFICATIVO		CAPACITA'/DOMANDA SPOSTAMENTI DEI BARICENTRI DI PIANO PER I VARI STATI LIMITE											
Piano Nro	Quota (m)	----- SLO -----			----- SLD -----			----- SLV -----			----- SLC -----		
		X (mm)	Y (mm)	θ(mRad)	X (mm)	Y (mm)	θ(mRad)	X (mm)	Y (mm)	θ(mRad)	X (mm)	Y (mm)	θ (mRad)
1	3,60				2,70	8,29	-0,15	4,72	31,20	-0,33	4,84	33,43	-0,33
					1,86	5,30	-0,09	3,90	17,58	-0,31	4,36	24,48	-0,33
2	7,20				6,03	16,09	-0,23	9,68	49,43	-0,63	9,84	52,65	-0,65
					4,12	10,44	-0,14	8,58	30,06	-0,52	9,21	39,74	-0,59

**CAPACITA'/DOMANDA DI SPOSTAMENTO-PUSH N.ro 20-Prop.Modolo:-Fy+0.3\*Fx-Ecc5%**

IDENTIFICATIVO		CAPACITA'/DOMANDA SPOSTAMENTI DEI BARICENTRI DI PIANO PER I VARI STATI LIMITE											
Piano Nro	Quota (m)	----- SLO -----			----- SLD -----			----- SLV -----			----- SLC -----		
		X (mm)	Y (mm)	θ(mRad)	X (mm)	Y (mm)	θ(mRad)	X (mm)	Y (mm)	θ(mRad)	X (mm)	Y (mm)	θ (mRad)
1	3,60				2,76	-8,97	-0,12	3,94	-28,71	-0,29	4,18	-34,96	-0,31
					1,70	-5,14	-0,06	3,34	-16,01	-0,24	3,66	-22,68	-0,27
2	7,20				5,93	-17,44	-0,19	8,61	-47,65	-0,42	9,05	-57,43	-0,44
					3,62	-10,14	-0,09	7,58	-29,23	-0,35	8,15	-38,75	-0,39

**CAPACITA'/DOMANDA DI SPOSTAMENTO-PUSH N.ro 21-Prop.Massa:+Fx+0.3\*Fy-Ecc5%**

IDENTIFICATIVO		CAPACITA'/DOMANDA SPOSTAMENTI DEI BARICENTRI DI PIANO PER I VARI STATI LIMITE											
Piano Nro	Quota (m)	----- SLO -----			----- SLD -----			----- SLV -----			----- SLC -----		
		X (mm)	Y (mm)	θ(mRad)	X (mm)	Y (mm)	θ(mRad)	X (mm)	Y (mm)	θ(mRad)	X (mm)	Y (mm)	θ (mRad)
1	3,60				12,71	3,00	-0,31	48,73	1,61	-1,05	65,38	0,51	-1,27
					6,43	1,79	-0,14	21,05	3,23	-0,60	28,93	2,92	-0,79
2	7,20				21,98	4,95	-0,36	62,54	3,73	-1,11	80,14	2,61	-1,33



**CAPACITA'/DOMANDA DI SPOSTAMENTO-PUSH N.ro 21-Prop.Massa:+Fx+0.3\*Fy-Ecc5%**

IDENTIFICATIVO		CAPACITA'/DOMANDA SPOSTAMENTI DEI BARICENTRI DI PIANO PER I VARI STATI LIMITE											
Piano Nro	Quota (m)	----- SLO -----			----- SLD -----			----- SLV -----			----- SLC -----		
		X (mm)	Y (mm)	θ(mRad)	X (mm)	Y (mm)	θ(mRad)	X (mm)	Y (mm)	θ(mRad)	X (mm)	Y (mm)	θ (mRad)
					12,03	3,09	-0,17	32,60	5,33	-0,66	41,62	5,06	-0,85

**CAPACITA'/DOMANDA DI SPOSTAMENTO-PUSH N.ro 22-Prop.Massa:-Fx+0.3\*Fy-Ecc5%**

IDENTIFICATIVO		CAPACITA'/DOMANDA SPOSTAMENTI DEI BARICENTRI DI PIANO PER I VARI STATI LIMITE											
Piano Nro	Quota (m)	----- SLO -----			----- SLD -----			----- SLV -----			----- SLC -----		
		X (mm)	Y (mm)	θ(mRad)	X (mm)	Y (mm)	θ(mRad)	X (mm)	Y (mm)	θ(mRad)	X (mm)	Y (mm)	θ (mRad)
1	3,60				-13,16	2,97	-0,12	-42,71	4,73	-0,33	-57,55	4,82	-0,27
					-6,39	1,60	0,00	-23,04	4,31	-0,36	-31,25	4,65	-0,37
2	7,20				-20,87	4,73	-0,29	-52,00	6,72	-0,59	-67,49	6,86	-0,55
					-11,39	2,70	-0,09	-31,20	6,25	-0,59	-39,98	6,62	-0,61

**CAPACITA'/DOMANDA DI SPOSTAMENTO-PUSH N.ro 23-Prop.Massa:+Fy+0.3\*Fx-Ecc5%**

IDENTIFICATIVO		CAPACITA'/DOMANDA SPOSTAMENTI DEI BARICENTRI DI PIANO PER I VARI STATI LIMITE											
Piano Nro	Quota (m)	----- SLO -----			----- SLD -----			----- SLV -----			----- SLC -----		
		X (mm)	Y (mm)	θ(mRad)	X (mm)	Y (mm)	θ(mRad)	X (mm)	Y (mm)	θ(mRad)	X (mm)	Y (mm)	θ (mRad)
1	3,60				2,94	9,24	-0,15	16,99	48,83	-1,06	23,67	64,80	-1,51
					1,99	5,73	-0,08	4,33	19,52	-0,27	5,20	27,14	-0,30
2	7,20				5,81	15,43	-0,23	23,81	58,05	-1,22	32,24	74,14	-1,66
					3,93	9,86	-0,13	8,02	27,79	-0,39	9,02	35,95	-0,44

**CAPACITA'/DOMANDA DI SPOSTAMENTO-PUSH N.ro 24-Prop.Massa:-Fy+0.3\*Fx-Ecc5%**

IDENTIFICATIVO		CAPACITA'/DOMANDA SPOSTAMENTI DEI BARICENTRI DI PIANO PER I VARI STATI LIMITE											
Piano Nro	Quota (m)	----- SLO -----			----- SLD -----			----- SLV -----			----- SLC -----		
		X (mm)	Y (mm)	θ(mRad)	X (mm)	Y (mm)	θ(mRad)	X (mm)	Y (mm)	θ(mRad)	X (mm)	Y (mm)	θ (mRad)
1	3,60				2,96	-9,67	-0,12	19,47	-57,86	-0,36	31,56	-77,74	-0,39
					1,84	-5,60	-0,05	3,90	-18,97	-0,23	4,53	-25,99	-0,26
2	7,20				5,52	-16,05	-0,16	23,50	-68,12	-0,37	35,70	-88,04	-0,39
					3,43	-9,62	-0,08	7,22	-27,02	-0,26	8,08	-35,06	-0,28

**CAPACITA'/DOMANDA DI SPOSTAMENTO-PUSH N.ro 25-Prop.Modolo:+Fx-0.3\*Fy-Ecc5%**

IDENTIFICATIVO		CAPACITA'/DOMANDA SPOSTAMENTI DEI BARICENTRI DI PIANO PER I VARI STATI LIMITE											
Piano Nro	Quota (m)	----- SLO -----			----- SLD -----			----- SLV -----			----- SLC -----		
		X (mm)	Y (mm)	θ(mRad)	X (mm)	Y (mm)	θ(mRad)	X (mm)	Y (mm)	θ(mRad)	X (mm)	Y (mm)	θ (mRad)
1	3,60				11,75	-2,46	-0,33	22,80	-3,78	-0,75	23,13	-3,83	-0,76
					5,68	-1,35	-0,15	16,45	-3,04	-0,52	21,00	-3,59	-0,69
2	7,20				24,68	-4,85	-0,39	49,19	-7,03	-0,94	49,93	-7,10	-0,96
					12,34	-2,76	-0,18	34,54	-5,79	-0,63	45,16	-6,69	-0,86

**CAPACITA'/DOMANDA DI SPOSTAMENTO-PUSH N.ro 26-Prop.Modolo:-Fx-0.3\*Fy-Ecc5%**

IDENTIFICATIVO		CAPACITA'/DOMANDA SPOSTAMENTI DEI BARICENTRI DI PIANO PER I VARI STATI LIMITE											
Piano Nro	Quota (m)	----- SLO -----			----- SLD -----			----- SLV -----			----- SLC -----		
		X (mm)	Y (mm)	θ(mRad)	X (mm)	Y (mm)	θ(mRad)	X (mm)	Y (mm)	θ(mRad)	X (mm)	Y (mm)	θ (mRad)
1	3,60				-11,73	-2,90	0,04	-32,78	-3,59	0,02	-42,47	-3,66	0,02
					-5,71	-1,57	0,04	-16,90	-3,32	0,02	-22,93	-3,50	0,02
2	7,20				-24,35	-5,83	-0,21	-62,34	-6,97	-0,25	-80,57	-7,12	-0,23
					-12,09	-3,18	-0,07	-33,58	-6,50	-0,27	-44,07	-6,75	-0,27

**CAPACITA'/DOMANDA DI SPOSTAMENTO-PUSH N.ro 27-Prop.Modolo:+Fy-0.3\*Fx-Ecc5%**

IDENTIFICATIVO		CAPACITA'/DOMANDA SPOSTAMENTI DEI BARICENTRI DI PIANO PER I VARI STATI LIMITE											
Piano Nro	Quota (m)	----- SLO -----			----- SLD -----			----- SLV -----			----- SLC -----		
		X (mm)	Y (mm)	θ(mRad)	X (mm)	Y (mm)	θ(mRad)	X (mm)	Y (mm)	θ(mRad)	X (mm)	Y (mm)	θ (mRad)
1	3,60				-2,46	7,84	-0,06	-4,81	33,70	-0,08	-5,44	45,49	-0,03
					-1,70	5,23	-0,03	-3,94	17,22	-0,12	-4,33	24,36	-0,11
2	7,20				-4,74	15,39	-0,18	-8,08	52,21	-0,50	-9,00	68,92	-0,56
					-3,34	10,30	-0,11	-6,85	29,54	-0,40	-7,39	39,14	-0,47

**CAPACITA'/DOMANDA DI SPOSTAMENTO-PUSH N.ro 28-Prop.Modolo:-Fy-0.3\*Fx-Ecc5%**

IDENTIFICATIVO		CAPACITA'/DOMANDA SPOSTAMENTI DEI BARICENTRI DI PIANO PER I VARI STATI LIMITE											
Piano Nro	Quota (m)	----- SLO -----			----- SLD -----			----- SLV -----			----- SLC -----		
		X (mm)	Y (mm)	θ(mRad)	X (mm)	Y (mm)	θ(mRad)	X (mm)	Y (mm)	θ(mRad)	X (mm)	Y (mm)	θ (mRad)
1	3,60				-2,83	-8,37	0,00	-5,62	-35,27	-0,17	-5,95	-42,72	-0,19
					-1,85	-5,21	0,00	-4,26	-15,56	-0,08	-4,81	-22,26	-0,12
2	7,20				-5,86	-16,60	-0,11	-9,37	-59,00	-0,45	-9,68	-71,47	-0,46
					-3,83	-10,27	-0,06	-7,92	-29,40	-0,31	-8,50	-38,98	-0,37

**CAPACITA'/DOMANDA DI SPOSTAMENTO-PUSH N.ro 29-Prop.Massa:+Fx-0.3\*Fy-Ecc5%**

IDENTIFICATIVO		CAPACITA'/DOMANDA SPOSTAMENTI DEI BARICENTRI DI PIANO PER I VARI STATI LIMITE											
----------------	--	---	--	--	--	--	--	--	--	--	--	--	--

**C.D.S.**

Piano Nro	Quota (m)	----- SLO -----			----- SLD -----			----- SLV -----			----- SLC -----		
		X (mm)	Y (mm)	θ(mRad)	X (mm)	Y (mm)	θ(mRad)	X (mm)	Y (mm)	θ(mRad)	X (mm)	Y (mm)	θ (mRad)
1	3,60				12,55	-2,73	-0,30	45,95	-14,61	-1,88	61,39	-18,67	-2,36
2	7,20				6,39	-1,56	-0,13	20,84	-4,63	-0,63	27,84	-7,91	-1,03
					21,62	-4,37	-0,34	62,97	-16,50	-1,92	80,49	-20,61	-2,40
					11,91	-2,66	-0,16	32,34	-6,37	-0,68	41,31	-9,71	-1,08

**CAPACITA'/DOMANDA DI SPOSTAMENTO-PUSH N.ro 30-Prop.Massa:-Fx-0.3\*Fy-Ecc5%**

IDENTIFICATIVO		CAPACITA'/DOMANDA SPOSTAMENTI DEI BARICENTRI DI PIANO PER I VARI STATI LIMITE											
Piano Nro	Quota (m)	----- SLO -----			----- SLD -----			----- SLV -----			----- SLC -----		
		X (mm)	Y (mm)	θ(mRad)	X (mm)	Y (mm)	θ(mRad)	X (mm)	Y (mm)	θ(mRad)	X (mm)	Y (mm)	θ (mRad)
1	3,60				-13,17	-3,13	-0,07	-46,60	-4,60	-0,10	-58,01	-5,00	-0,04
					-6,43	-1,77	0,01	-22,78	-3,75	-0,21	-31,10	-4,07	-0,18
2	7,20				-21,20	-5,15	-0,22	-56,57	-6,76	-0,33	-68,50	-7,16	-0,29
					-11,53	-3,07	-0,08	-31,51	-5,89	-0,41	-40,34	-6,22	-0,39

**CAPACITA'/DOMANDA DI SPOSTAMENTO-PUSH N.ro 31-Prop.Massa:+Fy-0.3\*Fx-Ecc5%**

IDENTIFICATIVO		CAPACITA'/DOMANDA SPOSTAMENTI DEI BARICENTRI DI PIANO PER I VARI STATI LIMITE											
Piano Nro	Quota (m)	----- SLO -----			----- SLD -----			----- SLV -----			----- SLC -----		
		X (mm)	Y (mm)	θ(mRad)	X (mm)	Y (mm)	θ(mRad)	X (mm)	Y (mm)	θ(mRad)	X (mm)	Y (mm)	θ (mRad)
1	3,60				-2,68	8,57	-0,08	-12,33	52,11	0,42	-16,29	68,97	0,68
					-1,83	5,67	-0,04	-4,27	19,42	-0,12	-5,63	26,92	-0,02
2	7,20				-4,32	14,44	-0,17	-16,51	61,47	0,21	-21,52	78,44	0,47
					-3,08	9,74	-0,11	-6,18	27,51	-0,28	-8,03	35,62	-0,20

**CAPACITA'/DOMANDA DI SPOSTAMENTO-PUSH N.ro 32-Prop.Massa:-Fy-0.3\*Fx-Ecc5%**

IDENTIFICATIVO		CAPACITA'/DOMANDA SPOSTAMENTI DEI BARICENTRI DI PIANO PER I VARI STATI LIMITE											
Piano Nro	Quota (m)	----- SLO -----			----- SLD -----			----- SLV -----			----- SLC -----		
		X (mm)	Y (mm)	θ(mRad)	X (mm)	Y (mm)	θ(mRad)	X (mm)	Y (mm)	θ(mRad)	X (mm)	Y (mm)	θ (mRad)
1	3,60				-3,07	-9,25	-0,03	-23,78	-55,81	-0,82	-34,42	-75,67	-0,82
					-1,99	-5,66	-0,01	-4,73	-19,06	-0,14	-5,65	-26,00	-0,20
2	7,20				-5,32	-15,55	-0,10	-23,36	-66,48	-0,87	-33,98	-86,38	-0,87
					-3,58	-9,74	-0,05	-6,80	-27,28	-0,19	-7,57	-35,38	-0,25

# CORPO B

## RELAZIONE DI CALCOLO

Sono illustrati con la presente i risultati dei calcoli che riguardano il progetto delle armature, la verifica delle tensioni di lavoro dei materiali e del terreno.

- **NORMATIVA DI RIFERIMENTO**

I calcoli sono condotti nel pieno rispetto della normativa vigente e, in particolare, la normativa cui viene fatto riferimento nelle fasi di calcolo, verifica e progettazione è costituita dalle *Norme Tecniche per le Costruzioni*, emanate con il D.M. 17/01/2018 pubblicato nel suppl. 8 G.U. 42 del 20/02/2018, nonché la Circolare del Ministero Infrastrutture e Trasporti del 2 Febbraio 2009, n. 617 “*Istruzioni per l'applicazione delle nuove norme tecniche per le costruzioni*”.

- **METODI DI CALCOLO**

I metodi di calcolo adottati per il calcolo sono i seguenti:

- 1) Per i carichi statici: *METODO DELLE DEFORMAZIONI*;

2) Per i carichi sismici: metodo dell'ANALISI MODALE o dell'ANALISI SISMICA STATICA EQUIVALENTE.

Per lo svolgimento del calcolo si è accettata l'ipotesi che, in corrispondenza dei piani sismici, i solai siano infinitamente rigidi nel loro piano e che le masse ai fini del calcolo delle forze di piano siano concentrate alle loro quote.

## • CALCOLO SPOSTAMENTI E CARATTERISTICHE

Il calcolo degli spostamenti e delle caratteristiche viene effettuato con il metodo degli elementi finiti (**F.E.M.**).

Possono essere inseriti due tipi di elementi:

1) Elemento monodimensionale asta (*beam*) che unisce due nodi aventi ciascuno 6 gradi di libertà. Per maggiore precisione di calcolo, viene tenuta in conto anche la deformabilità a taglio e quella assiale di questi elementi. Queste aste, inoltre, non sono considerate flessibili da nodo a nodo ma hanno sulla parte iniziale e finale due tratti infinitamente rigidi formati dalla parte di trave inglobata nello spessore del pilastro; questi tratti rigidi forniscono al nodo una dimensione reale.

2) L'elemento bidimensionale shell (*quad*) che unisce quattro nodi nello spazio. Il suo comportamento è duplice, funziona da lastra per i carichi agenti sul suo piano, da piastra per i carichi ortogonali.

Assemblate tutte le matrici di rigidezza degli elementi in quella della struttura spaziale, la risoluzione del sistema viene perseguita tramite il *metodo di Cholesky*.

Ai fini della risoluzione della struttura, gli spostamenti X e Y e le rotazioni attorno l'asse verticale Z di tutti i nodi che giacciono su di un impalcato dichiarato rigido sono mutuamente vincolati.

## • RELAZIONE SUI MATERIALI

Le caratteristiche meccaniche dei materiali sono descritti nei tabulati riportati nel seguito per ciascuna tipologia di materiale utilizzato.

## • ANALISI SISMICA DINAMICA

L'analisi sismica dinamica è stata svolta con il metodo dell'analisi modale; la ricerca dei modi e delle relative frequenze è stata perseguita con il *metodo di Jacobi*.

I modi di vibrazione considerati sono in numero tale da assicurare l'eccitazione di più dell'85% della massa totale della struttura.

Per ciascuna direzione di ingresso del sisma si sono valutate le forze applicate spazialmente agli impalcati di ogni piano (forza in X, forza in Y e momento).

Le forze orizzontali così calcolate vengono ripartite fra gli elementi irrigidenti (pilastri e pareti di taglio), ipotizzando i solai dei piani sismici infinitamente rigidi assialmente.

Per la verifica della struttura si è fatto riferimento all'analisi modale, pertanto sono prima calcolate le sollecitazioni e gli spostamenti modali e poi viene calcolato il loro valore efficace.

I valori stampati nei tabulati finali allegati sono proprio i suddetti valori efficaci e pertanto l'equilibrio ai nodi perde di significato. I valori delle sollecitazioni sismiche sono combinate linearmente (in somma e in differenza) con quelle per carichi statici per ottenere le sollecitazioni per sisma nelle due direzioni di calcolo.

Gli angoli delle direzioni di ingresso dei sismi sono valutati rispetto all'asse X del sistema di riferimento globale.

## • VERIFICHE

Le verifiche, svolte secondo il metodo degli stati limite ultimi e di esercizio, si ottengono involupando tutte le condizioni di carico prese in considerazione.

In fase di verifica è stato differenziato l'elemento trave dall'elemento pilastro. Nell'elemento trave le armature sono disposte in modo asimmetrico, mentre nei pilastri sono sempre disposte simmetricamente.

Per l'elemento trave, l'armatura si determina suddividendola in cinque conci in cui l'armatura si mantiene costante, valutando per tali conci le massime aree di armatura superiore ed inferiore richieste in base ai momenti massimi riscontrati nelle varie combinazioni di carico esaminate. Lo stesso criterio è stato adottato per il calcolo delle staffe.

Anche l'elemento pilastro viene scomposto in cinque conci in cui l'armatura si mantiene costante. Vengono però riportate le armature massime richieste nella metà superiore (testa) e inferiore (piede).

La fondazione su travi rovesce è risolta contemporaneamente alla sovrastruttura tenendo in conto sia la rigidezza flettente che quella torcente, utilizzando per l'analisi agli elementi finiti l'elemento asta su suolo elastico alla *Winkler*.

Le travate possono incrociarsi con angoli qualsiasi e avere dei disassamenti rispetto ai pilastri su cui si appoggiano.

La ripartizione dei carichi, data la natura matriciale del calcolo, tiene automaticamente conto della rigidezza relativa delle varie travate convergenti su ogni nodo.

Le verifiche per gli elementi bidimensionali (setti) vengono effettuate sovrapponendo lo stato tensionale del comportamento a lastra e di quello a piastra. Vengono calcolate le armature delle due facce dell'elemento bidimensionale disponendo i ferri in due direzioni ortogonali.

#### • **DIMENSIONAMENTO MINIMO DELLE ARMATURE.**

Per il calcolo delle armature sono stati rispettati i minimi di legge di seguito riportati:

##### TRAVI:

Area minima delle staffe pari a  $1.5 \cdot b \text{ mmq/ml}$ , essendo  $b$  lo spessore minimo dell'anima misurato in mm, con passo non maggiore di 0,8 dell'altezza utile e con un minimo di 3 staffe al metro. In prossimità degli appoggi o di carichi concentrati per una lunghezza pari all'altezza utile della sezione, il passo minimo sarà 12 volte il diametro minimo dell'armatura longitudinale.

Armatura longitudinale in zona tesa  $\geq 0,15\%$  della sezione di calcestruzzo. Alle estremità è disposta una armatura inferiore minima che possa assorbire, allo stato limite ultimo, uno sforzo di trazione uguale al taglio.

In zona sismica, nelle zone critiche il passo staffe è non superiore al minimo di:

- un quarto dell'altezza utile della sezione trasversale;
- 175 mm e 225 mm, rispettivamente per CDA e CDB;
- 6 volte e 8 volte il diametro minimo delle barre longitudinali considerate ai fini delle verifiche, rispettivamente per CDA e CDB;
- 24 volte il diametro delle armature trasversali.

Le zone critiche si estendono, per CDB e CDA, per una lunghezza pari rispettivamente a 1 e 1,5 volte l'altezza della sezione della trave, misurata a partire dalla faccia del nodo trave-pilastro. Nelle zone critiche della trave il rapporto fra l'armatura compressa e quella tesa è maggiore o uguale a 0,5.

##### PILASTRI:

Armatura longitudinale compresa fra 0,3% e 4% della sezione effettiva e non minore di  $0,10 \cdot N_{ed}/f_{yd}$ ;

Barre longitudinali con diametro  $\geq 12 \text{ mm}$ ;

Diametro staffe  $\geq 6 \text{ mm}$  e comunque  $\geq 1/4$  del diametro max delle barre longitudinali, con interasse non maggiore di 30 cm.

In zona sismica l'armatura longitudinale è almeno pari all'1% della sezione effettiva; il passo delle staffe di contenimento è non superiore alla più piccola delle quantità seguenti:

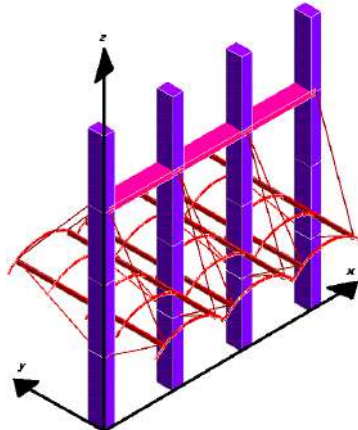
- $1/3$  e  $1/2$  del lato minore della sezione trasversale, rispettivamente per CDA e CDB;

- 125 mm e 175 mm, rispettivamente per CDA e CDB;
- 6 e 8 volte il diametro delle barre longitudinali che collegano, rispettivamente per CDA e CDB.

- **SISTEMI DI RIFERIMENTO**

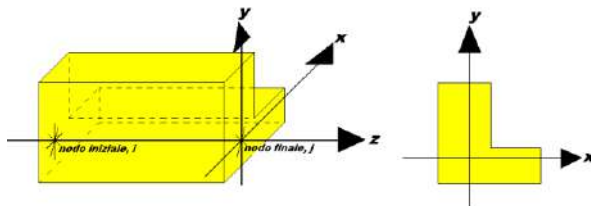
*1) SISTEMA GLOBALE DELLA STRUTTURA SPAZIALE*

Il sistema di riferimento globale è costituito da una terna destra di assi cartesiani ortogonali (O-XYZ) dove l'asse Z rappresenta l'asse verticale rivolto verso l'alto. Le rotazioni sono considerate positive se concordi con gli assi vettori:



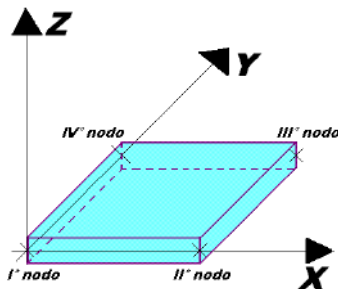
*2) SISTEMA LOCALE DELLE ASTE*

Il sistema di riferimento locale delle aste, inclinate o meno, è costituito da una terna destra di assi cartesiani ortogonali che ha l'asse Z coincidente con l'asse longitudinale dell'asta ed orientamento dal nodo iniziale al nodo finale, gli assi X ed Y sono orientati come nell'archivio delle sezioni:



*3) SISTEMA LOCALE DELL'ELEMENTO SHELL*

Il sistema di riferimento locale dell'elemento shell è costituito da una terna destra di assi cartesiani ortogonali che ha l'asse X coincidente con la direzione fra il primo ed il secondo nodo di input, l'asse Y giacente nel piano dello shell e l'asse Z in direzione dello spessore:



- **UNITÀ DI MISURA**

Si adottano le seguenti unità di misura:

[lunghezze]	= m
[forze]	= kgf / daN
[tempo]	= sec
[temperatura]	= °C

- **CONVENZIONI SUI SEGNI**

I carichi agenti sono:

- 1) Carichi e momenti distribuiti lungo gli assi coordinati;
- 2) Forze e coppie nodali concentrate sui nodi.

Le forze distribuite sono da ritenersi positive se concordi con il sistema di riferimento locale dell'asta, quelle concentrate sono positive se concordi con il sistema di riferimento globale.

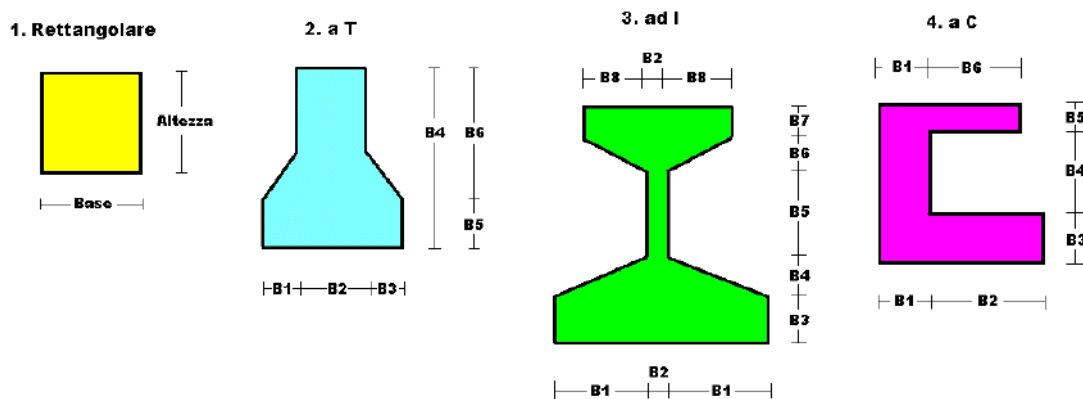
I gradi di libertà nodali sono gli omologhi agli enti forza, e quindi sono definiti positivi se concordi a questi ultimi.

## • SPECIFICHE CAMPI TABELLA DI STAMPA

Le sezioni delle aste in c.a.o. riportate nel seguito sono state raggruppate per tipologia. Le tipologie disponibili sono le seguenti:

- 1) *RETTANGOLARE*
- 2) *a T*
- 3) *ad I*
- 4) *a C*
- 5) *CIRCOLARE*
- 6) *POLIGONALE*

Nelle tabelle sono usate alcune sigle il cui significato è spiegato dagli schemi riportati in appresso:



Per quanto attiene alla tipologia poligonale le diciture V1, V2, ..., V10 individuano i vertici della sezione descritta per coordinate.

In coda alle presenti stampe viene riportata la tabellina riassuntiva delle caratteristiche statiche delle sezioni in parola in termini di area, momenti di inerzia baricentrici rispetto all'asse X ed Y ( $I_{xg}$  ed  $I_{yg}$ ) e momento d'inerzia polare ( $I_p$ ).



● SPECIFICHE CAMPI TABELLA DI STAMPA

Si riporta appresso la spiegazione delle sigle usate nelle tabelle riassuntive dei criteri di progetto per le aste in elevazione, per quelle di fondazione, per i pilastri e per i setti.

<b>Crit.N.ro</b>	: Numero indicativo del criterio di progetto
<b>Elem.</b>	: Tipo di elemento strutturale
<b>%Rig.Tors.</b>	: Percentuale di rigidità torsionale
<b>Mod. E</b>	: Modulo di elasticità normale
<b>Poisson</b>	: Coefficiente di Poisson
<b>Sgmc</b>	: Tensione massima di esercizio del calcestruzzo
<b>tauc0</b>	: Tensione tangenziale minima
<b>tauc1</b>	: Tensione tangenziale massima
<b>Sgmf</b>	: Tensione massima di esercizio dell'acciaio
<b>Om.</b>	: Coefficiente di omogeneizzazione
<b>Gamma</b>	: Peso specifico del materiale
<b>Coprstaffa</b>	: Distanza tra il lembo esterno della staffa ed il lembo esterno della sezione in calcestruzzo
<b>Fi min.</b>	: Diametro minimo utilizzabile per le armature longitudinali
<b>Fi st.</b>	: Diametro delle staffe
<b>Lar. st.</b>	: Larghezza massima delle staffe
<b>Psc</b>	: Passo di scansione per i diagrammi delle caratteristiche
<b>Pos.pol.</b>	: Numero di posizioni delle armature per la verifica di sezioni poligonali
<b>D arm.</b>	: Passo di incremento dell'armatura per la verifica di sezioni poligonali
<b>Iteraz.</b>	: Numero massimo di iterazioni per la verifica di sezioni poligonali
<b>Def. Tag.</b>	: Deformabilità a taglio (si, no)
<b>%Scorr.Staf.</b>	: Percentuale di scorrimento da far assorbire alle staffe
<b>P.max staffe</b>	: Passo massimo delle staffe
<b>P.min.staffe</b>	: Passo minimo delle staffe
<b>tMt min.</b>	: Tensione di torsione minima al di sotto del quale non si arma a torsione
<b>Ferri parete</b>	: Presenza di ferri di parete a taglio
<b>Ecc.lim.</b>	: Eccentricità M/N limite oltre la quale la verifica viene effettuata a flessione pura
<b>Tipo ver.</b>	: Tipo di verifica (0 = solo Mx; 1 = Mx e My separate; 2 = deviata)
<b>Fl.rett.</b>	: Flessione retta forzata per sezioni dissimmetriche ma simmetrizzabili (0 = no; 1 = sì)
<b>Den.X pos.</b>	: Denominatore della quantità $q \cdot l \cdot l$ per determinare il momento Mx minimo per la copertura del diagramma positivo
<b>Den.X neg.</b>	: Denominatore della quantità $q \cdot l \cdot l$ per determinare il momento Mx minimo per la copertura del diagramma negativo
<b>Den.Y pos.</b>	: Denominatore della quantità $q \cdot l \cdot l$ per determinare il momento My minimo per la copertura del diagramma positivo
<b>Den.Y neg.</b>	: Denominatore della quantità $q \cdot l \cdot l$ per determinare il momento My minimo per la copertura del diagramma negativo
<b>%Mag.car.</b>	: Percentuale di maggiorazione dei carichi statici della prima combinazione di carico
<b>%Rid.Plas</b>	: Rapporto tra i momenti sull'estremo della trave $M^*(ij)/M(ij)$ , dove: - $M^*(ij)$ =Momento DOPO la ridistribuzione plastica - $M(ij)$ =Momento PRIMA della ridistribuzione plastica
<b>Linear.</b>	: Coefficiente descrittivo del comportamento dell'asta: 1 = comportamento lineare sia a trazione che a compressione 2 = comportamento non lineare sia a trazione che a compressione. 3 = comportamento lineare solo a trazione. 4 = comportamento non lineare solo a trazione. 5 = comportamento lineare solo a compressione. 6 = comportamento non lineare solo a compressione.
<b>Appesi</b>	: Flag di disposizione del carico sull'asta (1 = appeso, cioè applicato all'intradosso; 0 = non appeso, cioè applicato all'estradosso)
<b>Min. T/sigma</b>	: Verifica minimo T/sigma (1 = sì; 0 = no)
<b>Verif.Alette</b>	: Verifica alette travi di fondazione (1 = sì; 0 = no)
<b>Kwinkl.</b>	: Costante di sottofondo del terreno



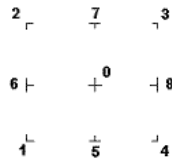
Si riporta appresso la spiegazione delle sigle usate nelle tabelle riassuntive dei criteri di progetto per le verifiche agli stati limite.

<b>Cri.Nro</b>	: Numero identificativo del criterio di progetto
<b>Tipo Elem.</b>	: Tipo di elemento: trave di elevazione, trave di fondazione, pilastro, setto, setto elastico ("SHela")
<b>fck</b>	: Resistenza caratteristica del calcestruzzo
<b>fcd</b>	: Resistenza di calcolo del calcestruzzo
<b>rcd</b>	: Resistenza di calcolo a flessione del calcestruzzo (massimo del diagramma parabola rettangolo)
<b>fyk</b>	: Resistenza caratteristica dell'acciaio
<b>fyd</b>	: Resistenza di calcolo dell'acciaio
<b>Ey</b>	: Modulo elastico dell'acciaio
<b>ec0</b>	: Deformazione limite del calcestruzzo in campo elastico
<b>ecu</b>	: Deformazione ultima del calcestruzzo
<b>eyu</b>	: Deformazione ultima dell'acciaio
<b>Ac/At</b>	: Rapporto dell'incremento fra l'armatura compressa e quella tesa
<b>Mt/Mtu</b>	: Rapporto fra il momento torcente di calcolo e il momento torcente resistente ultimo del calcestruzzo al di sotto del quale non si arma a torsione
<b>Wra</b>	: Ampiezza limite della fessura per combinazioni rare
<b>Wfr</b>	: Ampiezza limite della fessura per combinazioni frequenti
<b>Wpe</b>	: Ampiezza limite della fessura per combinazioni permanenti
<b><math>\sigma</math> Rara</b>	: Sigma massima del calcestruzzo per combinazioni rare
<b><math>\sigma</math> Perm</b>	: Sigma massima del calcestruzzo per combinazioni permanenti
<b><math>\sigma</math> Rara</b>	: Sigma massima dell'acciaio per combinazioni rare
<b>SpRar</b>	: Rapporto fra la lunghezza dell'elemento e lo spostamento massimo per combinazioni rare
<b>SpPer</b>	: Rapporto fra la lunghezza dell'elemento e lo spostamento massimo per combinazioni permanenti
<b>Coef.Visc.:</b>	: Coefficiente di viscosità

## SPECIFICHE CAMPI TABELLA DI STAMPA

Si riporta appresso la spiegazione delle sigle usate nel tabulato di stampa dei dati di input dei pilastri.

<b>Filo</b>	: Numero del filo fisso in pianta su cui insiste il pilastro
<b>Sez.</b>	: Numero di archivio della sezione del pilastro
<b>Tipologia</b>	: Descrive le seguenti grandezze: <ul style="list-style-type: none"> <li>a) La forma attraverso le sigle 'Rett.'=rettangolare; 'a T'; 'ad I'; 'a C'; 'Circ.=circolare; 'Polig.'=poligonale</li> <li>b) Gli ingombri in X ed Y nel sistema di riferimento locale della sezione. Nel caso di sezioni rettangolari questi ingombri coincidono con base ed altezza</li> </ul>
<b>Magrone</b>	: Larghezza del magrone di fondazione. Se presente individua ai fini del calcolo un'asta su suolo alla Winkler
<b>Ang.</b>	: Angolo di rotazione della sezione. L'angolo e' positivo se antiorario
<b>Codice</b>	: Individua il posizionamento del filo fisso nella sezione. Per la sezione rettangolare valgono i seguenti codici di spigolo:



Il codice zero, che è inizialmente associato al centro pilastro, permette anche degli scostamenti imposti esplicitamente del filo fisso dal centro del pilastro

<b>dx</b>	: Scostamento filo fisso - centro pilastro lungo l'asse X in pianta
<b>dy</b>	: Scostamento filo fisso - centro pilastro lungo l'asse Y in pianta
<b>Crit.N.ro</b>	: Numero identificativo del criterio di progetto associato al pilastro
<b>Tipo</b>	Tipo elemento ai fini sismici:
<b>Elemento</b>	Le sigle sotto riportate hanno il significato appresso specificato: <ul style="list-style-type: none"> <li>- "Secondario NTC18": si intende un elemento pilastro secondario ai sensi della NTC2018, che non viene inserito nel modello sismico ed a cui vengono applicate le verifiche di duttilità.</li> <li>- "NoGerarchia": si intende un elemento pilastro non appartenente ad un meccanismo dissipativo e in cui non è applicabile la gerarchia delle resistenze (esempio pilastro meshato interno a pareti)</li> </ul>

Nel caso di vincoli particolari (situazione diversa dal doppio incastro), segue un'ulteriore tabulato relativo ai vincoli, le cui sigle hanno il seguente significato:

**Codice:** Codice sintetico identificativo del tipo di vincolo secondo la codifica appresso riportata:  
**I** = incastro; **K** = appoggio scorrevole; **C** = cerniera sferica; **E** = esplicito; **CF** = cerniera flessionale.

Il reale funzionamento dei vincoli (da intendersi come vincoli interni tra asta e nodo) è esplicitato dai successivi dati:

<b>Tx, Ty, Tz</b>	: Valori delle rigidzze alla traslazione imposte al nodo in esame. Il valore -1 indica per convenzione che quella particolare traslazione mutua tra pilastro e nodo è impedita (ovvero la traslazione assoluta del nodo e dell'estremo del pilastro è la medesima), mentre lo 0 indica che non vi è continuità tra tali elementi ai fini di tale traslazione reciproca (ovvero la traslazione assoluta del nodo e dell'estremo del pilastro sono diverse ed indipendenti). Invece un valore maggiore di zero equivale ad una sconnessione fra il nodo e l'estremo del pilastro (traslazioni assolute diverse), ma sul nodo agirà una forza, nella direzione della sconnessione inserita, di valore pari alla rigidzza per la variazione di spostamento. Se infine viene inserito un valore compreso fra -1 (incastato) e 0 (libero) (fattore di connessione) il programma trasforma in automatico tale numero in una rigidzza esplicita. Gli assi X e Y sono quelli del riferimento locale della sezione, mentre Z è parallelo all'asse del pilastro.
<b>Rx, Ry, Rz</b>	: Valori delle rigidzze alla rotazione imposte al nodo in esame. Il valore -1 indica per convenzione che quella particolare rotazione mutua tra pilastro e nodo è impedita (ovvero la rotazione assoluta del nodo e dell'estremo del pilastro è la medesima), mentre lo 0 indica che non vi è continuità tra tali elementi ai fini di tale rotazione reciproca (ovvero la rotazione assoluta del nodo e dell'estremo del pilastro sono diverse ed indipendenti). Invece un valore

*maggiore di zero equivale ad una sconnessione fra il nodo e l'estremo dell'asta (rotazioni assolute diverse), ma sul nodo agirà un momento nella direzione della sconnessione inserita di valore pari alla rigidezza per la variazione di rotazione. Se viene inserito un valore compreso fra  $-1$  (incastrato) e  $0$  (libero) (fattore di connessione) il programma trasforma in automatico tale numero in una rigidezza esplicita. Gli assi X e Y sono quelli del riferimento locale della sezione, mentre Z è parallelo all'asse del pilastro.*

## SPECIFICHE CAMPI TABELLA DI STAMPA

Si riporta appresso la spiegazione delle sigle usate nel tabulato di stampa dei dati di input delle travi:

<b>Trave</b>	: Numero identificativo della trave alla quota in esame
<b>Sez.</b>	: Numero di archivio della sezione della trave. Se il numero sezione è superiore a 600, si tratta di setto di altezza pari all'interpiano e di cui nei successivi dati viene specificato il solo spessore
<b>Base x Alt.</b>	: Ingombri in X ed Y nel sistema di riferimento locale della sezione. Nel caso di sezioni rettangolari questi ingombri coincidono con base ed altezza
<b>Magrone</b>	: Larghezza del magrone di fondazione. Se presente individua ai fini del calcolo un'asta su suolo alla Winkler
<b>Ang.</b>	: Angolo di rotazione della sezione attorno all'asse
<b>Filo in.</b>	: Numero del filo fisso iniziale della trave
<b>Filo fin.</b>	: Numero del filo fisso finale della trave
<b>Quota in.</b>	: Quota dell'estremo iniziale della trave
<b>Quota fin.</b>	: Quota dell'estremo finale della trave
<b>dx in</b>	: Scostamento in direzione X del punto iniziale dell'asse della trave dal filo fisso iniziale di riferimento
<b>dx f</b>	: Scostamento in direzione X del punto finale dell'asse della trave dal filo fisso finale di riferimento
<b>dy in</b>	: Scostamento in direzione Y del punto iniziale dell'asse della trave dal filo fisso iniziale di riferimento
<b>dy f</b>	: Scostamento in direzione Y del punto finale dell'asse della trave dal filo fisso finale di riferimento
<b>Pann.</b>	: Carico sulla trave dovuto a pannelli di solai.
<b>Tamp.</b>	: Carico sulla trave dovuto a tamponature
<b>Ball.</b>	: Carico sulla trave dovuto a ballatoi
<b>Espl.</b>	: Carico sulla trave imposto dal progettista
<b>Tot.</b>	: Totale dei carichi verticali precedenti
<b>Torc.</b>	: Momento torcente distribuito agente sulla trave imposto dal progettista
<b>Orizz.</b>	: Carico orizzontale distribuito agente sulla trave imposto dal progettista
<b>Assia.</b>	: Carico assiale distribuito agente sulla trave imposto dal progettista
<b>Ali.</b>	: Aliquota media pesata dei carichi accidentali per la determinazione della massa sismica
<b>Crit.N.ro</b>	: Numero identificativo del criterio di progetto associato alla trave
<b>Tipo</b>	Tipo elemento ai fini sismici:
<b>Elemento</b>	Le sigle sotto riportate hanno il significato appresso specificato: - "Secondario NTC18": si intende un elemento asta secondario ai sensi della NTC2018, che non viene inserito nel modello sismico ed a cui vengono applicate le verifiche di duttilità. - "NoGerarchia": si intende un elemento asta non appartenente ad un meccanismo dissipativo e in cui non è applicabile la gerarchia delle resistenze (esempio aste meshate interne a pareti o piastre o travi inclinate)

Nel caso di vincoli particolari (situazione diversa dal doppio incastro), segue un'ulteriore tabulato relativo ai vincoli, le cui sigle hanno il seguente significato:

**Codice:** Codice sintetico identificativo del tipo di vincolo secondo la codifica appresso riportata:

**I** = incastro; **K** = appoggio scorrevole; **C** = cerniera sferica; **E** = esplicito; **CF** = cerniera flessionale.

Il reale funzionamento dei vincoli (da intendersi come vincoli interni tra asta e nodo) è esplicitato dai successivi dati:

**T<sub>x</sub>, T<sub>y</sub>, T<sub>z</sub>** : Valori delle rigidezze alla traslazione imposte al nodo in esame. Il valore -1 indica per convenzione che quella particolare traslazione mutua tra trave e nodo è impedita (ovvero la traslazione assoluta del nodo e dell'estremo dell'asta è la medesima), mentre lo 0 indica che non vi è continuità tra tali elementi ai fini di tale traslazione reciproca (ovvero la traslazione assoluta del nodo e dell'estremo dell'asta sono diverse ed indipendenti). Invece un valore maggiore di zero equivale ad una sconnessione fra il nodo e l'estremo dell'asta (traslazioni assolute diverse), ma sul nodo agirà una forza, nella direzione della sconnessione inserita, di valore pari alla rigidezza per la variazione di spostamento. Se infine viene inserito un valore compreso fra -1 (incastrato) e 0 (libero), fattore di connessione, il programma trasforma in automatico tale numero in una rigidezza esplicita. Gli assi X e Y sono quelli del riferimento locale della sezione, mentre Z è parallelo all'asse della trave.

**R<sub>x</sub>, R<sub>y</sub>, R<sub>z</sub>** : Valori delle rigidezze alla rotazione imposte al nodo in esame. Il valore -1 indica per convenzione che quella particolare rotazione mutua tra trave e nodo è impedita (ovvero la rotazione assoluta del nodo e dell'estremo dell'asta è la medesima), mentre lo 0 indica che non vi è continuità tra tali elementi ai fini di tale rotazione reciproca (ovvero la rotazione assoluta del nodo e dell'estremo dell'asta sono diverse ed indipendenti). Invece un valore maggiore di zero equivale ad una sconnessione fra il nodo e l'estremo dell'asta (rotazioni assolute diverse), ma sul nodo agirà un momento, nella direzione della sconnessione inserita, di valore pari alla rigidezza per la variazione di rotazione. Se viene inserito un valore compreso fra -1 (incastrato) e 0 (libero), fattore di connessione, il programma trasforma in automatico tale numero in una rigidezza esplicita. Gli assi X e Y sono quelli del riferimento locale della sezione, mentre Z è parallelo all'asse della trave.

## ARCHIVIO SEZIONI ASTE IN C.A.O.

Tipologia Rettangolare				Tipologia Rettangolare			
Sez. N.ro	Base (cm)	Altezza (cm)	Magrone (cm)	Sez. N.ro	Base (cm)	Altezza (cm)	Magrone (cm)
1	30,0	30,0	0,0	5	40,0	40,0	0,0
7	40,0	60,0	0,0	26	60,0	35,0	0,0
27	40,0	90,0	0,0				

## ARCHIVIO SEZIONI ASTE IN C.A.O.

Tipologia a 'T'							
Sez. N.ro	Ala sx. B1 (cm)	B Anima B2 (cm)	Ala dx. B3 (cm)	Altezza B4 (cm)	Sp. Ali B5 (cm)	H Anima B6 (cm)	Largh. Magrone (cm)
25	30,0	40,0	30,0	100,0	40,0	60,0	110,0

## ARCHIVIO SEZIONI ASTE IN C.A.O.

## CARATTERISTICHE STATICHE DELLE SEZIONI IN C.A.O.

Sez. N.ro	Area (cm <sup>2</sup> )	I <sub>xg</sub> (cm <sup>4</sup> )	I <sub>yg</sub> (cm <sup>4</sup> )	I <sub>p</sub> (cm <sup>4</sup> )
1	900	67500	67500	135000
5	1600	213333	213333	426667
7	2400	720000	320000	1040000
25	6400	5003331	3653332	8656663
26	2100	214375	630000	844375
27	3600	2430000	480000	2910000

## ARCHIVIO MATERIALE FRP

## ARCHIVIO MATERIALI FRP

Mater N.ro	Descrizione Materiale	Tipo Fibra	Orientam. Fibre	Gramm g/mq	Dens. kg/mc	SpessEq. (mm)	AreaRes mmg/m	Traz. N/mmq	CarMax kN/m	ModElast N/mmq	Eps fk (%)	Tipo Appl
1		Carbonio	BiAssiale	300	1820	0,1650	165	3000	495	300000	1,300	A

## ARCHIVIO TIPOLOGIE DI CARICO

Car. N.ro	Peso Strut kg/mq	Perman. NONstru kg/mq	Varia bile kg/mq	Neve kg/mq	Destinaz. d'Uso	Psi 0	Psi 1	Psi 2	Anal Car. N.ro	DESCRIZIONE SINTETICA DEL TIPO DI CARICO
1	496	220	300	0	Scuole2005	0,7	0,7	0,6		Solaio calpestio S=35+5
2	431	150	300	0	Categ. H	0,0	0,0	0,0		Solaio terrazzo S=35+5
3	266	42	0	0	Categ. H	0,0	0,0	0,0		tamponatura a doppia fodera
4	375	50	50	104	Categ. H	0,0	0,0	0,0		cornicioni
5	430	150	50	104	Categ. H	0,0	0,0	0,0		solaio copertura 30+5
6	500	200	400	0	Scale2005	0,7	0,7	0,6		rampa scala scala a ginocchio
7	0	168	400	0	Scale2005	0,7	0,7	0,6		pianerotolo
8	28	218	50	104	Categ. H	0,0	0,0	0,0		solaio in lamiera grecata
9	180	64	0	0	Categ. H	0,0	0,0	0,0		tamponatura doppia fodera struttura metallica

## CRITERI DI PROGETTO

ASTE ELEVAZIONE																
IDEN	Crit N.ro	Def Tag	%Scorr Staffe	P max. Staffe	P min. Staffe	τMtmin kg/cm <sup>2</sup>	Ferri parete	Elim cm	Tipo verif.	Fl. rett	DenX pos.	DenX neg.	DenY pos.	DenY neg.	%Mag car.	%Rid Plas
1	si	100	20	0	3	no	200	Mx	1	0	0	0	0	0	0	100

## CRITERI DI PROGETTO

ASTE FONDAZIONE							
IDEN	Crit N.ro	Min T/σ	Verif. Alette	%Scorr Staffe	P max. Staffe	P min. Staffe	τMtmin kg/cm <sup>2</sup>
2	no	no	100	33	0	3	no

## CRITERI DI PROGETTO



IDEN	PILASTRI			IDEN	PILASTRI		
Crit N.ro	Def Tag	$\tau$ Mtmin kg/cm <sup>2</sup>	Tipo verif.	Crit N.ro	Def Tag	$\tau$ Mtmin kg/cm <sup>2</sup>	Tipo verif.
3	si	3,0	Dev.				

CRITERI DI PROGETTO																		
IDENTIF.		CARATTERISTICHE DEL MATERIALE							DURABILITA'			CARATTER.COSTRUTTIVE						FLAG
Crit N.ro	Elem.	% Rig Tors.	% Rig Fless	Classe CLS	Classe Acciaio	Mod. El kg/cmq	Pois son	Gamma kg/mc	Tipo Ambiente	Tipo Armatura	Toll. Copr.	Copr staf	Copr ferr	Fi min	Fi st	Lun sta	Li n.	App esi
1	ELEV.	10	100	PROV	PROV	273859	0,20	2500	ORDIN. X0	POCO SENS.	0,00	2,0	3,7	18	8	60	0	0
2	FOND.	10	100	PROV	PROV	273859	0,20	2500	ORDIN. X0	POCO SENS.	0,00	2,0	4,0	24	8	60	0	
3	PILAS	60	100	PROV	PROV	273859	0,20	2500	ORDIN. X0	POCO SENS.	0,00	2,0	3,8	20	8	50	1	

CRITERI DI PROGETTO																								
CRITERI PER IL CALCOLO AGLI STATI LIMITE ULTIMI E DI ESERCIZIO																								
Cri Nro	Tipo Elem	fck	fcd	rcd	fyk	ftk	fyd	Ey	ec0	ecu	eyu	At/ Ac	Mt/ Mtu	Wra mm	Wfr mm	Wpe mm	σcRar --- kg/cmq ---	σcPer	σfRar	Spo Rar	Spo Fre	Spo Per	Coe Vis	euk
1	ELEV.	207,0	138,0	138,0	4583	4583	3985	2100000	0,20	0,35	1,00	50	10		0,4	0,3	124,0	93,0	3666				2,0	0,08
2	FOND.	207,0	138,0	138,0	4583	4583	3985	2100000	0,20	0,35	1,00	50	10		0,4	0,3	124,0	93,0	3666				2,0	0,08
3	PILAS	207,0	138,0	138,0	4167	4167	3623	2100000	0,20	0,35	1,00	50	10		0,4	0,3	124,0	93,0	3333				2,0	0,08

MATERIALI SETTI CLS DEBOLMENTE ARMATI															
IDEN	COMPONENTI			PILASTRINI			TRAVETTE			DATI DI CALCOLO					
Mat. N.ro	Tipo Cassero	Classe CLS	Classe Acc.	Base cm	Altez. cm	Inter. cm	Base cm	Altez. cm	Inter. cm	Sp.Equiv. cm	Gamma Eq. kg/mq	Riduz Mod.G	Riduz Mod.E	Coprif. cm	Strati Armature
2	LegnoBloc	C25/30	B450C	18,80	16,00	22,80	14,00	10,00	25,00	12,00	433,00	2,20	1,00	2,00	1
3	LegnoBloc	C25/30	B450C	18,80	14,00	22,80	14,00	10,00	25,00	10,60	384,00	2,20	1,00	2,00	1
4	LegnoBloc	C25/30	B450C	21,00	18,00	25,00	16,00	10,00	25,00	15,12	488,00	2,20	1,00	2,00	1
5	LegnoBloc	C25/30	B450C	18,00	17,50	25,00	14,00	10,00	25,00	12,60	509,00	2,20	1,00	2,00	1
6	LegnoBloc	C25/30	B450C	18,00	11,00	25,00	14,00	10,00	25,00	7,90	495,00	2,20	1,00	2,00	1
7	LegnoBloc	C25/30	B450C	18,80	12,00	22,80	14,00	10,00	25,00	9,00	316,00	2,20	1,00	2,00	1
8	LegnoBloc	C25/30	B450C	19,50	15,00	25,00	14,00	10,00	25,00	11,70	368,00	2,20	1,00	2,00	1
9	LegnoBloc	C25/30	B450C	19,50	18,00	25,00	14,00	10,00	25,00	14,00	445,00	2,20	1,00	2,00	1
10	LegnoBloc	C25/30	B450C	19,50	21,00	25,00	14,00	10,00	25,00	16,40	511,00	2,20	1,00	2,00	1

CRITERI DI PROGETTO GEOTECNICI - FONDAZIONI SUPERFICIALI E SU PALI									
IDEN	COSTANTE WINKLER		IDEN	COSTANTE WINKLER		IDEN	COSTANTE WINKLER		
Crit N.ro	KwVert kg/cmc	KwOriz. kg/cmc	Crit N.ro	KwVert kg/cmc	KwOriz. kg/cmc	Crit N.ro	KwVert kg/cmc	KwOriz. kg/cmc	
1	2,00	0,00	2	2,00	0,00				

DATI GENERALI DI STRUTTURA			
DATI GENERALI DI STRUTTURA			
Massima dimens. dir. X (m)	28,40	Altezza edificio (m)	9,80
Massima dimens. dir. Y (m)	28,41	Differenza temperatura(°C)	15
PARAMETRI SISMICI			
Vita Nominale (Anni)	50	Classe d' Uso	TERZA
Longitudine Est (Grd)	14,92000	Latitudine Nord (Grd)	41,27000
Categoria Suolo	C	Coeff. Condiz. Topogr.	1,00000
Sistema Costruttivo Dir.1	C.A.	Sistema Costruttivo Dir.2	C.A.
Regolarita' in Altezza	NO(KR=.8)	Regolarita' in Pianta	SI
Direzione Sisma (Grd)	0	Sisma Verticale	ASSENTE
Effetti P/Delta	NO	Quota di Zero Sismico (m)	0,00000
PARAMETRI SPETTRO ELASTICO - SISMA S.L.D.			
Probabilita' Pvr	0,63	Periodo di Ritorno Anni	75,00
Accelerazione Ag/g	0,10	Periodo T'c (sec.)	0,33
Fo	2,37	Fv	0,99
Fattore Stratigrafia'Ss'	1,50	Periodo TB (sec.)	0,17
Periodo TC (sec.)	0,50	Periodo TD (sec.)	1,98
PARAMETRI SPETTRO ELASTICO - SISMA S.L.V.			
Probabilita' Pvr	0,10	Periodo di Ritorno Anni	712,00
Accelerazione Ag/g	0,29	Periodo T'c (sec.)	0,41

**C.D.S.**

Fo	2,29	Fv	1,67
Fattore Stratigrafia'Ss'	1,30	Periodo TB (sec.)	0,19
Periodo TC (sec.)	0,57	Periodo TD (sec.)	2,77
<b>PARAMETRI SISTEMA COSTRUTTIVO C.A. - DIR. 1</b>			
Classe Duttilita'	MEDIA	Sotto-Sistema Strutturale	Telaio
AlfaU/Alfa1	1,30	Fattore riduttivo KW	1,00
Fattore di comportam 'q'	3,12		
<b>PARAMETRI SISTEMA COSTRUTTIVO C.A. - DIR. 2</b>			
Classe Duttilita'	MEDIA	Sotto-Sistema Strutturale	Telaio
AlfaU/Alfa1	1,30	Fattore riduttivo KW	1,00
Fattore di comportam 'q'	3,12		
<b>COEFFICIENTI DI SICUREZZA PARZIALI DEI MATERIALI</b>			
Acciaio per carpenteria	1,05	Verif.Instabilita' acciaio:	1,05
Acciaio per CLS armato	1,15	Calcestruzzo CLS armato	1,50
Legno per comb. eccez.	1,00	Legno per comb. fondam.:	1,30
Livello conoscenza	LC2		
FRP Collasso Tipo 'A'	1,10	FRP Delaminazione Tipo 'A'	1,20
FRP Collasso Tipo 'B'	1,25	FRP Delaminazione Tipo 'B'	1,50
FRP Resist. Press/Fless	1,00	FRP Resist. Taglio/Torsione	1,20
FRP Resist. Confinamento	1,10		

<b>DATI GENERALI DI STRUTTURA</b>			
<b>DATI DI CALCOLO PER AZIONE NEVE</b>			
Zona Geografica	III	Coefficiente Termico	1,00
Altitudine sito s.l.m. (m)	600	Coefficiente di forma	0,80
Tipo di Esposizione	Normale	Coefficiente di esposizione	1,00
Carico di riferimento kg/mq	130	Carico neve di calcolo kg/mq	104,00
Il calcolo della neve e' effettuato in base al punto 3.4 del D.M. 2018 e relative modifiche e integrazioni riportate nella Circolare del 26/12/2009			

<b>QUOTE PIANI SISMICI ED INTERPIANI</b>									
Quota N.ro	Altezza m	Tipologia	IrregTamp XY	Alt.	Quota N.ro	Altezza m	Tipologia	IrregTamp XY	Alt.
0	0,00	Piano Terra			1	3,60	Piano sismico	NO	NO
2	7,20	Piano sismico	NO	NO	3	9,80	Piano sismico	NO	NO
4	1,80	Interpiano	NO	NO	5	5,40	Interpiano	NO	NO

<b>PILASTRI IN C.A. QUOTA 3.6 m</b>											
Filo N.ro	Sez. N.ro	Tipologia (cm)	Magrone (cm)	Ang. (Grd)	Cod.	dx (cm)	dy (cm)	Crit. N.ro	Tipo Elemento ai fini sismici		
1	5	Rett. 40,00 x 40,00	0,0	0,00	0	0,00	0,00	3	SismoResist.		
2	5	Rett. 40,00 x 40,00	0,0	0,00	0	0,00	0,00	3	SismoResist.		
3	5	Rett. 40,00 x 40,00	0,0	0,00	0	0,00	0,00	3	SismoResist.		
4	5	Rett. 40,00 x 40,00	0,0	0,00	0	0,00	0,00	3	SismoResist.		
5	5	Rett. 40,00 x 40,00	0,0	0,00	0	0,00	0,00	3	SismoResist.		
6	5	Rett. 40,00 x 40,00	0,0	0,00	0	0,00	0,00	3	SismoResist.		
7	5	Rett. 40,00 x 40,00	0,0	0,00	0	0,00	0,00	3	SismoResist.		
8	5	Rett. 40,00 x 40,00	0,0	0,00	0	0,00	0,00	3	SismoResist.		
9	5	Rett. 40,00 x 40,00	0,0	0,00	0	0,00	0,00	3	SismoResist.		
10	5	Rett. 40,00 x 40,00	0,0	0,00	0	0,00	0,00	3	SismoResist.		
11	5	Rett. 40,00 x 40,00	0,0	0,00	0	0,00	0,00	3	SismoResist.		
12	5	Rett. 40,00 x 40,00	0,0	0,00	0	0,00	0,00	3	SismoResist.		
13	5	Rett. 40,00 x 40,00	0,0	0,00	0	0,00	0,00	3	SismoResist.		
14	5	Rett. 40,00 x 40,00	0,0	0,00	0	0,00	0,00	3	SismoResist.		
15	5	Rett. 40,00 x 40,00	0,0	0,00	0	0,00	0,00	3	SismoResist.		
16	5	Rett. 40,00 x 40,00	0,0	0,00	0	0,00	0,00	3	SismoResist.		
17	5	Rett. 40,00 x 40,00	0,0	0,00	0	0,00	0,00	3	SismoResist.		
18	5	Rett. 40,00 x 40,00	0,0	0,00	0	0,00	0,00	3	SismoResist.		

## PILASTRI IN C.A. QUOTA 3.6 m

Filo N.ro	Sez. N.ro	Tipologia (cm)	Magrone (cm)	Ang. (Grd)	Cod.	dx (cm)	dy (cm)	Crit. N.ro	Tipo Elemento ai fini sismici
19	5	Rett. 40,00 x 40,00	0,0	0,00	0	0,00	0,00	3	SismoResist.
20	5	Rett. 40,00 x 40,00	0,0	0,00	0	0,00	0,00	3	SismoResist.
21	5	Rett. 40,00 x 40,00	0,0	0,00	0	0,00	0,00	3	SismoResist.
22	5	Rett. 40,00 x 40,00	0,0	0,00	0	0,00	0,00	3	SismoResist.
23	5	Rett. 40,00 x 40,00	0,0	0,00	0	0,00	0,00	3	SismoResist.
24	5	Rett. 40,00 x 40,00	0,0	0,00	0	0,00	0,00	3	SismoResist.
25	5	Rett. 40,00 x 40,00	0,0	0,00	0	0,00	0,00	3	SismoResist.
26	5	Rett. 40,00 x 40,00	0,0	0,00	0	0,00	0,00	3	SismoResist.
27	5	Rett. 40,00 x 40,00	0,0	0,00	0	0,00	0,00	3	SismoResist.
28	5	Rett. 40,00 x 40,00	0,0	0,00	0	0,00	0,00	3	SismoResist.
29	5	Rett. 40,00 x 40,00	0,0	0,00	0	0,00	0,00	3	SismoResist.
30	5	Rett. 40,00 x 40,00	0,0	0,00	0	0,00	0,00	3	SismoResist.
31	5	Rett. 40,00 x 40,00	0,0	0,00	0	0,00	0,00	3	SismoResist.
32	5	Rett. 40,00 x 40,00	0,0	0,00	0	0,00	0,00	3	SismoResist.
33	5	Rett. 40,00 x 40,00	0,0	0,00	0	0,00	0,00	3	SismoResist.
34	5	Rett. 40,00 x 40,00	0,0	0,00	0	0,00	0,00	3	SismoResist.
35	5	Rett. 40,00 x 40,00	0,0	0,00	0	0,00	0,00	3	SismoResist.
36	5	Rett. 40,00 x 40,00	0,0	0,00	0	0,00	0,00	3	SismoResist.
37	5	Rett. 40,00 x 40,00	0,0	0,00	0	0,00	0,00	3	SismoResist.
38	5	Rett. 40,00 x 40,00	0,0	0,00	0	0,00	0,00	3	SismoResist.

## PILASTRI IN C.A. QUOTA 7.2 m

Filo N.ro	Sez. N.ro	Tipologia (cm)	Magrone (cm)	Ang. (Grd)	Cod.	dx (cm)	dy (cm)	Crit. N.ro	Tipo Elemento ai fini sismici
16	5	Rett. 40,00 x 40,00	0,0	0,00	0	0,00	0,00	3	SismoResist.
17	5	Rett. 40,00 x 40,00	0,0	0,00	0	0,00	0,00	3	SismoResist.
18	5	Rett. 40,00 x 40,00	0,0	0,00	0	0,00	0,00	3	SismoResist.
19	5	Rett. 40,00 x 40,00	0,0	0,00	0	0,00	0,00	3	SismoResist.
20	5	Rett. 40,00 x 40,00	0,0	0,00	0	0,00	0,00	3	SismoResist.
21	5	Rett. 40,00 x 40,00	0,0	0,00	0	0,00	0,00	3	SismoResist.
22	5	Rett. 40,00 x 40,00	0,0	0,00	0	0,00	0,00	3	SismoResist.
23	5	Rett. 40,00 x 40,00	0,0	0,00	0	0,00	0,00	3	SismoResist.
24	5	Rett. 40,00 x 40,00	0,0	0,00	0	0,00	0,00	3	SismoResist.
25	5	Rett. 40,00 x 40,00	0,0	0,00	0	0,00	0,00	3	SismoResist.
26	5	Rett. 40,00 x 40,00	0,0	0,00	0	0,00	0,00	3	SismoResist.
27	5	Rett. 40,00 x 40,00	0,0	0,00	0	0,00	0,00	3	SismoResist.
28	5	Rett. 40,00 x 40,00	0,0	0,00	0	0,00	0,00	3	SismoResist.
29	5	Rett. 40,00 x 40,00	0,0	0,00	0	0,00	0,00	3	SismoResist.
30	5	Rett. 40,00 x 40,00	0,0	0,00	0	0,00	0,00	3	SismoResist.
31	5	Rett. 40,00 x 40,00	0,0	0,00	0	0,00	0,00	3	SismoResist.
32	5	Rett. 40,00 x 40,00	0,0	0,00	0	0,00	0,00	3	SismoResist.
33	5	Rett. 40,00 x 40,00	0,0	0,00	0	0,00	0,00	3	SismoResist.
34	5	Rett. 40,00 x 40,00	0,0	0,00	0	0,00	0,00	3	SismoResist.
35	5	Rett. 40,00 x 40,00	0,0	0,00	0	0,00	0,00	3	SismoResist.
36	5	Rett. 40,00 x 40,00	0,0	0,00	0	0,00	0,00	3	SismoResist.
37	5	Rett. 40,00 x 40,00	0,0	0,00	0	0,00	0,00	3	SismoResist.
38	5	Rett. 40,00 x 40,00	0,0	0,00	0	0,00	0,00	3	SismoResist.

## PILASTRI IN ACCIAIO QUOTA 7.2 m

Filo N.ro	Sez. N.ro	Tipologia	Ang. (Grd)	dx (cm)	dy (cm)	Crit. N.ro	Tipo Elemento ai fini sismici
1	71	HEA200	0,00	0,00	0,00	101	SismoResist.
2	71	HEA200	0,00	0,00	0,00	101	SismoResist.
3	71	HEA200	0,00	0,00	0,00	101	SismoResist.
4	71	HEA200	0,00	0,00	0,00	101	SismoResist.
6	71	HEA200	0,00	0,00	0,00	101	SismoResist.
7	71	HEA200	0,00	0,00	0,00	101	SismoResist.
8	71	HEA200	0,00	0,00	0,00	101	SismoResist.
9	71	HEA200	0,00	0,00	0,00	101	SismoResist.
11	71	HEA200	0,00	0,00	0,00	101	SismoResist.
12	71	HEA200	0,00	0,00	0,00	101	SismoResist.
13	71	HEA200	0,00	0,00	0,00	101	SismoResist.
14	71	HEA200	0,00	0,00	0,00	101	SismoResist.



## PILASTRI IN C.A. QUOTA 5.4 m

Filo N.ro	Sez. N.ro	Tipologia (cm)			Magrone (cm)	Ang. (Grd)	Cod.	dx (cm)	dy (cm)	Crit. N.ro	Tipo Elemento ai fini sismici
30	5	Rett.	40,00	x 40,00	0,0	0,00	0	0,00	0,00	3	SismoResist.
31	5	Rett.	40,00	x 40,00	0,0	0,00	0	0,00	0,00	3	SismoResist.
32	5	Rett.	40,00	x 40,00	0,0	0,00	0	0,00	0,00	3	SismoResist.
33	5	Rett.	40,00	x 40,00	0,0	0,00	0	0,00	0,00	3	SismoResist.
34	5	Rett.	40,00	x 40,00	0,0	0,00	0	0,00	0,00	3	SismoResist.
35	5	Rett.	40,00	x 40,00	0,0	0,00	0	0,00	0,00	3	SismoResist.
36	5	Rett.	40,00	x 40,00	0,0	0,00	0	0,00	0,00	3	SismoResist.
37	5	Rett.	40,00	x 40,00	0,0	0,00	0	0,00	0,00	3	SismoResist.
38	5	Rett.	40,00	x 40,00	0,0	0,00	0	0,00	0,00	3	SismoResist.

## PILASTRI IN ACCIAIO QUOTA 5.4 m

Filo N.ro	Sez. N.ro	Tipologia	Ang. (Grd)	dx (cm)	dy (cm)	Crit. N.ro	Tipo Elemento ai fini sismici
1	71	HEA200	0,00	0,00	0,00	101	SismoResist.
2	71	HEA200	0,00	0,00	0,00	101	SismoResist.
3	71	HEA200	0,00	0,00	0,00	101	SismoResist.
4	71	HEA200	0,00	0,00	0,00	101	SismoResist.
6	71	HEA200	0,00	0,00	0,00	101	SismoResist.
7	71	HEA200	0,00	0,00	0,00	101	SismoResist.
8	71	HEA200	0,00	0,00	0,00	101	SismoResist.
9	71	HEA200	0,00	0,00	0,00	101	SismoResist.
11	71	HEA200	0,00	0,00	0,00	101	SismoResist.
12	71	HEA200	0,00	0,00	0,00	101	SismoResist.
13	71	HEA200	0,00	0,00	0,00	101	SismoResist.
14	71	HEA200	0,00	0,00	0,00	101	SismoResist.

## TRAVI IN C.A. ALLA QUOTA 0 m

		DATI GENERALI				QUOTE		SCOSTAMENTI						CARICHI											
Trav N.ro	Sez. N.ro	Tipo Elem. x il sisma	Ang Grd	Fil in.	Fil fin	Q in. (m)	Q.fin (m)	Dxi cm	Dyi cm	Dzi cm	Dxf cm	Dyf cm	Dzf cm	Pann. kg/m	Tamp. kg/m	Ball. kg/m	Espl. kg/m	Tot. kg/m	Torc. kg	Orizz. kg/m	Assial kg/m	Ali %	Cr Nr	Cit Geo	
1	25	Tel.SismoRes.	0	1	2	0,00	0,00	0	0	0	0	0	0	0	859	0	0	859	0	0	0	0	0	2	2
2	25	Tel.SismoRes.	0	2	3	0,00	0,00	0	0	0	0	0	0	0	859	0	0	859	0	0	0	0	0	2	2
3	25	Tel.SismoRes.	0	3	4	0,00	0,00	0	0	0	0	0	0	0	859	0	0	859	0	0	0	0	0	2	2
4	25	Tel.SismoRes.	0	4	5	0,00	0,00	0	0	0	0	0	0	0	824	0	0	824	0	0	0	0	0	2	2
5	25	Tel.SismoRes.	0	6	7	0,00	0,00	0	0	0	0	0	0	0	0	0	0	0	0	0	0	0	0	2	2
6	25	Tel.SismoRes.	0	7	8	0,00	0,00	0	0	0	0	0	0	0	0	0	0	0	0	0	0	0	0	2	2
7	25	Tel.SismoRes.	0	8	9	0,00	0,00	0	0	0	0	0	0	0	0	0	0	0	0	0	0	0	0	2	2
8	25	Tel.SismoRes.	0	9	10	0,00	0,00	0	0	0	0	0	0	0	0	0	0	0	0	0	0	0	0	2	2
9	25	Tel.SismoRes.	0	11	12	0,00	0,00	0	0	0	0	0	0	0	0	0	0	0	0	0	0	0	0	2	2
10	25	Tel.SismoRes.	0	12	13	0,00	0,00	0	0	0	0	0	0	0	0	0	0	0	0	0	0	0	0	2	2
11	25	Tel.SismoRes.	0	13	14	0,00	0,00	0	0	0	0	0	0	0	0	0	0	0	0	0	0	0	0	2	2
12	25	Tel.SismoRes.	0	14	15	0,00	0,00	0	0	0	0	0	0	0	0	0	0	0	0	0	0	0	0	2	2
13	25	Tel.SismoRes.	0	16	17	0,00	0,00	0	0	0	0	0	0	0	0	0	0	0	0	0	0	0	0	2	2
14	25	Tel.SismoRes.	0	17	18	0,00	0,00	0	0	0	0	0	0	0	0	0	0	0	0	0	0	0	0	2	2
15	25	Tel.SismoRes.	0	18	37	0,00	0,00	0	0	0	0	0	0	0	0	0	0	0	0	0	0	0	0	2	2
16	25	Tel.SismoRes.	0	19	20	0,00	0,00	0	0	0	0	0	0	0	739	0	0	739	0	0	0	0	0	2	2
17	25	Tel.SismoRes.	0	21	22	0,00	0,00	0	0	0	0	0	0	0	0	0	0	0	0	0	0	0	0	2	2
18	25	Tel.SismoRes.	0	22	23	0,00	0,00	0	0	0	0	0	0	0	0	0	0	0	0	0	0	0	0	2	2
19	25	Tel.SismoRes.	0	23	24	0,00	0,00	0	0	0	0	0	0	0	0	0	0	0	0	0	0	0	0	2	2
20	25	Tel.SismoRes.	0	24	25	0,00	0,00	0	0	0	0	0	0	0	0	0	0	0	0	0	0	0	0	2	2
21	25	Tel.SismoRes.	0	26	27	0,00	0,00	0	0	0	0	0	0	0	0	0	0	0	0	0	0	0	0	2	2
22	25	Tel.SismoRes.	0	27	28	0,00	0,00	0	0	0	0	0	0	0	0	0	0	0	0	0	0	0	0	2	2
23	25	Tel.SismoRes.	0	28	29	0,00	0,00	0	0	0	0	0	0	0	0	0	0	0	0	0	0	0	0	2	2
24	25	Tel.SismoRes.	0	29	30	0,00	0,00	0	0	0	0	0	0	0	0	0	0	0	0	0	0	0	0	2	2
25	25	Tel.SismoRes.	0	30	31	0,00	0,00	0	0	0	0	0	0	0	0	0	0	0	0	0	0	0	0	2	2
26	25	Tel.SismoRes.	0	32	33	0,00	0,00	0	0	0	0	0	0	0	275	0	0	275	0	0	0	0	0	2	2
27	25	Tel.SismoRes.	0	33	38	0,00	0,00	0	0	0	0	0	0	0	924	0	0	924	0	0	0	0	0	2	2
28	25	Tel.SismoRes.	0	34	35	0,00	0,00	0	0	0	0	0	0	0	924	0	0	924	0	0	0	0	0	2	2
29	25	Tel.SismoRes.	0	35	36	0,00	0,00	0	0	0	0	0	0	0	924	0	0	924	0	0	0	0	0	2	2
30	25	Tel.SismoRes.	0	37	19	0,00	0,00	0	0	0	0	0	0	0	0	0	0	0	0	0	0	0	0	2	2
31	25	Tel.SismoRes.	0	1	6	0,00	0,00	0	0	0	0	0	0	0	0	0	0	0	0	0	0	0	0	2	2
32	25	Tel.SismoRes.	0	2	7	0,00	0,00	0	0	0	0	0	0	0	0	0	0	0	0	0	0	0	0	2	2
33	25	Tel.SismoRes.	0	3	8	0,00	0,00	0	0	0	0	0	0	0	0	0	0	0	0	0	0	0	0	2	2
34	25	Tel.SismoRes.	0	4	9	0,00	0,00	0	0	0	0	0	0	0	0	0	0	0	0	0	0	0	0	2	2
35	25	Tel.SismoRes.	0	5	10	0,00	0,00	0	0	0	0	0	0	0	859	0	0	859	0	0	0	0	0	2	2
36	25	Tel.SismoRes.	0	6	11	0,00	0,00	0	0	0	0	0	0	0	0	0	0	0	0	0	0	0	0	2	2
37	25	Tel.SismoRes.	0	7	12	0,00	0,00	0	0	0	0	0	0	0	0	0	0	0	0	0	0	0	0	2	2
38	25	Tel.SismoRes.	0	9	14	0,00	0,00	0	0	0	0	0	0	0	0	0	0	0	0	0	0	0	0	2	2
39	25	Tel.SismoRes.	0	10	15	0,00	0,00	0	0	0	0	0	0	0	828	0	0	828	0	0	0	0	0	2	2
40	25	Tel.SismoRes.	0	11	16	0,00	0,00	0	0	0	0	0	0	0	0	0	0	0	0	0	0	0	0	2	2
41	25	Tel.SismoRes.	0	12	17	0,00	0,00	0	0	0	0	0	0	0	0	0	0	0	0	0	0	0	0	2	2
42	25	Tel.SismoRes.	0	13	18	0,00	0,00	0	0	0	0	0	0	0	0	0	0	0	0	0	0	0	0	2	2
43	25	Tel.SismoRes.	0	14	37	0,00	0,00	0	0	0	0	0	0	0	0	0	0	0	0	0	0	0	0	2	2

TRAVI IN C.A. ALLA QUOTA 0 m																											
		DATI GENERALI					QUOTE		SCOSTAMENTI						CARICHI												
Trav N.ro	Sez. N.ro	Tipo Elem. x il sisma	Ang Grd	Fin in.	Fin fin	Q in. (m)	Q.fin (m)	Dxi cm	Dyi cm	Dzi cm	Dxf cm	Dyf cm	Dzf cm	Pann. kg/m	Tamp. kg/m	Ball. kg/m	Espl. kg/m	Tot. kg/m	Torc. kg	Orizz. kg/m	Assial kg/m	Ali %	Cr Nr	Cit Geo			
44	25	Tel.SismoRes.	0	15	19	0,00	0,00	0	0	0	0	0	0	0	732	0	0	732	0	0	0	0	2	2			
45	25	Tel.SismoRes.	0	16	21	0,00	0,00	0	0	0	0	0	0	0	0	0	0	0	0	0	0	0	2	2			
46	25	Tel.SismoRes.	0	17	22	0,00	0,00	0	0	0	0	0	0	0	0	0	0	0	0	0	0	0	2	2			
47	25	Tel.SismoRes.	0	20	25	0,00	0,00	0	0	0	0	0	0	0	824	0	0	824	0	0	0	0	2	2			
48	25	Tel.SismoRes.	0	21	26	0,00	0,00	0	0	0	0	0	0	0	0	0	0	0	0	0	0	0	2	2			
49	25	Tel.SismoRes.	0	22	28	0,00	0,00	0	0	0	0	0	0	0	0	0	0	0	0	0	0	0	2	2			
50	25	Tel.SismoRes.	0	23	29	0,00	0,00	0	0	0	0	0	0	0	0	0	0	0	0	0	0	0	2	2			
51	25	Tel.SismoRes.	0	24	30	0,00	0,00	0	0	0	0	0	0	0	0	0	0	0	0	0	0	0	2	2			
52	25	Tel.SismoRes.	0	25	31	0,00	0,00	0	0	0	0	0	0	0	732	0	0	732	0	0	0	0	2	2			
53	25	Tel.SismoRes.	0	26	32	0,00	0,00	0	0	0	0	0	0	0	0	0	0	0	0	0	0	0	2	2			
54	25	Tel.SismoRes.	0	28	38	0,00	0,00	0	0	0	0	0	0	0	0	0	0	0	0	0	0	0	2	2			
55	25	Tel.SismoRes.	0	29	34	0,00	0,00	0	0	0	0	0	0	0	0	0	0	0	0	0	0	0	2	2			
56	25	Tel.SismoRes.	0	30	35	0,00	0,00	0	0	0	0	0	0	0	0	0	0	0	0	0	0	0	2	2			
57	25	Tel.SismoRes.	0	31	36	0,00	0,00	0	0	0	0	0	0	0	859	0	0	859	0	0	0	0	2	2			
58	25	Tel.SismoRes.	0	37	24	0,00	0,00	0	0	0	0	0	0	0	0	0	0	0	0	0	0	0	2	2			
59	25	Tel.SismoRes.	0	8	13	0,00	0,00	0	0	0	0	0	0	0	0	0	0	0	0	0	0	0	2	2			
60	25	Tel.SismoRes.	0	18	23	0,00	0,00	0	0	0	0	0	0	0	0	0	0	0	0	0	0	0	2	2			
61	25	Tel.SismoRes.	0	38	34	0,00	0,00	0	0	0	0	0	0	0	924	0	0	924	0	0	0	0	2	2			
62	25	Tel.SismoRes.	0	27	44	0,00	0,00	0	0	0	0	1	0	0	0	0	0	0	0	0	0	0	2	2			
63	25	Tel.SismoRes.	0	44	33	0,00	0,00	0	1	0	0	0	0	0	0	0	0	0	0	0	0	0	2	2			
64	27	Tel.SismoRes.	0	44	42	0,00	1,80	0	0	0	0	0	0	0	0	2100	0	2100	2000	0	0	60	1				

TRAVI IN C.A. ALLA QUOTA 3.6 m																										
		DATI GENERALI					QUOTE		SCOSTAMENTI						CARICHI											
Trav N.ro	Sez. N.ro	Tipo Elem. x il sisma	Ang Grd	Fin in.	Fin fin	Q in. (m)	Q fin (m)	Dxi cm	Dyi cm	Dzi cm	Dxf cm	Dyf cm	Dzf cm	Pann. kg/m	Tamp. kg/m	Ball. kg/m	Espl. kg/m	Tot. kg/m	Torc. kg	Orizz. kg/m	Assial kg/m	Ali %	Cr Nr	Cit Geo		
1	7	Tel.SismoRes.	0	1	2	3,60	3,60	0	0	0	0	0	0	3508	754	620	0	4881	0	0	0	51	1			
2	7	Tel.SismoRes.	0	2	3	3,60	3,60	0	0	0	0	0	0	0	754	620	0	1373	0	0	0	0	1			
3	7	Tel.SismoRes.	0	3	4	3,60	3,60	0	0	0	0	0	0	3508	754	620	0	4881	0	0	0	51	1			
4	7	Tel.SismoRes.	0	4	5	3,60	3,60	0	0	0	0	0	0	0	0	620	0	620	0	0	0	0	1			
5	7	Tel.SismoRes.	0	6	7	3,60	3,60	0	0	0	0	0	0	5852	0	0	0	5852	0	0	0	60	1			
6	7	Tel.SismoRes.	0	7	8	3,60	3,60	0	0	0	0	0	0	2344	0	0	0	2344	0	0	0	60	1			
7	7	Tel.SismoRes.	0	8	9	3,60	3,60	0	0	0	0	0	0	5852	0	0	0	5852	0	0	0	60	1			
8	7	Tel.SismoRes.	0	9	10	3,60	3,60	0	0	0	0	0	0	2033	0	0	0	2033	0	0	0	0	1			
9	7	Tel.SismoRes.	0	11	12	3,60	3,60	0	0	0	0	0	0	3464	0	0	0	3464	0	0	0	60	1			
10	7	Tel.SismoRes.	0	12	13	3,60	3,60	0	0	0	0	0	0	3464	0	0	0	3464	0	0	0	60	1			
11	7	Tel.SismoRes.	0	13	14	3,60	3,60	0	0	0	0	0	0	3464	0	0	0	3464	0	0	0	60	1			
12	7	Tel.SismoRes.	0	14	15	3,60	3,60	0	0	0	0	0	0	3004	0	0	0	3004	0	0	0	0	1			
13	7	Tel.SismoRes.	0	16	17	3,60	3,60	0	0	0	0	0	0	3358	859	0	0	4217	0	0	0	60	1			
14	7	Tel.SismoRes.	0	17	18	3,60	3,60	0	0	0	0	0	0	1224	859	0	0	2083	0	0	0	60	1			
15	7	Tel.SismoRes.	0	18	37	3,60	3,60	0	0	0	0	0	0	3358	859	0	0	4217	0	0	0	60	1			
16	7	Tel.SismoRes.	0	19	20	3,60	3,60	0	0	0	0	0	0	2342	739	0	0	3081	0	0	0	60	1			
17	7	Tel.SismoRes.	0	21	22	3,60	3,60	0	0	0	0	0	0	3358	0	0	0	3358	0	0	0	60	1			
18	7	Tel.SismoRes.	0	22	23	3,60	3,60	0	0	0	0	0	0	1224	0	0	0	1224	0	0	0	60	1			
19	7	Tel.SismoRes.	0	23	24	3,60	3,60	0	0	0	0	0	0	3358	0	0	0	3358	0	0	0	60	1			
20	7	Tel.SismoRes.	0	24	25	3,60	3,60	0	0	0	0	0	0	3358	0	0	0	3358	0	0	0	60	1			
21	7	Tel.SismoRes.	0	26	27	3,60	3,60	0	0	0	0	0	0	1224	0	0	0	1224	0	0	0	60	1			
22	7	Tel.SismoRes.	0	27	28	3,60	3,60	0	0	0	0	0	0	1120	0	0	0	1120	0	0	0	60	1			
23	7	Tel.SismoRes.	0	28	29	3,60	3,60	0	0	0	0	0	0	4628	0	0	0	4628	0	0	0	60	1			
24	7	Tel.SismoRes.	0	29	30	3,60	3,60	0	0	0	0	0	0	1120	0	0	0	1120	0	0	0	60	1			
25	7	Tel.SismoRes.	0	30	31	3,60	3,60	0	0	0	0	0	0	4628	0	0	0	4628	0	0	0	60	1			
26	7	Tel.SismoRes.	0	32	33	3,60	3,60	0	0	0	0	0	0	0	152	0	0	152	0	0	0	0	1			
27	7	Tel.SismoRes.	0	33	38	3,60	3,60	0	0	0	0	0	0	0	344	0	0	344	0	0	0	0	1			
28	7	Tel.SismoRes.	0	34	35	3,60	3,60	0	0	0	0	0	0	0	859	0	0	859	0	0	0	0	1			
29	7	Tel.SismoRes.	0	35	36	3,60	3,60	0	0	0	0	0	0	3612	859	0	0	4471	0	0	0	60	1			
30	7	Tel.SismoRes.	0	1	6	3,60	3,60	0	0	0	0	0	0	0	0	0	0	0	0	0	0	0	1			
31	7	Tel.SismoRes.	0	2	7	3,60	3,60	0	0	0	0	0	0	3508	0	0	0	3508	0	0	0	60	1			
32	7	Tel.SismoRes.	0	3	8	3,60	3,60	0	0	0	0	0	0	3508	0	0	0	3508	0	0	0	60	1			
33	7	Tel.SismoRes.	0	4	9	3,60	3,60	0	0	0	0	0	0	1940	754	0	0	2694	0	0	0	0	1			
34	7	Tel.SismoRes.	0	5	10	3,60	3,60	0	0	0	0	0	0	1940	0	725	0	2665	0	0	0	0	1			
35	7	Tel.SismoRes.	0	6	11	3,60	3,60	0	0	0	0	0	0	0	0	0	0	0	0	0	0	0	1			
36	7	Tel.SismoRes.	0	7	12	3,60	3,60	0	0	0	0	0	0	0	0	0	0	0	0	0	0	0	1			
37	7	Tel.SismoRes.	0	9	14	3,60	3,60	0	0	0	0	0	0	0	729	0	0	729	0	0	0	0	1			
38	7	Tel.SismoRes.	0	10	15	3,60	3,60	0	0	0	0	0	0	0	0	620	0	620	0	0	0	0	1			
39	7	Tel.SismoRes.	0	11	16	3,60	3,60	0	0	0	0	0	0	0	0	0	0	0	0	0	0	0	1			
40	7	Tel.SismoRes.	0	12	17	3,60	3,60	0	0	0	0	0	0	0	0	0	0	0	0	0	0	0	1			
41	7	Tel.SismoRes.	0	13	18	3,60	3,60	0	0	0	0	0	0	0	0	0	0	0	0	0	0	0	1			
42	7	Tel.SismoRes.	0	14	37	3,60	3,60	0	0	0	0	-2	0	0	653	0	0	653	0	0	0	0	1			
43	7	Tel.SismoRes.	0	15	19	3,60	3,60	0	0	0	0	0	0	0	0	620	0	620	0	0	0	0	1			
44	7	Tel.SismoRes.	0	16	21	3,60	3,60	0	0	0	0	0	0	0	0	0	0	0	0	0	0	0	1			
45	7	Tel.SismoRes.	0	17	22	3,60	3,60	0	0	0	0	0	0	0	0	0	0	0	0	0	0	0	1			
46	7	Tel.SismoRes.	0	21	26	3,60	3,60	0	0	0	0	0	0	0	0	0	0	0	0	0	0	0	1			
47	7	Tel.SismoRes.	0	22	28	3,60	3,60	0	0	0	0	0	0	0	0	0	0	0	0	0	0	0	1			
48	7	Tel.SismoRes.	0	23	29	3,60	3,60	0	0	0	0	0	0	0	0	0	0	0	0	0	0	0	1			
49	7	Tel.SismoRes.	0	24	30	3,60	3,60	0	0	0	0	0	0	0	0	0	0	0	0	0	0	0	1			
50	27	Tel.SismoRes.	0	26	43	3,60	3,60	0	0	0	0	0	0	0	0	0	0	0	0	0	0	0	1			
51	27	Tel.SismoRes.	0	27	44	3,60	3,60	0	0	0	0	1	0	1122	0	0	0	1122	0	0	0	60	1			
52	7	Tel.SismoRes.	0	29	34	3,60	3,60	0	0	0	0	0	0	3508	0	0	0	3508	0	0	0	60	1			
53	7	Tel.SismoRes.	0	30	35	3,60	3,60	0	0	0	0	0	0	3508	0	0	0	3508	0	0	0	60	1			
54	7	Tel.SismoRes.	0	20	25	3,60	3,60	0	0	0	0	0	0	0	824	0	0	824	0	0	0	0	1			
55	7	Tel.SismoRes.	0	25	31	3,60	3,60	0	0	0	0	0	0	0	732	0	0	732	0	0	0	0	1			
56	7	Tel.SismoRes.	0	31	36	3,60	3,60	0	0	0	0	0	0	0	859	0	0	859	0	0	0	0	1			
57	7	Tel.SismoRes.	0	23	18	3,60	3,60	0	0	0	0	0	0	0	0	0	0	0	0	0	0	0	1			
58	7	Tel.SismoRes.	0	13	8	3,60	3,60	0	0	0	0	0	0	0	0	0	0	0	0	0	0	0	1			

TRAVI IN C.A. ALLA QUOTA 3.6 m																											
		DATI GENERALI					QUOTE		SCOSTAMENTI						CARICHI												
Trav N.ro	Sez. N.ro	Tipo Elem. x il sisma	Ang Grd	Fin in.	Fin fin.	Q in. (m)	Q fin (m)	Dxi cm	Dyi cm	Dzi cm	Dxf cm	Dyf cm	Dzf cm	Pann. kg/m	Tamp. kg/m	Ball. kg/m	Espl. kg/m	Tot. kg/m	Torc. kg	Orizz. kg/m	Assial kg/m	Ali %	Cr Nr	Cit Geo			
59	7	Tel.SismoRes.	0	37	19	3,60	3,60	0	0	0	0	0	0	3209	824	0	0	4032	0	0	0	39	1				
60	7	Tel.SismoRes.	0	37	24	3,60	3,60	0	-2	0	0	0	0	0	0	0	0	0	0	0	0	0	1				
61	7	Tel.SismoRes.	0	38	34	3,60	3,60	0	0	0	0	0	0	3612	859	0	0	4471	0	0	0	60	1				
62	7	Tel.SismoRes.	0	28	38	3,60	3,60	0	0	0	0	0	0	1018	0	0	0	1018	0	0	0	60	1				
64	7	Tel.SismoRes.	0	43	32	3,60	3,60	0	0	0	0	0	0	0	0	0	0	0	0	0	0	0	1				
65	7	Tel.SismoRes.	0	44	33	3,60	3,60	0	1	0	0	0	0	1122	0	0	0	1122	0	0	0	60	1				

TRAVI IN C.A. ALLA QUOTA 7.2 m																										
		DATI GENERALI					QUOTE		SCOSTAMENTI					CARICHI												
Trav N.ro	Sez. N.ro	Tipo Elem. x il sisma	Ang Grd	Fin in.	Fin fin.	Q in. (m)	Q fin (m)	Dxi cm	Dyi cm	Dzi cm	Dxf cm	Dyf cm	Dzf cm	Pann. kg/m	Tamp. kg/m	Ball. kg/m	Espl. kg/m	Tot. kg/m	Torc. kg	Orizz. kg/m	Assial kg/m	Ali %	Cr Nr	Cit Geo		
1	7	Tel.SismoRes.	0	16	17	7,20	7,20	0	0	0	0	0	0	1602	0	0	0	1602	0	0	0	0	0	1		
2	7	Tel.SismoRes.	0	17	18	7,20	7,20	0	0	0	0	0	0	1602	0	0	0	1602	0	0	0	0	0	1		
3	7	Tel.SismoRes.	0	18	37	7,20	7,20	0	0	0	0	0	0	1602	0	0	0	1602	0	0	0	0	0	1		
4	7	Tel.SismoRes.	0	19	20	7,20	7,20	0	0	0	0	0	0	1602	0	706	0	2308	0	0	0	0	0	1		
5	7	Tel.SismoRes.	0	21	22	7,20	7,20	0	0	0	0	0	0	2397	0	0	0	2397	0	0	0	0	0	1		
6	7	Tel.SismoRes.	0	22	23	7,20	7,20	0	0	0	0	0	0	2397	0	0	0	2397	0	0	0	0	0	1		
7	7	Tel.SismoRes.	0	23	24	7,20	7,20	0	0	0	0	0	0	2397	0	0	0	2397	0	0	0	0	0	1		
8	7	Tel.SismoRes.	0	24	25	7,20	7,20	0	0	0	0	0	0	2397	0	0	0	2397	0	0	0	0	0	1		
9	7	Tel.SismoRes.	0	26	27	7,20	7,20	0	0	0	0	0	0	856	522	0	0	1377	0	0	0	0	0	1		
10	7	Tel.SismoRes.	0	27	28	7,20	7,20	0	0	0	0	0	0	795	0	0	0	795	0	0	0	0	0	1		
11	7	Tel.SismoRes.	0	28	29	7,20	7,20	0	0	0	0	0	0	3315	0	0	0	3315	0	0	0	0	0	1		
12	7	Tel.SismoRes.	0	29	30	7,20	7,20	0	0	0	0	0	0	3315	0	0	0	3315	0	0	0	0	0	1		
13	7	Tel.SismoRes.	0	30	31	7,20	7,20	0	0	0	0	0	0	3315	0	0	0	3315	0	0	0	0	0	1		
14	7	Tel.SismoRes.	0	32	33	7,20	7,20	0	0	0	0	0	0	0	616	504	0	1120	0	0	0	0	0	1		
15	7	Tel.SismoRes.	0	33	38	7,20	7,20	0	0	0	0	0	0	0	0	504	0	504	0	0	0	0	0	1		
16	7	Tel.SismoRes.	0	34	35	7,20	7,20	0	0	0	0	0	0	2520	0	504	0	3024	0	0	0	0	0	1		
17	7	Tel.SismoRes.	0	35	36	7,20	7,20	0	0	0	0	0	0	2520	0	575	0	3095	0	0	0	0	0	1		
18	7	Tel.SismoRes.	0	16	21	7,20	7,20	0	0	0	0	0	0	0	0	0	0	0	0	0	0	0	0	1		
19	7	Tel.SismoRes.	0	17	22	7,20	7,20	0	0	0	0	0	0	0	0	0	0	0	0	0	0	0	0	1		
20	7	Tel.SismoRes.	0	21	26	7,20	7,20	0	0	0	0	0	0	0	0	0	0	0	0	0	0	0	0	1		
21	7	Tel.SismoRes.	0	22	28	7,20	7,20	0	0	0	0	0	0	0	0	0	0	0	0	0	0	0	0	1		
22	7	Tel.SismoRes.	0	23	29	7,20	7,20	0	0	0	0	0	0	0	0	0	0	0	0	0	0	0	0	1		
23	7	Tel.SismoRes.	0	24	30	7,20	7,20	0	0	0	0	0	0	0	0	0	0	0	0	0	0	0	0	1		
24	27	Tel.SismoRes.	0	26	43	7,20	7,20	0	0	0	0	0	0	0	616	0	0	616	0	0	0	0	0	1		
25	7	Tel.SismoRes.	0	27	33	7,20	7,20	0	0	0	0	0	0	782	616	0	0	1398	0	0	0	0	0	1		
26	7	Tel.SismoRes.	0	29	34	7,20	7,20	0	0	0	0	0	0	0	0	0	0	0	0	0	0	0	0	1		
27	7	Tel.SismoRes.	0	30	35	7,20	7,20	0	0	0	0	0	0	0	0	0	0	0	0	0	0	0	0	1		
28	7	Tel.SismoRes.	0	20	25	7,20	7,20	0	0	0	0	0	0	0	0	504	0	504	0	0	0	0	0	1		
29	7	Tel.SismoRes.	0	25	31	7,20	7,20	0	0	0	0	0	0	0	0	504	0	504	0	0	0	0	0	1		
30	7	Tel.SismoRes.	0	31	36	7,20	7,20	0	0	0	0	0	0	0	0	504	0	504	0	0	0	0	0	1		
31	7	Tel.SismoRes.	0	37	19	7,20	7,20	0	0	0	0	0	0	1602	0	504	0	2106	0	0	0	0	0	1		
32	7	Tel.SismoRes.	0	23	18	7,20	7,20	0	0	0	0	0	0	0	0	0	0	0	0	0	0	0	0	1		
33	7	Tel.SismoRes.	0	24	37	7,20	7,20	0	0	0	0	0	0	0	0	0	0	0	0	0	0	0	0	1		
34	7	Tel.SismoRes.	0	38	34	7,20	7,20	0	0	0	0	0	0	2520	0	504	0	3024	0	0	0	0	0	1		
35	7	Tel.SismoRes.	0	28	38	7,20	7,20	0	0	0	0	0	0	721	0	0	0	721	0	0	0	0	0	1		
36	7	Tel.SismoRes.	0	43	32	7,20	7,20	0	0	0	0	0	0	0	616	0	0	616	0	0	0	0	0	1		

TRAVI IN ACCIAIO/LEGNO ALLA QUOTA 7.2 m																									
		DATI GENERALI					QUOTE		SCOSTAMENTI						CARICHI										
Trav N.ro	Sez. N.ro	Tipo Elemento fini sismici	Ang Grd	Fin in.	Fin fin.	Q in. (m)	Q fin (m)	Dxi cm	Dyi cm	Dzi cm	Dxf cm	Dyf cm	Dzf cm	Pann	Tamp	Ball kg / m	Espl	Tot.	Torc kg	Orizz kg / m	Assia	Ali %	Crit N.ro		
37	195	Tel.SismoRes.	0	1	6	7,20	7,20	0	0	0	0	0	0	1420	0	0	0	1420	0	0	0	0	101		
38	195	Tel.SismoRes.	0	6	11	7,20	7,20	0	0	0	0	0	0	0	0	0	0	0	0	0	0	0	101		
39	195	Tel.SismoRes.	0	11	16	7,20	7,20	0	0	0	0	0	0	1420	0	0	0	1420	0	0	0	0	101		
40	195	Tel.SismoRes.	0	2	7	7,20	7,20	0	0	0	0	0	0	1420	0	0	0	1420	0	0	0	0	101		
41	195	Tel.SismoRes.	0	7	12	7,20	7,20	0	0	0	0	0	0	1420	0	0	0	1420	0	0	0	0	101		
42	195	Tel.SismoRes.	0	12	17	7,20	7,20	0	0	0	0	0	0	2840	0	0	0	2840	0	0	0	0	101		
43	195	Tel.SismoRes.	0	3	8	7,20	7,20	0	0	0	0	0	0	1420	0	0	0	1420	0	0	0	0	101		
44	195	Tel.SismoRes.	0	8	13	7,20	7,20	0	0	0	0	0	0	1420	0	0	0	1420	0	0	0	0	101		
45	195	Tel.SismoRes.	0	13	18	7,20	7,20	0	0	0	0	0	0	2840	0	0	0	2840	0	0	0	0	101		
46	195	Tel.SismoRes.	0	4	9	7,20	7,20	0	0	0	0	0	0	1420	0	0	0	1420	0	0	0	0	101		
47	195	Tel.SismoRes.	0	9	14	7,20	7,20	0	0	0	0	0	0	0	0	0	0	0	0	0	0	0	101		
48	195	Tel.SismoRes.	0	14	37	7,20	7,20	0	0	0	0	0	0	1420	0	0	0	1420	0	0	0	0	101		
49	195	Tel.SismoRes.	0	1	2	7,20	7,20	0	0	0	0	0	0	0	0	0	0	0	0	0	0	0	101		
50	195	Tel.SismoRes.	0	2	3	7,20	7,20	0	0	0	0	0	0	0	1420	0	0	0	1420	0	0	0	101		
51	195	Tel.SismoRes.	0	3	4	7,20	7,20	0	0	0	0	0	0	0	0	0	0	0	0	0	0	0	101		
52	195	Tel.SismoRes.	0	6	7	7,20	7,20	0	0	0	0	0	0	0	962	0	0	0	962	0	0	0	101		
53	195	Tel.SismoRes.	0	7	8	7,20	7,20	0	0	0	0	0	0	0	1420	0	0	0	1420	0	0	0	101		
54	195	Tel.SismoRes.	0	8	9	7,20	7,20	0	0	0	0	0	0	0	962	0	0	0	962	0	0	0	101		
55	195	Tel.SismoRes.	0	11	12	7,20	7,20	0	0	0	0	0	0	0	962	0	0	0	962	0	0	0	101		
56	195	Tel.SismoRes.	0	12	13	7,20	7,20	0	0	0	0	0	0	0	0	0	0	0	0	0	0	0	101		
57	195	Tel.SismoRes.	0	13	14	7,20	7,20	0	0	0	0	0	0	0	962	0	0	0	962	0	0	0	101		

# C.D.S.

		DATI GENERALI				QUOTE		SCOSTAMENTI						CARICHI											
Trav	Sez.	Tipo Elem.	Ang	Fin	Fin	Q in.	Q fin	Dxi	Dyi	Dzi	Dxf	Dyf	Dzf	Pann.	Tamp.	Ball.	Espl.	Tot.	Torc.	Orizz.	Assial	Ali	Cr	Cit	
N.ro	N.ro	x il sisma	Grd	in.	fin	(m)	(m)	cm	cm	cm	cm	cm	cm	kg/m	kg/m	kg/m	kg/m	kg/m	kg	kg/m	kg/m	%	Nr	Geo	
1	7	Tel.SismoRes.	0	32	26	9,80	9,80	0	0	0	0	0	0	1712	0	589	0	2302	0	0	0	0	1		
2	7	Tel.SismoRes.	0	33	27	9,80	9,80	0	0	0	0	0	0	1712	0	725	0	2437	0	0	0	0	1		
3	7	Tel.SismoRes.	0	32	33	9,80	9,80	0	0	0	0	0	0	0	0	620	0	620	0	0	0	0	1		
4	26	Tel.SismoRes.	0	26	27	9,80	9,80	0	0	0	0	0	0	0	0	0	0	0	0	0	0	0	1		
5	7	Tel.SismoRes.	0	27	40	9,80	9,80	0	0	0	0	0	0	1712	0	992	0	2704	0	0	0	0	1		
6	7	Tel.SismoRes.	0	26	39	9,80	9,80	0	0	0	0	0	0	1712	0	806	0	2519	0	0	0	0	1		
7	1	Tel.SismoRes.	0	39	40	9,80	9,80	0	0	0	0	0	0	0	0	639	0	639	0	0	0	0	1		

TRAVI IN C.A. ALLA QUOTA 1.8 m																									
		DATI GENERALI					QUOTE		SCOSTAMENTI					CARICHI											
Trav	Sez.	Tipo Elem.	Ang	Fin	Fin	Q in.	Q fin	Dxi	Dyi	Dzi	Dxf	Dyf	Dzf	Pann.	Tamp.	Ball.	Espl.	Tot.	Torc.	Orizz.	Assial	Ali	Cr	Cit	
N.ro	N.ro	x il sisma	Grd	in.	fin	(m)	(m)	cm	cm	cm	cm	cm	cm	kg/m	kg/m	kg/m	kg/m	kg/m	kg	kg/m	kg/m	%	Nr	Geo	
1	27	Tel.SismoRes.	0	42	33	1,80	1,80	0	0	0	0	0	0	0	0	0	0	0	0	0	0	0	1		
2	27	Tel.SismoRes.	0	33	32	1,80	1,80	0	0	0	0	0	0	0	370	0	0	370	0	0	0	0	1		
3	27	Tel.SismoRes.	0	32	41	1,80	1,80	0	0	0	0	0	0	0	0	0	0	0	0	0	0	0	1		
4	27	Tel.SismoRes.	0	41	43	1,80	3,60	0	0	0	0	0	0	0	0	2100	0	2100	2200	0	0	60	1		

TRAVI IN C.A. ALLA QUOTA 5.4 m																										
		DATI GENERALI					QUOTE		SCOSTAMENTI						CARICHI											
Trav	Sez.	Tipo Elem.	Ang	Fin	Fin	Q in.	Q.fin	Dxi	Dyi	Dzi	Dxf	Dyf	Dzf	Pann.	Tamp.	Ball.	Espl.	Tot.	Torc.	Orizz.	Assial	Ali	Cr	Cit		
N.ro	N.ro	x il sisma	Grd	in	fin	(m)	(m)	cm	cm	cm	cm	cm	cm	kg/m	kg/m	kg/m	kg/m	kg/m	kg	kg/m	kg/m	%	Nr	Geo		
1	27	Tel.SismoRes.	0	42	33	5,40	5,40	0	0	0	0	0	0	0	0	0	0	0	0	0	0	0	0	1		
2	27	Tel.SismoRes.	0	33	32	5,40	5,40	0	0	0	0	0	0	0	275	0	0	275	0	0	0	0	0	1		
3	27	Tel.SismoRes.	0	32	41	5,40	5,40	0	0	0	0	0	0	0	0	0	0	0	0	0	0	0	0	1		
4	27	Tel.SismoRes.	0	41	43	5,40	7,20	0	0	0	0	0	0	0	0	2100	0	2100	2000	0	0	60	1			
5	27	Tel.SismoRes.	0	44	42	3,60	5,40	0	0	0	0	0	0	0	0	2100	0	2100	2000	0	0	60	1			

SETTI ALLA QUOTA 5.4 m																											
		GEOMETRIA			QUOTE		SCOSTAMENTI						CARICHI VERTICALI										PRESSIONI		RINFORZI MUR		
Sett N.ro	Sez N.r	Sp. cm	Fil in.	Fil fin	Q in. (m)	Q.fin (m)	Dxi cm	Dyi cm	Dzi cm	Dxf cm	Dyf cm	Dzf cm	Pann	Tamp	Ball kg / m	Espl	Tot.	Torc kg	Orizz kg / m	Assia	Ali %	Psup. kg/mq	Pinf. kg/mq	Mat Nro	Ini cm	Fin. cm	
6	601	20	33	38	5,40	5,40	0	0	0	0	0	0	0	0	0	0	0	0	0	0	0	0	0	0	0	0	

COMBINAZIONI CARICHI A1 - S.L.V. / S.L.D.															
DESCRIZIONI	1	2	3	4	5	6	7	8	9	10	11	12	13	14	15
Peso Strutturale	1,30	1,30	1,00	1,00	1,00	1,00	1,00	1,00	1,00	1,00	1,00	1,00	1,00	1,00	1,00
Perm.Non Strutturale	1,50	1,50	1,00	1,00	1,00	1,00	1,00	1,00	1,00	1,00	1,00	1,00	1,00	1,00	1,00
Var.Scuole	1,50	1,05	0,60	0,60	0,60	0,60	0,60	0,60	0,60	0,60	0,60	0,60	0,60	0,60	0,60
Var.Scale	1,50	1,05	0,60	0,60	0,60	0,60	0,60	0,60	0,60	0,60	0,60	0,60	0,60	0,60	0,60
Var.Neve h<=1000	0,75	1,50	0,00	0,00	0,00	0,00	0,00	0,00	0,00	0,00	0,00	0,00	0,00	0,00	0,00
Var.Coperture	1,50	0,00	0,00	0,00	0,00	0,00	0,00	0,00	0,00	0,00	0,00	0,00	0,00	0,00	0,00
Corr. Tors. dir. 0	0,00	0,00	1,00	-1,00	1,00	-1,00	1,00	-1,00	1,00	-1,00	1,00	-1,00	1,00	-1,00	-1,00
Corr. Tors. dir. 90	0,00	0,00	0,30	0,30	-0,30	-0,30	-0,30	-0,30	0,30	0,30	0,30	-0,30	-0,30	-0,30	-0,30
Sisma direz. grd 0	0,00	0,00	1,00	1,00	1,00	1,00	1,00	1,00	1,00	1,00	-1,00	-1,00	-1,00	-1,00	-1,00
Sisma direz. grd 90	0,00	0,00	0,30	0,30	0,30	0,30	-0,30	-0,30	-0,30	0,30	0,30	0,30	0,30	0,30	-0,30

COMBINAZIONI CARICHI A1 - S.L.V. / S.L.D.															
DESCRIZIONI	16	17	18	19	20	21	22	23	24	25	26	27	28	29	30
Peso Strutturale	1,00	1,00	1,00	1,00	1,00	1,00	1,00	1,00	1,00	1,00	1,00	1,00	1,00	1,00	1,00
Perm.Non Strutturale	1,00	1,00	1,00	1,00	1,00	1,00	1,00	1,00	1,00	1,00	1,00	1,00	1,00	1,00	1,00
Var.Scuole	0,60	0,60	0,60	0,60	0,60	0,60	0,60	0,60	0,60	0,60	0,60	0,60	0,60	0,60	0,60
Var.Scale	0,60	0,60	0,60	0,60	0,60	0,60	0,60	0,60	0,60	0,60	0,60	0,60	0,60	0,60	0,60
Var.Neve h<=1000	0,00	0,00	0,00	0,00	0,00	0,00	0,00	0,00	0,00	0,00	0,00	0,00	0,00	0,00	0,00
Var.Coperture	0,00	0,00	0,00	0,00	0,00	0,00	0,00	0,00	0,00	0,00	0,00	0,00	0,00	0,00	0,00
Corr. Tors. dir. 0	1,00	-1,00	1,00	0,30	-0,30	0,30	-0,30	0,30	-0,30	0,30	-0,30	-0,30	0,30	-0,30	0,30
Corr. Tors. dir. 90	-0,30	0,30	0,30	1,00	1,00	-1,00	-1,00	-1,00	1,00	1,00	1,00	1,00	1,00	-1,00	-1,00
Sisma direz. grd 0	-1,00	-1,00	-1,00	0,30	0,30	0,30	0,30	0,30	0,30	0,30	-0,30	-0,30	-0,30	-0,30	-0,30
Sisma direz. grd 90	-0,30	-0,30	-0,30	1,00	1,00	1,00	1,00	-1,00	-1,00	-1,00	-1,00	1,00	1,00	1,00	1,00

COMBINAZIONI CARICHI A1 - S.L.V. / S.L.D.				
DESCRIZIONI	31	32	33	34
Peso Strutturale	1,00	1,00	1,00	1,00
Perm.Non Strutturale	1,00	1,00	1,00	1,00
Var.Scuole	0,60	0,60	0,60	0,60
Var.Scale	0,60	0,60	0,60	0,60
Var.Neve h<=1000	0,00	0,00	0,00	0,00
Var.Coperture	0,00	0,00	0,00	0,00
Corr. Tors. dir. 0	-0,30	0,30	-0,30	0,30
Corr. Tors. dir. 90	-1,00	-1,00	1,00	1,00
Sisma direz. grd 0	-0,30	-0,30	-0,30	-0,30
Sisma direz. grd 90	-1,00	-1,00	-1,00	-1,00

COMBINAZIONI RARE - S.L.E.		
DESCRIZIONI	1	2
Peso Strutturale	1,00	1,00
Perm.Non Strutturale	1,00	1,00
Var.Scuole	1,00	0,70
Var.Scale	1,00	0,70
Var.Neve h<=1000	0,50	1,00
Var.Coperture	1,00	0,00



## COMBINAZIONI RARE - S.L.E.

DESCRIZIONI	1	2
Corr. Tors. dir. 0	0,00	0,00
Corr. Tors. dir. 90	0,00	0,00
Sisma direz. grd 0	0,00	0,00
Sisma direz. grd 90	0,00	0,00

## COMBINAZIONI FREQUENTI - S.L.E.

DESCRIZIONI	1	2
Peso Strutturale	1,00	1,00
Perm.Non Strutturale	1,00	1,00
Var.Scuole	0,70	0,60
Var.Scale	0,70	0,60
Var.Neve h<=1000	0,00	0,20
Var.Coperture	0,00	0,00
Corr. Tors. dir. 0	0,00	0,00
Corr. Tors. dir. 90	0,00	0,00
Sisma direz. grd 0	0,00	0,00
Sisma direz. grd 90	0,00	0,00

## COMBINAZIONI PERMANENTI - S.L.E.

DESCRIZIONI	1
Peso Strutturale	1,00
Perm.Non Strutturale	1,00
Var.Scuole	0,60
Var.Scale	0,60
Var.Neve h<=1000	0,00
Var.Coperture	0,00
Corr. Tors. dir. 0	0,00
Corr. Tors. dir. 90	0,00
Sisma direz. grd 0	0,00
Sisma direz. grd 90	0,00

## DATI ARMATURE TRAVI - SEZIONE RETTANGOLARE - QUOTA: 0 m

## ASTE IN C.A. CON SEZIONE RETTANGOLARE

IDENTIFICATIVO		ARMATURE DI INPUT												AGGIUNTIVE		RINFORZO IN FRP						
Asta Num.	Concio	FiSp mm	NFer Sup.	FiSu mm	NFer Inf.	Filn mm	NFer Par.	FiPa mm	FiSt mm	PsSt cm	Brac DirX	Brac DirY	AfSup cmq	Aflnf cmq	Mat. N.ro	Lung cm	Rag. mm	Num Avv	Nod Con	Condiz. Ambient	SpSol cm	
64	Iniz.	16	9	16	7	16	3	16	12	12	2	2	0,0	0,0								
	Mezz.	16	4	16	7	16	4	16	12	12	2	2	0,0	0,0								
	Finale	16	4	16	9	16	3	16	12	12	2	2	0,0	0,0								

## DATI ARMATURE TRAVI - SEZIONE A 'T' - QUOTA: 0 m

## ASTE IN C.A. CON SEZIONE A 'T'

IDENTIFICATI		ARMATURE DI INPUT												AGGIUNTIVE		RINFORZO IN FRP						
Asta Num.	Con cio	FiSp mm	NFer Sup.	FiSu mm	NFerr InfSx	NFerr InfCe	NFerr InfDx	Filnf mm	NFerr Paret	FiPar mm	FiSta mm	PsSta cm	Brac Y	AfSup cmq	AfInf cmq	Mat. N.ro	Lung cm	Rag. mm	Num Avv	Nod Con	Condiz. Ambient	SpSol cm
1	Iniz.	16	0	18	0	5	0	16	3	12	8	15	2	0,0	0,0							
	Mezz.	16	3	16	0	2	0	16	0	18	8	15	2	0,0	0,0							
	Final	16	1	16	0	6	0	16	3	12	8	15	2	0,0	0,0							
2	Iniz.	16	1	16	0	7	0	16	3	12	8	15	2	0,0	0,0							
	Mezz.	16	2	16	0	2	0	16	0	18	8	15	2	0,0	0,0							
	Final	16	1	16	0	6	0	16	3	12	8	15	2	0,0	0,0							
3	Iniz.	16	0	16	0	6	0	16	3	12	8	15	2	0,0	0,0							
	Mezz.	16	2	16	0	2	0	16	0	18	8	15	2	0,0	0,0							
	Final	16	1	16	0	6	0	16	3	12	8	15	2	0,0	0,0							
4	Iniz.	16	0	16	0	6	0	16	3	12	8	15	2	0,0	0,0							
	Mezz.	16	2	16	0	2	0	16	0	18	8	15	2	0,0	0,0							
	Final	16	1	16	0	5	0	16	2	12	8	15	2	0,0	0,0							
5	Iniz.	16	0	18	0	5	0	16	3	12	8	15	2	0,0	0,0							
	Mezz.	16	3	16	0	2	0	16	0	18	8	15	2	0,0	0,0							
	Final	16	1	16	0	6	0	16	3	12	8	15	2	0,0	0,0							
6	Iniz.	16	1	16	0	7	0	16	3	12	8	15	2	0,0	0,0							
	Mezz.	16	2	16	0	2	0	16	0	18	8	15	2	0,0	0,0							
	Final	16	1	16	0	6	0	16	3	12	8	15	2	0,0	0,0							
7	Iniz.	16	0	16	0	6	0	16	3	12	8	15	2	0,0	0,0							
	Mezz.	16	2	16	0	2	0	16	0	18	8	15	2	0,0	0,0							
	Final	16	1	16	0	6	0	16	3	12	8	15	2	0,0	0,0							
8	Iniz.	16	0	16	0	6	0	16	3	12	8	15	2	0,0	0,0							
	Mezz.	16	2	16	0	2	0	16	0	18	8	15	2	0,0	0,0							
	Final	16	1	16	0	5	0	16	2	12	8	15	2	0,0	0,0							
9	Iniz.	16	0	18	0	5	0	16	3	12	8	15	2	0,0	0,0							
	Mezz.	16	3	16	0	2	0	16	0	18	8	15	2	0,0	0,0							
	Final	16	1	16	0	6	0	16	3	12	8	15	2	0,0	0,0							

DATI ARMATURE TRAVI - SEZIONE A 'T' - QUOTA: 0 m																						
ASTE IN C.A. CON SEZIONE A 'T'																						
IDENTIFICATI		ARMATURE DI INPUT												AGGIUNTIVE		RINFORZO IN FRP						
Asta Num.	Con cio	FiSp mm	NFer Sup.	FiSu mm	NFerr InfSx	NFerr InfCe	NFerr InfDx	FiInf mm	NFerr Paret	FiPar mm	FiSta mm	PsSta cm	Brac Y	AfSup cmq	AfInf cmq	Mat. N.ro	Lung cm	Rag. mm	Num Avv	Nod Con	Condiz. Ambient	SpSol cm
10	Iniz.	16	1	16	0	7	0	16	3	12	8	15	2	0,0	0,0							
	Mezz.	16	2	16	0	2	0	16	0	18	8	15	2	0,0	0,0							
	Final	16	1	16	0	6	0	16	3	12	8	15	2	0,0	0,0							
11	Iniz.	16	0	16	0	6	0	16	3	12	8	15	2	0,0	0,0							
	Mezz.	16	2	16	0	2	0	16	0	18	8	15	2	0,0	0,0							
	Final	16	1	16	0	6	0	16	3	12	8	15	2	0,0	0,0							
12	Iniz.	16	0	16	0	6	0	16	3	12	8	15	2	0,0	0,0							
	Mezz.	16	2	16	0	2	0	16	0	18	8	15	2	0,0	0,0							
	Final	16	1	16	0	5	0	16	2	12	8	15	2	0,0	0,0							
13	Iniz.	16	1	18	0	5	0	16	3	12	8	15	2	0,0	0,0							
	Mezz.	16	3	18	0	2	0	16	0	18	8	15	2	0,0	0,0							
	Final	16	0	18	0	6	0	16	3	12	8	15	2	0,0	0,0							
14	Iniz.	16	0	18	0	6	0	16	3	12	8	15	2	0,0	0,0							
	Mezz.	16	3	18	0	2	0	16	0	18	8	15	2	0,0	0,0							
	Final	16	0	18	0	8	0	16	3	12	8	15	2	0,0	0,0							
15	Iniz.	16	1	18	0	6	0	16	3	12	8	15	2	0,0	0,0							
	Mezz.	16	3	18	0	2	0	16	0	18	8	15	2	0,0	0,0							
	Final	16	0	18	0	5	0	16	3	12	8	15	2	0,0	0,0							
16	Iniz.	16	0	18	0	6	0	16	1	12	8	15	2	0,0	0,0							
	Mezz.	16	3	18	0	2	0	16	0	18	8	15	2	0,0	0,0							
	Final	16	1	18	0	5	0	16	3	12	8	15	2	0,0	0,0							
17	Iniz.	16	1	18	0	5	0	16	3	12	8	15	2	0,0	0,0							
	Mezz.	16	3	18	0	2	0	16	0	18	8	15	2	0,0	0,0							
	Final	16	0	18	0	6	0	16	3	12	8	15	2	0,0	0,0							
18	Iniz.	16	0	18	0	6	0	16	3	12	8	15	2	0,0	0,0							
	Mezz.	16	3	18	0	2	0	16	0	18	8	15	2	0,0	0,0							
	Final	16	0	18	0	8	0	16	3	12	8	15	2	0,0	0,0							
19	Iniz.	16	1	18	0	6	0	16	3	12	8	15	2	0,0	0,0							
	Mezz.	16	3	18	0	2	0	16	0	18	8	15	2	0,0	0,0							
	Final	16	0	18	0	5	0	16	3	12	8	15	2	0,0	0,0							
20	Iniz.	16	0	18	0	6	0	16	4	12	8	15	2	0,0	0,0							
	Mezz.	16	3	18	0	2	0	16	0	18	8	15	2	0,0	0,0							
	Final	16	1	18	0	5	0	16	3	12	8	15	2	0,0	0,0							
21	Iniz.	16	1	18	0	5	0	16	3	12	8	15	2	0,0	0,0							
	Mezz.	16	3	18	0	3	0	16	0	18	8	15	2	0,0	0,0							
	Final	16	0	18	0	8	0	16	3	12	8	15	2	0,0	0,0							
22	Iniz.	16	0	18	0	6	0	18	1	12	8	15	2	0,0	0,0							
	Mezz.	16	0	18	0	6	1	18	0	18	8	15	2	0,0	0,0							
	Final	16	0	18	1	6	1	18	1	12	8	15	2	0,0	0,0							
23	Iniz.	16	0	18	0	6	0	18	4	12	8	15	2	0,0	0,0							
	Mezz.	16	3	18	0	2	0	16	0	18	8	15	2	0,0	0,0							
	Final	16	0	18	0	7	0	16	4	12	8	15	2	0,0	0,0							
24	Iniz.	16	0	18	0	8	0	16	4	12	8	15	2	0,0	0,0							
	Mezz.	16	3	18	0	2	0	16	0	18	8	15	2	0,0	0,0							
	Final	16	0	18	0	6	0	16	4	12	8	15	2	0,0	0,0							
25	Iniz.	16	0	18	0	6	0	16	4	12	8	15	2	0,0	0,0							
	Mezz.	16	3	18	0	3	0	16	0	18	8	15	2	0,0	0,0							
	Final	16	1	18	0	4	0	16	3	12	8	15	2	0,0	0,0							
26	Iniz.	16	1	18	0	5	0	16	3	12	8	15	2	0,0	0,0							
	Mezz.	16	3	18	0	3	0	16	0	18	8	15	2	0,0	0,0							
	Final	16	0	18	0	8	0	16	3	12	8	15	2	0,0	0,0							
27	Iniz.	16	1	18	0	6	0	18	1	12	8	15	2	0,0	0,0							
	Mezz.	16	1	18	0	6	1	18	0	18	8	15	2	8,0	0,0							
	Final	16	1	18	1	6	1	18	1	12	8	15	2	0,0	0,0							
28	Iniz.	16	0	18	0	8	0	16	4	12	8	15	2	0,0	0,0							
	Mezz.	16	3	18	0	2	0	16	0	18	8	15	2	0,0	0,0							
	Final	16	0	18	0	6	0	16	4	12	8	15	2	0,0	0,0							
29	Iniz.	16	0	18	0	6	0	16	4	12	8	15	2	0,0	0,0							
	Mezz.	16	3	18	0	3	0	16	0	18	8	15	2	0,0	0,0							

DATI ARMATURE TRAVI - SEZIONE A 'T' - QUOTA: 0 m																						
ASTE IN C.A. CON SEZIONE A 'T'																						
IDENTIFICATI		ARMATURE DI INPUT												AGGIUNTIVE		RINFORZO IN FRP						
Asta Num.	Con cio	FiSp mm	NFer Sup.	FiSu mm	NFerr InfSx	NFerr InfCe	NFerr InfDx	FiInf mm	NFerr Paret	FiPar mm	FiSta mm	PsSta cm	Brac Y	AfSup cmq	AfInf cmq	Mat. N.ro	Lung cm	Rag. mm	Num Avv	Nod Con	Condiz. Ambient	SpSol cm
	Final	16	1	18	0	4	0	16	3	12	8	15	2	0,0	0,0							
30	Iniz.	16	1	18	0	6	0	16	4	12	8	15	2	0,0	0,0							
	Mezz.	16	3	18	0	2	0	16	0	18	8	15	2	0,0	0,0							
	Final	16	1	18	0	5	0	16	3	12	8	15	2	0,0	0,0							
31	Iniz.	16	1	18	0	6	0	16	3	12	8	15	2	0,0	0,0							
	Mezz.	16	3	18	0	3	0	16	0	18	8	15	2	0,0	0,0							
	Final	16	0	18	0	5	0	16	3	12	8	15	2	0,0	0,0							
32	Iniz.	16	1	18	0	6	0	16	3	12	8	15	2	0,0	0,0							
	Mezz.	16	3	18	0	3	0	16	0	18	8	15	2	0,0	0,0							
	Final	16	0	18	0	5	0	16	3	12	8	15	2	0,0	0,0							
33	Iniz.	16	1	18	0	6	0	16	3	12	8	15	2	0,0	0,0							
	Mezz.	16	3	18	0	3	0	16	0	18	8	15	2	0,0	0,0							
	Final	16	0	18	0	5	0	16	3	12	8	15	2	0,0	0,0							
34	Iniz.	16	1	18	0	6	0	16	3	12	8	15	2	0,0	0,0							
	Mezz.	16	3	18	0	3	0	16	0	18	8	15	2	0,0	0,0							
	Final	16	0	18	0	5	0	16	3	12	8	15	2	0,0	0,0							
35	Iniz.	16	1	18	0	6	0	16	3	12	8	15	2	0,0	0,0							
	Mezz.	16	3	18	0	3	0	16	0	18	8	15	2	0,0	0,0							
	Final	16	0	18	0	5	0	16	3	12	8	15	2	0,0	0,0							
36	Iniz.	16	1	18	0	6	0	16	3	12	8	15	2	0,0	0,0							
	Mezz.	16	2	18	0	3	0	16	0	18	8	15	2	0,0	0,0							
	Final	16	0	18	0	4	0	16	3	12	8	15	2	0,0	0,0							
37	Iniz.	16	1	18	0	6	0	16	3	12	8	15	2	0,0	0,0							
	Mezz.	16	2	18	0	3	0	16	0	18	8	15	2	0,0	0,0							
	Final	16	0	18	0	4	0	16	3	12	8	15	2	0,0	0,0							
38	Iniz.	16	1	18	0	6	0	16	3	12	8	15	2	0,0	0,0							
	Mezz.	16	2	18	0	3	0	16	0	18	8	15	2	0,0	0,0							
	Final	16	1	18	0	4	0	16	3	12	8	15	2	0,0	0,0							
39	Iniz.	16	1	18	0	6	0	16	3	12	8	15	2	0,0	0,0							
	Mezz.	16	2	18	0	3	0	16	0	18	8	15	2	0,0	0,0							
	Final	16	1	18	0	4	0	16	3	12	8	15	2	0,0	0,0							
40	Iniz.	16	0	18	0	6	0	16	3	12	8	15	2	0,0	0,0							
	Mezz.	16	0	18	0	5	0	16	0	18	8	15	2	0,0	0,0							
	Final	16	0	18	0	4	0	16	3	12	8	15	2	0,0	0,0							
41	Iniz.	16	0	18	0	6	0	16	3	12	8	15	2	0,0	0,0							
	Mezz.	16	0	18	0	5	0	16	0	18	8	15	2	0,0	0,0							
	Final	16	0	18	0	4	0	16	3	12	8	15	2	0,0	0,0							
42	Iniz.	16	0	18	0	6	0	16	3	12	8	15	2	0,0	0,0							
	Mezz.	16	0	18	0	5	0	16	0	18	8	15	2	0,0	0,0							
	Final	16	0	18	0	4	0	16	3	12	8	15	2	0,0	0,0							
43	Iniz.	16	0	18	0	6	0	16	3	12	8	15	2	0,0	0,0							
	Mezz.	16	0	18	0	5	0	16	0	18	8	15	2	0,0	0,0							
	Final	16	0	18	0	4	0	16	3	12	8	15	2	0,0	0,0							
44	Iniz.	16	0	18	0	6	0	16	3	12	8	15	2	0,0	0,0							
	Mezz.	16	0	18	0	5	0	16	0	18	8	15	2	0,0	0,0							
	Final	16	0	18	0	4	0	16	3	12	8	15	2	0,0	0,0							
45	Iniz.	16	0	18	0	6	0	16	3	12	8	15	2	0,0	0,0							
	Mezz.	16	0	18	0	2	0	16	0	18	8	15	2	0,0	0,0							
	Final	16	0	18	0	4	0	16	2	12	8	15	2	0,0	0,0							
46	Iniz.	16	0	18	0	6	0	16	3	12	8	15	2	0,0	0,0							
	Mezz.	16	0	18	0	2	0	16	0	18	8	15	2	0,0	0,0							
	Final	16	0	18	0	4	0	16	2	12	8	15	2	0,0	0,0							
47	Iniz.	16	0	18	0	6	0	16	3	12	8	15	2	0,0	0,0							
	Mezz.	16	0	18	0	2	0	16	0	18	8	15	2	0,0	0,0							
	Final	16	0	18	0	4	0	16	2	12	8	15	2	0,0	0,0							
48	Iniz.	16	0	18	0	7	0	16	1	12	8	15	2	0,0	0,0							
	Mezz.	16	0	18	0	2	0	16	0	18	8	15	2	0,0	0,0							
	Final	16	0	18	0	7	0	16	1	12	8	15	2	0,0	0,0							
49	Iniz.	16	0	18	0	7	0	16	1	12	8	15	2	0,0	0,0							

DATI ARMATURE TRAVI - SEZIONE A 'T' - QUOTA: 0 m																						
ASTE IN C.A. CON SEZIONE A 'T'																						
IDENTIFICATI		ARMATURE DI INPUT												AGGIUNTIVE		RINFORZO IN FRP						
Asta Num.	Con cio	FiSp mm	NFer Sup.	FiSu mm	NFerr InfSx	NFerr InfCe	NFerr InfDx	FiInf mm	NFerr Paret	FiPar mm	FiSta mm	PsSta cm	Brac Y	AfSup cmq	AfInf cmq	Mat. N.ro	Lung cm	Rag. mm	Num Avv	Nod Con	Condiz. Ambient	SpSol cm
	Mezz. Final	16 16	0 0	18 18	0 0	2 7	0 0	16 16	0 1	18 12	8 8	15 15	2 2	0,0 0,0	0,0 0,0							
50	Iniz.	16	0	18	0	7	0	16	1	12	8	15	2	0,0	0,0							
	Mezz.	16	0	18	0	2	0	16	0	18	8	15	2	0,0	0,0							
	Final	16	0	18	0	7	0	16	1	12	8	15	2	0,0	0,0							
51	Iniz.	16	0	18	0	7	0	16	1	12	8	15	2	0,0	0,0							
	Mezz.	16	0	18	0	2	0	16	0	18	8	15	2	0,0	0,0							
	Final	16	0	18	0	7	0	16	1	12	8	15	2	0,0	0,0							
52	Iniz.	16	0	18	0	7	0	16	1	12	8	15	2	0,0	0,0							
	Mezz.	16	0	18	0	2	0	16	0	18	8	15	2	0,0	0,0							
	Final	16	0	18	0	7	0	16	1	12	8	15	2	0,0	0,0							
53	Iniz.	16	0	18	0	7	0	16	4	12	8	15	2	0,0	0,0							
	Mezz.	16	3	18	0	2	0	16	0	18	8	15	2	0,0	0,0							
	Final	16	0	18	0	7	0	16	3	12	8	15	2	0,0	0,0							
54	Iniz.	16	0	18	0	7	0	16	4	12	8	15	2	0,0	0,0							
	Mezz.	16	3	18	0	2	0	16	0	18	8	15	2	0,0	0,0							
	Final	16	0	18	0	7	0	16	3	12	8	15	2	0,0	0,0							
55	Iniz.	16	0	18	0	7	0	16	4	12	8	15	2	0,0	0,0							
	Mezz.	16	3	18	0	2	0	16	0	18	8	15	2	0,0	0,0							
	Final	16	0	18	0	7	0	16	3	12	8	15	2	0,0	0,0							
56	Iniz.	16	0	18	0	7	0	16	4	12	8	15	2	0,0	0,0							
	Mezz.	16	3	18	0	2	0	16	0	18	8	15	2	0,0	0,0							
	Final	16	0	18	0	7	0	16	3	12	8	15	2	0,0	0,0							
57	Iniz.	16	0	18	0	7	0	16	4	12	8	15	2	0,0	0,0							
	Mezz.	16	3	18	0	2	0	16	0	18	8	15	2	0,0	0,0							
	Final	16	0	18	0	7	0	16	3	12	8	15	2	0,0	0,0							
58	Iniz.	16	0	18	0	6	0	16	3	12	8	15	2	0,0	0,0							
	Mezz.	16	0	18	0	2	0	16	0	18	8	15	2	0,0	0,0							
	Final	16	0	18	0	4	0	16	2	12	8	15	2	0,0	0,0							
59	Iniz.	16	1	18	0	6	0	16	3	12	8	15	2	0,0	0,0							
	Mezz.	16	2	18	0	3	0	16	0	18	8	15	2	0,0	0,0							
	Final	16	0	18	0	4	0	16	3	12	8	15	2	0,0	0,0							
60	Iniz.	16	0	18	0	6	0	16	3	12	8	15	2	0,0	0,0							
	Mezz.	16	0	18	0	2	0	16	0	18	8	15	2	0,0	0,0							
	Final	16	0	18	0	4	0	16	2	12	8	15	2	0,0	0,0							
61	Iniz.	16	0	18	0	6	0	18	4	12	8	15	2	0,0	0,0							
	Mezz.	16	3	18	0	2	0	16	0	18	8	15	2	0,0	0,0							
	Final	16	0	18	0	7	0	16	4	12	8	15	2	0,0	0,0							
62	Iniz.	16	0	16	0	5	0	16	3	12	8	15	2	0,0	0,0							
	Mezz.	16	0	16	0	5	0	16	3	12	8	15	2	0,0	0,0							
	Final	16	0	16	0	5	0	16	3	12	8	15	2	0,0	0,0							
63	Iniz.	16	5	16	0	3	0	14	0	10	8	15	2	0,0	0,0							
	Mezz.	16	5	16	0	3	0	14	0	10	8	15	2	0,0	0,0							
	Final	16	3	16	0	3	0	12	3	12	8	15	2	0,0	0,0							

DATI ARMATURE PILASTRI - SEZIONE RETTANGOLARE - QUOTA: 3.6 m																							
ASTE IN C.A. CON SEZIONE RETTANGOLARE																							
IDENTIFICATIVO		ARMATURE DI INPUT												AGGIUNTIVE		RINFORZO IN FRP							
Asta Num.	Concio	FiSp mm	NFer Sup.	FiSu mm	NFer Inf.	FiIn mm	NFer Par.	FiPa mm	FiSt mm	PsSt cm	Brac DirX	Brac DirY	AfSup cmq	AfInf cmq	Mat. N.ro	Lung cm	Rag. mm	Num Avv	Nod Con	Condiz. Ambient	SpSol cm		
1	Iniz. Mezz. Finale	18	2	18	2	18	2	18	8	15	2	2	0,0	0,0	1	50	20	4	SI	Interna	0		
		18	2	18	2	18	2	18	8	15	2	2	0,0	0,0									
2	Iniz. Mezz. Finale	18	2	18	2	18	2	18	8	15	2	2	0,0	0,0	1	50	20	4	SI	Interna	0		
		18	2	18	2	18	2	18	8	15	2	2	0,0	0,0									
3	Iniz. Mezz. Finale	18	2	18	2	18	2	18	8	15	2	2	0,0	0,0	1	50	20	4	SI	Interna	0		
		18	2	18	2	18	2	18	8	15	2	2	0,0	0,0									
4	Iniz.	18	2	18	2	18	2	18	8	15	2	2	0,0	0,0	1	50	20	4	SI	Interna	0		

## DATI ARMATURE PILASTRI - SEZIONE RETTANGOLARE - QUOTA: 3.6 m

## ASTE IN C.A. CON SEZIONE RETTANGOLARE

IDENTIFICATIVO		ARMATURE DI INPUT											AGGIUNTIVE		RINFORZO IN FRP						
Asta Num.	Concio	FiSp mm	NFer Sup.	FiSu mm	NFer Inf.	FiIn mm	NFer Par.	FiPa mm	FiSt mm	PsSt cm	Brac DirX	Brac DirY	AfSup cmq	AfInf cmq	Mat. N.ro	Lung cm	Rag. mm	Num Avv	Nod Con	Condiz. Ambient	SpSol cm
	Mezz. Finale	18	2	18	2	18	2	18	8	15	2	2	0,0	0,0							
5	Iniz. Mezz. Finale	18	2	18	2	18	2	18	8	15	2	2	0,0	0,0	1	50	20	4	SI	Interna	0
		18	2	18	2	18	2	18	8	15	2	2	0,0	0,0							
6	Iniz. Mezz. Finale	18	2	18	2	18	2	18	8	15	2	2	0,0	0,0	1	50	20	4	SI	Interna	0
		18	2	18	2	18	2	18	8	15	2	2	0,0	0,0							
7	Iniz. Mezz. Finale	18	2	18	2	18	2	18	8	15	2	2	0,0	0,0							
		18	2	18	2	18	2	18	8	15	2	2	0,0	0,0							
8	Iniz. Mezz. Finale	18	2	18	2	18	2	18	8	15	2	2	0,0	0,0							
		18	2	18	2	18	2	18	8	15	2	2	0,0	0,0							
9	Iniz. Mezz. Finale	18	2	18	2	18	2	18	8	15	2	2	0,0	0,0							
		18	2	18	2	18	2	18	8	15	2	2	0,0	0,0							
10	Iniz. Mezz. Finale	18	2	18	2	18	2	18	8	15	2	2	0,0	0,0	1	50	20	4	SI	Interna	0
		18	2	18	2	18	2	18	8	15	2	2	0,0	0,0							
11	Iniz. Mezz. Finale	18	2	18	2	18	2	18	8	15	2	2	0,0	0,0	1	50	20	4	SI	Interna	0
		18	2	18	2	18	2	18	8	15	2	2	0,0	0,0							
12	Iniz. Mezz. Finale	18	2	18	2	18	2	18	8	15	2	2	0,0	0,0							
		18	2	18	2	18	2	18	8	15	2	2	0,0	0,0							
13	Iniz. Mezz. Finale	18	2	18	2	18	2	18	8	15	2	2	0,0	0,0							
		18	2	18	2	18	2	18	8	15	2	2	0,0	0,0							
14	Iniz. Mezz. Finale	18	2	18	2	18	2	18	8	15	2	2	0,0	0,0							
		18	2	18	2	18	2	18	8	15	2	2	0,0	0,0							
15	Iniz. Mezz. Finale	18	2	18	2	18	2	18	8	15	2	2	0,0	0,0	1	50	20	4	SI	Interna	0
		18	2	18	2	18	2	18	8	15	2	2	0,0	0,0							
16	Iniz. Mezz. Finale	18	2	18	2	18	2	18	8	15	2	2	0,0	0,0	1	50	20	4	SI	Interna	0
		18	2	18	2	18	2	18	8	15	2	2	0,0	0,0							
17	Iniz. Mezz. Finale	18	2	18	2	18	2	18	8	15	2	2	0,0	0,0							
		18	2	18	2	18	2	18	8	15	2	2	0,0	0,0							
18	Iniz. Mezz. Finale	18	2	18	2	18	2	18	8	15	2	2	0,0	0,0							
		18	2	18	2	18	2	18	8	15	2	2	0,0	0,0							
19	Iniz. Mezz. Finale	18	2	18	2	18	2	18	8	15	2	2	0,0	0,0	1	50	20	4	SI	Interna	0
		18	2	18	2	18	2	18	8	15	2	2	0,0	0,0							
20	Iniz. Mezz. Finale	18	2	18	2	18	2	18	8	15	2	2	0,0	0,0	1	50	20	4	SI	Interna	0
		18	2	18	2	18	2	18	8	15	2	2	0,0	0,0							
21	Iniz. Mezz. Finale	18	2	18	2	18	2	18	8	15	2	2	0,0	0,0	1	50	20	4	SI	Interna	0
		18	2	18	2	18	2	18	8	15	2	2	0,0	0,0							
22	Iniz. Mezz. Finale	18	2	18	2	18	2	18	8	15	2	2	0,0	0,0							
		18	2	18	2	18	2	18	8	15	2	2	0,0	0,0							

## DATI ARMATURE PILASTRI - SEZIONE RETTANGOLARE - QUOTA: 3.6 m

## ASTE IN C.A. CON SEZIONE RETTANGOLARE

IDENTIFICATIVO		ARMATURE DI INPUT											AGGIUNTIVE		RINFORZO IN FRP						
Asta Num.	Concio	FiSp mm	NFer Sup.	FiSu mm	NFer Inf.	FiIn mm	NFer Par.	FiPa mm	FiSt mm	PsSt cm	Brac DirX	Brac DirY	AfSup cmq	AfInf cmq	Mat. N.ro	Lung cm	Rag. mm	Num Avv	Nod Con	Condiz. Ambient	SpSol cm
23	Iniz.	18	2	18	2	18	2	18	8	15	2	2	0,0	0,0							
	Mezz. Finale	18	2	18	2	18	2	18	8	15	2	2	0,0	0,0							
24	Iniz.	18	2	18	2	18	2	18	8	15	2	2	0,0	0,0							
	Mezz. Finale	18	2	18	2	18	2	18	8	15	2	2	0,0	0,0							
25	Iniz.	18	2	18	2	18	2	18	8	15	2	2	0,0	0,0	1	50	20	4	SI	Interna	0
	Mezz. Finale	18	2	18	2	18	2	18	8	15	2	2	0,0	0,0							
26	Iniz.	18	2	18	2	18	2	18	8	15	2	2	0,0	0,0	1	50	20	4	SI	Interna	0
	Mezz. Finale	18	2	18	2	18	2	18	8	15	2	2	0,0	0,0							
27	Iniz.	18	2	18	2	18	2	18	8	15	2	2	0,0	0,0							
	Mezz. Finale	18	2	18	2	18	2	18	8	15	2	2	0,0	0,0							
28	Iniz.	18	2	18	2	18	2	18	8	15	2	2	0,0	0,0							
	Mezz. Finale	18	2	18	2	18	2	18	8	15	2	2	0,0	0,0							
29	Iniz.	18	2	18	2	18	2	18	8	15	2	2	0,0	0,0							
	Mezz. Finale	18	2	18	2	18	2	18	8	15	2	2	0,0	0,0							
30	Iniz.	18	2	18	2	18	2	18	8	15	2	2	0,0	0,0							
	Mezz. Finale	18	2	18	2	18	2	18	8	15	2	2	0,0	0,0							
31	Iniz.	18	2	18	2	18	2	18	8	15	2	2	0,0	0,0	1	50	20	4	SI	Interna	0
	Mezz. Finale	18	2	18	2	18	2	18	8	15	2	2	0,0	0,0							
32	Iniz.	18	2	18	2	18	2	18	8	15	2	2	0,0	0,0							
	Mezz. Finale	18	2	18	2	18	2	18	8	15	2	2	0,0	0,0							
33	Iniz.	18	2	18	2	18	2	18	8	15	2	2	0,0	0,0							
	Mezz. Finale	18	2	18	2	18	2	18	8	15	2	2	0,0	0,0							
34	Iniz.	18	2	18	2	18	2	18	8	15	2	2	0,0	0,0	1	50	20	4	SI	Interna	0
	Mezz. Finale	18	2	18	2	18	2	18	8	15	2	2	0,0	0,0							
35	Iniz.	18	2	18	2	18	2	18	8	15	2	2	0,0	0,0	1	50	20	4	SI	Interna	0
	Mezz. Finale	18	2	18	2	18	2	18	8	15	2	2	0,0	0,0							
36	Iniz.	18	2	18	2	18	2	18	8	15	2	2	0,0	0,0	1	50	20	4	SI	Interna	0
	Mezz. Finale	18	2	18	2	18	2	18	8	15	2	2	0,0	0,0							
37	Iniz.	18	2	18	2	18	2	18	8	15	2	2	0,0	0,0							
	Mezz. Finale	18	2	18	2	18	2	18	8	15	2	2	0,0	0,0							
38	Iniz.	18	2	18	2	18	2	18	8	15	2	2	0,0	0,0	1	50	20	4	SI	Interna	0
	Mezz. Finale	18	2	18	2	18	2	18	8	15	2	2	0,0	0,0							

## DATI INCAMICIATURE ACC. PILASTRI - SEZIONE RETTANGOLARE - QUOTA: 3.6 m

## ASTE IN C.A. CON SEZIONE RETTANGOLARE

IDENT.		DATI GENERALI INCAMICIATURA ACCIAIO							INIZIALE - T=Tirantini					CENT	FINALE - T=Tirantini				
Asta Num.	Flg Pre	Ang. N.ro	Angolare Descrizione	Piat N.ro	Piatto Descrizione	RagSmus mm	Coll. %	Lung cm	Pas cm	FiT mm	NumT DirX	NumT DirY	Pass cm	Lung cm	Pas cm	FiT mm	NumT DirX	NumT DirY	
32	SI	289	ANG40*6	916	PL 50*6	30	0	100	10	8	2	2	25	100	10	8	2	2	
33	SI	289	ANG40*6	916	PL 50*6	30	0	100	10	8	2	2	25	100	10	8	2	2	

DATI ARMATURE TRAVI - SEZIONE RETTANGOLARE - QUOTA: 3.6 m																						
ASTE IN C.A. CON SEZIONE RETTANGOLARE																						
IDENTIFICATIVO		ARMATURE DI INPUT												AGGIUNTIVE		RINFORZO IN FRP						
Asta Num.	Concio	FiSp mm	NFer Sup.	FiSu mm	NFer Inf.	FiIn mm	NFer Par.	FiPa mm	FiSt mm	PsSt cm	Brac DirX	Brac DirY	AfSup cmq	AfInf cmq	Mat. N.ro	Lung cm	Rag. mm	Num Avv	Nod Con	Condiz. Ambient	SpSol cm	
1	Iniz.	16	5	18	0	12	4	12	8	15	2	2	0,0	0,0								
	Mezz.	16	0	16	4	16	0	12	8	15	2	2	0,0	0,0								
	Finale	16	9	18	0	12	4	12	8	15	2	2	0,0	0,0								
2	Iniz.	16	7	18	0	12	3	12	8	15	2	2	0,0	0,0								
	Mezz.	16	0	16	3	18	0	12	8	15	2	2	0,0	0,0								
	Finale	16	6	18	0	12	3	12	8	15	2	2	0,0	0,0								
3	Iniz.	16	6	18	0	12	3	12	8	15	2	2	0,0	0,0								
	Mezz.	16	0	16	3	18	0	12	8	15	2	2	0,0	0,0								
	Finale	16	6	18	0	12	3	12	8	15	2	2	0,0	0,0								
4	Iniz.	16	6	18	3	18	3	12	8	15	2	2	0,0	0,0								
	Mezz.	16	0	16	3	18	0	12	8	15	2	2	0,0	0,0								
	Finale	16	3	18	0	12	3	12	8	15	2	2	0,0	0,0								
5	Iniz.	16	5	18	0	12	4	12	8	15	2	2	0,0	0,0								
	Mezz.	16	0	16	4	18	0	12	8	15	2	2	0,0	0,0								
	Finale	16	7	18	0	12	4	12	8	15	2	2	0,0	0,0								
6	Iniz.	16	7	18	0	12	3	12	8	15	2	2	0,0	0,0								
	Mezz.	16	0	16	3	18	0	12	8	15	2	2	0,0	0,0								
	Finale	16	6	18	0	12	3	12	8	15	2	2	0,0	0,0								
7	Iniz.	16	6	18	0	12	3	12	8	15	2	2	0,0	0,0								
	Mezz.	16	0	16	3	18	0	12	8	15	2	2	0,0	0,0								
	Finale	16	6	18	0	12	3	12	8	15	2	2	0,0	0,0								
8	Iniz.	16	6	18	3	18	3	12	8	15	2	2	0,0	0,0								
	Mezz.	16	0	16	3	18	0	12	8	15	2	2	0,0	0,0								
	Finale	16	3	18	0	12	3	12	8	15	2	2	0,0	0,0								
9	Iniz.	16	5	18	0	12	4	12	8	15	2	2	0,0	0,0								
	Mezz.	16	0	16	4	18	0	12	8	15	2	2	0,0	0,0								
	Finale	16	7	18	0	12	4	12	8	15	2	2	0,0	0,0								
10	Iniz.	16	7	18	0	12	3	12	8	15	2	2	0,0	0,0								
	Mezz.	16	0	16	3	18	0	12	8	15	2	2	0,0	0,0								
	Finale	16	6	18	0	12	3	12	8	15	2	2	0,0	0,0								
11	Iniz.	16	6	18	0	12	3	12	8	15	2	2	0,0	0,0								
	Mezz.	16	0	16	3	18	0	12	8	15	2	2	0,0	0,0								
	Finale	16	6	18	0	12	3	12	8	15	2	2	0,0	0,0								
12	Iniz.	16	6	18	3	18	3	12	8	15	2	2	0,0	0,0								
	Mezz.	16	0	16	3	18	0	12	8	15	2	2	0,0	0,0								
	Finale	16	3	18	0	12	3	12	8	15	2	2	0,0	0,0								
13	Iniz.	16	5	18	0	12	4	12	8	15	2	2	0,0	0,0								
	Mezz.	16	0	16	4	18	0	12	8	15	2	2	0,0	0,0								
	Finale	16	7	18	0	12	4	12	8	15	2	2	0,0	0,0								
14	Iniz.	16	7	18	0	12	3	12	8	15	2	2	0,0	0,0								
	Mezz.	16	0	16	3	18	0	12	8	15	2	2	0,0	0,0								
	Finale	16	6	18	0	12	3	12	8	15	2	2	0,0	0,0								
15	Iniz.	16	6	18	0	12	3	12	8	15	2	2	0,0	0,0								
	Mezz.	16	0	16	3	18	0	12	8	15	2	2	0,0	0,0								
	Finale	16	6	18	0	12	3	12	8	15	2	2	0,0	0,0								
16	Iniz.	16	2	18	1	16	1	12	8	15	2	2	0,0	0,0								
	Mezz.	16	0	16	4	18	0	12	8	15	2	2	0,0	0,0								
	Finale	16	7	18	0	12	3	12	8	15	2	2	0,0	0,0								
17	Iniz.	16	5	18	0	12	4	12	8	15	2	2	0,0	0,0								
	Mezz.	16	0	16	4	18	0	12	8	15	2	2	0,0	0,0								
	Finale	16	7	18	0	12	4	12	8	15	2	2	0,0	0,0								
18	Iniz.	16	7	18	0	12	3	12	8	15	2	2	0,0	0,0								
	Mezz.	16	0	16	3	18	0	12	8	15	2	2	0,0	0,0								
	Finale	16	6	18	0	12	3	12	8	15	2	2	0,0	0,0								
19	Iniz.	16	6	18	0	12	3	12	8	15	2	2	0,0	0,0								

## DATI ARMATURE TRAVI - SEZIONE RETTANGOLARE - QUOTA: 3.6 m

## ASTE IN C.A. CON SEZIONE RETTANGOLARE

IDENTIFICATIVO		ARMATURE DI INPUT												AGGIUNTIVE		RINFORZO IN FRP							
Asta Num.	Concio	FiSp mm	NFer Sup.	FiSu mm	NFer Inf.	FiIn mm	NFer Par.	FiPa mm	FiSt mm	PsSt cm	Brac DirX	Brac DirY	AfSup cmq	AfInf cmq	Mat. N.ro	Lung cm	Rag. mm	Num Avv	Nod Con	Condiz. Ambient	SpSol cm		
	Mezz. Finale	16 16	0 7	16 18	3 0	18 12	0 3	12 12	8 8	15 15	2 2	2 2	0,0 0,0	0,0 0,0									
20	Iniz.	16	7	18	4	18	4	12	8	15	2	2	0,0	0,0									
	Mezz.	16	0	16	4	18	0	12	8	15	2	2	0,0	0,0									
	Finale	16	7	18	0	12	3	12	8	15	2	2	0,0	0,0									
21	Iniz.	16	5	18	0	12	3	12	8	15	2	2	0,0	0,0									
	Mezz.	16	0	16	3	18	0	12	8	15	2	2	0,0	0,0									
	Finale	16	7	18	0	12	3	12	8	15	2	2	0,0	0,0									
22	Iniz.	16	7	18	0	12	3	12	8	15	2	2	0,0	0,0	1	50	20	2	NO	Interna	0		
	Mezz.	16	6	16	1	18	1	12	8	15	2	2	0,0	0,0									
	Finale	16	7	18	0	12	1	12	8	15	2	2	0,0	0,0	1	50	20	2	NO	Interna	0		
23	Iniz.	16	6	18	0	12	4	12	8	15	2	2	0,0	0,0									
	Mezz.	16	0	16	4	18	0	12	8	15	2	2	0,0	0,0									
	Finale	16	6	18	0	12	4	12	8	15	2	2	0,0	0,0									
24	Iniz.	16	7	18	0	12	3	12	8	15	2	2	0,0	0,0									
	Mezz.	16	0	16	3	18	0	12	8	15	2	2	0,0	0,0									
	Finale	16	6	18	0	12	3	12	8	15	2	2	0,0	0,0									
25	Iniz.	16	7	18	0	12	4	12	8	15	2	2	0,0	0,0									
	Mezz.	16	0	16	4	18	0	12	8	15	2	2	0,0	0,0									
	Finale	16	6	18	0	12	4	12	8	15	2	2	0,0	0,0									
26	Iniz.	16	5	18	0	12	3	12	8	15	2	2	0,0	0,0									
	Mezz.	16	0	16	3	18	0	12	8	15	2	2	0,0	0,0									
	Finale	16	7	18	0	12	3	12	8	15	2	2	0,0	0,0									
27	Iniz.	16	7	18	0	12	3	12	8	15	2	2	0,0	0,0									
	Mezz.	16	6	16	1	18	1	12	8	15	2	2	0,0	0,0									
	Finale	16	7	18	0	12	1	12	8	15	2	2	0,0	0,0									
28	Iniz.	16	7	18	0	12	3	12	8	15	2	2	0,0	0,0									
	Mezz.	16	0	16	3	18	0	12	8	15	2	2	0,0	0,0									
	Finale	16	6	18	0	12	3	12	8	15	2	2	0,0	0,0									
29	Iniz.	16	7	18	0	12	4	12	8	15	2	2	0,0	0,0									
	Mezz.	16	0	16	4	18	0	12	8	15	2	2	0,0	0,0									
	Finale	16	6	18	0	12	4	12	8	15	2	2	0,0	0,0									
30	Iniz.	16	4	16	0	12	4	12	8	15	2	2	0,0	0,0									
	Mezz.	16	0	16	4	16	0	12	8	15	2	2	0,0	0,0									
	Finale	16	9	16	0	12	4	12	8	15	2	2	0,0	0,0									
31	Iniz.	16	4	16	0	12	4	12	8	15	2	2	0,0	0,0									
	Mezz.	16	0	16	4	16	0	12	8	15	2	2	0,0	0,0									
	Finale	16	9	16	0	12	4	12	8	15	2	2	0,0	0,0									
32	Iniz.	16	4	16	0	12	4	12	8	15	2	2	0,0	0,0									
	Mezz.	16	0	16	4	16	0	12	8	15	2	2	0,0	0,0									
	Finale	16	9	16	0	12	4	12	8	15	2	2	0,0	0,0									
33	Iniz.	16	4	16	0	12	4	12	8	15	2	2	0,0	0,0									
	Mezz.	16	0	16	4	16	0	12	8	15	2	2	0,0	0,0									
	Finale	16	9	16	0	12	4	12	8	15	2	2	0,0	0,0									
34	Iniz.	16	4	16	0	12	4	12	8	15	2	2	0,0	0,0									
	Mezz.	16	0	16	4	16	0	12	8	15	2	2	0,0	0,0									
	Finale	16	9	16	0	12	4	12	8	15	2	2	0,0	0,0									
35	Iniz.	16	9	16	0	12	3	12	8	15	2	2	0,0	0,0									
	Mezz.	16	0	16	3	16	0	12	8	15	2	2	0,0	0,0									
	Finale	16	5	16	0	12	3	12	8	15	2	2	0,0	0,0									
36	Iniz.	16	9	16	0	12	3	12	8	15	2	2	0,0	0,0									
	Mezz.	16	0	16	3	16	0	12	8	15	2	2	0,0	0,0									
	Finale	16	5	16	0	12	3	12	8	15	2	2	0,0	0,0									
37	Iniz.	16	9	16	0	12	3	12	8	15	2	2	0,0	0,0									
	Mezz.	16	0	16	3	16	0	12	8	15	2	2	0,0	0,0									
	Finale	16	5	16	0	12	3	12	8	15	2	2	0,0	0,0									



## DATI ARMATURE TRAVI - SEZIONE RETTANGOLARE - QUOTA: 3.6 m

## ASTE IN C.A. CON SEZIONE RETTANGOLARE

IDENTIFICATIVO		ARMATURE DI INPUT											AGGIUNTIVE		RINFORZO IN FRP						
Asta Num.	Concio	FiSp mm	NFer Sup.	FiSu mm	NFer Inf.	FiIn mm	NFer Par.	FiPa mm	FiSt mm	PsSt cm	Brac DirX	Brac DirY	AfSup cmq	AfInf cmq	Mat. N.ro	Lung cm	Rag. mm	Num Avv	Nod Con	Condiz. Ambient	SpSol cm
38	Iniz.	16	6	16	0	12	3	12	8	15	2	2	0,0	0,0							
	Mezz.	16	0	16	3	16	0	12	8	15	2	2	0,0	0,0							
	Finale	16	3	16	0	12	4	12	8	15	2	2	0,0	0,0							
39	Iniz.	16	5	16	0	12	1	12	8	15	2	2	0,0	0,0							
	Mezz.	16	0	16	1	16	0	12	8	15	2	2	0,0	0,0							
	Finale	16	5	16	0	12	4	12	8	15	2	2	0,0	0,0							
40	Iniz.	16	5	16	0	12	1	12	8	15	2	2	0,0	0,0							
	Mezz.	16	0	16	1	16	0	12	8	15	2	2	0,0	0,0							
	Finale	16	5	16	0	12	4	12	8	15	2	2	0,0	0,0							
41	Iniz.	16	5	16	0	12	1	12	8	15	2	2	0,0	0,0							
	Mezz.	16	0	16	1	16	0	12	8	15	2	2	0,0	0,0							
	Finale	16	5	16	0	12	4	12	8	15	2	2	0,0	0,0							
42	Iniz.	16	5	16	0	12	1	12	8	15	2	2	0,0	0,0							
	Mezz.	16	0	16	1	16	0	12	8	15	2	2	0,0	0,0							
	Finale	16	5	16	0	12	4	12	8	15	2	2	0,0	0,0							
43	Iniz.	16	3	16	0	12	1	12	8	15	2	2	0,0	0,0							
	Mezz.	16	2	16	1	16	0	12	8	15	2	2	0,0	0,0							
	Finale	16	1	16	0	12	1	12	8	15	2	2	0,0	0,0							
44	Iniz.	16	5	16	0	12	2	12	8	15	2	2	0,0	0,0							
	Mezz.	16	0	16	2	16	0	12	8	15	2	2	0,0	0,0							
	Finale	16	6	16	0	12	2	12	8	15	2	2	0,0	0,0							
45	Iniz.	16	5	16	0	12	2	12	8	15	2	2	0,0	0,0							
	Mezz.	16	0	16	2	16	0	12	8	15	2	2	0,0	0,0							
	Finale	16	6	16	0	12	2	12	8	15	2	2	0,0	0,0							
46	Iniz.	16	6	16	0	12	1	12	8	15	2	2	0,0	0,0							
	Mezz.	16	0	16	1	16	0	12	8	15	2	2	0,0	0,0							
	Finale	16	6	16	0	12	1	12	8	15	2	2	0,0	0,0							
47	Iniz.	16	6	16	0	12	1	12	8	15	2	2	0,0	0,0							
	Mezz.	16	0	16	1	16	0	12	8	15	2	2	0,0	0,0							
	Finale	16	6	16	0	12	1	12	8	15	2	2	0,0	0,0							
48	Iniz.	16	6	16	0	12	1	12	8	15	2	2	0,0	0,0							
	Mezz.	16	1	16	1	16	0	12	8	15	2	2	0,0	0,0							
	Finale	16	6	16	0	12	1	12	8	15	2	2	0,0	0,0							
49	Iniz.	16	6	16	0	12	1	12	8	15	2	2	0,0	0,0							
	Mezz.	16	1	16	1	16	0	12	8	15	2	2	0,0	0,0							
	Finale	16	6	16	0	12	1	12	8	15	2	2	0,0	0,0							
50	Iniz.	16	9	16	7	16	4	16	12	12	2	2	0,0	0,0							
	Mezz.	16	6	16	7	16	4	16	12	12	2	2	0,0	0,0							
	Finale	16	6	16	7	16	4	16	12	12	2	2	0,0	0,0							
51	Iniz.	16	9	16	7	16	4	16	12	12	2	2	0,0	0,0							
	Mezz.	16	6	16	7	16	4	16	12	12	2	2	0,0	0,0							
	Finale	16	6	16	7	16	4	16	12	12	2	2	0,0	0,0							
52	Iniz.	16	6	16	0	12	4	12	8	15	2	2	0,0	0,0							
	Mezz.	16	0	16	4	16	0	12	8	15	2	2	0,0	0,0							
	Finale	16	5	16	0	12	4	12	8	15	2	2	0,0	0,0							
53	Iniz.	16	6	16	0	12	4	12	8	15	2	2	0,0	0,0							
	Mezz.	16	0	16	4	16	0	12	8	15	2	2	0,0	0,0							
	Finale	16	5	16	0	12	4	12	8	15	2	2	0,0	0,0							
54	Iniz.	16	2	16	0	12	2	12	8	15	2	2	0,0	0,0							
	Mezz.	16	0	16	2	16	0	12	8	15	2	2	0,0	0,0							
	Finale	16	4	16	0	12	2	12	8	15	2	2	0,0	0,0							
55	Iniz.	16	6	16	0	12	1	12	8	15	2	2	0,0	0,0							
	Mezz.	16	1	16	1	16	0	12	8	15	2	2	0,0	0,0							
	Finale	16	6	16	0	12	1	12	8	15	2	2	0,0	0,0							
56	Iniz.	16	7	16	0	12	4	12	8	15	2	2	0,0	0,0							

## DATI ARMATURE TRAVI - SEZIONE RETTANGOLARE - QUOTA: 3.6 m

ASTE IN C.A. CON SEZIONE RETTANGOLARE																					
IDENTIFICATIVO		ARMATURE DI INPUT											AGGIUNTIVE		RINFORZO IN FRP						
Asta Num.	Concio	FiSp mm	NFer Sup.	FiSu mm	NFer Inf.	FiIn mm	NFer Par.	FiPa mm	FiSt mm	PsSt cm	Brac DirX	Brac DirY	AfSup cmq	AfInf cmq	Mat. N.ro	Lung cm	Rag. mm	Num Avv	Nod Con	Condiz. Ambient	SpSol cm
	Mezz.	16	0	16	4	16	0	12	8	15	2	2	0,0	0,0							
	Finale	16	5	16	0	16	4	12	8	15	2	2	0,0	0,0							
57	Iniz.	16	5	16	0	12	2	12	8	15	2	2	0,0	0,0							
	Mezz.	16	0	16	2	16	0	12	8	15	2	2	0,0	0,0							
	Finale	16	6	16	0	12	2	12	8	15	2	2	0,0	0,0							
58	Iniz.	16	9	16	0	12	3	12	8	15	2	2	0,0	0,0							
	Mezz.	16	0	16	3	16	0	12	8	15	2	2	0,0	0,0							
	Finale	16	5	16	0	12	3	12	8	15	2	2	0,0	0,0							
59	Iniz.	16	6	18	3	18	3	12	8	15	2	2	0,0	0,0							
	Mezz.	16	0	16	3	18	0	12	8	15	2	2	0,0	0,0							
	Finale	16	3	18	0	12	3	12	8	15	2	2	0,0	0,0							
60	Iniz.	16	5	16	0	12	2	12	8	15	2	2	0,0	0,0							
	Mezz.	16	0	16	2	16	0	12	8	15	2	2	0,0	0,0							
	Finale	16	6	16	0	12	2	12	8	15	2	2	0,0	0,0							
61	Iniz.	16	6	18	0	12	4	12	8	15	2	2	0,0	0,0							
	Mezz.	16	0	16	4	18	0	12	8	15	2	2	0,0	0,0							
	Finale	16	6	18	0	12	4	12	8	15	2	2	0,0	0,0							
62	Iniz.	16	6	16	0	12	4	12	8	15	2	2	0,0	0,0							
	Mezz.	16	0	16	4	16	0	12	8	15	2	2	0,0	0,0							
	Finale	16	5	16	0	12	4	12	8	15	2	2	0,0	0,0							
64	Iniz.	16	6	16	0	12	4	12	8	15	2	2	0,0	0,0							
	Mezz.	16	0	16	4	16	0	12	8	15	2	2	0,0	0,0							
	Finale	16	5	16	0	12	4	12	8	15	2	2	0,0	0,0							
65	Iniz.	16	0	16	4	16	0	12	8	15	2	2	0,0	0,0							
	Mezz.	16	0	16	4	16	0	12	8	15	2	2	0,0	0,0							
	Finale	16	5	16	0	12	4	12	8	15	2	2	0,0	0,0							

## DATI ARMATURE PILASTRI - SEZIONE RETTANGOLARE - QUOTA: 7.2 m

ASTE IN C.A. CON SEZIONE RETTANGOLARE																					
IDENTIFICATIVO		ARMATURE DI INPUT											AGGIUNTIVE		RINFORZO IN FRP						
Asta Num.	Concio	FiSp mm	NFer Sup.	FiSu mm	NFer Inf.	FiIn mm	NFer Par.	FiPa mm	FiSt mm	PsSt cm	Brac DirX	Brac DirY	AfSup cmq	AfInf cmq	Mat. N.ro	Lung cm	Rag. mm	Num Avv	Nod Con	Condiz. Ambient	SpSol cm
16	Iniz.	18	2	18	2	18	2	18	8	15	2	2	0,0	0,0	1	50	20	2	SI	Interna	0
	Mezz.	18	2	18	2	18	2	18	8	15	2	2	0,0	0,0							
	Finale	18	2	18	2	18	2	18	8	15	2	2	0,0	0,0							
17	Iniz.	18	2	18	2	18	2	18	8	15	2	2	0,0	0,0	1	50	20	2	SI	Interna	0
	Mezz.	18	2	18	2	18	2	18	8	15	2	2	0,0	0,0							
	Finale	18	2	18	2	18	2	18	8	15	2	2	0,0	0,0							
18	Iniz.	18	2	18	2	18	2	18	8	15	2	2	0,0	0,0	1	50	20	2	SI	Interna	0
	Mezz.	18	2	18	2	18	2	18	8	15	2	2	0,0	0,0							
	Finale	18	2	18	2	18	2	18	8	15	2	2	0,0	0,0							
19	Iniz.	18	2	18	2	18	2	18	8	15	2	2	0,0	0,0	1	50	20	2	SI	Interna	0
	Mezz.	18	2	18	2	18	2	18	8	15	2	2	0,0	0,0							
	Finale	18	2	18	2	18	2	18	8	15	2	2	0,0	0,0							
20	Iniz.	18	2	18	2	18	2	18	8	15	2	2	0,0	0,0	1	50	20	2	SI	Interna	0
	Mezz.	18	2	18	2	18	2	18	8	15	2	2	0,0	0,0							
	Finale	18	2	18	2	18	2	18	8	15	2	2	0,0	0,0							
21	Iniz.	18	2	18	2	18	2	18	8	15	2	2	0,0	0,0	1	50	20	2	SI	Interna	0
	Mezz.	18	2	18	2	18	2	18	8	15	2	2	0,0	0,0							
	Finale	18	2	18	2	18	2	18	8	15	2	2	0,0	0,0							
22	Iniz.	18	2	18	2	18	2	18	8	15	2	2	0,0	0,0							
	Mezz.	18	2	18	2	18	2	18	8	15	2	2	0,0	0,0							
	Finale	18	2	18	2	18	2	18	8	15	2	2	0,0	0,0							
23	Iniz.	18	2	18	2	18	2	18	8	15	2	2	0,0	0,0							
	Mezz.	18	2	18	2	18	2	18	8	15	2	2	0,0	0,0							
	Finale	18	2	18	2	18	2	18	8	15	2	2	0,0	0,0							

## DATI ARMATURE PILASTRI - SEZIONE RETTANGOLARE - QUOTA: 7.2 m

ASTE IN C.A. CON SEZIONE RETTANGOLARE																					
IDENTIFICATIVO		ARMATURE DI INPUT											AGGIUNTIVE		RINFORZO IN FRP						
Asta Num.	Concio	FiSp mm	NFer Sup.	FiSu mm	NFer Inf.	FiIn mm	NFer Par.	FiPa mm	FiSt mm	PsSt cm	Brac DirX	Brac DirY	AfSup cmq	AfInf cmq	Mat. N.ro	Lung cm	Rag. mm	Num Avv	Nod Con	Condiz. Ambient	SpSol cm
24	Iniz. Mezz. Finale	18	2	18	2	18	2	18	8	15	2	2	0,0	0,0							
		18	2	18	2	18	2	18	8	15	2	2	0,0	0,0							
25	Iniz. Mezz. Finale	18	2	18	2	18	2	18	8	15	2	2	0,0	0,0	1	50	20	2	SI	Interna	0
		18	2	18	2	18	2	18	8	15	2	2	0,0	0,0							
26	Iniz. Mezz. Finale	18	2	18	2	18	2	18	8	15	2	2	0,0	0,0							
		18	2	18	2	18	2	18	8	15	2	2	0,0	0,0							
27	Iniz. Mezz. Finale	18	2	18	2	18	2	18	8	15	2	2	0,0	0,0							
		18	2	18	2	18	2	18	8	15	2	2	0,0	0,0							
28	Iniz. Mezz. Finale	18	2	18	2	18	2	18	8	15	2	2	0,0	0,0							
		18	2	18	2	18	2	18	8	15	2	2	0,0	0,0							
29	Iniz. Mezz. Finale	18	2	18	2	18	2	18	8	15	2	2	0,0	0,0							
		18	2	18	2	18	2	18	8	15	2	2	0,0	0,0							
30	Iniz. Mezz. Finale	18	2	18	2	18	2	18	8	15	2	2	0,0	0,0							
		18	2	18	2	18	2	18	8	15	2	2	0,0	0,0							
31	Iniz. Mezz. Finale	18	2	18	2	18	2	18	8	15	2	2	0,0	0,0	1	50	20	2	SI	Interna	0
		18	2	18	2	18	2	18	8	15	2	2	0,0	0,0							
32	Iniz. Mezz. Finale	18	2	18	2	18	2	18	8	15	2	2	0,0	0,0							
		18	2	18	2	18	2	18	8	15	2	2	0,0	0,0							
33	Iniz. Mezz. Finale	18	2	18	2	18	2	18	8	15	2	2	0,0	0,0							
		18	2	18	2	18	2	18	8	15	2	2	0,0	0,0							
34	Iniz. Mezz. Finale	18	2	18	2	18	2	18	8	15	2	2	0,0	0,0							
		18	2	18	2	18	2	18	8	15	2	2	0,0	0,0							
35	Iniz. Mezz. Finale	18	2	18	2	18	2	18	8	15	2	2	0,0	0,0	1	50	20	2	SI	Interna	0
		18	2	18	2	18	2	18	8	15	2	2	0,0	0,0							
36	Iniz. Mezz. Finale	18	2	18	2	18	2	18	8	15	2	2	0,0	0,0	1	50	20	2	SI	Interna	0
		18	2	18	2	18	2	18	8	15	2	2	0,0	0,0							
37	Iniz. Mezz. Finale	18	2	18	2	18	2	18	8	15	2	2	0,0	0,0	1	50	20	2	SI	Interna	0
		18	2	18	2	18	2	18	8	15	2	2	0,0	0,0							
38	Iniz. Mezz. Finale	18	2	18	2	18	2	18	8	15	2	2	0,0	0,0							
		18	2	18	2	18	2	18	8	15	2	2	0,0	0,0							

## DATI INCAMICIATURE ACC. PILASTRI - SEZIONE RETTANGOLARE - QUOTA: 7.2 m

ASTE IN C.A. CON SEZIONE RETTANGOLARE																			
IDENT.		DATI GENERALI INCAMICIATURA ACCIAIO							INIZIALE - T=Tirantini					CENT	FINALE - T=Tirantini				
Asta Num.	Flg Pre	Ang. N.ro	Angolare Descrizione	Piat N.ro	Piatto Descrizione	RagSmus mm	Coll. %	Lung cm	Pas cm	FiT mm	NumT DirX	NumT DirY	Pass cm	Lung cm	Pas cm	FiT mm	NumT DirX	NumT DirY	NumT DirY
32	SI	289	ANG40*6	916	PL 50*6	30	0	100	20	8	0	0	25	100	20	8	0	0	0
33	SI	289	ANG40*6	916	PL 50*6	30	0	100	15	8	0	0	25	100	15	8	0	0	0

## DATI ARMATURE TRAVI - SEZIONE RETTANGOLARE - QUOTA: 7.2 m

ASTE IN C.A. CON SEZIONE RETTANGOLARE																					
IDENTIFICATIVO		ARMATURE DI INPUT											AGGIUNTIVE		RINFORZO IN FRP						
Asta	Concio	FiSp	NFer	FiSu	NFer	FiIn	NFer	FiPa	FiSt	PsSt	Brac	Brac	AfSup	AfInf	Mat.	Lung	Rag.	Num	Nod	Condiz.	SpSol

# C.D.S.

Num.		mm	Sup.	mm	Inf.	mm	Par.	mm	mm	cm	DirX	DirY	cmq	cmq	N.ro	cm	mm	Avv	Con	Ambient	cm
1	Iniz.	16	3	16	0	12	3	12	8	15	2	2	0,0	0,0							
	Mezz.	16	0	16	3	16	0	12	8	15	2	2	0,0	0,0							
	Finale	16	6	16	0	12	3	12	8	15	2	2	0,0	0,0							
2	Iniz.	16	6	16	0	12	3	12	8	15	2	2	0,0	0,0							
	Mezz.	16	0	16	3	12	0	12	8	15	2	2	0,0	0,0							
	Finale	16	6	16	0	12	3	12	8	15	2	2	0,0	0,0							
3	Iniz.	16	6	16	0	12	3	12	8	15	2	2	0,0	0,0							
	Mezz.	16	0	16	3	12	0	12	8	15	2	2	0,0	0,0							
	Finale	16	6	16	0	12	3	12	8	15	2	2	0,0	0,0							
4	Iniz.	16	3	16	0	12	3	12	8	15	2	2	0,0	0,0							
	Mezz.	16	0	16	1	12	0	12	8	15	2	2	0,0	0,0							
	Finale	16	1	16	0	12	3	12	8	15	2	2	0,0	0,0							
5	Iniz.	16	3	16	0	12	3	12	8	15	2	2	0,0	0,0							
	Mezz.	16	0	16	3	16	0	12	8	15	2	2	0,0	0,0							
	Finale	16	6	16	0	12	3	12	8	15	2	2	0,0	0,0							
6	Iniz.	16	6	16	0	12	3	12	8	15	2	2	0,0	0,0							
	Mezz.	16	0	16	3	12	0	12	8	15	2	2	0,0	0,0							
	Finale	16	6	16	0	12	3	12	8	15	2	2	0,0	0,0							
7	Iniz.	16	6	16	0	12	3	12	8	15	2	2	0,0	0,0							
	Mezz.	16	0	16	3	12	0	12	8	15	2	2	0,0	0,0							
	Finale	16	6	16	0	12	3	12	8	15	2	2	0,0	0,0							
8	Iniz.	16	6	16	0	12	3	12	8	15	2	2	0,0	0,0							
	Mezz.	16	0	16	3	12	0	12	8	15	2	2	0,0	0,0							
	Finale	16	3	16	0	12	3	12	8	15	2	2	0,0	0,0							
9	Iniz.	16	3	16	0	12	3	12	8	15	2	2	0,0	0,0							
	Mezz.	16	0	16	3	16	0	12	8	15	2	2	0,0	0,0							
	Finale	16	6	16	0	12	3	12	8	15	2	2	0,0	0,0							
10	Iniz.	16	6	16	0	12	1	12	8	15	2	2	0,0	0,0							
	Mezz.	16	2	16	1	16	0	12	8	15	2	2	0,0	0,0							
	Finale	16	5	16	0	12	3	12	8	15	2	2	0,0	0,0							
11	Iniz.	16	6	16	0	12	3	12	8	15	2	2	0,0	0,0							
	Mezz.	16	0	16	3	16	0	12	8	15	2	2	0,0	0,0							
	Finale	16	6	16	3	12	3	12	8	15	2	2	0,0	0,0							
12	Iniz.	16	6	16	0	12	3	12	8	15	2	2	0,0	0,0							
	Mezz.	16	0	16	3	12	0	12	8	15	2	2	0,0	0,0							
	Finale	16	6	16	0	12	3	12	8	15	2	2	0,0	0,0							
13	Iniz.	16	6	16	0	12	3	12	8	15	2	2	0,0	0,0							
	Mezz.	16	0	16	3	16	0	12	8	15	2	2	0,0	0,0							
	Finale	16	3	16	0	12	3	12	8	15	2	2	0,0	0,0							
14	Iniz.	16	3	16	0	12	3	12	8	15	2	2	0,0	0,0							
	Mezz.	16	0	16	3	16	0	12	8	15	2	2	0,0	0,0							
	Finale	16	6	16	0	12	3	12	8	15	2	2	0,0	0,0							
15	Iniz.	16	6	16	0	12	1	12	8	10	2	2	0,0	0,0							
	Mezz.	16	2	16	1	16	0	12	8	15	2	2	0,0	0,0							
	Finale	16	5	16	0	12	3	12	8	10	2	2	0,0	0,0							
16	Iniz.	16	6	16	0	12	3	12	8	15	2	2	0,0	0,0							
	Mezz.	16	0	16	3	12	0	12	8	15	2	2	0,0	0,0							
	Finale	16	6	16	0	12	3	12	8	15	2	2	0,0	0,0							
17	Iniz.	16	6	16	0	12	3	12	8	15	2	2	0,0	0,0							
	Mezz.	16	0	16	3	16	0	12	8	15	2	2	0,0	0,0							
	Finale	16	3	16	0	12	3	12	8	15	2	2	0,0	0,0							
18	Iniz.	16	2	16	0	12	2	12	8	15	2	2	0,0	0,0							
	Mezz.	16	0	16	2	16	0	12	8	15	2	2	0,0	0,0							
	Finale	16	2	16	0	12	2	12	8	15	2	2	0,0	0,0							
19	Iniz.	16	2	16	0	12	2	12	8	15	2	2	0,0	0,0							
	Mezz.	16	0	16	2	16	0	12	8	15	2	2	0,0	0,0							
	Finale	16	2	16	0	12	2	12	8	15	2	2	0,0	0,0							
20	Iniz.	16	2	16	0	12	1	12	8	15	2	2	0,0	0,0							
	Mezz.	16	3	16	2	16	1	12	8	15	2	2	0,0	0,0							
	Finale	16	6	16	2	16	1	12	8	15	2	2	0,0	0,0							

## DATI ARMATURE TRAVI - SEZIONE RETTANGOLARE - QUOTA: 7.2 m

ASTE IN C.A. CON SEZIONE RETTANGOLARE																					
IDENTIFICATIVO		ARMATURE DI INPUT											AGGIUNTIVE		RINFORZO IN FRP						
Asta Num.	Concio	FiSp mm	NFer Sup.	FiSu mm	NFer Inf.	FiIn mm	NFer Par.	FiPa mm	FiSt mm	PSt cm	Brac DirX	Brac DirY	AfSup cmq	AfInf cmq	Mat. N.ro	Lung cm	Rag. mm	Num Avv	Nod Con	Condiz. Ambient	SpSol cm
21	Iniz.	16	2	16	0	12	1	12	8	15	2	2	0,0	0,0							
	Mezz.	16	3	16	2	16	1	12	8	15	2	2	0,0	0,0							
	Finale	16	6	16	2	16	1	12	8	15	2	2	0,0	0,0							
22	Iniz.	16	2	16	0	12	1	12	8	15	2	2	0,0	0,0							
	Mezz.	16	3	16	2	16	1	12	8	15	2	2	0,0	0,0							
	Finale	16	6	16	2	16	1	12	8	15	2	2	0,0	0,0							
23	Iniz.	16	2	16	0	12	1	12	8	15	2	2	0,0	0,0							
	Mezz.	16	3	16	2	16	1	12	8	15	2	2	0,0	0,0							
	Finale	16	6	16	2	16	1	12	8	15	2	2	0,0	0,0							
24	Iniz.	16	9	16	7	16	4	12	12	12	2	2	0,0	0,0							
	Mezz.	16	6	16	7	16	4	12	12	12	2	2	0,0	0,0							
	Finale	16	6	16	7	16	4	12	12	12	2	2	0,0	0,0							
25	Iniz.	16	3	16	0	12	3	12	8	15	2	2	0,0	0,0							
	Mezz.	16	0	16	3	16	0	12	8	15	2	2	0,0	0,0							
	Finale	16	3	16	0	12	3	12	8	15	2	2	0,0	0,0							
26	Iniz.	16	0	16	0	12	4	12	8	15	2	2	0,0	0,0							
	Mezz.	16	0	16	4	16	0	12	8	15	2	2	0,0	0,0							
	Finale	16	4	16	0	12	4	12	8	15	2	2	0,0	0,0							
27	Iniz.	16	0	16	0	12	4	12	8	15	2	2	0,0	0,0							
	Mezz.	16	0	16	4	16	0	12	8	15	2	2	0,0	0,0							
	Finale	16	4	16	0	12	4	12	8	15	2	2	0,0	0,0							
28	Iniz.	16	2	16	0	12	2	12	8	15	2	2	0,0	0,0							
	Mezz.	16	0	16	2	16	0	12	8	15	2	2	0,0	0,0							
	Finale	16	2	16	0	12	2	12	8	15	2	2	0,0	0,0							
29	Iniz.	16	2	16	0	12	1	12	8	15	2	2	0,0	0,0							
	Mezz.	16	3	16	2	16	1	12	8	15	2	2	0,0	0,0							
	Finale	16	6	16	2	16	1	12	8	15	2	2	0,0	0,0							
30	Iniz.	16	0	16	0	12	4	12	8	15	2	2	0,0	0,0							
	Mezz.	16	0	16	4	16	0	12	8	15	2	2	0,0	0,0							
	Finale	16	4	16	0	12	4	12	8	15	2	2	0,0	0,0							
31	Iniz.	16	6	16	0	12	3	12	8	15	2	2	0,0	0,0							
	Mezz.	16	0	16	3	12	0	12	8	15	2	2	0,0	0,0							
	Finale	16	3	16	0	12	3	12	8	15	2	2	0,0	0,0							
32	Iniz.	16	2	16	0	12	2	12	8	15	2	2	0,0	0,0							
	Mezz.	16	0	16	2	16	0	12	8	15	2	2	0,0	0,0							
	Finale	16	2	16	0	12	2	12	8	15	2	2	0,0	0,0							
33	Iniz.	16	2	16	0	12	2	12	8	15	2	2	0,0	0,0							
	Mezz.	16	0	16	2	16	0	12	8	15	2	2	0,0	0,0							
	Finale	16	2	16	0	12	2	12	8	15	2	2	0,0	0,0							
34	Iniz.	16	6	16	0	12	3	12	8	15	2	2	0,0	0,0							
	Mezz.	16	0	16	3	16	0	12	8	15	2	2	0,0	0,0							
	Finale	16	6	16	3	12	3	12	8	15	2	2	0,0	0,0							
35	Iniz.	16	0	16	0	12	4	12	8	15	2	2	0,0	0,0							
	Mezz.	16	0	16	4	16	0	12	8	15	2	2	0,0	0,0							
	Finale	16	4	16	0	12	4	12	8	15	2	2	0,0	0,0							
36	Iniz.	16	0	16	0	12	4	12	8	15	2	2	0,0	0,0							
	Mezz.	16	0	16	4	16	0	12	8	15	2	2	0,0	0,0							
	Finale	16	4	16	0	12	4	12	8	15	2	2	0,0	0,0							

## DATI ARMATURE PILASTRI - SEZIONE RETTANGOLARE - QUOTA: 9.8 m

ASTE IN C.A. CON SEZIONE RETTANGOLARE																					
IDENTIFICATIVO		ARMATURE DI INPUT											AGGIUNTIVE		RINFORZO IN FRP						
Asta Num.	Concio	FiSp mm	NFer Sup.	FiSu mm	NFer Inf.	FiIn mm	NFer Par.	FiPa mm	FiSt mm	PSt cm	Brac DirX	Brac DirY	AfSup cmq	AfInf cmq	Mat. N.ro	Lung cm	Rag. mm	Num Avv	Nod Con	Condiz. Ambient	SpSol cm
26	Iniz. Mezz.	16	1	16	1	16	1	16	8	15	2	2	0,0	0,0	1	50	20	2	SI	Interna	0

## DATI ARMATURE PILASTRI - SEZIONE RETTANGOLARE - QUOTA: 9.8 m

## ASTE IN C.A. CON SEZIONE RETTANGOLARE

IDENTIFICATIVO		ARMATURE DI INPUT											AGGIUNTIVE		RINFORZO IN FRP						
Asta Num.	Concio	FiSp mm	NFer Sup.	FiSu mm	NFer Inf.	Filn mm	NFer Par.	FiPa mm	FiSt mm	PsSt cm	Brac DirX	Brac DirY	AfSup cmq	AfInf cmq	Mat. N.ro	Lung cm	Rag. mm	Num Avv	Nod Con	Condiz. Ambient	SpSol cm
	Finale	16	1	16	1	16	1	16	8	15	2	2	0,0	0,0							
27	Iniz.	16	1	16	1	16	1	16	8	15	2	2	0,0	0,0	1	50	20	2	SI	Interna	0
	Mezz. Finale	16	1	16	1	16	1	16	8	15	2	2	0,0	0,0							
32	Iniz.	16	1	16	1	16	1	16	8	15	2	2	0,0	0,0	1	50	20	2	SI	Interna	0
	Mezz. Finale	16	1	16	1	16	1	16	8	15	2	2	0,0	0,0							
33	Iniz.	16	1	16	1	16	1	16	8	15	2	2	0,0	0,0	1	50	20	2	SI	Interna	0
	Mezz. Finale	16	1	16	1	16	1	16	8	15	2	2	0,0	0,0							

## DATI ARMATURE TRAVI - SEZIONE RETTANGOLARE - QUOTA: 9.8 m

## ASTE IN C.A. CON SEZIONE RETTANGOLARE

IDENTIFICATIVO		ARMATURE DI INPUT											AGGIUNTIVE		RINFORZO IN FRP						
Asta Num.	Concio	FiSp mm	NFer Sup.	FiSu mm	NFer Inf.	Filn mm	NFer Par.	FiPa mm	FiSt mm	PsSt cm	Brac DirX	Brac DirY	AfSup cmq	AfInf cmq	Mat. N.ro	Lung cm	Rag. mm	Num Avv	Nod Con	Condiz. Ambient	SpSol cm
1	Iniz.	16	2	16	2	16	2	12	8	15	2	2	0,0	0,0							
	Mezz.	16	1	16	5	16	0	12	8	15	2	2	0,0	0,0							
	Finale	16	2	16	5	16	2	12	8	15	2	2	0,0	0,0							
2	Iniz.	16	2	16	2	16	2	12	8	15	2	2	0,0	0,0							
	Mezz.	16	1	16	5	16	0	12	8	15	2	2	0,0	0,0							
	Finale	16	2	16	2	16	2	12	8	15	2	2	0,0	0,0							
3	Iniz.	16	2	16	2	16	2	12	8	15	2	2	0,0	0,0							
	Mezz.	16	0	16	5	16	0	12	8	15	2	2	0,0	0,0							
	Finale	16	2	16	2	16	2	12	8	15	2	2	0,0	0,0							
4	Iniz.	16	2	16	2	16	1	12	8	15	2	2	0,0	0,0							
	Mezz.	16	2	16	2	16	0	12	8	15	2	2	0,0	0,0							
	Finale	16	2	16	2	16	1	12	8	15	2	2	0,0	0,0							
5	Iniz.	16	2	16	2	16	2	12	8	15	2	2	0,0	0,0							
	Mezz.	16	0	16	5	16	0	12	8	15	2	2	0,0	0,0							
	Finale	16	2	16	2	16	2	12	8	15	2	2	0,0	0,0							
6	Iniz.	16	2	16	2	16	2	12	8	15	2	2	0,0	0,0							
	Mezz.	16	0	16	5	16	0	12	8	15	2	2	0,0	0,0							
	Finale	16	2	16	2	16	2	12	8	15	2	2	0,0	0,0							
7	Iniz.	16	2	16	2	16	1	12	8	15	2	2	0,0	0,0							
	Mezz.	16	2	16	2	16	0	12	8	15	2	2	0,0	0,0							
	Finale	16	2	16	2	16	1	12	8	15	2	2	0,0	0,0							

## DATI ARMATURE PILASTRI - SEZIONE RETTANGOLARE - QUOTA: 1.8 m

## ASTE IN C.A. CON SEZIONE RETTANGOLARE

IDENTIFICATIVO		ARMATURE DI INPUT											AGGIUNTIVE		RINFORZO IN FRP						
Asta Num.	Concio	FiSp mm	NFer Sup.	FiSu mm	NFer Inf.	Filn mm	NFer Par.	FiPa mm	FiSt mm	PsSt cm	Brac DirX	Brac DirY	AfSup cmq	AfInf cmq	Mat. N.ro	Lung cm	Rag. mm	Num Avv	Nod Con	Condiz. Ambient	SpSol cm
1	Iniz.	18	2	18	2	18	2	18	8	15	2	2	0,0	0,0							
	Mezz. Finale	18	2	18	2	18	2	18	8	15	2	2	0,0	0,0							
2	Iniz.	18	2	18	2	18	2	18	8	15	2	2	0,0	0,0							
	Mezz. Finale	18	2	18	2	18	2	18	8	15	2	2	0,0	0,0							
3	Iniz.	18	2	18	2	18	2	18	8	15	2	2	0,0	0,0							
	Mezz. Finale	18	2	18	2	18	2	18	8	15	2	2	0,0	0,0							
4	Iniz.	18	2	18	2	18	2	18	8	15	2	2	0,0	0,0							
	Mezz. Finale	18	2	18	2	18	2	18	8	15	2	2	0,0	0,0							
5	Iniz.	18	2	18	2	18	2	18	8	15	2	2	0,0	0,0							
	Mezz. Finale	18	2	18	2	18	2	18	8	15	2	2	0,0	0,0							

## DATI ARMATURE PILASTRI - SEZIONE RETTANGOLARE - QUOTA: 1.8 m

## ASTE IN C.A. CON SEZIONE RETTANGOLARE

IDENTIFICATIVO		ARMATURE DI INPUT											AGGIUNTIVE		RINFORZO IN FRP						
Asta Num.	Concio	FiSp mm	NFer Sup.	FiSu mm	NFer Inf.	FiIn mm	NFer Par.	FiPa mm	FiSt mm	PsSt cm	Brac DirX	Brac DirY	AfSup cmq	AfInf cmq	Mat. N.ro	Lung cm	Rag. mm	Num Avv	Nod Con	Condiz. Ambient	SpSol cm
6	Iniz.	18	2	18	2	18	2	18	8	15	2	2	0,0	0,0							
	Mezz. Finale	18	2	18	2	18	2	18	8	15	2	2	0,0	0,0							
7	Iniz.	18	2	18	2	18	2	18	8	15	2	2	0,0	0,0							
	Mezz. Finale	18	2	18	2	18	2	18	8	15	2	2	0,0	0,0							
8	Iniz.	18	2	18	2	18	2	18	8	15	2	2	0,0	0,0							
	Mezz. Finale	18	2	18	2	18	2	18	8	15	2	2	0,0	0,0							
9	Iniz.	18	2	18	2	18	2	18	8	15	2	2	0,0	0,0							
	Mezz. Finale	18	2	18	2	18	2	18	8	15	2	2	0,0	0,0							
10	Iniz.	18	2	18	2	18	2	18	8	15	2	2	0,0	0,0							
	Mezz. Finale	18	2	18	2	18	2	18	8	15	2	2	0,0	0,0							
11	Iniz.	18	2	18	2	18	2	18	8	15	2	2	0,0	0,0							
	Mezz. Finale	18	2	18	2	18	2	18	8	15	2	2	0,0	0,0							
12	Iniz.	18	2	18	2	18	2	18	8	15	2	2	0,0	0,0							
	Mezz. Finale	18	2	18	2	18	2	18	8	15	2	2	0,0	0,0							
13	Iniz.	18	2	18	2	18	2	18	8	15	2	2	0,0	0,0							
	Mezz. Finale	18	2	18	2	18	2	18	8	15	2	2	0,0	0,0							
14	Iniz.	18	2	18	2	18	2	18	8	15	2	2	0,0	0,0							
	Mezz. Finale	18	2	18	2	18	2	18	8	15	2	2	0,0	0,0							
15	Iniz.	18	2	18	2	18	2	18	8	15	2	2	0,0	0,0							
	Mezz. Finale	18	2	18	2	18	2	18	8	15	2	2	0,0	0,0							
16	Iniz.	18	2	18	2	18	2	18	8	15	2	2	0,0	0,0							
	Mezz. Finale	18	2	18	2	18	2	18	8	15	2	2	0,0	0,0							
17	Iniz.	18	2	18	2	18	2	18	8	15	2	2	0,0	0,0							
	Mezz. Finale	18	2	18	2	18	2	18	8	15	2	2	0,0	0,0							
18	Iniz.	18	2	18	2	18	2	18	8	15	2	2	0,0	0,0							
	Mezz. Finale	18	2	18	2	18	2	18	8	15	2	2	0,0	0,0							
19	Iniz.	18	2	18	2	18	2	18	8	15	2	2	0,0	0,0							
	Mezz. Finale	18	2	18	2	18	2	18	8	15	2	2	0,0	0,0							
20	Iniz.	18	2	18	2	18	2	18	8	15	2	2	0,0	0,0							
	Mezz. Finale	18	2	18	2	18	2	18	8	15	2	2	0,0	0,0							
21	Iniz.	18	2	18	2	18	2	18	8	15	2	2	0,0	0,0							
	Mezz. Finale	18	2	18	2	18	2	18	8	15	2	2	0,0	0,0							
22	Iniz.	18	2	18	2	18	2	18	8	15	2	2	0,0	0,0							
	Mezz. Finale	18	2	18	2	18	2	18	8	15	2	2	0,0	0,0							
23	Iniz.	18	2	18	2	18	2	18	8	15	2	2	0,0	0,0							
	Mezz. Finale	18	2	18	2	18	2	18	8	15	2	2	0,0	0,0							
24	Iniz.	18	2	18	2	18	2	18	8	15	2	2	0,0	0,0							

## DATI ARMATURE PILASTRI - SEZIONE RETTANGOLARE - QUOTA: 1.8 m

ASTE IN C.A. CON SEZIONE RETTANGOLARE																					
IDENTIFICATIVO		ARMATURE DI INPUT											AGGIUNTIVE		RINFORZO IN FRP						
Asta Num.	Concio	FiSp mm	NFer Sup.	FiSu mm	NFer Inf.	Filn mm	NFer Par.	FiPa mm	FiSt mm	PsSt cm	Brac DirX	Brac DirY	AfSup cmq	AfInf cmq	Mat. N.ro	Lung cm	Rag. mm	Num Avv	Nod Con	Condiz. Ambient	SpSol cm
	Mezz. Finale	18	2	18	2	18	2	18	8	15	2	2	0,0	0,0							
25	Iniz. Mezz. Finale	18	2	18	2	18	2	18	8	15	2	2	0,0	0,0							
		18	2	18	2	18	2	18	8	15	2	2	0,0	0,0							
26	Iniz. Mezz. Finale	18	2	18	2	18	2	18	8	15	2	2	0,0	0,0							
		18	2	18	2	18	2	18	8	15	2	2	0,0	0,0							
27	Iniz. Mezz. Finale	18	2	18	2	18	2	18	8	15	2	2	0,0	0,0							
		18	2	18	2	18	2	18	8	15	2	2	0,0	0,0							
28	Iniz. Mezz. Finale	18	2	18	2	18	2	18	8	15	2	2	0,0	0,0							
		18	2	18	2	18	2	18	8	15	2	2	0,0	0,0							
29	Iniz. Mezz. Finale	18	2	18	2	18	2	18	8	15	2	2	0,0	0,0							
		18	2	18	2	18	2	18	8	15	2	2	0,0	0,0							
30	Iniz. Mezz. Finale	18	2	18	2	18	2	18	8	15	2	2	0,0	0,0							
		18	2	18	2	18	2	18	8	15	2	2	0,0	0,0							
31	Iniz. Mezz. Finale	18	2	18	2	18	2	18	8	15	2	2	0,0	0,0							
		18	2	18	2	18	2	18	8	15	2	2	0,0	0,0							
32	Iniz. Mezz. Finale	18	2	18	2	18	2	18	8	15	2	2	0,0	0,0							
		18	2	18	2	18	2	18	8	15	2	2	0,0	0,0							
33	Iniz. Mezz. Finale	18	2	18	2	18	2	18	8	15	2	2	0,0	0,0							
		18	2	18	2	18	2	18	8	15	2	2	0,0	0,0							
34	Iniz. Mezz. Finale	18	2	18	2	18	2	18	8	15	2	2	0,0	0,0							
		18	2	18	2	18	2	18	8	15	2	2	0,0	0,0							
35	Iniz. Mezz. Finale	18	2	18	2	18	2	18	8	15	2	2	0,0	0,0							
		18	2	18	2	18	2	18	8	15	2	2	0,0	0,0							
36	Iniz. Mezz. Finale	18	2	18	2	18	2	18	8	15	2	2	0,0	0,0							
		18	2	18	2	18	2	18	8	15	2	2	0,0	0,0							
37	Iniz. Mezz. Finale	18	2	18	2	18	2	18	8	15	2	2	0,0	0,0							
		18	2	18	2	18	2	18	8	15	2	2	0,0	0,0							
38	Iniz. Mezz. Finale	18	2	18	2	18	2	18	8	15	2	2	0,0	0,0							
		18	2	18	2	18	2	18	8	15	2	2	0,0	0,0							

## DATI INCAMICIATURE ACC. PILASTRI - SEZIONE RETTANGOLARE - QUOTA: 1.8 m

ASTE IN C.A. CON SEZIONE RETTANGOLARE																			
IDENT.		DATI GENERALI INCAMICIATURA ACCIAIO							INIZIALE - T=Tirantini				CENT	FINALE - T=Tirantini					
Asta Num.	Flg Pre	Ang. N.ro	Angolare Descrizione	Piat N.ro	Piatto Descrizione	RagSmus mm	Coll. %	Lung cm	Pas cm	FiT mm	NumT DirX	NumT DirY	Pass cm	Lung cm	Pas cm	FiT mm	NumT DirX	NumT DirY	
32	SI	277	ANG40*4	916	PL 50*6	30	0	100	10	8	2	2	25	100	10	8	2	2	
33	SI	277	ANG40*4	916	PL 50*6	30	0	100	10	8	2	2	25	100	10	8	2	2	

## DATI ARMATURE TRAVI - SEZIONE RETTANGOLARE - QUOTA: 1.8 m

ASTE IN C.A. CON SEZIONE RETTANGOLARE																					
IDENTIFICATIVO		ARMATURE DI INPUT											AGGIUNTIVE		RINFORZO IN FRP						
Asta Num.	Concio	FiSp mm	NFer Sup.	FiSu mm	NFer Inf.	Filn mm	NFer Par.	FiPa mm	FiSt mm	PsSt cm	Brac DirX	Brac DirY	AfSup cmq	AfInf cmq	Mat. N.ro	Lung cm	Rag. mm	Num Avv	Nod Con	Condiz. Ambient	SpSol cm



## DATI ARMATURE TRAVI - SEZIONE RETTANGOLARE - QUOTA: 1.8 m

ASTE IN C.A. CON SEZIONE RETTANGOLARE																					
IDENTIFICATIVO		ARMATURE DI INPUT												AGGIUNTIVE		RINFORZO IN FRP					
Asta Num.	Concio	FiSp mm	NFer Sup.	FiSu mm	NFer Inf.	FiIn mm	NFer Par.	FiPa mm	FiSt mm	PsSt cm	Brac DirX	Brac DirY	AfSup cmq	AfInf cmq	Mat. N.ro	Lung cm	Rag. mm	Num Avv	Nod Con	Condiz. Ambient	SpSol cm
1	Iniz.	16	4	16	9	16	4	16	12	12	2	2	0,0	0,0							
	Mezz.	16	4	16	7	16	4	16	12	12	2	2	0,0	0,0							
	Finale	16	4	16	7	16	4	16	12	12	2	2	0,0	0,0							
2	Iniz.	16	4	16	9	16	4	16	12	12	2	2	0,0	0,0							
	Mezz.	16	4	16	7	16	4	16	12	12	2	2	0,0	0,0							
	Finale	16	4	16	9	16	4	16	12	12	2	2	0,0	0,0							
3	Iniz.	16	4	16	9	16	4	16	12	12	2	2	0,0	0,0							
	Mezz.	16	4	16	7	16	4	16	12	12	2	2	0,0	0,0							
	Finale	16	4	16	7	16	4	16	12	12	2	2	0,0	0,0							
4	Iniz.	16	4	16	7	16	4	16	12	12	2	2	0,0	0,0							
	Mezz.	16	4	16	7	16	4	16	12	12	2	2	0,0	0,0							
	Finale	16	4	16	7	16	4	16	12	12	2	2	0,0	0,0							

## DATI ARMATURE PILASTRI - SEZIONE RETTANGOLARE - QUOTA: 5.4 m

ASTE IN C.A. CON SEZIONE RETTANGOLARE																					
IDENTIFICATIVO		ARMATURE DI INPUT											AGGIUNTIVE		RINFORZO IN FRP						
Asta Num.	Concio	FiSp mm	NFer Sup.	FiSu mm	NFer Inf.	FiIn mm	NFer Par.	FiPa mm	FiSt mm	PsSt cm	Brac DirX	Brac DirY	AfSup cmq	AfInf cmq	Mat. N.ro	Lung cm	Rag. mm	Num Avv	Nod Con	Condiz. Ambient	SpSol cm
16	Iniz.	18	2	18	2	18	2	18	8	15	2	2	0,0	0,0							
	Mezz.	18	2	18	2	18	2	18	8	15	2	2	0,0	0,0							
	Finale	18	2	18	2	18	2	18	8	15	2	2	0,0	0,0							
17	Iniz.	18	2	18	2	18	2	18	8	15	2	2	0,0	0,0							
	Mezz.	18	2	18	2	18	2	18	8	15	2	2	0,0	0,0							
	Finale	18	2	18	2	18	2	18	8	15	2	2	0,0	0,0							
18	Iniz.	18	2	18	2	18	2	18	8	15	2	2	0,0	0,0							
	Mezz.	18	2	18	2	18	2	18	8	15	2	2	0,0	0,0							
	Finale	18	2	18	2	18	2	18	8	15	2	2	0,0	0,0							
19	Iniz.	18	2	18	2	18	2	18	8	15	2	2	0,0	0,0							
	Mezz.	18	2	18	2	18	2	18	8	15	2	2	0,0	0,0							
	Finale	18	2	18	2	18	2	18	8	15	2	2	0,0	0,0							
20	Iniz.	18	2	18	2	18	2	18	8	15	2	2	0,0	0,0							
	Mezz.	18	2	18	2	18	2	18	8	15	2	2	0,0	0,0							
	Finale	18	2	18	2	18	2	18	8	15	2	2	0,0	0,0							
21	Iniz.	18	2	18	2	18	2	18	8	15	2	2	0,0	0,0							
	Mezz.	18	2	18	2	18	2	18	8	15	2	2	0,0	0,0							
	Finale	18	2	18	2	18	2	18	8	15	2	2	0,0	0,0							
22	Iniz.	18	2	18	2	18	2	18	8	15	2	2	0,0	0,0							
	Mezz.	18	2	18	2	18	2	18	8	15	2	2	0,0	0,0							
	Finale	18	2	18	2	18	2	18	8	15	2	2	0,0	0,0							
23	Iniz.	18	2	18	2	18	2	18	8	15	2	2	0,0	0,0							
	Mezz.	18	2	18	2	18	2	18	8	15	2	2	0,0	0,0							
	Finale	18	2	18	2	18	2	18	8	15	2	2	0,0	0,0							
24	Iniz.	18	2	18	2	18	2	18	8	15	2	2	0,0	0,0							
	Mezz.	18	2	18	2	18	2	18	8	15	2	2	0,0	0,0							
	Finale	18	2	18	2	18	2	18	8	15	2	2	0,0	0,0							
25	Iniz.	18	2	18	2	18	2	18	8	15	2	2	0,0	0,0							
	Mezz.	18	2	18	2	18	2	18	8	15	2	2	0,0	0,0							
	Finale	18	2	18	2	18	2	18	8	15	2	2	0,0	0,0							
26	Iniz.	18	2	18	2	18	2	18	8	15	2	2	0,0	0,0							
	Mezz.	18	2	18	2	18	2	18	8	15	2	2	0,0	0,0							
	Finale	18	2	18	2	18	2	18	8	15	2	2	0,0	0,0							
27	Iniz.	18	2	18	2	18	2	18	8	15	2	2	0,0	0,0							
	Mezz.	18	2	18	2	18	2	18	8	15	2	2	0,0	0,0							
	Finale	18	2	18	2	18	2	18	8	15	2	2	0,0	0,0							
28	Iniz.	18	2	18	2	18	2	18	8	15	2	2	0,0	0,0							
	Mezz.	18	2	18	2	18	2	18	8	15	2	2	0,0	0,0							
	Finale	18	2	18	2	18	2	18	8	15	2	2	0,0	0,0							

## DATI ARMATURE PILASTRI - SEZIONE RETTANGOLARE - QUOTA: 5.4 m

ASTE IN C.A. CON SEZIONE RETTANGOLARE																					
IDENTIFICATIVO		ARMATURE DI INPUT											AGGIUNTIVE		RINFORZO IN FRP						
Asta Num.	Concio	FiSp mm	NFer Sup.	FiSu mm	NFer Inf.	FiIn mm	NFer Par.	FiPa mm	FiSt mm	PsSt cm	Brac DirX	Brac DirY	AfSup cmq	AfInf cmq	Mat. N.ro	Lung cm	Rag. mm	Num Avv	Nod Con	Condiz. Ambient	SpSol cm
29	Iniz.	18	2	18	2	18	2	18	8	15	2	2	0,0	0,0							
	Mezz. Finale	18	2	18	2	18	2	18	8	15	2	2	0,0	0,0							
30	Iniz.	18	2	18	2	18	2	18	8	15	2	2	0,0	0,0							
	Mezz. Finale	18	2	18	2	18	2	18	8	15	2	2	0,0	0,0							
31	Iniz.	18	2	18	2	18	2	18	8	15	2	2	0,0	0,0							
	Mezz. Finale	18	2	18	2	18	2	18	8	15	2	2	0,0	0,0							
32	Iniz.	18	2	18	2	18	2	18	8	15	2	2	0,0	0,0							
	Mezz. Finale	18	2	18	2	18	2	18	8	15	2	2	0,0	0,0							
33	Iniz.	18	2	18	2	18	2	18	8	15	2	2	0,0	0,0							
	Mezz. Finale	18	2	18	2	18	2	18	8	15	2	2	0,0	0,0							
34	Iniz.	18	2	18	2	18	2	18	8	15	2	2	0,0	0,0							
	Mezz. Finale	18	2	18	2	18	2	18	8	15	2	2	0,0	0,0							
35	Iniz.	18	2	18	2	18	2	18	8	15	2	2	0,0	0,0							
	Mezz. Finale	18	2	18	2	18	2	18	8	15	2	2	0,0	0,0							
36	Iniz.	18	2	18	2	18	2	18	8	15	2	2	0,0	0,0							
	Mezz. Finale	18	2	18	2	18	2	18	8	15	2	2	0,0	0,0							
37	Iniz.	18	2	18	2	18	2	18	8	15	2	2	0,0	0,0							
	Mezz. Finale	18	2	18	2	18	2	18	8	15	2	2	0,0	0,0							
38	Iniz.	18	2	18	2	18	2	18	8	15	2	2	0,0	0,0							
	Mezz. Finale	18	2	18	2	18	2	18	8	15	2	2	0,0	0,0							

## DATI INCAMICIATURE ACC. PILASTRI - SEZIONE RETTANGOLARE - QUOTA: 5.4 m

ASTE IN C.A. CON SEZIONE RETTANGOLARE																			
IDENT.		DATI GENERALI INCAMICIATURA ACCIAIO							INIZIALE - T=Tirantini					CENT	FINALE - T=Tirantini				
Asta Num.	Flg Pre	Ang. N.ro	Angolare Descrizione	Piat N.ro	Piatto Descrizione	RagSmus mm	Coll. %	Lung cm	Pas cm	FiT mm	NumT DirX	NumT DirY	Pass cm	Lung cm	Pas cm	FiT mm	NumT DirX	NumT DirY	
32	SI	289	ANG40*6	916	PL 50*6	30	0	100	5	8	0	0	25	100	5	8	0	0	
33	SI	289	ANG40*6	916	PL 50*6	30	0	50	8	8	0	0	25	50	8	8	0	0	

## DATI ARMATURE TRAVI - SEZIONE RETTANGOLARE - QUOTA: 5.4 m

ASTE IN C.A. CON SEZIONE RETTANGOLARE																					
IDENTIFICATIVO		ARMATURE DI INPUT											AGGIUNTIVE		RINFORZO IN FRP						
Asta Num.	Concio	FiSp mm	NFer Sup.	FiSu mm	NFer Inf.	FiIn mm	NFer Par.	FiPa mm	FiSt mm	PsSt cm	Brac DirX	Brac DirY	AfSup cmq	AfInf cmq	Mat. N.ro	Lung cm	Rag. mm	Num Avv	Nod Con	Condiz. Ambient	SpSol cm
1	Iniz.	16	4	16	9	16	4	16	8	15	2	2	0,0	0,0							
	Mezz.	16	4	16	7	16	4	16	8	15	2	2	0,0	0,0							
	Finale	16	4	16	7	16	4	16	8	15	2	2	0,0	0,0							
2	Iniz.	16	4	16	7	16	4	16	12	12	2	2	0,0	0,0							
	Mezz.	16	4	16	7	16	4	16	12	12	2	2	0,0	0,0							
	Finale	16	4	16	7	16	4	16	12	12	2	2	0,0	0,0							
3	Iniz.	16	4	16	9	16	4	16	8	15	2	2	0,0	0,0							
	Mezz.	16	4	16	7	16	4	16	8	15	2	2	0,0	0,0							
	Finale	16	4	16	7	16	4	16	8	15	2	2	0,0	0,0							
4	Iniz.	16	4	16	7	16	4	16	12	12	2	2	0,0	0,0							
	Mezz.	16	4	16	7	16	4	16	12	12	2	2	0,0	0,0							
	Finale	16	4	16	7	16	4	16	12	12	2	2	0,0	0,0							
5	Iniz.	16	4	16	7	16	4	16	12	12	2	2	0,0	0,0							
	Mezz.	16	4	16	7	16	4	16	12	10	2	2	0,0	0,0							

## DATI ARMATURE TRAVI - SEZIONE RETTANGOLARE - QUOTA: 5.4 m

## ASTE IN C.A. CON SEZIONE RETTANGOLARE

IDENTIFICATIVO		ARMATURE DI INPUT											AGGIUNTIVE		RINFORZO IN FRP						
Asta Num.	Concio	FiSp mm	NFer Sup.	FiSu mm	NFer Inf.	FiIn mm	NFer Par.	FiPa mm	FiSt mm	PsSt cm	Brac DirX	Brac DirY	AfSup cmq	AfInf cmq	Mat. N.ro	Lung cm	Rag. mm	Num Avv	Nod Con	Condiz. Ambient	SpSol cm
	Finale	16	4	16	7	16	4	16	12	12	2	2	0,0	0,0							

● SPECIFICHE CAMPI TABELLA DI STAMPA PUSH-OVER

<b>Numero d'ordine della PushOver</b>	: Tipo di distribuzione delle forze orizzontali utilizzate nell'analisi.
<b>Angolo Ingr. Sisma (Grd)</b>	: Angolo di ingresso del sisma della PushOver.
<b>Numero collassi totali</b>	: Numero di elementi che hanno raggiunto la condizione di collasso al termine dell'analisi.
<b>Numero passo Resist.Max.</b>	: Numero del passo a cui corrisponde il picco massimo del taglio alla base nella curva di capacità.
<b>Numero passi significativi</b>	: Numero dei passi significativi alla fine dell'analisi.
<b>Massa SDOF, (t)</b>	: Massa totale del sistema equivalente.
<b>Taglio alla base max., (t)</b>	: Tagliante massimo alla base della struttura reale.
<b>Coeff. Partecipazione</b>	: Coefficiente di partecipazione relativo alla distribuzione di forze orizzontali utilizzate nell'analisi della PushOver.
<b>Resistenza SDOF, (t)</b>	: Resistenza allo snervamento del sistema ad un grado di libertà equivalente.
<b>Rigidezza SDOF, (t/m)</b>	: Rigidezza all'origine del sistema ad un grado di libertà equivalente.
<b>Spostam. Snervam. SDOF, (mm)</b>	: Spostamento a cui corrisponde lo snervamento del sistema ad un grado di libertà equivalente.
<b>Periodo SDOF, (sec)</b>	: Periodo proprio del sistema ad un grado di libertà equivalente.
<b>Rapporto di incrudimento</b>	: Rapporto tra la rigidezza incrudente e la rigidezza all'origine del sistema ad un grado di libertà equivalente. Per un sistema elastico perfettamente plastico tale rapporto vale sempre 0.
<b>Rapporto Alfau/alfa1</b>	: Rapporto tra il tagliante ultimo e il tagliante a cui corrisponde la formazione della prima cerniera plastica. Per le strutture esistenti tale valore può assumere valori molto alti in quanto per bassi valori di forze orizzontali spesso viene raggiunto il limite elastico in qualche sezione.
<b>Fattore struttura</b>	: Fattore di struttura (q) calcolato a posteriori in funzione delle effettive risorse anelastiche della struttura.
<b>Coeff Smorzam.Equival.</b>	: Coefficiente di smorzamento di un oscillatore elasto-viscoso che dissipa per viscosità la stessa energia della struttura.
<b>Duttilità</b>	: Duttilità misurata sul legame bilatero del sistema elasto-plastico equivalente come rapporto tra lo spostamento ultimo (fine del tratto orizzontale) e lo spostamento al limite elastico (inizio tratto orizzontale).

Per ogni stato limite richiesto, la frase "MECCANISMI CONSIDERATI NELL'ANALISI" significa:

**Con Flag di post-verifica = NO** : Considera nell'analisi al passo non lineare sia i meccanismi fragili attivati che quelli duttili.

**Con Flag di post-verifica = SI** : *Verifica a posteriori dei meccanismi fragili in corrispondenza dei passi della curva di capacità precedentemente valutata per il solo comportamento duttile. I risultati relativi ai soli meccanismi fragili sono riportati in una apposita tabella.*

<b>Spostamento</b>	: Domanda/Capacità dello spostamento relativo allo stato limite.
<b>S.L.x</b>	: Flag riassuntivo della verifica effettuata per i meccanismi considerati nell'analisi.
<b>PgaLx/g</b>	: Valore della PGA limite corrispondente alla prestazione definita per lo stato limite considerato e per i meccanismi considerati nell'analisi.
<b>q*</b>	: Rapporto tra la domanda elastica di tagliante alla base e la resistenza del sistema SDOF equivalente. Viene utilizzato solo per le strutture in muratura in qual caso non può superare il valore 3.
<b>Numero passo precedente</b>	: Numero passo precedente al punto della curva per cui si raggiunge la capacità rispetto alla prestazione definita per lo stato limite e per i soli meccanismi considerati nell'analisi.
<b>PgaLx/Pga y%</b>	: Rapporto tra la PGA limite e la PGA al bedrock del sisma atteso nel sito con la probabilità prevista per lo stato limite corrispondente.
<b>Asta3D Nro</b>	: Numerazione 3D dell'asta in cui si raggiunge la prestazione definita per lo stato limite e per i soli meccanismi considerati nell'analisi.
<b>TrCLx</b>	: Valore del periodo di ritorno corrispondente all'evento sismico che provoca il raggiungimento della capacità per lo stato limite considerato e per i soli meccanismi considerati nell'analisi.
<b>(TrCLx/TDLx)^a</b>	: Rapporto tra il periodo di ritorno del sisma a cui corrisponde il raggiungimento della capacità ed il periodo di ritorno del sisma atteso nel sito con la probabilità prevista per lo stato limite corrispondente. L'esponente <b>a</b> vale 0,41 come previsto dalle linee guida nazionali.

**DATI STAMPATI PER LE TABELLE AUSILIARIE**

<b>Push. nro</b>	: Numero della PushOver.
<b>PRIMO COLLASSO</b>	: Dati relativi ai meccanismi fragili per gli elementi in calcestruzzo armato del Nodo e del Taglio.
<b>TrCLC</b>	: Valore del periodo di ritorno corrispondente all'evento sismico che provoca il raggiungimento della capacità per lo stato limite di collasso del Nodo/Taglio.
<b>PgaLC/g</b>	: Valore della PGA corrispondente all'evento sismico che provoca il raggiungimento della capacità per lo stato limite di collasso Nodo/Taglio.
<b>Resistenza nel Piano di un pannello in muratura</b>	: Indicatori di capacità relativi alla prestazione di raggiungimento della resistenza nel piano del primo pannello in muratura.
<b>TrCLV</b>	: Valore del periodo di ritorno corrispondente all'evento sismico che provoca il raggiungimento della capacità per lo stato limite di Salvaguardia della Vita. Prestazione definita dal raggiungimento della resistenza nel piano del primo pannello in muratura.
<b>PgaLV/g</b>	: Valore della PGA corrispondente all'evento sismico che provoca il raggiungimento della capacità per lo stato limite di Salvaguardia della Vita. Prestazione definita dal raggiungimento della resistenza nel piano del primo pannello in muratura.
<b>VERIFICA MECCANISMI FRAGILI STRUTTURE IN C.A.</b>	: Viene stampata la condizione di VERIFICATA/NON VERIFICATA. Nel caso non venga stampato nulla significa che la verifica effettuata a posteriori sulla curva di capacità determinata con l'analisi non lineare tenendo conto del solo comportamento duttile non è stata in grado di individuare alcun meccanismo fragile per cui è necessario ripetere l'analisi tenendo in conto i meccanismi fragili e settando il dato <b>Push+PostVer. = No</b> .

• **SPECIFICHE CAMPI TABELLA DI STAMPA**

Si riporta di seguito la spiegazione delle sigle usate nella tabella di stampa della verifica dei nodi non confinati per le strutture in calcestruzzo armato esistenti effettuate con il modello previsto al punto della circolare 2/2/2009 n. 617 **C8.7.2.5 formule** (8.7.2.2) e (8.7.2.3)

<b>Filo N.ro</b>	: <i>Numero del filo del nodo</i>
<b>Quota</b>	: <i>Quota a cui si trova il nodo</i>
<b>Nod3d N.ro</b>	: <i>Numerazione del nodo nel modello tridimensionale</i>
<b>Nsup (t)</b>	: <i>Valore dello sforzo normale del pilastro superiore in tonnellate</i>
<b>Coll Nodo</b>	: <i>Flag che segnala l'eventuale collasso</i>
<b>TaglSup (t)</b>	: <i>Valore dello sforzo di taglio trasmesso dal pilastro superiore in tonnellate</i>
<b>TrazAf (t)</b>	: <i>Sforzo di trazione delle barre superiori delle travi ancorate nel nodo dovuto all'eventuale momento negativo agente</i>

I successivi valori si riferiscono alla verifiche effettuata nelle direzioni rispettivamente X e Y del sistema locale del pilastro a cui il nodo appartiene:

<b>SgmCo kg/cmq</b>	: <i>Tensione di compressione agente sul calcestruzzo del nodo</i>
<b>SgmTr kg/cmq</b>	: <i>Tensione di trazione agente sul calcestruzzo del nodo, depurata dell'eventuale contributo del rinforzo</i>
<b>RcLim kg/cmq</b>	: <i>Resistenza limite a compressione del calcestruzzo del nodo</i>
<b>RtLim kg/cmq</b>	: <i>Resistenza limite di trazione del calcestruzzo del nodo</i>
<b>DeltaRt kg/cmq</b>	: <i>Contributo del rinforzo alla Resistenza a trazione del nodo</i>

La verifica consiste nel verificare contemporaneamente:

- $SgmComp < RcLim$  (in valore assoluto)
- $SgmTraz < RtLim$  (in valore assoluto)

**RISULTATI GENERALI PUSH-OVER****MECCANISMI DI COLLASSO CONSIDERATI NELLA ANALISI PUSH-OVER**

- Analisi con meccanismi DUTTILI E FRAGILI
- Modalita' di collasso del nodo CLS CON confinamento
- Collasso a taglio considerato su TUTTE le aste in CLS
  - Collasso per ripresa di getto IGNORATA
  - Effetti P-Delta IGNORATI
- DISTRIBUZIONI FORZE: Proporz. Forze Analisi Sism. Statica

**RISULTATI GENERALI PUSH-OVER**

PUSH-OVER N.ro	1 -	Distrib. Forze Prop. Modo: $+F_x + 0.3 \cdot F_y + Ecc5\%$	
Angolo Ingr. Sisma (Grd)	0	Numero collassi totali	1
Numero passo Resist. Max.	25	Numero passi significativi	25
Massa SDOF (t)	676,15	Taglio alla base max. (t)	610,63
Coeff. Partecipazione	1,72	Resistenza SDOF (t)	341,72
Rigidezza SDOF (t/m)	135110,98	Spostam. Snervam. SDOF mm	3
Periodo SDOF (sec)	0,14	Rapporto di incrudimento	0,000
Rapporto Alfau/alfa1	14,442	Fattore di comportamento	4,993
Coeff Smorzam. Equival. (%)	34	Duttilita	17,171
STATO LIMITE DI DANNO			
DOMANDA		CAPACITA'	
Spostamento mm	1,567	Spostamento mm	5,570
S.L. Danno	VERIFICATO	Numero passo precedente	20
PgaLD/g	0,245	ZetaE=PgaLD/Pga 63%	2,548
Rapporto $q^* = F_e/F_y$	0,62	Asta3D Nro	279
Tempo Intervento (anni)	316	TrCLD (anni)	477
-----		(TrCLD/TDLT)^a	2,141
STATO LIMITE DI SALVAGUARDIA DELLA VITA			
DOMANDA		CAPACITA'	
Spostamento mm	7,289	Spostamento mm	17,962
S.L. Salvaguardia Vita	VERIFICATO	Numero passo precedente	23
PgaLV/g	0,478	ZetaE=PgaLV/Pga 10%	1,642
Rapporto $q^* = F_e/F_y$	1,46	Asta3D Nro	279
Tempo Intervento (anni)	174	TrCLV (anni)	2475
-----		(TrCLV/TDLV)^a	1,670

**RISULTATI GENERALI PUSH-OVER**

PUSH-OVER N.ro	2 -	Distrib. Forze Prop. Modo: $-F_x + 0.3 \cdot F_y + Ecc5\%$	
Angolo Ingr. Sisma (Grd)	180	Numero collassi totali	1
Numero passo Resist. Max.	10	Numero passi significativi	10
Massa SDOF (t)	676,15	Taglio alla base max. (t)	659,64
Coeff. Partecipazione	1,72	Resistenza SDOF (t)	361,65
Rigidezza SDOF (t/m)	147473,11	Spostam. Snervam. SDOF mm	2
Periodo SDOF (sec)	0,14	Rapporto di incrudimento	0,000
Rapporto Alfau/alfa1	1,706	Fattore di comportamento	3,902
Coeff Smorzam. Equival. (%)	34	Duttilita	13,280
STATO LIMITE DI DANNO			
DOMANDA		CAPACITA'	
Spostamento mm	1,402	Spostamento mm	4,952
S.L. Danno	VERIFICATO	Numero passo precedente	8
PgaLD/g	0,258	ZetaE=PgaLD/Pga 63%	2,690
Rapporto $q^* = F_e/F_y$	0,57	Asta3D Nro	
Tempo Intervento (anni)	358	TrCLD (anni)	540
-----		(TrCLD/TDLT)^a	2,253

STATO LIMITE DI SALVAGUARDIA DELLA VITA			
DOMANDA		CAPACITA'	
Spostamento mm	6,135	Spostamento mm	24,056
S.L. Salvaguardia Vita	VERIFICATO	Numero passo precedente	9
PgaLV/g	0,478	ZetaE=PgaLV/Pga 10%	1,642
Rapporto $q^*=Fe/Fy$	1,35	Asta3D Nro	279
Tempo Intervento (anni)	174	TrCLV (anni)	2475
-----		(TrCLV/TDLV)^a	1,670

RISULTATI GENERALI PUSH-OVER			
PUSH-OVER N.ro	3 -	Distrib.Forze Prop.Modolo: +Fy+0.3*Fx+Ecc5%	
Angolo Ingr. Sisma (Grd)	90	Numero collassi totali	1
Numero passo Resist.Max.	26	Numero passi significativi	26
Massa SDOF (t)	676,15	Taglio alla base max. (t)	668,89
Coeff. Partecipazione	1,72	Resistenza SDOF (t)	382,31
Rigidezza SDOF (t/m)	139143,22	Spostam. Snervam. SDOF mm	3
Periodo SDOF (sec)	0,14	Rapporto di incrudimento	0,000
Rapporto Alfau/alfa1	11,624	Fattore di comportamento	4,576
Coeff Smorzam.Equival.(%)	34	Duttilita	15,699
STATO LIMITE DI DANNO			
DOMANDA		CAPACITA'	
Spostamento mm	1,509	Spostamento mm	4,518
S.L. Danno	VERIFICATO	Numero passo precedente	23
PgaLD/g	0,246	ZetaE=PgaLD/Pga 63%	2,562
Rapporto $q^*=Fe/Fy$	0,55	Asta3D Nro	275
Tempo Intervento (anni)	320	TrCLD (anni)	483
-----		(TrCLD/TDLT)^a	2,152
STATO LIMITE DI SALVAGUARDIA DELLA VITA			
DOMANDA		CAPACITA'	
Spostamento mm	6,133	Spostamento mm	31,577
S.L. Salvaguardia Vita	VERIFICATO	Numero passo precedente	25
PgaLV/g	0,478	ZetaE=PgaLV/Pga 10%	1,642
Rapporto $q^*=Fe/Fy$	1,30	Asta3D Nro	275
Tempo Intervento (anni)	174	TrCLV (anni)	2475
-----		(TrCLV/TDLV)^a	1,670

RISULTATI GENERALI PUSH-OVER			
PUSH-OVER N.ro	4 -	Distrib.Forze Prop.Modolo: -Fy+0.3*Fx+Ecc5%	
Angolo Ingr. Sisma (Grd)	270	Numero collassi totali	1
Numero passo Resist.Max.	14	Numero passi significativi	14
Massa SDOF (t)	676,15	Taglio alla base max. (t)	638,53
Coeff. Partecipazione	1,72	Resistenza SDOF (t)	362,99
Rigidezza SDOF (t/m)	152669,23	Spostam. Snervam. SDOF mm	2
Periodo SDOF (sec)	0,13	Rapporto di incrudimento	0,000
Rapporto Alfau/alfa1	2,384	Fattore di comportamento	3,621
Coeff Smorzam.Equival.(%)	34	Duttilita	12,282
STATO LIMITE DI DANNO			
DOMANDA		CAPACITA'	
Spostamento mm	1,342	Spostamento mm	5,325
S.L. Danno	VERIFICATO	Numero passo precedente	12
PgaLD/g	0,279	ZetaE=PgaLD/Pga 63%	2,908
Rapporto $q^*=Fe/Fy$	0,56	Asta3D Nro	
Tempo Intervento (anni)	427	TrCLD (anni)	645
-----		(TrCLD/TDLT)^a	2,424
STATO LIMITE DI SALVAGUARDIA DELLA VITA			



D O M A N D A		C A P A C I T A'	
Spostamento mm	5,846	Spostamento mm	21,384
S.L. Salvaguardia Vita	VERIFICATO	Numero passo precedente	13
PgaLV/g	0,478	ZetaE=PgaLV/Pga 10%	1,642
Rapporto $q^*=F_e/F_y$	1,34	Asta3D Nro	277
Tempo Intervento (anni)	174	TrCLV (anni)	2475
-----		(TrCLV/TDLV)^a	1,670

**RISULTATI GENERALI PUSH-OVER**

PUSH-OVER N.ro	5 -	Distrib.Forze Prop.Massa:+Fx+0.3*Fy+Ecc5%	
Angolo Ingr. Sisma (Grd)	0	Numero collassi totali	1
Numero passo Resist.Max.	39	Numero passi significativi	39
Massa SDOF (t)	1341,77	Taglio alla base max. (t)	1215,62
Coeff. Partecipazione	1,00	Resistenza SDOF (t)	1140,49
Rigidezza SDOF (t/m)	287409,63	Spostam. Snervam. SDOF mm	4
Periodo SDOF (sec)	0,14	Rapporto di incrudimento	0,000
Rapporto Alfau/alfa1	21,848	Fattore di comportamento	3,293
Coeff Smorzam.Equival.(%)	33	Duttilita	10,614

**STATO LIMITE DI DANNO**

D O M A N D A		C A P A C I T A'	
Spostamento mm	1,435	Spostamento mm	9,240
S.L. Danno	VERIFICATO	Numero passo precedente	30
PgaLD/g	0,478	ZetaE=PgaLD/Pga 63%	4,976
Rapporto $q^*=F_e/F_y$	0,36	Asta3D Nro	279
Tempo Intervento (anni)	1641	TrCLD (anni)	2475
-----		(TrCLD/TDLD)^a	4,216

**STATO LIMITE DI SALVAGUARDIA DELLA VITA**

D O M A N D A		C A P A C I T A'	
Spostamento mm	3,398	Spostamento mm	28,880
S.L. Salvaguardia Vita	VERIFICATO	Numero passo precedente	36
PgaLV/g	0,478	ZetaE=PgaLV/Pga 10%	1,642
Rapporto $q^*=F_e/F_y$	0,86	Asta3D Nro	279
Tempo Intervento (anni)	174	TrCLV (anni)	2475
-----		(TrCLV/TDLV)^a	1,670

**RISULTATI GENERALI PUSH-OVER**

PUSH-OVER N.ro	6 -	Distrib.Forze Prop.Massa:-Fx+0.3*Fy+Ecc5%	
Angolo Ingr. Sisma (Grd)	180	Numero collassi totali	1
Numero passo Resist.Max.	10	Numero passi significativi	10
Massa SDOF (t)	1341,77	Taglio alla base max. (t)	1307,34
Coeff. Partecipazione	1,00	Resistenza SDOF (t)	1235,44
Rigidezza SDOF (t/m)	292253,53	Spostam. Snervam. SDOF mm	4
Periodo SDOF (sec)	0,14	Rapporto di incrudimento	0,000
Rapporto Alfau/alfa1	1,735	Fattore di comportamento	3,900
Coeff Smorzam.Equival.(%)	34	Duttilita	13,262

**STATO LIMITE DI DANNO**

D O M A N D A		C A P A C I T A'	
Spostamento mm	1,405	Spostamento mm	8,574
S.L. Danno	VERIFICATO	Numero passo precedente	7
PgaLD/g	0,478	ZetaE=PgaLD/Pga 63%	4,976
Rapporto $q^*=F_e/F_y$	0,33	Asta3D Nro	
Tempo Intervento (anni)	1641	TrCLD (anni)	2475
-----		(TrCLD/TDLD)^a	4,216

**STATO LIMITE DI SALVAGUARDIA DELLA VITA**

D O M A N D A		C A P A C I T A'	
---------------	--	------------------	--

**C.D.S.**

Spostamento mm	3,328	Spostamento mm	41,373
S.L. Salvaguardia Vita	VERIFICATO	Numero passo precedente	8
PgaLV/g	0,478	ZetaE=PgaLV/Pga 10%	1,642
Rapporto $q^*=F_e/F_y$	0,79	Asta3D Nro	279
Tempo Intervento (anni)	174	TrCLV (anni)	2475
-----		(TrCLV/TDLV)^a	1,670

**RISULTATI GENERALI PUSH-OVER**

PUSH-OVER N.ro	7 -	Distrib.Forze Prop.Massa:+Fy+0.3*Fx+Ecc5%	
Angolo Ingr. Sisma (Grd)	90	Numero collassi totali	1
Numero passo Resist.Max.	35	Numero passi significativi	35
Massa SDOF (t)	1341,77	Taglio alla base max. (t)	1085,44
Coeff. Partecipazione	1,00	Resistenza SDOF (t)	981,31
Rigidezza SDOF (t/m)	245502,30	Spostam. Snervam. SDOF mm	4
Periodo SDOF (sec)	0,15	Rapporto di incrudimento	0,000
Rapporto Alfau/alfa1	15,856	Fattore di comportamento	1,078
Coeff Smorzam.Equival.(%)	12	Duttilita	1,302

**STATO LIMITE DI DANNO**

DOMANDA		CAPACITA'	
Spostamento mm	1,753	Spostamento mm	5,171
S.L. Danno	VERIFICATO	Numero passo precedente	34
PgaLD/g	0,304	ZetaE=PgaLD/Pga 63%	3,166
Rapporto $q^*=F_e/F_y$	0,44	Asta3D Nro	
Tempo Intervento (anni)	519	TrCLD (anni)	783
-----		(TrCLD/TDLT)^a	2,626

**STATO LIMITE DI SALVAGUARDIA DELLA VITA**

DOMANDA		CAPACITA'	
Spostamento mm	4,531	Spostamento mm	5,171
S.L. Salvaguardia Vita	VERIFICATO	Numero passo precedente	34
PgaLV/g	0,304	ZetaE=PgaLV/Pga 10%	1,044
Rapporto $q^*=F_e/F_y$	1,03	Asta3D Nro	202
Tempo Intervento (anni)	55	TrCLV (anni)	783
-----		(TrCLV/TDLV)^a	1,040

**RISULTATI GENERALI PUSH-OVER**

PUSH-OVER N.ro	8 -	Distrib.Forze Prop.Massa:-Fy+0.3*Fx+Ecc5%	
Angolo Ingr. Sisma (Grd)	270	Numero collassi totali	1
Numero passo Resist.Max.	21	Numero passi significativi	21
Massa SDOF (t)	1341,77	Taglio alla base max. (t)	1270,07
Coeff. Partecipazione	1,00	Resistenza SDOF (t)	1242,23
Rigidezza SDOF (t/m)	282528,75	Spostam. Snervam. SDOF mm	4
Periodo SDOF (sec)	0,14	Rapporto di incrudimento	0,000
Rapporto Alfau/alfa1	6,217	Fattore di comportamento	3,495
Coeff Smorzam.Equival.(%)	34	Duttilita	11,372

**STATO LIMITE DI DANNO**

DOMANDA		CAPACITA'	
Spostamento mm	1,466	Spostamento mm	9,397
S.L. Danno	VERIFICATO	Numero passo precedente	18
PgaLD/g	0,478	ZetaE=PgaLD/Pga 63%	4,976
Rapporto $q^*=F_e/F_y$	0,33	Asta3D Nro	276
Tempo Intervento (anni)	1641	TrCLD (anni)	2475
-----		(TrCLD/TDLT)^a	4,216

**STATO LIMITE DI SALVAGUARDIA DELLA VITA**

DOMANDA		CAPACITA'	
Spostamento mm	3,471	Spostamento mm	36,493

**C.D.S.**

S.L. Salvaguardia Vita	VERIFICATO	Numero passo precedente	20
PgaLV/g	0,478	ZetaE=PgaLV/Pga 10%	1,642
Rapporto $q^*=F_e/F_y$	0,79	Asta3D Nro	277
Tempo Intervento (anni)	174	TrCLV (anni)	2475
-----		(TrCLV/TDLV)^a	1,670

**RISULTATI GENERALI PUSH-OVER**

PUSH-OVER N.ro	9 -	Distrib.Forze Prop.Modo:+Fx-0.3*Fy+Ecc5%	
Angolo Ingr. Sisma (Grd)	0	Numero collassi totali	1
Numero passo Resist.Max.	17	Numero passi significativi	17
Massa SDOF (t)	676,15	Taglio alla base max. (t)	592,82
Coeff. Partecipazione	1,72	Resistenza SDOF (t)	319,56
Rigidezza SDOF (t/m)	121786,77	Spostam. Snervam. SDOF mm	3
Periodo SDOF (sec)	0,15	Rapporto di incrudimento	0,000
Rapporto Alfau/alfa1	10,343	Fattore di comportamento	2,869
Coeff Smorzam.Equival.(%)	32	Duttilita	8,188

**STATO LIMITE DI DANNO**

DOMANDA		CAPACITA'	
Spostamento mm	1,788	Spostamento mm	5,752
S.L. Danno	VERIFICATO	Numero passo precedente	12
PgaLD/g	0,221	ZetaE=PgaLD/Pga 63%	2,298
Rapporto $q^*=F_e/F_y$	0,68	Asta3D Nro	279
Tempo Intervento (anni)	256	TrCLD (anni)	386
-----		(TrCLD/TDLD)^a	1,962

**STATO LIMITE DI SALVAGUARDIA DELLA VITA**

DOMANDA		CAPACITA'	
Spostamento mm	8,749	Spostamento mm	14,754
S.L. Salvaguardia Vita	VERIFICATO	Numero passo precedente	15
PgaLV/g	0,478	ZetaE=PgaLV/Pga 10%	1,642
Rapporto $q^*=F_e/F_y$	1,61	Asta3D Nro	279
Tempo Intervento (anni)	174	TrCLV (anni)	2475
-----		(TrCLV/TDLV)^a	1,670

**RISULTATI GENERALI PUSH-OVER**

PUSH-OVER N.ro	10 -	Distrib.Forze Prop.Modo:-Fx-0.3*Fy+Ecc5%	
Angolo Ingr. Sisma (Grd)	180	Numero collassi totali	1
Numero passo Resist.Max.	11	Numero passi significativi	11
Massa SDOF (t)	676,15	Taglio alla base max. (t)	658,73
Coeff. Partecipazione	1,72	Resistenza SDOF (t)	359,78
Rigidezza SDOF (t/m)	164946,63	Spostam. Snervam. SDOF mm	2
Periodo SDOF (sec)	0,13	Rapporto di incrudimento	0,000
Rapporto Alfau/alfa1	1,763	Fattore di comportamento	4,239
Coeff Smorzam.Equival.(%)	34	Duttilita	15,494

**STATO LIMITE DI DANNO**

DOMANDA		CAPACITA'	
Spostamento mm	1,218	Spostamento mm	5,344
S.L. Danno	VERIFICATO	Numero passo precedente	8
PgaLD/g	0,295	ZetaE=PgaLD/Pga 63%	3,072
Rapporto $q^*=F_e/F_y$	0,56	Asta3D Nro	
Tempo Intervento (anni)	485	TrCLD (anni)	731
-----		(TrCLD/TDLD)^a	2,552

**STATO LIMITE DI SALVAGUARDIA DELLA VITA**

DOMANDA		CAPACITA'	
Spostamento mm	5,368	Spostamento mm	24,508
S.L. Salvaguardia Vita	VERIFICATO	Numero passo precedente	9

**C.D.S.**

PgaLV/g	0,478	ZetaE=PgaLV/Pga 10%	1,642
Rapporto $q^*=F_e/F_y$	1,33	Asta3D Nro	279
Tempo Intervento (anni)	174	TrCLV (anni)	2475
-----		(TrCLV/TDLV)^a	1,670

**RISULTATI GENERALI PUSH-OVER**

PUSH-OVER N.ro	11 -	Distrib.Forze Prop.Modolo:+Fy-0.3*Fx+Ecc5%	
Angolo Ingr. Sisma (Grd)	90	Numero collassi totali	1
Numero passo Resist.Max.	24	Numero passi significativi	24
Massa SDOF (t)	676,15	Taglio alla base max. (t)	698,91
Coeff. Partecipazione	1,72	Resistenza SDOF (t)	400,04
Rigidezza SDOF (t/m)	143336,78	Spostam. Snervam. SDOF mm	3
Periodo SDOF (sec)	0,14	Rapporto di incrudimento	0,000
Rapporto Alfau/alfa1	6,843	Fattore di comportamento	4,436
Coeff Smorzam.Equival.(%)	34	Duttilita	15,333

**STATO LIMITE DI DANNO**

DOMANDA		CAPACITA'	
Spostamento mm	1,454	Spostamento mm	4,597
S.L. Danno	VERIFICATO	Numero passo precedente	21
PgaLD/g	0,268	ZetaE=PgaLD/Pga 63%	2,791
Rapporto $q^*=F_e/F_y$	0,52	Asta3D Nro	
Tempo Intervento (anni)	389	TrCLD (anni)	587
-----		(TrCLD/TDLV)^a	2,332

**STATO LIMITE DI SALVAGUARDIA DELLA VITA**

DOMANDA		CAPACITA'	
Spostamento mm	5,507	Spostamento mm	31,201
S.L. Salvaguardia Vita	VERIFICATO	Numero passo precedente	23
PgaLV/g	0,478	ZetaE=PgaLV/Pga 10%	1,642
Rapporto $q^*=F_e/F_y$	1,23	Asta3D Nro	275
Tempo Intervento (anni)	174	TrCLV (anni)	2475
-----		(TrCLV/TDLV)^a	1,670

**RISULTATI GENERALI PUSH-OVER**

PUSH-OVER N.ro	12 -	Distrib.Forze Prop.Modolo:-Fy-0.3*Fx+Ecc5%	
Angolo Ingr. Sisma (Grd)	270	Numero collassi totali	1
Numero passo Resist.Max.	9	Numero passi significativi	9
Massa SDOF (t)	676,15	Taglio alla base max. (t)	596,30
Coeff. Partecipazione	1,72	Resistenza SDOF (t)	337,90
Rigidezza SDOF (t/m)	150643,08	Spostam. Snervam. SDOF mm	2
Periodo SDOF (sec)	0,13	Rapporto di incrudimento	0,000
Rapporto Alfau/alfa1	1,705	Fattore di comportamento	3,994
Coeff Smorzam.Equival.(%)	34	Duttilita	13,806

**STATO LIMITE DI DANNO**

DOMANDA		CAPACITA'	
Spostamento mm	1,365	Spostamento mm	5,805
S.L. Danno	VERIFICATO	Numero passo precedente	8
PgaLD/g	0,274	ZetaE=PgaLD/Pga 63%	2,852
Rapporto $q^*=F_e/F_y$	0,61	Asta3D Nro	
Tempo Intervento (anni)	409	TrCLD (anni)	617
-----		(TrCLD/TDLV)^a	2,380

**STATO LIMITE DI SALVAGUARDIA DELLA VITA**

DOMANDA		CAPACITA'	
Spostamento mm	6,491	Spostamento mm	23,084
S.L. Salvaguardia Vita	VERIFICATO	Numero passo precedente	8
PgaLV/g	0,478	ZetaE=PgaLV/Pga 10%	1,642

SOFTWARE: C.D.S. - Full - Rel.2018

**C.D.S.**

Rapporto $q^*=F_e/F_y$	1,44	Asta3D Nro	277
Tempo Intervento (anni)	174	TrCLV (anni)	2475
-----		(TrCLV/TDLV)^a	1,670

**RISULTATI GENERALI PUSH-OVER**

PUSH-OVER N.ro	13 -	Distrib.Forze Prop.Massa: +Fx-0.3*Fy+Ecc5%	
Angolo Ingr. Sisma (Grd)	0	Numero collassi totali	1
Numero passo Resist.Max.	21	Numero passi significativi	21
Massa SDOF (t)	1341,77	Taglio alla base max. (t)	1177,75
Coeff. Partecipazione	1,00	Resistenza SDOF (t)	1094,20
Rigidezza SDOF (t/m)	242414,91	Spostam. Snervam. SDOF mm	5
Periodo SDOF (sec)	0,15	Rapporto di incrudimento	0,000
Rapporto Alfau/alfa1	14,596	Fattore di comportamento	2,884
Coeff Smorzam.Equival.(%)	32	Duttilita	8,256
<b>STATO LIMITE DI DANNO</b>			
<b>DOMANDA</b>		<b>CAPACITA'</b>	
Spostamento mm	1,781	Spostamento mm	9,767
S.L. Danno	VERIFICATO	Numero passo precedente	14
PgaLD/g	0,478	ZetaE=PgaLD/Pga 63%	4,976
Rapporto $q^*=F_e/F_y$	0,39	Asta3D Nro	279
Tempo Intervento (anni)	1641	TrCLD (anni)	2475
-----		(TrCLD/TDLD)^a	4,216
<b>STATO LIMITE DI SALVAGUARDIA DELLA VITA</b>			
<b>DOMANDA</b>		<b>CAPACITA'</b>	
Spostamento mm	4,201	Spostamento mm	25,450
S.L. Salvaguardia Vita	VERIFICATO	Numero passo precedente	19
PgaLV/g	0,478	ZetaE=PgaLV/Pga 10%	1,642
Rapporto $q^*=F_e/F_y$	0,93	Asta3D Nro	279
Tempo Intervento (anni)	174	TrCLV (anni)	2475
-----		(TrCLV/TDLV)^a	1,670

**RISULTATI GENERALI PUSH-OVER**

PUSH-OVER N.ro	14 -	Distrib.Forze Prop.Massa: -Fx-0.3*Fy+Ecc5%	
Angolo Ingr. Sisma (Grd)	180	Numero collassi totali	1
Numero passo Resist.Max.	11	Numero passi significativi	11
Massa SDOF (t)	1341,77	Taglio alla base max. (t)	1242,59
Coeff. Partecipazione	1,00	Resistenza SDOF (t)	1203,64
Rigidezza SDOF (t/m)	361077,22	Spostam. Snervam. SDOF mm	3
Periodo SDOF (sec)	0,12	Rapporto di incrudimento	0,000
Rapporto Alfau/alfa1	2,229	Fattore di comportamento	2,229
Coeff Smorzam.Equival.(%)	32	Duttilita	6,777
<b>STATO LIMITE DI DANNO</b>			
<b>DOMANDA</b>		<b>CAPACITA'</b>	
Spostamento mm	1,077	Spostamento mm	8,259
S.L. Danno	VERIFICATO	Numero passo precedente	10
PgaLD/g	0,478	ZetaE=PgaLD/Pga 63%	4,976
Rapporto $q^*=F_e/F_y$	0,32	Asta3D Nro	
Tempo Intervento (anni)	1641	TrCLD (anni)	2475
-----		(TrCLD/TDLD)^a	4,216
<b>STATO LIMITE DI SALVAGUARDIA DELLA VITA</b>			
<b>DOMANDA</b>		<b>CAPACITA'</b>	
Spostamento mm	2,564	Spostamento mm	18,221
S.L. Salvaguardia Vita	VERIFICATO	Numero passo precedente	10
PgaLV/g	0,478	ZetaE=PgaLV/Pga 10%	1,642
Rapporto $q^*=F_e/F_y$	0,77	Asta3D Nro	130

**C.D.S.**

Tempo Intervento (anni)	174	TrCLV (anni)	2475
-----		(TrCLV/TDLV)^a	1,670

**RISULTATI GENERALI PUSH-OVER**

PUSH-OVER N.ro	15 -	Distrib.Forze Prop.Massa:+Fy-0.3*Fx+Ecc5%	
Angolo Ingr. Sisma (Grd)	90	Numero collassi totali	1
Numero passo Resist.Max.	21	Numero passi significativi	21
Massa SDOF (t)	1341,77	Taglio alla base max. (t)	1080,54
Coeff. Partecipazione	1,00	Resistenza SDOF (t)	1013,38
Rigidezza SDOF (t/m)	257654,14	Spostam. Snervam. SDOF mm	4
Periodo SDOF (sec)	0,14	Rapporto di incrudimento	0,000
Rapporto Alfau/alfa1	8,183	Fattore di comportamento	1,047
Coeff Smorzam.Equival.(%)	10	Duttilita	1,187

**STATO LIMITE DI DANNO**

DOMANDA		CAPACITA'	
Spostamento mm	1,648	Spostamento mm	4,645
S.L. Danno	VERIFICATO	Numero passo precedente	20
PgaLD/g	0,307	ZetaE=PgaLD/Pga 63%	3,198
Rapporto q*=Fe/Fy	0,42	Asta3D Nro	
Tempo Intervento (anni)	531	TrCLD (anni)	801
-----		(TrCLD/TDLV)^a	2,650

**STATO LIMITE DI SALVAGUARDIA DELLA VITA**

DOMANDA		CAPACITA'	
Spostamento mm	3,893	Spostamento mm	4,645
S.L. Salvaguardia Vita	VERIFICATO	Numero passo precedente	20
PgaLV/g	0,307	ZetaE=PgaLV/Pga 10%	1,055
Rapporto q*=Fe/Fy	0,99	Asta3D Nro	202
Tempo Intervento (anni)	56	TrCLV (anni)	801
-----		(TrCLV/TDLV)^a	1,050

**RISULTATI GENERALI PUSH-OVER**

PUSH-OVER N.ro	16 -	Distrib.Forze Prop.Massa:-Fy-0.3*Fx+Ecc5%	
Angolo Ingr. Sisma (Grd)	270	Numero collassi totali	1
Numero passo Resist.Max.	29	Numero passi significativi	29
Massa SDOF (t)	1341,77	Taglio alla base max. (t)	1272,95
Coeff. Partecipazione	1,00	Resistenza SDOF (t)	1253,98
Rigidezza SDOF (t/m)	273588,41	Spostam. Snervam. SDOF mm	5
Periodo SDOF (sec)	0,14	Rapporto di incrudimento	0,000
Rapporto Alfau/alfa1	3,406	Fattore di comportamento	3,588
Coeff Smorzam.Equival.(%)	34	Duttilita	11,586

**STATO LIMITE DI DANNO**

DOMANDA		CAPACITA'	
Spostamento mm	1,527	Spostamento mm	11,116
S.L. Danno	VERIFICATO	Numero passo precedente	28
PgaLD/g	0,478	ZetaE=PgaLD/Pga 63%	4,976
Rapporto q*=Fe/Fy	0,33	Asta3D Nro	
Tempo Intervento (anni)	1641	TrCLD (anni)	2475
-----		(TrCLD/TDLV)^a	4,216

**STATO LIMITE DI SALVAGUARDIA DELLA VITA**

DOMANDA		CAPACITA'	
Spostamento mm	3,612	Spostamento mm	39,647
S.L. Salvaguardia Vita	VERIFICATO	Numero passo precedente	28
PgaLV/g	0,478	ZetaE=PgaLV/Pga 10%	1,642
Rapporto q*=Fe/Fy	0,79	Asta3D Nro	277
Tempo Intervento (anni)	174	TrCLV (anni)	2475

-----	(TrCLV/TDLV)^a	1,670
-------	----------------	-------

**RISULTATI GENERALI PUSH-OVER**

PUSH-OVER N.ro	17 -	Distrib.Forze Prop.Modo:+Fx+0.3*Fy-Ecc5%	
Angolo Ingr. Sisma (Grd)	0	Numero collassi totali	1
Numero passo Resist.Max.	23	Numero passi significativi	23
Massa SDOF (t)	676,15	Taglio alla base max. (t)	674,94
Coeff. Partecipazione	1,72	Resistenza SDOF (t)	373,58
Rigidezza SDOF (t/m)	165742,64	Spostam. Snervam. SDOF mm	2
Periodo SDOF (sec)	0,13	Rapporto di incrudimento	0,000
Rapporto Alfau/alfa1	14,277	Fattore di comportamento	3,969
Coeff Smorzam.Equival.(%)	34	Duttilita	14,316
<b>STATO LIMITE DI DANNO</b>			
<b>DOMANDA</b>		<b>CAPACITA'</b>	
Spostamento mm	1,210	Spostamento mm	5,096
S.L. Danno	VERIFICATO	Numero passo precedente	21
PgaLD/g	0,298	ZetaE=PgaLD/Pga 63%	3,101
Rapporto q*=Fe/Fy	0,54	Asta3D Nro	
Tempo Intervento (anni)	495	TrCLD (anni)	747
-----		(TrCLD/TDLV)^a	2,575
<b>STATO LIMITE DI SALVAGUARDIA DELLA VITA</b>			
<b>DOMANDA</b>		<b>CAPACITA'</b>	
Spostamento mm	5,045	Spostamento mm	23,601
S.L. Salvaguardia Vita	VERIFICATO	Numero passo precedente	22
PgaLV/g	0,478	ZetaE=PgaLV/Pga 10%	1,642
Rapporto q*=Fe/Fy	1,28	Asta3D Nro	279
Tempo Intervento (anni)	174	TrCLV (anni)	2475
-----		(TrCLV/TDLV)^a	1,670

**RISULTATI GENERALI PUSH-OVER**

PUSH-OVER N.ro	18 -	Distrib.Forze Prop.Modo:-Fx+0.3*Fy-Ecc5%	
Angolo Ingr. Sisma (Grd)	180	Numero collassi totali	1
Numero passo Resist.Max.	11	Numero passi significativi	11
Massa SDOF (t)	676,15	Taglio alla base max. (t)	590,74
Coeff. Partecipazione	1,72	Resistenza SDOF (t)	327,88
Rigidezza SDOF (t/m)	116691,58	Spostam. Snervam. SDOF mm	3
Periodo SDOF (sec)	0,15	Rapporto di incrudimento	0,000
Rapporto Alfau/alfa1	2,117	Fattore di comportamento	4,927
Coeff Smorzam.Equival.(%)	34	Duttilita	15,782
<b>STATO LIMITE DI DANNO</b>			
<b>DOMANDA</b>		<b>CAPACITA'</b>	
Spostamento mm	1,889	Spostamento mm	5,616
S.L. Danno	VERIFICATO	Numero passo precedente	6
PgaLD/g	0,215	ZetaE=PgaLD/Pga 63%	2,236
Rapporto q*=Fe/Fy	0,67	Asta3D Nro	279
Tempo Intervento (anni)	242	TrCLD (anni)	365
-----		(TrCLD/TDLV)^a	1,918
<b>STATO LIMITE DI SALVAGUARDIA DELLA VITA</b>			
<b>DOMANDA</b>		<b>CAPACITA'</b>	
Spostamento mm	8,978	Spostamento mm	19,027
S.L. Salvaguardia Vita	VERIFICATO	Numero passo precedente	9
PgaLV/g	0,478	ZetaE=PgaLV/Pga 10%	1,642
Rapporto q*=Fe/Fy	1,58	Asta3D Nro	279
Tempo Intervento (anni)	174	TrCLV (anni)	2475
-----		(TrCLV/TDLV)^a	1,670

**RISULTATI GENERALI PUSH-OVER**

PUSH-OVER N.ro	19 -	Distrib.Forze Prop.Modo:+Fy+0.3*Fx-Ecc5%	
Angolo Ingr. Sisma (Grd)	90	Numero collassi totali	1
Numero passo Resist.Max.	21	Numero passi significativi	21
Massa SDOF (t)	676,15	Taglio alla base max. (t)	675,70
Coeff. Partecipazione	1,72	Resistenza SDOF (t)	386,88
Rigidezza SDOF (t/m)	144944,09	Spostam. Snervam. SDOF mm	3
Periodo SDOF (sec)	0,14	Rapporto di incrudimento	0,000
Rapporto Alfau/alfa1	10,055	Fattore di comportamento	4,727
Coeff Smorzam.Equival.(%)	34	Duttilita	16,634
<b>STATO LIMITE DI DANNO</b>			
<b>DOMANDA</b>		<b>CAPACITA'</b>	
Spostamento mm	1,433	Spostamento mm	4,616
S.L. Danno	VERIFICATO	Numero passo precedente	18
PgaLD/g	0,262	ZetaE=PgaLD/Pga 63%	2,725
Rapporto q*=Fe/Fy	0,54	Asta3D Nro	274
Tempo Intervento (anni)	369	TrCLD (anni)	556
-----		(TrCLD/TDLT)^a	2,281
<b>STATO LIMITE DI SALVAGUARDIA DELLA VITA</b>			
<b>DOMANDA</b>		<b>CAPACITA'</b>	
Spostamento mm	5,713	Spostamento mm	32,816
S.L. Salvaguardia Vita	VERIFICATO	Numero passo precedente	20
PgaLV/g	0,478	ZetaE=PgaLV/Pga 10%	1,642
Rapporto q*=Fe/Fy	1,27	Asta3D Nro	275
Tempo Intervento (anni)	174	TrCLV (anni)	2475
-----		(TrCLV/TDLV)^a	1,670

**RISULTATI GENERALI PUSH-OVER**

PUSH-OVER N.ro	20 -	Distrib.Forze Prop.Modo:-Fy+0.3*Fx-Ecc5%	
Angolo Ingr. Sisma (Grd)	270	Numero collassi totali	1
Numero passo Resist.Max.	14	Numero passi significativi	14
Massa SDOF (t)	676,15	Taglio alla base max. (t)	639,41
Coeff. Partecipazione	1,72	Resistenza SDOF (t)	364,24
Rigidezza SDOF (t/m)	138159,97	Spostam. Snervam. SDOF mm	3
Periodo SDOF (sec)	0,14	Rapporto di incrudimento	0,000
Rapporto Alfau/alfa1	2,055	Fattore di comportamento	3,743
Coeff Smorzam.Equival.(%)	34	Duttilita	12,234
<b>STATO LIMITE DI DANNO</b>			
<b>DOMANDA</b>		<b>CAPACITA'</b>	
Spostamento mm	1,523	Spostamento mm	5,799
S.L. Danno	VERIFICATO	Numero passo precedente	13
PgaLD/g	0,272	ZetaE=PgaLD/Pga 63%	2,832
Rapporto q*=Fe/Fy	0,58	Asta3D Nro	
Tempo Intervento (anni)	403	TrCLD (anni)	607
-----		(TrCLD/TDLT)^a	2,364
<b>STATO LIMITE DI SALVAGUARDIA DELLA VITA</b>			
<b>DOMANDA</b>		<b>CAPACITA'</b>	
Spostamento mm	6,595	Spostamento mm	23,730
S.L. Salvaguardia Vita	VERIFICATO	Numero passo precedente	13
PgaLV/g	0,478	ZetaE=PgaLV/Pga 10%	1,642
Rapporto q*=Fe/Fy	1,37	Asta3D Nro	277
Tempo Intervento (anni)	174	TrCLV (anni)	2475
-----		(TrCLV/TDLV)^a	1,670



**RISULTATI GENERALI PUSH-OVER**

PUSH-OVER N.ro	21 -	Distrib.Forze Prop.Massa:+Fx+0.3*Fy-Ecc5%	
Angolo Ingr. Sisma (Grd)	0	Numero collassi totali	1
Numero passo Resist.Max.	31	Numero passi significativi	31
Massa SDOF (t)	1341,77	Taglio alla base max. (t)	1358,87
Coeff. Partecipazione	1,00	Resistenza SDOF (t)	1279,72
Rigidezza SDOF (t/m)	355272,94	Spostam. Snervam. SDOF mm	4
Periodo SDOF (sec)	0,12	Rapporto di incrudimento	0,000
Rapporto Alfau/alfa1	21,495	Fattore di comportamento	4,000
Coeff Smorzam.Equival.(%)	34	Duttilita	14,986
<b>STATO LIMITE DI DANNO</b>			
<b>DOMANDA</b>		<b>CAPACITA'</b>	
Spostamento mm	1,099	Spostamento mm	8,739
S.L. Danno	VERIFICATO	Numero passo precedente	26
PgaLD/g	0,478	ZetaE=PgaLD/Pga 63%	4,976
Rapporto q*=Fe/Fy	0,30	Asta3D Nro	
Tempo Intervento (anni)	1641	TrCLD (anni)	2475
-----		(TrCLD/TDLT)^a	4,216
<b>STATO LIMITE DI SALVAGUARDIA DELLA VITA</b>			
<b>DOMANDA</b>		<b>CAPACITA'</b>	
Spostamento mm	2,616	Spostamento mm	39,893
S.L. Salvaguardia Vita	VERIFICATO	Numero passo precedente	29
PgaLV/g	0,478	ZetaE=PgaLV/Pga 10%	1,642
Rapporto q*=Fe/Fy	0,73	Asta3D Nro	279
Tempo Intervento (anni)	174	TrCLV (anni)	2475
-----		(TrCLV/TDLV)^a	1,670

**RISULTATI GENERALI PUSH-OVER**

PUSH-OVER N.ro	22 -	Distrib.Forze Prop.Massa:-Fx+0.3*Fy-Ecc5%	
Angolo Ingr. Sisma (Grd)	180	Numero collassi totali	1
Numero passo Resist.Max.	12	Numero passi significativi	12
Massa SDOF (t)	1341,77	Taglio alla base max. (t)	1172,50
Coeff. Partecipazione	1,00	Resistenza SDOF (t)	1122,43
Rigidezza SDOF (t/m)	233719,86	Spostam. Snervam. SDOF mm	5
Periodo SDOF (sec)	0,15	Rapporto di incrudimento	0,000
Rapporto Alfau/alfa1	2,139	Fattore di comportamento	4,923
Coeff Smorzam.Equival.(%)	34	Duttilita	15,835
<b>STATO LIMITE DI DANNO</b>			
<b>DOMANDA</b>		<b>CAPACITA'</b>	
Spostamento mm	1,866	Spostamento mm	9,585
S.L. Danno	VERIFICATO	Numero passo precedente	6
PgaLD/g	0,478	ZetaE=PgaLD/Pga 63%	4,976
Rapporto q*=Fe/Fy	0,39	Asta3D Nro	273
Tempo Intervento (anni)	1641	TrCLD (anni)	2475
-----		(TrCLD/TDLT)^a	4,216
<b>STATO LIMITE DI SALVAGUARDIA DELLA VITA</b>			
<b>DOMANDA</b>		<b>CAPACITA'</b>	
Spostamento mm	4,397	Spostamento mm	32,418
S.L. Salvaguardia Vita	VERIFICATO	Numero passo precedente	10
PgaLV/g	0,478	ZetaE=PgaLV/Pga 10%	1,642
Rapporto q*=Fe/Fy	0,92	Asta3D Nro	279
Tempo Intervento (anni)	174	TrCLV (anni)	2475
-----		(TrCLV/TDLV)^a	1,670

**RISULTATI GENERALI PUSH-OVER**

SOFTWARE: C.D.S. - Full - Rel.2018

PUSH-OVER N.ro	23 -	Distrib.Forze Prop.Massa:+Fy+0.3*Fx-Ecc5%	
Angolo Ingr. Sisma (Grd)	90	Numero collassi totali	1
Numero passo Resist.Max.	31	Numero passi significativi	31
Massa SDOF (t)	1341,77	Taglio alla base max. (t)	1191,48
Coeff. Partecipazione	1,00	Resistenza SDOF (t)	1113,03
Rigidezza SDOF (t/m)	257549,09	Spostam. Snervam. SDOF mm	4
Periodo SDOF (sec)	0,14	Rapporto di incrudimento	0,000
Rapporto Alfau/alfa1	14,838	Fattore di comportamento	1,094
Coeff Smorzam.Equival.(%)	13	Duttilita	1,375
STATO LIMITE DI DANNO			
DOMANDA		CAPACITA'	
Spostamento mm	1,649	Spostamento mm	5,898
S.L. Danno	VERIFICATO	Numero passo precedente	30
PgaLD/g	0,413	ZetaE=PgaLD/Pga 63%	4,301
Rapporto q*=Fe/Fy	0,38	Asta3D Nro	
Tempo Intervento (anni)	1120	TrCLD (anni)	1690
-----		(TrCLD/TDLd)^a	3,603
STATO LIMITE DI SALVAGUARDIA DELLA VITA			
DOMANDA		CAPACITA'	
Spostamento mm	3,895	Spostamento mm	5,898
S.L. Salvaguardia Vita	VERIFICATO	Numero passo precedente	30
PgaLV/g	0,413	ZetaE=PgaLV/Pga 10%	1,419
Rapporto q*=Fe/Fy	0,90	Asta3D Nro	202
Tempo Intervento (anni)	119	TrCLV (anni)	1690
-----		(TrCLV/TDLV)^a	1,427

## RISULTATI GENERALI PUSH-OVER

PUSH-OVER N.ro	24 -	Distrib.Forze Prop.Massa:-Fy+0.3*Fx-Ecc5%	
Angolo Ingr. Sisma (Grd)	270	Numero collassi totali	1
Numero passo Resist.Max.	24	Numero passi significativi	24
Massa SDOF (t)	1341,77	Taglio alla base max. (t)	1273,64
Coeff. Partecipazione	1,00	Resistenza SDOF (t)	1260,91
Rigidezza SDOF (t/m)	250740,67	Spostam. Snervam. SDOF mm	5
Periodo SDOF (sec)	0,15	Rapporto di incrudimento	0,000
Rapporto Alfau/alfa1	4,758	Fattore di comportamento	3,581
Coeff Smorzam.Equival.(%)	33	Duttilita	11,110
STATO LIMITE DI DANNO			
DOMANDA		CAPACITA'	
Spostamento mm	1,706	Spostamento mm	10,357
S.L. Danno	VERIFICATO	Numero passo precedente	23
PgaLD/g	0,478	ZetaE=PgaLD/Pga 63%	4,976
Rapporto q*=Fe/Fy	0,34	Asta3D Nro	
Tempo Intervento (anni)	1641	TrCLD (anni)	2475
-----		(TrCLD/TDLd)^a	4,216
STATO LIMITE DI SALVAGUARDIA DELLA VITA			
DOMANDA		CAPACITA'	
Spostamento mm	4,027	Spostamento mm	42,190
S.L. Salvaguardia Vita	VERIFICATO	Numero passo precedente	23
PgaLV/g	0,478	ZetaE=PgaLV/Pga 10%	1,642
Rapporto q*=Fe/Fy	0,80	Asta3D Nro	277
Tempo Intervento (anni)	174	TrCLV (anni)	2475
-----		(TrCLV/TDLV)^a	1,670

## RISULTATI GENERALI PUSH-OVER

PUSH-OVER N.ro	25 -	Distrib.Forze Prop.Modolo:+Fx-0.3*Fy-Ecc5%	
----------------	------	--	--

**C.D.S.**

Angolo Ingr. Sisma (Grd)	0	Numero collassi totali	1
Numero passo Resist.Max.	16	Numero passi significativi	16
Massa SDOF (t)	676,15	Taglio alla base max. (t)	673,62
Coeff. Partecipazione	1,72	Resistenza SDOF (t)	368,48
Rigidezza SDOF (t/m)	145787,81	Spostam. Snervam. SDOF mm	3
Periodo SDOF (sec)	0,14	Rapporto di incrudimento	0,000
Rapporto Alfau/alfa1	10,070	Fattore di comportamento	4,019
Coeff Smorzam.Equival.(%)	34	Duttilita	13,700
<b>STATO LIMITE DI DANNO</b>			
<b>DOMANDA</b>		<b>CAPACITA'</b>	
Spostamento mm	1,423	Spostamento mm	5,402
S.L. Danno	VERIFICATO	Numero passo precedente	13
PgaLD/g	0,275	ZetaE=PgaLD/Pga 63%	2,864
Rapporto q*=Fe/Fy	0,56	Asta3D Nro	
Tempo Intervento (anni)	413	TrCLD (anni)	623
-----		(TrCLD/TDLT)^a	2,390
<b>STATO LIMITE DI SALVAGUARDIA DELLA VITA</b>			
<b>DOMANDA</b>		<b>CAPACITA'</b>	
Spostamento mm	6,073	Spostamento mm	25,314
S.L. Salvaguardia Vita	VERIFICATO	Numero passo precedente	14
PgaLV/g	0,478	ZetaE=PgaLV/Pga 10%	1,642
Rapporto q*=Fe/Fy	1,33	Asta3D Nro	279
Tempo Intervento (anni)	174	TrCLV (anni)	2475
-----		(TrCLV/TDLV)^a	1,670

**RISULTATI GENERALI PUSH-OVER**

PUSH-OVER N.ro	26 -	Distrib.Forze Prop.Modo:-Fx-0.3*Fy-Ecc5%	
Angolo Ingr. Sisma (Grd)	180	Numero collassi totali	1
Numero passo Resist.Max.	11	Numero passi significativi	11
Massa SDOF (t)	676,15	Taglio alla base max. (t)	578,29
Coeff. Partecipazione	1,72	Resistenza SDOF (t)	307,68
Rigidezza SDOF (t/m)	115901,31	Spostam. Snervam. SDOF mm	3
Periodo SDOF (sec)	0,15	Rapporto di incrudimento	0,000
Rapporto Alfau/alfa1	2,568	Fattore di comportamento	2,828
Coeff Smorzam.Equival.(%)	32	Duttilita	7,857
<b>STATO LIMITE DI DANNO</b>			
<b>DOMANDA</b>		<b>CAPACITA'</b>	
Spostamento mm	1,905	Spostamento mm	5,199
S.L. Danno	VERIFICATO	Numero passo precedente	6
PgaLD/g	0,193	ZetaE=PgaLD/Pga 63%	2,015
Rapporto q*=Fe/Fy	0,72	Asta3D Nro	279
Tempo Intervento (anni)	195	TrCLD (anni)	295
-----		(TrCLD/TDLT)^a	1,757
<b>STATO LIMITE DI SALVAGUARDIA DELLA VITA</b>			
<b>DOMANDA</b>		<b>CAPACITA'</b>	
Spostamento mm	9,527	Spostamento mm	14,704
S.L. Salvaguardia Vita	VERIFICATO	Numero passo precedente	9
PgaLV/g	0,463	ZetaE=PgaLV/Pga 10%	1,589
Rapporto q*=Fe/Fy	1,69	Asta3D Nro	279
Tempo Intervento (anni)	160	TrCLV (anni)	2275
-----		(TrCLV/TDLV)^a	1,613

**RISULTATI GENERALI PUSH-OVER**

PUSH-OVER N.ro	27 -	Distrib.Forze Prop.Modo:+Fy-0.3*Fx-Ecc5%	
Angolo Ingr. Sisma (Grd)	90	Numero collassi totali	1

**C.D.S.**

Numero passo Resist.Max.	18	Numero passi significativi	18
Massa SDOF (t)	676,15	Taglio alla base max. (t)	686,57
Coeff. Partecipazione	1,72	Resistenza SDOF (t)	391,73
Rigidezza SDOF (t/m)	149477,73	Spostam. Snervam. SDOF mm	3
Periodo SDOF (sec)	0,13	Rapporto di incrudimento	0,000
Rapporto Alfau/alfa1	5,623	Fattore di comportamento	4,646
Coeff Smorzam.Equival.(%)	34	Duttilita	16,533
<b>STATO LIMITE DI DANNO</b>			
<b>DOMANDA</b>		<b>CAPACITA'</b>	
Spostamento mm	1,379	Spostamento mm	4,505
S.L. Danno	VERIFICATO	Numero passo precedente	15
PgaLD/g	0,268	ZetaE=PgaLD/Pga 63%	2,795
Rapporto q*=Fe/Fy	0,53	Asta3D Nro	
Tempo Intervento (anni)	391	TrCLD (anni)	589
-----		(TrCLD/TDLT)^a	2,335
<b>STATO LIMITE DI SALVAGUARDIA DELLA VITA</b>			
<b>DOMANDA</b>		<b>CAPACITA'</b>	
Spostamento mm	5,376	Spostamento mm	31,831
S.L. Salvaguardia Vita	VERIFICATO	Numero passo precedente	17
PgaLV/g	0,478	ZetaE=PgaLV/Pga 10%	1,642
Rapporto q*=Fe/Fy	1,25	Asta3D Nro	275
Tempo Intervento (anni)	174	TrCLV (anni)	2475
-----		(TrCLV/TDLV)^a	1,670

**RISULTATI GENERALI PUSH-OVER**

PUSH-OVER N.ro	28 -	Distrib.Forze Prop.Modolo:-Fy-0.3*Fx-Ecc5%	
Angolo Ingr. Sisma (Grd)	270	Numero collassi totali	1
Numero passo Resist.Max.	15	Numero passi significativi	15
Massa SDOF (t)	676,15	Taglio alla base max. (t)	631,49
Coeff. Partecipazione	1,72	Resistenza SDOF (t)	360,33
Rigidezza SDOF (t/m)	124209,85	Spostam. Snervam. SDOF mm	3
Periodo SDOF (sec)	0,15	Rapporto di incrudimento	0,000
Rapporto Alfau/alfa1	2,584	Fattore di comportamento	3,454
Coeff Smorzam.Equival.(%)	33	Duttilita	10,529
<b>STATO LIMITE DI DANNO</b>			
<b>DOMANDA</b>		<b>CAPACITA'</b>	
Spostamento mm	1,744	Spostamento mm	5,317
S.L. Danno	VERIFICATO	Numero passo precedente	10
PgaLD/g	0,233	ZetaE=PgaLD/Pga 63%	2,425
Rapporto q*=Fe/Fy	0,60	Asta3D Nro	277
Tempo Intervento (anni)	286	TrCLD (anni)	431
-----		(TrCLD/TDLT)^a	2,054
<b>STATO LIMITE DI SALVAGUARDIA DELLA VITA</b>			
<b>DOMANDA</b>		<b>CAPACITA'</b>	
Spostamento mm	7,612	Spostamento mm	22,171
S.L. Salvaguardia Vita	VERIFICATO	Numero passo precedente	14
PgaLV/g	0,478	ZetaE=PgaLV/Pga 10%	1,642
Rapporto q*=Fe/Fy	1,42	Asta3D Nro	277
Tempo Intervento (anni)	174	TrCLV (anni)	2475
-----		(TrCLV/TDLV)^a	1,670

**RISULTATI GENERALI PUSH-OVER**

PUSH-OVER N.ro	29 -	Distrib.Forze Prop.Massa:+Fx-0.3*Fy-Ecc5%	
Angolo Ingr. Sisma (Grd)	0	Numero collassi totali	1
Numero passo Resist.Max.	17	Numero passi significativi	17

**C.D.S.**

Massa SDOF (t)	1341,77	Taglio alla base max. (t)	1337,85
Coeff. Partecipazione	1,00	Resistenza SDOF (t)	1263,79
Rigidezza SDOF (t/m)	289998,13	Spostam. Snervam. SDOF mm	4
Periodo SDOF (sec)	0,14	Rapporto di incrudimento	0,000
Rapporto Alfau/alfa1	13,698	Fattore di comportamento	4,005
Coeff Smorzam.Equival.(%)	34	Duttilita	13,657
<b>STATO LIMITE DI DANNO</b>			
<b>DOMANDA</b>		<b>CAPACITA'</b>	
Spostamento mm	1,418	Spostamento mm	9,366
S.L. Danno	VERIFICATO	Numero passo precedente	15
PgaLD/g	0,478	ZetaE=PgaLD/Pga 63%	4,976
Rapporto q*=Fe/Fy	0,33	Asta3D Nro	
Tempo Intervento (anni)	1641	TrCLD (anni)	2475
-----		(TrCLD/TDLd)^a	4,216
<b>STATO LIMITE DI SALVAGUARDIA DELLA VITA</b>			
<b>DOMANDA</b>		<b>CAPACITA'</b>	
Spostamento mm	3,360	Spostamento mm	43,436
S.L. Salvaguardia Vita	VERIFICATO	Numero passo precedente	16
PgaLV/g	0,478	ZetaE=PgaLV/Pga 10%	1,642
Rapporto q*=Fe/Fy	0,77	Asta3D Nro	279
Tempo Intervento (anni)	174	TrCLV (anni)	2475
-----		(TrCLV/TDLV)^a	1,670

**RISULTATI GENERALI PUSH-OVER**

PUSH-OVER N.ro	30 -	Distrib.Forze Prop.Massa:-Fx-0.3*Fy-Ecc5%	
Angolo Ingr. Sisma (Grd)	180	Numero collassi totali	1
Numero passo Resist.Max.	17	Numero passi significativi	17
Massa SDOF (t)	1341,77	Taglio alla base max. (t)	1127,50
Coeff. Partecipazione	1,00	Resistenza SDOF (t)	1023,69
Rigidezza SDOF (t/m)	246320,52	Spostam. Snervam. SDOF mm	4
Periodo SDOF (sec)	0,15	Rapporto di incrudimento	0,000
Rapporto Alfau/alfa1	2,673	Fattore di comportamento	2,622
Coeff Smorzam.Equival.(%)	32	Duttilita	7,295
<b>STATO LIMITE DI DANNO</b>			
<b>DOMANDA</b>		<b>CAPACITA'</b>	
Spostamento mm	1,745	Spostamento mm	8,600
S.L. Danno	VERIFICATO	Numero passo precedente	7
PgaLD/g	0,462	ZetaE=PgaLD/Pga 63%	4,810
Rapporto q*=Fe/Fy	0,42	Asta3D Nro	279
Tempo Intervento (anni)	1501	TrCLD (anni)	2265
-----		(TrCLD/TDLd)^a	4,065
<b>STATO LIMITE DI SALVAGUARDIA DELLA VITA</b>			
<b>DOMANDA</b>		<b>CAPACITA'</b>	
Spostamento mm	4,118	Spostamento mm	25,238
S.L. Salvaguardia Vita	VERIFICATO	Numero passo precedente	16
PgaLV/g	0,478	ZetaE=PgaLV/Pga 10%	1,642
Rapporto q*=Fe/Fy	0,99	Asta3D Nro	279
Tempo Intervento (anni)	174	TrCLV (anni)	2475
-----		(TrCLV/TDLV)^a	1,670

**RISULTATI GENERALI PUSH-OVER**

PUSH-OVER N.ro	31 -	Distrib.Forze Prop.Massa:+Fy-0.3*Fx-Ecc5%	
Angolo Ingr. Sisma (Grd)	90	Numero collassi totali	1
Numero passo Resist.Max.	30	Numero passi significativi	30
Massa SDOF (t)	1341,77	Taglio alla base max. (t)	1378,75

SOFTWARE: C.D.S. - Full - Rel.2018

**C.D.S.**

Coeff. Partecipazione	1,00	Resistenza SDOF (t)	1352,99
Rigidezza SDOF (t/m)	267647,81	Spostam. Snervam. SDOF mm	5
Periodo SDOF (sec)	0,14	Rapporto di incrudimento	0,000
Rapporto Alfau/alfa1	8,764	Fattore di comportamento	4,075
Coeff Smorzam.Equival.(%)	34	Duttilita	13,445
<b>STATO LIMITE DI DANNO</b>			
<b>DOMANDA</b>		<b>CAPACITA'</b>	
Spostamento mm	1,570	Spostamento mm	8,142
S.L. Danno	VERIFICATO	Numero passo precedente	25
PgaLD/g	0,478	ZetaE=PgaLD/Pga 63%	4,976
Rapporto q*=Fe/Fy	0,31	Asta3D Nro	274
Tempo Intervento (anni)	1641	TrCLD (anni)	2475
-----		(TrCLD/TDLd)^a	4,216
<b>STATO LIMITE DI SALVAGUARDIA DELLA VITA</b>			
<b>DOMANDA</b>		<b>CAPACITA'</b>	
Spostamento mm	3,712	Spostamento mm	52,517
S.L. Salvaguardia Vita	VERIFICATO	Numero passo precedente	29
PgaLV/g	0,478	ZetaE=PgaLV/Pga 10%	1,642
Rapporto q*=Fe/Fy	0,73	Asta3D Nro	275
Tempo Intervento (anni)	174	TrCLV (anni)	2475
-----		(TrCLV/TDLV)^a	1,670

<b>RISULTATI GENERALI PUSH-OVER</b>			
PUSH-OVER N.ro	32 -	Distrib.Forze Prop.Massa:-Fy-0.3*Fx-Ecc5%	
Angolo Ingr. Sisma (Grd)	270	Numero collassi totali	1
Numero passo Resist.Max.	42	Numero passi significativi	42
Massa SDOF (t)	1341,77	Taglio alla base max. (t)	1219,47
Coeff. Partecipazione	1,00	Resistenza SDOF (t)	1151,59
Rigidezza SDOF (t/m)	227137,55	Spostam. Snervam. SDOF mm	5
Periodo SDOF (sec)	0,15	Rapporto di incrudimento	0,000
Rapporto Alfau/alfa1	3,800	Fattore di comportamento	1,169
Coeff Smorzam.Equival.(%)	17	Duttilita	1,631
<b>STATO LIMITE DI DANNO</b>			
<b>DOMANDA</b>		<b>CAPACITA'</b>	
Spostamento mm	1,936	Spostamento mm	5,708
S.L. Danno	VERIFICATO	Numero passo precedente	26
PgaLD/g	0,367	ZetaE=PgaLD/Pga 63%	3,828
Rapporto q*=Fe/Fy	0,38	Asta3D Nro	151
Tempo Intervento (anni)	826	TrCLD (anni)	1246
-----		(TrCLD/TDLd)^a	3,179
<b>STATO LIMITE DI SALVAGUARDIA DELLA VITA</b>			
<b>DOMANDA</b>		<b>CAPACITA'</b>	
Spostamento mm	4,558	Spostamento mm	8,101
S.L. Salvaguardia Vita	VERIFICATO	Numero passo precedente	41
PgaLV/g	0,465	ZetaE=PgaLV/Pga 10%	1,600
Rapporto q*=Fe/Fy	0,90	Asta3D Nro	224
Tempo Intervento (anni)	163	TrCLV (anni)	2313
-----		(TrCLV/TDLV)^a	1,624

RISULTATI VERIFICHE NODI CLS - PUSH N.ro: 1 - Prop.Modolo:+Fx+0.3*Fy+Ecc5%																		
IDENTIFICATIVO					DIREZIONE 'X'							DIREZIONE 'Y'						
Filo N.ro	Quota (m)	Nod3d Nro	Nsup (t)	Coll Nodo	TaglSup (t)	TrazAf (t)	SgmCo	SgmTr	RcLim	RtLim	DeltRt	TaglSup (t)	TrazAf (t)	SgmCo	SgmTr	RcLim	RtLim	DeltRt
					----- kg/cmq -----							----- kg/cmq -----						
1	0,00	1	-19,6	NO	0,3	0,0	-12,3	0,0	69,0	11,1		0,3	0,6	-12,3	0,0	69,0	11,1	
2	0,00	2	-44,1	NO								1,4	1,2	-27,6	0,0	69,0	11,1	
3	0,00	3	-41,5	NO								0,0	0,0	-25,9	0,0	69,0	11,1	
4	0,00	4	-29,8	NO								2,3	0,0	-18,8	0,1	69,0	11,1	
5	0,00	5	-10,3	NO	5,6	5,9	-6,5	0,0	69,0	11,1		3,4	0,0	-7,1	0,6	69,0	11,1	

SOFTWARE: C.D.S. - Full - Rel.2018

## RISULTATI VERIFICHE NODI CLS - PUSH N.ro: 1 - Prop.Modolo:-Fx+0.3\*Fy+Ecc5%

IDENTIFICATIVO					DIREZIONE 'X'							DIREZIONE 'Y'						
Filo N.ro	Quota (m)	Nod3d Nro	Nsup (t)	Coll Nodo	TaglSup (t)	TrazAf (t)	SgmCo ----- kg/cmq	SgmTr ----- kg/cmq	RcLim ----- kg/cmq	RtLim ----- kg/cmq	DeltRt	TaglSup (t)	TrazAf (t)	SgmCo ----- kg/cmq	SgmTr ----- kg/cmq	RcLim ----- kg/cmq	RtLim ----- kg/cmq	DeltRt
6	0,00	6	-28,9	NO	1,8	0,5	-18,1	0,0	69,0	11,1								
10	0,00	10	-18,4	NO	4,5	5,3	-11,5	0,0	69,0	11,1								
11	0,00	11	-16,3	NO	0,0	0,0	-10,2	0,0	69,0	11,1								
15	0,00	15	-5,9	NO	3,7	4,0	-3,7	0,0	69,0	11,1								
16	0,00	16	-25,2	NO	0,3	0,0	-15,8	0,0	69,0	11,1								
19	0,00	20	-24,5	NO								4,4	3,4	-15,4	0,0	69,0	11,1	
20	0,00	21	-11,8	NO	3,0	3,0	-7,4	0,0	69,0	11,1		5,4	0,0	-8,7	1,3	69,0	11,1	
21	0,00	22	-20,3	NO	0,7	0,6	-12,7	0,0	69,0	11,1								
25	0,00	26	-22,6	NO	2,5	3,0	-14,1	0,0	69,0	11,1								
26	0,00	27	-20,0	NO	0,5	0,6	-12,5	0,0	69,0	11,1								
27	0,00	28	-15,8	NO								1,6	1,0	-9,9	0,0	69,0	11,1	6,7
31	0,00	32	-51,8	NO	3,1	3,0	-32,4	0,0	69,0	11,1								
32	0,00	33	-15,8	NO	0,8	0,6	-9,9	0,0	69,0	11,1	39,9	2,0	0,0	-10,0	0,0	69,0	11,1	39,9
33	0,00	34	-30,3	NO								12,2	0,0	-21,6	0,0	69,0	11,1	39,9
38	0,00	35	-26,1	NO								1,3	1,5	-16,3	0,0	69,0	11,1	
34	0,00	36	-57,9	NO								3,8	2,9	-36,2	0,0	69,0	11,1	
35	0,00	37	-63,8	NO								4,9	3,9	-39,9	0,0	69,0	11,1	
36	0,00	38	-37,2	NO	1,2	1,8	-23,3	0,0	69,0	11,1		4,0	4,4	-23,3	0,0	69,0	11,1	
1	3,60	41	0,0	NO	0,0	0,0	0,0	0,0	69,0	11,1	19,8	0,0	1,2	-0,8	0,0	69,0	11,1	19,8
2	3,60	42	0,0	NO								0,0	6,2	-3,9	0,0	69,0	11,1	19,8
3	3,60	43	0,0	NO								0,0	2,5	-1,6	0,0	69,0	11,1	19,8
4	3,60	44	0,0	NO								0,0	0,0	0,0	0,0	69,0	11,1	19,8
5	3,60	45	0,0	NO	0,0	12,9	-8,1	0,0	69,0	11,1	19,8	0,0	0,0	0,0	0,0	69,0	11,1	19,8
6	3,60	46	0,0	NO	0,0	6,9	-4,3	0,0	69,0	11,1	19,8							
10	3,60	50	0,0	NO	0,0	10,4	-6,5	0,0	69,0	11,1	19,8							
11	3,60	51	0,0	NO	0,0	1,4	-0,9	0,0	69,0	11,1	19,8							
15	3,60	55	0,0	NO	0,0	7,8	-4,9	0,0	69,0	11,1	19,8							
16	3,60	56	-10,0	NO	2,8	8,3	-7,8	0,0	69,0	11,1	19,8							
19	3,60	59	-8,0	NO								0,3	10,9	-9,5	0,0	69,0	11,1	19,8
20	3,60	60	-4,6	NO	1,4	9,2	-6,5	0,0	69,0	11,1	19,8	2,1	0,0	-3,4	0,0	69,0	11,1	19,8
21	3,60	61	-8,9	NO	3,5	9,6	-7,5	0,0	69,0	11,1	19,8							
25	3,60	65	-10,5	NO	3,6	15,3	-11,3	0,0	69,0	11,1	19,8							
26	3,60	66	-13,4	NO	0,4	0,0	-8,4	0,0	69,0	11,1	19,8	0,3	7,8	-10,5	0,0	69,0	11,1	19,8
27	3,60	67	-16,9	NO								1,6	4,7	-10,9	0,0	69,0	11,1	6,7
31	3,60	71	-19,0	NO	4,5	18,6	-16,5	0,0	69,0	11,1	19,8							
32	1,80	72	-16,6	NO	8,2	3,8	-11,1	0,0	69,0	11,1	39,9	1,8	0,0	-10,5	0,0	69,0	11,1	39,9
33	1,80	73	-48,2	NO	8,0	0,0	-30,9	0,0	69,0	11,1	39,9	12,8	0,0	-32,1	0,0	69,0	11,1	39,9
34	3,60	74	-23,5	NO								3,0	15,7	-18,2	0,0	69,0	11,1	19,8
35	3,60	75	-26,2	NO								3,4	19,6	-21,2	0,0	69,0	11,1	19,8
36	3,60	76	-14,2	NO	3,6	12,9	-11,7	0,0	69,0	11,1	19,8	3,3	15,7	-13,4	0,0	69,0	11,1	19,8
38	3,60	78	0,0	NO								0,0	7,8	-4,9	0,0	69,0	11,1	19,8
32	3,60	81	-10,9	NO	10,2	7,2	-7,3	0,0	69,0	11,1	39,9	5,7	1,3	-7,8	0,0	69,0	11,1	39,9
33	3,60	82	0,0	NO								0,0	7,8	-4,9	0,0	69,0	11,1	39,9
16	7,20	96	0,0	NO	0,0	3,7	-2,3	0,0	69,0	11,1	9,9	0,0	1,3	-0,8	0,0	69,0	11,1	9,9
17	7,20	97	0,0	NO								0,0	0,0	0,0	0,0	69,0	11,1	9,9
18	7,20	98	0,0	NO								0,0	0,0	0,0	0,0	69,0	11,1	9,9
19	7,20	99	0,0	NO														
20	7,20	100	0,0	NO	0,0	2,1	-1,3	0,0	69,0	11,1	9,9	0,0	0,0	0,0	0,0	69,0	11,1	9,9
21	7,20	101	0,0	NO	0,0	6,2	-3,9	0,0	69,0	11,1	9,9							
25	7,20	105	0,0	NO	0,0	7,4	-4,6	0,0	69,0	11,1	9,9							
26	7,20	106	-11,9	NO	13,9	0,0	-13,2	5,7	69,0	11,1		6,9	7,0	-7,4	0,0	69,0	11,1	
27	7,20	107	-20,0	NO								11,1	0,0	-15,6	0,0	69,0	11,1	6,7
31	7,20	111	0,0	NO	0,0	8,6	-5,4	0,0	69,0	11,1	9,9							
32	5,40	112	-10,1	NO	19,3	0,0	-15,6	0,0	69,0	11,1	59,8	3,1	4,4	-6,4	0,0	69,0	11,1	59,8
34	7,20	114	0,0	NO								0,0	6,2	-3,9	3,9	69,0	11,1	
35	7,20	115	0,0	NO								0,0	7,5	-4,7	0,0	69,0	11,1	9,9
36	7,20	116	0,0	NO	0,0	6,2	-3,9	0,0	69,0	11,1	9,9	0,0	7,5	-4,7	0,0	69,0	11,1	9,9
37	7,20	117	0,0	NO								0,0	0,0	0,0	0,0	69,0	11,1	9,9
32	7,20	122	-0,4	NO	12,4	11,1	-0,9	0,0	69,0	11,1	14,9	4,2	0,0	-2,7	0,0	69,0	11,1	14,9
33	7,20	123	-24,5	NO								14,9	7,4	-16,6	0,0	69,0	11,1	6,7
26	9,80	125	0,0	NO	0,0	0,0	0,0	0,0	69,0	11,1	9,9							
27	9,80	126	0,0	NO	0,0	30,8	-19,3	9,4	69,0	11,1	9,9							
32	9,80	127	0,0	NO	0,0	0,0	0,0	0,0	69,0	11,1	9,9	0,0	0,0	0,0	0,0	69,0	11,1	9,9
33	9,80	128	0,0	NO	0,0	17,8	-11,1	1,2	69,0	11,1	9,9	0,0	27,9	-17,5	7,6	69,0	11,1	9,9

## RISULTATI VERIFICHE NODI CLS - PUSH N.ro: 2 - Prop.Modolo:-Fx+0.3\*Fy+Ecc5%

IDENTIFICATIVO					DIREZIONE 'X'							DIREZIONE 'Y'						
Filo N.ro	Quota (m)	Nod3d Nro	Nsup (t)	Coll Nodo	TaglSup (t)	TrazAf (t)	SgmCo ----- kg/cmq	SgmTr ----- kg/cmq	RcLim ----- kg/cmq	RtLim ----- kg/cmq	DeltRt	TaglSup (t)	TrazAf (t)	SgmCo ----- kg/cmq	SgmTr ----- kg/cmq	RcLim ----- kg/cmq	RtLim ----- kg/cmq	DeltRt
1	0,00	1	-22,2	NO	5,8	3,9	-14,0	0,1	69,0	11,1		1,3	0,0	-13,9	0,0	69,0	11,1	
2	0,00	2	-44,2	NO								2,5	1,8	-27,6	0,0	69,0	11,1	
3	0,00	3	-42,7	NO								2,6	2,4	-26,7	0,0	69,0	11,1	
4	0,00	4	-34,5	NO								1,8	1,8	-21,5	0,0	69,0	11,1	
5	0,00	5	-7,9	NO	1,1	0,0	-5,0	0,1	69,0	11,1		2,3	1,8	-5,0	0,0	69,0	11,1	
6	0,00	6	-31,5	NO	6,6	4,4	-19,8	0,1	69,0	11,1								
10	0,00	10	-14,9	NO	0,9	0,0	-9,3	0,0	69,0	11,1								
11	0,00	11	-17,8	NO	3,6	2,5	-11,2	0,0	69,0	11,1								
15	0,00	15	-9,4	NO	0,7	0,0	-5,9	0,0	69,0	11,1								
16	0,00	16	-27,3	NO	3,5	3,0	-17,1	0,0	69,0	11,1								
19	0,00	20	-21,4	NO								2,4	0,0	-13,5	0,2	69,0	11,1	
20	0,00	21	-10,5	NO	1,4	0,0	-6,7	0,1	69,0	11,1		1,6	1,5	-6,6	0,0	69,0	11,1	
21	0,00	22	-22,9	NO	2,5	2,4	-14,3	0,0	69,0	11,1								
25	0,00	26	-25,6	NO	0,4	0,6	-16,0	0,0	69,0	11,1								

## RISULTATI VERIFICHE NODI CLS - PUSH N.ro: 2 - Prop.Modolo:-Fx+0.3\*Fy+Ecc5%

IDENTIFICATIVO					DIREZIONE 'X'							DIREZIONE 'Y'						
Filo N.ro	Quota (m)	Nod3d Nro	Nsup (t)	Coll Nodo	TaglSup (t)	TrazAf (t)	SgmCo ----- kg/cmq	SgmTr ----- kg/cmq	RcLim ----- kg/cmq	RtLim ----- kg/cmq	DeltRt	TaglSup (t)	TrazAf (t)	SgmCo ----- kg/cmq	SgmTr ----- kg/cmq	RcLim ----- kg/cmq	RtLim ----- kg/cmq	DeltRt
26	0,00	27	-29,3	NO	1,5	0,0	-18,3	0,0	69,0	11,1								
27	0,00	28	-6,2	NO								1,4	1,0	-3,9	0,0	69,0	11,1	6,7
31	0,00	32	-42,8	NO	1,6	1,2	-26,8	0,0	69,0	11,1								
32	0,00	33	-22,4	NO	9,1	0,0	-16,0	0,0	69,0	11,1	39,9	5,4	0,0	-14,8	0,0	69,0	11,1	39,9
33	0,00	34	-23,0	NO								8,9	0,0	-16,3	0,0	69,0	11,1	39,9
38	0,00	35	-24,8	NO								0,2	0,5	-15,5	0,0	69,0	11,1	
34	0,00	36	-56,1	NO								1,2	1,0	-35,0	0,0	69,0	11,1	
35	0,00	37	-60,7	NO								0,7	1,0	-37,9	0,0	69,0	11,1	
36	0,00	38	-34,0	NO	1,6	1,8	-21,2	0,0	69,0	11,1		1,7	0,0	-21,3	0,1	69,0	11,1	
1	3,60	41	0,0	NO	0,0	16,5	-10,3	0,0	69,0	11,1	19,8	0,0	0,0	0,0	0,0	69,0	11,1	19,8
2	3,60	42	0,0	NO								0,0	8,7	-5,4	0,0	69,0	11,1	19,8
3	3,60	43	0,0	NO								0,0	8,7	-5,4	0,0	69,0	11,1	19,8
4	3,60	44	0,0	NO								0,0	6,2	-3,9	0,0	69,0	11,1	19,8
5	3,60	45	0,0	NO	0,0	0,0	0,0	0,0	69,0	11,1	19,8	0,0	6,2	-3,9	0,0	69,0	11,1	19,8
6	3,60	46	0,0	NO	0,0	19,3	-12,0	0,0	69,0	11,1	19,8							
10	3,60	50	0,0	NO	0,0	0,0	0,0	0,0	69,0	11,1	19,8							
11	3,60	51	0,0	NO	0,0	11,0	-6,9	0,0	69,0	11,1	19,8							
15	3,60	55	0,0	NO	0,0	0,0	0,0	0,0	69,0	11,1	19,8							
16	3,60	56	-10,3	NO	2,9	15,1	-11,5	0,0	69,0	11,1	19,8							
19	3,60	59	-9,5	NO								0,1	0,0	-5,9	0,0	69,0	11,1	19,8
20	3,60	60	-4,7	NO	0,5	0,0	-3,0	0,0	69,0	11,1	19,8	0,4	2,5	-3,5	0,0	69,0	11,1	19,8
21	3,60	61	-9,5	NO	3,3	13,8	-10,1	0,0	69,0	11,1	19,8							
25	3,60	65	-10,7	NO	3,5	9,2	-8,2	0,0	69,0	11,1	19,8							
26	3,60	66	-29,2	NO	4,6	0,0	-18,7	0,0	69,0	11,1	19,8	0,7	4,7	-18,6	0,0	69,0	11,1	19,8
27	3,60	67	-3,8	NO								0,7	3,2	-3,1	0,0	69,0	11,1	6,7
31	3,60	71	-17,5	NO	4,6	14,3	-13,6	0,0	69,0	11,1	19,8							
32	1,80	72	-28,9	NO	7,6	0,0	-19,3	0,0	69,0	11,1	39,9	5,1	0,0	-18,6	0,0	69,0	11,1	39,9
33	1,80	73	-36,6	NO	7,9	0,0	-23,9	0,0	69,0	11,1	39,9	4,1	0,0	-23,2	0,0	69,0	11,1	39,9
34	3,60	74	-23,0	NO								2,4	9,2	-15,6	0,0	69,0	11,1	19,8
35	3,60	75	-25,3	NO								2,7	9,2	-16,8	0,0	69,0	11,1	19,8
36	3,60	76	-13,6	NO	3,9	14,3	-12,0	0,0	69,0	11,1	19,8	2,3	1,3	-8,5	0,0	69,0	11,1	19,8
38	3,60	78	0,0	NO								0,0	5,2	-3,3	0,0	69,0	11,1	19,8
32	3,60	81	-24,4	NO	16,5	1,4	-19,8	0,0	69,0	11,1	39,9	4,6	2,6	-15,4	0,0	69,0	11,1	39,9
33	3,60	82	0,0	NO								0,0	5,2	-3,3	0,0	69,0	11,1	39,9
16	7,20	96	0,0	NO	0,0	4,9	-3,1	0,0	69,0	11,1	9,9	0,0	1,3	-0,8	0,0	69,0	11,1	9,9
17	7,20	97	0,0	NO								0,0	1,3	-0,8	0,0	69,0	11,1	9,9
18	7,20	98	0,0	NO								0,0	0,0	0,0	0,0	69,0	11,1	9,9
19	7,20	99	0,0	NO														
20	7,20	100	0,0	NO	0,0	0,0	0,0	0,0	69,0	11,1	9,9	0,0	0,0	0,0	0,0	69,0	11,1	9,9
21	7,20	101	0,0	NO	0,0	7,4	-4,6	0,0	69,0	11,1	9,9							
25	7,20	105	0,0	NO	0,0	7,4	-4,6	0,0	69,0	11,1	9,9							
26	7,20	106	-24,9	NO	14,6	3,7	-18,1	2,6	69,0	11,1		0,0	4,6	-16,1	0,5	69,0	11,1	
27	7,20	107	-6,8	NO								4,7	0,0	-5,8	0,0	69,0	11,1	6,7
31	7,20	111	0,0	NO	0,0	8,6	-5,4	0,0	69,0	11,1	9,9							
32	5,40	112	-34,1	NO	3,4	0,0	-21,5	0,0	69,0	11,1	59,8	1,9	0,0	-21,4	0,0	69,0	11,1	59,8
34	7,20	114	0,0	NO								0,0	3,7	-2,3	2,3	69,0	11,1	
35	7,20	115	0,0	NO								0,0	5,0	-3,1	0,0	69,0	11,1	9,9
36	7,20	116	0,0	NO	0,0	7,4	-4,6	0,0	69,0	11,1	9,9	0,0	5,0	-3,1	0,0	69,0	11,1	9,9
37	7,20	117	0,0	NO								0,0	0,0	0,0	0,0	69,0	11,1	9,9
32	7,20	122	-20,8	NO	15,1	17,3	-13,2	0,0	69,0	11,1	14,9	5,7	6,2	-13,0	0,0	69,0	11,1	14,9
33	7,20	123	-4,2	NO								5,8	6,2	-2,6	0,0	69,0	11,1	6,7
26	9,80	125	0,0	NO	0,0	30,8	-19,3	9,4	69,0	11,1	9,9							
27	9,80	126	0,0	NO	0,0	0,0	0,0	0,0	69,0	11,1	9,9							
32	9,80	127	0,0	NO	0,0	31,7	-19,8	9,9	69,0	11,1	9,9	0,0	10,2	-6,3	0,0	69,0	11,1	9,9
33	9,80	128	0,0	NO	0,0	0,0	0,0	0,0	69,0	11,1	9,9	0,0	11,4	-7,1	0,0	69,0	11,1	9,9

## RISULTATI VERIFICHE NODI CLS - PUSH N.ro: 3 - Prop.Modolo:+Fy+0.3\*Fx+Ecc5%

IDENTIFICATIVO					DIREZIONE 'X'							DIREZIONE 'Y'						
Filo N.ro	Quota (m)	Nod3d Nro	Nsup (t)	Coll Nodo	TaglSup (t)	TrazAf (t)	SgmCo ----- kg/cmq	SgmTr ----- kg/cmq	RcLim ----- kg/cmq	RtLim ----- kg/cmq	DeltRt	TaglSup (t)	TrazAf (t)	SgmCo ----- kg/cmq	SgmTr ----- kg/cmq	RcLim ----- kg/cmq	RtLim ----- kg/cmq	DeltRt
1	0,00	1	-18,8	NO	1,6	0,0	-11,9	0,1	69,0	11,1		0,6	0,0	-11,8	0,0	69,0	11,1	
2	0,00	2	-43,7	NO								0,5	0,0	-27,3	0,0	69,0	11,1	
3	0,00	3	-40,8	NO								1,3	0,0	-25,5	0,0	69,0	11,1	
4	0,00	4	-28,2	NO								4,1	0,0	-18,0	0,4	69,0	11,1	
5	0,00	5	-10,4	NO	7,1	7,9	-6,5	0,0	69,0	11,1		5,7	0,0	-8,1	1,6	69,0	11,1	
6	0,00	6	-28,3	NO	1,0	0,0	-17,7	0,0	69,0	11,1								
10	0,00	10	-18,9	NO	5,5	5,9	-11,8	0,0	69,0	11,1								
11	0,00	11	-15,8	NO	0,5	0,0	-9,9	0,0	69,0	11,1								
15	0,00	15	-2,8	NO	4,4	4,6	-1,7	0,0	69,0	11,1								
16	0,00	16	-24,9	NO	0,2	0,0	-15,6	0,0	69,0	11,1								
19	0,00	20	-25,5	NO								6,9	4,9	-16,0	0,1	69,0	11,1	
20	0,00	21	-11,3	NO	3,6	3,0	-7,1	0,0	69,0	11,1		6,0	0,0	-8,7	1,6	69,0	11,1	
21	0,00	22	-17,6	NO	0,7	0,6	-11,0	0,0	69,0	11,1								
25	0,00	26	-17,8	NO	2,5	3,0	-11,2	0,0	69,0	11,1								
26	0,00	27	-22,1	NO	0,8	0,6	-13,8	0,0	69,0	11,1								
27	0,00	28	-13,9	NO								2,1	1,5	-8,7	0,0	69,0	11,1	6,7
31	0,00	32	-58,5	NO	2,9	3,0	-36,6	0,0	69,0	11,1		7,1	0,0	-13,9	0,0	69,0	11,1	39,9
32	0,00	33	-19,9	NO	8,3	0,0	-14,3	0,0	69,0	11,1	39,9	14,7	0,0	-25,1	0,0	69,0	11,1	39,9
33	0,00	34	-34,8	NO								2,4	2,5	-9,4	0,0	69,0	11,1	
38	0,00	35	-15,1	NO								4,8	3,9	-36,8	0,0	69,0	11,1	
34	0,00	36	-58,9	NO								6,2	5,4	-41,8	0,0	69,0	11,1	
35	0,00	37	-66,9	NO								5,5	5,9	-24,7	0,0	69,0	11,1	
36	0,00	38	-39,6	NO	0,6	1,2	-24,7	0,0	69,0	11,1								



## RISULTATI VERIFICHE NODI CLS - PUSH N.ro: 3 - Prop.Modolo:+Fy+0.3\*Fx+Ecc5%

IDENTIFICATIVO					DIREZIONE 'X'							DIREZIONE 'Y'						
Filo N.ro	Quota (m)	Nod3d Nro	Nsup (t)	Coll Nodo	TaglSup (t)	TrazAf (t)	SgmCo	SgmTr	RcLim	RtLim	DeltRt	TaglSup (t)	TrazAf (t)	SgmCo	SgmTr	RcLim	RtLim	DeltRt
1	3,60	41	0,0	NO	0,0	0,0	0,0	0,0	69,0	11,1	19,8	0,0	0,0	0,0	0,0	69,0	11,1	19,8
2	3,60	42	0,0	NO								0,0	3,7	-2,3	0,0	69,0	11,1	19,8
3	3,60	43	0,0	NO								0,0	0,0	0,0	0,0	69,0	11,1	19,8
4	3,60	44	0,0	NO								0,0	0,0	0,0	0,0	69,0	11,1	19,8
5	3,60	45	0,0	NO	0,0	16,8	-10,5	0,0	69,0	11,1	19,8	0,0	0,0	0,0	0,0	69,0	11,1	19,8
6	3,60	46	0,0	NO	0,0	4,1	-2,6	0,0	69,0	11,1	19,8							
10	3,60	50	0,0	NO	0,0	12,9	-8,1	0,0	69,0	11,1	19,8							
11	3,60	51	0,0	NO	0,0	0,0	0,0	0,0	69,0	11,1	19,8							
15	3,60	55	0,0	NO	0,0	10,4	-6,5	0,0	69,0	11,1	19,8							
16	3,60	56	-9,8	NO	2,0	6,9	-7,4	0,0	69,0	11,1	19,8							
19	3,60	59	-6,1	NO								1,2	20,4	-14,0	0,0	69,0	11,1	19,8
20	3,60	60	-3,7	NO	2,9	13,7	-8,1	0,0	69,0	11,1	19,8	5,4	0,0	-4,7	0,0	69,0	11,1	19,8
21	3,60	61	-6,0	NO	3,2	9,6	-6,3	0,0	69,0	11,1	19,8							
25	3,60	65	-9,3	NO	3,9	15,3	-10,6	0,0	69,0	11,1	19,8							
26	3,60	66	-12,4	NO	0,4	0,0	-7,8	0,0	69,0	11,1	19,8	2,2	7,8	-9,1	0,0	69,0	11,1	19,8
27	3,60	67	-11,6	NO								3,4	7,1	-7,9	0,0	69,0	11,1	6,7
31	3,60	71	-21,7	NO	4,5	17,1	-17,2	0,0	69,0	11,1	19,8							
32	1,80	72	-28,0	NO	17,5	1,9	-21,8	0,0	69,0	11,1	39,9	2,6	0,0	-17,6	0,0	69,0	11,1	39,9
33	1,80	73	-49,7	NO	17,3	0,0	-34,5	0,0	69,0	11,1	39,9	22,1	0,0	-36,3	0,0	69,0	11,1	39,9
34	3,60	74	-23,7	NO								4,6	20,9	-20,0	0,0	69,0	11,1	19,8
35	3,60	75	-27,7	NO								5,9	26,2	-24,0	0,0	69,0	11,1	19,8
36	3,60	76	-15,4	NO	2,6	8,6	-10,9	0,0	69,0	11,1	19,8	6,5	24,8	-17,2	0,0	69,0	11,1	19,8
38	3,60	78	0,0	NO								0,0	10,5	-6,5	0,0	69,0	11,1	19,8
32	3,60	81	-22,1	NO	32,8	5,7	-25,2	0,0	69,0	11,1	39,9	1,5	2,6	-13,8	0,0	69,0	11,1	39,9
33	3,60	82	0,0	NO								0,0	7,8	-4,9	0,0	69,0	11,1	39,9
16	7,20	96	0,0	NO	0,0	2,5	-1,5	0,0	69,0	11,1	9,9	0,0	1,3	-0,8	0,0	69,0	11,1	9,9
17	7,20	97	0,0	NO								0,0	0,0	0,0	0,0	69,0	11,1	9,9
18	7,20	98	0,0	NO								0,0	0,0	0,0	0,0	69,0	11,1	9,9
19	7,20	99	0,0	NO														
20	7,20	100	0,0	NO	0,0	5,2	-3,2	0,0	69,0	11,1	9,9	0,0	0,0	0,0	0,0	69,0	11,1	9,9
21	7,20	101	0,0	NO	0,0	6,2	-3,9	0,0	69,0	11,1	9,9							
25	7,20	105	0,0	NO	0,0	7,4	-4,6	0,0	69,0	11,1	9,9							
26	7,20	106	-5,7	NO	11,1	0,0	-8,9	5,4	69,0	11,1		11,0	12,3	-3,7	0,2	69,0	11,1	
27	7,20	107	-17,4	NO								14,5	0,0	-16,0	0,0	69,0	11,1	6,7
31	7,20	111	0,0	NO	0,0	8,6	-5,4	0,0	69,0	11,1	9,9							
32	5,40	112	-36,5	NO	28,8	0,0	-32,7	0,0	69,0	11,1	59,8	5,2	0,0	-23,3	0,0	69,0	11,1	59,8
34	7,20	114	0,0	NO								0,0	10,0	-6,2	6,2	69,0	11,1	
35	7,20	115	0,0	NO								0,0	13,7	-8,6	0,0	69,0	11,1	9,9
36	7,20	116	0,0	NO	0,0	3,7	-2,3	0,0	69,0	11,1	9,9	0,0	16,2	-10,1	0,2	69,0	11,1	9,9
37	7,20	117	0,0	NO								0,0	0,0	0,0	0,0	69,0	11,1	9,9
32	7,20	122	-17,8	NO	2,5	32,1	-24,9	0,0	69,0	11,1	14,9	14,6	7,5	-12,7	0,0	69,0	11,1	14,9
33	7,20	123	-15,9	NO								14,5	7,4	-11,6	0,0	69,0	11,1	6,7
26	9,80	125	0,0	NO	0,0	0,0	0,0	0,0	69,0	11,1	9,9							
27	9,80	126	0,0	NO	0,0	25,7	-16,1	6,2	69,0	11,1	9,9							
32	9,80	127	0,0	NO	0,0	6,3	-4,0	0,0	69,0	11,1	9,9	0,0	26,7	-16,7	6,8	69,0	11,1	9,9
33	9,80	128	0,0	NO	0,0	0,0	0,0	0,0	69,0	11,1	9,9	0,0	26,7	-16,7	6,8	69,0	11,1	9,9

## RISULTATI VERIFICHE NODI CLS - PUSH N.ro: 4 - Prop.Modolo:-Fy+0.3\*Fx+Ecc5%

IDENTIFICATIVO					DIREZIONE 'X'							DIREZIONE 'Y'						
Filo N.ro	Quota (m)	Nod3d Nro	Nsup (t)	Coll Nodo	TaglSup (t)	TrazAf (t)	SgmCo	SgmTr	RcLim	RtLim	DeltRt	TaglSup (t)	TrazAf (t)	SgmCo	SgmTr	RcLim	RtLim	DeltRt
1	0,00	1	-23,1	NO	7,1	4,9	-14,6	0,1	69,0	11,1		0,8	0,0	-14,5	0,0	69,0	11,1	
2	0,00	2	-44,8	NO								3,7	3,0	-28,0	0,0	69,0	11,1	
3	0,00	3	-43,8	NO								4,4	4,2	-27,4	0,0	69,0	11,1	
4	0,00	4	-36,5	NO								4,2	4,2	-22,8	0,0	69,0	11,1	
5	0,00	5	-8,1	NO	2,7	0,0	-5,6	0,5	69,0	11,1		5,2	4,8	-5,1	0,0	69,0	11,1	
6	0,00	6	-32,2	NO	7,4	4,9	-20,2	0,1	69,0	11,1								
10	0,00	10	-14,6	NO	1,8	0,0	-9,2	0,1	69,0	11,1								
11	0,00	11	-18,2	NO	4,0	2,9	-11,4	0,0	69,0	11,1								
15	0,00	15	-14,0	NO	1,3	0,0	-8,8	0,1	69,0	11,1								
16	0,00	16	-27,6	NO	3,3	3,0	-17,3	0,0	69,0	11,1								
19	0,00	20	-21,2	NO								5,5	0,0	-14,1	0,9	69,0	11,1	
20	0,00	21	-12,5	NO	2,0	0,0	-8,0	0,2	69,0	11,1		3,8	3,4	-7,8	0,0	69,0	11,1	
21	0,00	22	-23,9	NO	2,5	2,4	-15,0	0,0	69,0	11,1								
25	0,00	26	-31,3	NO	0,8	1,2	-19,6	0,0	69,0	11,1								
26	0,00	27	-20,7	NO	0,7	0,6	-12,9	0,0	69,0	11,1								
27	0,00	28	-15,6	NO								0,4	0,0	-9,7	0,0	69,0	11,1	6,7
31	0,00	32	-32,8	NO	2,2	1,8	-20,5	0,0	69,0	11,1								
32	0,00	33	-16,4	NO	1,3	1,2	-10,3	0,0	69,0	11,1	39,9	0,6	0,0	-10,3	0,0	69,0	11,1	39,9
33	0,00	34	-15,4	NO								2,1	0,0	-9,8	0,0	69,0	11,1	39,9
38	0,00	35	-38,2	NO								1,1	0,0	-23,9	0,0	69,0	11,1	
34	0,00	36	-54,6	NO								0,3	0,0	-34,1	0,0	69,0	11,1	
35	0,00	37	-56,2	NO								0,9	0,0	-35,1	0,0	69,0	11,1	
36	0,00	38	-30,6	NO	2,6	2,4	-19,1	0,0	69,0	11,1		3,5	0,0	-19,3	0,2	69,0	11,1	
1	3,60	41	0,0	NO	0,0	19,3	-12,0	0,0	69,0	11,1	19,8	0,0	0,0	0,0	0,0	69,0	11,1	19,8
2	3,60	42	0,0	NO								0,0	11,2	-7,0	0,0	69,0	11,1	19,8
3	3,60	43	0,0	NO								0,0	13,7	-8,6	0,0	69,0	11,1	19,8
4	3,60	44	0,0	NO								0,0	12,4	-7,8	0,0	69,0	11,1	19,8
5	3,60	45	0,0	NO	0,0	0,0	0,0	0,0	69,0	11,1	19,8	0,0	12,4	-7,8	0,0	69,0	11,1	19,8
6	3,60	46	0,0	NO	0,0	20,6	-12,9	0,0	69,0	11,1	19,8							
10	3,60	50	0,0	NO	0,0	0,0	0,0	0,0	69,0	11,1	19,8							
11	3,60	51	0,0	NO	0,0	11,0	-6,9	0,0	69,0	11,1	19,8							
15	3,60	55	0,0	NO	0,0	0,0	0,0	0,0	69,0	11,1	19,8							

RISULTATI VERIFICHE NODI CLS - PUSH N.ro: 4 - Prop.Modolo:-Fy+0.3\*F<sub>x</sub>+Ecc5%

IDENTIFICATIVO					DIREZIONE 'X'							DIREZIONE 'Y'						
Filo N.ro	Quota (m)	Nod3d Nro	Nsup (t)	Coll Nodo	TaglSup (t)	TrazAf (t)	SgmCo ----- kg/cmq	SgmTr	RcLim	RtLim	DeltRt	TaglSup (t)	TrazAf (t)	SgmCo ----- kg/cmq	SgmTr	RcLim	RtLim	DeltRt
16	3,60	56	-10,6	NO	4,3	17,9	-12,4	0,0	69,0	11,1	19,8							
19	3,60	59	-12,7	NO								1,2	0,0	-8,0	0,0	69,0	11,1	19,8
20	3,60	60	-5,7	NO	2,0	0,0	-4,0	0,0	69,0	11,1	19,8	5,5	17,8	-9,7	0,0	69,0	11,1	19,8
21	3,60	61	-11,4	NO	4,0	15,1	-11,4	0,0	69,0	11,1	19,8							
25	3,60	65	-12,6	NO	3,1	9,2	-9,4	0,0	69,0	11,1	19,8							
26	3,60	66	-17,6	NO	0,5	0,0	-11,0	0,0	69,0	11,1	19,8	1,2	7,8	-12,4	0,0	69,0	11,1	19,8
27	3,60	67	-25,7	NO								1,9	0,0	-16,2	0,0	69,0	11,1	6,7
31	3,60	71	-13,2	NO	4,7	15,7	-12,2	0,0	69,0	11,1	19,8							
32	1,80	72	-16,6	NO	8,7	0,0	-12,7	0,0	69,0	11,1	39,9	3,1	1,3	-10,5	0,0	69,0	11,1	39,9
33	1,80	73	-28,1	NO	8,7	0,0	-19,1	0,0	69,0	11,1	39,9	13,2	0,0	-20,8	0,0	69,0	11,1	39,9
34	3,60	74	-22,7	NO								0,0	2,6	-14,4	0,0	69,0	11,1	19,8
35	3,60	75	-23,0	NO								1,0	0,0	-14,4	0,0	69,0	11,1	19,8
36	3,60	76	-11,8	NO	5,4	18,6	-12,7	0,0	69,0	11,1	19,8	2,7	0,0	-7,7	0,0	69,0	11,1	19,8
38	3,60	78	0,0	NO								0,0	1,3	-0,8	0,0	69,0	11,1	19,8
32	3,60	81	-12,8	NO	20,0	1,4	-16,3	0,0	69,0	11,1	39,9	7,8	1,3	-9,7	0,0	69,0	11,1	39,9
33	3,60	82	0,0	NO								0,0	0,0	0,0	0,0	69,0	11,1	39,9
16	7,20	96	0,0	NO	0,0	8,6	-5,4	0,0	69,0	11,1	9,9	0,0	0,0	0,0	0,0	69,0	11,1	9,9
17	7,20	97	0,0	NO								0,0	5,1	-3,2	0,0	69,0	11,1	9,9
18	7,20	98	0,0	NO								0,0	7,6	-4,8	0,0	69,0	11,1	9,9
19	7,20	99	0,0	NO														
20	7,20	100	0,0	NO	0,0	0,0	0,0	0,0	69,0	11,1	9,9	0,0	14,0	-8,7	0,0	69,0	11,1	9,9
21	7,20	101	0,0	NO	0,0	8,6	-5,4	0,0	69,0	11,1	9,9							
25	7,20	105	0,0	NO	0,0	6,2	-3,9	0,0	69,0	11,1	9,9							
26	7,20	106	-17,2	NO	8,2	0,0	-12,8	2,1	69,0	11,1		13,8	8,8	-11,6	0,9	69,0	11,1	
27	7,20	107	-30,2	NO								12,6	11,1	-18,9	0,0	69,0	11,1	6,7
31	7,20	111	0,0	NO	0,0	8,6	-5,4	0,0	69,0	11,1	9,9							
32	5,40	112	-4,0	NO	17,1	7,0	-7,7	0,0	69,0	11,1	59,8	5,9	6,3	-2,6	0,0	69,0	11,1	59,8
34	7,20	114	0,0	NO								0,0	0,0	0,0	0,0	69,0	11,1	
35	7,20	115	0,0	NO								0,0	0,0	0,0	0,0	69,0	11,1	9,9
36	7,20	116	0,0	NO	0,0	11,1	-6,9	0,0	69,0	11,1	9,9	0,0	0,0	0,0	0,0	69,0	11,1	9,9
37	7,20	117	0,0	NO								0,0	11,4	-7,1	0,0	69,0	11,1	9,9
32	7,20	122	-4,9	NO	1,9	0,0	-3,4	0,0	69,0	11,1	14,9	12,9	0,0	-9,7	0,0	69,0	11,1	14,9
33	7,20	123	-4,5	NO								12,8	0,0	-9,5	0,0	69,0	11,1	6,7
26	9,80	125	0,0	NO	0,0	0,0	0,0	0,0	69,0	11,1	9,9							
27	9,80	126	0,0	NO	0,0	30,8	-19,3	9,4	69,0	11,1	9,9							
32	9,80	127	0,0	NO	0,0	1,3	-0,8	0,0	69,0	11,1	9,9	0,0	0,0	0,0	0,0	69,0	11,1	9,9
33	9,80	128	0,0	NO	0,0	0,0	0,0	0,0	69,0	11,1	9,9	0,0	0,0	0,0	0,0	69,0	11,1	9,9

RISULTATI VERIFICHE NODI CLS - PUSH N.ro: 5 - Prop.Massa:+F<sub>x</sub>+0.3\*F<sub>y</sub>+Ecc5%

IDENTIFICATIVO					DIREZIONE 'X'							DIREZIONE 'Y'						
Filo N.ro	Quota (m)	Nod3d Nro	Nsup (t)	Coll Nodo	TaglSup (t)	TrazAf (t)	SgmCo ----- kg/cmq	SgmTr	RcLim	RtLim	DeltRt	TaglSup (t)	TrazAf (t)	SgmCo ----- kg/cmq	SgmTr	RcLim	RtLim	DeltRt
1	0,00	1	-16,9	NO	7,1	0,0	-12,2	1,6	69,0	11,1		0,5	1,2	-10,6	0,0	69,0	11,1	
2	0,00	2	-43,8	NO								0,0	0,0	-27,4	0,0	69,0	11,1	
3	0,00	3	-40,5	NO								3,3	0,0	-25,5	0,2	69,0	11,1	
4	0,00	4	-25,3	NO								5,8	0,0	-16,6	0,8	69,0	11,1	
5	0,00	5	-12,1	NO	12,8	13,9	-7,6	0,1	69,0	11,1		10,0	0,0	-11,1	3,5	69,0	11,1	
6	0,00	6	-26,2	NO	3,4	0,0	-16,7	0,3	69,0	11,1								
10	0,00	10	-22,0	NO	9,7	9,9	-13,7	0,0	69,0	11,1								
11	0,00	11	-15,1	NO	4,0	0,0	-10,0	0,6	69,0	11,1								
15	0,00	15	-4,0	NO	8,2	8,6	-2,5	0,0	69,0	11,1								
16	0,00	16	-24,4	NO	3,6	0,0	-15,6	0,3	69,0	11,1								
19	0,00	20	-29,9	NO								11,5	8,3	-18,9	0,2	69,0	11,1	
20	0,00	21	-12,8	NO	7,9	6,6	-8,1	0,1	69,0	11,1		11,7	0,0	-12,3	4,3	69,0	11,1	
21	0,00	22	-20,4	NO	2,0	0,0	-12,8	0,1	69,0	11,1								
25	0,00	26	-18,7	NO	5,0	4,8	-11,7	0,0	69,0	11,1								
26	0,00	27	-20,5	NO	0,4	0,6	-12,8	0,0	69,0	11,1								
27	0,00	28	-17,9	NO								2,2	1,5	-11,2	0,0	69,0	11,1	6,7
31	0,00	32	-56,2	NO	5,0	4,8	-35,1	0,0	69,0	11,1								
32	0,00	33	-16,1	NO	3,0	0,6	-10,3	0,0	69,0	11,1	39,9	1,2	0,0	-10,1	0,0	69,0	11,1	39,9
33	0,00	34	-35,9	NO								15,5	0,0	-26,0	0,0	69,0	11,1	39,9
38	0,00	35	-17,4	NO								3,3	2,9	-10,9	0,0	69,0	11,1	
34	0,00	36	-58,6	NO								7,5	5,9	-36,6	0,0	69,0	11,1	
35	0,00	37	-66,1	NO								10,6	8,3	-41,4	0,0	69,0	11,1	
36	0,00	38	-38,6	NO	0,9	1,2	-24,1	0,0	69,0	11,1		11,6	10,3	-24,2	0,0	69,0	11,1	
1	3,60	41	0,0	NO	0,0	0,0	0,0	0,0	69,0	11,1	19,8	0,0	2,5	-1,6	0,0	69,0	11,1	19,8
2	3,60	42	0,0	NO								0,0	2,5	-1,6	0,0	69,0	11,1	19,8
3	3,60	43	0,0	NO								0,0	0,0	0,0	0,0	69,0	11,1	19,8
4	3,60	44	0,0	NO								0,0	0,0	0,0	0,0	69,0	11,1	19,8
5	3,60	45	0,0	NO	0,0	29,8	-18,6	0,0	69,0	11,1	19,8	0,0	0,0	0,0	0,0	69,0	11,1	19,8
6	3,60	46	0,0	NO	0,0	0,0	0,0	0,0	69,0	11,1	19,8							
10	3,60	50	0,0	NO	0,0	23,3	-14,6	0,0	69,0	11,1	19,8							
11	3,60	51	0,0	NO	0,0	0,0	0,0	0,0	69,0	11,1	19,8							
15	3,60	55	0,0	NO	0,0	18,1	-11,3	0,0	69,0	11,1	19,8							
16	3,60	56	-10,6	NO	4,5	2,8	-6,8	0,0	69,0	11,1	19,8							
19	3,60	59	-8,7	NO								0,5	24,0	-17,7	0,0	69,0	11,1	19,8
20	3,60	60	-3,3	NO	0,1	19,8	-13,4	0,0	69,0	11,1	19,8	0,3	0,0	-2,1	0,0	69,0	11,1	19,8
21	3,60	61	-9,9	NO	4,8	5,5	-6,2	0,0	69,0	11,1	19,8							
25	3,60	65	-10,3	NO	2,3	18,3	-13,7	0,0	69,0	11,1	19,8							
26	3,60	66	-13,0	NO	0,4	0,0	-8,1	0,0	69,0	11,1	19,8	0,5	7,8	-10,2	0,0	69,0	11,1	19,8
27	3,60	67	-16,8	NO								2,2	6,3	-11,1	0,0	69,0	11,1	6,7
31	3,60	71	-18,0	NO	3,4	20,0	-17,4	0,0	69,0	11,1	19,8							
32	1,80	72	-18,8	NO	12,1	3,8	-13,7	0,0	69,0	11,1	39,9	6,7	0,0	-13,1	0,0	69,0	11,1	39,9

## RISULTATI VERIFICHE NODI CLS - PUSH N.ro: 5 - Prop.Massa:+Fx+0.3\*Fy+Ecc5%

IDENTIFICATIVO					DIREZIONE 'X							DIREZIONE 'Y						
Filo N.ro	Quota (m)	Nod3d Nro	Nsup (t)	Coll Nodo	TaglSup (t)	TrazAf (t)	SgmCo	SgmTr	RcLim	RtLim	DeltRt	TaglSup (t)	TrazAf (t)	SgmCo	SgmTr	RcLim	RtLim	DeltRt
33	1,80	73	-51,9	NO	11,3	0,0	-33,9	0,0	69,0	11,1	39,9	24,6	0,0	-38,6	0,0	69,0	11,1	39,9
34	3,60	74	-23,0	NO								2,4	23,5	-22,2	0,0	69,0	11,1	19,8
35	3,60	75	-26,2	NO								2,4	30,1	-27,4	0,0	69,0	11,1	19,8
36	3,60	76	-13,4	NO	2,8	10,0	-10,4	0,0	69,0	11,1	19,8	1,7	28,8	-21,6	0,0	69,0	11,1	19,8
38	3,60	78	0,0	NO								0,0	10,5	-6,5	0,0	69,0	11,1	19,8
32	3,60	81	-13,1	NO	19,3	7,2	-12,7	0,0	69,0	11,1	39,9	12,8	0,0	-13,1	0,0	69,0	11,1	39,9
33	3,60	82	0,0	NO								0,0	7,8	-4,9	0,0	69,0	11,1	39,9
16	7,20	96	0,0	NO	0,0	7,4	-4,6	0,0	69,0	11,1	9,9	0,0	1,3	-0,8	0,0	69,0	11,1	9,9
17	7,20	97	0,0	NO								0,0	0,0	0,0	0,0	69,0	11,1	9,9
18	7,20	98	0,0	NO								0,0	0,0	0,0	0,0	69,0	11,1	9,9
19	7,20	99	0,0	NO														
20	7,20	100	0,0	NO	0,0	0,0	0,0	0,0	69,0	11,1	9,9	0,0	0,0	0,0	0,0	69,0	11,1	9,9
21	7,20	101	0,0	NO	0,0	8,6	-5,4	0,0	69,0	11,1	9,9							
25	7,20	105	0,0	NO	0,0	4,9	-3,1	0,0	69,0	11,1	9,9							
26	7,20	106	-11,9	NO	13,9	0,0	-13,2	5,7	69,0	11,1		7,0	7,0	-7,4	0,0	69,0	11,1	
27	7,20	107	-20,0	NO								11,7	0,0	-15,9	0,0	69,0	11,1	6,7
31	7,20	111	0,0	NO	0,0	6,2	-3,9	0,0	69,0	11,1	9,9							
32	5,40	112	-13,4	NO	29,1	0,0	-22,9	0,0	69,0	11,1	59,8	0,2	7,6	-10,4	0,0	69,0	11,1	59,8
34	7,20	114	0,0	NO								0,0	5,0	-3,1	3,1	69,0	11,1	
35	7,20	115	0,0	NO								0,0	6,2	-3,9	0,0	69,0	11,1	9,9
36	7,20	116	0,0	NO	0,0	3,7	-2,3	0,0	69,0	11,1	9,9	0,0	6,2	-3,9	0,0	69,0	11,1	9,9
37	7,20	117	0,0	NO								0,0	0,0	0,0	0,0	69,0	11,1	9,9
32	7,20	122	-0,6	NO	12,3	22,2	-6,4	0,0	69,0	11,1	14,9	3,7	0,0	-2,5	0,0	69,0	11,1	14,9
33	7,20	123	-24,2	NO								14,1	6,2	-16,6	0,0	69,0	11,1	6,7
26	9,80	125	0,0	NO	0,0	0,0	0,0	0,0	69,0	11,1	9,9							
27	9,80	126	0,0	NO	0,0	30,8	-19,3	9,4	69,0	11,1	9,9							
32	9,80	127	0,0	NO	0,0	0,0	0,0	0,0	69,0	11,1	9,9	0,0	0,0	0,0	0,0	69,0	11,1	9,9
33	9,80	128	0,0	NO	0,0	17,8	-11,1	1,2	69,0	11,1	9,9	0,0	26,7	-16,7	6,8	69,0	11,1	9,9

## RISULTATI VERIFICHE NODI CLS - PUSH N.ro: 6 - Prop.Massa:-Fx+0.3\*Fy+Ecc5%

IDENTIFICATIVO					DIREZIONE 'X							DIREZIONE 'Y						
Filo N.ro	Quota (m)	Nod3d Nro	Nsup (t)	Coll Nodo	TaglSup (t)	TrazAf (t)	SgmCo	SgmTr	RcLim	RtLim	DeltRt	TaglSup (t)	TrazAf (t)	SgmCo	SgmTr	RcLim	RtLim	DeltRt
1	0,00	1	-23,1	NO	8,5	5,9	-14,6	0,2	69,0	11,1		2,0	0,0	-14,5	0,1	69,0	11,1	
2	0,00	2	-44,1	NO								2,5	1,8	-27,6	0,0	69,0	11,1	
3	0,00	3	-42,9	NO								3,1	2,4	-26,8	0,0	69,0	11,1	
4	0,00	4	-36,0	NO								2,8	2,4	-22,5	0,0	69,0	11,1	
5	0,00	5	-6,5	NO	3,9	0,0	-5,2	1,1	69,0	11,1		3,8	3,6	-4,1	0,0	69,0	11,1	
6	0,00	6	-32,6	NO	8,9	5,9	-20,5	0,2	69,0	11,1								
10	0,00	10	-13,2	NO	3,2	0,0	-8,7	0,5	69,0	11,1								
11	0,00	11	-18,3	NO	5,5	3,9	-11,5	0,1	69,0	11,1								
15	0,00	15	-9,5	NO	2,8	0,0	-6,4	0,5	69,0	11,1								
16	0,00	16	-27,7	NO	5,6	4,8	-17,3	0,0	69,0	11,1								
19	0,00	20	-19,3	NO								4,2	0,0	-12,6	0,6	69,0	11,1	
20	0,00	21	-11,5	NO	4,0	0,0	-8,0	0,8	69,0	11,1		3,7	2,9	-7,2	0,0	69,0	11,1	
21	0,00	22	-22,6	NO	4,4	4,2	-14,1	0,0	69,0	11,1								
25	0,00	26	-26,2	NO	1,4	0,0	-16,5	0,0	69,0	11,1								
26	0,00	27	-28,0	NO	1,4	0,0	-17,6	0,0	69,0	11,1								
27	0,00	28	-6,1	NO								1,4	1,0	-3,8	0,0	69,0	11,1	6,7
31	0,00	32	-42,0	NO	0,0	0,0	-26,3	0,0	69,0	11,1								
32	0,00	33	-22,3	NO	10,0	0,0	-16,3	0,0	69,0	11,1	39,9	6,3	0,0	-15,0	0,0	69,0	11,1	39,9
33	0,00	34	-14,6	NO								9,3	0,0	-12,0	0,0	69,0	11,1	39,9
38	0,00	35	-35,4	NO								0,1	0,5	-22,1	0,0	69,0	11,1	
34	0,00	36	-56,2	NO								0,5	0,5	-35,1	0,0	69,0	11,1	
35	0,00	37	-60,3	NO								0,4	0,0	-37,7	0,0	69,0	11,1	
36	0,00	38	-34,0	NO	0,6	0,6	-21,2	0,0	69,0	11,1		3,4	0,0	-21,4	0,2	69,0	11,1	
1	3,60	41	0,0	NO	0,0	22,0	-13,8	0,0	69,0	11,1	19,8	0,0	0,0	0,0	0,0	69,0	11,1	19,8
2	3,60	42	0,0	NO								0,0	8,7	-5,4	0,0	69,0	11,1	19,8
3	3,60	43	0,0	NO								0,0	10,0	-6,2	0,0	69,0	11,1	19,8
4	3,60	44	0,0	NO								0,0	8,7	-5,4	0,0	69,0	11,1	19,8
5	3,60	45	0,0	NO	0,0	0,0	0,0	0,0	69,0	11,1	19,8	0,0	8,7	-5,4	0,0	69,0	11,1	19,8
6	3,60	46	0,0	NO	0,0	23,4	-14,6	0,0	69,0	11,1	19,8							
10	3,60	50	0,0	NO	0,0	0,0	0,0	0,0	69,0	11,1	19,8							
11	3,60	51	0,0	NO	0,0	15,1	-9,5	0,0	69,0	11,1	19,8							
15	3,60	55	0,0	NO	0,0	0,0	0,0	0,0	69,0	11,1	19,8							
16	3,60	56	-9,8	NO	1,4	17,9	-13,8	0,0	69,0	11,1	19,8							
19	3,60	59	-8,2	NO								0,3	0,0	-5,1	0,0	69,0	11,1	19,8
20	3,60	60	-6,6	NO	2,1	0,0	-4,5	0,0	69,0	11,1	19,8	0,9	6,4	-6,0	0,0	69,0	11,1	19,8
21	3,60	61	-8,5	NO	2,0	15,1	-11,3	0,0	69,0	11,1	19,8							
25	3,60	65	-11,0	NO	4,8	7,6	-7,3	0,0	69,0	11,1	19,8							
26	3,60	66	-29,5	NO	4,5	0,0	-18,9	0,0	69,0	11,1	19,8	0,6	4,7	-18,8	0,0	69,0	11,1	19,8
27	3,60	67	-2,7	NO								0,8	3,9	-3,0	0,0	69,0	11,1	6,7
31	3,60	71	-18,3	NO	5,8	12,9	-13,0	0,0	69,0	11,1	19,8							
32	1,80	72	-24,0	NO	18,9	1,3	-20,8	0,0	69,0	11,1	39,9	11,5	1,3	-17,3	0,0	69,0	11,1	39,9
33	1,80	73	-30,0	NO	22,8	0,0	-26,4	0,0	69,0	11,1	39,9	6,2	0,0	-19,5	0,0	69,0	11,1	39,9
34	3,60	74	-23,2	NO								2,4	7,8	-15,3	0,0	69,0	11,1	19,8
35	3,60	75	-25,3	NO								3,0	7,8	-16,3	0,0	69,0	11,1	19,8
36	3,60	76	-14,2	NO	4,8	12,9	-11,1	0,0	69,0	11,1	19,8	2,9	0,0	-9,2	0,0	69,0	11,1	19,8
38	3,60	78	0,0	NO								0,0	3,9	-2,5	0,0	69,0	11,1	19,8
32	3,60	81	-18,0	NO	33,4	5,7	-23,8	0,0	69,0	11,1	39,9	13,2	5,2	-13,2	0,0	69,0	11,1	39,9
33	3,60	82	0,0	NO								0,0	6,5	-4,1	0,0	69,0	11,1	39,9
16	7,20	96	0,0	NO	0,0	2,5	-1,5	0,0	69,0	11,1	9,9	0,0	2,5	-1,6	0,0	69,0	11,1	9,9
17	7,20	97	0,0	NO								0,0	1,3	-0,8	0,0	69,0	11,1	9,9

## RISULTATI VERIFICHE NODI CLS - PUSH N.ro: 6 - Prop.Massa:-Fx+0.3\*Fy+Ecc5%

IDENTIFICATIVO					DIREZIONE 'X							DIREZIONE 'Y						
Filo N.ro	Quota (m)	Nod3d Nro	Nsup (t)	Coll Nodo	TaglSup (t)	TrazAf (t)	SgmCo	SgmTr	RcLim	RtLim	DeltRt	TaglSup (t)	TrazAf (t)	SgmCo	SgmTr	RcLim	RtLim	DeltRt
18	7,20	98	0,0	NO								0,0	0,0	0,0	0,0	69,0	11,1	9,9
19	7,20	99	0,0	NO														
20	7,20	100	0,0	NO	0,0	3,1	-1,9	0,0	69,0	11,1	9,9	0,0	0,0	0,0	0,0	69,0	11,1	9,9
21	7,20	101	0,0	NO	0,0	4,9	-3,1	0,0	69,0	11,1	9,9							
25	7,20	105	0,0	NO	0,0	9,9	-6,2	0,0	69,0	11,1	9,9							
26	7,20	106	-24,9	NO	14,6	4,9	-17,6	2,1	69,0	11,1		0,1	4,6	-16,1	0,5	69,0	11,1	
27	7,20	107	-6,8	NO								4,6	0,0	-5,7	0,0	69,0	11,1	6,7
31	7,20	111	0,0	NO	0,0	11,1	-6,9	0,0	69,0	11,1	9,9							
32	5,40	112	-35,4	NO	5,8	0,0	-22,7	0,0	69,0	11,1	59,8	5,3	0,0	-22,6	0,0	69,0	11,1	59,8
34	7,20	114	0,0	NO								0,0	3,7	-2,3	2,3	69,0	11,1	
35	7,20	115	0,0	NO								0,0	5,0	-3,1	0,0	69,0	11,1	9,9
36	7,20	116	0,0	NO	0,0	8,6	-5,4	0,0	69,0	11,1	9,9	0,0	5,0	-3,1	0,0	69,0	11,1	9,9
37	7,20	117	0,0	NO								0,0	0,0	0,0	0,0	69,0	11,1	9,9
32	7,20	122	-20,8	NO	15,1	19,7	-13,6	0,0	69,0	11,1	14,9	5,4	8,7	-13,3	0,0	69,0	11,1	14,9
33	7,20	123	-4,2	NO								6,0	4,9	-2,8	0,0	69,0	11,1	6,7
26	9,80	125	0,0	NO	0,0	30,8	-19,3	9,4	69,0	11,1	9,9							
27	9,80	126	0,0	NO	0,0	0,0	0,0	0,0	69,0	11,1	9,9							
32	9,80	127	0,0	NO	0,0	31,7	-19,8	9,9	69,0	11,1	9,9	0,0	10,2	-6,3	0,0	69,0	11,1	9,9
33	9,80	128	0,0	NO	0,0	0,0	0,0	0,0	69,0	11,1	9,9	0,0	11,4	-7,1	0,0	69,0	11,1	9,9

## RISULTATI VERIFICHE NODI CLS - PUSH N.ro: 7 - Prop.Massa:+Fy+0.3\*Fx+Ecc5%

IDENTIFICATIVO					DIREZIONE 'X							DIREZIONE 'Y						
Filo N.ro	Quota (m)	Nod3d Nro	Nsup (t)	Coll Nodo	TaglSup (t)	TrazAf (t)	SgmCo	SgmTr	RcLim	RtLim	DeltRt	TaglSup (t)	TrazAf (t)	SgmCo	SgmTr	RcLim	RtLim	DeltRt
					----- kg/cmq -----							----- kg/cmq -----						
1	0,00	1	-16,6	NO	6,9	0,0	-11,9	1,6	69,0	11,1		0,4	0,0	-10,4	0,0	69,0	11,1	
2	0,00	2	-43,2	NO								1,1	0,0	-27,0	0,0	69,0	11,1	
3	0,00	3	-39,8	NO								4,8	0,0	-25,2	0,4	69,0	11,1	
4	0,00	4	-24,5	NO								7,3	0,0	-16,6	1,2	69,0	11,1	
5	0,00	5	-11,6	NO	12,9	13,9	-7,3	0,1	69,0	11,1		11,7	0,0	-11,8	4,5	69,0	11,1	
6	0,00	6	-26,2	NO	3,0	0,0	-16,6	0,2	69,0	11,1								
10	0,00	10	-21,1	NO	8,0	7,9	-13,2	0,0	69,0	11,1								
11	0,00	11	-15,0	NO	3,4	0,0	-9,8	0,5	69,0	11,1								
15	0,00	15	-3,8	NO	6,8	6,6	-2,4	0,0	69,0	11,1								
16	0,00	16	-24,6	NO	2,4	0,0	-15,5	0,1	69,0	11,1								
19	0,00	20	-27,5	NO								12,0	8,8	-17,4	0,2	69,0	11,1	
20	0,00	21	-13,5	NO	6,8	6,0	-8,5	0,0	69,0	11,1		11,4	0,0	-12,5	4,1	69,0	11,1	
21	0,00	22	-18,3	NO	0,8	0,0	-11,4	0,0	69,0	11,1								
25	0,00	26	-15,9	NO	3,6	3,6	-9,9	0,0	69,0	11,1								
26	0,00	27	-22,0	NO	0,7	0,6	-13,7	0,0	69,0	11,1								
27	0,00	28	-15,7	NO								3,1	2,0	-9,9	0,0	69,0	11,1	6,7
31	0,00	32	-59,5	NO	3,6	3,6	-37,2	0,0	69,0	11,1								
32	0,00	33	-19,1	NO	9,8	0,0	-14,5	0,0	69,0	11,1	39,9	6,2	0,0	-13,1	0,0	69,0	11,1	39,9
33	0,00	34	-32,6	NO								19,3	0,0	-26,0	0,0	69,0	11,1	39,9
38	0,00	35	-17,0	NO								4,7	3,9	-10,6	0,0	69,0	11,1	
34	0,00	36	-59,5	NO								8,9	7,4	-37,2	0,0	69,0	11,1	
35	0,00	37	-68,4	NO								12,1	9,8	-42,8	0,0	69,0	11,1	
36	0,00	38	-40,3	NO	0,7	0,0	-25,2	0,0	69,0	11,1		13,1	11,8	-25,2	0,0	69,0	11,1	
1	3,60	41	0,0	NO	0,0	0,0	0,0	0,0	69,0	11,1	19,8	0,0	1,2	-0,8	0,0	69,0	11,1	19,8
2	3,60	42	0,0	NO								0,0	0,0	0,0	0,0	69,0	11,1	19,8
3	3,60	43	0,0	NO								0,0	0,0	0,0	0,0	69,0	11,1	19,8
4	3,60	44	0,0	NO								0,0	0,0	0,0	0,0	69,0	11,1	19,8
5	3,60	45	0,0	NO	0,0	29,8	-18,6	0,0	69,0	11,1	19,8	0,0	0,0	0,0	0,0	69,0	11,1	19,8
6	3,60	46	0,0	NO	0,0	0,0	0,0	0,0	69,0	11,1	19,8							
10	3,60	50	0,0	NO	0,0	19,4	-12,1	0,0	69,0	11,1	19,8							
11	3,60	51	0,0	NO	0,0	0,0	0,0	0,0	69,0	11,1	19,8							
15	3,60	55	0,0	NO	0,0	15,5	-9,7	0,0	69,0	11,1	19,8							
16	3,60	56	-10,4	NO	3,0	2,8	-6,5	0,0	69,0	11,1	19,8							
19	3,60	59	-6,8	NO								0,4	24,0	-17,0	0,0	69,0	11,1	19,8
20	3,60	60	-4,3	NO	1,9	19,8	-12,6	0,0	69,0	11,1	19,8	1,3	0,0	-2,9	0,0	69,0	11,1	19,8
21	3,60	61	-6,7	NO	3,8	6,9	-4,9	0,0	69,0	11,1	19,8							
25	3,60	65	-9,0	NO	3,4	18,3	-12,6	0,0	69,0	11,1	19,8							
26	3,60	66	-14,8	NO	0,3	0,0	-9,2	0,0	69,0	11,1	19,8	2,0	6,2	-9,9	0,0	69,0	11,1	19,8
27	3,60	67	-10,2	NO								3,9	9,5	-7,9	0,0	69,0	11,1	6,7
31	3,60	71	-20,8	NO	4,1	18,6	-17,6	0,0	69,0	11,1	19,8							
32	1,80	72	-22,1	NO	30,7	5,1	-24,3	0,0	69,0	11,1	39,9	4,2	0,0	-14,3	0,0	69,0	11,1	39,9
33	1,80	73	-47,8	NO	35,5	0,0	-41,7	0,0	69,0	11,1	39,9	38,5	0,0	-43,2	0,0	69,0	11,1	39,9
34	3,60	74	-23,0	NO								3,2	27,5	-24,0	0,0	69,0	11,1	19,8
35	3,60	75	-27,2	NO								3,9	35,3	-29,9	0,0	69,0	11,1	19,8
36	3,60	76	-14,5	NO	2,7	5,7	-9,4	0,0	69,0	11,1	19,8	3,9	35,3	-24,7	0,0	69,0	11,1	19,8
38	3,60	78	0,0	NO								0,0	13,1	-8,2	0,0	69,0	11,1	19,8
32	3,60	81	-14,2	NO	52,4	12,9	-29,5	0,0	69,0	11,1	39,9	2,6	2,6	-8,9	0,0	69,0	11,1	39,9
33	3,60	82	0,0	NO								0,0	7,8	-4,9	0,0	69,0	11,1	39,9
16	7,20	96	0,0	NO	0,0	3,7	-2,3	0,0	69,0	11,1	9,9	0,0	2,5	-1,6	0,0	69,0	11,1	9,9
17	7,20	97	0,0	NO								0,0	0,0	0,0	0,0	69,0	11,1	9,9
18	7,20	98	0,0	NO								0,0	0,0	0,0	0,0	69,0	11,1	9,9
19	7,20	99	0,0	NO														
20	7,20	100	0,0	NO	0,0	3,1	-1,9	0,0	69,0	11,1	9,9	0,0	0,0	0,0	0,0	69,0	11,1	9,9
21	7,20	101	0,0	NO	0,0	7,4	-4,6	0,0	69,0	11,1	9,9							
25	7,20	105	0,0	NO	0,0	7,4	-4,6	0,0	69,0	11,1	9,9							
26	7,20	106	-9,6	NO	8,3	0,0	-9,0	3,0	69,0	11,1		6,2	10,7	-7,1	1,1	69,0	11,1	
27	7,20	107	-16,1	NO								14,2	0,0	-15,3	0,0	69,0	11,1	6,7
31	7,20	111	0,0	NO	0,0	7,4	-4,6	0,0	69,0	11,1	9,9							
32	5,40	112	-35,6	NO	36,1	0,0	-36,3	0,0	69,0	11,1	59,8	4,3	0,0	-22,6	0,0	69,0	11,1	59,8

## RISULTATI VERIFICHE NODI CLS - PUSH N.ro: 7 - Prop.Massa: +Fy+0.3\*Fx+Ecc5%

IDENTIFICATIVO					DIREZIONE 'X						DIREZIONE 'Y							
Filo N.ro	Quota (m)	Nod3d Nro	Nsup (t)	Coll Nodo	TaglSup (t)	TrazAf (t)	SgmCo	SgmTr	RcLim	RtLim	DeltRt	TaglSup (t)	TrazAf (t)	SgmCo	SgmTr	RcLim	RtLim	DeltRt
34	7,20	114	0,0	NO								0,0	7,5	-4,7	4,7	69,0	11,1	
35	7,20	115	0,0	NO								0,0	10,0	-6,2	0,0	69,0	11,1	9,9
36	7,20	116	0,0	NO	0,0	3,7	-2,3	0,0	69,0	11,1	9,9	0,0	11,2	-7,0	0,0	69,0	11,1	9,9
37	7,20	117	0,0	NO								0,0	0,0	0,0	0,0	69,0	11,1	9,9
32	7,20	122	-15,6	NO	1,4	39,5	-29,2	4,5	69,0	11,1	14,9	12,4	7,5	-10,7	0,0	69,0	11,1	14,9
33	7,20	123	-15,4	NO								11,8	6,2	-10,8	0,0	69,0	11,1	6,7
26	9,80	125	0,0	NO	0,0	0,0	0,0	0,0	69,0	11,1	9,9							
27	9,80	126	0,0	NO	0,0	23,1	-14,5	4,6	69,0	11,1	9,9							
32	9,80	127	0,0	NO	0,0	6,3	-4,0	0,0	69,0	11,1	9,9	0,0	21,6	-13,5	3,6	69,0	11,1	9,9
33	9,80	128	0,0	NO	0,0	0,0	0,0	0,0	69,0	11,1	9,9	0,0	25,4	-15,9	6,0	69,0	11,1	9,9

## RISULTATI VERIFICHE NODI CLS - PUSH N.ro: 8 - Prop.Massa: -Fy+0.3\*Fx+Ecc5%

IDENTIFICATIVO					DIREZIONE 'X							DIREZIONE 'Y						
Filo N.ro	Quota (m)	Nod3d Nro	Nsup (t)	Coll Nodo	TaglSup (t)	TrazAf (t)	SgmCo	SgmTr	RcLim	RtLim	DeltRt	TaglSup (t)	TrazAf (t)	SgmCo	SgmTr	RcLim	RtLim	DeltRt
								kg/cmq						kg/cmq				
1	0,00	1	-24,7	NO	10,2	7,4	-15,7	0,2	69,0	11,1		0,4	0,6	-15,5	0,0	69,0	11,1	
2	0,00	2	-45,4	NO								5,5	4,8	-28,4	0,0	69,0	11,1	
3	0,00	3	-45,0	NO								7,3	6,6	-28,1	0,0	69,0	11,1	
4	0,00	4	-39,7	NO								8,1	7,8	-24,8	0,0	69,0	11,1	
5	0,00	5	-7,6	NO	6,3	0,0	-7,0	2,2	69,0	11,1		10,0	9,6	-4,8	0,0	69,0	11,1	
6	0,00	6	-33,5	NO	9,5	6,4	-21,1	0,2	69,0	11,1								
10	0,00	10	-13,3	NO	4,2	0,0	-9,1	0,8	69,0	11,1								
11	0,00	11	-18,8	NO	5,4	3,9	-11,8	0,1	69,0	11,1								
15	0,00	15	-13,6	NO	2,9	0,0	-8,9	0,4	69,0	11,1								
16	0,00	16	-27,6	NO	4,3	4,2	-17,2	0,0	69,0	11,1								
19	0,00	20	-21,5	NO								8,8	0,0	-15,4	1,9	69,0	11,1	
20	0,00	21	-11,6	NO	3,8	0,0	-8,0	0,7	69,0	11,1		10,0	7,8	-7,5	0,2	69,0	11,1	
21	0,00	22	-24,8	NO	2,7	2,4	-15,5	0,0	69,0	11,1								
25	0,00	26	-33,5	NO	0,6	0,6	-20,9	0,0	69,0	11,1								
26	0,00	27	-20,3	NO	0,8	0,6	-12,7	0,0	69,0	11,1								
27	0,00	28	-15,7	NO								0,5	0,0	-9,8	0,0	69,0	11,1	6,7
31	0,00	32	-28,1	NO	2,5	2,4	-17,5	0,0	69,0	11,1								
32	0,00	33	-16,0	NO	4,7	1,8	-10,3	0,0	69,0	11,1	39,9	2,8	0,5	-10,2	0,0	69,0	11,1	39,9
33	0,00	34	-19,4	NO								2,0	0,7	-12,2	0,0	69,0	11,1	39,9
38	0,00	35	-33,9	NO								3,2	0,0	-21,4	0,2	69,0	11,1	
34	0,00	36	-53,8	NO								3,4	0,0	-33,7	0,1	69,0	11,1	
35	0,00	37	-54,4	NO								5,2	0,0	-34,3	0,3	69,0	11,1	
36	0,00	38	-29,1	NO	4,2	4,2	-18,2	0,0	69,0	11,1		9,0	0,0	-19,8	1,6	69,0	11,1	
1	3,60	41	0,0	NO	0,0	27,5	-17,2	0,0	69,0	11,1	19,8	0,0	1,2	-0,8	0,0	69,0	11,1	19,8
2	3,60	42	0,0	NO								0,0	14,9	-9,3	0,0	69,0	11,1	19,8
3	3,60	43	0,0	NO								0,0	18,7	-11,7	0,0	69,0	11,1	19,8
4	3,60	44	0,0	NO								0,0	21,1	-13,2	0,0	69,0	11,1	19,8
5	3,60	45	0,0	NO	0,0	0,0	0,0	0,0	69,0	11,1	19,8	0,0	22,4	-14,0	0,0	69,0	11,1	19,8
6	3,60	46	0,0	NO	0,0	26,1	-16,3	0,0	69,0	11,1	19,8							
10	3,60	50	0,0	NO	0,0	0,0	0,0	0,0	69,0	11,1	19,8							
11	3,60	51	0,0	NO	0,0	15,1	-9,5	0,0	69,0	11,1	19,8							
15	3,60	55	0,0	NO	0,0	0,0	0,0	0,0	69,0	11,1	19,8							
16	3,60	56	-10,4	NO	4,5	20,6	-13,8	0,0	69,0	11,1	19,8							
19	3,60	59	-14,0	NO								0,0	0,0	-8,7	0,0	69,0	11,1	19,8
20	3,60	60	-4,2	NO	2,9	0,0	-3,6	0,0	69,0	11,1	19,8	4,9	30,5	-17,4	0,0	69,0	11,1	19,8
21	3,60	61	-12,1	NO	4,3	15,1	-11,5	0,0	69,0	11,1	19,8							
25	3,60	65	-12,2	NO	2,8	9,2	-9,3	0,0	69,0	11,1	19,8							
26	3,60	66	-16,4	NO	0,4	0,0	-10,3	0,0	69,0	11,1	19,8	1,4	7,8	-11,6	0,0	69,0	11,1	19,8
27	3,60	67	-27,0	NO								1,4	0,0	-16,9	0,0	69,0	11,1	6,7
31	3,60	71	-13,3	NO	4,4	17,1	-13,1	0,0	69,0	11,1	19,8							
32	1,80	72	-19,8	NO	26,8	0,0	-24,1	0,0	69,0	11,1	39,9	10,8	0,0	-15,4	0,0	69,0	11,1	39,9
33	1,80	73	-30,9	NO	25,2	0,0	-28,2	0,0	69,0	11,1	39,9	24,6	0,0	-27,8	0,0	69,0	11,1	39,9
34	3,60	74	-23,2	NO								0,7	0,0	-14,5	0,0	69,0	11,1	19,8
35	3,60	75	-23,0	NO								0,3	0,0	-14,4	0,0	69,0	11,1	19,8
36	3,60	76	-11,8	NO	5,2	21,4	-14,5	0,0	69,0	11,1	19,8	1,9	0,0	-7,5	0,0	69,0	11,1	19,8
38	3,60	78	0,0	NO								0,0	0,0	0,0	0,0	69,0	11,1	19,8
32	3,60	81	-19,0	NO	45,9	0,0	-35,3	0,0	69,0	11,1	39,9	18,5	0,0	-19,0	0,0	69,0	11,1	39,9
33	3,60	82	0,0	NO								0,0	0,0	0,0	0,0	69,0	11,1	39,9
16	7,20	96	0,0	NO	0,0	8,6	-5,4	0,0	69,0	11,1	9,9	0,0	0,0	0,0	0,0	69,0	11,1	9,9
17	7,20	97	0,0	NO								0,0	3,8	-2,4	0,0	69,0	11,1	9,9
18	7,20	98	0,0	NO								0,0	7,6	-4,8	0,0	69,0	11,1	9,9
19	7,20	99	0,0	NO														
20	7,20	100	0,0	NO	0,0	0,0	0,0	0,0	69,0	11,1	9,9	0,0	12,7	-7,9	0,0	69,0	11,1	9,9
21	7,20	101	0,0	NO	0,0	8,6	-5,4	0,0	69,0	11,1	9,9							
25	7,20	105	0,0	NO	0,0	4,9	-3,1	0,0	69,0	11,1	9,9							
26	7,20	106	-17,0	NO	8,5	0,0	-12,8	2,2	69,0	11,1		14,0	7,9	-11,9	1,2	69,0	11,1	
27	7,20	107	-30,4	NO								12,5	12,3	-19,0	0,0	69,0	11,1	6,7
31	7,20	111	0,0	NO	0,0	8,6	-5,4	0,0	69,0	11,1	9,9							
32	5,40	112	-0,6	NO	26,0	19,9	-4,0	0,0	69,0	11,1	59,8	3,4	11,4	-5,1	0,0	69,0	11,1	59,8
34	7,20	114	0,0	NO								0,0	0,0	0,0	0,0	69,0	11,1	
35	7,20	115	0,0	NO								0,0	0,0	0,0	0,0	69,0	11,1	9,9
36	7,20	116	0,0	NO	0,0	9,9	-6,2	0,0	69,0	11,1	9,9	0,0	0,0	0,0	0,0	69,0	11,1	9,9
37	7,20	117	0,0	NO								0,0	11,4	-7,1	0,0	69,0	11,1	9,9
32	7,20	122	-4,4	NO	2,1	0,0	-3,3	0,0	69,0	11,1	14,9	12,9	0,0	-9,5	0,0	69,0	11,1	14,9
33	7,20	123	-4,9	NO								12,8	0,0	-9,7	0,0	69,0	11,1	6,7
26	9,80	125	0,0	NO	0,0	0,0	0,0	0,0	69,0	11,1	9,9							
27	9,80	126	0,0	NO	0,0	30,8	-19,3	9,4	69,0	11,1	9,9							
32	9,80	127	0,0	NO	0,0	0,0	0,0	0,0	69,0	11,1	9,9	0,0	0,0	0,0	0,0	69,0	11,1	9,9

## RISULTATI VERIFICHE NODI CLS - PUSH N.ro: 8 - Prop.Massa:-Fy+0.3\*Fx+Ecc5%

IDENTIFICATIVO					DIREZIONE 'X						DIREZIONE 'Y							
Filo N.ro	Quota (m)	Nod3d Nro	Nsup (t)	Coll Nodo	TaglSup (t)	TrazAf (t)	SgmCo	SgmTr	RcLim	RtLim	DeltRt	TaglSup (t)	TrazAf (t)	SgmCo	SgmTr	RcLim	RtLim	DeltRt
					----- kg/cmq -----						----- kg/cmq -----							
33	9.80	128	0.0	NO	0.0	1.3	-0.8	0.0	69,0	11,1	9.9	0.0	0.0	0.0	0.0	69,0	11,1	9.9

## RISULTATI VERIFICHE NODI CLS - PUSH N.ro: 9 - Prop.Modolo:-Fx-0.3\*Fy+Ecc5%

IDENTIFICATIVO			DIREZIONE X									DIREZIONE Y						
Filo N.ro	Quota (m)	Nod3d Nro	Nsup (t)	Coll Nodo	TaglSup (t)	TrazAf (t)	SgmCo	SgmTr	RcLim	RtLim	DeltRt	TaglSup (t)	TrazAf (t)	SgmCo	SgmTr	RcLim	RtLim	DeltRt
						----- kg/cmq -----						----- kg/cmq -----						
1	0,00	1	-20,9	NO	2,1	1,0	-13,1	0,0	69,0	11,1		0,4	0,6	-13,0	0,0	69,0	11,1	
2	0,00	2	-44,4	NO								2,3	1,8	-27,7	0,0	69,0	11,1	
3	0,00	3	-42,4	NO								1,6	1,2	-26,5	0,0	69,0	11,1	
4	0,00	4	-32,2	NO								0,0	0,0	-20,1	0,0	69,0	11,1	
5	0,00	5	-9,6	NO	2,8	3,3	-6,0	0,0	69,0	11,1		0,3	0,0	-6,0	0,0	69,0	11,1	
6	0,00	6	-30,0	NO	3,7	2,0	-18,8	0,1	69,0	11,1								
10	0,00	10	-17,2	NO	2,4	3,3	-10,8	0,0	69,0	11,1								
11	0,00	11	-17,0	NO	1,3	0,5	-10,7	0,0	69,0	11,1								
15	0,00	15	-9,2	NO	2,0	2,6	-5,8	0,0	69,0	11,1								
16	0,00	16	-26,0	NO	1,2	0,6	-16,3	0,0	69,0	11,1								
19	0,00	20	-23,4	NO								0,8	0,5	-14,6	0,0	69,0	11,1	
20	0,00	21	-12,3	NO	1,3	1,8	-7,7	0,0	69,0	11,1		2,3	0,0	-7,9	0,2	69,0	11,1	
21	0,00	22	-21,9	NO	1,2	1,2	-13,7	0,0	69,0	11,1								
25	0,00	26	-26,2	NO	2,0	2,4	-16,3	0,0	69,0	11,1								
26	0,00	27	-19,7	NO	0,5	0,6	-12,3	0,0	69,0	11,1								
27	0,00	28	-17,0	NO								0,8	1,0	-10,7	0,0	69,0	11,1	6,7
31	0,00	32	-44,5	NO	2,9	3,0	-27,8	0,0	69,0	11,1								
32	0,00	33	-14,9	NO	1,8	1,2	-9,3	0,0	69,0	11,1	39,9	0,1	0,0	-9,3	0,0	69,0	11,1	39,9
33	0,00	34	-24,9	NO								8,6	0,0	-17,2	0,0	69,0	11,1	39,9
38	0,00	35	-32,5	NO								0,4	0,5	-20,3	0,0	69,0	11,1	
34	0,00	36	-56,7	NO								2,3	2,0	-35,4	0,0	69,0	11,1	
35	0,00	37	-60,8	NO								2,9	2,5	-38,0	0,0	69,0	11,1	
36	0,00	38	-34,7	NO	1,8	1,8	-21,7	0,0	69,0	11,1		1,5	2,0	-21,7	0,0	69,0	11,1	
1	3,60	41	0,0	NO	0,0	6,9	-4,3	0,0	69,0	11,1	19,8	0,0	1,2	-0,8	0,0	69,0	11,1	19,8
2	3,60	42	0,0	NO								0,0	7,5	-4,7	0,0	69,0	11,1	19,8
3	3,60	43	0,0	NO								0,0	6,2	-3,9	0,0	69,0	11,1	19,8
4	3,60	44	0,0	NO								0,0	2,5	-1,6	0,0	69,0	11,1	19,8
5	3,60	45	0,0	NO	0,0	6,5	-4,0	0,0	69,0	11,1	19,8	0,0	0,0	0,0	0,0	69,0	11,1	19,8
6	3,60	46	0,0	NO	0,0	11,0	-6,9	0,0	69,0	11,1	19,8							
10	3,60	50	0,0	NO	0,0	5,2	-3,2	0,0	69,0	11,1	19,8							
11	3,60	51	0,0	NO	0,0	4,1	-2,6	0,0	69,0	11,1	19,8							
15	3,60	55	0,0	NO	0,0	3,9	-2,4	0,0	69,0	11,1	19,8							
16	3,60	56	-10,2	NO	3,4	11,0	-8,9	0,0	69,0	11,1	19,8							
19	3,60	59	-9,9	NO								0,4	0,0	-6,2	0,0	69,0	11,1	19,8
20	3,60	60	-5,1	NO	0,0	3,1	-4,1	0,0	69,0	11,1	19,8	1,1	0,0	-3,3	0,0	69,0	11,1	19,8
21	3,60	61	-10,2	NO	3,7	11,0	-8,8	0,0	69,0	11,1	19,8							
25	3,60	65	-11,5	NO	3,4	13,7	-11,0	0,0	69,0	11,1	19,8							
26	3,60	66	-14,7	NO	0,4	0,0	-9,2	0,0	69,0	11,1	19,8	0,6	7,8	-11,0	0,0	69,0	11,1	19,8
27	3,60	67	-21,9	NO								0,1	2,4	-13,8	0,0	69,0	11,1	6,7
31	3,60	71	-16,5	NO	4,6	18,6	-15,3	0,0	69,0	11,1	19,8							
32	1,80	72	-13,7	NO	0,8	3,2	-8,8	0,0	69,0	11,1	39,9	3,4	0,6	-8,9	0,0	69,0	11,1	39,9
33	1,80	73	-42,0	NO	0,8	0,0	-26,3	0,0	69,0	11,1	39,9	2,6	0,0	-26,4	0,0	69,0	11,1	39,9
34	3,60	74	-23,3	NO								1,7	10,5	-16,4	0,0	69,0	11,1	19,8
35	3,60	75	-24,8	NO								1,5	11,8	-17,8	0,0	69,0	11,1	19,8
36	3,60	76	-13,2	NO	4,4	15,7	-12,3	0,0	69,0	11,1	19,8	0,7	5,2	-9,1	0,0	69,0	11,1	19,8
38	3,60	78	0,0	NO								0,0	5,2	-3,3	0,0	69,0	11,1	19,8
32	3,60	81	-8,5	NO	4,8	5,7	-5,4	0,0	69,0	11,1	39,9	8,6	1,3	-7,9	0,0	69,0	11,1	39,9
33	3,60	82	0,0	NO								0,0	5,2	-3,3	0,0	69,0	11,1	39,9
16	7,20	96	0,0	NO	0,0	6,2	-3,9	0,0	69,0	11,1	9,9	0,0	1,3	-0,8	0,0	69,0	11,1	9,9
17	7,20	97	0,0	NO								0,0	1,3	-0,8	0,0	69,0	11,1	9,9
18	7,20	98	0,0	NO								0,0	1,3	-0,8	0,0	69,0	11,1	9,9
19	7,20	99	0,0	NO														
20	7,20	100	0,0	NO	0,0	0,0	0,0	0,0	69,0	11,1	9,9	0,0	2,5	-1,6	0,0	69,0	11,1	9,9
21	7,20	101	0,0	NO	0,0	7,4	-4,6	0,0	69,0	11,1	9,9							
25	7,20	105	0,0	NO	0,0	7,4	-4,6	0,0	69,0	11,1	9,9							
26	7,20	106	-15,4	NO	11,5	0,0	-13,5	3,8	69,0	11,1		12,1	7,9	-10,3	0,7	69,0	11,1	
27	7,20	107	-24,2	NO								0,6	0,0	-15,1	0,0	69,0	11,1	6,7
31	7,20	111	0,0	NO	0,0	8,6	-5,4	0,0	69,0	11,1	9,9							
32	5,40	112	-1,5	NO	4,1	4,5	-1,0	0,0	69,0	11,1	59,8	4,4	6,3	-1,8	0,0	69,0	11,1	59,8
34	7,20	114	0,0	NO								0,0	2,5	-1,6	1,6	69,0	11,1	
35	7,20	115	0,0	NO								0,0	2,5	-1,6	0,0	69,0	11,1	9,9
36	7,20	116	0,0	NO	0,0	8,6	-5,4	0,0	69,0	11,1	9,9	0,0	1,2	-0,8	0,0	69,0	11,1	9,9
37	7,20	117	0,0	NO								0,0	1,3	-0,8	0,0	69,0	11,1	9,9
32	7,20	122	3,0	NO	7,7	0,0	-3,9	0,0	69,0	11,1	14,9	10,7	0,0	-5,8	0,0	69,0	11,1	14,9
33	7,20	123	-20,2	NO								7,6	6,2	-12,7	0,0	69,0	11,1	6,7
26	9,80	125	0,0	NO	0,0	0,0	0,0	0,0	69,0	11,1	9,9							
27	9,80	126	0,0	NO	0,0	30,8	-19,3	9,4	69,0	11,1	9,9							
32	9,80	127	0,0	NO	0,0	0,0	0,0	0,0	69,0	11,1	9,9	0,0	0,0	0,0	0,0	69,0	11,1	9,9
33	9,80	128	0,0	NO	0,0	30,5	-19,0	9,1	69,0	11,1	9,9	0,0	12,7	-7,9	0,0	69,0	11,1	9,9

## RISULTATI VERIFICHE NODI CLS - PUSH N.ro: 10 - Prop.Modolo:-Fx-0.3\*Fy+Ecc5%

IDENTIFICATIVO			DIREZIONE 'X'								DIREZIONE 'Y'							
Filo N.ro	Quota (m)	Nod3d Nro	Nsup (t)	Coll Nodo	TaglSup (t)	TrazAf (t)	SgmCo	SgmTr	RcLim	RtLim	DeltRt	TaglSup (t)	TrazAf (t)	SgmCo	SgmTr	RcLim	RtLim	DeltRt
					----- kg/cmq -----						----- kg/cmq -----							
1	0,00	1	-23,4	NO	8,4	5,9	-14,8	0,2	69,0	11,1		1,4	0,0	-14,7	0,0	69,0	11,1	
2	0,00	2	-44,5	NO								3,4	3,0	-27,8	0,0	69,0	11,1	
3	0,00	3	-43,6	NO								4,3	3,6	-27,3	0,0	69,0	11,1	

## RISULTATI VERIFICHE NODI CLS - PUSH N.ro: 10 - Prop.Modolo:-Fx-0.3\*Fy+Ecc5%

IDENTIFICATIVO					DIREZIONE 'X							DIREZIONE 'Y						
Filo N.ro	Quota (m)	Nod3d Nro	Nsup (t)	Coll Nodo	TaglSup (t)	TrazAf (t)	SgmCo kg/cmq	SgmTr kg/cmq	RcLim	RtLim	DeltRt	TaglSup (t)	TrazAf (t)	SgmCo kg/cmq	SgmTr kg/cmq	RcLim	RtLim	DeltRt
4	0,00	4	-36,9	NO								4,3	4,2	-23,0	0,0	69,0	11,1	
5	0,00	5	-7,2	NO	4,0	0,0	-5,6	1,1	69,0	11,1		5,5	4,8	-4,6	0,0	69,0	11,1	
6	0,00	6	-32,6	NO	8,5	5,9	-20,5	0,1	69,0	11,1								
10	0,00	10	-13,6	NO	3,0	0,0	-8,9	0,4	69,0	11,1								
11	0,00	11	-18,4	NO	5,0	3,9	-11,6	0,0	69,0	11,1								
15	0,00	15	-12,8	NO	2,4	0,0	-8,3	0,3	69,0	11,1								
16	0,00	16	-28,1	NO	4,4	4,2	-17,6	0,0	69,0	11,1								
19	0,00	20	-20,2	NO								6,1	0,0	-13,7	1,1	69,0	11,1	
20	0,00	21	-11,1	NO	3,1	0,0	-7,4	0,5	69,0	11,1		4,9	3,9	-7,0	0,1	69,0	11,1	
21	0,00	22	-24,7	NO	3,0	3,0	-15,4	0,0	69,0	11,1								
25	0,00	26	-29,3	NO	0,1	0,0	-18,3	0,0	69,0	11,1								
26	0,00	27	-28,7	NO	1,4	0,0	-18,0	0,0	69,0	11,1								
27	0,00	28	-7,7	NO								0,6	0,5	-4,8	0,0	69,0	11,1	6,7
31	0,00	32	-35,3	NO	1,4	1,2	-22,0	0,0	69,0	11,1								
32	0,00	33	-21,4	NO	6,4	0,0	-14,5	0,0	69,0	11,1	39,9	3,2	0,0	-13,6	0,0	69,0	11,1	39,9
33	0,00	34	-17,1	NO								4,7	0,0	-11,5	0,0	69,0	11,1	39,9
38	0,00	35	-31,0	NO								0,8	0,0	-19,4	0,0	69,0	11,1	
34	0,00	36	-54,8	NO								0,4	0,0	-34,2	0,0	69,0	11,1	
35	0,00	37	-57,6	NO								1,4	0,0	-36,0	0,0	69,0	11,1	
36	0,00	38	-31,4	NO	2,2	2,4	-19,6	0,0	69,0	11,1		4,4	0,0	-20,0	0,4	69,0	11,1	
1	3,60	41	0,0	NO	0,0	22,0	-13,8	0,0	69,0	11,1	19,8	0,0	0,0	0,0	0,0	69,0	11,1	19,8
2	3,60	42	0,0	NO								0,0	10,0	-6,2	0,0	69,0	11,1	19,8
3	3,60	43	0,0	NO								0,0	12,4	-7,8	0,0	69,0	11,1	19,8
4	3,60	44	0,0	NO								0,0	12,4	-7,8	0,0	69,0	11,1	19,8
5	3,60	45	0,0	NO	0,0	0,0	0,0	0,0	69,0	11,1	19,8	0,0	12,4	-7,8	0,0	69,0	11,1	19,8
6	3,60	46	0,0	NO	0,0	23,4	-14,6	0,0	69,0	11,1	19,8							
10	3,60	50	0,0	NO	0,0	0,0	0,0	0,0	69,0	11,1	19,8							
11	3,60	51	0,0	NO	0,0	13,8	-8,6	0,0	69,0	11,1	19,8							
15	3,60	55	0,0	NO	0,0	0,0	0,0	0,0	69,0	11,1	19,8							
16	3,60	56	-10,5	NO	3,6	19,3	-13,6	0,0	69,0	11,1	19,8							
19	3,60	59	-11,5	NO								0,6	0,0	-7,2	0,0	69,0	11,1	19,8
20	3,60	60	-5,2	NO	1,0	0,0	-3,4	0,0	69,0	11,1	19,8	2,9	15,2	-9,5	0,0	69,0	11,1	19,8
21	3,60	61	-11,2	NO	3,5	15,1	-11,6	0,0	69,0	11,1	19,8							
25	3,60	65	-11,6	NO	3,3	7,6	-8,2	0,0	69,0	11,1	19,8							
26	3,60	66	-30,2	NO	4,6	0,0	-19,3	0,0	69,0	11,1	19,8	0,4	4,7	-19,3	0,0	69,0	11,1	19,8
27	3,60	67	-9,2	NO								0,4	1,6	-5,9	0,0	69,0	11,1	6,7
31	3,60	71	-15,0	NO	4,6	14,3	-12,3	0,0	69,0	11,1	19,8							
32	1,80	72	-25,6	NO	0,2	0,0	-16,0	0,0	69,0	11,1	39,9	3,5	0,6	-16,2	0,0	69,0	11,1	39,9
33	1,80	73	-29,3	NO	0,1	0,0	-18,3	0,0	69,0	11,1	39,9	7,0	0,0	-19,3	0,0	69,0	11,1	39,9
34	3,60	74	-22,8	NO								1,1	3,9	-14,4	0,0	69,0	11,1	19,8
35	3,60	75	-24,0	NO								0,7	1,3	-15,0	0,0	69,0	11,1	19,8
36	3,60	76	-12,5	NO	4,7	17,1	-12,6	0,0	69,0	11,1	19,8	0,3	0,0	-7,8	0,0	69,0	11,1	19,8
38	3,60	78	0,0	NO								0,0	2,6	-1,6	0,0	69,0	11,1	19,8
32	3,60	81	-21,8	NO	1,2	0,0	-13,7	0,0	69,0	11,1	39,9	2,1	2,6	-13,6	0,0	69,0	11,1	39,9
33	3,60	82	0,0	NO								0,0	1,3	-0,8	0,0	69,0	11,1	39,9
16	7,20	96	0,0	NO	0,0	7,4	-4,6	0,0	69,0	11,1	9,9	0,0	1,3	-0,8	0,0	69,0	11,1	9,9
17	7,20	97	0,0	NO								0,0	2,5	-1,6	0,0	69,0	11,1	9,9
18	7,20	98	0,0	NO								0,0	5,1	-3,2	0,0	69,0	11,1	9,9
19	7,20	99	0,0	NO														
20	7,20	100	0,0	NO	0,0	0,0	0,0	0,0	69,0	11,1	9,9	0,0	7,6	-4,8	0,0	69,0	11,1	9,9
21	7,20	101	0,0	NO	0,0	7,4	-4,6	0,0	69,0	11,1	9,9							
25	7,20	105	0,0	NO	0,0	6,2	-3,9	0,0	69,0	11,1	9,9							
26	7,20	106	-28,2	NO	14,5	4,9	-19,5	1,8	69,0	11,1		8,2	5,3	-17,8	0,2	69,0	11,1	
27	7,20	107	-11,5	NO								7,1	6,2	-7,2	0,0	69,0	11,1	6,7
31	7,20	111	0,0	NO	0,0	8,6	-5,4	0,0	69,0	11,1	9,9							
32	5,40	112	-25,0	NO	9,7	0,0	-17,7	0,0	69,0	11,1	59,8	4,7	0,6	-16,1	0,0	69,0	11,1	59,8
34	7,20	114	0,0	NO								0,0	0,0	0,0	0,0	69,0	11,1	
35	7,20	115	0,0	NO								0,0	0,0	0,0	0,0	69,0	11,1	9,9
36	7,20	116	0,0	NO	0,0	8,6	-5,4	0,0	69,0	11,1	9,9	0,0	0,0	0,0	0,0	69,0	11,1	9,9
37	7,20	117	0,0	NO								0,0	6,4	-4,0	0,0	69,0	11,1	9,9
32	7,20	122	-17,7	NO	14,7	2,5	-15,0	0,0	69,0	11,1	14,9	0,7	3,7	-11,4	0,0	69,0	11,1	14,9
33	7,20	123	0,7	NO								0,1	0,0	0,0	0,0	69,0	11,1	6,7
26	9,80	125	0,0	NO	0,0	30,8	-19,3	9,4	69,0	11,1	9,9							
27	9,80	126	0,0	NO	0,0	0,0	0,0	0,0	69,0	11,1	9,9							
32	9,80	127	0,0	NO	0,0	30,5	-19,0	9,1	69,0	11,1	9,9	0,0	0,0	0,0	0,0	69,0	11,1	9,9
33	9,80	128	0,0	NO	0,0	0,0	0,0	0,0	69,0	11,1	9,9	0,0	0,0	0,0	0,0	69,0	11,1	9,9

## RISULTATI VERIFICHE NODI CLS - PUSH N.ro: 11 - Prop.Modolo:+Fy-0.3\*Fx+Ecc5%

IDENTIFICATIVO					DIREZIONE 'X							DIREZIONE 'Y						
Filo N.ro	Quota (m)	Nod3d Nro	Nsup (t)	Coll Nodo	TaglSup (t)	TrazAf (t)	SgmCo kg/cmq	SgmTr kg/cmq	RcLim	RtLim	DeltRt	TaglSup (t)	TrazAf (t)	SgmCo kg/cmq	SgmTr kg/cmq	RcLim	RtLim	DeltRt
1	0,00	1	-19,6	NO								0,9	0,0	-12,3	0,0	69,0	11,1	
2	0,00	2	-43,8	NO								0,8	0,6	-27,4	0,0	69,0	11,1	
3	0,00	3	-41,1	NO								0,5	0,0	-25,7	0,0	69,0	11,1	
4	0,00	4	-29,6	NO								2,9	0,0	-18,7	0,2	69,0	11,1	
5	0,00	5	-9,7	NO	5,0	5,9	-6,1	0,1	69,0	11,1		4,0	0,0	-6,9	0,9	69,0	11,1	
6	0,00	6	-29,1	NO	2,4	1,0	-18,2	0,0	69,0	11,1								
10	0,00	10	-17,9	NO	3,9	4,6	-11,2	0,0	69,0	11,1								
11	0,00	11	-16,3	NO	0,6	0,0	-10,2	0,0	69,0	11,1								
15	0,00	15	-3,7	NO	3,1	3,3	-2,3	0,0	69,0	11,1								
16	0,00	16	-25,5	NO	1,2	0,6	-16,0	0,0	69,0	11,1								
19	0,00	20	-24,2	NO								5,0	3,9	-15,1	0,0	69,0	11,1	
20	0,00	21	-10,2	NO	2,4	2,4	-6,4	0,0	69,0	11,1		5,0	0,0	-7,7	1,3	69,0	11,1	

## RISULTATI VERIFICHE NODI CLS - PUSH N.ro: 11 - Prop.Modolo: +Fy-0.3\*Fx+Ecc5%

IDENTIFICATIVO					DIREZIONE 'X'							DIREZIONE 'Y'						
Filo N.ro	Quota (m)	Nod3d Nro	Nsup (t)	Coll Nodo	TaglSup (t)	TrazAf (t)	SgmCo	SgmTr	RcLim	RtLim	DeltRt	TaglSup (t)	TrazAf (t)	SgmCo	SgmTr	RcLim	RtLim	DeltRt
21	0,00	22	-18,3	NO	1,3	1,2	-11,5	0,0	69,0	11,1								
25	0,00	26	-19,3	NO	1,8	1,8	-12,1	0,0	69,0	11,1								
26	0,00	27	-25,6	NO	1,1	0,6	-16,0	0,0	69,0	11,1								
27	0,00	28	-8,9	NO								2,2	1,5	-5,6	0,0	69,0	11,1	6,7
31	0,00	32	-56,3	NO	2,4	2,4	-35,2	0,0	69,0	11,1								
32	0,00	33	-21,9	NO	10,8	0,0	-16,5	0,0	69,0	11,1	39,9	8,0	0,0	-15,3	0,0	69,0	11,1	39,9
33	0,00	34	-33,0	NO								14,1	0,0	-23,9	0,0	69,0	11,1	39,9
38	0,00	35	-14,6	NO								2,1	2,0	-9,1	0,0	69,0	11,1	
34	0,00	36	-58,4	NO								4,1	3,4	-36,5	0,0	69,0	11,1	
35	0,00	37	-66,1	NO								4,9	4,4	-41,3	0,0	69,0	11,1	
36	0,00	38	-38,7	NO	0,7	1,2	-24,2	0,0	69,0	11,1		3,8	4,4	-24,2	0,0	69,0	11,1	
1	3,60	41	0,0	NO	0,0	1,4	-0,9	0,0	69,0	11,1	19,8	0,0	0,0	0,0	0,0	69,0	11,1	19,8
2	3,60	42	0,0	NO								0,0	5,0	-3,1	0,0	69,0	11,1	19,8
3	3,60	43	0,0	NO								0,0	1,2	-0,8	0,0	69,0	11,1	19,8
4	3,60	44	0,0	NO								0,0	0,0	0,0	0,0	69,0	11,1	19,8
5	3,60	45	0,0	NO	0,0	11,6	-7,3	0,0	69,0	11,1	19,8	0,0	0,0	0,0	0,0	69,0	11,1	19,8
6	3,60	46	0,0	NO	0,0	8,3	-5,2	0,0	69,0	11,1	19,8							
10	3,60	50	0,0	NO	0,0	9,1	-5,7	0,0	69,0	11,1	19,8							
11	3,60	51	0,0	NO	0,0	2,8	-1,7	0,0	69,0	11,1	19,8							
15	3,60	55	0,0	NO	0,0	6,5	-4,0	0,0	69,0	11,1	19,8							
16	3,60	56	-9,9	NO	2,0	8,3	-8,1	0,0	69,0	11,1	19,8							
19	3,60	59	-6,3	NO								1,2	16,3	-11,6	0,0	69,0	11,1	19,8
20	3,60	60	-3,9	NO	2,8	10,7	-6,3	0,0	69,0	11,1	19,8	5,6	0,0	-4,9	0,0	69,0	11,1	19,8
21	3,60	61	-6,0	NO	3,2	11,0	-7,1	0,0	69,0	11,1	19,8							
25	3,60	65	-9,3	NO	3,8	13,7	-9,7	0,0	69,0	11,1	19,8							
26	3,60	66	-18,6	NO	1,8	0,0	-11,8	0,0	69,0	11,1	19,8	2,5	6,3	-12,1	0,0	69,0	11,1	19,8
27	3,60	67	-4,6	NO								3,5	7,1	-4,1	0,0	69,0	11,1	6,7
31	3,60	71	-21,4	NO	4,4	17,1	-17,1	0,0	69,0	11,1	19,8							
32	1,80	72	-31,3	NO	17,8	0,0	-24,6	0,0	69,0	11,1	39,9	4,8	0,0	-20,0	0,0	69,0	11,1	39,9
33	1,80	73	-47,3	NO	17,7	0,0	-33,2	0,0	69,0	11,1	39,9	20,1	0,0	-34,2	0,0	69,0	11,1	39,9
34	3,60	74	-23,6	NO								4,5	19,6	-19,4	0,0	69,0	11,1	19,8
35	3,60	75	-27,5	NO								5,7	23,5	-22,7	0,0	69,0	11,1	19,8
36	3,60	76	-15,3	NO	2,6	10,0	-11,4	0,0	69,0	11,1	19,8	6,4	20,9	-15,0	0,0	69,0	11,1	19,8
38	3,60	78	0,0	NO								0,0	10,5	-6,5	0,0	69,0	11,1	19,8
32	3,60	81	-25,7	NO	35,5	5,7	-28,3	0,0	69,0	11,1	39,9	4,6	2,6	-16,2	0,0	69,0	11,1	39,9
33	3,60	82	0,0	NO								0,0	7,8	-4,9	0,0	69,0	11,1	39,9
16	7,20	96	0,0	NO	0,0	2,5	-1,5	0,0	69,0	11,1	9,9	0,0	1,3	-0,8	0,0	69,0	11,1	9,9
17	7,20	97	0,0	NO								0,0	0,0	0,0	0,0	69,0	11,1	9,9
18	7,20	98	0,0	NO								0,0	0,0	0,0	0,0	69,0	11,1	9,9
19	7,20	99	0,0	NO														
20	7,20	100	0,0	NO	0,0	5,2	-3,2	0,0	69,0	11,1	9,9	0,0	0,0	0,0	0,0	69,0	11,1	9,9
21	7,20	101	0,0	NO	0,0	6,2	-3,9	0,0	69,0	11,1	9,9							
25	7,20	105	0,0	NO	0,0	7,4	-4,6	0,0	69,0	11,1	9,9							
26	7,20	106	-11,3	NO	0,8	0,0	-7,1	0,0	69,0	11,1		13,9	12,3	-7,2	0,2	69,0	11,1	
27	7,20	107	-11,4	NO								14,0	0,0	-13,0	0,0	69,0	11,1	6,7
31	7,20	111	0,0	NO	0,0	8,6	-5,4	0,0	69,0	11,1	9,9							
32	5,40	112	-42,4	NO	25,2	0,0	-33,8	0,0	69,0	11,1	59,8	3,7	0,0	-26,7	0,0	69,0	11,1	59,8
34	7,20	114	0,0	NO								0,0	10,0	-6,2	6,2	69,0	11,1	
35	7,20	115	0,0	NO								0,0	12,4	-7,8	0,0	69,0	11,1	9,9
36	7,20	116	0,0	NO	0,0	3,7	-2,3	0,0	69,0	11,1	9,9	0,0	14,9	-9,3	0,0	69,0	11,1	9,9
37	7,20	117	0,0	NO								0,0	0,0	0,0	0,0	69,0	11,1	9,9
32	7,20	122	-22,8	NO	9,9	34,5	-24,1	0,0	69,0	11,1	14,9	15,1	8,7	-15,3	0,0	69,0	11,1	14,9
33	7,20	123	-11,2	NO								14,0	7,4	-8,9	0,0	69,0	11,1	6,7
26	9,80	125	0,0	NO	0,0	5,1	-3,2	0,0	69,0	11,1	9,9							
27	9,80	126	0,0	NO	0,0	0,0	0,0	0,0	69,0	11,1	9,9							
32	9,80	127	0,0	NO	0,0	22,9	-14,3	4,4	69,0	11,1	9,9	0,0	27,9	-17,5	7,6	69,0	11,1	9,9
33	9,80	128	0,0	NO	0,0	0,0	0,0	0,0	69,0	11,1	9,9	0,0	25,4	-15,9	6,0	69,0	11,1	9,9

## RISULTATI VERIFICHE NODI CLS - PUSH N.ro: 12 - Prop.Modolo: -Fy-0.3\*Fx+Ecc5%

IDENTIFICATIVO					DIREZIONE 'X'							DIREZIONE 'Y'						
Filo N.ro	Quota (m)	Nod3d Nro	Nsup (t)	Coll Nodo	TaglSup (t)	TrazAf (t)	SgmCo	SgmTr	RcLim	RtLim	DeltRt	TaglSup (t)	TrazAf (t)	SgmCo	SgmTr	RcLim	RtLim	DeltRt
1	0,00	1	-23,8	NO	8,7	6,4	-15,0	0,1	69,0	11,1		1,1	0,0	-14,9	0,0	69,0	11,1	
2	0,00	2	-44,8	NO								3,9	3,6	-28,0	0,0	69,0	11,1	
3	0,00	3	-44,0	NO								5,1	4,8	-27,5	0,0	69,0	11,1	
4	0,00	4	-37,6	NO								5,2	4,8	-23,5	0,0	69,0	11,1	
5	0,00	5	-7,4	NO	4,4	0,0	-5,9	1,3	69,0	11,1		6,6	6,0	-4,7	0,0	69,0	11,1	
6	0,00	6	-32,8	NO	8,6	5,9	-20,7	0,1	69,0	11,1								
10	0,00	10	-13,7	NO	3,2	0,0	-9,0	0,4	69,0	11,1								
11	0,00	11	-18,6	NO	4,9	3,9	-11,6	0,0	69,0	11,1								
15	0,00	15	-13,5	NO	2,4	0,0	-8,7	0,3	69,0	11,1								
16	0,00	16	-28,2	NO	4,1	3,6	-17,6	0,0	69,0	11,1								
19	0,00	20	-21,3	NO								6,4	0,0	-14,4	1,1	69,0	11,1	
20	0,00	21	-12,1	NO	3,1	0,0	-8,1	0,5	69,0	11,1		5,5	4,4	-7,6	0,1	69,0	11,1	
21	0,00	22	-24,8	NO	2,9	2,4	-15,5	0,0	69,0	11,1								
25	0,00	26	-31,9	NO	0,2	0,6	-20,0	0,0	69,0	11,1								
26	0,00	27	-23,9	NO	1,1	0,6	-15,0	0,0	69,0	11,1								
27	0,00	28	-13,1	NO								0,3	0,5	-8,2	0,0	69,0	11,1	6,7
31	0,00	32	-30,9	NO	1,8	1,8	-19,3	0,0	69,0	11,1								
32	0,00	33	-18,1	NO	0,9	0,6	-11,3	0,0	69,0	11,1	39,9	0,2	0,0	-11,3	0,0	69,0	11,1	39,9
33	0,00	34	-13,9	NO								1,6	0,0	-8,8	0,0	69,0	11,1	39,9
38	0,00	35	-37,5	NO								1,3	0,0	-23,5	0,0	69,0	11,1	
34	0,00	36	-54,1	NO								0,9	0,0	-33,8	0,0	69,0	11,1	



## RISULTATI VERIFICHE NODI CLS - PUSH N.ro: 12 - Prop.Mod0:-Fy-0.3\*Fx+Ecc5%

IDENTIFICATIVO					DIREZIONE 'X							DIREZIONE 'Y						
Filo N.ro	Quota (m)	Nod3d Nro	Nsup (t)	Coll Nodo	TaglSup (t)	TrazAf (t)	SgmCo	SgmTr	RcLim	RtLim	DeltRt	TaglSup (t)	TrazAf (t)	SgmCo	SgmTr	RcLim	RtLim	DeltRt
							kg/cmq					kg/cmq						
35	0,00	37	-55,6	NO								1,9	0,0	-34,8	0,0	69,0	11,1	
36	0,00	38	-29,9	NO	2,7	2,4	-18,7	0,0	69,0	11,1		4,9	0,0	-19,2	0,5	69,0	11,1	
1	3,60	41	0,0	NO	0,0	23,4	-14,6	0,0	69,0	11,1	19,8	0,0	0,0	0,0	0,0	69,0	11,1	19,8
2	3,60	42	0,0	NO								0,0	11,2	-7,0	0,0	69,0	11,1	19,8
3	3,60	43	0,0	NO								0,0	14,9	-9,3	0,0	69,0	11,1	19,8
4	3,60	44	0,0	NO								0,0	14,9	-9,3	0,0	69,0	11,1	19,8
5	3,60	45	0,0	NO	0,0	0,0	0,0	0,0	69,0	11,1	19,8	0,0	14,9	-9,3	0,0	69,0	11,1	19,8
6	3,60	46	0,0	NO	0,0	23,4	-14,6	0,0	69,0	11,1	19,8							
10	3,60	50	0,0	NO	0,0	0,0	0,0	0,0	69,0	11,1	19,8							
11	3,60	51	0,0	NO	0,0	13,8	-8,6	0,0	69,0	11,1	19,8							
15	3,60	55	0,0	NO	0,0	0,0	0,0	0,0	69,0	11,1	19,8							
16	3,60	56	-10,7	NO	4,2	19,3	-13,3	0,0	69,0	11,1	19,8							
19	3,60	59	-12,9	NO								0,9	0,0	-8,1	0,0	69,0	11,1	19,8
20	3,60	60	-5,7	NO	2,2	0,0	-4,0	0,0	69,0	11,1	19,8	5,6	21,6	-11,9	0,0	69,0	11,1	19,8
21	3,60	61	-12,0	NO	3,9	15,1	-11,7	0,0	69,0	11,1	19,8							
25	3,60	65	-12,6	NO	3,1	7,6	-8,8	0,0	69,0	11,1	19,8							
26	3,60	66	-23,2	NO	1,8	0,0	-14,6	0,0	69,0	11,1	19,8	1,4	6,2	-15,1	0,0	69,0	11,1	19,8
27	3,60	67	-21,3	NO								1,7	0,0	-13,4	0,0	69,0	11,1	6,7
31	3,60	71	-13,0	NO	4,7	15,7	-12,1	0,0	69,0	11,1	19,8							
32	1,80	72	-19,1	NO	8,1	0,0	-13,8	0,0	69,0	11,1	39,9	0,8	1,3	-11,9	0,0	69,0	11,1	39,9
33	1,80	73	-25,9	NO	8,0	0,0	-17,6	0,0	69,0	11,1	39,9	14,8	0,0	-20,4	0,0	69,0	11,1	39,9
34	3,60	74	-22,6	NO								0,1	1,3	-14,2	0,0	69,0	11,1	19,8
35	3,60	75	-22,9	NO								1,0	0,0	-14,3	0,0	69,0	11,1	19,8
36	3,60	76	-11,7	NO	5,4	18,6	-12,6	0,0	69,0	11,1	19,8	2,7	0,0	-7,7	0,0	69,0	11,1	19,8
38	3,60	78	0,0	NO								0,0	0,0	0,0	0,0	69,0	11,1	19,8
32	3,60	81	-15,6	NO	16,9	0,0	-16,5	0,0	69,0	11,1	39,9	4,5	1,3	-10,1	0,0	69,0	11,1	39,9
33	3,60	82	0,0	NO								0,0	0,0	0,0	0,0	69,0	11,1	39,9
16	7,20	96	0,0	NO	0,0	8,6	-5,4	0,0	69,0	11,1	9,9	0,0	0,0	0,0	0,0	69,0	11,1	9,9
17	7,20	97	0,0	NO								0,0	5,1	-3,2	0,0	69,0	11,1	9,9
18	7,20	98	0,0	NO								0,0	7,6	-4,8	0,0	69,0	11,1	9,9
19	7,20	99	0,0	NO														
20	7,20	100	0,0	NO	0,0	0,0	0,0	0,0	69,0	11,1	9,9	0,0	14,0	-8,7	0,0	69,0	11,1	9,9
21	7,20	101	0,0	NO	0,0	8,6	-5,4	0,0	69,0	11,1	9,9							
25	7,20	105	0,0	NO	0,0	6,2	-3,9	0,0	69,0	11,1	9,9							
26	7,20	106	-23,3	NO	0,5	0,0	-14,5	0,0	69,0	11,1		13,3	7,9	-15,3	0,7	69,0	11,1	
27	7,20	107	-23,8	NO								13,1	11,1	-15,0	0,0	69,0	11,1	6,7
31	7,20	111	0,0	NO	0,0	8,6	-5,4	0,0	69,0	11,1	9,9							
32	5,40	112	-9,6	NO	18,4	4,5	-12,2	0,0	69,0	11,1	59,8	5,4	4,4	-6,1	0,0	69,0	11,1	59,8
34	7,20	114	0,0	NO								0,0	0,0	0,0	0,0	69,0	11,1	
35	7,20	115	0,0	NO								0,0	0,0	0,0	0,0	69,0	11,1	9,9
36	7,20	116	0,0	NO	0,0	11,1	-6,9	0,0	69,0	11,1	9,9	0,0	0,0	0,0	0,0	69,0	11,1	9,9
37	7,20	117	0,0	NO								0,0	11,4	-7,1	0,0	69,0	11,1	9,9
32	7,20	122	-9,2	NO	6,8	0,0	-8,0	0,0	69,0	11,1	14,9	11,1	0,0	-10,3	0,0	69,0	11,1	14,9
33	7,20	123	-0,5	NO								11,2	0,0	-7,2	0,2	69,0	11,1	6,7
26	9,80	125	0,0	NO	0,0	2,6	-1,6	0,0	69,0	11,1	9,9							
27	9,80	126	0,0	NO	0,0	2,6	-1,6	0,0	69,0	11,1	9,9							
32	9,80	127	0,0	NO	0,0	12,7	-7,9	0,0	69,0	11,1	9,9	0,0	0,0	0,0	0,0	69,0	11,1	9,9
33	9,80	128	0,0	NO	0,0	0,0	0,0	0,0	69,0	11,1	9,9	0,0	0,0	0,0	0,0	69,0	11,1	9,9

## RISULTATI VERIFICHE NODI CLS - PUSH N.ro: 13 - Prop.Massa:+Fx-0.3\*Fy+Ecc5%

IDENTIFICATIVO					DIREZIONE 'X							DIREZIONE 'Y						
Filo N.ro	Quota (m)	Nod3d Nro	Nsup (t)	Coll Nodo	TaglSup (t)	TrazAf (t)	SgmCo	SgmTr	RcLim	RtLim	DeltRt	TaglSup (t)	TrazAf (t)	SgmCo	SgmTr	RcLim	RtLim	DeltRt

## RISULTATI VERIFICHE NODI CLS - PUSH N.ro: 13 - Prop.Massa:+Fx-0.3\*Fy+Ecc5%

IDENTIFICATIVO					DIREZIONE 'X'							DIREZIONE 'Y'						
Filo N.ro	Quota (m)	Nod3d Nro	Nsup (t)	Coll Nodo	TaglSup (t)	TrazAf (t)	SgmCo	SgmTr	RcLim	RtLim	DeltRt	TaglSup (t)	TrazAf (t)	SgmCo	SgmTr	RcLim	RtLim	DeltRt
					----- kg/cmq -----							----- kg/cmq -----						
11	3,60	51	0,0	NO	0,0	0,0	0,0	0,0	69,0	11,1	19,8							
15	3,60	55	0,0	NO	0,0	10,4	-6,5	0,0	69,0	11,1	19,8							
16	3,60	56	-10,6	NO	4,9	8,3	-7,2	0,0	69,0	11,1	19,8							
19	3,60	59	-10,9	NO								0,6	6,8	-8,6	0,0	69,0	11,1	19,8
20	3,60	60	-3,5	NO	1,5	7,6	-5,1	0,0	69,0	11,1	19,8	1,7	0,0	-2,6	0,0	69,0	11,1	19,8
21	3,60	61	-11,2	NO	4,9	9,6	-8,1	0,0	69,0	11,1	19,8							
25	3,60	65	-11,3	NO	2,2	15,3	-12,4	0,0	69,0	11,1	19,8							
26	3,60	66	-14,4	NO	0,4	0,0	-9,0	0,0	69,0	11,1	19,8	0,5	7,8	-10,9	0,0	69,0	11,1	19,8
27	3,60	67	-21,9	NO								0,2	2,4	-13,8	0,0	69,0	11,1	6,7
31	3,60	71	-15,7	NO	3,5	20,0	-16,3	0,0	69,0	11,1	19,8							
32	1,80	72	-17,5	NO	5,7	1,3	-11,6	0,0	69,0	11,1	39,9	10,9	0,0	-14,2	0,0	69,0	11,1	39,9
33	1,80	73	-47,8	NO	8,2	0,0	-30,7	0,0	69,0	11,1	39,9	2,7	0,0	-30,0	0,0	69,0	11,1	39,9
34	3,60	74	-23,1	NO								1,6	13,1	-17,4	0,0	69,0	11,1	19,8
35	3,60	75	-24,9	NO								1,1	15,7	-19,8	0,0	69,0	11,1	19,8
36	3,60	76	-12,6	NO	3,6	15,7	-12,5	0,0	69,0	11,1	19,8	0,1	10,5	-11,5	0,0	69,0	11,1	19,8
38	3,60	78	0,0	NO								0,0	6,5	-4,1	0,0	69,0	11,1	19,8
32	3,60	81	-13,4	NO	13,8	2,9	-12,2	0,0	69,0	11,1	39,9	19,0	0,0	-16,8	0,0	69,0	11,1	39,9
33	3,60	82	0,0	NO								0,0	3,9	-2,5	0,0	69,0	11,1	39,9
16	7,20	96	0,0	NO	0,0	8,6	-5,4	0,0	69,0	11,1	9,9	0,0	0,0	0,0	0,0	69,0	11,1	9,9
17	7,20	97	0,0	NO								0,0	1,3	-0,8	0,0	69,0	11,1	9,9
18	7,20	98	0,0	NO								0,0	1,3	-0,8	0,0	69,0	11,1	9,9
19	7,20	99	0,0	NO														
20	7,20	100	0,0	NO	0,0	0,0	0,0	0,0	69,0	11,1	9,9	0,0	2,5	-1,6	0,0	69,0	11,1	9,9
21	7,20	101	0,0	NO	0,0	9,9	-6,2	0,0	69,0	11,1	9,9							
25	7,20	105	0,0	NO	0,0	4,9	-3,1	0,0	69,0	11,1	9,9							
26	7,20	106	-15,6	NO	11,3	0,0	-13,5	3,7	69,0	11,1		12,1	7,0	-10,7	0,9	69,0	11,1	
27	7,20	107	-24,0	NO								1,0	0,0	-15,0	0,0	69,0	11,1	6,7
31	7,20	111	0,0	NO	0,0	6,2	-3,9	0,0	69,0	11,1	9,9							
32	5,40	112	-0,8	NO	4,9	10,2	-3,6	0,0	69,0	11,1	59,8	0,5	10,7	-6,6	0,0	69,0	11,1	59,8
34	7,20	114	0,0	NO								0,0	2,5	-1,6	1,6	69,0	11,1	
35	7,20	115	0,0	NO								0,0	1,2	-0,8	0,0	69,0	11,1	9,9
36	7,20	116	0,0	NO	0,0	6,2	-3,9	0,0	69,0	11,1	9,9	0,0	0,0	0,0	0,0	69,0	11,1	9,9
37	7,20	117	0,0	NO								0,0	1,3	-0,8	0,0	69,0	11,1	9,9
32	7,20	122	3,3	NO	7,8	0,0	-3,9	0,0	69,0	11,1	14,9	11,1	0,0	-6,0	0,0	69,0	11,1	14,9
33	7,20	123	-20,4	NO								7,6	7,4	-12,8	0,0	69,0	11,1	6,7
26	9,80	125	0,0	NO	0,0	0,0	0,0	0,0	69,0	11,1	9,9							
27	9,80	126	0,0	NO	0,0	30,8	-19,3	9,4	69,0	11,1	9,9							
32	9,80	127	0,0	NO	0,0	0,0	0,0	0,0	69,0	11,1	9,9	0,0	0,0	0,0	0,0	69,0	11,1	9,9
33	9,80	128	0,0	NO	0,0	31,7	-19,8	9,9	69,0	11,1	9,9	0,0	12,7	-7,9	0,0	69,0	11,1	9,9

## RISULTATI VERIFICHE NODI CLS - PUSH N.ro: 14 - Prop.Massa:-Fx-0.3\*Fy+Ecc5%

IDENTIFICATIVO					DIREZIONE 'X'							DIREZIONE 'Y'						
Filo N.ro	Quota (m)	Nod3d Nro	Nsup (t)	Coll Nodo	TaglSup (t)	TrazAf (t)	SgmCo	SgmTr	RcLim	RtLim	DeltRt	TaglSup (t)	TrazAf (t)	SgmCo	SgmTr	RcLim	RtLim	DeltRt
					----- kg/cmq -----							----- kg/cmq -----						
1	0,00	1	-25,6	NO								2,0	0,0	-16,1	0,1	69,0	11,1	
2	0,00	2	-44,7	NO								4,6	4,2	-28,0	0,0	69,0	11,1	
3	0,00	3	-44,6	NO								6,9	6,0	-27,9	0,0	69,0	11,1	
4	0,00	4	-40,9	NO								8,2	7,8	-25,6	0,0	69,0	11,1	
5	0,00	5	-5,2	NO	9,8	0,0	-8,0	4,7	69,0	11,1		10,6	9,6	-3,4	0,1	69,0	11,1	
6	0,00	6	-34,8	NO	12,7	8,8	-22,0	0,3	69,0	11,1								
10	0,00	10	-10,7	NO	7,5	0,0	-9,1	2,4	69,0	11,1								
11	0,00	11	-19,4	NO	8,2	6,4	-12,2	0,1	69,0	11,1								
15	0,00	15	-11,0	NO	5,9	0,0	-8,5	1,6	69,0	11,1								
16	0,00	16	-28,8	NO	7,5	6,6	-18,0	0,0	69,0	11,1								
19	0,00	20	-19,6	NO								9,4	0,0	-14,6	2,4	69,0	11,1	
20	0,00	21	-11,2	NO	7,2	0,0	-9,2	2,2	69,0	11,1		11,6	8,8	-7,4	0,4	69,0	11,1	
21	0,00	22	-24,7	NO	5,3	4,8	-15,5	0,0	69,0	11,1								
25	0,00	26	-31,4	NO	2,2	0,0	-19,7	0,1	69,0	11,1								
26	0,00	27	-27,6	NO	1,5	0,0	-17,3	0,0	69,0	11,1								
27	0,00	28	-7,4	NO								0,1	0,5	-4,7	0,0	69,0	11,1	6,7
31	0,00	32	-30,8	NO	0,1	0,0	-19,3	0,0	69,0	11,1								
32	0,00	33	-21,0	NO	5,4	0,0	-14,0	0,0	69,0	11,1	39,9	3,6	0,0	-13,5	0,0	69,0	11,1	39,9
33	0,00	34	-12,9	NO								1,5	0,0	-8,2	0,0	69,0	11,1	39,9
38	0,00	35	-37,2	NO								2,3	0,0	-23,3	0,1	69,0	11,1	
34	0,00	36	-54,2	NO								3,2	0,0	-34,0	0,1	69,0	11,1	
35	0,00	37	-55,9	NO								5,7	0,0	-35,3	0,4	69,0	11,1	
36	0,00	38	-30,1	NO	2,3	2,4	-18,8	0,0	69,0	11,1		10,2	0,0	-20,8	2,0	69,0	11,1	
1	3,60	41	0,0	NO	0,0	35,8	-22,4	2,6	69,0	11,1	19,8	0,0	0,0	0,0	0,0	69,0	11,1	19,8
2	3,60	42	0,0	NO								0,0	12,4	-7,8	0,0	69,0	11,1	19,8
3	3,60	43	0,0	NO								0,0	18,7	-11,7	0,0	69,0	11,1	19,8
4	3,60	44	0,0	NO								0,0	19,9	-12,4	0,0	69,0	11,1	19,8
5	3,60	45	0,0	NO	0,0	0,0	0,0	0,0	69,0	11,1	19,8	0,0	23,6	-14,8	0,0	69,0	11,1	19,8
6	3,60	46	0,0	NO	0,0	33,0	-20,6	0,8	69,0	11,1	19,8							
10	3,60	50	0,0	NO	0,0	0,0	0,0	0,0	69,0	11,1	19,8							
11	3,60	51	0,0	NO	0,0	22,0	-13,8	0,0	69,0	11,1	19,8							
15	3,60	55	0,0	NO	0,0	0,0	0,0	0,0	69,0	11,1	19,8							
16	3,60	56	-10,0	NO	2,3	23,4	-16,6	0,0	69,0	11,1	19,8							
19	3,60	59	-11,0	NO								0,8	0,0	-6,9	0,0	69,0	11,1	19,8
20	3,60	60	-6,1	NO	0,0	0,0	-3,8	0,0	69,0	11,1	19,8	2,0	28,0	-18,3	0,0	69,0	11,1	19,8
21	3,60	61	-10,6	NO	2,6	17,9	-13,5	0,0	69,0	11,1	19,8							
25	3,60	65	-11,6	NO	4,3	4,6	-7,3	0,0	69,0	11,1	19,8							
26	3,60	66	-29,5	NO	4,5	0,0	-18,9	0,0	69,0	11,1	19,8	0,7	4,7	-18,8	0,0	69,0	11,1	19,8
27	3,60	67	-10,2	NO								0,7	0,0	-6,4	0,0	69,0	11,1	6,7

## RISULTATI VERIFICHE NODI CLS - PUSH N.ro: 14 - Prop.Massa:-Fx-0.3\*Fy+Ecc5%

IDENTIFICATIVO					DIREZIONE 'X'							DIREZIONE 'Y'						
Filo N.ro	Quota (m)	Nod3d Nro	Nsup (t)	Coll Nodo	TaglSup (t)	TrazAf (t)	SgmCo	SgmTr	RcLim	RtLim	DeltRt	TaglSup (t)	TrazAf (t)	SgmCo	SgmTr	RcLim	RtLim	DeltRt
									kg/cmq							kg/cmq		
31	3,60	71	-15,9	NO	5,5	12,9	-11,7	0,0	69,0	11,1	19,8							
32	1,80	72	-23,4	NO	0,1	0,0	-14,7	0,0	69,0	11,1	39,9	6,9	1,3	-15,4	0,0	69,0	11,1	39,9
33	1,80	73	-26,8	NO	1,2	0,0	-16,8	0,0	69,0	11,1	39,9	18,3	0,0	-22,6	0,0	69,0	11,1	39,9
34	3,60	74	-23,1	NO								1,6	0,0	-14,5	0,0	69,0	11,1	19,8
35	3,60	75	-23,9	NO								1,6	0,0	-15,0	0,0	69,0	11,1	19,8
36	3,60	76	-13,1	NO	5,3	17,1	-12,5	0,0	69,0	11,1	19,8	0,9	0,0	-8,2	0,0	69,0	11,1	19,8
38	3,60	78	0,0	NO								0,0	0,0	0,0	0,0	69,0	11,1	19,8
32	3,60	81	-19,3	NO	0,4	1,4	-12,1	0,0	69,0	11,1	39,9	7,1	3,9	-12,4	0,0	69,0	11,1	39,9
33	3,60	82	0,0	NO								0,0	0,0	0,0	0,0	69,0	11,1	39,9
16	7,20	96	0,0	NO	0,0	4,9	-3,1	0,0	69,0	11,1	9,9	0,0	1,3	-0,8	0,0	69,0	11,1	9,9
17	7,20	97	0,0	NO								0,0	3,8	-2,4	0,0	69,0	11,1	9,9
18	7,20	98	0,0	NO								0,0	5,1	-3,2	0,0	69,0	11,1	9,9
19	7,20	99	0,0	NO														
20	7,20	100	0,0	NO	0,0	0,0	0,0	0,0	69,0	11,1	9,9	0,0	6,4	-4,0	0,0	69,0	11,1	9,9
21	7,20	101	0,0	NO	0,0	6,2	-3,9	0,0	69,0	11,1	9,9							
25	7,20	105	0,0	NO	0,0	8,6	-5,4	0,0	69,0	11,1	9,9							
26	7,20	106	-26,8	NO	12,7	4,9	-18,1	1,3	69,0	11,1		8,5	5,3	-17,0	0,2	69,0	11,1	
27	7,20	107	-12,4	NO								7,3	8,6	-7,9	0,0	69,0	11,1	6,7
31	7,20	111	0,0	NO	0,0	11,1	-6,9	0,0	69,0	11,1	9,9							
32	5,40	112	-23,3	NO	13,8	0,0	-18,6	0,0	69,0	11,1	59,8	7,2	0,0	-15,9	0,0	69,0	11,1	59,8
34	7,20	114	0,0	NO								0,0	1,2	-0,8	0,8	69,0	11,1	
35	7,20	115	0,0	NO								0,0	0,0	0,0	0,0	69,0	11,1	9,9
36	7,20	116	0,0	NO	0,0	9,9	-6,2	0,0	69,0	11,1	9,9	0,0	0,0	0,0	0,0	69,0	11,1	9,9
37	7,20	117	0,0	NO								0,0	6,4	-4,0	0,0	69,0	11,1	9,9
32	7,20	122	-17,2	NO	14,6	0,0	-16,0	0,0	69,0	11,1	14,9	1,2	5,0	-11,3	0,0	69,0	11,1	14,9
33	7,20	123	-0,3	NO								1,7	0,0	-1,2	0,0	69,0	11,1	6,7
26	9,80	125	0,0	NO	0,0	30,8	-19,3	9,4	69,0	11,1	9,9							
27	9,80	126	0,0	NO	0,0	0,0	0,0	0,0	69,0	11,1	9,9							
32	9,80	127	0,0	NO	0,0	29,2	-18,3	8,4	69,0	11,1	9,9	0,0	0,0	0,0	0,0	69,0	11,1	9,9
33	9,80	128	0,0	NO	0,0	0,0	0,0	0,0	69,0	11,1	9,9	0,0	1,3	-0,8	0,0	69,0	11,1	9,9

## RISULTATI VERIFICHE NODI CLS - PUSH N.ro: 15 - Prop.Massa:+Fy-0.3\*Fx+Ecc5%

IDENTIFICATIVO					DIREZIONE 'X'							DIREZIONE 'Y'						
Filo N.ro	Quota (m)	Nod3d Nro	Nsup (t)	Coll Nodo	TaglSup (t)	TrazAf (t)	SgmCo	SgmTr	RcLim	RtLim	DeltRt	TaglSup (t)	TrazAf (t)	SgmCo	SgmTr	RcLim	RtLim	DeltRt
									kg/cmq							kg/cmq		
1	0,00	1	-18,3	NO	2,4	0,0	-11,6	0,2	69,0	11,1		1,0	0,0	-11,5	0,0	69,0	11,1	
2	0,00	2	-43,4	NO								0,5	0,0	-27,1	0,0	69,0	11,1	
3	0,00	3	-40,2	NO								2,8	0,0	-25,3	0,1	69,0	11,1	
4	0,00	4	-27,0	NO								6,0	0,0	-17,7	0,8	69,0	11,1	
5	0,00	5	-10,1	NO	8,1	8,6	-6,4	0,0	69,0	11,1		7,9	0,0	-9,0	2,7	69,0	11,1	
6	0,00	6	-28,0	NO	0,6	0,0	-17,5	0,0	69,0	11,1								
10	0,00	10	-19,0	NO	6,0	6,6	-11,9	0,0	69,0	11,1								
11	0,00	11	-15,9	NO	0,6	0,0	-9,9	0,0	69,0	11,1								
15	0,00	15	-1,8	NO	4,6	4,6	-1,1	0,0	69,0	11,1								
16	0,00	16	-25,5	NO	0,2	0,0	-16,0	0,0	69,0	11,1								
19	0,00	20	-27,4	NO								9,5	6,9	-17,3	0,2	69,0	11,1	
20	0,00	21	-12,4	NO	3,7	3,0	-7,8	0,0	69,0	11,1		8,7	0,0	-10,6	2,8	69,0	11,1	
21	0,00	22	-19,0	NO	1,0	0,6	-11,9	0,0	69,0	11,1								
25	0,00	26	-18,2	NO	2,1	2,4	-11,4	0,0	69,0	11,1								
26	0,00	27	-24,5	NO	0,9	0,6	-15,3	0,0	69,0	11,1								
27	0,00	28	-11,0	NO								2,8	1,5	-7,0	0,0	69,0	11,1	6,7
31	0,00	32	-57,2	NO	2,3	2,4	-35,8	0,0	69,0	11,1								
32	0,00	33	-21,0	NO	11,6	0,0	-16,3	0,0	69,0	11,1	39,9	7,5	0,0	-14,6	0,0	69,0	11,1	39,9
33	0,00	34	-26,7	NO								17,3	0,0	-22,0	0,0	69,0	11,1	39,9
38	0,00	35	-21,8	NO								3,7	2,9	-13,6	0,0	69,0	11,1	
34	0,00	36	-58,8	NO								6,7	5,4	-36,7	0,0	69,0	11,1	
35	0,00	37	-66,6	NO								8,7	7,4	-41,7	0,0	69,0	11,1	
36	0,00	38	-39,1	NO	0,6	0,0	-24,4	0,0	69,0	11,1		8,6	7,8	-24,4	0,0	69,0	11,1	
1	3,60	41	0,0	NO	0,0	0,0	0,0	0,0	69,0	11,1	19,8	0,0	0,0	0,0	0,0	69,0	11,1	19,8
2	3,60	42	0,0	NO								0,0	1,2	-0,8	0,0	69,0	11,1	19,8
3	3,60	43	0,0	NO								0,0	0,0	0,0	0,0	69,0	11,1	19,8
4	3,60	44	0,0	NO								0,0	0,0	0,0	0,0	69,0	11,1	19,8
5	3,60	45	0,0	NO	0,0	18,1	-11,3	0,0	69,0	11,1	19,8	0,0	0,0	0,0	0,0	69,0	11,1	19,8
6	3,60	46	0,0	NO	0,0	4,1	-2,6	0,0	69,0	11,1	19,8							
10	3,60	50	0,0	NO	0,0	14,2	-8,9	0,0	69,0	11,1	19,8							
11	3,60	51	0,0	NO	0,0	0,0	0,0	0,0	69,0	11,1	19,8							
15	3,60	55	0,0	NO	0,0	10,4	-6,5	0,0	69,0	11,1	19,8							
16	3,60	56	-10,1	NO	2,2	6,9	-7,5	0,0	69,0	11,1	19,8							
19	3,60	59	-5,9	NO								0,5	23,1	-16,1	0,0	69,0	11,1	19,8
20	3,60	60	-5,3	NO	2,7	13,7	-8,7	0,0	69,0	11,1	19,8	2,7	0,0	-4,0	0,0	69,0	11,1	19,8
21	3,60	61	-6,5	NO	3,1	9,6	-6,6	0,0	69,0	11,1	19,8							
25	3,60	65	-10,1	NO	4,0	15,3	-10,9	0,0	69,0	11,1	19,8							
26	3,60	66	-19,9	NO	1,7	0,0	-12,6	0,0	69,0	11,1	19,8	2,0	6,2	-13,0	0,0	69,0	11,1	19,8
27	3,60	67	-5,1	NO								3,8	8,7	-5,0	0,0	69,0	11,1	6,7
31	3,60	71	-20,3	NO	4,7	17,1	-16,4	0,0	69,0	11,1	19,8							
32	1,80	72	-24,4	NO	30,2	3,8	-25,8	0,0	69,0	11,1	39,9	8,3	0,0	-16,9	0,0	69,0	11,1	39,9
33	1,80	73	-41,5	NO	36,4	0,0	-39,1	0,0	69,0	11,1	39,9	32,5	0,0	-37,0	0,0	69,0	11,1	39,9
34	3,60	74	-23,1	NO								3,2	22,2	-21,1	0,0	69,0	11,1	19,8
35	3,60	75	-26,9	NO								4,1	28,8	-26,0	0,0	69,0	11,1	19,8
36	3,60	76	-14,7	NO	3,2	7,1	-9,8	0,0	69,0	11,1	19,8	4,4	27,5	-19,8	0,0	69,0	11,1	19,8
38	3,60	78	0,0	NO								0,0	11,8	-7,4	0,0	69,0	11,1	19,8
32	3,60	81	-16,6	NO	53,8	12,9	-31,3	0,0	69,0	11,1	39,9	8,2	3,9	-11,0	0,0	69,0	11,1	39,9
33	3,60	82	0,0	NO								0,0	7,8	-4,9	0,0	69,0	11,1	39,9

## RISULTATI VERIFICHE NODI CLS - PUSH N.ro: 15 - Prop.Massa:+Fy-0.3\*Fx+Ecc5%

IDENTIFICATIVO					DIREZIONE 'X'							DIREZIONE 'Y'						
Filo N.ro	Quota (m)	Nod3d Nro	Nsup (t)	Coll Nodo	TaglSup (t)	TrazAf (t)	SgmCo ----- kg/cmq -----	SgmTr	RcLim	RtLim	DeltRt	TaglSup (t)	TrazAf (t)	SgmCo ----- kg/cmq -----	SgmTr	RcLim	RtLim	DeltRt
16	7,20	96	0,0	NO	0,0	2,5	-1,5	0,0	69,0	11,1	9,9	0,0	2,5	-1,6	0,0	69,0	11,1	9,9
17	7,20	97	0,0	NO								0,0	0,0	0,0	0,0	69,0	11,1	9,9
18	7,20	98	0,0	NO								0,0	0,0	0,0	0,0	69,0	11,1	9,9
19	7,20	99	0,0	NO														
20	7,20	100	0,0	NO	0,0	5,2	-3,2	0,0	69,0	11,1	9,9	0,0	0,0	0,0	0,0	69,0	11,1	9,9
21	7,20	101	0,0	NO	0,0	6,2	-3,9	0,0	69,0	11,1	9,9							
25	7,20	105	0,0	NO	0,0	8,6	-5,4	0,0	69,0	11,1	9,9							
26	7,20	106	-13,5	NO	0,5	0,0	-8,4	0,0	69,0	11,1		7,6	10,7	-8,8	0,4	69,0	11,1	
27	7,20	107	-12,4	NO								12,6	0,0	-12,7	0,0	69,0	11,1	6,7
31	7,20	111	0,0	NO	0,0	8,6	-5,4	0,0	69,0	11,1	9,9							
32	5,40	112	-40,0	NO	32,3	0,0	-36,3	0,0	69,0	11,1	59,8	2,1	0,0	-25,1	0,0	69,0	11,1	59,8
34	7,20	114	0,0	NO								0,0	7,5	-4,7	4,7	69,0	11,1	
35	7,20	115	0,0	NO								0,0	10,0	-6,2	0,0	69,0	11,1	9,9
36	7,20	116	0,0	NO	0,0	4,9	-3,1	0,0	69,0	11,1	9,9	0,0	11,2	-7,0	0,0	69,0	11,1	9,9
37	7,20	117	0,0	NO								0,0	0,0	0,0	0,0	69,0	11,1	9,9
32	7,20	122	-19,3	NO	6,9	39,5	-27,3	0,2	69,0	11,1	14,9	13,0	10,0	-12,4	0,0	69,0	11,1	14,9
33	7,20	123	-11,5	NO								11,2	6,2	-8,3	0,0	69,0	11,1	6,7
26	9,80	125	0,0	NO	0,0	2,6	-1,6	0,0	69,0	11,1	9,9							
27	9,80	126	0,0	NO	0,0	0,0	0,0	0,0	69,0	11,1	9,9							
32	9,80	127	0,0	NO	0,0	15,2	-9,5	0,0	69,0	11,1	9,9	0,0	22,9	-14,3	4,4	69,0	11,1	9,9
33	9,80	128	0,0	NO	0,0	0,0	0,0	0,0	69,0	11,1	9,9	0,0	24,1	-15,1	5,2	69,0	11,1	9,9

## RISULTATI VERIFICHE NODI CLS - PUSH N.ro: 16 - Prop.Massa:-Fy-0.3\*Fx+Ecc5%

IDENTIFICATIVO					DIREZIONE 'X'							DIREZIONE 'Y'						
Filo N.ro	Quota (m)	Nod3d Nro	Nsup (t)	Coll Nodo	TaglSup (t)	TrazAf (t)	SgmCo ----- kg/cmq -----	SgmTr	RcLim	RtLim	DeltRt	TaglSup (t)	TrazAf (t)	SgmCo ----- kg/cmq -----	SgmTr	RcLim	RtLim	DeltRt
1	0,00	1	-26,8	NO	15,3	11,3	-17,1	0,4	69,0	11,1		1,2	0,0	-16,8	0,0	69,0	11,1	
2	0,00	2	-45,4	NO								6,4	6,0	-28,4	0,0	69,0	11,1	
3	0,00	3	-46,0	NO								9,4	9,0	-28,7	0,0	69,0	11,1	
4	0,00	4	-42,5	NO								11,6	11,4	-26,6	0,0	69,0	11,1	
5	0,00	5	-6,3	NO	10,4	0,0	-8,8	4,8	69,0	11,1		14,4	13,8	-4,0	0,0	69,0	11,1	
6	0,00	6	-35,5	NO	13,5	9,8	-22,5	0,2	69,0	11,1								
10	0,00	10	-9,8	NO	7,7	0,0	-8,7	2,6	69,0	11,1								
11	0,00	11	-19,8	NO	8,5	6,4	-12,5	0,1	69,0	11,1								
15	0,00	15	-11,7	NO	4,8	0,0	-8,4	1,1	69,0	11,1								
16	0,00	16	-28,6	NO	7,2	6,6	-17,9	0,0	69,0	11,1								
19	0,00	20	-21,3	NO								11,6	0,0	-16,5	3,2	69,0	11,1	
20	0,00	21	-9,9	NO	7,3	0,0	-8,6	2,4	69,0	11,1		13,5	10,8	-6,6	0,4	69,0	11,1	
21	0,00	22	-25,5	NO	4,7	4,2	-15,9	0,0	69,0	11,1								
25	0,00	26	-37,7	NO	1,4	0,0	-23,6	0,0	69,0	11,1								
26	0,00	27	-23,5	NO	1,2	0,6	-14,7	0,0	69,0	11,1								
27	0,00	28	-12,3	NO								0,7	0,0	-7,7	0,0	69,0	11,1	6,7
31	0,00	32	-24,2	NO	1,0	0,6	-15,1	0,0	69,0	11,1								
32	0,00	33	-18,0	NO	2,4	1,2	-11,3	0,0	69,0	11,1	39,9	1,3	0,0	-11,3	0,0	69,0	11,1	39,9
33	0,00	34	-12,1	NO								4,3	1,4	-8,0	0,0	69,0	11,1	39,9
38	0,00	35	-39,6	NO								4,3	0,0	-25,0	0,3	69,0	11,1	
34	0,00	36	-53,0	NO								5,8	0,0	-33,5	0,4	69,0	11,1	
35	0,00	37	-52,5	NO								8,9	0,0	-33,8	0,9	69,0	11,1	
36	0,00	38	-28,1	NO	4,1	3,6	-17,5	0,0	69,0	11,1		13,1	0,0	-20,8	3,2	69,0	11,1	
1	3,60	41	0,0	NO	0,0	39,9	-24,9	5,1	69,0	11,1	19,8	0,0	0,0	0,0	0,0	69,0	11,1	19,8
2	3,60	42	0,0	NO								0,0	17,4	-10,9	0,0	69,0	11,1	19,8
3	3,60	43	0,0	NO								0,0	23,6	-14,8	0,0	69,0	11,1	19,8
4	3,60	44	0,0	NO								0,0	28,6	-17,9	0,0	69,0	11,1	19,8
5	3,60	45	0,0	NO	0,0	0,0	0,0	0,0	69,0	11,1	19,8	0,0	32,3	-20,2	0,4	69,0	11,1	19,8
6	3,60	46	0,0	NO	0,0	35,8	-22,4	2,6	69,0	11,1	19,8							
10	3,60	50	0,0	NO	0,0	0,0	0,0	0,0	69,0	11,1	19,8							
11	3,60	51	0,0	NO	0,0	22,0	-13,8	0,0	69,0	11,1	19,8							
15	3,60	55	0,0	NO	0,0	0,0	0,0	0,0	69,0	11,1	19,8							
16	3,60	56	-10,1	NO	3,6	24,8	-16,8	0,0	69,0	11,1	19,8							
19	3,60	59	-12,8	NO								1,0	0,0	-8,1	0,0	69,0	11,1	19,8
20	3,60	60	-5,8	NO	1,9	0,0	-4,0	0,0	69,0	11,1	19,8	3,8	31,8	-19,4	0,0	69,0	11,1	19,8
21	3,60	61	-12,0	NO	3,4	19,3	-14,4	0,0	69,0	11,1	19,8							
25	3,60	65	-12,5	NO	3,6	4,6	-7,8	0,0	69,0	11,1	19,8							
26	3,60	66	-22,5	NO	1,9	0,0	-14,2	0,0	69,0	11,1	19,8	1,6	6,2	-14,6	0,0	69,0	11,1	19,8
27	3,60	67	-22,1	NO								1,1	0,0	-13,8	0,0	69,0	11,1	6,7
31	3,60	71	-13,3	NO	5,1	14,3	-11,3	0,0	69,0	11,1	19,8							
32	1,80	72	-21,6	NO	25,7	0,0	-24,2	0,0	69,0	11,1	39,9	5,2	1,3	-13,9	0,0	69,0	11,1	39,9
33	1,80	73	-23,0	NO	23,5	0,0	-23,5	0,0	69,0	11,1	39,9	31,0	0,0	-27,8	0,0	69,0	11,1	39,9
34	3,60	74	-23,3	NO								0,7	0,0	-14,6	0,0	69,0	11,1	19,8
35	3,60	75	-22,7	NO								0,1	0,0	-14,2	0,0	69,0	11,1	19,8
36	3,60	76	-12,1	NO	5,8	22,8	-15,1	0,0	69,0	11,1	19,8	1,1	0,0	-7,6	0,0	69,0	11,1	19,8
38	3,60	78	0,0	NO								0,0	0,0	0,0	0,0	69,0	11,1	19,8
32	3,60	81	-20,9	NO	42,4	0,0	-33,8	0,0	69,0	11,1	39,9	10,2	0,0	-15,6	0,0	69,0	11,1	39,9
33	3,60	82	0,0	NO								0,0	0,0	0,0	0,0	69,0	11,1	39,9
16	7,20	96	0,0	NO	0,0	7,4	-4,6	0,0	69,0	11,1	9,9	0,0	0,0	0,0	0,0	69,0	11,1	9,9
17	7,20	97	0,0	NO								0,0	5,1	-3,2	0,0	69,0	11,1	9,9
18	7,20	98	0,0	NO								0,0	8,9	-5,6	0,0	69,0	11,1	9,9
19	7,20	99	0,0	NO														
20	7,20	100	0,0	NO	0,0	0,0	0,0	0,0	69,0	11,1	9,9	0,0	12,7	-7,9	0,0	69,0	11,1	9,9
21	7,20	101	0,0	NO	0,0	7,4	-4,6	0,0	69,0	11,1	9,9							
25	7,20	105	0,0	NO	0,0	6,2	-3,9	0,0	69,0	11,1	9,9							
26	7,20	106	-23,4	NO	0,6	0,0	-14,7	0,0	69,0	11,1		13,3	7,9	-15,4	0,7	69,0	11,1	
27	7,20	107	-24,1	NO								13,2	13,6	-15,0	0,0	69,0	11,1	6,7

## RISULTATI VERIFICHE NODI CLS - PUSH N.ro: 16 - Prop.Massa:-Fy-0.3\*Fx+Ecc5%

IDENTIFICATIVO					DIREZIONE 'X							DIREZIONE 'Y								
Filo N.ro	Quota (m)	Nod3d Nro	Nsup (t)	Coll Nodo	TaglSup (t)	TrazAf (t)	SgmCo	SgmTr	RcLim	RtLim	DeltRt	TaglSup (t)	TrazAf (t)	SgmCo	SgmTr	RcLim	RtLim	DeltRt		
							----- kg/cmq -----													
31	7,20	111	0,0	NO	0,0	9,9	-6,2	0,0	69,0	11,1	9,9									
32	5,40	112	-5,3	NO	29,5	16,7	-9,9	0,0	69,0	11,1	59,8	7,1	7,6	-3,3	0,0	69,0	11,1	59,8		
34	7,20	114	0,0	NO								0,0	0,0	0,0	0,0	69,0	11,1			
35	7,20	115	0,0	NO								0,0	0,0	0,0	0,0	69,0	11,1	9,9		
36	7,20	116	0,0	NO	0,0	12,3	-7,7	0,0	69,0	11,1	9,9	0,0	0,0	0,0	0,0	69,0	11,1	9,9		
37	7,20	117	0,0	NO								0,0	12,7	-7,9	0,0	69,0	11,1	9,9		
32	7,20	122	-8,5	NO	7,8	0,0	-8,2	0,0	69,0	11,1	14,9	13,4	0,0	-11,4	0,0	69,0	11,1	14,9		
33	7,20	123	-0,8	NO								12,4	0,0	-8,0	0,9	69,0	11,1	6,7		
26	9,80	125	0,0	NO	0,0	0,0	0,0	0,0	69,0	11,1	9,9									
27	9,80	126	0,0	NO	0,0	2,6	-1,6	0,0	69,0	11,1	9,9									
32	9,80	127	0,0	NO	0,0	11,4	-7,1	0,0	69,0	11,1	9,9	0,0	0,0	0,0	0,0	69,0	11,1	9,9		
33	9,80	128	0,0	NO	0,0	0,0	0,0	0,0	69,0	11,1	9,9	0,0	0,0	0,0	0,0	69,0	11,1	9,9		

## RISULTATI VERIFICHE NODI CLS - PUSH N.ro: 17 - Prop.Modolo:+Fx+0.3\*Fy-Ecc5%

IDENTIFICATIVO					DIREZIONE 'X							DIREZIONE 'Y								
Filo N.ro	Quota (m)	Nod3d Nro	Nsup (t)	Coll Nodo	TaglSup (t)	TrazAf (t)	SgmCo	SgmTr	RcLim	RtLim	DeltRt	TaglSup (t)	TrazAf (t)	SgmCo	SgmTr	RcLim	RtLim	DeltRt		
							----- kg/cmq -----													
1	0,00	1	-19,9	NO	0,2	0,0	-12,4	0,0	69,0	11,1		0,4	0,0	-12,4	0,0	69,0	11,1			
2	0,00	2	-44,1	NO								1,5	1,2	-27,6	0,0	69,0	11,1			
3	0,00	3	-41,7	NO								0,3	0,0	-26,1	0,0	69,0	11,1			
4	0,00	4	-30,4	NO								1,8	0,0	-19,1	0,1	69,0	11,1			
5	0,00	5	-10,1	NO	4,9	5,3	-6,3	0,0	69,0	11,1		2,7	0,0	-6,8	0,4	69,0	11,1			
6	0,00	6	-29,2	NO	2,2	0,5	-18,3	0,1	69,0	11,1										
10	0,00	10	-18,1	NO	4,0	4,6	-11,4	0,0	69,0	11,1										
11	0,00	11	-16,3	NO	0,3	0,0	-10,2	0,0	69,0	11,1										
15	0,00	15	-6,8	NO	3,3	4,0	-4,3	0,0	69,0	11,1										
16	0,00	16	-25,5	NO	0,5	0,0	-15,9	0,0	69,0	11,1										
19	0,00	20	-24,4	NO								3,6	2,5	-15,3	0,0	69,0	11,1			
20	0,00	21	-12,0	NO	2,6	2,4	-7,5	0,0	69,0	11,1		4,8	0,0	-8,6	1,0	69,0	11,1			
21	0,00	22	-19,1	NO	0,8	0,6	-11,9	0,0	69,0	11,1										
25	0,00	26	-23,7	NO	2,4	2,4	-14,8	0,0	69,0	11,1										
26	0,00	27	-18,5	NO	0,3	1,2	-11,6	0,0	69,0	11,1										
27	0,00	28	-19,1	NO								1,2	1,0	-11,9	0,0	69,0	11,1	6,7		
31	0,00	32	-49,7	NO	3,1	3,0	-31,1	0,0	69,0	11,1										
32	0,00	33	-16,0	NO	0,2	1,2	-10,0	0,0	69,0	11,1	39,9	2,8	0,0	-10,3	0,0	69,0	11,1	39,9		
33	0,00	34	-28,4	NO								11,5	0,0	-20,3	0,0	69,0	11,1	39,9		
38	0,00	35	-28,5	NO								1,2	1,5	-17,8	0,0	69,0	11,1			
34	0,00	36	-57,6	NO								3,5	2,9	-36,0	0,0	69,0	11,1			
35	0,00	37	-63,0	NO								4,6	3,9	-39,4	0,0	69,0	11,1			
36	0,00	38	-36,5	NO	1,4	1,8	-22,8	0,0	69,0	11,1		3,5	3,9	-22,8	0,0	69,0	11,1			
1	3,60	41	0,0	NO	0,0	2,8	-1,7	0,0	69,0	11,1	19,8	0,0	0,0	0,0	0,0	69,0	11,1	19,8		
2	3,60	42	0,0	NO								0,0	6,2	-3,9	0,0	69,0	11,1	19,8		
3	3,60	43	0,0	NO								0,0	3,7	-2,3	0,0	69,0	11,1	19,8		
4	3,60	44	0,0	NO								0,0	0,0	0,0	0,0	69,0	11,1	19,8		
5	3,60	45	0,0	NO	0,0	11,6	-7,3	0,0	69,0	11,1	19,8	0,0	0,0	0,0	0,0	69,0	11,1	19,8		
6	3,60	46	0,0	NO	0,0	8,3	-5,2	0,0	69,0	11,1	19,8									
10	3,60	50	0,0	NO	0,0	9,1	-5,7	0,0	69,0	11,1	19,8									
11	3,60	51	0,0	NO	0,0	2,8	-1,7	0,0	69,0	11,1	19,8									
15	3,60	55	0,0	NO	0,0	7,8	-4,9	0,0	69,0	11,1	19,8									
16	3,60	56	-10,1	NO	3,0	9,6	-8,4	0,0	69,0	11,1	19,8									
19	3,60	59	-8,6	NO								0,1	8,1	-8,4	0,0	69,0	11,1	19,8		
20	3,60	60	-4,8	NO	1,0	7,6	-5,9	0,0	69,0	11,1	19,8	1,0	0,0	-3,1	0,0	69,0	11,1	19,8		
21	3,60	61	-7,7	NO	3,6	9,6	-6,9	0,0	69,0	11,1	19,8									
25	3,60	65	-10,9	NO	3,5	15,3	-11,5	0,0	69,0	11,1	19,8									
26	3,60	66	-10,0	NO	0,6	0,0	-6,3	0,0	69,0	11,1	19,8	0,8	7,8	-8,5	0,0	69,0	11,1	19,8		
27	3,60	67	-22,2	NO								1,0	3,9	-14,1	0,0	69,0	11,1	6,7		
31	3,60	71	-18,2	NO	4,6	18,6	-16,1	0,0	69,0	11,1	19,8									
32	1,80	72	-18,0	NO	5,4	3,2	-11,4	0,0	69,0	11,1	39,9	1,2	0,0	-11,3	0,0	69,0	11,1	39,9		
33	1,80	73	-45,2	NO	5,3	0,0	-28,6	0,0	69,0	11,1	39,9	11,8	0,0	-30,1	0,0	69,0	11,1	39,9		
34	3,60	74	-23,5	NO								2,5	14,4	-17,8	0,0	69,0	11,1	19,8		
35	3,60	75	-25,7	NO								2,8	17,0	-20,0	0,0	69,0	11,1	19,8		
36	3,60	76	-13,9	NO	3,9	12,9	-11,4	0,0	69,0	11,1	19,8	2,4	13,1	-12,3	0,0	69,0	11,1	19,8		
38	3,60	78	0,0	NO								0,0	6,5	-4,1	0,0	69,0	11,1	19,8		
32	3,60	81	-12,5	NO	5,2	5,7	-7,8	0,0	69,0	11,1	39,9	5,0	1,3	-8,4	0,0	69,0	11,1	39,9		
33	3,60	82	0,0	NO								0,0	6,5	-4,1	0,0	69,0	11,1	39,9		
16	7,20	96	0,0	NO	0,0	4,9	-3,1	0,0	69,0	11,1	9,9	0,0	1,3	-0,8	0,0	69,0	11,1	9,9		
17	7,20	97	0,0	NO								0,0	0,0	0,0	0,0	69,0	11,1	9,9		
18	7,20	98	0,0	NO								0,0	0,0	0,0	0,0	69,0	11,1	9,9		
19	7,20	99	0,0	NO																
20	7,20	100	0,0	NO	0,0	2,1	-1,3	0,0	69,0	11,1	9,9	0,0	0,0	0,0	0,0	69,0	11,1	9,9		
21	7,20	101	0,0	NO	0,0	7,4	-4,6	0,0	69,0	11,1	9,9									
25	7,20	105	0,0	NO	0,0	7,4	-4,6	0,0	69,0	11,1	9,9									
26	7,20	106	-6,4	NO	12,4	0,0	-10,0	6,0	69,0	11,1		3,6	7,7	-5,2	1,2	69,0	11,1			
27	7,20	107	-25,4	NO								1,8	0,0	-15,9	0,0	69,0	11,1	6,7		
31	7,20	111	0,0	NO	0,0	8,6	-5,4	0,0	69,0	11,1	9,9									
32	5,40	112	-12,3	NO	14,4	1,3	-12,9	0,0	69,0	11,1	59,8	2,2	3,2	-7,7	0,0	69,0	11,1	59,8		
34	7,20	114	0,0	NO								0,0	5,0	-3,1	3,1	69,0	11,1			
35	7,20	115	0,0	NO								0,0	5,0	-3,1	0,0	69,0	11,1	9,9		
36	7,20	116	0,0	NO	0,0	7,4	-4,6	0,0	69,0	11,1	9,9	0,0	6,2	-3,9	0,0	69,0	11,1	9,9		
37	7,20	117	0,0	NO								0,0	0,0	0,0	0,0	69,0	11,1	9,9		
32	7,20	122	-3,5	NO	12,8	6,2	-5,4	0,0	69,0	11,1	14,9	6,4	3,7	-3,1	0,0	69,0	11,1	14,9		
33	7,20	123	-21,5	NO								4,7	6,2	-13,5	0,0	69,0	11,1	6,7		
26	9,80	125	0,0	NO	0,0	0,0	0,0	0,0	69,0	11,1	9,9									

## RISULTATI VERIFICHE NODI CLS - PUSH N.ro: 17 - Prop.Modolo: +Fx+0.3\*Fy-Ecc5%

IDENTIFICATIVO					DIREZIONE 'X'						DIREZIONE 'Y'							
Filo N.ro	Quota (m)	Nod3d Nro	Nsup (t)	Coll Nodo	TaglSup (t)	TrazAf (t)	SgmCo	SgmTr	RcLim	RtLim	DeltRt	TaglSup (t)	TrazAf (t)	SgmCo	SgmTr	RcLim	RtLim	DeltRt
27	9,80	126	0,0	NO	0,0	30,8	-19,3	9,4	69,0	11,1	9,9							
32	9,80	127	0,0	NO	0,0	0,0	0,0	0,0	69,0	11,1	9,9	0,0	11,4	-7,1	0,0	69,0	11,1	9,9
33	9,80	128	0,0	NO	0,0	31,7	-19,8	9,9	69,0	11,1	9,9	0,0	10,2	-6,3	0,0	69,0	11,1	9,9

## RISULTATI VERIFICHE NODI CLS - PUSH N.ro: 18 - Prop.Modolo: -Fx+0.3\*Fy-Ecc5%

IDENTIFICATIVO					DIREZIONE 'X'							DIREZIONE 'Y'						
Filo N.ro	Quota (m)	Nod3d Nro	Nsup (t)	Coll Nodo	TaglSup (t)	TrazAf (t)	SgmCo	SgmTr	RcLim	RtLim	DeltRt	TaglSup (t)	TrazAf (t)	SgmCo	SgmTr	RcLim	RtLim	DeltRt
1	0,00	1	-22,5	NO	6,6	4,4	-14,2	0,1	69,0	11,1		1,4	0,0	-14,1	0,1	69,0	11,1	
2	0,00	2	-44,3	NO								2,7	2,4	-27,7	0,0	69,0	11,1	
3	0,00	3	-43,0	NO								3,1	2,4	-26,9	0,0	69,0	11,1	
4	0,00	4	-35,2	NO								2,5	2,4	-22,0	0,0	69,0	11,1	
5	0,00	5	-7,7	NO	2,0	0,0	-5,1	0,3	69,0	11,1		3,2	3,0	-4,8	0,0	69,0	11,1	
6	0,00	6	-31,8	NO	7,2	4,4	-20,0	0,2	69,0	11,1								
10	0,00	10	-14,5	NO	1,5	0,0	-9,2	0,1	69,0	11,1								
11	0,00	11	-17,8	NO	4,0	2,9	-11,2	0,0	69,0	11,1								
15	0,00	15	-10,6	NO	1,2	0,0	-6,7	0,1	69,0	11,1								
16	0,00	16	-27,7	NO	3,7	3,0	-17,3	0,0	69,0	11,1								
19	0,00	20	-21,2	NO								3,4	0,0	-13,6	0,3	69,0	11,1	
20	0,00	21	-10,8	NO	1,9	0,0	-7,0	0,2	69,0	11,1		2,5	2,0	-6,8	0,0	69,0	11,1	
21	0,00	22	-21,9	NO	2,7	2,4	-13,7	0,0	69,0	11,1								
25	0,00	26	-26,9	NO	0,3	0,6	-16,8	0,0	69,0	11,1								
26	0,00	27	-27,8	NO	1,2	0,0	-17,4	0,0	69,0	11,1								
27	0,00	28	-8,6	NO								1,0	1,0	-5,4	0,0	69,0	11,1	6,7
31	0,00	32	-40,2	NO	1,6	1,2	-25,1	0,0	69,0	11,1								
32	0,00	33	-22,5	NO	8,4	0,0	-15,8	0,0	69,0	11,1	39,9	6,0	0,0	-15,0	0,0	69,0	11,1	39,9
33	0,00	34	-20,6	NO								7,7	0,0	-14,5	0,0	69,0	11,1	39,9
38	0,00	35	-27,5	NO								0,0	0,5	-17,2	0,0	69,0	11,1	
34	0,00	36	-55,7	NO								0,8	0,5	-34,8	0,0	69,0	11,1	
35	0,00	37	-59,6	NO								0,2	0,5	-37,2	0,0	69,0	11,1	
36	0,00	38	-33,1	NO	1,8	1,8	-20,7	0,0	69,0	11,1		2,4	0,0	-20,8	0,1	69,0	11,1	
1	3,60	41	0,0	NO	0,0	17,9	-11,2	0,0	69,0	11,1	19,8	0,0	0,0	0,0	0,0	69,0	11,1	19,8
2	3,60	42	0,0	NO								0,0	8,7	-5,4	0,0	69,0	11,1	19,8
3	3,60	43	0,0	NO								0,0	10,0	-6,2	0,0	69,0	11,1	19,8
4	3,60	44	0,0	NO								0,0	7,5	-4,7	0,0	69,0	11,1	19,8
5	3,60	45	0,0	NO	0,0	0,0	0,0	0,0	69,0	11,1	19,8	0,0	7,5	-4,7	0,0	69,0	11,1	19,8
6	3,60	46	0,0	NO	0,0	20,6	-12,9	0,0	69,0	11,1	19,8							
10	3,60	50	0,0	NO	0,0	0,0	0,0	0,0	69,0	11,1	19,8							
11	3,60	51	0,0	NO	0,0	11,0	-6,9	0,0	69,0	11,1	19,8							
15	3,60	55	0,0	NO	0,0	0,0	0,0	0,0	69,0	11,1	19,8							
16	3,60	56	-10,4	NO	3,2	16,5	-12,2	0,0	69,0	11,1	19,8							
19	3,60	59	-10,2	NO								0,2	0,0	-6,4	0,0	69,0	11,1	19,8
20	3,60	60	-5,0	NO	0,1	0,0	-3,1	0,0	69,0	11,1	19,8	0,9	6,4	-5,3	0,0	69,0	11,1	19,8
21	3,60	61	-8,6	NO	3,4	13,8	-9,7	0,0	69,0	11,1	19,8							
25	3,60	65	-11,1	NO	3,5	9,2	-8,4	0,0	69,0	11,1	19,8							
26	3,60	66	-25,9	NO	4,3	0,0	-16,6	0,0	69,0	11,1	19,8	1,0	6,2	-16,8	0,0	69,0	11,1	19,8
27	3,60	67	-9,0	NO								0,0	2,4	-6,0	0,0	69,0	11,1	6,7
31	3,60	71	-16,5	NO	4,6	14,3	-13,1	0,0	69,0	11,1	19,8							
32	1,80	72	-30,0	NO	4,1	0,0	-19,1	0,0	69,0	11,1	39,9	5,6	0,0	-19,4	0,0	69,0	11,1	39,9
33	1,80	73	-32,9	NO	4,3	0,0	-20,9	0,0	69,0	11,1	39,9	2,0	0,0	-20,7	0,0	69,0	11,1	39,9
34	3,60	74	-22,9	NO								1,8	7,8	-15,3	0,0	69,0	11,1	19,8
35	3,60	75	-24,8	NO								1,9	6,5	-16,0	0,0	69,0	11,1	19,8
36	3,60	76	-13,1	NO	4,2	14,3	-11,6	0,0	69,0	11,1	19,8	1,2	0,0	-8,3	0,0	69,0	11,1	19,8
38	3,60	78	0,0	NO								0,0	3,9	-2,5	0,0	69,0	11,1	19,8
32	3,60	81	-25,9	NO	10,6	1,4	-18,0	0,0	69,0	11,1	39,9	5,3	2,6	-16,3	0,0	69,0	11,1	39,9
33	3,60	82	0,0	NO								0,0	3,9	-2,5	0,0	69,0	11,1	39,9
16	7,20	96	0,0	NO	0,0	6,2	-3,9	0,0	69,0	11,1	9,9	0,0	1,3	-0,8	0,0	69,0	11,1	9,9
17	7,20	97	0,0	NO								0,0	1,3	-0,8	0,0	69,0	11,1	9,9
18	7,20	98	0,0	NO								0,0	1,3	-0,8	0,0	69,0	11,1	9,9
19	7,20	99	0,0	NO														
20	7,20	100	0,0	NO	0,0	0,0	0,0	0,0	69,0	11,1	9,9	0,0	2,5	-1,6	0,0	69,0	11,1	9,9
21	7,20	101	0,0	NO	0,0	7,4	-4,6	0,0	69,0	11,1	9,9							
25	7,20	105	0,0	NO	0,0	6,2	-3,9	0,0	69,0	11,1	9,9							
26	7,20	106	-19,6	NO	12,5	4,9	-13,8	1,6	69,0	11,1		10,0	6,1	-12,7	0,5	69,0	11,1	
27	7,20	107	-12,4	NO								6,0	3,7	-8,0	0,0	69,0	11,1	6,7
31	7,20	111	0,0	NO	0,0	8,6	-5,4	0,0	69,0	11,1	9,9							
32	5,40	112	-35,4	NO	0,1	0,0	-22,1	0,0	69,0	11,1	59,8	1,8	0,0	-22,2	0,0	69,0	11,1	59,8
34	7,20	114	0,0	NO								0,0	2,5	-1,6	1,6	69,0	11,1	
35	7,20	115	0,0	NO								0,0	2,5	-1,6	0,0	69,0	11,1	9,9
36	7,20	116	0,0	NO	0,0	7,4	-4,6	0,0	69,0	11,1	9,9	0,0	1,2	-0,8	0,0	69,0	11,1	9,9
37	7,20	117	0,0	NO								0,0	2,5	-1,6	0,0	69,0	11,1	9,9
32	7,20	122	-23,9	NO	9,6	8,6	-15,0	0,0	69,0	11,1	14,9	14,4	10,0	-15,5	0,0	69,0	11,1	14,9
33	7,20	123	-0,9	NO								4,0	1,2	-2,0	0,0	69,0	11,1	6,7
26	9,80	125	0,0	NO	0,0	30,8	-19,3	9,4	69,0	11,1	9,9							
27	9,80	126	0,0	NO	0,0	0,0	0,0	0,0	69,0	11,1	9,9							
32	9,80	127	0,0	NO	0,0	17,8	-11,1	1,2	69,0	11,1	9,9	0,0	26,7	-16,7	6,8	69,0	11,1	9,9
33	9,80	128	0,0	NO	0,0	0,0	0,0	0,0	69,0	11,1	9,9	0,0	0,0	0,0	0,0	69,0	11,1	9,9

## RISULTATI VERIFICHE NODI CLS - PUSH N.ro: 19 - Prop.Modolo: +Fy+0.3\*Fx-Ecc5%

IDENTIFICATIVO					DIREZIONE 'X'						DIREZIONE 'Y'							
Filo N.ro	Quota (m)	Nod3d Nro	Nsup (t)	Coil Nodo	TaglSup (t)	TrazAf (t)	SgmCo	SgmTr	RcLim	RtLim	DeltRt	TaglSup (t)	TrazAf (t)	SgmCo	SgmTr	RcLim	RtLim	DeltRt
									----- kg/cmq -----							----- kg/cmq -----		
1	0,00	1	-19,3	NO	0,5	0,0	-12,1	0,0	69,0	11,1		0,7	0,0	-12,1	0,0	69,0	11,1	

SOFTWARE: C.D.S. - Full - Rel.2018

## RISULTATI VERIFICHE NODI CLS - PUSH N.ro: 19 - Prop.Modolo: +Fy+0.3\*Fx-Ecc5%

IDENTIFICATIVO					DIREZIONE 'X'							DIREZIONE 'Y'								
Filo N.ro	Quota (m)	Nod3d Nro	Nsup (t)	Coll Nodo	TaglSup (t)	TrazAf (t)	SgmCo	SgmTr	RcLim	RtLim	DeltRt	TaglSup (t)	TrazAf (t)	SgmCo	SgmTr	RcLim	RtLim	DeltRt		
							----- kg/cmq -----							----- kg/cmq -----						
2	0,00	2	-43,8	NO								0,8	0,6	-27,4	0,0	69,0	11,1			
3	0,00	3	-41,1	NO								0,7	0,0	-25,7	0,0	69,0	11,1			
4	0,00	4	-29,2	NO								3,2	0,0	-18,5	0,2	69,0	11,1			
5	0,00	5	-10,1	NO	5,9	6,6	-6,3	0,0	69,0	11,1		4,5	0,0	-7,4	1,1	69,0	11,1			
6	0,00	6	-28,8	NO	1,8	0,5	-18,0	0,0	69,0	11,1										
10	0,00	10	-18,4	NO	4,6	5,3	-11,5	0,0	69,0	11,1										
11	0,00	11	-16,0	NO	0,0	0,0	-10,0	0,0	69,0	11,1										
15	0,00	15	-4,0	NO	3,7	4,0	-2,5	0,0	69,0	11,1										
16	0,00	16	-25,3	NO	0,6	0,0	-15,8	0,0	69,0	11,1										
19	0,00	20	-24,7	NO								5,6	3,9	-15,5	0,1	69,0	11,1			
20	0,00	21	-11,0	NO	3,0	3,0	-6,9	0,0	69,0	11,1		5,9	0,0	-8,5	1,6	69,0	11,1			
21	0,00	22	-18,3	NO	0,9	0,6	-11,4	0,0	69,0	11,1										
25	0,00	26	-20,1	NO	2,2	2,4	-12,6	0,0	69,0	11,1										
26	0,00	27	-23,6	NO	0,8	0,6	-14,8	0,0	69,0	11,1										
27	0,00	28	-9,3	NO								2,3	1,5	-5,9	0,0	69,0	11,1	6,7		
31	0,00	32	-55,7	NO	2,7	3,0	-34,8	0,0	69,0	11,1										
32	0,00	33	-19,4	NO	6,6	0,0	-13,4	0,0	69,0	11,1	39,9	6,3	0,0	-13,3	0,0	69,0	11,1	39,9		
33	0,00	34	-32,0	NO								14,9	0,0	-23,7	0,0	69,0	11,1	39,9		
38	0,00	35	-20,1	NO								2,0	2,0	-12,6	0,0	69,0	11,1			
34	0,00	36	-58,5	NO								4,4	3,4	-36,6	0,0	69,0	11,1			
35	0,00	37	-65,6	NO								5,5	4,9	-41,0	0,0	69,0	11,1			
36	0,00	38	-38,5	NO	0,8	1,2	-24,1	0,0	69,0	11,1		4,6	4,9	-24,1	0,0	69,0	11,1			
1	3,60	41	0,0	NO	0,0	0,0	0,0	0,0	69,0	11,1	19,8	0,0	0,0	0,0	0,0	69,0	11,1	19,8		
2	3,60	42	0,0	NO								0,0	5,0	-3,1	0,0	69,0	11,1	19,8		
3	3,60	43	0,0	NO								0,0	1,2	-0,8	0,0	69,0	11,1	19,8		
4	3,60	44	0,0	NO								0,0	0,0	0,0	0,0	69,0	11,1	19,8		
5	3,60	45	0,0	NO	0,0	12,9	-8,1	0,0	69,0	11,1	19,8	0,0	0,0	0,0	0,0	69,0	11,1	19,8		
6	3,60	46	0,0	NO	0,0	6,9	-4,3	0,0	69,0	11,1	19,8									
10	3,60	50	0,0	NO	0,0	10,4	-6,5	0,0	69,0	11,1	19,8									
11	3,60	51	0,0	NO	0,0	1,4	-0,9	0,0	69,0	11,1	19,8									
15	3,60	55	0,0	NO	0,0	7,8	-4,9	0,0	69,0	11,1	19,8									
16	3,60	56	-9,9	NO	2,2	8,3	-8,0	0,0	69,0	11,1	19,8									
19	3,60	59	-6,7	NO								0,9	16,3	-11,9	0,0	69,0	11,1	19,8		
20	3,60	60	-4,2	NO	2,4	12,2	-7,6	0,0	69,0	11,1	19,8	4,4	0,0	-4,4	0,0	69,0	11,1	19,8		
21	3,60	61	-6,1	NO	3,2	9,6	-6,4	0,0	69,0	11,1	19,8									
25	3,60	65	-9,8	NO	3,8	15,3	-10,8	0,0	69,0	11,1	19,8									
26	3,60	66	-16,9	NO	1,4	0,0	-10,6	0,0	69,0	11,1	19,8									
27	3,60	67	-5,2	NO								2,2	6,3	-11,1	0,0	69,0	11,1	19,8		
31	3,60	71	-20,7	NO	4,5	17,1	-16,6	0,0	69,0	11,1	19,8	3,6	7,9	-4,8	0,0	69,0	11,1	6,7		
32	1,80	72	-25,4	NO	14,6	1,9	-19,1	0,0	69,0	11,1	39,9									
33	1,80	73	-48,7	NO	14,7	0,0	-33,0	0,0	69,0	11,1	39,9	20,3	0,0	-35,0	0,0	69,0	11,1	39,9		
34	3,60	74	-23,6	NO								4,0	19,6	-19,6	0,0	69,0	11,1	19,8		
35	3,60	75	-27,1	NO								4,9	23,5	-22,9	0,0	69,0	11,1	19,8		
36	3,60	76	-15,0	NO	3,0	10,0	-11,1	0,0	69,0	11,1	19,8	5,3	20,9	-15,5	0,0	69,0	11,1	19,8		
38	3,60	78	0,0	NO								0,0	9,2	-5,7	0,0	69,0	11,1	19,8		
32	3,60	81	-19,5	NO	26,4	5,7	-20,4	0,0	69,0	11,1	39,9	2,0	2,6	-12,2	0,0	69,0	11,1	39,9		
33	3,60	82	0,0	NO								0,0	7,8	-4,9	0,0	69,0	11,1	39,9		
16	7,20	96	0,0	NO	0,0	2,5	-1,5	0,0	69,0	11,1	9,9	0,0	1,3	-0,8	0,0	69,0	11,1	9,9		
17	7,20	97	0,0	NO								0,0	0,0	0,0	0,0	69,0	11,1	9,9		
18	7,20	98	0,0	NO								0,0	0,0	0,0	0,0	69,0	11,1	9,9		
19	7,20	99	0,0	NO																
20	7,20	100	0,0	NO	0,0	4,2	-2,6	0,0	69,0	11,1	9,9	0,0	0,0	0,0	0,0	69,0	11,1	9,9		
21	7,20	101	0,0	NO	0,0	6,2	-3,9	0,0	69,0	11,1	9,9									
25	7,20	105	0,0	NO	0,0	7,4	-4,6	0,0	69,0	11,1	9,9									
26	7,20	106	-10,8	NO	0,4	0,0	-6,8	0,0	69,0	11,1		13,9	12,3	-6,9	0,2	69,0	11,1			
27	7,20	107	-12,1	NO								14,1	0,0	-13,4	0,0	69,0	11,1	6,7		
31	7,20	111	0,0	NO	0,0	8,6	-5,4	0,0	69,0	11,1	9,9									
32	5,40	112	-29,4	NO	25,8	0,0	-27,7	0,0	69,0	11,1	59,8	3,2	0,0	-18,6	0,0	69,0	11,1	59,8		
34	7,20	114	0,0	NO								0,0	8,7	-5,4	5,4	69,0	11,1			
35	7,20	115	0,0	NO								0,0	11,2	-7,0	0,0	69,0	11,1	9,9		
36	7,20	116	0,0	NO	0,0	4,9	-3,1	0,0	69,0	11,1	9,9	0,0	12,4	-7,8	0,0	69,0	11,1	9,9		
37	7,20	117	0,0	NO								0,0	0,0	0,0	0,0	69,0	11,1	9,9		
32	7,20	122	-12,8	NO	4,2	24,7	-17,4	0,0	69,0	11,1	14,9	14,0	8,7	-9,2	0,0	69,0	11,1	14,9		
33	7,20	123	-21,1	NO								13,1	6,2	-14,5	0,0	69,0	11,1	6,7		
26	9,80	125	0,0	NO	0,0	0,0	0,0	0,0	69,0	11,1	9,9									
27	9,80	126	0,0	NO	0,0	5,1	-3,2	0,0	69,0	11,1	9,9									
32	9,80	127	0,0	NO	0,0	0,0	0,0	0,0	69,0	11,1	9,9	0,0	25,4	-15,9	6,0	69,0	11,1	9,9		
33	9,80	128	0,0	NO	0,0	16,5	-10,3	0,4	69,0	11,1	9,9	0,0	26,7	-16,7	6,8	69,0	11,1	9,9		

## RISULTATI VERIFICHE NODI CLS - PUSH N.ro: 20 - Prop.Modolo: -Fy+0.3\*Fx-Ecc5%

IDENTIFICATIVO					DIREZIONE 'X'							DIREZIONE 'Y'								
Filo N.ro	Quota (m)	Nod3d Nro	Nsup (t)	Coll Nodo	TaglSup (t)	TrazAf (t)	SgmCo	SgmTr	RcLim	RtLim	DeltRt	TaglSup (t)	TrazAf (t)	SgmCo	SgmTr	RcLim	RtLim	DeltRt		
							----- kg/cmq -----							----- kg/cmq -----						
1	0,00	1	-23,6	NO	8,1	5,9	-14,9	0,1	69,0	11,1		0,9	0,0	-14,8	0,0	69,0	11,1			
2	0,00	2	-44,8	NO								3,9	3,6	-28,0	0,0	69,0	11,1			
3	0,00	3	-44,1	NO								5,0	4,2	-27,6	0,0	69,0	11,1			
4	0,00	4	-37,4	NO								5,0	4,8	-23,4	0,0	69,0	11,1			
5	0,00	5	-7,7	NO	3,9	0,0	-5,8	1,0	69,0	11,1		6,4	6,0	-4,8	0,0	69,0	11,1			
6	0,00	6	-32,6	NO	8,1	5,4	-20,5	0,1	69,0	11,1										
10	0,00	10	-14,0	NO	2,7	0,0	-9,1	0,3	69,0	11,1										
11	0,00	11	-18,4	NO	4,5	3,4	-11,6	0,0	69,0	11,1										
15	0,00	15	-13,9	NO	1,9	0,0	-8,8	0,2	69,0	11,1										
16	0,00	16	-28,0	NO	3,7	3,6	-17,5	0,0	69,0	11,1										

RISULTATI VERIFICHE NODI CLS - PUSH N.ro: 20 - Prop.Modolo:-Fy+0.3\*F<sub>x</sub>-Ecc5%

IDENTIFICATIVO					DIREZIONE 'X'							DIREZIONE 'Y'						
Filo N.ro	Quota (m)	Nod3d Nro	Nsup (t)	Coll Nodo	TaglSup (t)	TrazAf (t)	SgmCo ----- kg/cmq -----	SgmTr	RcLim	RtLim	DeltRt	TaglSup (t)	TrazAf (t)	SgmCo ----- kg/cmq -----	SgmTr	RcLim	RtLim	DeltRt
19	0,00	20	-21,9	NO								5,9	0,0	-14,6	0,9	69,0	11,1	
20	0,00	21	-12,9	NO	2,7	0,0	-8,4	0,3	69,0	11,1		4,8	3,9	-8,1	0,0	69,0	11,1	
21	0,00	22	-24,9	NO	2,6	2,4	-15,6	0,0	69,0	11,1								
25	0,00	26	-32,9	NO	0,6	0,6	-20,6	0,0	69,0	11,1								
26	0,00	27	-22,1	NO	0,9	0,6	-13,8	0,0	69,0	11,1								
27	0,00	28	-13,1	NO								0,2	0,5	-8,2	0,0	69,0	11,1	6,7
31	0,00	32	-29,8	NO	2,1	1,8	-18,6	0,0	69,0	11,1								
32	0,00	33	-15,7	NO	3,3	1,8	-9,9	0,0	69,0	11,1	39,9	1,6	0,5	-9,8	0,0	69,0	11,1	39,9
33	0,00	34	-12,8	NO								2,1	0,0	-8,2	0,0	69,0	11,1	39,9
38	0,00	35	-43,1	NO								1,4	0,0	-27,0	0,0	69,0	11,1	
34	0,00	36	-54,2	NO								0,7	0,0	-33,9	0,0	69,0	11,1	
35	0,00	37	-54,9	NO								1,5	0,0	-34,4	0,0	69,0	11,1	
36	0,00	38	-29,6	NO	2,8	3,0	-18,5	0,0	69,0	11,1		4,4	0,0	-18,9	0,4	69,0	11,1	
1	3,60	41	0,0	NO	0,0	22,0	-13,8	0,0	69,0	11,1	19,8	0,0	0,0	0,0	0,0	69,0	11,1	19,8
2	3,60	42	0,0	NO								0,0	12,4	-7,8	0,0	69,0	11,1	19,8
3	3,60	43	0,0	NO								0,0	14,9	-9,3	0,0	69,0	11,1	19,8
4	3,60	44	0,0	NO								0,0	14,9	-9,3	0,0	69,0	11,1	19,8
5	3,60	45	0,0	NO	0,0	0,0	0,0	0,0	69,0	11,1	19,8	0,0	14,9	-9,3	0,0	69,0	11,1	19,8
6	3,60	46	0,0	NO	0,0	23,4	-14,6	0,0	69,0	11,1	19,8							
10	3,60	50	0,0	NO	0,0	0,0	0,0	0,0	69,0	11,1	19,8							
11	3,60	51	0,0	NO	0,0	12,4	-7,7	0,0	69,0	11,1	19,8							
15	3,60	55	0,0	NO	0,0	0,0	0,0	0,0	69,0	11,1	19,8							
16	3,60	56	-10,7	NO	4,5	19,3	-13,2	0,0	69,0	11,1	19,8							
19	3,60	59	-13,4	NO								1,2	0,0	-8,4	0,0	69,0	11,1	19,8
20	3,60	60	-6,1	NO	2,6	0,0	-4,4	0,0	69,0	11,1	19,8	6,9	21,6	-11,3	0,0	69,0	11,1	19,8
21	3,60	61	-12,2	NO	3,9	15,1	-11,8	0,0	69,0	11,1	19,8							
25	3,60	65	-13,1	NO	3,1	9,2	-9,7	0,0	69,0	11,1	19,8							
26	3,60	66	-21,8	NO	1,5	0,0	-13,7	0,0	69,0	11,1	19,8	1,8	6,2	-14,2	0,0	69,0	11,1	19,8
27	3,60	67	-21,6	NO								1,6	0,0	-13,6	0,0	69,0	11,1	6,7
31	3,60	71	-12,2	NO	4,8	15,7	-11,6	0,0	69,0	11,1	19,8							
32	1,80	72	-13,2	NO	11,5	0,6	-12,1	0,0	69,0	11,1	39,9	2,1	1,9	-8,2	0,0	69,0	11,1	39,9
33	1,80	73	-27,3	NO	11,1	0,0	-19,6	0,0	69,0	11,1	39,9	15,5	0,0	-21,4	0,0	69,0	11,1	39,9
34	3,60	74	-22,7	NO								0,6	0,0	-14,2	0,0	69,0	11,1	19,8
35	3,60	75	-22,4	NO								1,9	0,0	-14,1	0,0	69,0	11,1	19,8
36	3,60	76	-11,3	NO	5,8	20,0	-13,1	0,0	69,0	11,1	19,8	3,9	0,0	-7,8	0,0	69,0	11,1	19,8
38	3,60	78	0,0	NO								0,0	0,0	0,0	0,0	69,0	11,1	19,8
32	3,60	81	-9,4	NO	26,4	1,4	-18,8	0,0	69,0	11,1	39,9	7,0	1,3	-7,6	0,0	69,0	11,1	39,9
33	3,60	82	0,0	NO								0,0	0,0	0,0	0,0	69,0	11,1	39,9
16	7,20	96	0,0	NO	0,0	8,6	-5,4	0,0	69,0	11,1	9,9	0,0	0,0	0,0	0,0	69,0	11,1	9,9
17	7,20	97	0,0	NO								0,0	5,1	-3,2	0,0	69,0	11,1	9,9
18	7,20	98	0,0	NO								0,0	8,9	-5,6	0,0	69,0	11,1	9,9
19	7,20	99	0,0	NO														
20	7,20	100	0,0	NO	0,0	0,0	0,0	0,0	69,0	11,1	9,9	0,0	17,8	-11,1	1,2	69,0	11,1	9,9
21	7,20	101	0,0	NO	0,0	8,6	-5,4	0,0	69,0	11,1	9,9							
25	7,20	105	0,0	NO	0,0	6,2	-3,9	0,0	69,0	11,1	9,9							
26	7,20	106	-23,1	NO	0,4	0,0	-14,5	0,0	69,0	11,1		13,1	7,0	-15,4	0,9	69,0	11,1	
27	7,20	107	-24,3	NO								13,3	11,1	-15,3	0,0	69,0	11,1	6,7
31	7,20	111	0,0	NO	0,0	8,6	-5,4	0,0	69,0	11,1	9,9							
32	5,40	112	3,8	NO	18,1	10,2	-3,9	0,0	69,0	11,1	59,8	7,3	6,3	-0,1	0,0	69,0	11,1	59,8
34	7,20	114	0,0	NO								0,0	0,0	0,0	0,0	69,0	11,1	
35	7,20	115	0,0	NO								0,0	0,0	0,0	0,0	69,0	11,1	9,9
36	7,20	116	0,0	NO	0,0	12,3	-7,7	0,0	69,0	11,1	9,9	0,0	0,0	0,0	0,0	69,0	11,1	9,9
37	7,20	117	0,0	NO								0,0	14,0	-8,7	0,0	69,0	11,1	9,9
32	7,20	122	1,0	NO	6,3	0,0	-3,6	0,0	69,0	11,1	14,9	12,2	0,0	-7,3	0,0	69,0	11,1	14,9
33	7,20	123	-10,4	NO								13,6	0,0	-12,3	0,0	69,0	11,1	6,7
26	9,80	125	0,0	NO	0,0	0,0	0,0	0,0	69,0	11,1	9,9							
27	9,80	126	0,0	NO	0,0	2,6	-1,6	0,0	69,0	11,1	9,9							
32	9,80	127	0,0	NO	0,0	0,0	0,0	0,0	69,0	11,1	9,9	0,0	0,0	0,0	0,0	69,0	11,1	9,9
33	9,80	128	0,0	NO	0,0	17,8	-11,1	1,2	69,0	11,1	9,9	0,0	0,0	0,0	0,0	69,0	11,1	9,9

RISULTATI VERIFICHE NODI CLS - PUSH N.ro: 21 - Prop.Massa:+F<sub>x</sub>+0.3\*F<sub>y</sub>-Ecc5%

IDENTIFICATIVO					DIREZIONE 'X'							DIREZIONE 'Y'						
Filo N.ro	Quota (m)	Nod3d Nro	Nsup (t)	Coll Nodo	TaglSup (t)	TrazAf (t)	SgmCo ----- kg/cmq -----	SgmTr	RcLim	RtLim	DeltRt	TaglSup (t)	TrazAf (t)	SgmCo ----- kg/cmq -----	SgmTr	RcLim	RtLim	DeltRt
1	0,00	1	-17,3	NO								0,2	0,6	-10,8	0,0	69,0	11,1	
2	0,00	2	-43,8	NO								0,1	0,0	-27,4	0,0	69,0	11,1	
3	0,00	3	-40,7	NO								2,6	0,0	-25,5	0,1	69,0	11,1	
4	0,00	4	-25,9	NO								5,7	0,0	-16,9	0,8	69,0	11,1	
5	0,00	5	-12,2	NO	11,5	12,6	-7,7	0,1	69,0	11,1		8,6	0,0	-10,4	2,8	69,0	11,1	
6	0,00	6	-26,7	NO	2,5	0,0	-16,8	0,2	69,0	11,1								
10	0,00	10	-21,5	NO	9,3	9,9	-13,5	0,0	69,0	11,1								
11	0,00	11	-15,2	NO	3,4	0,0	-9,9	0,5	69,0	11,1								
15	0,00	15	-4,0	NO	7,6	7,9	-2,5	0,0	69,0	11,1								
16	0,00	16	-24,9	NO	3,2	0,0	-15,8	0,3	69,0	11,1								
19	0,00	20	-30,1	NO														
20	0,00	21	-12,5	NO	7,4	6,0	-7,9	0,1	69,0	11,1		10,8	7,4	-19,1	0,2	69,0	11,1	
21	0,00	22	-19,4	NO	1,9	0,0	-12,2	0,1	69,0	11,1		11,1	0,0	-11,8	4,0	69,0	11,1	
25	0,00	26	-19,9	NO	5,1	4,8	-12,4	0,0	69,0	11,1								
26	0,00	27	-18,8	NO	0,2	1,2	-11,8	0,0	69,0	11,1								
27	0,00	28	-21,3	NO								1,8	1,0	-13,4	0,0	69,0	11,1	6,7
31	0,00	32	-54,5	NO	5,1	4,8	-34,1	0,0	69,0	11,1								
32	0,00	33	-16,2	NO	1,6	0,6	-10,2	0,0	69,0	11,1	39,9	2,6	0,0	-10,4	0,0	69,0	11,1	39,9
33	0,00	34	-36,0	NO								14,6	0,0	-25,7	0,0	69,0	11,1	39,9



## RISULTATI VERIFICHE NODI CLS - PUSH N.ro: 21 - Prop.Massa:+Fx+0.3\*Fy-Ecc5%

IDENTIFICATIVO			DIREZIONE 'X'								DIREZIONE 'Y'							
Filo N.ro	Quota (m)	Nod3d Nro	Nsup (t)	Coll Nodo	TaglSup (t)	TrazAf (t)	SgmCo ----- kg/cmq -----	SgmTr	RcLim	RtLim	DeltRt	TaglSup (t)	TrazAf (t)	SgmCo ----- kg/cmq -----	SgmTr	RcLim	RtLim	DeltRt
38	0,00	35	-17,5	NO								3,1	2,9	-10,9	0,0	69,0	11,1	
34	0,00	36	-58,1	NO								6,8	5,4	-36,3	0,0	69,0	11,1	
35	0,00	37	-65,0	NO								9,6	7,8	-40,6	0,0	69,0	11,1	
36	0,00	38	-37,7	NO	1,4	1,8	-23,6	0,0	69,0	11,1		10,2	8,8	-23,6	0,0	69,0	11,1	
1	3,60	41	0,0	NO	0,0	0,0	0,0	0,0	69,0	11,1	19,8	0,0	2,5	-1,6	0,0	69,0	11,1	19,8
2	3,60	42	0,0	NO								0,0	3,7	-2,3	0,0	69,0	11,1	19,8
3	3,60	43	0,0	NO								0,0	0,0	0,0	0,0	69,0	11,1	19,8
4	3,60	44	0,0	NO								0,0	0,0	0,0	0,0	69,0	11,1	19,8
5	3,60	45	0,0	NO	0,0	27,2	-17,0	0,0	69,0	11,1	19,8	0,0	0,0	0,0	0,0	69,0	11,1	19,8
6	3,60	46	0,0	NO	0,0	0,0	0,0	0,0	69,0	11,1	19,8							
10	3,60	50	0,0	NO	0,0	22,0	-13,7	0,0	69,0	11,1	19,8							
11	3,60	51	0,0	NO	0,0	0,0	0,0	0,0	69,0	11,1	19,8							
15	3,60	55	0,0	NO	0,0	16,8	-10,5	0,0	69,0	11,1	19,8							
16	3,60	56	-10,8	NO	4,8	4,1	-6,8	0,0	69,0	11,1	19,8							
19	3,60	59	-9,2	NO								0,3	24,0	-18,0	0,0	69,0	11,1	19,8
20	3,60	60	-3,3	NO	0,6	16,8	-11,2	0,0	69,0	11,1	19,8	0,7	0,0	-2,2	0,0	69,0	11,1	19,8
21	3,60	61	-8,4	NO	5,0	6,9	-5,5	0,0	69,0	11,1	19,8							
25	3,60	65	-10,9	NO	2,1	18,3	-14,1	0,0	69,0	11,1	19,8							
26	3,60	66	-9,8	NO	0,6	0,0	-6,2	0,0	69,0	11,1	19,8	1,1	7,8	-8,2	0,0	69,0	11,1	19,8
27	3,60	67	-22,6	NO								1,6	5,5	-14,5	0,0	69,0	11,1	6,7
31	3,60	71	-17,0	NO	3,2	20,0	-17,0	0,0	69,0	11,1	19,8							
32	1,80	72	-21,0	NO	4,8	1,9	-13,4	0,0	69,0	11,1	39,9	4,5	0,0	-13,7	0,0	69,0	11,1	39,9
33	1,80	73	-50,3	NO	2,8	0,0	-31,5	0,0	69,0	11,1	39,9	23,0	0,0	-37,0	0,0	69,0	11,1	39,9
34	3,60	74	-23,0	NO								2,0	20,9	-21,0	0,0	69,0	11,1	19,8
35	3,60	75	-25,8	NO								1,8	26,2	-25,3	0,0	69,0	11,1	19,8
36	3,60	76	-13,1	NO	2,9	11,4	-10,8	0,0	69,0	11,1	19,8	1,0	24,8	-19,5	0,0	69,0	11,1	19,8
38	3,60	78	0,0	NO								0,0	10,5	-6,5	0,0	69,0	11,1	19,8
32	3,60	81	-15,9	NO	6,9	4,3	-10,2	0,0	69,0	11,1	39,9	9,6	0,0	-12,8	0,0	69,0	11,1	39,9
33	3,60	82	0,0	NO								0,0	7,8	-4,9	0,0	69,0	11,1	39,9
16	7,20	96	0,0	NO	0,0	8,6	-5,4	0,0	69,0	11,1	9,9	0,0	1,3	-0,8	0,0	69,0	11,1	9,9
17	7,20	97	0,0	NO								0,0	0,0	0,0	0,0	69,0	11,1	9,9
18	7,20	98	0,0	NO								0,0	0,0	0,0	0,0	69,0	11,1	9,9
19	7,20	99	0,0	NO														
20	7,20	100	0,0	NO	0,0	0,0	0,0	0,0	69,0	11,1	9,9	0,0	0,0	0,0	0,0	69,0	11,1	9,9
21	7,20	101	0,0	NO	0,0	9,9	-6,2	0,0	69,0	11,1	9,9							
25	7,20	105	0,0	NO	0,0	4,9	-3,1	0,0	69,0	11,1	9,9							
26	7,20	106	-5,6	NO	13,2	0,0	-10,2	6,7	69,0	11,1		4,5	7,7	-4,3	0,9	69,0	11,1	
27	7,20	107	-26,0	NO								2,1	0,0	-16,3	0,0	69,0	11,1	6,7
31	7,20	111	0,0	NO	0,0	6,2	-3,9	0,0	69,0	11,1	9,9							
32	5,40	112	-15,2	NO	21,8	3,2	-17,3	0,0	69,0	11,1	59,8	4,7	5,1	-9,5	0,0	69,0	11,1	59,8
34	7,20	114	0,0	NO								0,0	3,7	-2,3	2,3	69,0	11,1	
35	7,20	115	0,0	NO								0,0	5,0	-3,1	0,0	69,0	11,1	9,9
36	7,20	116	0,0	NO	0,0	4,9	-3,1	0,0	69,0	11,1	9,9	0,0	3,7	-2,3	0,0	69,0	11,1	9,9
37	7,20	117	0,0	NO								0,0	0,0	0,0	0,0	69,0	11,1	9,9
32	7,20	122	-3,8	NO	12,8	14,8	-2,9	0,0	69,0	11,1	14,9	6,7	1,2	-4,8	0,0	69,0	11,1	14,9
33	7,20	123	-21,4	NO								3,4	6,2	-13,6	0,0	69,0	11,1	6,7
26	9,80	125	0,0	NO	0,0	0,0	0,0	0,0	69,0	11,1	9,9							
27	9,80	126	0,0	NO	0,0	30,8	-19,3	9,4	69,0	11,1	9,9							
32	9,80	127	0,0	NO	0,0	0,0	0,0	0,0	69,0	11,1	9,9	0,0	12,7	-7,9	0,0	69,0	11,1	9,9
33	9,80	128	0,0	NO	0,0	31,7	-19,8	9,9	69,0	11,1	9,9	0,0	8,9	-5,6	0,0	69,0	11,1	9,9

## RISULTATI VERIFICHE NODI CLS - PUSH N.ro: 22 - Prop.Massa:-Fx+0.3\*Fy-Ecc5%

IDENTIFICATIVO			DIREZIONE 'X'								DIREZIONE 'Y'							
Filo N.ro	Quota (m)	Nod3d Nro	Nsup (t)	Coll Nodo	TaglSup (t)	TrazAf (t)	SgmCo ----- kg/cmq -----	SgmTr	RcLim	RtLim	DeltRt	TaglSup (t)	TrazAf (t)	SgmCo ----- kg/cmq -----	SgmTr	RcLim	RtLim	DeltRt
1	0,00	1	-23,8	NO	10,1	7,4	-15,0	0,2	69,0	11,1		2,2	0,0	-15,0	0,1	69,0	11,1	
2	0,00	2	-44,2	NO								2,9	2,4	-27,6	0,0	69,0	11,1	
3	0,00	3	-43,4	NO								4,1	3,6	-27,1	0,0	69,0	11,1	
4	0,00	4	-37,4	NO								4,3	4,2	-23,4	0,0	69,0	11,1	
5	0,00	5	-6,1	NO	5,6	0,0	-5,9	2,1	69,0	11,1		5,8	5,4	-3,8	0,0	69,0	11,1	
6	0,00	6	-33,2	NO	10,0	6,9	-20,9	0,2	69,0	11,1								
10	0,00	10	-12,5	NO	4,5	0,0	-8,7	0,9	69,0	11,1								
11	0,00	11	-18,4	NO	6,3	4,9	-11,6	0,1	69,0	11,1								
15	0,00	15	-11,3	NO	3,7	0,0	-7,8	0,7	69,0	11,1								
16	0,00	16	-28,2	NO	6,1	5,4	-17,7	0,0	69,0	11,1								
19	0,00	20	-18,4	NO														
20	0,00	21	-11,6	NO	4,9	0,0	-8,4	1,1	69,0	11,1		6,6	0,0	-12,8	1,3	69,0	11,1	
21	0,00	22	-21,7	NO	4,6	4,2	-13,6	0,0	69,0	11,1		5,9	4,4	-7,4	0,1	69,0	11,1	
25	0,00	26	-28,0	NO	1,5	0,0	-17,5	0,1	69,0	11,1								
26	0,00	27	-26,8	NO	1,2	0,0	-16,8	0,0	69,0	11,1								
27	0,00	28	-8,4	NO								1,0	1,0	-5,3	0,0	69,0	11,1	6,7
31	0,00	32	-38,4	NO	0,1	0,0	-24,0	0,0	69,0	11,1								
32	0,00	33	-22,3	NO	8,4	0,0	-15,7	0,0	69,0	11,1	39,9	7,3	0,0	-15,3	0,0	69,0	11,1	39,9
33	0,00	34	-14,0	NO								7,5	0,0	-10,8	0,0	69,0	11,1	39,9
38	0,00	35	-35,8	NO								0,3	0,0	-22,4	0,0	69,0	11,1	
34	0,00	36	-55,6	NO								0,4	0,0	-34,7	0,0	69,0	11,1	
35	0,00	37	-58,8	NO								1,9	0,0	-36,8	0,0	69,0	11,1	
36	0,00	38	-32,8	NO	1,3	1,2	-20,5	0,0	69,0	11,1		5,3	0,0	-21,0	0,5	69,0	11,1	
1	3,60	41	0,0	NO	0,0	26,1	-16,3	0,0	69,0	11,1	19,8	0,0	0,0	0,0	0,0	69,0	11,1	19,8
2	3,60	42	0,0	NO								0,0	10,0	-6,2	0,0	69,0	11,1	19,8
3	3,60	43	0,0	NO								0,0	12,4	-7,8	0,0	69,0	11,1	19,8
4	3,60	44	0,0	NO								0,0	12,4	-7,8	0,0	69,0	11,1	19,8
5	3,60	45	0,0	NO	0,0	0,0	0,0	0,0	69,0	11,1	19,8	0,0	13,7	-8,6	0,0	69,0	11,1	19,8

## RISULTATI VERIFICHE NODI CLS - PUSH N.ro: 22 - Prop.Massa:-Fx+0.3\*Fy-Ecc5%

IDENTIFICATIVO					DIREZIONE 'X'							DIREZIONE 'Y'						
Filo N.ro	Quota (m)	Nod3d Nro	Nsup (t)	Coll Nodo	TaglSup (t)	TrazAf (t)	SgmCo	SgmTr	RcLim	RtLim	DeltRt	TaglSup (t)	TrazAf (t)	SgmCo	SgmTr	RcLim	RtLim	DeltRt
							----- kg/cmq -----											
6	3,60	46	0,0	NO	0,0	26,1	-16,3	0,0	69,0	11,1	19,8							
10	3,60	50	0,0	NO	0,0	0,0	0,0	0,0	69,0	11,1	19,8							
11	3,60	51	0,0	NO	0,0	16,5	-10,3	0,0	69,0	11,1	19,8							
15	3,60	55	0,0	NO	0,0	0,0	0,0	0,0	69,0	11,1	19,8							
16	3,60	56	-10,0	NO	1,8	19,3	-14,5	0,0	69,0	11,1	19,8							
19	3,60	59	-9,2	NO								0,0	0,0	-5,8	0,0	69,0	11,1	19,8
20	3,60	60	-6,5	NO	1,4	0,0	-4,2	0,0	69,0	11,1	19,8	0,3	12,7	-10,1	0,0	69,0	11,1	19,8
21	3,60	61	-7,6	NO	2,3	16,5	-11,6	0,0	69,0	11,1	19,8							
25	3,60	65	-11,3	NO	4,7	7,6	-7,5	0,0	69,0	11,1	19,8							
26	3,60	66	-26,6	NO	4,3	0,0	-17,0	0,0	69,0	11,1	19,8	1,0	4,7	-16,9	0,0	69,0	11,1	19,8
27	3,60	67	-8,1	NO								0,1	2,4	-5,4	0,0	69,0	11,1	6,7
31	3,60	71	-17,4	NO	5,7	12,9	-12,5	0,0	69,0	11,1	19,8							
32	1,80	72	-26,0	NO	10,4	0,0	-18,5	0,0	69,0	11,1	39,9	12,8	1,3	-19,0	0,0	69,0	11,1	39,9
33	1,80	73	-27,5	NO	13,0	0,0	-20,4	0,0	69,0	11,1	39,9	2,0	0,0	-17,3	0,0	69,0	11,1	39,9
34	3,60	74	-23,1	NO								1,9	5,2	-14,7	0,0	69,0	11,1	19,8
35	3,60	75	-24,7	NO								2,3	2,6	-15,5	0,0	69,0	11,1	19,8
36	3,60	76	-13,7	NO	5,0	15,7	-12,2	0,0	69,0	11,1	19,8	2,0	0,0	-8,8	0,0	69,0	11,1	19,8
38	3,60	78	0,0	NO								0,0	2,6	-1,6	0,0	69,0	11,1	19,8
32	3,60	81	-20,8	NO	19,2	2,9	-18,6	0,0	69,0	11,1	39,9	15,8	5,2	-15,7	0,0	69,0	11,1	39,9
33	3,60	82	0,0	NO								0,0	5,2	-3,3	0,0	69,0	11,1	39,9
16	7,20	96	0,0	NO	0,0	2,5	-1,5	0,0	69,0	11,1	9,9	0,0	2,5	-1,6	0,0	69,0	11,1	9,9
17	7,20	97	0,0	NO								0,0	2,5	-1,6	0,0	69,0	11,1	9,9
18	7,20	98	0,0	NO								0,0	2,5	-1,6	0,0	69,0	11,1	9,9
19	7,20	99	0,0	NO														
20	7,20	100	0,0	NO	0,0	2,1	-1,3	0,0	69,0	11,1	9,9	0,0	1,3	-0,8	0,0	69,0	11,1	9,9
21	7,20	101	0,0	NO	0,0	4,9	-3,1	0,0	69,0	11,1	9,9							
25	7,20	105	0,0	NO	0,0	8,6	-5,4	0,0	69,0	11,1	9,9							
26	7,20	106	-19,5	NO	12,5	4,9	-13,8	1,6	69,0	11,1		10,0	7,7	-12,4	0,2	69,0	11,1	
27	7,20	107	-12,4	NO								6,3	3,7	-8,1	0,0	69,0	11,1	6,7
31	7,20	111	0,0	NO	0,0	11,1	-6,9	0,0	69,0	11,1	9,9							
32	5,40	112	-35,9	NO	0,8	0,0	-22,4	0,0	69,0	11,1	59,8	2,0	0,0	-22,5	0,0	69,0	11,1	59,8
34	7,20	114	0,0	NO								0,0	2,5	-1,6	1,6	69,0	11,1	
35	7,20	115	0,0	NO								0,0	2,5	-1,6	0,0	69,0	11,1	9,9
36	7,20	116	0,0	NO	0,0	9,9	-6,2	0,0	69,0	11,1	9,9	0,0	2,5	-1,6	0,0	69,0	11,1	9,9
37	7,20	117	0,0	NO								0,0	2,5	-1,6	0,0	69,0	11,1	9,9
32	7,20	122	-23,9	NO	9,7	7,4	-15,1	0,0	69,0	11,1	14,9	14,4	13,7	-15,0	0,0	69,0	11,1	14,9
33	7,20	123	-0,8	NO								3,7	0,0	-2,6	0,0	69,0	11,1	6,7
26	9,80	125	0,0	NO	0,0	30,8	-19,3	9,4	69,0	11,1	9,9							
27	9,80	126	0,0	NO	0,0	0,0	0,0	0,0	69,0	11,1	9,9							
32	9,80	127	0,0	NO	0,0	17,8	-11,1	1,2	69,0	11,1	9,9	0,0	26,7	-16,7	6,8	69,0	11,1	9,9
33	9,80	128	0,0	NO	0,0	0,0	0,0	0,0	69,0	11,1	9,9	0,0	0,0	0,0	0,0	69,0	11,1	9,9

## RISULTATI VERIFICHE NODI CLS - PUSH N.ro: 23 - Prop.Massa:+Fy+0.3\*Fx-Ecc5%

IDENTIFICATIVO					DIREZIONE 'X'							DIREZIONE 'Y'						
Filo N.ro	Quota (m)	Nod3d Nro	Nsup (t)	Coll Nodo	TaglSup (t)	TrazAf (t)	SgmCo	SgmTr	RcLim	RtLim	DeltRt	TaglSup (t)	TrazAf (t)	SgmCo	SgmTr	RcLim	RtLim	DeltRt
							----- kg/cmq -----											
1	0,00	1	-17,0	NO	5,7	0,0	-11,7	1,1	69,0	11,1		0,7	0,0	-10,6	0,0	69,0	11,1	
2	0,00	2	-43,2	NO								1,1	0,0	-27,0	0,0	69,0	11,1	
3	0,00	3	-39,8	NO								4,2	0,0	-25,2	0,3	69,0	11,1	
4	0,00	4	-24,9	NO								7,4	0,0	-16,9	1,3	69,0	11,1	
5	0,00	5	-11,4	NO	11,5	11,9	-7,1	0,0	69,0	11,1		10,5	0,0	-11,0	3,9	69,0	11,1	
6	0,00	6	-26,7	NO	2,0	0,0	-16,8	0,1	69,0	11,1								
10	0,00	10	-20,8	NO	8,0	7,9	-13,0	0,0	69,0	11,1								
11	0,00	11	-15,1	NO	2,7	0,0	-9,7	0,3	69,0	11,1								
15	0,00	15	-3,2	NO	6,5	6,6	-2,0	0,0	69,0	11,1								
16	0,00	16	-25,0	NO	1,9	0,0	-15,7	0,1	69,0	11,1								
19	0,00	20	-28,2	NO														
20	0,00	21	-13,3	NO	6,2	5,4	-8,4	0,0	69,0	11,1		11,3	8,3	-17,8	0,2	69,0	11,1	
21	0,00	22	-18,3	NO	0,6	0,0	-11,4	0,0	69,0	11,1		10,7	0,0	-12,1	3,7	69,0	11,1	
25	0,00	26	-17,1	NO	3,6	3,6	-10,7	0,0	69,0	11,1								
26	0,00	27	-23,3	NO	0,7	0,6	-14,6	0,0	69,0	11,1								
27	0,00	28	-12,3	NO								3,3	2,0	-7,8	0,0	69,0	11,1	6,7
31	0,00	32	-58,2	NO	3,6	3,6	-36,4	0,0	69,0	11,1								
32	0,00	33	-19,2	NO	8,9	0,0	-14,2	0,0	69,0	11,1	39,9	6,9	0,0	-13,4	0,0	69,0	11,1	39,9
33	0,00	34	-31,7	NO								19,6	0,0	-25,7	0,0	69,0	11,1	39,9
38	0,00	35	-18,8	NO								4,5	3,9	-11,8	0,0	69,0	11,1	
34	0,00	36	-59,1	NO								8,3	6,9	-37,0	0,0	69,0	11,1	
35	0,00	37	-67,5	NO								11,1	8,8	-42,2	0,0	69,0	11,1	
36	0,00	38	-39,7	NO	0,3	0,0	-24,8	0,0	69,0	11,1		11,7	10,3	-24,8	0,0	69,0	11,1	
1	3,60	41	0,0	NO	0,0	0,0	0,0	0,0	69,0	11,1	19,8	0,0	0,0	0,0	0,0	69,0	11,1	19,8
2	3,60	42	0,0	NO								0,0	0,0	0,0	0,0	69,0	11,1	19,8
3	3,60	43	0,0	NO								0,0	0,0	0,0	0,0	69,0	11,1	19,8
4	3,60	44	0,0	NO								0,0	0,0	0,0	0,0	69,0	11,1	19,8
5	3,60	45	0,0	NO	0,0	27,2	-17,0	0,0	69,0	11,1	19,8	0,0	0,0	0,0	0,0	69,0	11,1	19,8
6	3,60	46	0,0	NO	0,0	0,0	0,0	0,0	69,0	11,1	19,8							
10	3,60	50	0,0	NO	0,0	19,4	-12,1	0,0	69,0	11,1	19,8							
11	3,60	51	0,0	NO	0,0	0,0	0,0	0,0	69,0	11,1	19,8							
15	3,60	55	0,0	NO	0,0	15,5	-9,7	0,0	69,0	11,1	19,8							
16	3,60	56	-10,5	NO	3,0	4,1	-6,6	0,0	69,0	11,1	19,8							
19	3,60	59	-6,9	NO								0,2	24,0	-17,2	0,0	69,0	11,1	19,8
20	3,60	60	-4,5	NO	1,8	18,3	-11,9	0,0	69,0	11,1	19,8	1,2	0,0	-3,0	0,0	69,0	11,1	19,8
21	3,60	61	-6,1	NO	3,7	6,9	-4,7	0,0	69,0	11,1	19,8							
25	3,60	65	-9,8	NO	3,4	16,8	-12,0	0,0	69,0	11,1	19,8							

## RISULTATI VERIFICHE NODI CLS - PUSH N.ro: 23 - Prop.Massa:+Fy+0.3\*Fx-Ecc5%

IDENTIFICATIVO					DIREZIONE 'X'							DIREZIONE 'Y'						
Filo N.ro	Quota (m)	Nod3d Nro	Nsup (t)	Coll Nodo	TaglSup (t)	TrazAf (t)	SgmCo	SgmTr	RcLim	RtLim	DeltRt	TaglSup (t)	TrazAf (t)	SgmCo	SgmTr	RcLim	RtLim	DeltRt
							kg/cmq						kg/cmq					
26	3,60	66	-18,0	NO	1,3	0,0	-11,3	0,0	69,0	11,1	19,8	2,3	6,2	-11,8	0,0	69,0	11,1	19,8
27	3,60	67	-5,5	NO								4,0	10,2	-6,0	0,0	69,0	11,1	6,7
31	3,60	71	-19,8	NO	4,2	18,6	-17,1	0,0	69,0	11,1	19,8							
32	1,80	72	-22,0	NO	27,5	4,4	-22,9	0,0	69,0	11,1	39,9	7,3	0,0	-15,1	0,0	69,0	11,1	39,9
33	1,80	73	-47,4	NO	29,7	0,0	-38,5	0,0	69,0	11,1	39,9	37,9	0,0	-42,7	0,0	69,0	11,1	39,9
34	3,60	74	-23,0	NO								2,9	24,8	-22,7	0,0	69,0	11,1	19,8
35	3,60	75	-26,9	NO								3,5	32,7	-28,5	0,0	69,0	11,1	19,8
36	3,60	76	-14,3	NO	2,9	7,1	-9,7	0,0	69,0	11,1	19,8	3,5	32,7	-23,3	0,0	69,0	11,1	19,8
38	3,60	78	0,0	NO								0,0	13,1	-8,2	0,0	69,0	11,1	19,8
32	3,60	81	-14,7	NO	48,0	10,0	-28,8	0,0	69,0	11,1	39,9	6,6	3,9	-9,5	0,0	69,0	11,1	39,9
33	3,60	82	0,0	NO								0,0	7,8	-4,9	0,0	69,0	11,1	39,9
16	7,20	96	0,0	NO	0,0	3,7	-2,3	0,0	69,0	11,1	9,9	0,0	2,5	-1,6	0,0	69,0	11,1	9,9
17	7,20	97	0,0	NO								0,0	0,0	0,0	0,0	69,0	11,1	9,9
18	7,20	98	0,0	NO								0,0	0,0	0,0	0,0	69,0	11,1	9,9
19	7,20	99	0,0	NO														
20	7,20	100	0,0	NO	0,0	3,1	-1,9	0,0	69,0	11,1	9,9	0,0	0,0	0,0	0,0	69,0	11,1	9,9
21	7,20	101	0,0	NO	0,0	7,4	-4,6	0,0	69,0	11,1	9,9							
25	7,20	105	0,0	NO	0,0	7,4	-4,6	0,0	69,0	11,1	9,9							
26	7,20	106	-11,7	NO	0,4	0,0	-7,3	0,0	69,0	11,1		12,2	12,3	-7,3	0,0	69,0	11,1	
27	7,20	107	-12,6	NO								12,6	0,0	-12,8	0,0	69,0	11,1	6,7
31	7,20	111	0,0	NO	0,0	8,6	-5,4	0,0	69,0	11,1	9,9							
32	5,40	112	-32,9	NO	36,2	0,0	-35,1	0,0	69,0	11,1	59,8	2,3	0,0	-20,6	0,0	69,0	11,1	59,8
34	7,20	114	0,0	NO								0,0	6,2	-3,9	3,9	69,0	11,1	
35	7,20	115	0,0	NO								0,0	8,7	-5,4	0,0	69,0	11,1	9,9
36	7,20	116	0,0	NO	0,0	3,7	-2,3	0,0	69,0	11,1	9,9	0,0	10,0	-6,2	0,0	69,0	11,1	9,9
37	7,20	117	0,0	NO								0,0	0,0	0,0	0,0	69,0	11,1	9,9
32	7,20	122	-13,0	NO	4,3	34,5	-23,4	0,4	69,0	11,1	14,9	14,0	10,0	-8,8	0,0	69,0	11,1	14,9
33	7,20	123	-19,4	NO								10,1	6,2	-12,6	0,0	69,0	11,1	6,7
26	9,80	125	0,0	NO	0,0	0,0	0,0	0,0	69,0	11,1	9,9							
27	9,80	126	0,0	NO	0,0	2,6	-1,6	0,0	69,0	11,1	9,9							
32	9,80	127	0,0	NO	0,0	0,0	0,0	0,0	69,0	11,1	9,9	0,0	26,7	-16,7	6,8	69,0	11,1	9,9
33	9,80	128	0,0	NO	0,0	12,7	-7,9	0,0	69,0	11,1	9,9	0,0	24,1	-15,1	5,2	69,0	11,1	9,9

## RISULTATI VERIFICHE NODI CLS - PUSH N.ro: 24 - Prop.Massa:-Fy+0.3\*Fx-Ecc5%

IDENTIFICATIVO					DIREZIONE 'X'							DIREZIONE 'Y'						
Filo N.ro	Quota (m)	Nod3d Nro	Nsup (t)	Coll Nodo	TaglSup (t)	TrazAf (t)	SgmCo	SgmTr	RcLim	RtLim	DeltRt	TaglSup (t)	TrazAf (t)	SgmCo	SgmTr	RcLim	RtLim	DeltRt
							kg/cmq						kg/cmq					
1	0,00	1	-25,8	NO	12,7	9,3	-16,4	0,3	69,0	11,1		0,8	0,6	-16,1	0,0	69,0	11,1	
2	0,00	2	-45,5	NO								6,0	5,4	-28,4	0,0	69,0	11,1	
3	0,00	3	-45,6	NO								8,7	7,8	-28,5	0,0	69,0	11,1	
4	0,00	4	-41,8	NO								10,2	9,6	-26,1	0,0	69,0	11,1	
5	0,00	5	-6,8	NO	9,0	0,0	-8,2	3,9	69,0	11,1		12,8	12,0	-4,3	0,0	69,0	11,1	
6	0,00	6	-34,4	NO	11,3	7,9	-21,7	0,2	69,0	11,1								
10	0,00	10	-11,8	NO	6,1	0,0	-9,0	1,6	69,0	11,1								
11	0,00	11	-19,2	NO	6,6	4,9	-12,1	0,1	69,0	11,1								
15	0,00	15	-12,8	NO	3,7	0,0	-8,6	0,6	69,0	11,1								
16	0,00	16	-28,3	NO	5,2	4,8	-17,7	0,0	69,0	11,1								
19	0,00	20	-22,1	NO								10,1	0,0	-16,2	2,4	69,0	11,1	
20	0,00	21	-10,5	NO	5,0	0,0	-7,8	1,3	69,0	11,1		11,6	9,3	-6,8	0,3	69,0	11,1	
21	0,00	22	-25,6	NO	3,1	3,0	-16,0	0,0	69,0	11,1								
25	0,00	26	-37,3	NO	0,1	0,0	-23,3	0,0	69,0	11,1								
26	0,00	27	-22,0	NO	0,9	0,6	-13,8	0,0	69,0	11,1								
27	0,00	28	-13,2	NO								0,1	0,5	-8,3	0,0	69,0	11,1	6,7
31	0,00	32	-24,4	NO	2,3	1,8	-15,3	0,0	69,0	11,1								
32	0,00	33	-14,9	NO	7,3	2,4	-10,2	0,0	69,0	11,1	39,9	3,2	0,5	-9,6	0,0	69,0	11,1	39,9
33	0,00	34	-18,0	NO								2,7	1,4	-11,3	0,0	69,0	11,1	39,9
38	0,00	35	-37,3	NO								3,9	0,0	-23,6	0,3	69,0	11,1	
34	0,00	36	-53,1	NO								4,8	0,0	-33,4	0,3	69,0	11,1	
35	0,00	37	-52,5	NO								7,2	0,0	-33,4	0,6	69,0	11,1	
36	0,00	38	-27,7	NO	4,9	4,8	-17,3	0,0	69,0	11,1		11,4	0,0	-19,9	2,5	69,0	11,1	
1	3,60	41	0,0	NO	0,0	33,0	-20,6	0,8	69,0	11,1	19,8	0,0	0,0	0,0	0,0	69,0	11,1	19,8
2	3,60	42	0,0	NO								0,0	16,2	-10,1	0,0	69,0	11,1	19,8
3	3,60	43	0,0	NO								0,0	22,4	-14,0	0,0	69,0	11,1	19,8
4	3,60	44	0,0	NO								0,0	26,1	-16,3	0,0	69,0	11,1	19,8
5	3,60	45	0,0	NO	0,0	0,0	0,0	0,0	69,0	11,1	19,8	0,0	28,6	-17,9	0,0	69,0	11,1	19,8
6	3,60	46	0,0	NO	0,0	30,3	-18,9	0,0	69,0	11,1	19,8							
10	3,60	50	0,0	NO	0,0	0,0	0,0	0,0	69,0	11,1	19,8							
11	3,60	51	0,0	NO	0,0	17,9	-11,2	0,0	69,0	11,1	19,8							
15	3,60	55	0,0	NO	0,0	0,0	0,0	0,0	69,0	11,1	19,8							
16	3,60	56	-10,5	NO	4,7	23,4	-15,4	0,0	69,0	11,1	19,8							
19	3,60	59	-14,3	NO								0,4	0,0	-9,0	0,0	69,0	11,1	19,8
20	3,60	60	-4,8	NO	3,3	0,0	-4,0	0,0	69,0	11,1	19,8	5,5	31,8	-18,0	0,0	69,0	11,1	19,8
21	3,60	61	-12,6	NO	4,2	16,5	-12,6	0,0	69,0	11,1	19,8							
25	3,60	65	-12,3	NO	2,8	7,6	-8,7	0,0	69,0	11,1	19,8							
26	3,60	66	-21,3	NO	1,6	0,0	-13,4	0,0	69,0	11,1	19,8	1,9	6,2	-13,8	0,0	69,0	11,1	19,8
27	3,60	67	-22,4	NO								1,1	0,0	-14,0	0,0	69,0	11,1	6,7
31	3,60	71	-12,5	NO	4,5	15,7	-12,0	0,0	69,0	11,1	19,8							
32	1,80	72	-16,1	NO	31,2	0,0	-25,2	0,0	69,0	11,1	39,9	6,9	1,3	-11,2	0,0	69,0	11,1	39,9
33	1,80	73	-30,7	NO	33,8	0,0	-32,8	0,0	69,0	11,1	39,9	28,5	0,0	-29,8	0,0	69,0	11,1	39,9
34	3,60	74	-23,2	NO								0,2	0,0	-14,5	0,0	69,0	11,1	19,8
35	3,60	75	-22,3	NO								1,0	0,0	-14,0	0,0	69,0	11,1	19,8
36	3,60	76	-11,4	NO	5,5	24,3	-15,8	0,0	69,0	11,1	19,8	2,7	0,0	-7,5	0,0	69,0	11,1	19,8
38	3,60	78	0,0	NO								0,0	0,0	0,0	0,0	69,0	11,1	19,8

RISULTATI VERIFICHE NODI CLS - PUSH N.ro: 24 - Prop.Massa:-Fy+0.3\*F<sub>x</sub>-Ecc5%

IDENTIFICATIVO					DIREZIONE 'X'							DIREZIONE 'Y'						
Filo N.ro	Quota (m)	Nod3d Nro	Nsup (t)	Coll Nodo	TaglSup (t)	TrazAf (t)	SgmCo	SgmTr	RcLim	RtLim	DeltRt	TaglSup (t)	TrazAf (t)	SgmCo	SgmTr	RcLim	RtLim	DeltRt
								kg/cmq						kg/cmq				
32	3,60	81	-16,8	NO	50,6	0,0	-37,3	0,0	69,0	11,1	39,9	13,5	0,0	-15,2	0,0	69,0	11,1	39,9
33	3,60	82	0,0	NO								0,0	0,0	0,0	0,0	69,0	11,1	39,9
16	7,20	96	0,0	NO	0,0	9,9	-6,2	0,0	69,0	11,1	9,9	0,0	0,0	0,0	0,0	69,0	11,1	9,9
17	7,20	97	0,0	NO								0,0	5,1	-3,2	0,0	69,0	11,1	9,9
18	7,20	98	0,0	NO								0,0	10,2	-6,4	0,0	69,0	11,1	9,9
19	7,20	99	0,0	NO														
20	7,20	100	0,0	NO	0,0	0,0	0,0	0,0	69,0	11,1	9,9	0,0	16,5	-10,3	0,4	69,0	11,1	9,9
21	7,20	101	0,0	NO	0,0	8,6	-5,4	0,0	69,0	11,1	9,9							
25	7,20	105	0,0	NO	0,0	4,9	-3,1	0,0	69,0	11,1	9,9							
26	7,20	106	-23,2	NO	0,5	0,0	-14,5	0,0	69,0	11,1		13,1	7,0	-15,4	0,9	69,0	11,1	
27	7,20	107	-24,3	NO								13,4	12,3	-15,2	0,0	69,0	11,1	6,7
31	7,20	111	0,0	NO	0,0	8,6	-5,4	0,0	69,0	11,1	9,9							
32	5,40	112	5,4	NO	23,0	25,0	-0,4	0,0	69,0	11,1	59,8	5,8	9,5	-1,2	0,0	69,0	11,1	59,8
34	7,20	114	0,0	NO								0,0	0,0	0,0	0,0	69,0	11,1	
35	7,20	115	0,0	NO								0,0	0,0	0,0	0,0	69,0	11,1	9,9
36	7,20	116	0,0	NO	0,0	11,1	-6,9	0,0	69,0	11,1	9,9	0,0	0,0	0,0	0,0	69,0	11,1	9,9
37	7,20	117	0,0	NO								0,0	15,2	-9,5	0,0	69,0	11,1	9,9
32	7,20	122	1,4	NO	5,3	0,0	-2,9	0,0	69,0	11,1	14,9	12,2	0,0	-7,2	0,0	69,0	11,1	14,9
33	7,20	123	-10,7	NO								13,7	0,0	-12,5	0,0	69,0	11,1	6,7
26	9,80	125	0,0	NO	0,0	0,0	0,0	0,0	69,0	11,1	9,9							
27	9,80	126	0,0	NO	0,0	2,6	-1,6	0,0	69,0	11,1	9,9							
32	9,80	127	0,0	NO	0,0	0,0	0,0	0,0	69,0	11,1	9,9	0,0	0,0	0,0	0,0	69,0	11,1	9,9
33	9,80	128	0,0	NO	0,0	20,3	-12,7	2,8	69,0	11,1	9,9	0,0	0,0	0,0	0,0	69,0	11,1	9,9

RISULTATI VERIFICHE NODI CLS - PUSH N.ro: 25 - Prop.Modi:+Fx-0.3\*F<sub>y</sub>-Ecc5%

IDENTIFICATIVO					DIREZIONE 'X'							DIREZIONE 'Y'						
Filo N.ro	Quota (m)	Nod3d Nro	Nsup (t)	Coll Nodo	TaglSup (t)	TrazAf (t)	SgmCo	SgmTr	RcLim	RtLim	DeltRt	TaglSup (t)	TrazAf (t)	SgmCo	SgmTr	RcLim	RtLim	DeltRt
								kg/cmq						kg/cmq				
1	0,00	1	-21,2	NO	2,9	1,5	-13,3	0,1	69,0	11,1		0,5	0,6	-13,3	0,0	69,0	11,1	
2	0,00	2	-44,4	NO								2,5	1,8	-27,8	0,0	69,0	11,1	
3	0,00	3	-42,6	NO								2,1	1,8	-26,6	0,0	69,0	11,1	
4	0,00	4	-32,9	NO								0,7	0,6	-20,6	0,0	69,0	11,1	
5	0,00	5	-9,4	NO	1,9	2,6	-5,9	0,0	69,0	11,1		0,7	0,6	-5,9	0,0	69,0	11,1	
6	0,00	6	-30,3	NO	4,2	2,5	-19,0	0,1	69,0	11,1								
10	0,00	10	-16,8	NO	1,8	2,6	-10,5	0,0	69,0	11,1								
11	0,00	11	-17,1	NO	1,6	1,0	-10,7	0,0	69,0	11,1								
15	0,00	15	-10,3	NO	1,6	2,0	-6,5	0,0	69,0	11,1								
16	0,00	16	-26,3	NO	1,4	1,2	-16,4	0,0	69,0	11,1								
19	0,00	20	-23,1	NO								0,3	0,0	-14,4	0,0	69,0	11,1	
20	0,00	21	-12,6	NO	0,9	1,2	-7,9	0,0	69,0	11,1		1,4	0,0	-8,0	0,1	69,0	11,1	
21	0,00	22	-21,4	NO	1,3	1,2	-13,4	0,0	69,0	11,1								
25	0,00	26	-27,6	NO	2,0	2,4	-17,2	0,0	69,0	11,1								
26	0,00	27	-17,8	NO	0,3	1,2	-11,2	0,0	69,0	11,1								
27	0,00	28	-20,4	NO								0,5	0,5	-12,8	0,0	69,0	11,1	6,7
31	0,00	32	-41,7	NO	2,9	3,0	-26,1	0,0	69,0	11,1								
32	0,00	33	-14,8	NO	2,9	1,8	-9,3	0,0	69,0	11,1	39,9	0,3	0,0	-9,2	0,0	69,0	11,1	39,9
33	0,00	34	-22,5	NO								7,5	0,0	-15,5	0,0	69,0	11,1	39,9
38	0,00	35	-35,6	NO								0,1	0,5	-22,2	0,0	69,0	11,1	
34	0,00	36	-56,3	NO								1,9	1,5	-35,2	0,0	69,0	11,1	
35	0,00	37	-59,7	NO								2,4	2,0	-37,3	0,0	69,0	11,1	
36	0,00	38	-33,7	NO	2,0	2,4	-21,1	0,0	69,0	11,1		0,8	1,5	-21,1	0,0	69,0	11,1	
1	3,60	41	0,0	NO	0,0	9,6	-6,0	0,0	69,0	11,1	19,8	0,0	0,0	0,0	0,0	69,0	11,1	19,8
2	3,60	42	0,0	NO								0,0	8,7	-5,4	0,0	69,0	11,1	19,8
3	3,60	43	0,0	NO								0,0	7,5	-4,7	0,0	69,0	11,1	19,8
4	3,60	44	0,0	NO								0,0	3,7	-2,3	0,0	69,0	11,1	19,8
5	3,60	45	0,0	NO	0,0	3,9	-2,4	0,0	69,0	11,1	19,8	0,0	2,5	-1,6	0,0	69,0	11,1	19,8
6	3,60	46	0,0	NO	0,0	12,4	-7,7	0,0	69,0	11,1	19,8							
10	3,60	50	0,0	NO	0,0	3,9	-2,4	0,0	69,0	11,1	19,8							
11	3,60	51	0,0	NO	0,0	5,5	-3,4	0,0	69,0	11,1	19,8							
15	3,60	55	0,0	NO	0,0	3,9	-2,4	0,0	69,0	11,1	19,8							
16	3,60	56	-10,4	NO	3,7	12,4	-9,5	0,0	69,0	11,1	19,8							
19	3,60	59	-10,7	NO								0,7	0,0	-6,7	0,0	69,0	11,1	19,8
20	3,60	60	-5,3	NO	0,6	0,0	-3,4	0,0	69,0	11,1	19,8	2,5	1,3	-3,5	0,0	69,0	11,1	19,8
21	3,60	61	-9,4	NO	3,8	12,4	-9,1	0,0	69,0	11,1	19,8							
25	3,60	65	-11,9	NO	3,3	12,2	-10,4	0,0	69,0	11,1	19,8							
26	3,60	66	-11,9	NO	0,7	0,0	-7,5	0,0	69,0	11,1	19,8	0,4	7,8	-9,6	0,0	69,0	11,1	19,8
27	3,60	67	-27,9	NO								1,2	0,8	-17,4	0,0	69,0	11,1	6,7
31	3,60	71	-15,5	NO	4,6	18,6	-14,8	0,0	69,0	11,1	19,8							
32	1,80	72	-14,1	NO	2,7	3,2	-8,8	0,0	69,0	11,1	39,9	2,9	0,6	-9,1	0,0	69,0	11,1	39,9
33	1,80	73	-38,7	NO	2,8	0,0	-24,3	0,0	69,0	11,1	39,9	0,3	0,0	-24,2	0,0	69,0	11,1	39,9
34	3,60	74	-23,2	NO								1,1	9,2	-16,1	0,0	69,0	11,1	19,8
35	3,60	75	-24,3	NO								0,7	9,2	-16,8	0,0	69,0	11,1	19,8
36	3,60	76	-12,8	NO	4,8	17,1	-12,7	0,0	69,0	11,1	19,8	0,5	1,3	-8,0	0,0	69,0	11,1	19,8
38	3,60	78	0,0	NO								0,0	3,9	-2,5	0,0	69,0	11,1	19,8
32	3,60	81	-9,2	NO	11,3	4,3	-8,1	0,0	69,0	11,1	39,9	8,0	1,3	-7,9	0,0	69,0	11,1	39,9
33	3,60	82	0,0	NO								0,0	3,9	-2,5	0,0	69,0	11,1	39,9
16	7,20	96	0,0	NO	0,0	6,2	-3,9	0,0	69,0	11,1	9,9	0,0	0,0	0,0	0,0	69,0	11,1	9,9
17	7,20	97	0,0	NO								0,0	2,5	-1,6	0,0	69,0	11,1	9,9
18	7,20	98	0,0	NO								0,0	2,5	-1,6	0,0	69,0	11,1	9,9
19	7,20	99	0,0	NO														
20	7,20	100	0,0	NO	0,0	0,0	0,0	0,0	69,0	11,1	9,9	0,0	5,1	-3,2	0,0	69,0	11,1	9,9
21	7,20	101	0,0	NO	0,0	7,4	-4,6	0,0	69,0	11,1	9,9							
25	7,20	105	0,0	NO	0,0	6,2	-3,9	0,0	69,0	11,1	9,9							

## RISULTATI VERIFICHE NODI CLS - PUSH N.ro: 25 - Prop.Modolo: +Fx-0.3\*Fy-Ecc5%

IDENTIFICATIVO					DIREZIONE 'X'							DIREZIONE 'Y'						
Filo N.ro	Quota (m)	Nod3d Nro	Nsup (t)	Coll Nodo	TaglSup (t)	TrazAf (t)	SgmCo	SgmTr	RcLim	RtLim	DeltRt	TaglSup (t)	TrazAf (t)	SgmCo	SgmTr	RcLim	RtLim	DeltRt
26	7,20	106	-10,6	NO	13,3	0,0	-12,3	5,7	69,0	11,1		6,8	7,0	-6,6	0,0	69,0	11,1	
27	7,20	107	-28,9	NO								8,7	4,9	-18,4	0,0	69,0	11,1	6,7
31	7,20	111	0,0	NO	0,0	8,6	-5,4	0,0	69,0	11,1	9,9							
32	5,40	112	-1,9	NO	0,3	7,0	-4,8	0,0	69,0	11,1	59,8	0,5	5,1	-3,5	0,0	69,0	11,1	59,8
34	7,20	114	0,0	NO								0,0	1,2	-0,8	0,8	69,0	11,1	
35	7,20	115	0,0	NO								0,0	0,0	0,0	0,0	69,0	11,1	9,9
36	7,20	116	0,0	NO	0,0	8,6	-5,4	0,0	69,0	11,1	9,9	0,0	0,0	0,0	0,0	69,0	11,1	9,9
37	7,20	117	0,0	NO								0,0	3,8	-2,4	0,0	69,0	11,1	9,9
32	7,20	122	0,7	NO	12,4	0,0	-7,5	0,0	69,0	11,1	14,9	0,3	0,0	-0,1	0,0	69,0	11,1	14,9
33	7,20	123	-17,9	NO								0,8	1,2	-11,2	0,0	69,0	11,1	6,7
26	9,80	125	0,0	NO	0,0	0,0	0,0	0,0	69,0	11,1	9,9							
27	9,80	126	0,0	NO	0,0	30,8	-19,3	9,4	69,0	11,1	9,9							
32	9,80	127	0,0	NO	0,0	0,0	0,0	0,0	69,0	11,1	9,9	0,0	0,0	0,0	0,0	69,0	11,1	9,9
33	9,80	128	0,0	NO	0,0	30,5	-19,0	9,1	69,0	11,1	9,9	0,0	0,0	0,0	0,0	69,0	11,1	9,9

## RISULTATI VERIFICHE NODI CLS - PUSH N.ro: 26 - Prop.Modolo: -Fx-0.3\*Fy-Ecc5%

IDENTIFICATIVO					DIREZIONE 'X'							DIREZIONE 'Y'						
Filo N.ro	Quota (m)	Nod3d Nro	Nsup (t)	Coll Nodo	TaglSup (t)	TrazAf (t)	SgmCo	SgmTr	RcLim	RtLim	DeltRt	TaglSup (t)	TrazAf (t)	SgmCo	SgmTr	RcLim	RtLim	DeltRt
1	0,00	1	-23,6	NO	8,8	6,4	-14,9	0,2	69,0	11,1		1,4	0,0	-14,8	0,1	69,0	11,1	
2	0,00	2	-44,6	NO								3,5	3,0	-27,8	0,0	69,0	11,1	
3	0,00	3	-43,7	NO								4,6	4,2	-27,3	0,0	69,0	11,1	
4	0,00	4	-37,3	NO								4,7	4,2	-23,3	0,0	69,0	11,1	
5	0,00	5	-7,1	NO	4,5	0,0	-5,8	1,4	69,0	11,1		6,0	5,4	-4,5	0,0	69,0	11,1	
6	0,00	6	-32,8	NO	8,8	5,9	-20,7	0,2	69,0	11,1								
10	0,00	10	-13,4	NO	3,3	0,0	-8,9	0,5	69,0	11,1								
11	0,00	11	-18,4	NO	5,2	3,9	-11,6	0,1	69,0	11,1								
15	0,00	15	-13,1	NO	2,6	0,0	-8,5	0,3	69,0	11,1								
16	0,00	16	-28,3	NO	4,5	4,2	-17,7	0,0	69,0	11,1								
19	0,00	20	-20,5	NO								6,4	0,0	-13,9	1,1	69,0	11,1	
20	0,00	21	-11,3	NO	3,3	0,0	-7,6	0,6	69,0	11,1		5,3	4,4	-7,1	0,0	69,0	11,1	
21	0,00	22	-23,5	NO	3,2	3,0	-14,7	0,0	69,0	11,1								
25	0,00	26	-30,2	NO	0,1	0,0	-18,9	0,0	69,0	11,1								
26	0,00	27	-27,4	NO	1,2	0,0	-17,1	0,0	69,0	11,1								
27	0,00	28	-9,6	NO								0,3	0,5	-6,0	0,0	69,0	11,1	6,7
31	0,00	32	-33,5	NO	1,5	1,2	-21,0	0,0	69,0	11,1								
32	0,00	33	-21,4	NO	5,8	0,0	-14,3	0,0	69,0	11,1	39,9	3,8	0,0	-13,8	0,0	69,0	11,1	39,9
33	0,00	34	-15,4	NO								4,1	0,0	-10,3	0,0	69,0	11,1	39,9
38	0,00	35	-33,1	NO								0,8	0,0	-20,7	0,0	69,0	11,1	
34	0,00	36	-54,5	NO								0,5	0,0	-34,1	0,0	69,0	11,1	
35	0,00	37	-56,8	NO								1,6	0,0	-35,6	0,0	69,0	11,1	
36	0,00	38	-30,8	NO	2,3	2,4	-19,2	0,0	69,0	11,1		4,7	0,0	-19,7	0,4	69,0	11,1	
1	3,60	41	0,0	NO	0,0	23,4	-14,6	0,0	69,0	11,1	19,8	0,0	0,0	0,0	0,0	69,0	11,1	19,8
2	3,60	42	0,0	NO								0,0	11,2	-7,0	0,0	69,0	11,1	19,8
3	3,60	43	0,0	NO								0,0	13,7	-8,6	0,0	69,0	11,1	19,8
4	3,60	44	0,0	NO								0,0	12,4	-7,8	0,0	69,0	11,1	19,8
5	3,60	45	0,0	NO	0,0	0,0	0,0	0,0	69,0	11,1	19,8	0,0	13,7	-8,6	0,0	69,0	11,1	19,8
6	3,60	46	0,0	NO	0,0	24,8	-15,5	0,0	69,0	11,1	19,8							
10	3,60	50	0,0	NO	0,0	0,0	0,0	0,0	69,0	11,1	19,8							
11	3,60	51	0,0	NO	0,0	13,8	-8,6	0,0	69,0	11,1	19,8							
15	3,60	55	0,0	NO	0,0	0,0	0,0	0,0	69,0	11,1	19,8							
16	3,60	56	-10,6	NO	3,8	19,3	-13,5	0,0	69,0	11,1	19,8							
19	3,60	59	-11,9	NO								0,7	0,0	-7,5	0,0	69,0	11,1	19,8
20	3,60	60	-5,4	NO	1,4	0,0	-3,6	0,0	69,0	11,1	19,8	3,8	17,8	-10,6	0,0	69,0	11,1	19,8
21	3,60	61	-9,9	NO	3,6	15,1	-10,9	0,0	69,0	11,1	19,8							
25	3,60	65	-12,0	NO	3,3	7,6	-8,4	0,0	69,0	11,1	19,8							
26	3,60	66	-27,2	NO	4,3	0,0	-17,4	0,0	69,0	11,1	19,8	0,1	4,7	-17,5	0,0	69,0	11,1	19,8
27	3,60	67	-13,0	NO								0,4	0,8	-8,1	0,0	69,0	11,1	6,7
31	3,60	71	-14,3	NO	4,7	14,3	-12,0	0,0	69,0	11,1	19,8							
32	1,80	72	-26,6	NO	2,8	0,0	-16,8	0,0	69,0	11,1	39,9	4,0	0,6	-16,9	0,0	69,0	11,1	39,9
33	1,80	73	-26,7	NO	2,5	0,0	-16,9	0,0	69,0	11,1	39,9	7,7	0,0	-18,0	0,0	69,0	11,1	39,9
34	3,60	74	-22,7	NO								0,7	2,6	-14,3	0,0	69,0	11,1	19,8
35	3,60	75	-23,6	NO								0,1	0,0	-14,7	0,0	69,0	11,1	19,8
36	3,60	76	-12,2	NO	4,9	17,1	-12,3	0,0	69,0	11,1	19,8	1,1	0,0	-7,7	0,0	69,0	11,1	19,8
38	3,60	78	0,0	NO								0,0	1,3	-0,8	0,0	69,0	11,1	19,8
32	3,60	81	-23,0	NO	3,7	0,0	-14,8	0,0	69,0	11,1	39,9	2,5	2,6	-14,4	0,0	69,0	11,1	39,9
33	3,60	82	0,0	NO								0,0	1,3	-0,8	0,0	69,0	11,1	39,9
16	7,20	96	0,0	NO	0,0	7,4	-4,6	0,0	69,0	11,1	9,9	0,0	1,3	-0,8	0,0	69,0	11,1	9,9
17	7,20	97	0,0	NO								0,0	3,8	-2,4	0,0	69,0	11,1	9,9
18	7,20	98	0,0	NO								0,0	6,4	-4,0	0,0	69,0	11,1	9,9
19	7,20	99	0,0	NO														
20	7,20	100	0,0	NO	0,0	0,0	0,0	0,0	69,0	11,1	9,9	0,0	10,2	-6,4	0,0	69,0	11,1	9,9
21	7,20	101	0,0	NO	0,0	7,4	-4,6	0,0	69,0	11,1	9,9							
25	7,20	105	0,0	NO	0,0	6,2	-3,9	0,0	69,0	11,1	9,9							
26	7,20	106	-23,5	NO	14,5	4,9	-16,8	2,1	69,0	11,1		0,7	3,5	-14,9	0,2	69,0	11,1	
27	7,20	107	-16,1	NO								11,2	7,4	-10,6	0,0	69,0	11,1	6,7
31	7,20	111	0,0	NO	0,0	8,6	-5,4	0,0	69,0	11,1	9,9							
32	5,40	112	-26,3	NO	14,4	0,0	-20,4	0,0	69,0	11,1	59,8	0,4	0,0	-16,4	0,0	69,0	11,1	59,8
34	7,20	114	0,0	NO								0,0	0,0	0,0	0,0	69,0	11,1	
35	7,20	115	0,0	NO								0,0	0,0	0,0	0,0	69,0	11,1	9,9
36	7,20	116	0,0	NO	0,0	9,9	-6,2	0,0	69,0	11,1	9,9	0,0	0,0	0,0	0,0	69,0	11,1	9,9
37	7,20	117	0,0	NO								0,0	8,9	-5,6	0,0	69,0	11,1	9,9
32	7,20	122	-19,7	NO	14,5	0,0	-17,1	0,0	69,0	11,1	14,9	7,7	7,5	-12,3	0,0	69,0	11,1	14,9

## RISULTATI VERIFICHE NODI CLS - PUSH N.ro: 26 - Prop.Modolo:-Fx-0.3\*Fy-Ecc5%

IDENTIFICATIVO					DIREZIONE 'X							DIREZIONE 'Y						
Filo N.ro	Quota (m)	Nod3d Nro	Nsup (t)	Coll Nodo	TaglSup (t)	TrazAf (t)	SgmCo	SgmTr	RcLim	RtLim	DeltRt	TaglSup (t)	TrazAf (t)	SgmCo	SgmTr	RcLim	RtLim	DeltRt
33	7,20	123	2,5	NO								11,4	0,0	-6,4	1,3	69,0	11,1	6,7
26	9,80	125	0,0	NO	0,0	30,8	-19,3	9,4	69,0	11,1	9,9							
27	9,80	126	0,0	NO	0,0	0,0	0,0	0,0	69,0	11,1	9,9							
32	9,80	127	0,0	NO	0,0	30,5	-19,0	9,1	69,0	11,1	9,9	0,0	12,7	-7,9	0,0	69,0	11,1	9,9
33	9,80	128	0,0	NO	0,0	0,0	0,0	0,0	69,0	11,1	9,9	0,0	0,0	0,0	0,0	69,0	11,1	9,9

## RISULTATI VERIFICHE NODI CLS - PUSH N.ro: 27 - Prop.Modolo:+Fy-0.3\*Fx-Ecc5%

IDENTIFICATIVO					DIREZIONE 'X							DIREZIONE 'Y						
Filo N.ro	Quota (m)	Nod3d Nro	Nsup (t)	Coll Nodo	TaglSup (t)	TrazAf (t)	SgmCo	SgmTr	RcLim	RtLim	DeltRt	TaglSup (t)	TrazAf (t)	SgmCo	SgmTr	RcLim	RtLim	DeltRt
1	0,00	1	-20,1	NO	1,4	0,5	-12,6	0,0	69,0	11,1		1,0	0,0	-12,6	0,0	69,0	11,1	
2	0,00	2	-43,8	NO								1,1	0,6	-27,4	0,0	69,0	11,1	
3	0,00	3	-41,5	NO								0,1	0,0	-25,9	0,0	69,0	11,1	
4	0,00	4	-30,7	NO								1,9	0,0	-19,2	0,1	69,0	11,1	
5	0,00	5	-9,3	NO	3,7	4,6	-5,9	0,1	69,0	11,1		2,6	0,0	-6,2	0,4	69,0	11,1	
6	0,00	6	-29,6	NO	3,3	1,5	-18,6	0,1	69,0	11,1								
10	0,00	10	-17,2	NO	2,9	3,3	-10,8	0,0	69,0	11,1								
11	0,00	11	-16,5	NO	1,2	0,5	-10,3	0,0	69,0	11,1								
15	0,00	15	-5,1	NO	2,3	2,6	-3,2	0,0	69,0	11,1								
16	0,00	16	-25,9	NO	1,6	1,2	-16,2	0,0	69,0	11,1								
19	0,00	20	-23,6	NO								3,4	2,5	-14,8	0,0	69,0	11,1	
20	0,00	21	-10,5	NO	1,6	1,8	-6,6	0,0	69,0	11,1		3,8	0,0	-7,4	0,8	69,0	11,1	
21	0,00	22	-19,6	NO	1,4	1,2	-12,3	0,0	69,0	11,1								
25	0,00	26	-21,3	NO	1,6	1,8	-13,3	0,0	69,0	11,1								
26	0,00	27	-27,0	NO	1,3	0,0	-16,9	0,0	69,0	11,1								
27	0,00	28	-4,9	NO								2,5	1,5	-3,2	0,0	69,0	11,1	6,7
31	0,00	32	-52,8	NO	2,2	2,4	-33,0	0,0	69,0	11,1								
32	0,00	33	-21,2	NO	8,7	0,0	-15,2	0,0	69,0	11,1	39,9	6,9	0,0	-14,5	0,0	69,0	11,1	39,9
33	0,00	34	-29,9	NO								14,1	0,0	-22,2	0,0	69,0	11,1	39,9
38	0,00	35	-20,1	NO								1,6	1,5	-12,6	0,0	69,0	11,1	
34	0,00	36	-57,9	NO								3,5	2,9	-36,2	0,0	69,0	11,1	
35	0,00	37	-64,6	NO								4,1	3,4	-40,4	0,0	69,0	11,1	
36	0,00	38	-37,5	NO	0,9	1,2	-23,4	0,0	69,0	11,1		2,8	3,4	-23,5	0,0	69,0	11,1	
1	3,60	41	0,0	NO	0,0	5,5	-3,4	0,0	69,0	11,1	19,8	0,0	0,0	0,0	0,0	69,0	11,1	19,8
2	3,60	42	0,0	NO								0,0	5,0	-3,1	0,0	69,0	11,1	19,8
3	3,60	43	0,0	NO								0,0	2,5	-1,6	0,0	69,0	11,1	19,8
4	3,60	44	0,0	NO								0,0	0,0	0,0	0,0	69,0	11,1	19,8
5	3,60	45	0,0	NO	0,0	9,1	-5,7	0,0	69,0	11,1	19,8	0,0	0,0	0,0	0,0	69,0	11,1	19,8
6	3,60	46	0,0	NO	0,0	11,0	-6,9	0,0	69,0	11,1	19,8							
10	3,60	50	0,0	NO	0,0	6,5	-4,0	0,0	69,0	11,1	19,8							
11	3,60	51	0,0	NO	0,0	4,1	-2,6	0,0	69,0	11,1	19,8							
15	3,60	55	0,0	NO	0,0	5,2	-3,2	0,0	69,0	11,1	19,8							
16	3,60	56	-9,9	NO	2,2	9,6	-8,7	0,0	69,0	11,1	19,8							
19	3,60	59	-7,1	NO								0,8	10,9	-8,9	0,0	69,0	11,1	19,8
20	3,60	60	-4,3	NO	2,2	7,6	-5,0	0,0	69,0	11,1	19,8	3,9	0,0	-4,2	0,0	69,0	11,1	19,8
21	3,60	61	-6,7	NO	3,1	11,0	-7,5	0,0	69,0	11,1	19,8							
25	3,60	65	-9,8	NO	3,8	12,2	-9,2	0,0	69,0	11,1	19,8							
26	3,60	66	-23,4	NO	3,0	0,0	-14,9	0,0	69,0	11,1	19,8	2,1	6,2	-15,1	0,0	69,0	11,1	19,8
27	3,60	67	1,6	NO								3,3	7,1	-1,9	0,0	69,0	11,1	6,7
31	3,60	71	-20,2	NO	4,6	15,7	-15,7	0,0	69,0	11,1	19,8							
32	1,80	72	-27,9	NO	14,6	0,6	-21,0	0,0	69,0	11,1	39,9	5,7	0,0	-18,1	0,0	69,0	11,1	39,9
33	1,80	73	-46,1	NO	14,7	0,0	-31,5	0,0	69,0	11,1	39,9	17,6	0,0	-32,5	0,0	69,0	11,1	39,9
34	3,60	74	-23,5	NO								3,8	17,0	-18,4	0,0	69,0	11,1	19,8
35	3,60	75	-26,8	NO								4,7	19,6	-20,9	0,0	69,0	11,1	19,8
36	3,60	76	-14,8	NO	3,1	11,4	-11,5	0,0	69,0	11,1	19,8	5,0	15,7	-12,7	0,0	69,0	11,1	19,8
38	3,60	78	0,0	NO								0,0	9,2	-5,7	0,0	69,0	11,1	19,8
32	3,60	81	-22,3	NO	28,3	4,3	-23,5	0,0	69,0	11,1	39,9	5,2	2,6	-14,1	0,0	69,0	11,1	39,9
33	3,60	82	0,0	NO								0,0	7,8	-4,9	0,0	69,0	11,1	39,9
16	7,20	96	0,0	NO	0,0	3,7	-2,3	0,0	69,0	11,1	9,9	0,0	1,3	-0,8	0,0	69,0	11,1	9,9
17	7,20	97	0,0	NO								0,0	0,0	0,0	0,0	69,0	11,1	9,9
18	7,20	98	0,0	NO								0,0	0,0	0,0	0,0	69,0	11,1	9,9
19	7,20	99	0,0	NO														
20	7,20	100	0,0	NO	0,0	4,2	-2,6	0,0	69,0	11,1	9,9	0,0	0,0	0,0	0,0	69,0	11,1	9,9
21	7,20	101	0,0	NO	0,0	6,2	-3,9	0,0	69,0	11,1	9,9							
25	7,20	105	0,0	NO	0,0	7,4	-4,6	0,0	69,0	11,1	9,9							
26	7,20	106	-17,2	NO	8,4	1,2	-12,4	1,6	69,0	11,1		14,2	10,7	-11,2	0,4	69,0	11,1	
27	7,20	107	-5,8	NO								12,7	0,0	-9,9	0,0	69,0	11,1	6,7
31	7,20	111	0,0	NO	0,0	8,6	-5,4	0,0	69,0	11,1	9,9							
32	5,40	112	-34,3	NO	22,5	0,0	-28,4	0,0	69,0	11,1	59,8	1,8	0,0	-21,5	0,0	69,0	11,1	59,8
34	7,20	114	0,0	NO								0,0	7,5	-4,7	4,7	69,0	11,1	
35	7,20	115	0,0	NO								0,0	10,0	-6,2	0,0	69,0	11,1	9,9
36	7,20	116	0,0	NO	0,0	4,9	-3,1	0,0	69,0	11,1	9,9	0,0	12,4	-7,8	0,0	69,0	11,1	9,9
37	7,20	117	0,0	NO								0,0	0,0	0,0	0,0	69,0	11,1	9,9
32	7,20	122	-16,9	NO	1,0	25,9	-21,7	0,0	69,0	11,1	14,9	14,5	11,2	-10,9	0,0	69,0	11,1	14,9
33	7,20	123	-16,9	NO								14,5	6,2	-12,7	0,0	69,0	11,1	6,7
26	9,80	125	0,0	NO	0,0	30,8	-19,3	9,4	69,0	11,1	9,9							
27	9,80	126	0,0	NO	0,0	0,0	0,0	0,0	69,0	11,1	9,9							
32	9,80	127	0,0	NO	0,0	2,5	-1,6	0,0	69,0	11,1	9,9	0,0	26,7	-16,7	6,8	69,0	11,1	9,9
33	9,80	128	0,0	NO	0,0	2,5	-1,6	0,0	69,0	11,1	9,9	0,0	26,7	-16,7	6,8	69,0	11,1	9,9

## RISULTATI VERIFICHE NODI CLS - PUSH N.ro: 28 - Prop.Modolo:-Fy-0.3\*Fx-Ecc5%

IDENTIFICATIVO					DIREZIONE 'X							DIREZIONE 'Y						
Filo	Quota	Nod3d	Nsup	Coll	TaglSup	TrazAf	SgmCo	SgmTr	RcLim	RtLim	DeltRt	TaglSup	TrazAf	SgmCo	SgmTr	RcLim	RtLim	DeltRt

SOFTWARE: C.D.S. - Full - Rel.2018

**C.D.S.**

N.ro	(m)	N.ro	(t)	Nodo	(t)	(t)	----- kg/cmq -----				(t)	(t)	----- kg/cmq -----			
1	0,00	1	-24,3	NO	9,9	7,4	-15,4	0,2	69,0	11,1	1,2	0,0	-15,2	0,0	69,0	11,1
2	0,00	2	-44,9	NO							4,3	3,6	-28,1	0,0	69,0	11,1
3	0,00	3	-44,4	NO							5,8	5,4	-27,8	0,0	69,0	11,1
4	0,00	4	-38,7	NO							6,3	6,0	-24,2	0,0	69,0	11,1
5	0,00	5	-7,0	NO	5,9	0,0	-6,5	2,1	69,0	11,1	8,0	7,2	-4,4	0,1	69,0	11,1
6	0,00	6	-33,4	NO	9,6	6,4	-21,0	0,2	69,0	11,1						
10	0,00	10	-13,0	NO	4,2	0,0	-8,9	0,8	69,0	11,1						
11	0,00	11	-18,9	NO	5,6	4,4	-11,8	0,0	69,0	11,1						
15	0,00	15	-13,4	NO	3,2	0,0	-8,8	0,4	69,0	11,1						
16	0,00	16	-28,6	NO	4,6	4,2	-17,9	0,0	69,0	11,1						
19	0,00	20	-22,2	NO							6,9	0,0	-15,1	1,2	69,0	11,1
20	0,00	21	-12,6	NO	4,0	0,0	-8,6	0,7	69,0	11,1	6,9	5,4	-8,0	0,1	69,0	11,1
21	0,00	22	-26,3	NO	3,1	3,0	-16,4	0,0	69,0	11,1						
25	0,00	26	-33,8	NO	0,1	0,0	-21,1	0,0	69,0	11,1						
26	0,00	27	-25,3	NO	1,1	0,0	-15,9	0,0	69,0	11,1						
27	0,00	28	-9,6	NO							0,2	0,5	-6,0	0,0	69,0	11,1
31	0,00	32	-27,3	NO	1,7	1,2	-17,0	0,0	69,0	11,1						6,7
32	0,00	33	-17,3	NO	1,3	1,2	-10,8	0,0	69,0	11,1	1,1	0,0	-10,8	0,0	69,0	11,1
33	0,00	34	-11,0	NO							1,4	0,0	-7,0	0,0	69,0	11,1
38	0,00	35	-42,9	NO							1,8	0,0	-26,8	0,0	69,0	11,1
34	0,00	36	-53,6	NO							1,5	0,0	-33,6	0,0	69,0	11,1
35	0,00	37	-54,0	NO							2,8	0,0	-33,9	0,1	69,0	11,1
36	0,00	38	-28,6	NO	2,9	3,0	-17,9	0,0	69,0	11,1	6,1	0,0	-18,7	0,8	69,0	11,1
1	3,60	41	0,0	NO	0,0	26,1	-16,3	0,0	69,0	11,1	0,0	0,0	0,0	0,0	69,0	11,1
2	3,60	42	0,0	NO							0,0	12,4	-7,8	0,0	69,0	11,1
3	3,60	43	0,0	NO							0,0	16,2	-10,1	0,0	69,0	11,1
4	3,60	44	0,0	NO							0,0	17,4	-10,9	0,0	69,0	11,1
5	3,60	45	0,0	NO	0,0	0,0	0,0	0,0	69,0	11,1	0,0	18,7	-11,7	0,0	69,0	11,1
6	3,60	46	0,0	NO	0,0	26,1	-16,3	0,0	69,0	11,1						
10	3,60	50	0,0	NO	0,0	0,0	0,0	0,0	69,0	11,1						
11	3,60	51	0,0	NO	0,0	15,1	-9,5	0,0	69,0	11,1						
15	3,60	55	0,0	NO	0,0	0,0	0,0	0,0	69,0	11,1						
16	3,60	56	-10,7	NO	4,5	20,6	-14,0	0,0	69,0	11,1						
19	3,60	59	-13,6	NO							0,9	0,0	-8,6	0,0	69,0	11,1
20	3,60	60	-6,1	NO	2,8	0,0	-4,5	0,0	69,0	11,1	7,3	26,7	-14,2	0,0	69,0	11,1
21	3,60	61	-12,9	NO	3,8	15,1	-12,2	0,0	69,0	11,1						
25	3,60	65	-13,2	NO	3,1	7,6	-9,1	0,0	69,0	11,1						
26	3,60	66	-28,3	NO	4,1	0,0	-18,1	0,0	69,0	11,1	1,9	4,7	-17,9	0,0	69,0	11,1
27	3,60	67	-15,4	NO							1,0	0,0	-9,7	0,0	69,0	11,1
31	3,60	71	-11,8	NO	4,8	15,7	-11,4	0,0	69,0	11,1						
32	1,80	72	-15,4	NO	11,6	0,0	-13,5	0,0	69,0	11,1	0,1	2,5	-9,8	0,0	69,0	11,1
33	1,80	73	-25,0	NO	11,0	0,0	-18,2	0,0	69,0	11,1	18,0	0,0	-21,5	0,0	69,0	11,1
34	3,60	74	-22,5	NO							0,8	0,0	-14,1	0,0	69,0	11,1
35	3,60	75	-22,2	NO							2,1	0,0	-14,0	0,0	69,0	11,1
36	3,60	76	-11,1	NO	5,9	20,0	-13,0	0,0	69,0	11,1	4,1	0,0	-7,8	0,0	69,0	11,1
38	3,60	78	0,0	NO							0,0	0,0	0,0	0,0	69,0	11,1
32	3,60	81	-11,9	NO	24,9	0,0	-19,7	0,0	69,0	11,1	3,8	2,6	-7,5	0,0	69,0	11,1
33	3,60	82	0,0	NO							0,0	0,0	0,0	0,0	69,0	11,1
16	7,20	96	0,0	NO	0,0	8,6	-5,4	0,0	69,0	11,1	0,0	0,0	0,0	0,0	69,0	11,1
17	7,20	97	0,0	NO							0,0	5,1	-3,2	0,0	69,0	11,1
18	7,20	98	0,0	NO							0,0	10,2	-6,4	0,0	69,0	11,1
19	7,20	99	0,0	NO												
20	7,20	100	0,0	NO	0,0	0,0	0,0	0,0	69,0	11,1	0,0	19,1	-11,9	2,0	69,0	11,1
21	7,20	101	0,0	NO	0,0	8,6	-5,4	0,0	69,0	11,1						
25	7,20	105	0,0	NO	0,0	6,2	-3,9	0,0	69,0	11,1						
26	7,20	106	-29,6	NO	11,7	3,7	-19,8	1,3	69,0	11,1	12,7	6,1	-19,4	0,9	69,0	11,1
27	7,20	107	-17,8	NO							13,0	11,1	-11,3	0,0	69,0	11,1
31	7,20	111	0,0	NO	0,0	8,6	-5,4	0,0	69,0	11,1						
32	5,40	112	-0,4	NO	22,1	7,7	-9,1	0,0	69,0	11,1	9,1	5,1	-2,7	0,0	69,0	11,1
34	7,20	114	0,0	NO							0,0	0,0	0,0	0,0	69,0	11,1
35	7,20	115	0,0	NO							0,0	0,0	0,0	0,0	69,0	11,1
36	7,20	116	0,0	NO	0,0	12,3	-7,7	0,0	69,0	11,1	0,0	0,0	0,0	0,0	69,0	11,1
37	7,20	117	0,0	NO							0,0	15,2	-9,5	0,0	69,0	11,1
32	7,20	122	-2,7	NO	1,0	0,0	-1,9	0,0	69,0	11,1	12,7	0,0	-8,8	0,0	69,0	11,1
33	7,20	123	-6,6	NO							13,0	0,0	-10,4	0,0	69,0	11,1
26	9,80	125	0,0	NO	0,0	30,8	-19,3	9,4	69,0	11,1						
27	9,80	126	0,0	NO	0,0	0,0	0,0	0,0	69,0	11,1						
32	9,80	127	0,0	NO	0,0	0,0	0,0	0,0	69,0	11,1	0,0	0,0	0,0	0,0	69,0	11,1
33	9,80	128	0,0	NO	0,0	6,3	-4,0	0,0	69,0	11,1	0,0	0,0	0,0	0,0	69,0	11,1

RISULTATI VERIFICHE NODI CLS - PUSH N.ro: 29 - Prop.Massa:+Fx-0.3*Fy-Ecc5%																		
IDENTIFICATIVO					DIREZIONE 'X'							DIREZIONE 'Y'						
Filo N.ro	Quota (m)	Nod3d Nro	Nsup (t)	Coll Nodo	TaglSup (t)	TrazAf (t)	SgmCo	SgmTr	RcLim	RtLim	DeltRt	TaglSup (t)	TrazAf (t)	SgmCo	SgmTr	RcLim	RtLim	DeltRt
1	0,00	1	-20,2	NO	0,2	0,0	-12,7	0,0	69,0	11,1		0,2	0,6	-12,7	0,0	69,0	11,1	
2	0,00	2	-44,6	NO								2,5	1,8	-27,9	0,0	69,0	11,1	
3	0,00	3	-42,4	NO								1,6	1,2	-26,5	0,0	69,0	11,1	
4	0,00	4	-31,3	NO								0,3	0,0	-19,6	0,0	69,0	11,1	
5	0,00	5	-10,9	NO	4,8	5,3	-6,8	0,0	69,0	11,1		0,9	0,0	-6,8	0,0	69,0	11,1	
6	0,00	6	-29,2	NO	1,9	0,5	-18,3	0,0	69,0	11,1								
10	0,00	10	-18,6	NO	4,3	4,6	-11,6	0,0	69,0	11,1								
11	0,00	11	-16,6	NO	0,3	0,0	-10,4	0,0	69,0	11,1								
15	0,00	15	-10,3	NO	3,8	4,0	-6,4	0,0	69,0	11,1								
16	0,00	16	-25,9	NO	0,8	0,0	-16,2	0,0	69,0	11,1								
19	0,00	20	-25,3	NO								1,7	1,0	-15,8	0,0	69,0	11,1	
20	0,00	21	-11,6	NO	3,6	3,6	-7,2	0,0	69,0	11,1		3,5	0,0	-7,8	0,6	69,0	11,1	
21	0,00	22	-22,1	NO	0,6	0,0	-13,8	0,0	69,0	11,1								

## RISULTATI VERIFICHE NODI CLS - PUSH N.ro: 29 - Prop.Massa:+Fx-0.3\*Fy-Ecc5%

IDENTIFICATIVO					DIREZIONE 'X'							DIREZIONE 'Y'						
Filo N.ro	Quota (m)	Nod3d Nro	Nsup (t)	Coll Nodo	TaglSup (t)	TrazAf (t)	SgmCo	SgmTr	RcLim	RtLim	DeltRt	TaglSup (t)	TrazAf (t)	SgmCo	SgmTr	RcLim	RtLim	DeltRt
									kg/cmq									
25	0,00	26	-26,9	NO	3,8	3,6	-16,8	0,0	69,0	11,1								
26	0,00	27	-18,6	NO	0,3	1,2	-11,7	0,0	69,0	11,1								
27	0,00	28	-20,7	NO								0,4	0,5	-12,9	0,0	69,0	11,1	6,7
31	0,00	32	-42,6	NO	4,6	4,2	-26,6	0,0	69,0	11,1								
32	0,00	33	-14,9	NO	3,7	1,8	-9,5	0,0	69,0	11,1	39,9	0,7	0,0	-9,3	0,0	69,0	11,1	39,9
33	0,00	34	-31,4	NO								7,0	0,0	-20,6	0,0	69,0	11,1	39,9
38	0,00	35	-24,4	NO								0,3	0,5	-15,3	0,0	69,0	11,1	
34	0,00	36	-56,1	NO								2,6	2,0	-35,1	0,0	69,0	11,1	
35	0,00	37	-60,1	NO								3,6	2,9	-37,6	0,0	69,0	11,1	
36	0,00	38	-33,8	NO	3,0	3,0	-21,1	0,0	69,0	11,1		2,6	2,5	-21,1	0,0	69,0	11,1	
1	3,60	41	0,0	NO	0,0	2,8	-1,7	0,0	69,0	11,1	19,8	0,0	1,2	-0,8	0,0	69,0	11,1	19,8
2	3,60	42	0,0	NO								0,0	8,7	-5,4	0,0	69,0	11,1	19,8
3	3,60	43	0,0	NO								0,0	6,2	-3,9	0,0	69,0	11,1	19,8
4	3,60	44	0,0	NO								0,0	2,5	-1,6	0,0	69,0	11,1	19,8
5	3,60	45	0,0	NO	0,0	10,4	-6,5	0,0	69,0	11,1	19,8	0,0	0,0	0,0	0,0	69,0	11,1	19,8
6	3,60	46	0,0	NO	0,0	6,9	-4,3	0,0	69,0	11,1	19,8							
10	3,60	50	0,0	NO	0,0	9,1	-5,7	0,0	69,0	11,1	19,8							
11	3,60	51	0,0	NO	0,0	1,4	-0,9	0,0	69,0	11,1	19,8							
15	3,60	55	0,0	NO	0,0	9,1	-5,7	0,0	69,0	11,1	19,8							
16	3,60	56	-10,8	NO	5,2	9,6	-7,7	0,0	69,0	11,1	19,8							
19	3,60	59	-12,0	NO								0,8	0,0	-7,5	0,0	69,0	11,1	19,8
20	3,60	60	-3,4	NO	2,3	4,6	-2,9	0,0	69,0	11,1	19,8	3,0	0,0	-3,2	0,0	69,0	11,1	19,8
21	3,60	61	-10,7	NO	5,1	9,6	-7,7	0,0	69,0	11,1	19,8							
25	3,60	65	-11,6	NO	2,0	15,3	-12,7	0,0	69,0	11,1	19,8							
26	3,60	66	-11,5	NO	0,7	0,0	-7,2	0,0	69,0	11,1	19,8	0,2	7,8	-9,5	0,0	69,0	11,1	19,8
27	3,60	67	-28,1	NO								1,2	0,8	-17,6	0,0	69,0	11,1	6,7
31	3,60	71	-14,7	NO	3,4	20,0	-15,9	0,0	69,0	11,1	19,8							
32	1,80	72	-19,2	NO	14,6	0,0	-16,9	0,0	69,0	11,1	39,9	9,5	0,0	-14,4	0,0	69,0	11,1	39,9
33	1,80	73	-45,7	NO	18,4	0,0	-32,6	0,0	69,0	11,1	39,9	1,8	0,0	-28,6	0,0	69,0	11,1	39,9
34	3,60	74	-23,0	NO								1,1	10,5	-16,5	0,0	69,0	11,1	19,8
35	3,60	75	-24,3	NO								0,4	11,8	-18,0	0,0	69,0	11,1	19,8
36	3,60	76	-12,1	NO	3,8	17,1	-13,0	0,0	69,0	11,1	19,8	1,1	5,2	-8,4	0,0	69,0	11,1	19,8
38	3,60	78	0,0	NO								0,0	5,2	-3,3	0,0	69,0	11,1	19,8
32	3,60	81	-15,8	NO	28,9	0,0	-23,7	0,0	69,0	11,1	39,9	16,8	0,0	-16,6	0,0	69,0	11,1	39,9
33	3,60	82	0,0	NO								0,0	2,6	-1,6	0,0	69,0	11,1	39,9
16	7,20	96	0,0	NO	0,0	9,9	-6,2	0,0	69,0	11,1	9,9	0,0	0,0	0,0	0,0	69,0	11,1	9,9
17	7,20	97	0,0	NO								0,0	1,3	-0,8	0,0	69,0	11,1	9,9
18	7,20	98	0,0	NO								0,0	2,5	-1,6	0,0	69,0	11,1	9,9
19	7,20	99	0,0	NO														
20	7,20	100	0,0	NO	0,0	0,0	0,0	0,0	69,0	11,1	9,9	0,0	6,4	-4,0	0,0	69,0	11,1	9,9
21	7,20	101	0,0	NO	0,0	9,9	-6,2	0,0	69,0	11,1	9,9							
25	7,20	105	0,0	NO	0,0	3,7	-2,3	0,0	69,0	11,1	9,9							
26	7,20	106	-10,6	NO	13,4	0,0	-12,3	5,7	69,0	11,1		6,9	7,0	-6,6	0,0	69,0	11,1	
27	7,20	107	-29,0	NO								8,6	4,9	-18,4	0,0	69,0	11,1	6,7
31	7,20	111	0,0	NO	0,0	6,2	-3,9	0,0	69,0	11,1	9,9							
32	5,40	112	-0,5	NO	2,2	17,3	-9,6	0,0	69,0	11,1	59,8	3,0	8,8	-3,9	0,0	69,0	11,1	59,8
34	7,20	114	0,0	NO								0,0	1,2	-0,8	0,8	69,0	11,1	
35	7,20	115	0,0	NO								0,0	0,0	0,0	0,0	69,0	11,1	9,9
36	7,20	116	0,0	NO	0,0	7,4	-4,6	0,0	69,0	11,1	9,9	0,0	0,0	0,0	0,0	69,0	11,1	9,9
37	7,20	117	0,0	NO								0,0	5,1	-3,2	0,0	69,0	11,1	9,9
32	7,20	122	0,7	NO	12,4	0,0	-7,5	0,0	69,0	11,1	14,9	0,1	0,0	0,0	0,0	69,0	11,1	14,9
33	7,20	123	-17,9	NO								1,0	1,2	-11,2	0,0	69,0	11,1	6,7
26	9,80	125	0,0	NO	0,0	0,0	0,0	0,0	69,0	11,1	9,9							
27	9,80	126	0,0	NO	0,0	30,8	-19,3	9,4	69,0	11,1	9,9							
32	9,80	127	0,0	NO	0,0	0,0	0,0	0,0	69,0	11,1	9,9	0,0	0,0	0,0	0,0	69,0	11,1	9,9
33	9,80	128	0,0	NO	0,0	30,5	-19,0	9,1	69,0	11,1	9,9	0,0	0,0	0,0	0,0	69,0	11,1	9,9

## RISULTATI VERIFICHE NODI CLS - PUSH N.ro: 30 - Prop.Massa:-Fx-0.3\*Fy-Ecc5%

IDENTIFICATIVO					DIREZIONE 'X'							DIREZIONE 'Y'						
Filo N.ro	Quota (m)	Nod3d Nro	Nsup (t)	Coll Nodo	TaglSup (t)	TrazAf (t)	SgmCo	SgmTr	RcLim	RtLim	DeltRt	TaglSup (t)	TrazAf (t)	SgmCo	SgmTr	RcLim	RtLim	DeltRt
									kg/cmq									
1	0,00	1	-26,1	NO	15,0	11,3	-16,7	0,3	69,0	11,1		2,2	0,0	-16,5	0,1	69,0	11,1	
2	0,00	2	-44,8	NO								4,8	4,2	-28,0	0,0	69,0	11,1	
3	0,00	3	-45,0	NO								7,6	7,2	-28,1	0,0	69,0	11,1	
4	0,00	4	-41,4	NO								9,3	9,0	-25,9	0,0	69,0	11,1	
5	0,00	5	-5,4	NO	10,3	0,0	-8,3	4,9	69,0	11,1		12,0	11,4	-3,4	0,0	69,0	11,1	
6	0,00	6	-35,3	NO	13,5	9,8	-22,3	0,2	69,0	11,1								
10	0,00	10	-10,1	NO	8,4	0,0	-9,3	3,0	69,0	11,1								
11	0,00	11	-19,5	NO	8,7	6,9	-12,3	0,1	69,0	11,1								
15	0,00	15	-11,3	NO	6,2	0,0	-8,7	1,7	69,0	11,1								
16	0,00	16	-29,5	NO	7,8	7,2	-18,4	0,0	69,0	11,1								
19	0,00	20	-20,0	NO														
20	0,00	21	-10,6	NO	7,7	0,0	-9,2	2,6	69,0	11,1		10,4	0,0	-15,3	2,8	69,0	11,1	
21	0,00	22	-23,6	NO	5,4	4,8	-14,8	0,0	69,0	11,1		12,8	9,8	-7,1	0,5	69,0	11,1	
25	0,00	26	-33,2	NO	2,3	0,0	-20,8	0,1	69,0	11,1								
26	0,00	27	-27,0	NO	1,3	0,0	-16,9	0,0	69,0	11,1								
27	0,00	28	-8,8	NO								0,3	0,5	-5,5	0,0	69,0	11,1	6,7
31	0,00	32	-28,0	NO	0,0	0,0	-17,5	0,0	69,0	11,1								
32	0,00	33	-21,2	NO	4,5	0,0	-13,8	0,0	69,0	11,1	39,9	5,1	0,0	-14,0	0,0	69,0	11,1	39,9
33	0,00	34	-13,7	NO								0,4	0,7	-8,6	0,0	69,0	11,1	39,9
38	0,00	35	-35,6	NO								2,5	0,0	-22,3	0,1	69,0	11,1	
34	0,00	36	-53,6	NO								3,8	0,0	-33,7	0,2	69,0	11,1	
35	0,00	37	-54,7	NO								6,7	0,0	-34,7	0,5	69,0	11,1	



## RISULTATI VERIFICHE NODI CLS - PUSH N.ro: 30 - Prop.Massa:-Fx-0.3\*Fy-Ecc5%

IDENTIFICATIVO					DIREZIONE 'X'							DIREZIONE 'Y'						
Filo N.ro	Quota (m)	Nod3d Nro	Nsup (t)	Coll Nodo	TaglSup (t)	TrazAf (t)	SgmCo	SgmTr	RcLim	RtLim	DeltRt	TaglSup (t)	TrazAf (t)	SgmCo	SgmTr	RcLim	RtLim	DeltRt
							kg/cmq											
36	0,00	38	-28,9	NO	2,9	3,0	-18,1	0,0	69,0	11,1		11,6	0,0	-20,6	2,6	69,0	11,1	
1	3,60	41	0,0	NO	0,0	38,5	-24,1	4,3	69,0	11,1	19,8	0,0	0,0	0,0	0,0	69,0	11,1	19,8
2	3,60	42	0,0	NO								0,0	13,7	-8,6	0,0	69,0	11,1	19,8
3	3,60	43	0,0	NO								0,0	19,9	-12,4	0,0	69,0	11,1	19,8
4	3,60	44	0,0	NO								0,0	23,6	-14,8	0,0	69,0	11,1	19,8
5	3,60	45	0,0	NO	0,0	0,0	0,0	0,0	69,0	11,1	19,8	0,0	27,4	-17,1	0,0	69,0	11,1	19,8
6	3,60	46	0,0	NO	0,0	35,8	-22,4	2,6	69,0	11,1	19,8							
10	3,60	50	0,0	NO	0,0	0,0	0,0	0,0	69,0	11,1	19,8							
11	3,60	51	0,0	NO	0,0	23,4	-14,6	0,0	69,0	11,1	19,8							
15	3,60	55	0,0	NO	0,0	0,0	0,0	0,0	69,0	11,1	19,8							
16	3,60	56	-10,2	NO	2,8	24,8	-17,3	0,0	69,0	11,1	19,8							
19	3,60	59	-11,7	NO								0,8	0,0	-7,3	0,0	69,0	11,1	19,8
20	3,60	60	-5,9	NO	0,7	0,0	-3,8	0,0	69,0	11,1	19,8	2,8	31,8	-20,0	0,0	69,0	11,1	19,8
21	3,60	61	-9,3	NO	2,9	19,3	-13,5	0,0	69,0	11,1	19,8							
25	3,60	65	-11,7	NO	4,0	3,1	-7,3	0,0	69,0	11,1	19,8							
26	3,60	66	-27,5	NO	4,4	0,0	-17,6	0,0	69,0	11,1	19,8	0,0	6,2	-18,0	0,0	69,0	11,1	19,8
27	3,60	67	-12,9	NO								0,3	0,0	-8,1	0,0	69,0	11,1	6,7
31	3,60	71	-15,0	NO	5,3	12,9	-11,4	0,0	69,0	11,1	19,8							
32	1,80	72	-25,9	NO	7,0	0,0	-17,3	0,0	69,0	11,1	39,9	8,9	1,3	-17,5	0,0	69,0	11,1	39,9
33	1,80	73	-25,7	NO	7,0	0,0	-17,2	0,0	69,0	11,1	39,9	20,4	0,0	-23,1	0,0	69,0	11,1	39,9
34	3,60	74	-22,9	NO								1,1	0,0	-14,4	0,0	69,0	11,1	19,8
35	3,60	75	-23,5	NO								0,9	0,0	-14,7	0,0	69,0	11,1	19,8
36	3,60	76	-12,6	NO	5,3	18,6	-13,1	0,0	69,0	11,1	19,8	0,0	0,0	-7,9	0,0	69,0	11,1	19,8
38	3,60	78	0,0	NO								0,0	0,0	0,0	0,0	69,0	11,1	19,8
32	3,60	81	-22,4	NO	11,7	0,0	-17,1	0,0	69,0	11,1	39,9	9,9	3,9	-15,0	0,0	69,0	11,1	39,9
33	3,60	82	0,0	NO								0,0	0,0	0,0	0,0	69,0	11,1	39,9
16	7,20	96	0,0	NO	0,0	6,2	-3,9	0,0	69,0	11,1	9,9	0,0	1,3	-0,8	0,0	69,0	11,1	9,9
17	7,20	97	0,0	NO								0,0	3,8	-2,4	0,0	69,0	11,1	9,9
18	7,20	98	0,0	NO								0,0	6,4	-4,0	0,0	69,0	11,1	9,9
19	7,20	99	0,0	NO														
20	7,20	100	0,0	NO	0,0	0,0	0,0	0,0	69,0	11,1	9,9	0,0	8,9	-5,6	0,0	69,0	11,1	9,9
21	7,20	101	0,0	NO	0,0	6,2	-3,9	0,0	69,0	11,1	9,9							
25	7,20	105	0,0	NO	0,0	7,4	-4,6	0,0	69,0	11,1	9,9							
26	7,20	106	-23,3	NO	14,2	4,9	-16,6	2,0	69,0	11,1		1,0	4,6	-14,9	0,3	69,0	11,1	
27	7,20	107	-16,2	NO								11,5	8,6	-10,4	0,0	69,0	11,1	6,7
31	7,20	111	0,0	NO	0,0	9,9	-6,2	0,0	69,0	11,1	9,9							
32	5,40	112	-24,7	NO	20,0	0,6	-22,1	0,0	69,0	11,1	59,8	3,8	0,0	-15,8	0,0	69,0	11,1	59,8
34	7,20	114	0,0	NO								0,0	0,0	0,0	0,0	69,0	11,1	
35	7,20	115	0,0	NO								0,0	0,0	0,0	0,0	69,0	11,1	9,9
36	7,20	116	0,0	NO	0,0	11,1	-6,9	0,0	69,0	11,1	9,9	0,0	0,0	0,0	0,0	69,0	11,1	9,9
37	7,20	117	0,0	NO								0,0	8,9	-5,6	0,0	69,0	11,1	9,9
32	7,20	122	-19,5	NO	14,5	0,0	-17,0	0,0	69,0	11,1	14,9	7,4	10,0	-12,4	0,0	69,0	11,1	14,9
33	7,20	123	2,3	NO								10,8	0,0	-6,1	0,8	69,0	11,1	6,7
26	9,80	125	0,0	NO	0,0	30,8	-19,3	9,4	69,0	11,1	9,9							
27	9,80	126	0,0	NO	0,0	0,0	0,0	0,0	69,0	11,1	9,9							
32	9,80	127	0,0	NO	0,0	30,5	-19,0	9,1	69,0	11,1	9,9	0,0	12,7	-7,9	0,0	69,0	11,1	9,9
33	9,80	128	0,0	NO	0,0	0,0	0,0	0,0	69,0	11,1	9,9	0,0	0,0	0,0	0,0	69,0	11,1	9,9

## RISULTATI VERIFICHE NODI CLS - PUSH N.ro: 31 - Prop.Massa:+Fy-0.3\*Fx-Ecc5%

IDENTIFICATIVO					DIREZIONE 'X'							DIREZIONE 'Y'						
Filo N.ro	Quota (m)	Nod3d Nro	Nsup (t)	Coll Nodo	TaglSup (t)	TrazAf (t)	SgmCo	SgmTr	RcLim	RtLim	DeltRt	TaglSup (t)	TrazAf (t)	SgmCo	SgmTr	RcLim	RtLim	DeltRt
							kg/cmq											
1	0,00	1	-18,4	NO	1,9	0,0	-11,6	0,1	69,0	11,1		1,4	0,0	-11,6	0,1	69,0	11,1	
2	0,00	2	-43,2	NO								0,7	0,0	-27,0	0,0	69,0	11,1	
3	0,00	3	-40,2	NO								2,9	0,0	-25,2	0,1	69,0	11,1	
4	0,00	4	-27,2	NO								6,0	0,0	-17,8	0,8	69,0	11,1	
5	0,00	5	-9,8	NO	7,5	7,9	-6,1	0,0	69,0	11,1		7,7	0,0	-8,8	2,7	69,0	11,1	
6	0,00	6	-28,2	NO	1,0	0,0	-17,6	0,0	69,0	11,1								
10	0,00	10	-18,6	NO	5,6	5,9	-11,7	0,0	69,0	11,1								
11	0,00	11	-15,9	NO	0,3	0,0	-9,9	0,0	69,0	11,1								
15	0,00	15	-1,5	NO	4,2	4,6	-1,0	0,1	69,0	11,1								
16	0,00	16	-25,8	NO	0,5	0,0	-16,2	0,0	69,0	11,1								
19	0,00	20	-27,3	NO								9,5	6,9	-17,2	0,2	69,0	11,1	
20	0,00	21	-12,6	NO	3,3	3,0	-7,9	0,0	69,0	11,1		8,7	0,0	-10,6	2,8	69,0	11,1	
21	0,00	22	-19,3	NO	1,2	1,2	-12,1	0,0	69,0	11,1								
25	0,00	26	-18,2	NO	1,9	2,4	-11,4	0,0	69,0	11,1								
26	0,00	27	-26,2	NO	1,1	0,0	-16,4	0,0	69,0	11,1								
27	0,00	28	-6,6	NO								3,5	2,0	-4,4	0,0	69,0	11,1	6,7
31	0,00	32	-57,3	NO	2,1	2,4	-35,8	0,0	69,0	11,1								
32	0,00	33	-21,0	NO	11,3	0,0	-16,2	0,0	69,0	11,1	39,9	8,2	0,0	-14,9	0,0	69,0	11,1	39,9
33	0,00	34	-26,0	NO								19,2	0,0	-22,7	0,0	69,0	11,1	39,9
38	0,00	35	-23,4	NO								3,9	3,4	-14,6	0,0	69,0	11,1	
34	0,00	36	-58,8	NO								6,8	5,4	-36,8	0,0	69,0	11,1	
35	0,00	37	-66,6	NO								8,7	7,4	-41,6	0,0	69,0	11,1	
36	0,00	38	-39,1	NO	0,7	0,0	-24,4	0,0	69,0	11,1		8,4	7,8	-24,4	0,0	69,0	11,1	
1	3,60	41	0,0	NO	0,0	0,0	0,0	0,0	69,0	11,1	19,8	0,0	0,0	0,0	0,0	69,0	11,1	19,8
2	3,60	42	0,0	NO								0,0	1,2	-0,8	0,0	69,0	11,1	19,8
3	3,60	43	0,0	NO								0,0	0,0	0,0	0,0	69,0	11,1	19,8
4	3,60	44	0,0	NO								0,0	0,0	0,0	0,0	69,0	11,1	19,8
5	3,60	45	0,0	NO	0,0	16,8	-10,5	0,0	69,0	11,1	19,8	0,0	0,0	0,0	0,0	69,0	11,1	19,8
6	3,60	46	0,0	NO	0,0	4,1	-2,6	0,0	69,0	11,1	19,8							
10	3,60	50	0,0	NO	0,0	12,9	-8,1	0,0	69,0	11,1	19,8							
11	3,60	51	0,0	NO	0,0	0,0	0,0	0,0	69,0	11,1	19,8							

## RISULTATI VERIFICHE NODI CLS - PUSH N.ro: 31 - Prop.Massa:+Fy-0.3\*Fx-Ecc5%

IDENTIFICATIVO					DIREZIONE 'X'							DIREZIONE 'Y'						
Filo N.ro	Quota (m)	Nod3d Nro	Nsup (t)	Coll Nodo	TaglSup (t)	TrazAf (t)	SgmCo	SgmTr	RcLim	RtLim	DeltRt	TaglSup (t)	TrazAf (t)	SgmCo	SgmTr	RcLim	RtLim	DeltRt
								kg/cmq										
15	3,60	55	0,0	NO	0,0	9,1	-5,7	0,0	69,0	11,1	19,8							
16	3,60	56	-10,1	NO	1,9	6,9	-7,6	0,0	69,0	11,1	19,8							
19	3,60	59	-5,7	NO								0,5	24,0	-16,6	0,0	69,0	11,1	19,8
20	3,60	60	-5,7	NO	3,0	13,7	-8,7	0,0	69,0	11,1	19,8	2,8	0,0	-4,3	0,0	69,0	11,1	19,8
21	3,60	61	-6,2	NO	2,8	9,6	-6,6	0,0	69,0	11,1	19,8							
25	3,60	65	-10,2	NO	4,1	13,7	-10,0	0,0	69,0	11,1	19,8							
26	3,60	66	-24,3	NO	2,9	0,0	-15,4	0,0	69,0	11,1	19,8	2,2	4,7	-15,4	0,0	69,0	11,1	19,8
27	3,60	67	2,9	NO								4,0	10,2	-3,1	0,0	69,0	11,1	6,7
31	3,60	71	-20,3	NO	4,8	17,1	-16,3	0,0	69,0	11,1	19,8							
32	1,80	72	-22,8	NO	30,4	3,8	-25,2	0,0	69,0	11,1	39,9	12,1	0,6	-17,2	0,0	69,0	11,1	39,9
33	1,80	73	-42,1	NO	37,1	0,0	-39,8	0,0	69,0	11,1	39,9	36,1	0,0	-39,3	0,0	69,0	11,1	39,9
34	3,60	74	-23,1	NO								3,1	22,2	-21,2	0,0	69,0	11,1	19,8
35	3,60	75	-26,9	NO								4,0	28,8	-26,0	0,0	69,0	11,1	19,8
36	3,60	76	-14,8	NO	3,3	7,1	-9,8	0,0	69,0	11,1	19,8	4,4	26,2	-19,0	0,0	69,0	11,1	19,8
38	3,60	78	0,0	NO								0,0	11,8	-7,4	0,0	69,0	11,1	19,8
32	3,60	81	-14,8	NO	54,1	12,9	-30,7	0,0	69,0	11,1	39,9	14,5	5,2	-12,0	0,0	69,0	11,1	39,9
33	3,60	82	0,0	NO								0,0	7,8	-4,9	0,0	69,0	11,1	39,9
16	7,20	96	0,0	NO	0,0	2,5	-1,5	0,0	69,0	11,1	9,9	0,0	2,5	-1,6	0,0	69,0	11,1	9,9
17	7,20	97	0,0	NO								0,0	0,0	0,0	0,0	69,0	11,1	9,9
18	7,20	98	0,0	NO								0,0	0,0	0,0	0,0	69,0	11,1	9,9
19	7,20	99	0,0	NO														
20	7,20	100	0,0	NO	0,0	5,2	-3,2	0,0	69,0	11,1	9,9	0,0	0,0	0,0	0,0	69,0	11,1	9,9
21	7,20	101	0,0	NO	0,0	4,9	-3,1	0,0	69,0	11,1	9,9							
25	7,20	105	0,0	NO	0,0	8,6	-5,4	0,0	69,0	11,1	9,9							
26	7,20	106	-17,2	NO	8,6	1,2	-12,5	1,7	69,0	11,1		14,4	10,7	-11,2	0,5	69,0	11,1	
27	7,20	107	-5,6	NO								13,3	0,0	-10,2	0,1	69,0	11,1	6,7
31	7,20	111	0,0	NO	0,0	9,9	-6,2	0,0	69,0	11,1	9,9							
32	5,40	112	-38,6	NO	34,6	0,0	-36,9	0,0	69,0	11,1	59,8	1,3	0,0	-24,2	0,0	69,0	11,1	59,8
34	7,20	114	0,0	NO								0,0	7,5	-4,7	4,7	69,0	11,1	
35	7,20	115	0,0	NO								0,0	10,0	-6,2	0,0	69,0	11,1	9,9
36	7,20	116	0,0	NO	0,0	4,9	-3,1	0,0	69,0	11,1	9,9	0,0	11,2	-7,0	0,0	69,0	11,1	9,9
37	7,20	117	0,0	NO								0,0	0,0	0,0	0,0	69,0	11,1	9,9
32	7,20	122	-17,3	NO	0,8	37,0	-28,7	2,9	69,0	11,1	14,9	14,5	13,7	-10,8	0,0	69,0	11,1	14,9
33	7,20	123	-16,6	NO								14,5	6,2	-12,6	0,0	69,0	11,1	6,7
26	9,80	125	0,0	NO	0,0	30,8	-19,3	9,4	69,0	11,1	9,9							
27	9,80	126	0,0	NO	0,0	0,0	0,0	0,0	69,0	11,1	9,9							
32	9,80	127	0,0	NO	0,0	3,8	-2,4	0,0	69,0	11,1	9,9	0,0	26,7	-16,7	6,8	69,0	11,1	9,9
33	9,80	128	0,0	NO	0,0	1,3	-0,8	0,0	69,0	11,1	9,9	0,0	26,7	-16,7	6,8	69,0	11,1	9,9

## RISULTATI VERIFICHE NODI CLS - PUSH N.ro: 32 - Prop.Massa:-Fy-0.3\*Fx-Ecc5%

IDENTIFICATIVO					DIREZIONE 'X'							DIREZIONE 'Y'						
Filo N.ro	Quota (m)	Nod3d Nro	Nsup (t)	Coll Nodo	TaglSup (t)	TrazAf (t)	SgmCo	SgmTr	RcLim	RtLim	DeltRt	TaglSup (t)	TrazAf (t)	SgmCo	SgmTr	RcLim	RtLim	DeltRt
								kg/cmq										
1	0,00	1	-27,8	NO	17,5	13,2	-17,8	0,4	69,0	11,1		1,6	0,0	-17,4	0,1	69,0	11,1	
2	0,00	2	-45,2	NO								7,0	6,6	-28,3	0,0	69,0	11,1	
3	0,00	3	-46,5	NO								9,6	8,4	-29,1	0,0	69,0	11,1	
4	0,00	4	-43,6	NO								13,7	13,2	-27,2	0,0	69,0	11,1	
5	0,00	5	-6,3	NO	10,6	0,0	-8,9	5,0	69,0	11,1		15,4	13,8	-4,2	0,2	69,0	11,1	
6	0,00	6	-36,5	NO	15,4	11,3	-23,1	0,3	69,0	11,1								
10	0,00	10	-8,3	NO	8,2	0,0	-8,3	3,1	69,0	11,1								
11	0,00	11	-20,2	NO	9,7	7,4	-12,8	0,2	69,0	11,1								
15	0,00	15	-11,1	NO	4,7	0,0	-8,0	1,1	69,0	11,1								
16	0,00	16	-29,3	NO	8,2	7,8	-18,3	0,0	69,0	11,1								
19	0,00	20	-22,5	NO								12,8	0,0	-17,7	3,6	69,0	11,1	
20	0,00	21	-9,2	NO	7,7	0,0	-8,5	2,7	69,0	11,1		13,8	10,8	-6,3	0,6	69,0	11,1	
21	0,00	22	-26,4	NO	5,1	4,8	-16,5	0,0	69,0	11,1								
25	0,00	26	-40,4	NO	1,5	0,0	-25,3	0,0	69,0	11,1								
26	0,00	27	-25,0	NO	1,2	0,6	-15,6	0,0	69,0	11,1								
27	0,00	28	-9,8	NO								0,1	0,5	-6,1	0,0	69,0	11,1	6,7
31	0,00	32	-21,3	NO	1,0	0,6	-13,3	0,0	69,0	11,1								
32	0,00	33	-16,8	NO	5,3	1,8	-11,0	0,0	69,0	11,1	39,9	1,6	0,5	-10,6	0,0	69,0	11,1	39,9
33	0,00	34	-12,5	NO								4,3	1,4	-8,2	0,0	69,0	11,1	39,9
38	0,00	35	-41,3	NO								5,0	0,0	-26,2	0,4	69,0	11,1	
34	0,00	36	-52,4	NO								7,2	0,0	-33,3	0,6	69,0	11,1	
35	0,00	37	-51,5	NO								11,0	0,0	-33,6	1,4	69,0	11,1	
36	0,00	38	-27,9	NO	4,5	4,2	-17,4	0,0	69,0	11,1		13,9	0,0	-21,0	3,6	69,0	11,1	
1	3,60	41	0,0	NO	0,0	45,4	-28,4	8,6	69,0	11,1	19,8	0,0	0,0	0,0	0,0	69,0	11,1	19,8
2	3,60	42	0,0	NO								0,0	18,7	-11,7	0,0	69,0	11,1	19,8
3	3,60	43	0,0	NO								0,0	24,9	-15,5	0,0	69,0	11,1	19,8
4	3,60	44	0,0	NO								0,0	33,6	-21,0	1,2	69,0	11,1	19,8
5	3,60	45	0,0	NO	0,0	0,0	0,0	0,0	69,0	11,1	19,8	0,0	36,1	-22,5	2,7	69,0	11,1	19,8
6	3,60	46	0,0	NO	0,0	39,9	-24,9	5,1	69,0	11,1	19,8							
10	3,60	50	0,0	NO	0,0	0,0	0,0	0,0	69,0	11,1	19,8							
11	3,60	51	0,0	NO	0,0	26,1	-16,3	0,0	69,0	11,1	19,8							
15	3,60	55	0,0	NO	0,0	0,0	0,0	0,0	69,0	11,1	19,8							
16	3,60	56	-10,1	NO	3,5	27,5	-18,5	0,0	69,0	11,1	19,8							
19	3,60	59	-12,7	NO								1,6	0,0	-8,1	0,0	69,0	11,1	19,8
20	3,60	60	-6,4	NO	2,0	0,0	-4,3	0,0	69,0	11,1	19,8	3,9	31,8	-19,5	0,0	69,0	11,1	19,8
21	3,60	61	-12,6	NO	3,2	19,3	-14,7	0,0	69,0	11,1	19,8							
25	3,60	65	-12,9	NO	3,6	4,6	-8,1	0,0	69,0	11,1	19,8							
26	3,60	66	-27,3	NO	4,2	0,0	-17,4	0,0	69,0	11,1	19,8	2,0	6,2	-17,4	0,0	69,0	11,1	19,8
27	3,60	67	-16,3	NO								0,9	0,0	-10,2	0,0	69,0	11,1	6,7
31	3,60	71	-12,5	NO	5,1	14,3	-10,8	0,0	69,0	11,1	19,8							

## RISULTATI VERIFICHE NODI CLS - PUSH N.ro: 32 - Prop.Massa:-Fy-0.3\*Fx-Ecc5%

IDENTIFICATIVO					DIREZIONE 'X							DIREZIONE 'Y						
Filo N.ro	Quota (m)	Nod3d Nro	Nsup (t)	Coll Nodo	TaglSup (t)	TrazAf (t)	SgmCo	SgmTr	RcLim	RtLim	DeltRt	TaglSup (t)	TrazAf (t)	SgmCo	SgmTr	RcLim	RtLim	DeltRt
								----- kg/cmq							----- kg/cmq			
32	1,80	72	-18,4	NO	31,7	0,0	-26,4	0,0	69,0	11,1	39,9	1,8	1,9	-11,5	0,0	69,0	11,1	39,9
33	1,80	73	-24,4	NO	31,7	0,6	-28,5	0,0	69,0	11,1	39,9	32,3	0,0	-29,2	0,0	69,0	11,1	39,9
34	3,60	74	-23,4	NO								0,5	0,0	-14,6	0,0	69,0	11,1	19,8
35	3,60	75	-22,3	NO								0,3	0,0	-14,0	0,0	69,0	11,1	19,8
36	3,60	76	-12,0	NO	5,9	24,3	-15,8	0,0	69,0	11,1	19,8	1,0	0,0	-7,5	0,0	69,0	11,1	19,8
38	3,60	78	0,0	NO								0,0	0,0	0,0	0,0	69,0	11,1	19,8
32	3,60	81	-19,0	NO	49,2	0,0	-37,2	0,0	69,0	11,1	39,9	6,7	1,3	-12,8	0,0	69,0	11,1	39,9
33	3,60	82	0,0	NO								0,0	0,0	0,0	0,0	69,0	11,1	39,9
16	7,20	96	0,0	NO	0,0	7,4	-4,6	0,0	69,0	11,1	9,9	0,0	0,0	0,0	0,0	69,0	11,1	9,9
17	7,20	97	0,0	NO								0,0	5,1	-3,2	0,0	69,0	11,1	9,9
18	7,20	98	0,0	NO								0,0	10,2	-6,4	0,0	69,0	11,1	9,9
19	7,20	99	0,0	NO														
20	7,20	100	0,0	NO	0,0	0,0	0,0	0,0	69,0	11,1	9,9	0,0	14,0	-8,7	0,0	69,0	11,1	9,9
21	7,20	101	0,0	NO	0,0	7,4	-4,6	0,0	69,0	11,1	9,9							
25	7,20	105	0,0	NO	0,0	6,2	-3,9	0,0	69,0	11,1	9,9							
26	7,20	106	-28,1	NO	11,3	3,7	-18,8	1,2	69,0	11,1		13,0	7,0	-18,3	0,8	69,0	11,1	
27	7,20	107	-18,5	NO								13,5	13,6	-11,6	0,0	69,0	11,1	6,7
31	7,20	111	0,0	NO	0,0	9,9	-6,2	0,0	69,0	11,1	9,9							
32	5,40	112	0,0	NO	27,2	23,1	-2,6	0,0	69,0	11,1	59,8	8,6	6,3	-1,4	0,0	69,0	11,1	59,8
34	7,20	114	0,0	NO								0,0	0,0	0,0	0,0	69,0	11,1	
35	7,20	115	0,0	NO								0,0	0,0	0,0	0,0	69,0	11,1	9,9
36	7,20	116	0,0	NO	0,0	12,3	-7,7	0,0	69,0	11,1	9,9	0,0	0,0	0,0	0,0	69,0	11,1	9,9
37	7,20	117	0,0	NO								0,0	15,2	-9,5	0,0	69,0	11,1	9,9
32	7,20	122	-3,3	NO	1,1	0,0	-2,3	0,0	69,0	11,1	14,9	10,4	0,0	-7,6	0,0	69,0	11,1	14,9
33	7,20	123	-6,9	NO								13,3	0,0	-10,7	0,0	69,0	11,1	6,7
26	9,80	125	0,0	NO	0,0	30,8	-19,3	9,4	69,0	11,1	9,9							
27	9,80	126	0,0	NO	0,0	0,0	0,0	0,0	69,0	11,1	9,9							
32	9,80	127	0,0	NO	0,0	0,0	0,0	0,0	69,0	11,1	9,9	0,0	0,0	0,0	0,0	69,0	11,1	9,9
33	9,80	128	0,0	NO	0,0	8,9	-5,6	0,0	69,0	11,1	9,9	0,0	0,0	0,0	0,0	69,0	11,1	9,9